

نشریه علمی - پژوهشی پژوهش‌های زراعی ایران

شاپا: ۱۴۷۲-۲۰۰۸

عنوان مقالات

- تأثیر تغییر اقلیم بر کشاورزی ایران: ۲- پیش‌بینی تولید محصولات زراعی و راهکارهای سازگاری ۱
علیرضا کوچکی - مهدی نصیری محلاتی
- تأثیر هگزاکوناژول و پنکوناژول بر تحمل به سرما در گیاه کوشیا (*Kochia scoparia*) ۲۱
علی کمندی - احمد نظامی - محمد کافی - جعفر نباتی
- بررسی تأثیر تاریخ کاشت بر رشد و عملکرد گیاه وسمه (*Indigofera tinctoria* L.) در شرایط شاهروд ۳۷
علی انصوری - حسن شهقی - حسن مکاریان - منوچهر قلی پور
- اثر روش‌های مختلف آبیاری و شیوه‌های کاشت بر بهره‌وری آب و سلامت ارقام تجاری سیب‌زمینی ۴۸
حمیدرضا سالمی - احمد سلیمانی پور - علیرضا توکلی
- بررسی اثر کود نیتروژن بر میزان جذب و ضریب استهلاک نور در ارقام مختلف گندم ۵۹
فریده صمدیان - علی سلیمانی
- اثر محلول‌پاشی با غلظت‌های سالیسیلیک اسید و پوتریسین بر خصوصیات رشدی و عملکرد مرزه ۷۳
(*Satureja hortensis* L.)
عزیزه فرجی مهمنی - بهروز اسماعیل‌پور - فاطمه سفیدکن - سرور خرم دل
- تأثیر تاریخ کاشت و تراکم بوته بر شاخص‌های فیزیولوژیک رشد، صفات کمی و کیفی دو رقم همیشه بهار (*Calendula officinalis* L.) در شرایط اراک ۸۶
علی سپهری - تهمینه مهران راد - افسین کرمی
- اثر تراکم بوته بر عملکرد و اجزای عملکرد ذرت شیرین و ذرت‌بچه هیبرید KSC 403 ۱۰۰
هاجر باوی - محمدرضا مرادی تلاوت - سید عطاء‌الله سیادت - احمد کوچک زاده
- اثر کاربرد حاصلخیز‌کننده‌های خاک بر برخی ویژگی‌های رشدی و عملکرد سورگوم دانه‌ای (*Sorghum bicolor*) ۱۰۹
رضای کمائی - مهدی پارسا - محسن جهان
- بررسی عملکرد و اجزای عملکرد ژنتیپ‌های مختلف ارزن تحت دو رژیم آبیاری ۱۲۰
ساره مشایخی - غلامرضا خواجویی نژاد - قاسم محمدی نژاد
- بررسی تأثیر سیلیس بر بیبود تحمل به تنش شوری کلرید سدیم در یونجه یک‌ساله (*Medicago scutellata* L.) ۱۳۳
مایا عزیزی - احمد عبدالزاده - پویان مهرابان جوبنی - حمیدرضا صادقی پور
- بررسی اثر سطوح مختلف شوری بر برخی خصوصیات فتوستتزی ارقام کلزا (*Brassica napus* L.) ۱۴۴
فرانک طهماسبی - پیمان حسیبی - موسی مسکری‌پاشی
- تأثیر زئولیت و محلول‌پاشی سلینیوم و سیلیسیوم بر عملکرد، اجزای عملکرد و برخی صفات فیزیولوژیک کلزا تحت شرایط تنش شوری ۱۵۴
احمد بای بوردی
- بررسی اثر هورمون‌های سیتوکینین و اکسین و الگوی کاشت بر عملکرد و اجزاء عملکرد ذرت دانه‌ای (Zea mays L.) در شرایط شور ۱۷۱
داود دوانی - مجید نبی پور - حبیب الله روشن‌فکر دزفولی
- تأثیر کاربرد ورمی کمپوست و محلول‌پاشی چای کمپوست بر خصوصیات رشدی گیاه ذرت ۱۸۵
راحله افشارمنش - اصغر رحیمی - بنیامین ترابی - عبدالرضا اخگر
- تأثیر روش‌های مختلف کشت پیاز خوارکی (*Allium cepa* L.) و میزان نیتروژن بر روند رشدی آن در شرایط تداخل با اویارسلام ارغوانی (*Cyperus rotundus*) ۲۰۰
نصرت‌الله کریمی آرپناهی - سید وحید اسلامی - سهراب محمودی - محمد حسن سیاری

نشریه پژوهش‌های زراعی ایران

«نشریه علمی - پژوهشی قطب علمی گیاهان زراعی ویژه»

با شماره ثبت ۱۲۴/۷۸۵۷ از وزارت فرهنگ و ارشاد اسلامی و
۸۲/۵/۲۷

درجه علمی-پژوهشی شماره ۳/۱۱/۷۴۵۰۹ از وزارت علوم، تحقیقات و فناوری
۸۹/۱۰/۲۱

سال ۱۳۹۵

شماره ۱

جلد ۱۴

صاحب امتیاز:

پرویز رضوانی مقدم

مدیر مسئول:

حمیدرضا خزانی

سردیبیر:

اعضای هیات تحریریه:

یحیی امام

عبدالرضا باقری

محمدعلی بهدانی

محمد بنایان اول

مجید جامی الاحمدی

حمید رحیمیان مشهدی

غلامرضا زمانی

احمد زارع فیض آبادی

فرج الله شهریاری احمدی

محمد کافی

احمد نظامی

داریوش مظاہری

مهدی نصیری محلاتی

ناشر: دانشگاه فردوسی مشهد

چاپ: موسسه چاپ و انتشارات دانشگاه فردوسی مشهد

شمارگان: ۲۰ نسخه

قیمت: ۵۰۰۰ ریال (دانشجویان ۲۵۰۰ ریال)

نشانی: مشهد، دانشگاه فردوسی مشهد، دانشکده کشاورزی، دبیرخانه نشریات علمی، نشریه پژوهش‌های زراعی ایران صندوق پستی ۹۱۷۷۵-۱۱۶۳

نماز: ۳۸۷۸۷۴۳۰

پست الکترونیک: cesc@um.ac.ir

مقالات این شماره در سایت به صورت مقاله کامل نمایه شده است. <https://jesc.um.ac.ir>

این نشریه در پایگاه‌های زیر نمایه می‌شود:

پایگاه استادی جهان اسلام (ISC) پایگاه اطلاعات علمی جهاد دانشگاهی (SID)

(MAGIRAN) بانک اطلاعات علمی نشریات کشور

بِسْمِ اللّٰهِ الرَّحْمٰنِ الرَّحِيْمِ

مندرجات

- ۱ تأثیر تغییر اقلیم بر کشاورزی ایران: ۲- پیش‌بینی تولید محصولات زراعی و راهکارهای سازگاری علیرضا کوچکی- مهدی نصیری محلاتی
- ۲۱ تأثیر هنگارکونازوول و پنکونازوول بر تحمل به سرما در گیاه کوشیا (*Kochia scoparia*) علی کمندی- احمد نظامی- محمد کافی- جعفر نباتی
- ۳۷ بررسی تأثیر تاریخ کاشت بر رشد و عملکرد گیاه وسمه (*Indigofera tinctoria* L.) در شرایط شاهروド علی انصوری- حسن شهقلي- حسن مکاریان- منوچهر قلی پور
- ۴۸ اثر روش‌های مختلف آبیاری و شیوه‌های کاشت بر بهره‌وری آب و سلامت ارقام تجاری سیب‌زمینی حمیدرضا سالمی- احمد سليمانی پور- علیرضا توکلی
- ۵۹ بررسی اثر کود نیتروژن بر میزان جذب و ضریب استهلاک نور در ارقام مختلف گندم فریده صمدیان- علی سليمانی
- ۷۳ اثر محلول پاشی با غلظت‌های سالیسیلیک اسید و پوتوریسین بر خصوصیات رشدی و عملکرد مرزه (*Satureja hortensis* L.) عزیزه فرجی مهمنی- بهروز اسماعیلپور- فاطمه سفیدکن- سور خرم دل
- ۸۶ تأثیر تاریخ کاشت و تراکم بوته بر شاخص‌های فیزیولوژیک رشد، صفات کمی و کیفی دو رقم همیشه بهار (L.) در شرایط اراک علی سپهری- تهمینه مهران راد- افشنین کرمی
- ۱۰۰ اثر تراکم بوته بر عملکرد و اجزای عملکرد ذرت شیرین و ذرت بچه هیبرید KSC 403 هاجر باوی- محمد رضا مرادی تلاوت- سید عطاء‌الله سیادت- احمد کوچک زاده
- ۱۰۹ اثر کاربود حاصلخیز کننده‌های خاک بر برخی ویژگی‌های رشدی و عملکرد سورگوم دانه‌ای (*Sorghum bicolor*) رضا کمائی- مهدی پارسا- محسن جهان
- ۱۲۰ بررسی عملکرد و اجزای عملکرد ژنتیپ‌های مختلف ارزن تحت دو رژیم آبیاری ساره مشایخی- غلامرضا خواجه‌یزی نژاد- قاسم محمدی نژاد
- ۱۳۳ بررسی تأثیر سیلیس بر بهبود تحمل به تنش شوری کلرید سدیم در یونجه یک‌ساله (*Medicago scutellata* L.) مایا عزیزی- احمد عبدالزاده- پویان مهریان جوبنی- حمیدرضا صادقی پور
- ۱۴۴ بررسی اثر سطوح مختلف شوری بر برخی خصوصیات فتوستزی ارقام کلزا (*Brassica napus* L.) فرانک طهماسبی- پیمان حسیبی- موسی مسکری‌باشی
- ۱۵۴ تأثیر زنوبیت و محلول پاشی سلینیوم و سیلیسیوم بر عملکرد، اجزای عملکرد، برخی صفات فیزیولوژیک کلزا تحت شرایط تنش شوری احمد بای بورדי
- ۱۷۱ بررسی اثر هورمون‌های سیتوکینین و اکسین و الگوی کاشت بر عملکرد و اجزاء عملکرد ذرت دانه‌ای (*Zea mays* L.) در شرایط شور داود دوانی- مجید نبی پور- حبیب الله روشن‌فکر دزفولی
- ۱۸۵ تأثیر کاربود ورمی کمپوست و محلول پاشی چای کمپوست بر خصوصیات رشدی گیاه ذرت راحله افشارمنش- اصغر رحیمی- بنیامین ترابی- عبدالرضا اخگر

تأثیر روش‌های مختلف کشت پیاز خوراکی (*Allium cepa* L.) و میزان نیتروژن بر روند رشدی آن در شرایط تداخل با اویارسلام (Cyperus rotundus)

نصرت الله کربیمی آرپناهی - سید وحید اسلامی - سهراب محمودی - محمد حسن سیاری

تأثیر تغییر اقلیم بر کشاورزی ایران: ۲ - پیش‌بینی تولید محصولات زراعی و راهکارهای سازگاری

علیرضا کوچکی^{۱*} - مهدی نصیری محلاتی^۱

تاریخ دریافت: ۱۳۹۱/۰۸/۲۳

تاریخ پذیرش: ۱۳۹۲/۰۷/۰۲

چکیده

شواهد موجود نشان می‌دهد تغییر جهانی اقلیم بسیاری از متغیرهای اقلیمی کشاورزی ایران را در چند دهه آینده تحت تأثیر قرار خواهد داد. با این حال مطالعات اندکی در مورد پیامدهای آن بر تولید گیاهان زراعی در سطح ملی انجام شده است. در این تحقیق عملکرد گندم، ذرت، نخود و چند رقد به عنوان ۴ گونه مهم زراعی در شرایط اقلیمی سال ۲۰۵۰ میلادی با مقادیر فعلی مقایسه و تغییرات آن مورد ارزیابی قرار گرفته است. شرایط اقلیمی سال هدف براساس یک ستاریوی استاندارد به وسیله مدل گردش عمومی GFDL برآورد شد و نتایج به عنوان داده‌های آب و هوایی در مدل سوکروز که قبل از به وسیله داده‌های آزمایشی برای گونه‌های تحت بررسی تعیین اعتبار شده بود مورد استفاده قرار گرفت. نتایج نشان داد که میانگین عملکرد گندم، ذرت، نخود و چند رقد در سال هدف در مناطق مختلف کشور به ترتیب ۶/۶، ۱۸/۱، ۱۹/۱ و ۲۰ درصد کاهش خواهد یافت. این کاهش عمده‌تاً به دلیل افزایش دما نخود و چند رقد در سال هدف در حدود ۵/۶ درصد از اثرات منفی دمای بالا را جبران می‌کند. آنالیز رگرسیون بر روی نتایج نشان داد که بوده و افزایش غلظت دی اکسید کربن تنها در حدود ۱۰°C افزایش دما در طی کل دوره رشد بین ۹ تا ۱۷ درصد کاهش می‌باشد. البته در مورد گندم و ذرت کاهش عملکرد تا حد زیادی تابع میزان افزایش دما در طی دوره رشد بود. افزایش دما، طول کل دوره رشد و نیز طول دوره پر شدن دانه را در گیاهان دانه‌ای کاهش خواهد داد. نتایج حاکی از این بود که در ذرت و گندم کاهش طول دوره پر شدن دانه و در نخود و چند رقد کاهش طول دوره رسیدگی (کاشت تا برداشت) عامل اصلی کاهش عملکرد می‌باشد. با توجه به مقدار ضریب تبیین بین متغیرهای مختلف، به طور متوسط در حدود ۶۰ درصد از تغییرات عملکرد ۴ محصول تحت بررسی با افزایش دما توصیف می‌شود و به همین دلیل تغییرات مکانی عملکرد این محصولات در مناطق مختلف کشور با الگوی مکانی تغییرات دما در سال ۲۰۵۰ منطبق است. بنابراین راهکارهای سازگاری به شرایط اقلیمی سال هدف باید به گونه‌ای طراحی شوند که اثرات سوء دمای بالا بتویژه در مراحل حساس رشد را کاهش دهند. ارزیابی روش‌های سازگاری از طریق شبیه‌سازی نشان داد که تغییر تاریخ کاشت و افزایش مقاومت به گرمای روش‌های مؤثری برای سازگاری به شرایط اقلیمی آینده در محصولات تحت بررسی می‌باشد.

واژه‌های کلیدی: تغییرات عملکرد، راهکارهای سازگاری، طول دوره رشد، گرمایش جهانی

خواهد داشت با این حال اغلب مطالعات تجربی انجام شده متوجه

کشورهای توسعه یافته می‌باشد (Kang *et al.*, 2003).

مطالعه اثرات تغییر اقلیم بر تولید محصولات زراعی مستلزم برآورد وضعیت اقلیمی آینده است. این برآوردها در حال حاضر به وسیله مدل‌های گردش عمومی (GCMs) و براساس ستاریوهای مختلف انجام می‌گیرد و تلفیق این نتایج با مدل‌های شبیه‌سازی رشد امکان پیش‌بینی عملکرد گیاهان زراعی را در شرایط اقلیمی آینده فراهم می‌سازد (Carson, 1999). گیاهان زراعی از طریق افزایش فتوسنتر و کاهش هدایت روزنده‌ای به افزایش غلظت CO₂ پاسخ می‌دهند و سایر اثرات افزایش غلظت این گاز بر گیاه و اکوسیستم

با مطمئن‌تر شدن محققین از اینکه بالا رفتن غلظت گازهای کلخانه‌ای موجب افزایش دمای کره زمین خواهد شد (Kenter *et al.*, 2006) نگرانی‌هایی در مورد اثرات بالقوه این تغییرات بر تولید محصولات زراعی به وجود آمده است. از آنجا که کشورهای در حال توسعه به شدت به کشاورزی وابسته‌اند، تأثیر گرمایش جهانی بر تولیدات این کشورها مخاطرات جدی از نظر امنیت غذایی به همراه

۱ - استاد گروه زراعت دانشکده کشاورزی دانشگاه فردوسی مشهد
(Email: akooch@um.ac.ir)
* - نویسنده مسئول:

مدل گرددش عمومی شاخص‌های اقلیمی کشاورزی ایران را برای سال ۲۰۵۰ میلادی (۱۴۳۰ شمسی) پیش‌بینی کرده و نشان دادند که میانگین دمای سالانه مناطق مختلف کشور تا سال هدف بین $\frac{3}{5}$ تا $\frac{4}{5}$ درجه سانتی‌گراد افزایش می‌یابد در حالی که میانگین بارش سالانه بین ۷ تا ۱۴ درصد کاهش خواهد یافت. به علاوه این تغییرات از غرب به شرق و از شمال به جنوب کشور شدیدتر خواهد بود. بدون تردید بروز این تغییرات قابل توجه اقلیمی، پی‌آمد هایی را بر تولید محصولات زراعی در مقدار بوده و برای مدت برسی قرار گرفته و از سوی دیگر روش‌های مقابله با این شرایط نیز به درستی مطالعه نشده است. بنابراین هدف از اجرای این پژوهش ارزیابی تأثیر تغییرات آینده اقلیمی بر تولید برخی محصولات زراعی و ارائه راهکارهایی برای سازگاری به شرایط آینده می‌باشد.

مواد و روش‌ها

داده‌های اقلیمی: آمار درازمدت هواشناسی شامل مقادیر ماهانه دما حداقل، حداکثر و بارش برای دوره ۴۰ ساله (۱۹۶۵-۲۰۰۵) مربوط به شهرستان‌های اراک، اردبیل، اصفهان، اهواز، آبادان، ایلام، ارومیه، بهمن، بوشهر، بندرعباس، بندرانزلی، تبریز، تربت حیدریه، تهران، خرم‌آباد، خوی، رامسر، زاهدان، زنجان، ستننج، ساری، سبزوار، سمنان، شاهرود، شهرکرد، شیراز، قزوین، قم، کرمان، کرمانشاه، گرگان، مشهد، همدان و یزد از بانک داده‌های سازمان هواشناسی کشور تهیه گردید. این ایستگاه‌ها به نحوی انتخاب شده‌اند که پوشش کاملی از نقاط مختلف اقلیمی ایران را فراهم ساخته و معرف وضعیت عمومی کشور باشند. پیش‌بینی شاخص‌های اقلیمی براساس سناریوی Af_{1f} (تداوم وضع فعلی^۱) با استفاده از دو مدل گرددش عمومی GFDL و GISS برای سال ۲۰۵۰ میلادی (۱۴۳۰ شمسی) انجام شد که جزئیات آن توسط کوچکی و همکاران (Koocheki et al., 2015) توصیف شده است.

شبیه‌سازی رشد و نمو و عملکرد محصولات زراعی: جهت پیش‌بینی رشد و تولید چهار محصول زراعی شامل گندم (*Triticum aestivum*), نخود (*Pisum sativum*), چندرقند (*Beta vulgaris*)، چندرقند (Van Laar et al., 1997) و ذرت از مدل SUCROS (Goudriaan and van der Valk, 1997) استفاده شد. سوکروز یک مدل عمومی است که ماده خشک، مراحل فنولوژیکی و عملکرد محصولات زراعی را براساس داده‌های روزانه آب و هوایی با فواصل یک روزه شبیه‌سازی می‌کند. مراحل نمو متناسب با سرعت نمو که خود تابعی از دما است محاسبه شده و توزیع ماده خشک بین اندام‌ها براساس مرحله نموی تعیین می‌گردد. جزئیات مدل SUCROS توسط خودریان و فان لار (Koocheki et al., 2015) با استفاده از دو

ناشی از تغییر در این دو فرآیند بنیادی است (Goudriaan, 1996; Pidgeon et al., 2001). براساس برآوردهای مجمع بین دول تغییر اقلیم در غلظت‌های ppm ۵۵۰ تا ۵۰۰ گاز کربنیک میانگین افزایش فتوسنتر برای گیاهان C_3 , C_4 , ۳۰-۳۵ درصد و برای گیاهان C_4 , ۱۰-۲۵ درصد است. البته افزایش عملکرد کمتر از این مقدار بوده و برای گیاهان زراعی C_3 و C_4 به ترتیب بین ۱۰-۲۵ و ۰-۱۰ درصد می‌باشد (IPCC, 2007). افزایش مقاومت روزنده‌ای نیز با کاهش تعرق موجب افزایش کارآبی مصرف آب و در نتیجه عملکرد بالاتر در گیاهان زراعی خواهد شد (Asseng et al., 2004). این اثرات مثبت تابع شرایط رشد گیاهان زراعی می‌باشد برای مثال توپیلو و همکاران (Tubiello et al., 2000) نشان دادند که واکنش گندم به تغییر اقلیم در شرایط دیم یا آبی و تیز در شرایط کوددهی کم یا زیاد متفاوت می‌باشد.

با وجودی که نقش حاصلخیز کننده CO_2 بر بهبود رشد گیاهان به اثبات رسیده است، ولی افزایش دما ناشی از گرمایش جهانی این تأثیر مثبت را خنثی خواهد کرد (Long et al., 2004). البته افزایش دما در مناطق واقع در عرض‌های شمالی که با محدودیت طول فصل رشد مواجه هستند مطلوب خواهد بود در حالی که افزایش دما در مناطق گرم و خشک تولید را بهشت محدود می‌سازد. به عنوان مثال در دانمارک سطح زیر کشت ذرت (*Zea mays*) از ۱۱ هزار هکتار در سال ۱۹۹۳ به ۱۲۰ هزار هکتار در سال ۲۰۰۵ افزایش یافته که ناشی از افزایش دما در طی دوره رشد این گیاه و در نتیجه مناسب شدن شرایط تولید می‌باشد (Kjellsrom, 2005). در مقابل جونز و تورنتون (Jones and Thornton, 2003) پیش‌بینی کرده‌اند که عملکرد ذرت در آفریقا و آمریکای لاتین تا سال ۲۰۵۰ میلادی در حدود ۱۰ درصد کاهش می‌یابد که ارزش آن معادل ۲ میلیارد دلار آمریکا است. شواهد آزمایشی نشان می‌دهد که تسريع مراحل فنولوژی مهمترین پی‌آمد افزایش دما در گیاهان است. منزل و همکاران (Menzel et al., 2006) با مطالعه ۵۴۲ گونه گیاهی در ۲۶ کشور اروپا که شامل ۱۲۵ هزار سری زمانی بود دریافتند که در فاصله سال‌های ۱۹۷۱ تا ۲۰۰۰ میلادی در ۷۸ درصد موارد سرعت نمو به دلیل بالا رفتن دما افزایش یافته و طول مراحل کوتاه‌تر شده است. کوتاه‌تر شدن طول دوره رشد ناشی از افزایش دما در اغلب گیاهان زراعی باعث کاهش عملکرد می‌شود زیرا تابش کمتری جذب شده و زمان کمتری برای تجمع ماده خشک در اختیار گیاه خواهد بود (Fulco and Senthold, 2006). باید توجه داشت که تأثیر توأم افزایش غلظت CO_2 و دما بر عملکرد گیاهان زراعی پیچیده بوده و بسته به موقعیت جغرافیایی متفاوت می‌باشد، بنابراین در ک دقيق وضعیت تولید محصولات زراعی در شرایط اقلیمی آینده مستلزم انجام مطالعات در مقیاس منطقه‌ای و ملی می‌باشد. کوچکی و همکاران (Koocheki et al., 2015) با استفاده از دو

استفاده شد (معادله ۲):

$$\Phi_p = \frac{(C_e - \Gamma)(C_{350} + 2\Gamma)}{(C_e + 2\Gamma)(C_{350} - \Gamma)} \quad (2)$$

که در آن Φ_p نسبت سرعت فتوستتر در غلظت‌های بالای CO_2 نسبت به غلظت فعلی، C_{350} غلظت فعلی (350 ppm)، C_e غلظت افزایش یافته (ppm) و Γ نقطه جبران CO_2 می‌باشد که خود وابسته به دما بوده و از معادله ۳ محاسبه می‌شود:

$$\Gamma = \frac{(163 - T)}{(5 - 0.1T)} \quad (3)$$

که در آن T دما ($^{\circ}\text{C}$) است. به این ترتیب با ضرب کردن مقدار Φ_p در A (معادله ۱) سرعت فتوستتر در هر غلظت CO_2 به دست خواهد آمد. مقدار Φ_p در غلظت فعلی CO_2 برابر ۱ بوده و با افزایش غلظت بالا می‌رود، البته دما نیز بر آن مؤثر است و در دماهای بالا مقدار Φ_p با افزایش غلظت CO_2 کاهش خواهد یافت (شکل ۱). واکنش فتوستتر به افزایش غلظت CO_2 در گونه‌های C_3 که با معادلات ۲ و ۳ بیان شد برای گونه‌های C_4 نظریه ذرت کاربرد ندارد زیرا پاسخ این گیاهان به غلظت‌های بالای CO_2 به مرتبه کمتر از گونه‌های C_3 می‌باشد. در این مطالعه براساس برآوردهای IPCC (Kenter et al., 2006) مقدار ثابتی معادل ۱۰ درصد به سرعت فتوستتر ذرت اضافه شد.

در مدل سوکروز افزایش دما علاوه بر تأثیر بر سرعت نمو، حداقل سرعت فتوستتر در اشباع نوری (A_m ، معادله ۱) را نیز تحت تأثیر قرار می‌دهد. در شکل ۲ توابع مربوط به واکنش A_m به تعییرات دما برای چهار گونه تحت بررسی در این مطالعه نشان داده شده است.

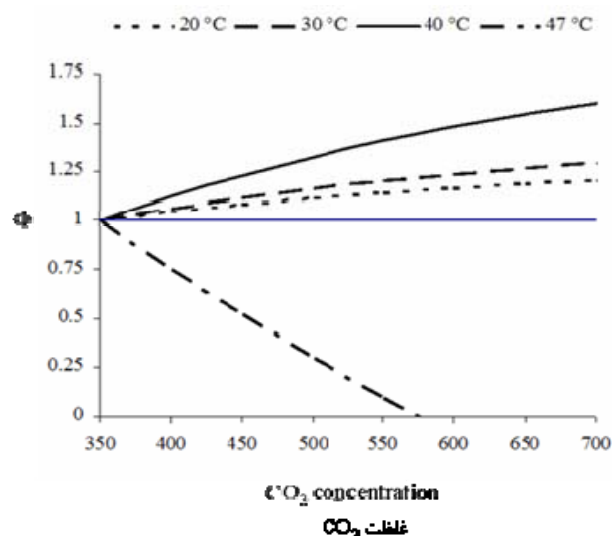
(Laar, 1993) ارائه شده است. لازم به ذکر است که نسخه اصلی مدل سوکروز برای شبیه‌سازی رشد گندم بهاره تهیه شده و در مورد گندم پاییزه لازم است تا دستورهای مربوط به بهاره شدن (ورنالیزاسیون) به آن اضافه شود که روش و معادلات مربوط به آن توسط کوچکی و نصیری (Koocheki and Nassiri, 2008) ارائه شده است. پارامترها و توابع لازم برای گندم، ذرت، نخود و چغندر قند از فایل داده‌های مربوط به محصولات زراعی در مدل WOFOST استخراج گردید. زیرا به دلیل تشابه ساختاری این داده‌ها در مدل van Ittersum et al., (2003; Koocheki and Nassiri, 2008) نیز قابل استفاده می‌باشند.

در مدل SUCROS سرعت فتوستتر تک برگ توسط معادله ۱ توصیف شده است:

$$A = A_m (1 - \exp(-\varepsilon I_a / A_m)) \quad (1)$$

که در آن A سرعت فتوستتر ناخالص (CO_2 بر هکتار برگ) کیلوگرم (kg) بر هکتار زمین، A_m حداقل سرعت فتوستتر در اشباع نوری (CO_2 بر هکتار برگ بر هکتار زمین)، ε کارآیی مصرف نور اولیه (kg) بر هکتار سطح برگ بر هکتار زمین به‌ازای ژول در متر مربع در ثانیه) و I_a تابش جذب شده (ژول در متر مربع در ثانیه) می‌باشد.

حقیقین روش‌های مختلفی را برای توصیف واکنش گیاهان به CO_2 به کار برده‌اند که بسته به ساختار مدل موجب تصحیح فتوستتر یا کارآیی مصرف نور می‌شوند و انواع این روش‌ها توسط توبیئلو و اورت (Tubiello and Ewert, 2002) مورد بررسی قرار گرفته است. در این مطالعه برای توصیف تأثیر CO_2 بر فتوستتر از روش ارائه شده توسط راینگا و همکاران (Reyenga et al., 1999) است.



شکل ۱- مقادیر شبیه‌سازی شده Φ براساس معادلات ۲ و ۳ در غلظت ۲ و ۳ در غلظت ۷۰۰ ppm تا ۳۵۰ ppm گاز کربنیک و تأثیر دما بر آن
Figure 1- Simulated values of Φ based on Equations 2 and 3 at CO_2 concentration of 350-700 ppm as affected by temperature

نتایج و بحث

سنجد اعتبر مدل

نتایج نشان داد که مدل سوکروز قابلیت مطلوبی در شبیه‌سازی عملکرد و مراحل نموی گیاهان تحت بررسی دارد. در شکل ۳ مقادیر پیش‌بینی شده و مشاهده شده عملکرد با هم مقایسه شده‌اند و مدل در مورد هر چهار گونه زراعی برآوردهای قابل قبولی داشت. مقایسه آماری بین پیش‌بینی مدل و مشاهدات (جدول ۱) نیز نشان داد که مقدار جذر میانگین مربعات خطأ (RMSE%) برای عملکرد ذرت، گندم، نخود و چندرقند به ترتیب $9/5$, $4/8$, $5/8$ و $5/5$ درصد بود که همگی کمتر از 10 درصد مطلوب می‌باشند. البته در پیش‌بینی مراحل نموی گونه‌ها قابلیت مدل کمتر بود ولی حداکثر مقدار RMSE% از $12/9$ درصد تجاوز نکرد. به علاوه در مورد تمام متغیرهایی که تعیین اعتبر بر روی آنها انجام شد تفاوت معنی‌داری بین شیب و عرض از مبدأ خط رگرسیون بین مقادیر پیش‌بینی شده و مشاهدات و خط $1:1$ مشاهده نشد (جدول ۱).

مدل سوکروز در مطالعات قبلی نیز جهت پیش‌بینی رشد و نمو عملکرد محصولات زراعی با نتایج مطلوبی به کار رفته است (Bannayan and Crout, 1999; Easterling, 2007) خودریان (1993) و Wolf (Goudiraan and van Laar, 1993) و لوف (Wolf, 2002) مدل سوکروز را پس از تعیین اعتبر برای مطالعات تعییر اقلیم در مقیاس منطقه‌ای مورد استفاده قرار داده‌اند. کوچکی و نصیری پیش‌بینی عملکرد و مراحل فنولوژی گندم در ایران گزارش کرده‌اند.

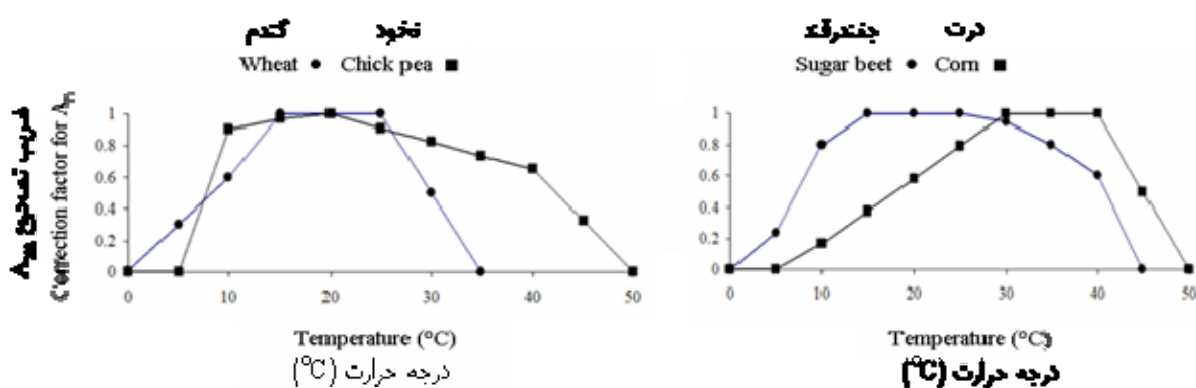
لازم به ذکر است که در مدل علاوه بر فتوستز، تنفس نیز طبق قاعده Q_{10} تابع دما بوده و در نتیجه نهایتاً فتوستز خالص کانوپی برای غلظت CO_2 و دما تصحیح می‌شود. برای اجرای مدل به داده‌های روزانه دما حداکثر و حداقل و نیز میزان تابش خورشیدی نیاز است که مقادیر آنها در شرایط فعلی و شرایط تعییر اقلیم برای مناطق مورد مطالعه محاسبه شد (Koocheki et al., 2015).

واسنجی و تعیین اعتبر مدل: مدل SUCROS پیش از به کارگیری در مطالعه تعییر اقلیم ابتدا واسنجی و سپس تعیین اعتبر شد. واسنجی عبارتست از تعیین پارامترها و ضرایب مدل تا حصول پیش‌بینی مطلوب از مراحل فنولوژی و عملکرد و سایر خصوصیات تحت بررسی. این عمل معمولاً با اجرای مدل، تصحیح پارامترها و ضرایب جهت اصلاح نتایج نادرست و تکرار آن تا دستیابی به نتیجه مطلوب انجام می‌شود بنابراین قبل از تعیین اعتبر مدل اجرای مرحله واسنجی آن ضروری است. همانگونه که ذکر شد پارامترها و ضرایب مدل از فایل داده‌های گیاهی مدل WOFOST برای گیاهان تحت بررسی استخراج شد البته برخی از این مقادیر در طی مرحله واسنجی تصحیح گردید. مدل پس از واسنجی براساس داده‌های حاصل از آزمایش‌هایی که در شرایط بهینه رشد هر محصول اجرا شده بود، تعیین اعتبر گردید.

قابلیت مدل در پیش‌بینی عملکرد و مراحل نموی گونه‌های زراعی تحت بررسی با محاسبه جذر میانگین مربعات خطأ (RMSE) ارزیابی شد (معادله ۴):

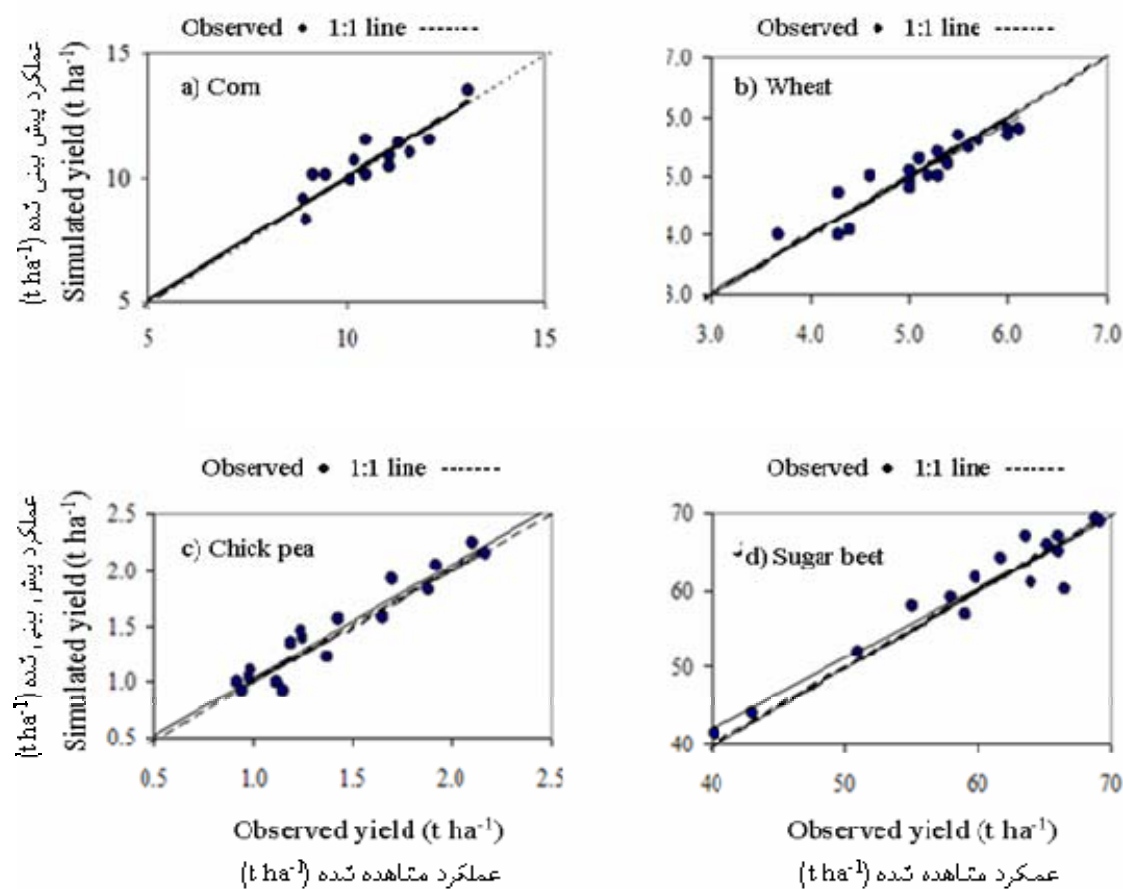
$$\text{RMSE}(\%) = \sqrt{\frac{\sum (O_i - P_i)^2}{n}} \cdot \frac{100}{\bar{O}} \quad (4)$$

که در آن O_i و P_i به ترتیب مقادیر مشاهده شده و پیش‌بینی شده، n تعداد مشاهدات و \bar{O} میانگین مشاهدات می‌باشد.



شکل ۲- توابع تعیین شده در مدل سوکروز برای توصیف تأثیر دما بر سرعت فتوستز برگ، ضریب تصحیح در محور Y نسبت A_m در دمای بهینه به مقدار آن در دمای‌های مختلف می‌باشد

Figure 2- The function defined in SUCROS model for describing the effect of temperature on leaf assimilation rate, correction factor indicates the ratio of A_m at optimum temperature to its value at different temperatures



شکل ۳- رگرسیون بین مقادیر مشاهده شده و مقادیر پیش‌بینی شده عملکرد ذرت، گندم، نخود و چغندر قند به وسیله مدل سوکروز و مقایسه آن با خط ۱:۱

Figure 3- Comparison between observed and simulated yields of wheat, corn, chick pea and sugar beet. Regression and 1:1 lines are shown for each crop. Details of validation results are given in Table 1

به ترتیب در ذرت، گندم، نخود و چغندر قند به میزان ۴/۶، ۳/۷، ۵/۶ و ۷/۳ درصد خشی کرد که در میانگین معادل ۵/۶ درصد و در مقایسه با کاهش عملکرد ناشی از دما ناچیز می‌باشد.

مقایسه نتایج شبیه‌سازی (شکل ۴) بهوضوح نشان می‌دهد که نقش مثبت CO_2 در ذرت (C₄) کمتر از گونه‌های C₃ است. اختلاف در واکنش گونه‌های C₃ و C₄ به افزایش غلظت CO_2 در مطالعات مختلف گزارش شده است. یانگ و همکاران (Yang *et al.*, 2006) بیان داشتند که افزایش عملکرد ناشی از غلظت‌های بالای CO_2 کمتر از واکنش فنتوستزر بوده و برای گیاهان زراعی C₃ و C₄ به ترتیب بین ۱۰-۲۵ و ۱۰-۰ درصد می‌باشد.

تأثیر تغییر اقلیم بر عملکرد

به منظور تکمیل تأثیر افزایش دما و اثر مثبت افزایش غلظت CO_2 مدل سوکروز برای هر محصول دو مرتبه به اجرا درآمد. در اجرای نخست تنها افزایش دما برای سال هدف در مدل تعریف شد و در اجرای دوم تأثیر توأم دو عامل بر عملکرد مورد ارزیابی قرار گرفت. نتایج نشان داد که عملکرد ۴ محصول تحت بررسی در هر دو شرایط کاهش خواهد یافت (شکل ۴) و بهطور کلی بیشترین میزان کاهش عملکرد مربوط به چغندر قند و کمترین آن مربوط به نخود خواهد بود. به علاوه اثرات منفی دما به مرتبه شدیدتر از نقش حاصلخیز کننده CO_2 می‌باشد. افزایش غلظت CO_2 تأثیر منفی دماهای بالا را

جدول ۱- نتایج تعیین اعتبار مدل سوکروز بر اساس مقادیر جذر میانگین مربعات خط (RMSE) و درصد آن (RMSE%) و نیز عرض از مبدأ (a)، شبیه (b) و ضریب تبیین (r^2) خط رگرسیون بین مقادیر مشاهده و پیش‌بینی شده

Table 1- Results of validation of SUCROS model based on the values of root mean square error (RMSE) and its percentage (RMSE%) together with intercept (a), slope (b) and coefficient of determination (r^2) for regression line between observed and simulated yields

	n	\bar{X}	RMSE	RMSE (%)	Regression coefficients		
					a	b	r^2
Corn							
عملکرد دانه Grain yield (t/ha)	14	9.8	0.57	5.8	0.18	0.98	0.96
روز تا رسیدگی Days to maturity	8	132	12.3	9.3	2.12	1.03	0.94
روز تا گلدهی Days to flowering	8	69	7.3	10.5	3.6	1.12	0.92
Wheat							
عملکرد دانه Grain yield (t/ha)	19	5.2	0.75	4.8	0.19	0.95	0.97
روز تا رسیدگی Days to maturity	12	276	26.9	9.7	3.11	0.91	0.94
روز تا گلدهی Days to flowering	12	219	23.6	10.7	4.15	1.18	0.90
Chick pea							
عملکرد دانه Grain yield (t/ha)	17	1.51	0.14	9.6	0.012	1.02	0.91
روز تا رسیدگی Days to maturity	9	118	13.2	11.2	3.12	1.15	0.90
روز تا گلدهی Days to flowering	9	73	9.4	12.9	4.11	1.21	0.85
Sugar beet							
عملکرد ریشه Tuber yield (t/ha)	18	59	3.27	5.5	5.58	0.91	0.92
روز تا رسیدگی Days to maturity	18	188	19	10.1	2.11	1.14	0.87

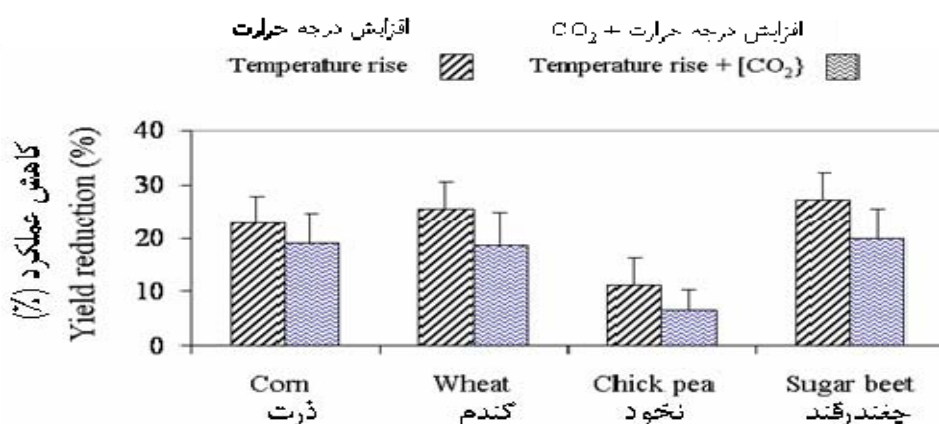
نتایج این محققین نشان داد که افزایش غلظت CO_2 تنها ۴ درصد از اثرات منفی افزایش دما و کاهش بارش را جبران خواهد کرد. نتایج مال و همکاران (Mall *et al.*, 2004) در مورد تأثیر تغییر اقلیم بر تولید سویا در هندوستان نیز حاکی از آن است که کاهش عملکرد ناشی از افزایش دما از طریق تأثیر مثبت CO_2 جبران نخواهد شد. لانگ و همکاران (Long *et al.*, 2006) براساس شواهد آزمایشی بیان داشتند که نقش حاصلخیز کننده CO_2 در تولید گیاهان به مراتب کمتر از مقداری است که انتظار می‌رود.

در شکل ۵ تغییرات عملکرد ۴ محصول زراعی تحت بررسی در این تحقیق در شرایط اقلیمی سال ۲۰۵۰ میلادی در مناطق اصلی کشت این گیاهان در کشور که براساس آمار سطح زیر کشت و میزان تولید آنها تعیین شده (Ministry of Jehad e Agriculture, 2011) ارائه شده است. نتایج ارائه شده در نقشه‌های پیش‌بینی (شکل ۵)

اورت و همکاران (Ewert *et al.*, 2002) براساس نتایج مدل‌های شبیه‌سازی اظهار داشتند افزایش دما و کاهش رطوبت خاک اگرچه عملکرد گیاهان زراعی را تا سال ۲۰۵۰ میلادی کاهش خواهد داد ولی غنی‌سازی ناشی از افزایش غلظت گاز کربنیک این اثرات را تا حد زیادی جبران خواهد کرد. بهنظر می‌رسد که این اثرات منطقه‌ای بوده و در مناطق معتدل شمالي افزایش دمای تابستان و بهار به دلیل طولانی‌تر کردن فصل رشد در ترکیب با غلظت CO_2 یک مزیت محاسب شود ولی در آب و هوای نیمه خشک افزایش دمای این فضول بسیار نامطلوب بوده و بروز تنفس گرما و خشکی تولید را محدود خواهد کرد (Rosenzweig and Tubiello, 1997) (Fulco and Senthil, 2006) براساس سناریوی افزایش شدید غلظت CO_2 پیش‌بینی کردند که تا سال ۲۰۷۰ میلادی عملکرد گندم در بخش‌هایی از استرالیا تا ۲۵ درصد کاهش می‌یابد.

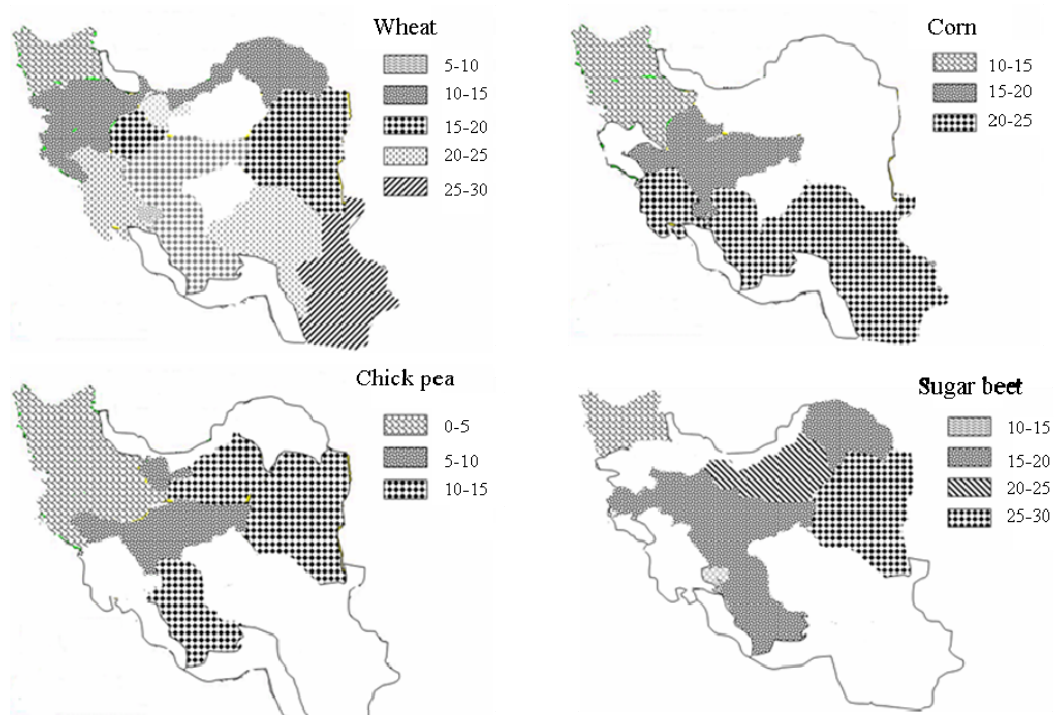
عملکرد گندم ۵-۳۰ درصد، ذرت ۱۰-۲۵ درصد، نخود ۰-۱۵ درصد و چغندرقند ۱۰-۳۰ درصد کاهش می‌باید.

نشان می‌دهد که تا سال ۲۰۵۰ میلادی و براساس سناریوی A1F (تداوم وضع فعلی و انتشار زیاد CO_2) مجمع‌بین‌الدول تغییر اقلیم،



شکل ۴- پیش‌بینی میزان کاهش عملکرد ۴ محصول زراعی برای سال ۲۰۵۰ میلادی نسبت به عملکرد فعلی، جهت برآورد عملکرد هر محصول مدل سوکروز یک بار تنها با اثر گرمایش و یک بار با اثر توأم افزایش دما و غلظت CO_2 اجرا شده است. خطوط عمودی انحراف معیار مربوط به مناطق مختلف کشور می‌باشند

Figure 4- Predicted yield reduction in the studied crops for the year 2050 compared to current yields, yield are predicted using SUCROS model under temperature rise and temperature rise + increased CO_2 concentration. Vertical bars show SE of gions



شکل ۵- پیش‌بینی میزان کاهش عملکرد (%) در سال ۲۰۵۰ میلادی نسبت به شرایط فعلی برای ۴ محصول زراعی در مناطق اصلی کشت آنها در کشور

Figure 5- Predicted yield reduction (%) for year 2050 compared to current conditions for wheat, corn, chick pea and sugar beet in main cropping regions across the country

عملکرد و موقعیت جغرافیایی محل مطالعه می‌باشد، کاهش عملکرد محصولات زراعی در مناطق گرم و خشک جهان نقطه مشترک همه مطالعات است. البته پیش‌بینی‌های نیز در مورد افزایش عملکرد در شرایط تغییر اقلیم وجود دارد که عمدتاً مربوط به کانادا، شمال آمریکا و اروپای شمالی می‌باشد (Ewert *et al.*, 2002) یعنی مناطقی که در شرایط فعلی دماهای پایین محدود‌کننده رشد محصولات زراعی است.

توزیع کاهش عملکرد ۴ محصول تحت بررسی در این تحقیق در سطح کشور (شکل ۵) تا حد زیادی با الگوی مکانی افزایش دما در سال هدف که توسط کوچکی و همکاران (Koocheki *et al.*, 2015) توصیف شده انتطاق دارد به طوری که شدت کاهش عملکرد از غرب به شرق و از شمال به جنوب کشور افزایش می‌یابد. بنابراین به‌نظر می‌رسد که افزایش دما مهمترین عامل مؤثر بر کاهش عملکرد محصولات زراعی در کشور است.

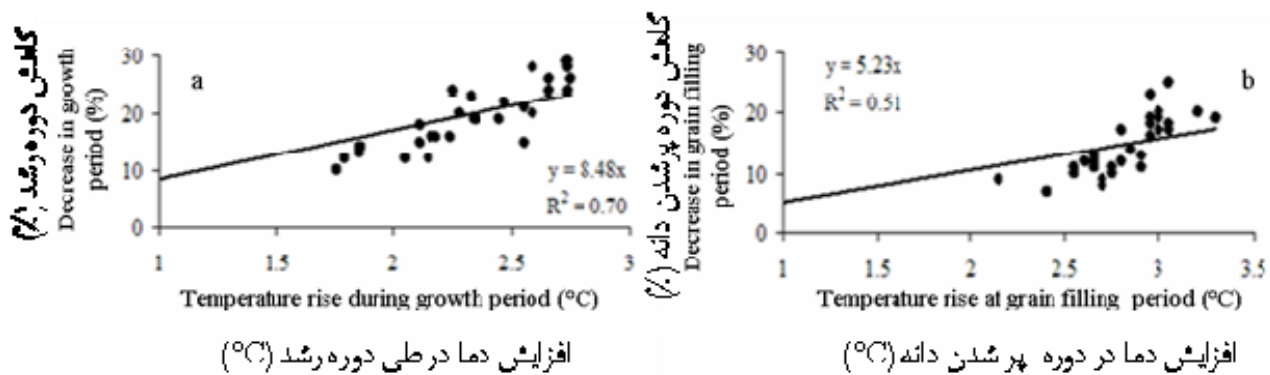
تغییر اقلیم و طول مراحل نمو

افزایش دما ناشی از گرمایش جهانی باعث کوتاه‌تر شدن طول دوره رشد در هر ۴ گونه تحت بررسی در این تحقیق شد، البته شدت تأثیر بین گونه‌ها متفاوت بود. براساس پیش‌بینی‌های انجام شده به‌وسیله مدل گردش عمومی GFDL (Koocheki *et al.*, 2015) تا سال ۲۰۵۰ میلادی میانگین افزایش دما در طی دوره رشد گندم (کاشت تا رسیدگی) در مناطق تحت بررسی $2/3^{\circ}\text{C}$ در بازه‌ای بین $1/8$ تا $2/8^{\circ}\text{C}$ خواهد بود و برآورد میانگین افزایش دما برای مرحله گله‌ی گندم $2/6^{\circ}\text{C}$ تا $2(3/1)^{\circ}\text{C}$ و برای مرحله پر شدن دانه $2/2$ تا $2/3^{\circ}\text{C}$ می‌باشد.

این افزایش دما باعث خواهد شد تا در سال هدف در مناطق مختلف کشور کل دوره رشد گندم به‌طور متوسط $19/4$ درصد و دوره پر شدن دانه $14/3$ درصد کاهش یابد. البته دامنه این تغییرات بسیار وسیع بوده و برای مثال در مورد کل دوره رشد گندم بین 10 تا 29 درصد برآورد شد. بررسی رابطه بین افزایش دما و طول کل دوره رشد نشان داد که در گندم به‌ازای هر 1°C افزایش در میانگین دمای دوره رشد، طول این دوره در حدود $8/5$ درصد کاهش می‌یابد (شکل ۶-a).

با توجه به تفاوت بین تعداد روزهای کاشت تا رسیدگی در مناطق مختلف، این کاهش در حدود 19 روز به‌ازای هر 1°C افزایش دما در طی دوره رشد خواهد بود. طول دوره پر شدن دانه نیز با افزایش دما کاهش می‌یابد که مقدار آن $6/5$ درصد یا تقریباً 4 روز به‌ازای هر 1°C افزایش دما در طی دوره پر شدن دانه است (شکل ۶-b).

شواهد متعدد نشان داده است که تا سال ۲۰۳۰ میلادی عملکرد محصولات زراعی در مقیاس جهانی به دلیل پی‌آمدهای تغییر اقلیم بین 5 تا 10 درصد کاهش خواهد یافت و این کاهش در مورد گندم، Kang *et al.*, (2003) پیش‌بینی‌های اردا و همکاران (Erda *et al.*, 2005) نیز نشان داده است که در طی 80 تا 20 سال آینده تغییر اقلیم با احتساب اثرات مثبت افزایش CO_2 ، عملکرد گندم، برنج و ذرت را در مقیاس جهانی تا 37 درصد کاهش خواهد داد. مطالعات انجام شده در مقیاس منطقه‌ای نیز اغلب حاکی از کاهش عملکرد محصولات زراعی در کشورهای مختلف است. کوچکی و نصیری (Koocheki and Nassiri, 2008) با شبیه‌سازی عملکرد گندم به‌وسیله مدل سوکروز میزان کاهش عملکرد در سال 2050 را براساس سناریوی انتشار متوسط IPCC، بین 13 تا 28 درصد در مناطق مختلف کشور گزارش کردن. تفاوت عمدۀ تحقیق قبلی با مطالعه حاضر سناریوهای اقلیمی و به ذکر است که کاهش عملکرد گندم دیم کشور در سال 2050 در حدود 35 درصد برآورد شده (Koocheki *et al.*, 2015) که به‌مراتب بیشتر از گندم آبی می‌باشد. توپیللو و همکاران (Tubiello *et al.*, 2000) در مطالعه‌ای که به‌وسیله مدل CROPSYD بر روی برخی گیاهان زراعی در ایتالیا انجام شد پیش‌بینی کردند که با دو برابر شدن غلظت CO_2 ، افزایش دما به میزان 4 درجه سانتی‌گراد و 10 درصد افزایش بارش عملکرد گندم، ذرت، سویا، جو و سورگوم در این کشور به ترتیب 20 ، 25 ، 30 ، 35 و 50 درصد کاهش خواهد یافت. تائو و همکاران (Tao *et al.*, 2009) کاهش عملکرد ذرت در استان هنان چین را برای سال‌های 2020 و 2050 و میلادی به ترتیب معادل $15/7$ و $24/7$ درصد پیش‌بینی کردند. انور و همکاران (Anwar *et al.*, 2007) با شبیه‌سازی عملکرد گندم دیم در جنوب غربی استرالیا نشان دادند که براساس دو سناریوی زیاد و متوسط انتشار CO_2 عملکرد گندم دیم تا سال 2070 میلادی بیش از 29 درصد کاهش می‌یابد. ژیونگ و همکاران (Xiong *et al.*, 2007) نیز با استفاده از مدل CERES-MAIZE و براساس دو سناریوی تغییر اقلیم کاهش عملکرد ذرت در شمال چین را تا نیمه قرن حاضر حدود 25 درصد برآورد کردند. نتایج ارائه شده از اذوقان (Özdogan, 2011) که براساس سناریوهای مختلف تغییر اقلیم انجام شده نیز حاکی از آن است که عملکرد گندم در شمال غربی کشور ترکیه تا نیمه قرن حاضر بین 5 تا 30 درصد کاهش خواهد یافت. علی‌رغم تفاوت‌های موجود بین پیش‌بینی‌ها که ناشی از عوامل مختلف از جمله سناریوی تغییر اقلیم، مدل شبیه‌سازی استفاده شده برای پیش‌بینی



شکل ۶- رابطه بین افزایش دما در کل دوره رشد (a) و در مرحله پر شدن دانه (b) با طول مراحل رشد در گندم. داده ها مربوط به مناطق مختلف کشت گندم در کشور می باشند، میزان افزایش دما در هر ایستگاه نتیجه پیش بینی مدل گردش عمومی برای سال ۲۰۵۰ میلادی می باشد و طول مراحل رشد در سال هدف و در هر منطقه به وسیله مدل سوکروز برآورد شده است

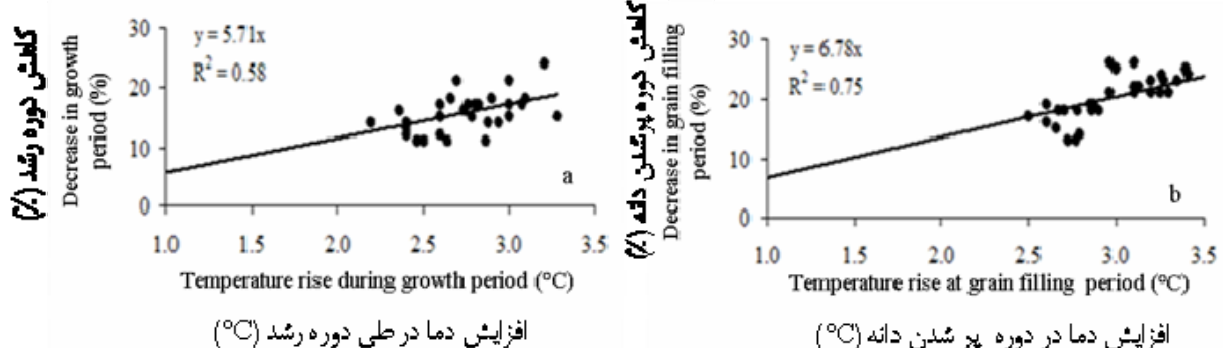
Figure 6- Relation between temperature rise during the whole growth period (a) and in grain filling period (b) and length of growth stages in wheat. Dtat points obtained for different regions across the country, change in temperature is predicted by GCM for year 2050 and length of growth stages for the target year is estimated by SURCOS model

میلادی در مناطق مختلف کشور بین $1/2$ و $2/4^{\circ}\text{C}$ تا $1/2$ و میانگین آن در حدود $1/8^{\circ}\text{C}$ پیش بینی شد. این افزایش دما باعث خواهد شد میانگین طول دوره کاشت تا رسیدگی نخود در حدود 14° درصد کاهش یابد که معادل 7 درصد (تقریباً 6 روز) بهاری هر 1°C افزایش دما می باشد (شکل ۸).

در مورد چند رقند نیز افزایش میانگین دما در طی کل فصل رشد برای سال هدف $2/8^{\circ}\text{C}$ پیش بینی شد که باعث کاهشی معادل 15 درصد در طول دوره کاشت تا رسیدگی این گیاه می شود. رابطه رگرسیون بین این دو متغیر (شکل ۸) نشان داد که با هر 1°C افزایش دما در طی دوره رشد، طول این دوره 4 درصد (معادل 9 روز) کوتاه تر خواهد شد.

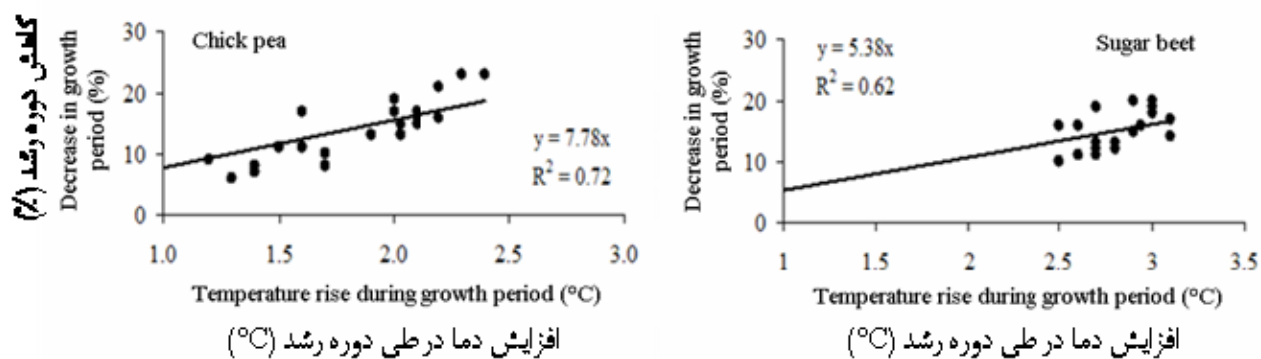
میانگین افزایش دما سال هدف در طی کل دوره رشد (کاشت تا رسیدگی) ذرت به $2/8^{\circ}\text{C}$ در بازه $3/3-2/2^{\circ}\text{C}$ خواهد رسید. این افزایش دما باعث خواهد شد که در این گیاه میانگین طول دوره رشد $15/7$ درصد و طول دوره پر شدن دانه تا 18 درصد کاهش یابد. ارزیابی رابطه بین دو متغیر نشان داد هر 1°C افزایش میانگین دما در طی رشد، باعث $5/7$ کاهش در طول دوره کاشت تا رسیدگی ذرت می شود (شکل ۷-a) که تقریباً معادل $8/5$ روز بهاری هر 1°C افزایش دما می باشد. به علاوه طول دوره پر شدن دانه در ذرت نیز در واکنش به افزایش دما کاهش می یابد و میزان آن با هر 1°C افزایش دما در طی دوره پر شدن دانه در حدود $6/3$ درصد برآورد شد (شکل ۷-b).

دامنه افزایش دما در طی کل دوره رشد نخود برای سال ۲۰۵۰



شکل ۷- رابطه بین افزایش دما در کل دوره رشد (a) و در مرحله پر شدن دانه (b) با طول مراحل رشد در ذرت. داده ها مربوط به مناطق مختلف کشت ذرت در کشور می باشند، میزان افزایش دما در هر ایستگاه نتیجه پیش بینی مدل گردش عمومی برای سال ۲۰۵۰ میلادی می باشد و طول مراحل رشد در سال هدف و در هر منطقه به وسیله مدل سوکروز برآورد شده است

Figure 7- Relation between temperature rise during the whole growth period (a) and in grain filling period (b) and length of growth stages in corn. Dtat points obtained for different regions across the country, change in temperature is predicted by GCM for year 2050 and length of growth stages for the target year is estimated by SURCOS model



شکل ۸- رابطه بین افزایش دما و طول مراحل رشد در نخود و چغندر قند. داده‌ها مربوط به مناطق مختلف کشت این محصولات در کشور می‌باشند، میزان افزایش دما در هر ایستگاه نتیجه پیش‌بینی مدل گردش عمومی برای سال ۲۰۵۰ میلادی می‌باشد و طول مراحل رشد در سال هدف و در هر منطقه به‌وسیله مدل سوکروز برآورد شده است

Figure 8- Relation between temperature rise and length of growth stages in chick pea and sugar beet. Data points obtained for different regions across the country, change in temperature is predicted by GCM for year 2050 and length of growth stages for the target year is estimated by SURCOS model

تأثیر افزایش دما بر عملکرد

نتایج نشان داد که در هر چهار محصول تحت بررسی با افزایش دما عملکرد کاهش یافت. در گندم افزایش میانگین دما در طی کل دوره رشد تا ۱°C تأثیری بر عملکرد نداشت ولی در بالاتر از این دما، عملکرد دانه به میزان ۱۴/۵ درصد به‌ازای هر ۱°C افزایش دما کاهش خواهد یافت (شکل a-۹). تأثیر افزایش دما بر عملکرد در مراحل گلدهی و پر شدن دانه شدیدتر است و براساس نتایج این تحقیق در سال هدف هر ۱°C افزایش میانگین دما در طی این دو مرحله، عملکرد دانه را به ترتیب ۱۶/۲ و ۱۹/۸ درصد کاهش خواهد داد (شکل b-۹ c-۹).

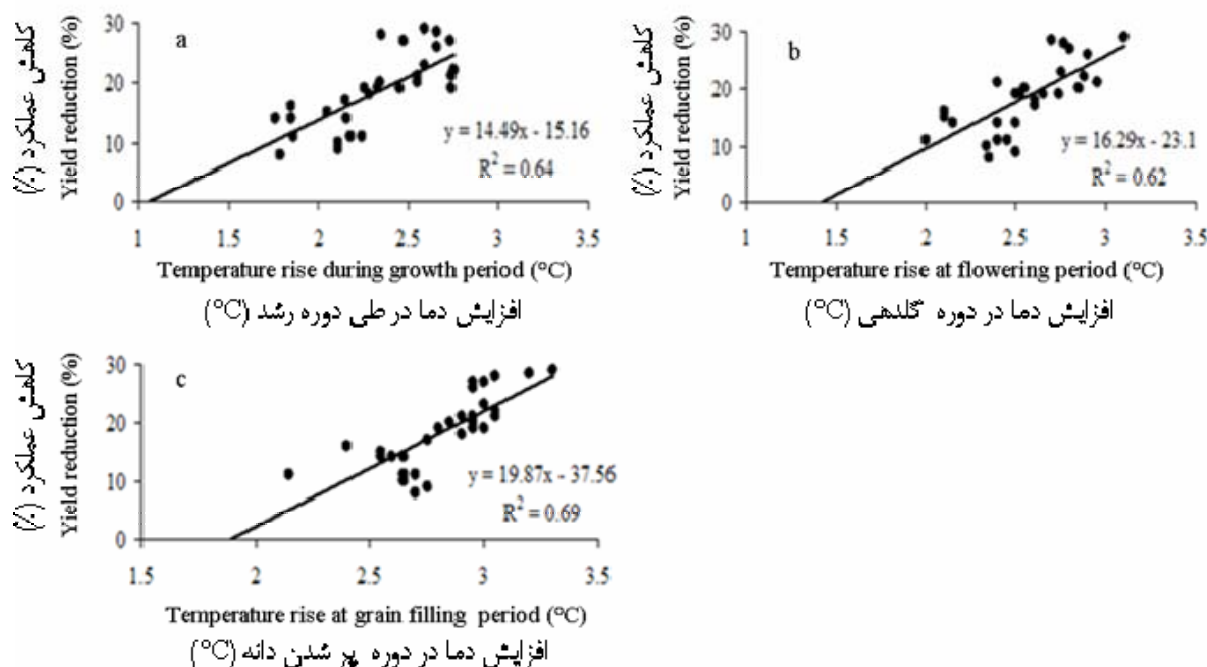
ضرایب معادلات رگرسیون نشان می‌دهد که کاهش عملکرد در مرحله گلدهی از دمای بالاتر از ۱/۵°C و در مرحله پر شدن دانه از دمای بیشتر از ۱/۸°C آغاز خواهد شد.

افزایش دما در طی کل دوره رشد تا دمای ۱/۶°C و در طی دوره پر شدن دانه تا ۱/۷°C تأثیری بر عملکرد ذرت نداشت ولی نتایج نشان داد که چنانچه میانگین دمای دوره کاشت تا رسیدگی و مرحله پر شدن دانه از مقادیر فوق بالاتر بروود عملکرد به ترتیب ۱۴/۸ و ۱۶/۸ درصد به‌ازای هر ۱°C افزایش دما کاهش می‌یابد (شکل a-۱۰ b-۱۰).

عملکرد نخود تا ۱/۱°C و چغندر قند تا ۱/۶°C افزایش میانگین دما در کل دوره رشد تغییر چشمگیری نداشت ولی به‌ازای هر ۱°C افزایش دما به بالاتر از این مقادیر، عملکرد نخود ۸/۹ و عملکرد چغندر قند ۱۵/۸ درصد کاهش یافت (شکل ۱۱).

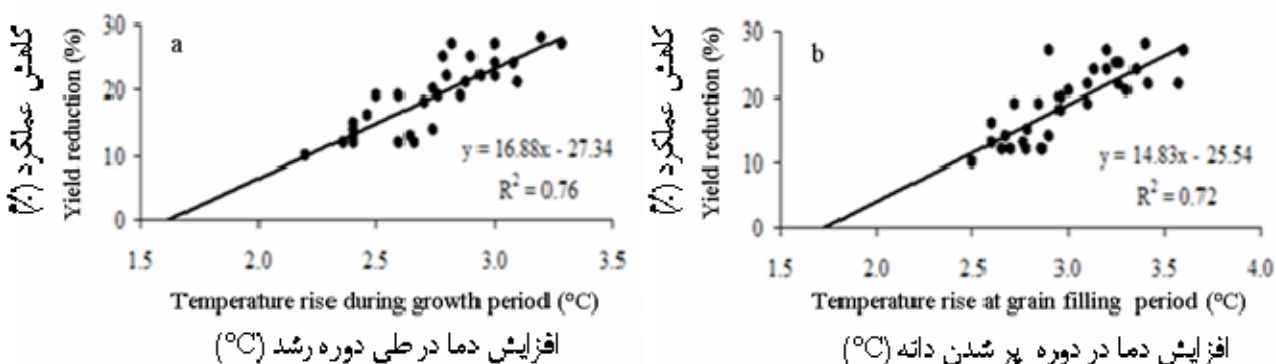
از آنجا که تاکنون شواهدی قطعی مبنی بر تأثیر مستقیم افزایش CO_2 بر تسریع مراحل فنولوژی گیاهان در اختیار نمی‌باشد (Craufurd and Wheeler, 2009) به‌نظر می‌رسد که تغییر طول مراحل رسیدگی که در این مطالعه نیز مشهود می‌باشد عمدهاً تابع افزایش دما است. ضرایب تبیین ارائه شده در شکل‌های ۶، ۷ و ۸ نشان می‌دهد که ۶۰ تا ۷۰ درصد از تغییرات پیش‌بینی شده در طول دوره رشد گیاهان تحت بررسی توسط دما در طی دوره رشد کنترل می‌شود.

نتایج بسیاری از تحقیقات نشان داده است که در شرایط تغییر اقلیم مراحل نموی بسیاری از گیاهان زراعی کوتاه‌تر خواهد شد که البته میزان آن به گونه گیاهی و شدت تغییرات اقلیمی بستگی دارد. ژیائو و همکاران (2008) نشان دادند که در طی چند دهه اخیر طول کل دوره رشد گندم بهاره در مناطق نیمه خشک چین به‌ازای هر ۱ درجه سانتی‌گراد افزایش دما بین ۸ تا ۱۰ روز کوتاه‌تر شده است. پیش‌بینی‌های یو و همکاران (2009) نشان داده است که در بخش عمده‌ای از چین طول دوره رشد گندم تا پایان قرن حاضر به دلیل افزایش دما بین ۲۰ تا ۳۰ روز کاهش خواهد یافت. سادراس و مونزون (2006) (Sadras and Monzon, 2006) با بررسی رابطه بین عملکرد گندم و تغییرات دما در طی یک دوره ۳۰ ساله (۱۹۷۱-۲۰۰۰) در استرالیا و آرژانتین نشان دادند که به‌ازای هر ۱ درجه سانتی‌گراد افزایش میانگین دما طول دوره رسانیدگی گندم ۷ روز کاهش می‌یابد که عمدهاً به دلیل کاهش طول دوره سبز شدن تا گلدهی بوده و فاصله گلدهی تا رسیدگی تقریباً بدون تغییر مانده است. ژیائو و همکاران (Tao et al., 2009) نیز کوتاه‌تر شدن طول دوره رشد ذرت در جنوب چین را برای سال‌های ۲۰۵۰، ۲۰۲۰ و ۲۰۸۰ پیش‌بینی کردند. میلادی به ترتیب ۱۴، ۲۵ و ۳۵ درصد پیش‌بینی کردند.



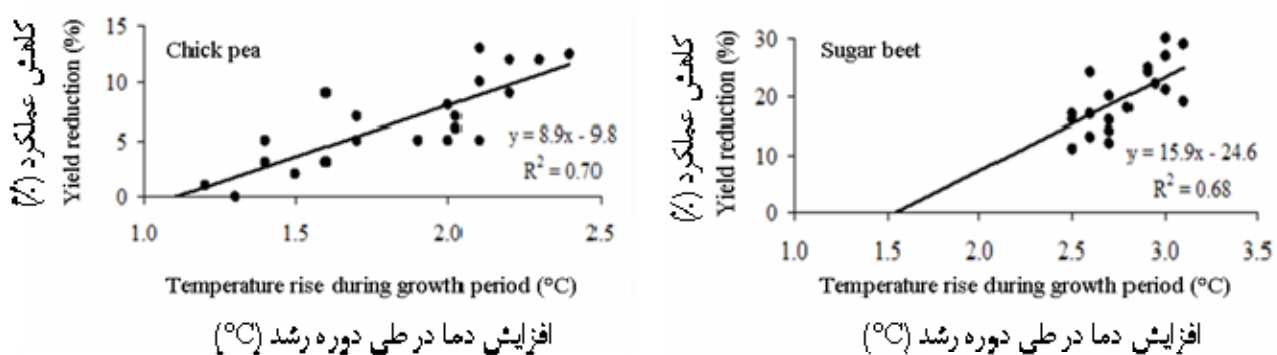
شکل ۹- رابطه بین افزایش دما در کل دوره رشد (a)، مرحله گلدهی (b) و پر شدن دانه (c) با میزان کاهش عملکرد در گندم. داده‌ها مربوط به مناطق مختلف کشت گندم در کشور می‌باشند، میزان افزایش دما در هر ایستگاه نتیجه پیش‌بینی مدل گردش عمومی برای سال ۲۰۵۰ میلادی می‌باشد و کاهش عملکرد در دوره هدف و در هر منطقه به وسیله مدل سوکروز برآورد شده است

Figure 9- Relation between temperature rise during the whole growth period (a), flowering stage (b) and in grain filling period (c) and yield reduction in wheat. Dtat points obtained for different regions across the country, change in temperature is predicted by GCM for year 2050 and yield reduction for the target year is estimated by SURCOS model



شکل ۱۰- رابطه بین افزایش دما در کل دوره رشد (a) و در مرحله پرشدن دانه (b) با میزان کاهش عملکرد در ذرت. داده‌ها مربوط به مناطق مختلف کشت ذرت در کشور می‌باشند، میزان افزایش دما در هر ایستگاه نتیجه پیش‌بینی مدل گردش عمومی برای سال ۲۰۵۰ میلادی می‌باشد و کاهش عملکرد در سال هدف و در هر منطقه به وسیله مدل سوکروز برآورد شده است

Figure 10- Relation between temperature rise during the whole growth period (a) and during the grain filling period (b) and yield reduction in corn. Dtat points obtained for different regions across the country, change in temperature is predicted by GCM for year 2050 and yield reduction for the target year is estimated by SURCOS model



شکل ۱۱- رابطه بین افزایش دما و میزان کاهش عملکرد در نخود و چغندر قند. داده‌ها مربوط به مناطق مختلف کشت این دو محصول در کشور می‌باشند، میزان افزایش دما در هر ایستگاه تبیجه پیش‌بینی مدل گردش عمومی برای سال ۲۰۵۰ میلادی می‌باشد و کاهش عملکرد در سال هدف در هر منطقه به‌وسیله مدل SURCOS مدل سوکروز برآورد شده است

Figure 11- Relation between temperature rise and yield reduction for chick pea and sugar beet. Data points obtained for different regions across the country, change in temperature is predicted by GCM for year 2050 and yield reduction for the target year is estimated by SURCOS model

تأثیر طول مراحل رشد بر عملکرد

نتایج ارائه شده در شکل‌های ۶ و ۸ تأثیر افزایش دما بر کاهش دوره رشد محصولات زراعی مختلف مورد ارزیابی قرار گرفت، شکل‌های ۹، ۱۰ و ۱۱ نیز نشان داد که افزایش دما ناشی از تعییر اقلیم چگونه بر عملکرد تأثیر خواهد گذاشت. بر این اساس به نظر می‌رسد که کاهش عملکرد پیش‌بینی شده برای سال هدف تا حد زیادی به دلیل کاهش طول مراحل رشد این گیاهان باشد. بررسی این روابط نشان داد که در گندم به‌ازای هر یک درصد کاهش در طول دوره کاشت تا رسیدگی عملکرد دانه ۹۴٪ درصد کاهش می‌یابد (شکل a-۱۲) در حالی که یک درصد کاهش در طول دوره پر شدن دانه عملکرد را ۱/۲ درصد کاهش می‌دهد (شکل b-۱۲).

در ذرت رابطه رگرسیونی بین کاهش کل دوره رشد و عملکرد معنی‌دار نبود ولی کاهش عملکرد به‌طور معنی‌داری از کاهش طول دوره پر شدن دانه تبعیت داشت. نتایج نشان داد که تا سال هدف به‌ازای هر یک درصد کاهش طول دوره پر شدن دانه عملکرد ذرت در حدود ۹/۳۰ درصد کاهش می‌یابد (شکل c-۱۲). در مورد نخود و چغندر قند نیز رابطه معنی‌داری بین کاهش عملکرد و کاهش کل دوره رشد (کاشت تا رسیدگی) به‌دست آمد. نتایج نشان داد که تا سال ۲۰۵۰ میلادی با هر ۱ درصد کاهش طول دوره رشد، عملکرد نخود و چغندر قند به ترتیب ۰/۴۸ و ۰/۳ درصد کاهش خواهد یافت (شکل d-e-۱۲).

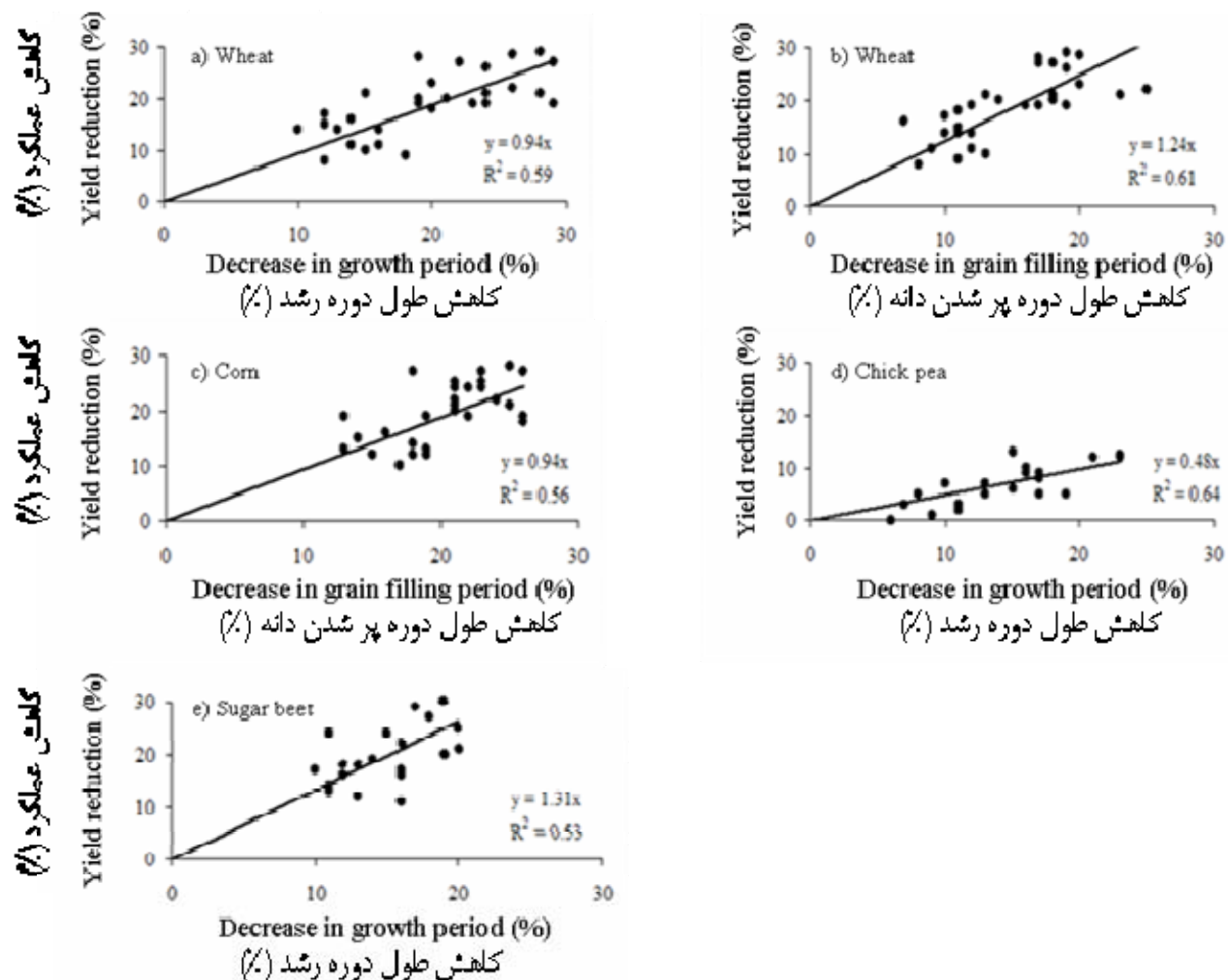
یافته‌های این تحقیق حاکی از آن است که در حدود ۵۰ تا ۶۰ درصد از کاهش عملکرد محصولات زراعی در شرایط اقلیمی سال ۲۰۵۰ به دلیل کوتاه‌تر شدن طول کل دوره رسیدگی و طول دوره پر

این نتایج نشان می‌دهد که در حدود ۷۰ درصد از کاهش عملکرد پیش‌بینی شده برای محصولات تحت بررسی به دلیل افزایش دما در طول دوره رشد و نیز مراحل حساس نمو می‌باشد به علاوه بسته به مرحله نمو و گونه گیاهی با افزایش میانگین دما به میزان ۱-۲ درجه سانتی‌گراد کاهش عملکرد آغاز خواهد شد. کوچکی و نصیری (Koocheki and Nassiri, 2008) نیز کاهش عملکرد گندم را با افزایش دما به میزان دو درجه سانتی‌گراد یا بیشتر در مرحله گلدهی پیش‌بینی کرده‌اند. رابطه افزایش دما ناشی از گرمایش جهانی و کاهش عملکرد گیاهان زراعی در سایر مطالعات نیز گزارش شده است. لوبل و آسنر (Lobel and Asner, 2000) نشان دادند که عملکرد ذرت و سویا (*Glycine max*) در آمریکا به‌ازای هر یک درجه سانتی‌گراد افزایش میانگین دما در طی فصل رشد ۱۷٪ کاهش می‌یابد. پنگ و همکاران (Peng et al., 2004) کاهش عملکرد برنج در فیلیپین را در حدود ۱۰ درصد به‌ازای هر یک درجه سانتی‌گراد افزایش دما گزارش کردند و برآورد یو و همکاران (You et al., 2009) از کاهش عملکرد گندم در چین ۳ تا ۱۰ درصد به‌ازای هر یک درجه سانتی‌گراد افزایش دما بوده است.

باید توجه داشت که تأثیر افزایش دما بر عملکرد تا حد زیادی به منطقه تحت بررسی بستگی دارد. برای مثال نتایج استرلینگ و همکاران (Easterling, 2007) و توییسلو و همکاران (Tubiello et al., 2007) حاکی از آن است که در مناطق معتدل افزایش دما بین ۲-۳ درجه سانتی‌گراد اثرات مثبتی بر تولید محصولات زراعی دارد و کاهش عملکرد در دماهای بالاتر آغاز خواهد شد؛ در حالی که اورتیز و همکاران (Ortiz et al., 2008) افزایش دما به بالاتر از ۱-۲ درجه سانتی‌گراد را در مناطق گرم و خشک آستانه بروز اثرات منفی گزارش کرده‌اند.

فرصت کمتر برای توسعه کانونپی و تجمع ماده خشک می‌باشد (Luo *et al.*, 2009).

شدن دانه در گندم می‌باشد. بنابراین مهمترین نقش افزایش دما کاهش طول دوره رشد و در نتیجه جذب کمتر تابش خورشیدی و



شکل ۱۲- رابطه بین کاهش طول دوره رشد و کاهش عملکرد در گندم (a و b)، ذرت (c)، نخود (d) و چغندرقند (e). داده‌ها پیش‌بینی مدل سوکروز در مناطق مختلف کشت این محصولات برای سال ۲۰۵۰ میلادی می‌باشند

Figure 12- Relation between reduction of the length of growth period and yield of wheat (a and b), corn (c), chick pea (d) and sugar beet (e). Data pints are simulated using SUCROS model for year 2050 at different regions

که افزایش دما در مراحل حساس نمو و کوتاه شدن دوره رشد اثرات مثبت غلظت‌های بالای CO_2 را ختنی کرده و حتی در صورت افزایش بارش نیز عملکرد ذرت کاهش خواهد یافت. بنابراین بهنظر مرسد که در شرایط افزایش غلظت CO_2 حساسیت گیاه به افزایش دما بیش از کاهش بارش است. تائو و همکاران (Tao *et al.*, 2009) نیز کاهش عملکرد ذرت در چین را به میزان ۱۵ درصد تا سال ۲۰۵۰ پیش‌بینی کرده و نشان دادند که الگوی تغییر طول دوره رشد با الگوی مکانی کاهش عملکرد انطباق دارد و به طور کلی ۳۵ تا ۴۵ درصد کاهش طول دوره رشد عملکرد ذرت را به ترتیب ۱۵/۷ و ۲۴/۷٪

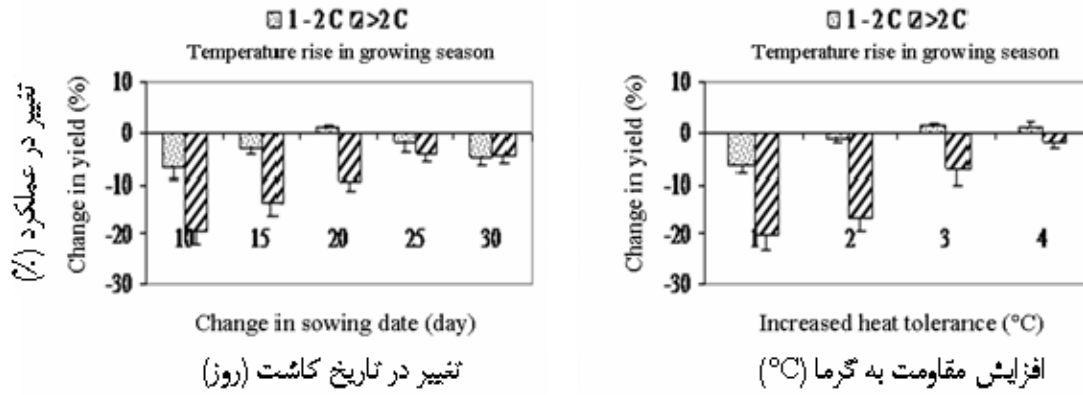
زیانو و همکاران (Xiao *et al.*, 2008) گزارش دادند که در طی سه دهه اخیر عملکرد گندم بهاره در مناطق نیمه خشک چین بیش از ۱۶ درصد کاهش یافته که عامل اصلی آن کوتاهتر شدن طول دوره رشد می‌باشد. در استرالیا نیز پیش‌بینی شده که افزایش دما ناشی از تغییر اقلیم باعث کوتاهتر شدن کل دوره رشد گندم (کاشت تا رسیدگی) و در نتیجه کاهش تجمع ماده خشک خواهد شد (Fulco, Abraha and Savage, 2006 and Senthold, 2006). آبراهما و ساویج (Abraha and Savage, 2006) با شبیه‌سازی عملکرد ذرت در آفریقای شمالی براساس سناریوهای مختلف افزایش غلظت CO_2 و تغییر دما و بارش نشان داد

از آن است که تغییر تاریخ کاشت و افزایش مقاومت به گرما راهکارهای مؤثر و ساده‌ای برای این منظور محسوب می‌شوند. در مناطقی که افزایش میانگین دمای کل دوره رشد در بازه ۱ تا 2°C قرار دارد (غرب و شمال غرب کشور) ۱۵ تا ۲۰ روز تسریع در کاشت گندم علاوه بر جبران کاهش عملکرد، ممکن است باعث افزایش آن شود البته با جایه‌جایی بیشتر تاریخ کاشت عملکرد مجددًا کاهش خواهد یافت (شکل ۱۳). در نواحی جنوبی و شرقی که میانگین افزایش دما در طی فصل رشد بیشتر از 2°C است با کاشت زودتر تا ۳۰ روز کاهش عملکرد به‌طور چشمگیری کاهش یافته و در حدود ۵ درصد خواهد بود (شکل ۱۳). به‌علاوه افزایش مقاومت به گرما نیز به میزان 3°C تا 5°C در هر دامنه‌ای از افزایش دما، موجب بهبود عملکرد گندم و افزایش آن تا سطح فعلی می‌شود (شکل ۱۳).

درصد کاهش خواهد داد. البته باید توجه داشت که افزایش دما اثرات منفی دیگری از جمله افزایش تنفس نگهداری، افزایش تبخیر و تعرق و کاهش کارآیی مصرف نور را نیز به‌همراه دارد که بهنوبه خود موجب کاهش عملکرد محصولات زراعی خواهد شد (Remy *et al.*, 2003; Asseng *et al.*, 2004).

راهکارهای سازگاری

نتایج این تحقیق نشان داد که در شرایط اقلیمی آینده افزایش دما بیشترین سهم را در کاهش عملکرد محصولات زراعی دارد بنابراین راهکارهای سازگاری به این شرایط باید بهنحوی انتخاب شود که از این اثرات منفی جلوگیری کنند. نتایج شبیه‌سازی در مورد گندم حاکی



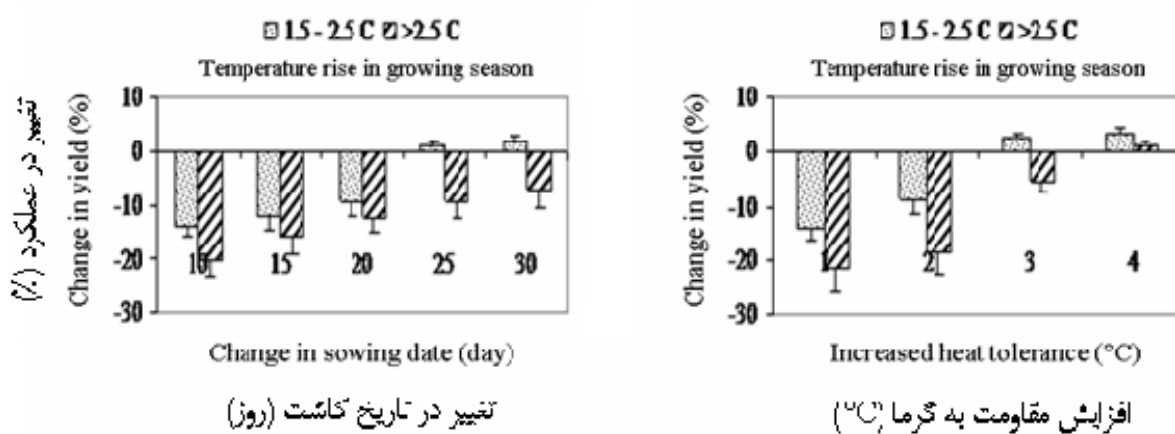
شکل ۱۳- تأثیر تغییر تاریخ کاشت و افزایش مقاومت به گرما بر عملکرد گندم در شرایط تغییر اقلیم نسبت به شرایط فعلی. شبیه‌سازی برای مناطقی که میانگین افزایش دما آنها در سال ۲۰۵۰ میلادی ۱ تا 2°C یا بیشتر است به‌طور جداگانه انجام شده، خطوط عمودی انحراف معیار مربوط به ایستگاه‌های واقع در هر منطقه است

Figure 13- Effects of change in sowing date and increased heat tolerance on wheat yield under climate change compared to current yield. Yield is simulated for year 2050 with temperature rise between $1-2^{\circ}\text{C}$ or higher. Vertical bars show SE of regions

کاشت از ۳۰ تا ۲۵ روز انتظار می‌رود که میانگین عملکرد نخود در مناطق کشت آن تا ۵ روز تأثیر کاشت آن را بیشتر می‌نماید (شکل ۱۵-a). در چندرقد تغییر تاریخ کاشت یا افزایش مقاومت به گرما تأثیر قابل توجهی بر بهبود عملکرد در شرایط تغییر اقلیم نسبت به شرایط فعلی نداشت. مدل سازی رشد این گیاه در شرایط محدودیت آب (نتایج نشان داده نشده است) حاکی از آن بود که چندرقد در شرایط اقلیمی اینده علاوه بر تأثیر منفی دما بالا با کمبود آب نیز مواجه خواهد شد. شبیه‌سازی تحت این شرایط نشان داد که برای جبران عملکرد حداقل به ۳۰ درصد آب بیشتر جهت آبیاری این گیاه نیاز خواهد بود (شکل ۱۵-b).

در مورد ذرت تأخیر کاشت به‌مدت ۲۵ تا ۳۰ روز در مناطق که افزایش میانگین دما در طی فصل رشد کمتر از $2/5^{\circ}\text{C}$ باشد راهکاری مؤثر است و ممکن است افزایش جزئی عملکرد را نیز به همراه داشته باشد اما چنانچه افزایش دمای فصل رشد ذرت بیش از $2/5^{\circ}\text{C}$ باشد حتی با ۳۰ روز تأخیر در کاشت نیز کاهش عملکرد تا حدود ۱۰ درصد اجتناب‌ناپذیر است (شکل ۱۴). افزایش مقاومت به گرما تا 3°C یا بیشتر کاهش عملکرد ذرت را در اغلب مناطق کشور تقریباً به‌طور کامل برطرف خواهد ساخت (شکل ۱۴).

نتایج شبیه‌سازی نشان داد که در مورد نخود کاشت زودتر به‌مدت ۲۰ روز در هر دو بازه افزایش دما فصل رشد این گیاه کاهش عملکرد ناشی از گرمایش برای سال ۲۰۵۰ را جبران خواهد کرد و با تسریع

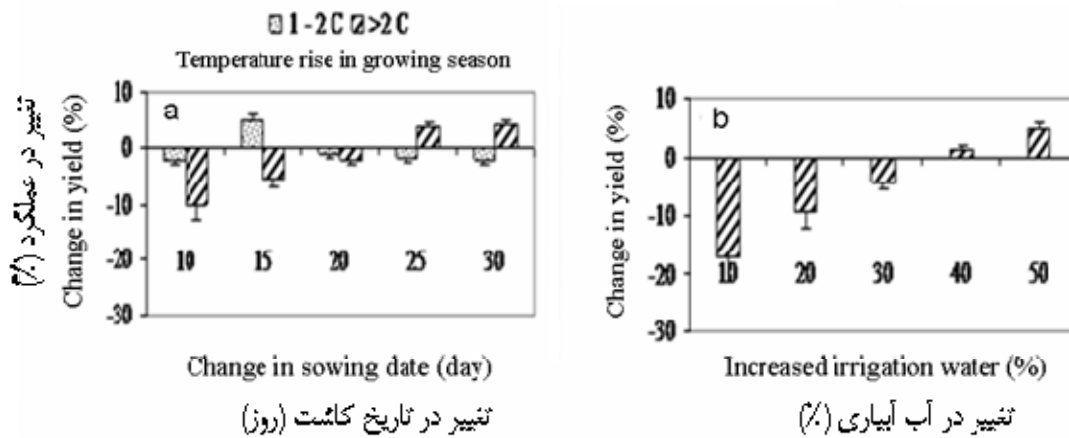


شکل ۱۴- تأثیر تغییر تاریخ کاشت و افزایش مقاومت به گرما بر عملکرد ذرت در شرایط تغییر اقلیم نسبت به شرایط فعلی. شبیه‌سازی برای مناطقی که میانگین افزایش دما آنها در سال ۲۰۵۰ میلادی $1/5$ تا $2/5$ °C یا بیشتر است به طور جداگانه انجام شده، خطوط عمودی انحراف معیار مربوط به ایستگاه‌های واقع در هر منطقه است

Figure 14- Effects of change in sowing date and increased heat tolerance on corn yield under climate change compared to current yield. Yield is simulated for year 2050 with temperature rise between 1.5-2.5 °C or higher. Vertical bars show SE of regions

محققین نتیجه‌گیری کردند که این جابه‌جایی در مراحل فنولوژی باعث می‌شود که فاصله گلدهی تا پرشدن دانه با دمای پایین‌تری مصادف شود لذا عملکرد گندم تا حدودی افزایش می‌یابد. به نظر می‌رسد چنین وضعیتی در مناطق گرم و خشک نظیر ایران تحقق نخواهد یافت، زیرا مراحل حساس نموی گندم در شرایط اقلیمی آینده حتی با کاهش طول دوره رشد نیز با دمای بالا مصادف می‌شوند. نتایج تحقیق حاضر حاکی از آن است کاشت زودتر این گیاه در ابتدای پاییز راهکار مناسبی برای ممانعت از این مشکل می‌باشد.

نتایج بسیاری از مطالعات نقش قابل توجه روش‌های سازگاری را در جریان کاهش عملکرد و حتی افزایش آن در شرایط تغییر اقلیم را به اثبات رسانده است. کوچکی و نصیری (Koocheki and Nassiri, 2008) نشان دادند که افزایش مقاومت به گرما ارقام گندم در مرحله گلدهی به میزان ۲ درجه سانتی‌گراد روش مؤثری برای جلوگیری از کاهش عملکرد در شرایط تغییر اقلیم می‌باشد. Sadras and Monzon (براساس یافته‌های Sadras and Monzon, 2006) در آرژانتین افزایش دما طول دوره سبز شدن تا گلدهی را در گندم کوتاه‌تر کرد، ولی بر فاصله گلدهی تا رسیدگی بی‌تأثیر است. این



شکل ۱۵- تأثیر تغییر تاریخ کاشت در بازه پیش‌بینی برای افزایش دما بر عملکرد نخود (a) و افزایش مقدار آب آبیاری بر عملکرد چغندر قند (b) در شرایط تغییر اقلیم نسبت به شرایط فعلی. خطوط عمودی انحراف معیار مربوط به مناطق مختلف می‌باشند

Figure 15- a) Effect of change in sowing date at different range of temperature rise on yield of chick pea and b) effect of increased irrigation water on sugar beet yield under climate change compared to current yields. Vertical bars show SE of regions

تعرق ناشی از گرمایش، تأمین آب بیشتر راهکاری است که موجب جلوگیری از کاهش عملکرد این محصول در شرایط اقلیمی آینده خواهد شد. پیدگون و همکاران (Pidgeon *et al.*, 2001) در بررسی حساسیت چندرقند به خشکی نشان دادند که در مناطق کشت این گیاه در انگلستان بروز دوره‌های خشکی در ابتدا یا انتهای تابستان عملکرد ریشه را بهترتب ۱۰ و ۱۵ درصد کاهش خواهد داد که علت آن کاهش کارآیی مصرف نور می‌باشد. از سوی دیگر نتایج مطالعه‌ای در ایرلند (Holden *et al.*, 2003) نشان داد که تا سال‌های ۲۰۵۵ و ۲۰۷۵ میلادی عملکرد سیب زمینی در این کشور به دلیل کمبود آب کاهش می‌یابد. براساس یافته‌های این تحقیق نیاز آبی سیب زمینی در آینده تا حدی افزایش می‌باید که کشت آن در اغلب مناطق ایرلند امکان‌پذیر نخواهد بود. بر این اساس به نظر می‌رسد با توجه به بحران آب در کشور و تشدید آن در آینده، کشت چندرقند در ایران نیز در شرایط تغییر اقلیم بهشت محدود شود.

نتیجه‌گیری

نتایج این پژوهش نشان داد که در طی چند دهه آینده پی‌آمد های ناشی از تغییر اقلیم و بهویژه افزایش دما عملکرد محصولات زراعی را در منطقه مختلف ایران با کاهش قابل ملاحظه‌ای مواجه می‌سازد. علی‌رغم عدم قطعیت‌هایی که در پیش‌بینی‌های مبتنی بر مدل‌سازی وضعیت آینده وجود دارد، در حال حاضر این مدل‌ها تنها ابزار موجود برای مطالعات تغییر اقلیم محسوب می‌شوند. به علاوه باید توجه داشت که تأثیر تغییرات اقلیمی در شرایط کنترل شده و یا در هنگام شیوه‌سازی به مراتب کمتر از شرایط واقعی مزرعه است زیرا در شرایط طبیعی وجود انواع نتش‌های زنده و غیر زنده محیطی ممکن است باعث تشدید اثرات ناشی از گرمایش شوند. علی‌رغم این نگرانی‌ها، به نظر می‌رسد که با اتخاذ راهکارهای مناسب می‌توان نظامهای تولید را به شرایط اقلیمی آینده سازگار کرد. مطالعات عمیق‌تر در مورد پی‌آمد های مختلف ناشی از تغییر اقلیم بر تولیدات کشاورزی و طراحی راهکارهای سازگاری به حفظ دراز مدت امنیت غذایی کشور کمک خواهد کرد.

سپاسگزاری

بودجه این تحقیق از محل اعتبارات طرح پژوهه مصوب ۸۷/۹/۲ توسط معاونت پژوهشی دانشگاه فردوسی مشهد تأمین شده است که بدینوسیله سپاسگزاری می‌شود.

لو و همکاران (Luo *et al.*, 2009) نیز کاشت زودتر را به عنوان راه حلی مناسب برای جلوگیری از کاهش عملکرد گندم در جنوب استرالیا گزارش کرده و نشان دادند که تسریع کاشت به مدت ۲ هفته عملکرد را در شرایط تغییر اقلیم نسبت به شرایط فعلی افزایش خواهد داد.

البته چنین راهکاری برای ذرت چندان مناسب نیست و خطر سرمزدگی گیاهچه را افزایش می‌دهد زیرا ذرت بهویژه در مراحل اولیه رشد به سرما حساس است. سوینسکی و همکاران (Sowinski *et al.*, 2005) نشان دادند که قرار گرفتن ذرت در مرحله ۳ برگی در دمای ۱۲ درجه سانتی‌گراد یا کمتر باعث می‌شود که حتی اگر در مراحل بعدی رشد در دمای بهینه قرار گیرد نیز کاهش رشد قابل جبران نباشد. بنابراین کاشت دیرتر ذرت به‌طوری که پرشدن دانه در هوای خنک‌تر ابتدای پاییز تکمیل شود در کنار افزایش مقاومت به گرما در این گیاه راهکار قابل قبولی برای مقابله با شرایط اقلیمی آینده محسوب می‌شود.

وакنش مثبت نخود به کاشت زودتر در شرایط تغییر اقلیم چندان دور از انتظار نیست، زیرا در شرایط اقلیمی فعلی نیز کشت انتظاری این گیاه سرما دوست در انتهای زمستان در صورت عدم مواجهه با دماهای پایین باعث افزایش قابل توجه عملکرد نسبت به کشت بهاره می‌شود. بنابراین با برطرف شدن خطر سرمزدگی در شرایط اقلیمی آینده افزایش عملکرد امکان‌پذیر خواهد بود.

تغییر تاریخ کاشت تأثیر قابل توجهی بر بهبود عملکرد چندرقند در شرایط تغییر اقلیم نداشت که این امر تا حد زیادی به دلیل دماهای بالای تابستان در طی دوره بزرگ شدن غده‌های این گیاه است. براساس یافته‌های کنتور و همکاران (Kenter *et al.*, 2006) دمای مطلوب برای رشد غده در چندرقند در ۱۸ درجه سانتی‌گراد میانگین دمای روزانه است و دماهای بالاتر سرعت رشد غده را کاهش می‌دهد این محققین میزان کاهش عملکرد غده در میانگین دمای روزانه ۲۲ درجه سانتی‌گراد را حدود ۳۰ درصد گزارش کردند. بدینه است که با توجه به مقادیر پیش‌بینی شده برای افزایش دما در طی دوره رشد چندر، تغییر تاریخ کاشت دمای مطلوب برای رشد این گیاه را در هیچ‌یک از مناطق کشت آن در کشور فراهم نخواهد کرد. البته کاشت زودتر این گیاه در عرض‌های جغرافیایی بالا راهکار مناسبی برای بهبود عملکرد خواهد بود. یافته‌های چمیلوسکی و همکاران (Chmielewski *et al.*, 2003) حاکی از آن است که با افزایش دما، کشت چندرقند در آلمان زودتر انجام خواهد شد و بسته شدن سریع‌تر کانوبی و افزایش طول دوره رسیدگی باعث بهبود عملکرد این محصول می‌شود.

بنابراین با توجه به نیاز آبی بالای چندرقند و افزایش تبخیر و

References

1. Abraha, M. G., and Savage, M. J. 2006. Potential impacts of climate change on the grain yield of maize for the midlands of KwaZulu-Natal, South Africa. *Agriculture Ecosystems and Environment* 115: 150-160.
2. Anwar, M. R., O' Leary, G., McNeill, D., Hossain, H., and Nelson, R. 2007. Climate change impact on rainfed wheat in south-eastern Australia. *Field Crops Research* 104: 139-147.
3. Asseng, S., Jamieson, P. D., Kimball, B., Pinter, P., Sayre, K., Bowden, J. W., and Howden, S. M. 2004. Simulated wheat growth affected by rising temperature, increased water deficit and elevated atmospheric CO₂. *Field Crops Research* 85: 85-102.
4. Bannayan, M., and Crout, N. M. J. 1999. A stochastic modelling approach for real-time forecasting of winter wheat yield. *Field Crops Research* 62: 85-95.
5. Carson, D. J. 1999. Climate modelling: achievements and prospects. *Quarterly Journal of Royal Meteorological Society* 125: 1-28.
6. Chmielewski, F. M., Müller, A., and Bruns, E. 2003. Climate changes and trends in phenology of fruit trees and field crops in Germany, 1961-2000. *Agricultural and Forest Meteorology* 112: 132-145.
7. Craufurd, P. Q., and Wheeler, T. R. 2009. Climate change and the flowering time of annual crops. *Journal of Experimental Botany* 60: 2529-2539.
8. Easterling, W. E., 2007. Climate change and the adequacy of food and timber in the 21st century. *Proceedings of National Academy of Sciences* 104: 19679.
9. Erda, L., Wei, X., Hui, J., Yinlong, X., Yue, L., and Liping, B. 2005. Climate change impacts on crop yield and quality with CO₂ fertilization in China. *Philosophical Transaction of Royal Society of Biological Sciences* 360: 2149-2154.
10. Ewert, F., Rodriguez, D., Jamieson, P., Semenov, M. A., Mitchell, R. A. C., Goudriaan, J., Porter, J. R., Kimball, B. A., Pinter Jr., P. J., Manderscheid, R., Weigel, H. J., Fangmeier, A., Fereres, E., and Villalobos, F. 2002. Effects of elevated CO₂ and drought on wheat: testing crop simulation models for different experimental and climatic conditions. *Agriculture Ecosystem and Environment* 93: 249-266.
11. Fulco, L., and Senthil, A. 2006. Climate change impacts on wheat production in a Mediterranean environment in Western Australia. *Agricultural Systems* 90: 159-179.
12. Goudriaan, J., and van Laar, H. H. 1993. *Modelling Crop Growth Processes*. Kluwer Academic Press, The Netherlands.
13. Goudriaan, J., 1996. Predicting crop yields under global change. In: Walker, B., Steffen, W. (Eds.), *Global Change and Terrestrial Ecosystems*. International Geosphere-/Biosphere Programme Book Series. Cambridge University Press, pp. 260-274.
14. Holden, N. M., Brereton, A. J., Fealy, R., and Sweeney, J. 2003. Possible change in Irish climate and its impact on barley and potato yields. *Agricultural and Forest Meteorology*, 116: 181-196.
15. IPCC, 2007. *Climate Change 2007*. Cambridge University Press, New York.
16. Jones, P. G., and Thornton, P. K. 2003. The potential impact of climate change on maize production in Africa and Latin America in 2055. *Global and Environmental Change* 13: 51-59.
17. van Ittersum, M. K., Leffelaar, P. A., van Keulen, H., Kropff, M. J. Bastiaans, L., and Goudriaan, J. 2003. On approaches and applications of the Wageningen crop models. *European Journal of Agronomy* 18: 201-234.
18. Kenter, C., Hoffmann, C. M., and Marlander, B. 2006. Effects of weather variables on sugar beet yield development (*Beta vulgaris* L.). *European Journal of Agronomy* 24: 62-69.
19. Kang, Y., Khan, S., and Ma, X. 2003. Climate change impacts on crop yield, crop water productivity and food security-A review. *Agricultural and Forest Meteorology* 117: 97-122.
20. Koocheki, A., Nassiri Mahallati, M., and Jafari, L. 2015. Evaluation of climate change effect on agricultural production of Iran: I. Predicting the future agroclimatic conditions. *Iranian Journal of Field Crops Research* 13 (4): 651-664. (in Persian with English abstract).
21. Koocheki, A., and Nassiri, M. 2008. The effects of climate change and increase in CO₂ concentration on wheat yield in Iran and evaluation of adaptation strategies. *Iranian Journal of Field Crops Research* 7 (3): 1-18. (in Persian with English abstract).
22. Kjellstrom, E. 2005. Recent and future signature of climate change in Europe. *Ambio* 33: 193-198.
23. Lobell, D., and Asner, C. 2000. Climate and management contributions to recent trends in US agricultural yield. *Science* 299: 1032.
24. Long, S. P., Ainsworth, E. A., Rogers, A., and Ort, D. R. 2004. Rising atmospheric carbon dioxide: plants face the future. *Annual Review of Plant Biology* 55: 591-628.
25. Long, S. P., Ainsworth, E. A., Leakey, A. D. B., Nosberger, J., and Ort, D. R., 2006. Food for thought: lower-than-expected crop yield stimulation with rising CO₂ concentrations. *Science* 312: 1918-1921.
26. Luo, Q., Bellotti, W., Williams, M., and Wang, E. 2009. Adaptation to climate change of wheat growing in Analysis of management and breeding strategies. *Agriculture, Ecosystems and Environment* 129: 261-267.
27. Mall, R. K., Lal, M., Bhatia, V. S., Rathore, L. S., and Singh, R. 2004. Mitigating climate change impact on

- soybean productivity in India: a simulation study. *Agricultural and Forest Meteorology* 121: 113-125.
28. Menzel, A., Sparks, T. H., Estrella, N., Koch, E., Aasa, A., Ahas, R., Alm-Kubler, K., Bissolli, P., Braslavská, O. G., Briede, A., Chmielewski, F. M., Crepinsek, Z., Curnel, Y., Dahl, A., Defila, C., Donnelly, A., Filella, Y., Jatczak, K., Mage, F., Mestre, A., Nordli, O., Penuelas, J., Pirinen, P., Remisova, V., Scheifinger, H., Striz, M., Susnik, A., Van Vliet, A. J. H., Wielgolaski, F. E., Zach, S., and Zust, A. N. A. 2006. European phenological response to climate change matches the warming pattern. *Global Change Biology* 12: 1969-1976.
29. Ministry of Jihad e Agriculture. 2011. Year book of Agricultural Statistics (Vol. 1) Field Crops year 2009-2100. Offici of Statistics and Information Technology. (in Persian).
30. Ortiz, R., Sayre, K. D., Govaerts, B., Gupta, R., Subbarao, G. V., Ban, T., Hodson, D., Dixon, J. M., Ortiz-Monasterio, J. I., and Reynolds, M. 2008. Climate change: Can wheat beat the heat? *Agriculture Ecosystems and Environment* 126: 46-58.
31. Özdogan, M. 2011. Modeling the impacts of climate change on wheat yields in Northwestern Turkey. *Agriculture, Ecosystems and Environment* 141: 1-12.
32. Peng, S. B., Huang, J. L., Sheehy, J. E., Laza, R. C., Visperas, R. M., Zhong, X. H., Centeno, G. S., Khush, G. S., and Cassman, K.G. 2004. Rice yields decline with higher night temperature from global warming. *Proceedings of National Academy of Sciences* 101: 9971-9975.
33. Pidgeon, J. D., Werker, A. R., Jaggard, K. W., Richter, G. M., Lister, D. H., and Jones, P. D. 2001. Climatic impact on the productivity of sugar beet in Europe, 1961-1995. *Agricultural and Forest Meteorology* 109: 27-38.
34. Remy, M., Stefan, B., Andreas, B., and Hans, J. W. 2003. Effect of CO₂ enrichment on growth and daily radiation use efficiency of wheat in relation to temperature and growth stage. *European Journal of Agronomy* 19: 411-425.
35. Reyenga, P. J., Howden, S. M., Meinke, H., and McKeon, G. M. 1999. Modelling global change impacts on wheat cropping in south-east Queensland, Australia. *Environmental Modeling and Softwares* 14: 297-306.
36. Rosenzweig, C., and Tubiello, F. N. 1997. Impacts of future climate change on Mediterranean agriculture: current methodologies and future directions. *Climate Change* 1: 219-232.
37. Sadras, V. O., and Monzon, J. P. 2006. Modelled wheat phenology captures rising temperature trends: Shortened time to flowering and maturity in Australia and Argentina. *Field Crops Research* 99: 136-146.
38. Sowinski, P., Rudzinska-Langwald, A., Adamczyk, J., Kubica, I., and Fronk, J. 2005. Recovery of maize seedling growth, development and photosynthetic efficiency after initial growth at low temperature. *Journal of Plant Physiology* 162: 67-80.
39. Tao, F., Yokozawa, M., and Zhang, Z. 2009. Modelling the impact of weather and climate variability on crop productivity over a large area: Anew process-based model development, optimization, and uncertainties analysis. *Agricultural and Forest Meteorology* 149: 1266-1278.
40. Tubiello, F. N., Donatelli, M., Rosenzweig, C., and Stockle, C. O. 2000. Effects of climate change and elevated CO₂ on cropping systems: model predictions at two Itallian locations. *European Journal of Agronomy* 13: 179-189.
41. Tubiello, F. N., and Ewert, F. 2002. Simulating the effects of elevated CO₂ on crops: Approaches and applications for climate change. *European Journal of Agronomy*, 18: 57-74.
42. Tubiello, F. N., Soussana, J. F., and Howden, S. M. 2007. Climate change and food security special feature: Crop and pasture response to climate change. *Proceedings of National Academy of Sciences* 104: 19686-19690.
43. Van Laar, H. H., Goudriaan, J., and Van Keulen, H. 1997. SUCROS97: Simulation of crop growth for potential and water-limited production situations. C.T. de Wit Graduate School for Production Ecology and Resource Conservation, Wageningen, The Netherlands, pp. 52.
44. Wolf, J. 2002. Comparison of two potato simulation models under climate change. I. Model calibration and sensitivity analyses. *Climate Research* 21: 173-186.
45. Xiao, G., Zhang, Q., Yao, Y., Zhao, G., Wang, R., Bai, H., and Zhang, F. 2008. Impact of recent climatic change on the yield of winter wheat at low and high altitudes in semi-arid northwestern China. *Agriculture, Ecosystems and Environment* 127: 37-42.
46. Xiong, W., Matthews, R., Holman, I., Lin, E., and Xu, Y. 2007. Modelling China's potential maize production at regional scale under climate change. *Climatic Change* 85 (3-4): 433-451.
47. Yang, L., Huang, J., Yang, H., Zhu, J., Liu, H., Dong, G., Liu, G., Han, Y., and Wang, Y. L. 2006. The impact of free-air CO₂ enrichment (FACE) and N supply on yield formation of rice crops with large panicle. *Field Crops Research* 98: 141-150.
48. You, L., Rosegrant, M. W., Wood, S., and Sun, D. 2009. Impact of growing season temperature on wheat productivity in China. *Agricultural and Forest Meteorology* 149: 1009-1014.



Climate Change Effects on Agricultural Production of Iran: II. Predicting Productivity of Field Crops and Adaptation Strategies

A. Koocheki^{1*}- M. Nassiri Mahallati¹

Received: 13-11-2012

Accepted: 24-09-2013

Introduction

Recent evidences confirm that during the next few decades, many agroclimatic indices of Iran would be affected by global climate change. Koocheki *et al.* using two General Circulation Models showed that the mean annual temperature of the country will increase between 3.5-4.5°C while mean precipitation will reduce by 7-15% to 2050. It is well established that crop growth and development would drastically affect by the future global warming and its consequences because yield determining processes such as photosynthesis and crop phenology are directly related to temperature. On the other hands, the combined effects of CO₂ enrichment and temperature rise on crop growth are complicated and should be studied using crop simulation models. Furthermore, adapting to climatic variability will have a substantially greater effect in reducing impacts than willing mitigation. However, such impacts on crop productivity at national scale and adaptive measures for future conditions are rarely studied in Iran. In this research crop development and yield of wheat, corn, chickpea and sugar beet were simulated for the target year of 2050 and the results are compared with the current yield as the baseline.

Materials and Methods

Future climatic variables were predicted using A₁f (business as usual) scenario by GFDL general circulation model and the results were used as weather inputs in the SUCROS model which was previously validated against measured data of the four crops. To account for the effect of CO₂ enrichment on crop growth the photosynthesis routine of the model was adopted for increased CO₂ concentration using a scaling factor. Changes in developmental stages of each crop were estimated for the future conditions and the relation between duration of these stages and yield was determined. Predicted crop yields for the year 2050 were compared with the current potential yields considering some adaptation strategies.

Results and Discussion

Results indicated the average over the different regions, yield of wheat, corn, chickpea and sugar beet will be decreased by 18.6, 19.1, 6.6, and 20%, respectively. This decrease is mainly due to temperature rise and only 5.6% of the negative effects of temperature will be compensated by increased CO₂ concentration. Regression analysis showed the yield of the studied crops will be reduced between 9 to 17% per 1°C increase in mean temperature during the growing season. For wheat and corn such a reduction would also be expected for the duration of the grain filling period. Based on these results, reduction of the total growing period (planting to maturity) as well as shortened grain filling period are the main causes of the predicted crops yield decline by the target year. On average up to 60% of the yield reduction over the country could be described by global warming and the pattern of the crops yield variation follows the same spatial pattern predicted for temperature rise in 2050. Therefore, adaptation strategies for the future climate should be designed to prevent the negative effects of increased temperature during the sensitive development stages. Simulation results obtained by SUCROS model showed that among different studied adaptation strategies, using new wheat cultivars with higher heat tolerance and changing planting dates are the most efficient management practices and drastically prevent yield reduction under defined future climate scenarios. Use of these readily implemented adaptation strategies is profitable based on the available resources by improving national wheat production compared to the same climatic scenarios without adaptation.

Conclusions

1- Professor, College of Agriculture, Ferdowsi University of Mashhad

(*- Corresponding Author Email: akooch@um.ac.ir)

Despite of uncertainties in the predicted results of simulation models, the results of this research indicated that during the next few decades crop yields in different regions of Iran will be reduced due to climate change and more specifically temperature rise. This yield reduction could be more drastic under actual conditions where the effects of climate change will intensify due to biotic and abiotic stresses. However, these negative impacts could be avoided by using proper adaptation strategies.

Keywords: Adaptation, Global warming, Length of growth period, Yield variation

تأثیر هگزاکونازول و پنکونازول بر تحمل به سرما در گیاه کوشیا (*Kochia scoparia*)

علی کمندی^۱ - احمد نظامی^۲ - محمد کافی^۲ - جعفر نباتی^{۳*}

تاریخ دریافت: ۱۳۹۲/۰۲/۱۶

تاریخ پذیرش: ۱۳۹۴/۰۶/۲۸

چکیده

در مناطق معتدل سرمای دیررس بهاره رشد و نمو گیاهان را تحت تأثیر قرار می‌دهد. این مطالعه با هدف بررسی اثر تریازول‌ها در بهبود تحمل به سرمای دیررس بهاره در گیاه کوشیا به صورت فاکتوریل و در قالب طرح کاملاً تصادفی با سه تکرار اجرا شد. غلظت‌های مختلف دمای هگزاکونازول و پنکونازول (۰، ۲۰ و ۴۰ میلی‌گرم در لیتر) قبل از اعمال سرما روی گیاهان تیمار شد و سپس گیاهان در شرایط کنترل شده در معرض دمای بیخ‌زدگی (۰، ۲، ۴ و ۶- درجه سانتی‌گراد) قرار گرفتند. پس از اعمال دمای های بیخ‌زدگی پایداری غشاء سلولی از طریق اندازه‌گیری نشت الکتروولیت‌ها (EL) و درجه حرارت کشنده برای ۵۰٪ نمونه‌ها براساس نشت الکتروولیت‌ها (LT_{50el}) تعیین شد. درجه حرارت کشنده برای ۵۰٪ گیاهان براساس درصد بقاء (LT_{50su}) و رشد مجدد گیاهان نیز سه هفته پس از بازیابی گیاهان در شرایط طبیعی تعیین شد. نتایج نشان داد که کاهش دما تأثیر معنی داری بر نشت الکتروولیت‌ها، درصد بقاء، ارتفاع بوته و وزن خشک آن داشت. افزایش غلظت تریازول‌ها به میزان ۱۰ و ۲۰ میلی‌گرم در لیتر در مقایسه با تیمار شاهد سبب کاهش نشت الکتروولیت‌ها شد، به طوری که سبب کاهش LT_{50el} از ۵/۹ به ۷/۲- گردید. کاربرد تریازول‌ها با غلظت‌های ۱۰ و ۲۰ میلی‌گرم در لیتر وزن خشک و ارتفاع گیاه را کاهش داد، ولی تأثیری بر درصد بقاء گیاهان نداشت. به طور کلی نتایج نشان داد که کاربرد تریازول‌ها سبب کاهش نشت الکتروولیت‌ها از گیاه شد، ولی بر درصد بقاء و صفات مرتبط با بازیافت گیاه تأثیری نداشت.

واژه‌های کلیدی: تریازول‌ها، درصد بقاء، سرمای دیررس بهاره، نشت الکتروولیت‌ها

مقدمه

بیوسنتری گیاه را کاهش داده، مانع از کارکرد طبیعی فرآیندهای فیزیولوژیکی شده و ممکن است سبب بروز صدمات غیرقابل برگشت و در نهایت منجر به مرگ گیاه گردد. توانایی گونه‌های گیاهی مختلف در تحمل دمای پایین بسیار متفاوت است. گونه‌های حساس به سرمازدگی نواحی گرمسیری، ممکن است حتی در دمای‌های بالاتر از صفر درجه سانتی‌گراد متحمل خسارات جبران ناپذیری گردند. این خسارات ناشی از آسیب‌های وارد به فرآیندهای متابولیکی و سلولی و تغییر در ویژگی‌های غشاء می‌باشد. گیاهان مقاوم به سرمازدگی ولی حساس به بیخ‌زدگی قادرند دمای‌های اندکی پایین‌تر از صفر را تحمل نمایند ولی به شدت از تشکیل بیخ در بافت‌ها آسیب می‌بینند (۳۱).

مطالعات فراوانی به منظور یافتن روشی مؤثر و سریع در ارزیابی مقاومت به بیخ‌زدگی گیاهان صورت گرفته است (۲۶). به منظور اندازه‌گیری تحمل به سرما فولر و گاستا (۱۱) شاخص بقاء مزرعه را معرفی نمودند. در این روش، بقاء گیاهان از طریق کاشت آنها در مزرعه و قرارگیری در معرض سرما و سپس مقایسه آنها با نمونه شاهد ارزیابی می‌گردد. از آنجایی که بقاء گیاهان در مزرعه تحت تأثیر سایر تنش‌ها مانند بیخ‌زدگی، آب کشیدگی، پوشش بیخ و برف، غرقاب

کوشیا (*Kochia scoparia*) گیاهی یک ساله و چهار کربن بوده و منشاء آن اوراسیا می‌باشد و به دلیل سازگاری مناسب با شرایط محیطی سخت گسترش زیادی در محیط‌های مختلف یافته است (۱۸). مطالعات مختلفی که در ارتباط با پتانسیل کوشیا به عنوان علوفه انجام گرفته است (۱۸) حاکی از توان بالای این گیاه در تولید علوفه مناسب است (۲۲). چنانچه این گیاه قادر باشد سرمای دیررس بهاره را تحمل نماید با کاشت زودتر کوشیا می‌توان با بهره‌گیری از نزوالت جوی در مناطق خشک و نیمه خشک که منابع آب مناسب در آنها کم است زیست توده مناسبی تولید نمود.

دماهای پایین یکی از مهم‌ترین عوامل غیرزیستی محدود کننده رشد، تولید و توزیع جغرافیایی گیاهان است. دماهای پایین فعالیت‌های

۱- دانش‌آموخته دکتری زراعت دانشگاه فردوسی مشهد
۲- استاد گروه زراعت و اصلاح نباتات، دانشکده کشاورزی، دانشگاه فردوسی مشهد
۳- استادیار پژوهشکده علوم گیاهی، دانشگاه فردوسی مشهد
* - نویسنده مسئول: (Email: jafarnabati@ferdowsi.um.ac.ir)

و عوامل بیماری‌زا قرار می‌گیرد، لذا در اغلب مواقع به دلیل بقاء کامل یا مرگ کامل گیاه تفاوت در بقاء گیاهان پس از سرما قابل اندازه‌گیری نخواهد بود. به همین علت جهت پرهیز از محدودیت‌های فوق آزمون یخنдан مصنوعی معرفی گردیده است (۵). در این روش گیاهان در شرایط کنترل شده در معرض دماهای یخ‌زدگی قرار گرفته و پس از اعمال یخ‌زدگی به گلخانه منتقل و پس از گذراندن یک دوره سه تا چهار هفتگی بازیابی، منحنی درصد بقاء آنها در برابر دماهای آزمایش ترسیم و دمایی که سبب ۵۰ درصد مرگ و میر نمونه‌های گیاهی می‌شود به عنوان $(LT_{50su})^1$ تعیین می‌گردد (۳).

این مطالعه با هدف بررسی تحمل به سرمای گیاه کوشیا تحت شرایط کنترل شده و امکان افزایش تحمل به سرمای دیررس بهاره گیاه در اثر کاربرد قارچ‌کش‌هایی مانند پنکونازول و هگزاکونازول طراحی و اجرا گردید.

مواد و روش‌ها

این آزمایش در بهار سال ۱۳۸۸ به صورت فاکتوریل و در قالب طرح کاملاً تصادفی در گلخانه تحقیقاتی دانشکده کشاورزی داشتگاه پردازی مشهد با سه تکرار اجرا شد. تعداد پنج بذر در گلدان‌های پلاستیکی به قطر ۱۰ سانتی‌متر و در عمق ۱-۲ سانتی‌متری خاک کشت شده و در محیط طبیعی رشد یافتند. توده کوشیا مورد استفاده در این آزمایش توده بومی سبزوار بود. سه هفته پس از کاشت که گیاهان در مرحله چهار تا شش برگی بودند محلول پاشی قارچ‌کش‌های پنکونازول و هگزاکونازول در دو غلظت ۱۰ و ۲۰ میلی‌گرم در لیتر روی گیاهان انجام شد و عدم کاربرد قارچ‌کش (آب مقطمر) نیز به عنوان شاهد در نظر گرفته شد. بیست و چهار ساعت پس از اعمال تیمارها گلدان‌ها به فریزر ترموگرادیان منتقل و در معرض پنج دمای یخ‌زدگی (صفر، -۲، -۴، -۶ و -۸ درجه سانتی‌گراد) قرار گرفتند. دمای فریزر در شروع آزمایش پنج درجه سانتی‌گراد بوده و پس از قرار دادن نمونه‌ها با سرعت دو درجه سانتی‌گراد در ساعت کاهش یافت. این وضعیت شرایط را برای توزیع مجدد آب به بافت‌های گیاهی و جلوگیری از تشکیل یخ در داخل سلول‌ها که در طبیعت به ندرت اتفاق می‌افتد، فراهم می‌کند (۲۱). به منظور ایجاد هستک یخ در گیاهچه‌ها، در دمای -۳ درجه سانتی‌گراد محلول INAB^۲ روی گیاهان پاشیده شد و پس از آن دما با سرعت دو درجه سانتی‌گراد در ساعت کاهش یافت. به منظور ایجاد تعادل در دمای محیط، گیاهان در دمای مورد نظر به مدت یک ساعت نگه داشته شده و سپس گلدان‌ها به اتفاق سرد با دمای 5 ± 2 درجه سانتی‌گراد منتقل و به مدت ۲۴ ساعت نگهداری شدند. در مرحله بعد جوانترین برگ توسعه یافته از هر بوته جدا شده و در لوله‌های آزمایش حاوی ۴۰ میلی‌لیتر آب دوبار تقطیر شده قرار گرفت. پس از گذشت ۲۴ ساعت هدایت الکتریکی هر نمونه با استفاده از دستگاه EC متر (مدل-Jenway) اندازه‌گیری شد (E_1). به منظور اندازه‌گیری میزان کل نشت الکتروولیت‌ها در اثر مرگ سلول، لوله‌های آزمایش در دستگاه بن‌ماری با دمای ۷۵ درجه سانتی‌گراد به مدت ۹۰ دقیقه قرار داده شدند و مجدداً پس از ۲۴ ساعت هدایت الکتریکی نمونه‌ها ثبت گردید (E_2).

به منظور کاهش اثرات نتش‌های محیطی از جمله سرما استفاده از برخی مواد شیمیایی نظیر تریازول‌ها گسترش وسیعی یافته است (۱۰). تریازول‌ها یک گروه بزرگ و مهم از ترکیبات سیستمیک هستند که در دهه ۱۹۶۰ برای کنترل بیماری‌های قارچی در گیاهان و حیوانات مورد استفاده قرار گرفتند. تریازول‌های تجاری دارای مشتقانی مانند پنکونازول و هگزاکونازول هستند که به عنوان قارچ‌کش و تنظیم‌کننده رشد در گیاهان مورد استفاده قرار می‌گیرند (۲). از جمله اثرات آناتومیکی و مورفو‌لوزیکی کاربرد تریازول می‌توان به کاهش طولی شدن اندام‌های افزایش کرک‌های گیاه، افزایش واکس اپیدرم، تولید کلروپلاست‌های بزرگ‌تر و افزایش رشد ریشه (۱۰) اشاره کرد. اثرات بیوشیمیایی تریازول شامل سمتیزدایی اکسیژن فعال (۱۹)، افزایش میزان پرولین، افزایش فعالیت آنتی‌اکسیدان‌ها (۲) و محتوای کلروفیل (۹) می‌باشد. تریازول‌ها با ایجاد تغییرات هورمونی مانند افزایش سیتوکینین، ممانعت از سنتز جیرلین، افزایش آبسسیک اسید و کاهش اتیلن موجب تخفیف اثرات نتش می‌شوند (۲). افزایش تحمل به یخ‌زدگی در خیار (*Cucumis sativus*) (۳۴) و گوجه فرنگی

1- Lethal temperature 50 according to the plant survival percentage (LT_{50su})

معنی داری از لحاظ درصد نشت در بین دماهای مختلف، ارقام شبدر و اثر متقابل دما و رقم وجود دارد. در آزمایش ایشان با کاهش دما تا ۱۸ درجه سانتی گراد درصد نشت ارقام مختلف شبدر حدود ۵/۷ برابر نسبت به دمای ۶ درجه سانتی گراد افزایش داشت.

تفاوت درصد نشت الکتروولیت‌ها از برگ‌های کوشیا در شرایط کاربرد غلظت‌های مختلف تریاژول‌ها معنی دار بود (جدول ۱) و با افزایش غلظت تریاژول‌ها به ۲۰ میلی‌گرم در لیتر نشت الکتروولیت‌ها نسبت به تیمار شاهد عدم مصرف تریاژول‌ها ۲۶ درصد کاهش یافت (شکل ۱).^{a)}

درصد نشت الکتروولیت‌ها از برگ‌های گیاه کوشیا در تیمارهای بدون کاربرد تریاژول‌ها تا دمای ۴-۶ درجه سانتی گراد نسبتاً اندک و ثابت بود و با کاهش بیشتر دما به شدت افزایش یافت. محلول پاشی ۱۰ و ۲۰ میلی‌گرم در لیتر از تریاژول‌ها باعث گردید درصد نشت الکتروولیت‌ها تا دمای ۶ درجه سانتی گراد روند افزایشی نداشته باشد و نسبتاً ثابت باقی بماند. براساس این شاخص به نظر می‌رسد کاربرد غلظت‌های فوق سبب گردیده است تحمل به یخ‌زدگی کوشیا-۲ درجه سانتی گراد افزایش یابد (شکل ۲).

غشاء سلولی ساختار پویایی است که بسیاری از واکنش‌های بیوشیمیایی و بیوفیزیکی در سلول‌های گیاهی را هدایت و نقطه اثر اولیه تنش‌های محیطی می‌باشد (۱۶). تنش سرما سبب تغییر در فرآیندهای متابولیکی، کاهش فعالیت‌های آنزیمی، کاهش ظرفیت فتوسترنی و تغییر در سیالیت غشاء می‌گردد (۷). تغییر وضعیت غشاء از حالت کریستال مایع به حالت جامد-ژل فعالیت غشاء را مختل نموده (۱۶) و سبب نشت الکتروولیت‌ها از سلول می‌گردد، لذا اندازه‌گیری میزان نشت از بافت‌های تحت تنش می‌تواند معیار قابل قبولی برای سنجش مقاومت به تنش سرما باشد (۱۶ و ۲۵).

گوپی و همکاران (۱۳) گزارش نمودند که در هویج (*Daucus carota*) استفاده از تریاژول‌ها منجر به کاهش نشت الکتروولیت‌ها گردید. گیاهچه‌های گندم تیمار شده با پاکلوبوتراژول در شرایط تنش دما استحکام غشاء بیشتری داشتند (۱۹) و تیمار یونیکوناژول در سویا سبب کاهش نشت الکتروولیت‌ها گردید (۲۰). در ذرت نیز پاکلوبوتراژول سبب تغییر خصوصیات غشاء گردیده و بهبود نواحی خسارت دیده را سرعت بخشیده است (۲۷). از آن جایی که تریاژول‌ها بیوسنتر و ترکیب استرول‌ها در غشاء پلاسمایی را تغییر می‌دهند (۳۰)، لذا این تغییرات ممکن است سبب افزایش پایداری و پیوستگی غشاء و افزایش قدرت تطابق‌بندی گیاه گردد، همان‌گونه که در صنوبر سفید نیز این تغییرات مشاهده شده است (۳۰).

نوع تریاژول‌ها (پنکوناژول، هگزاکوناژول) تأثیر معنی داری بر درصد نشت الکتروولیت‌ها از برگ کوشیا نداشت (شکل ۲)، به طوری که با کاهش دما تا ۶ درجه سانتی گراد تفاوت معنی داری در نشت الکتروولیت‌ها بین دو تیمار فوق مشاهده نشد. با این وجود در

سپس درصد نشت الکتروولیت‌ها با استفاده از معادله (۱) محاسبه شد.

(۱) $(E1/E2) \times 100 =$ درصد نشت الکتروولیت سپس گلدان‌ها به محیط طبیعی منتقل شده و پس از سه هفته درصد بقاء و بازیافت گیاهان مورد ارزیابی قرار گرفت. درصد بقاء گیاهان از طریق شمارش تعداد بوته‌های زنده در هر گلدان و از طریق معادله (۲) محاسبه شد.

(۲) $[(\text{تعداد گیاهان قبل از تیمار یخ‌زدگی}) / (\text{تعداد گیاهان زنده سه هفته پس از تیمار یخ‌زدگی})] \times 100 =$ درصد بقاء درجه حرارت کشنده برای ۵۰ درصد نمونه‌ها براساس نشت الکتروولیت‌ها (LT_{50el})^۱ و درصد بقاء (LT_{50su}) به ترتیب با استفاده از رسم نمودار درصد نشت الکتروولیت‌ها و درصد بقاء گیاهان در مقابل دماهای یخ‌زدگی تعیین گردید (۲۵).

به منظور تعیین بازیافت گیاهان، ارتفاع آنها اندازه‌گیری شد و سپس بوته‌ها برداشت شده و وزن خشک آنها پس از ۴۸ ساعت قرار گیری در آون با دمای ۷۰ درجه سانتی گراد تعیین شد. تجزیه آماری داده‌ها با استفاده از نرم افزار MSTATC انجام گردید، جهت رسم نمودارها و تعیین LT₅₀ از نرم افزار SlideWrite استفاده شد و مقایسه میانگین داده‌ها نیز با استفاده از آزمون LSD در سطح اطمینان ۹۵ درصد انجام شد.

نتایج و بحث

نشت الکتروولیت‌ها: کاهش دما تأثیر معنی داری (P ≤ 0.01) بر درصد نشت الکتروولیت‌های برگ کوشیا داشت (جدول ۱) و با کاهش دما، میزان نشت الکتروولیت‌ها افزایش یافت (شکل ۱). در بررسی اثر دماهای یخ‌زدگی بر میزان نشت الکتروولیت‌ها برگ کوشیا مشاهده می‌شود که شب افزایش نشت الکتروولیت‌ها تقریباً از دمای ۴ درجه سانتی گراد شروع و با کاهش دما افزایش پیدا کرده و در دمای ۸-۱۰ درجه سانتی گراد به حداقل رسید (شکل ۱). نشت الکتروولیت‌ها از برگ‌ها در دماهای ۲ و ۴-۶ تقریباً معادل با دمای صفر درجه سانتی گراد و در دماهای ۶-۸ در مقایسه با دمای صفر درجه سانتی گراد به ترتیب ۲/۶ و ۶/۴ برابر افزایش داشت. در بررسی نایار و همکاران (۲۳) روی اثر تنش سرما بر گیاهچه‌های دو هفت‌های نخود نیز مشاهده شد که با کاهش دما، نشت الکتروولیت‌ها افزایش یافت. ایوکینا و همکاران (۸) بیان کردند که روش نشت الکتروولیت‌ها یک روش کاربردی و آسان برای به گزینی ژرم پلاسم‌های مقاوم به یخ‌زدگی در گیاه شبدر می‌باشد. ایشان در آزمایشی برگ‌های جوان ارقام مختلف شبدر را در دماهای مختلف یخ‌زدگی قرار دادند و سپس با محاسبه درصد نشت الکتروولیت‌ها در آنها بیان کردند که تفاوت

1- Lethal temperature 50 according to the electrolyte leakage percentage (LT_{50el})

داشت و افزایش غلظت قارچ کش به ۱۰ و ۲۰ میلی‌گرم در لیتر نسبت به عدم کاربرد آن موجب شد تا LT_{50el} از ۵/۹-۷/۲ به درجه سانتی‌گراد برسد (شکل ۴). از سوی دیگر و هرچند کاربرد قارچ کش‌ها نسبت به عدم کاربرد آنها موجب بهبود LT_{50el} شده است، ولی محلول پاشی گیاهچه‌های کوشیا با غلظت ۱۰ میلی‌گرم در لیتر قارچ کش هگزاکونازول نسبت به کاربرد ۲۰ میلی‌گرم در لیتر از همین قارچ کش، LT_{50el} را بیشتر کاهش داده است، در حالی که در قارچ کش پنکونازول در غلظت ۲۰ میلی‌گرم در لیتر، LT_{50el} کاهش بیشتری نسبت به غلظت کمتر این ماده داشته است (شکل ۴).

دمای ۸ درجه سانتی‌گراد درصد نشت در تیمار محلول‌پاشی هگزاکونازول از پنکونازول مقداری کمتر بود و لذا به نظر می‌رسد تریازول‌ها تأثیر مشابهی بر افزایش نشت الکتروولیت‌ها در این گیاه داشته‌اند.

گاستا و همکاران (۱۴) دمایی را که سبب ۵۰ درصد نشت الکتروولیت‌ها از بافت‌های گیاهی می‌شود، به عنوان دمای ۵۰ درصد کشنده‌گی براساس درصد نشت الکتروولیت‌ها (LT_{50el}) پیشنهاد کردند. شاشیکومار و ناس (۳۳) با انجام آزمایشی روی هشت رقم پنجه مرغی (*Cynodon dactylon*) مشاهده نمودند که ارقام حساس‌تر به سرما، LT_{50el} بالاتری نسبت به ارقام مقاوم داشتند. در این مطالعه کاربرد غلظت‌های مختلف قارچ کش تأثیر معنی‌داری ($P \leq 0.01$) بر

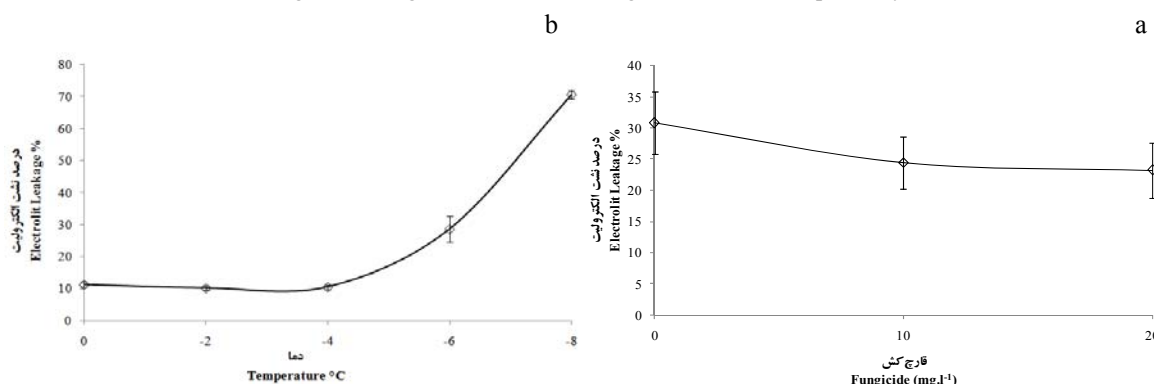
جدول ۱- منابع تغییرات، درجه آزادی و میانگین مربعات اثر تریازول‌ها، غلظت آنها و دما بر درصد نشت الکتروولیت‌ها، درصد بقاء، ارتفاع و وزن خشک گیاه کوشیا در شرایط کنترل شده

Table 1- Source of variation, degrees of freedom, and mean squares of effect of triazole concentration and temperature on the electrolytes leakage, survival percentage, height plant and dry weight of kochia under controlled conditions

منابع تغییرات	S.O.V	DF	درجه آزادی	نشست الکتروولیت‌ها	درصد بقاء	ارتفاع بوته	وزن خشک
				Electrolyte leakage	% Survival	High plant	Dry weight
(Fungicide)	قارچ کش	1		37 ^{ns}	7 ^{ns}	35 ^{ns}	0.1 ^{ns}
(Concentration)	غلظت	2		497 ^{**}	149 ^{ns}	112 [*]	0.7 ^{**}
(Fungicide× Concentration)	قارچ کش × غلظت	2		10 ^{ns}	424 ^{ns}	67 ^{ns}	0.4 ^{**}
(Temperature)	دما	4		12168 ^{**}	33896 ^{**}	1826 ^{**}	4.0 ^{**}
(Fungicide× Temperature)	قارچ کش × دما	4		65 ^{**}	285 [*]	55 [*]	0.1 [*]
(Concentration× Temperature)	غلظت × دما	8		459 ^{**}	250 [*]	36 [*]	0.1 [*]
	قارچ کش × غلظت × دما	8		52 ^{**}	181 ^{ns}	21 ^{ns}	0.1 ^{ns}
(Fungicide× Concentration× Temperature)	خطا	60		12	229	25	0.1
	ضریب تغییرات % (C.V)			13.05	9.53	7.22	13.56

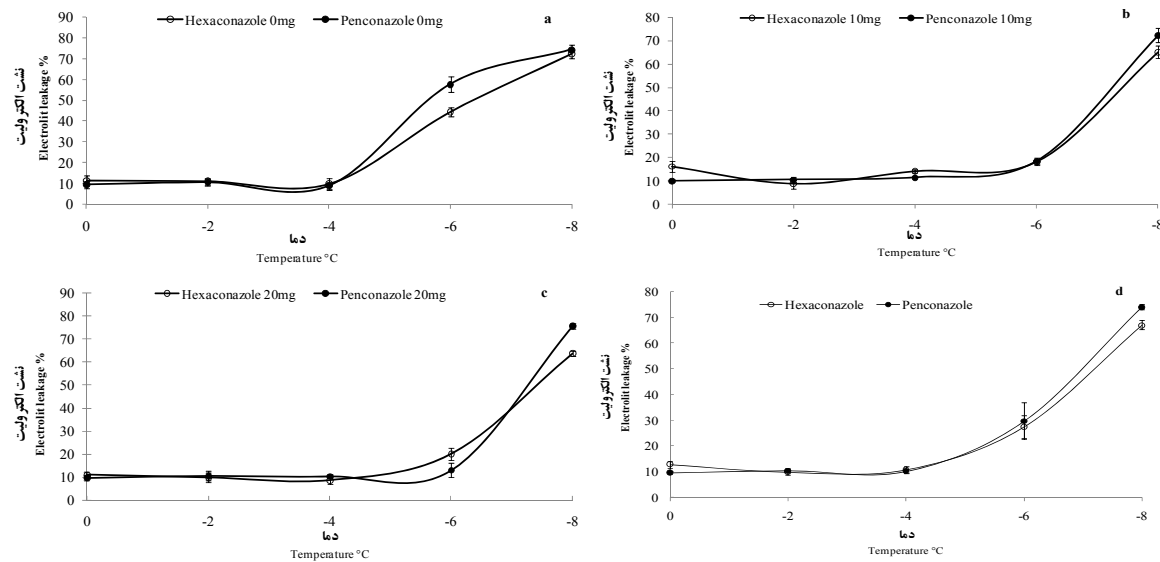
* و ** به ترتیب غیر معنی‌دار و معنی‌دار در سطح احتمال ۰/۰۱ و ۰/۰۵ ns

ns, **, * non significant, significant at 0.01 and significant at 0.05 respectively



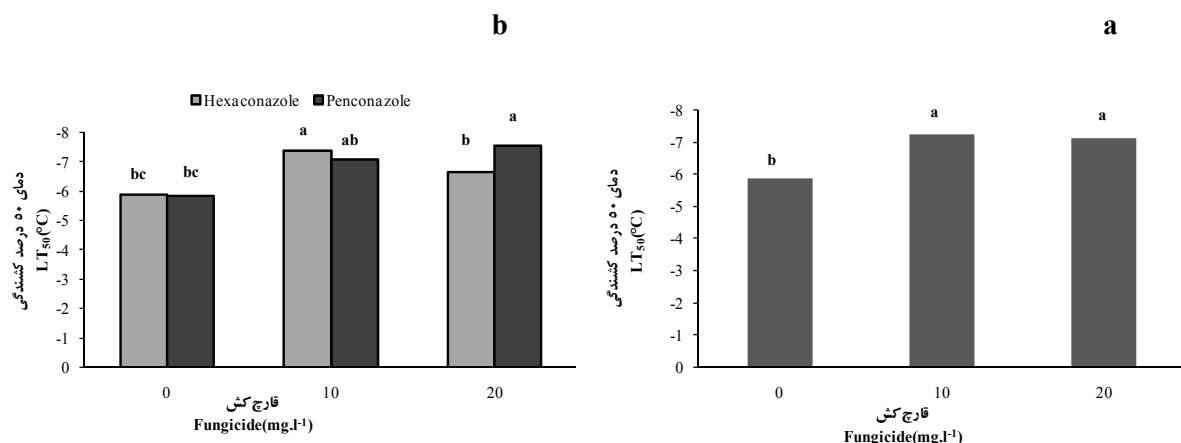
شکل ۱- اثر غلظت‌های مختلف تریازول‌ها (الف) و دما (ب) بر میزان نشت الکتروولیت‌ها در کوشیا. خطوط عمودی مقادیر خطای استاندارد را نشان می‌دهند

Figure 1- Effect of different concentration of triazoles (a) and temperature (b) on electrolyte leakage in kochia. Vertical lines indicate the standard error values



شکل ۲- تأثیر کاهش دما بر درصد نشت مواد در گوشیا (الف) بدون محلول پاشی، (ب) محلول پاشی با غلظت ۱۰ میلی گرم در لیتر، (ج) محلول پاشی با غلظت ۲۰ میلی گرم در لیتر و (د) کل تریازول ها. خطوط عمودی نشان دهنده میانگین \pm خطای استاندارد است

Figure 2- Effect of low temperature electrolytes leakage in Kochia (a) no application, (b) sprayed at a concentration of 10 mg per liter, (c) sprayed at a concentration of 20 milligrams per liter, and (d) total. Vertical lines indicate the standard error values



شکل ۳- دمای ۵۰ درصد کشندگی (LT_{50el}) تحت تأثیر غلظت های مختلف قارچ کش (الف) و اثر متقابل قارچ کش و غلظت (ب). براساس آزمون دانکن در سطح احتمال ۵٪

Figure 3- LT_{50el} under different fungicides concentration (a) and interaction between fungicides and concentration (b) according to Duncan test at 5%

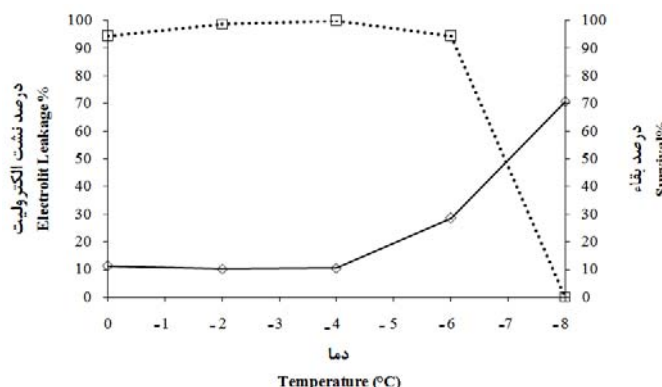
خط تندتری روند نزولی پیدا کرد و در دمای -۷ درجه سانتی گراد که نقطه تلاقي این دو صفت بود ۵۰ درصد نشت الکتروولیتها و بقاء مشاهده گردید و در دمای -۸ درجه سانتی گراد با رسیدن میزان نشت الکتروولیتها به ۷۰ درصد میزان بقاء گیاهان به صفر رسید (شکل ۵). در این مطالعه همبستگی بسیار معنی داری بین درصد نشت الکتروولیتها و درصد بقاء گیاهان وجود داشت ($r=-0.84^{***}$) (جدول ۶). به عبارت دیگر با افزایش درصد نشت الکتروولیتها، درصد بقاء

درصد بقاء و بازیافت: اثر تیمارهای دمایی بر درصد بقاء گیاهان معنی دار ($P \leq 0.01$) بود و هر چند گیاهان در شرایط اعمال تیمارهای دمایی -۲ و -۴ کاملاً زنده مانده بودند ولی با کاهش دما به کمتر از -۶ درجه سانتی گراد تمامی گیاهان از بین رفتهند (جدول ۲). بررسی رابطه بین میزان نشت الکتروولیتها و درصد بقاء در شکل ۴ نشان می دهد که در دمای -۶ درجه سانتی گراد میزان نشت الکتروولیتها به شدت افزایش یافت و در همین دما میزان بقاء با شب

دما درصد بقاء گیاهان کاهش یافت. در آزمایش ایشان بیشترین درصد بقاء در تیمار شاهد (صفر درجه سانتی گراد) و کمترین آن در دمای -2°C درجه سانتی گراد مشاهده شد.

اثر تیمارهای دمایی بر ارتفاع گیاه معنی دار ($P \leq 0.05$) بود. ارتفاع بوته‌های کوشیا با کاهش دما به کمتر از -4°C درجه سانتی گراد کاهش یافت (جدول ۲) و در دمای -6°C درجه سانتی گراد $24/6$ درصد کمتر از دمای صفر درجه سانتی گراد بود. عزیزی و همکاران (۳) با بررسی ارتفاع ارقام گندم در شرایط تنفس یخ‌زدگی گزارش کردند که ارتفاع بوته با کاهش دما کاهش می‌یابد. همچنین نظامی و همکاران (۲۵) نیز با بررسی تحمل به یخ‌زدگی ارقام جو (*Hordeum vulgare*) نتایج مشابهی گزارش کردند.

گیاهان کاهش یافته است. با وجود این بررسی شکل ۵ نشان می‌دهد که حداقل نشت برای مرگ گیاهان 70°C درصد بوده لذا 50°C درصد آن 35°C درصد می‌شود که گیاهان در این درصد نشت (یعنی 35°C درصد هنوز 90°C درصد بقاء داشته‌اند. در حقیقت نشت حدوداً 40°C درصد الکتروولیت‌ها از برگ‌ها سبب 50°C درصد مرگ گیاهان براساس درصد بقاء شده است. محققان معتقدند که یک روش ارزیابی می‌بایست ساده، قابل تکرار و غیر تخریبی باشد (۱۵) و لذا جهت بررسی نشت الکتروولیت‌ها غالباً از برگ‌های گیاهان استفاده می‌شود (۲۴) زیرا در این حالت می‌توان بقاء گیاهان را نیز مورد بررسی قرار داد. عزیزی و همکاران (۳) در بررسی تحمل به یخ‌زدگی ارقام گندم مشاهده نمودند که اثر تیمارهای دمایی بر درصد بقاء گیاهان معنی دار بود و با کاهش



شکل ۴- منحنی درصد بقاء و نشت الکتروولیت‌های کوشیا تحت تأثیر دمایی یخ‌زدگی در شرایط کنترل شده (بقاء □ و نشت الکتروولیت ◇)

Figure 4- Curve of survival and electrolyte leakage of kochia under freezing temperatures at controlled conditions (survival □ and leak leakage ◇)

جدول ۲- اثر قارچ‌کش، غلظت آن و دما بر درصد بقاء، ارتفاع بوته و وزن خشک بوته کوشیا سه هفته پس از بازیافت

Table 2- Effect of fungicides, concentration and temperature on survival, plant height and plant dry weight of Kochia three weeks after recovery

تیمار Treat	درصد بقاء % Survival	ارتفاع بوته High plant (cm)	وزن خشک Dry weight (g.plant ⁻¹)
Fungicide			
هگزاکونازول	77.2 ^a	17.7 ^a	0.8 ^a
پنکونازول	77.7 ^a	16.4 ^a	0.8 ^a
غلهای (mg.l⁻¹)			
0	80.0 ^a	19.1 ^a	1.0 ^a
10	76.6 ^a	16.8 ^{ab}	0.7 ^b
20	75.8 ^a	15.2 ^b	0.7 ^b
Temperature °C			
0	94.4 ^a	21.5 ^a	1.1 ^a
-2	98.6 ^a	24.4 ^a	1.0 ^{ab}
-4	100.0 ^a	23.3 ^a	1.1 ^a
-6	94.4 ^a	16.2 ^b	0.8 ^b
-8	00.0 ^b	0.0 ^c	0.0 ^c

میانگین‌های دارای حروف مشابه مربوط به هر تیمار در هر ستون، براساس آزمون دانکن در سطح احتمال ۵٪ تفاوت معنی دار ندارند.

Means with the same letters of each group in each column, according to Duncan test at 5%, no significant difference

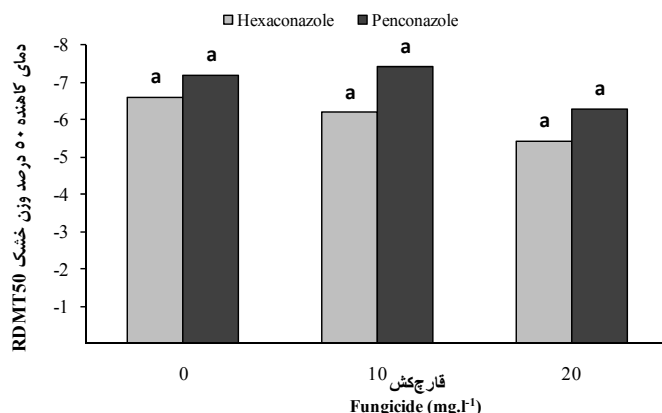
ارتفاع گیاه در تیمار قارچ کش پنکونازول در دمای ۴- درجه سانتی گراد مشاهده شد (جدول ۳). اثر متقابل غلظت قارچ کش و دما نیز بر ارتفاع گیاهان معنی دار ($P \leq 0.05$) بود و بیشترین ارتفاع بوته را در غلظت ۱۰ میلی گرم در لیتر گیاهان در دمای ۴- درجه سانتی گراد داشتند، در حالی که بیشترین ارتفاع بوته در غلظت ۲۰ میلی گرم در لیتر، در دمای صفر درجه سانتی گراد مشاهده شد.

اثر تیمارهای دمایی بر وزن خشک گیاه در پایان دوره بازیافت معنی دار ($P \leq 0.05$) بود و به استثنای دمای ۸- درجه سانتی گراد که گیاهچه های کوشیا از بین رفتند، وزن خشک بوته های کوشیا با کاهش دما به کمتر از ۶- درجه سانتی گراد، ۳۷/۳ درصد کمتر از دمای صفر درجه سانتی گراد بود (جدول ۲). این کاهش احتمالاً ناشی از خسارت يخ زدگی بر توانایی رشد مجدد اندام های گیاهی در مرحله بازیافت بوده است. نظامی و همکاران (۲۵) با بررسی وزن خشک ارقام جو در شرایط تنفس يخ زدگی گزارش کردند که وزن خشک گیاه در تیمار دمایی ۴- درجه سانتی گراد ۶/۵ درصد کمتر از تیمار شاهد بود، در صورتی که در تیمار دمایی ۱۶- درجه سانتی گراد به کمتر از ۶۰ درصد تیمار شاهد (عدم يخ زدگی) رسید.

هرچند ارتفاع بوته گیاهچه های کوشیا در پایان دوره بازیافت تحت تأثیر نوع قارچ کش مورد استفاده قرار نگرفت (جدول ۲) ولی غلظت های مختلف قارچ کش ها تأثیر معنی داری ($P \leq 0.01$) بر ارتفاع گیاهچه های کوشیا داشتند (جدول ۲) و با افزایش غلظت قارچ کش ها از صفر به ۱۰ و ۲۰ میلی گرم در لیتر ارتفاع بوته به ترتیب ۱۱/۷ و ۲۰/۱ درصد کاهش یافت (جدول ۲).

تربازول ها سبب تحریک گروهی از واکنش های مورفولوژیکی، فیزیولوژیکی و بیوشیمیایی در گیاهان می گردند. برخی از این واکنش ها شامل کاهش طوبیل شدن ساقه، تحریک رشد ریشه و افزایش محتوی کلروفیل می باشد. این ترکیبات همچنین سبب تغییر در بیوسنتر جیرلین و وضعیت کربوهیدرات ها در گیاهان گردیده و مقاومت به تنفس ها را افزایش می دهند. آنها همچنین سبب تأخیر در پیری، افزایش سنتز سیتوکینین و افزایش موقت سنتز اسید آبسیزیک می گردند (۲).

اثر متقابل قارچ کش و دما بر ارتفاع گیاه معنی دار ($P \leq 0.05$) بود. در شرایط کاربرد قارچ کش هگزاکونازول بیشترین ارتفاع بوته را گیاهان در دمای ۲- درجه سانتی گراد داشتند، در حالی که بیشترین



شکل ۵- اثر تربازول ها بر دمای کاهنده ۵۰ درصد وزن خشک (RDMT₅₀) گیاه کوشیا. براساس آزمون دانکن در سطح احتمال ۵%

Figure 5- Triazoles effect on temperature decreasing at 50% dry matter (RDMT₅₀) kochia plants. According to Duncan test at 5%

کوشیا مشاهده شد که استفاده از ۱۰ میلی گرم در لیتر هگزاکونازول سبب کاهش ۱۹/۳ درصدی وزن خشک گیاه نسبت به تیمار شاهد شد، در حالی که استفاده از ۱۰ میلی گرم در لیتر قارچ کش پنکونازول سبب کاهش ۲۶/۴ درصدی وزن خشک کوشیا شده است. نکته قابل توجه این است که کمترین وزن خشک گیاه در تیمار هگزاکونازول در غلظت ۱۰ میلی گرم در لیتر و در تیمار پنکونازول در تیمار ۲۰ میلی گرم در لیتر حاصل شده است (جدول ۳). اثر متقابل غلظت

میزان ماده خشک تولیدی سه هفته پس از بازیافت تحت تأثیر غلظت قارچ کش های مورد استفاده قرار گرفت (جدول ۲). بیشترین مقدار ماده خشک تولیدی در تیمار محلول پاشی بدون قارچ کش به دست آمد که اختلاف معنی داری ($P \leq 0.01$) با غلظت های ۱۰ و ۲۰ میلی گرم در لیتر داشت، به طوری که میزان کاهش ماده خشک تولیدی در تیمارهای کاربرد قارچ کش ۳۰ درصد کمتر از شاهد بود (جدول ۲). در بررسی اثر متقابل نوع قارچ کش و غلظت آن بر وزن خشک

نتایج تحقیقات روی تریازول‌ها نشان داده است که این ترکیبات از فعالیت کاثورون اکسیداز جلوگیری می‌کنند، که این ماده نیز در مسیر سنتز جیرلین موجب تبدیل آنت کاثورون به کاثورونیک اسید می‌شود، بنابراین ترکیبات تریازول بیوسنتز جیرلین را کاهش می‌دهند. همچنین تریازول‌ها با جلوگیری از بیوسنتز جیرلین موجب افزایش بیوسنت آبسیک اسید می‌شوند که در نهایت کاهش رشد را در پی دارند (۲). این کاهش رشد در شرایط تنفس سرما باعث می‌شود که سطح تماس گیاه با توده‌ی هوای سرد کاهش یابد و همچنین غلظت ترکیبات گیاه در حجم کمتری تجمع یابد که در نهایت افزایش تحمل به دمای‌هایی پایین را افزایش می‌دهد.

قارچ‌کش و دما بر وزن خشک گیاهان معنی‌دار ($P \leq 0.05$) بود. در گیاهان زنده کمترین وزن خشک گیاه در غلظت ۱۰ میلی‌گرم در لیتر، در دمای ۶- درجه سانتی‌گراد مشاهده شد که ۱۷/۱ درصد کمتر از تیمار شاهد بود، در حالی که کمترین وزن خشک گیاه در غلظت ۲۰ میلی‌گرم در لیتر، در دمای ۸- درجه سانتی‌گراد مشاهده شد که ۴۱/۹ درصد کمتر از تیمار شاهد بود. اثر کاربرد غلظت‌های مختلف قارچ‌کش هگزاکونازول و پنکونازول بر دمای کاهنده ۵۰ درصد وزن خشک معنی‌داری ($P \leq 0.05$) نبود، با این وجود در تمامی غلظت‌های مورد استفاده، قارچ‌کش پنکونازول دمای کاهنده ۵۰ درصد وزن خشک کمتری نسبت به قارچ‌کش هگزاکونازول داشت (شکل ۶).

جدول ۳- اثر متقابل قارچ‌کش در غلظت و قارچ‌کش در دما بر درصد بقاء، ارتفاع و وزن خشک بوته کوشیا سه هفته پس از بازیافت

Table 3- The interaction of concentration in fungicides and fungicide in temperature on survival, height and plant dry weight kochia three weeks after recovery

قارچ‌کش Fungicide	غله	وزن خشک	ارتفاع بوته	درصد بقاء Survival%
	Concentration (mg l ⁻¹)	Dry weight (g Plant ⁻¹)	High plant (cm)	
هگزاکونازول Hexaconazole	0	0.93 ^{ab}	18.6 ^a	80.0 ^a
	10	0.75 ^{bc}	17.1 ^a	80.0 ^a
	20	0.87 ^{ab}	17.6 ^a	71.6 ^a
پنکونازول Penconazole	0	1.06 ^a	19.7 ^a	80.0 ^a
	10	0.78 ^b	16.7 ^a	73.3 ^a
	20	0.55 ^c	13.0 ^a	80.0 ^a
Temperature (°C)				
هگزاکونازول Hexaconazole	0	1.20 ^a	22.6 ^a	100.0 ^a
	-2	1.03 ^a	27.7 ^a	97.2 ^a
	-4	1.21 ^a	23.6 ^a	100.0 ^a
	-6	0.80 ^a	14.7 ^a	88.9 ^a
	-8	0.00 ^b	0.0 ^b	0.00 ^b
پنکونازول Penconazole	0	1.01 ^a	20.4 ^a	88.9 ^a
	-2	1.02 ^a	21.2 ^a	100.0 ^a
	-4	1.05 ^a	23.1 ^a	100.0 ^a
	-6	0.91 ^a	17.7 ^a	100.0 ^a
	-8	0.00 ^b	0.0 ^b	0.0 ^b

میانگین‌های دارای حروف مشابه مربوط به هر تیمار در هر ستون، براساس آزمون دانکن در سطح احتمال ۵٪ تفاوت معنی‌دار ندارند.

Means with the same letters of each group in each column, according to Duncan test at 5%, no significant difference

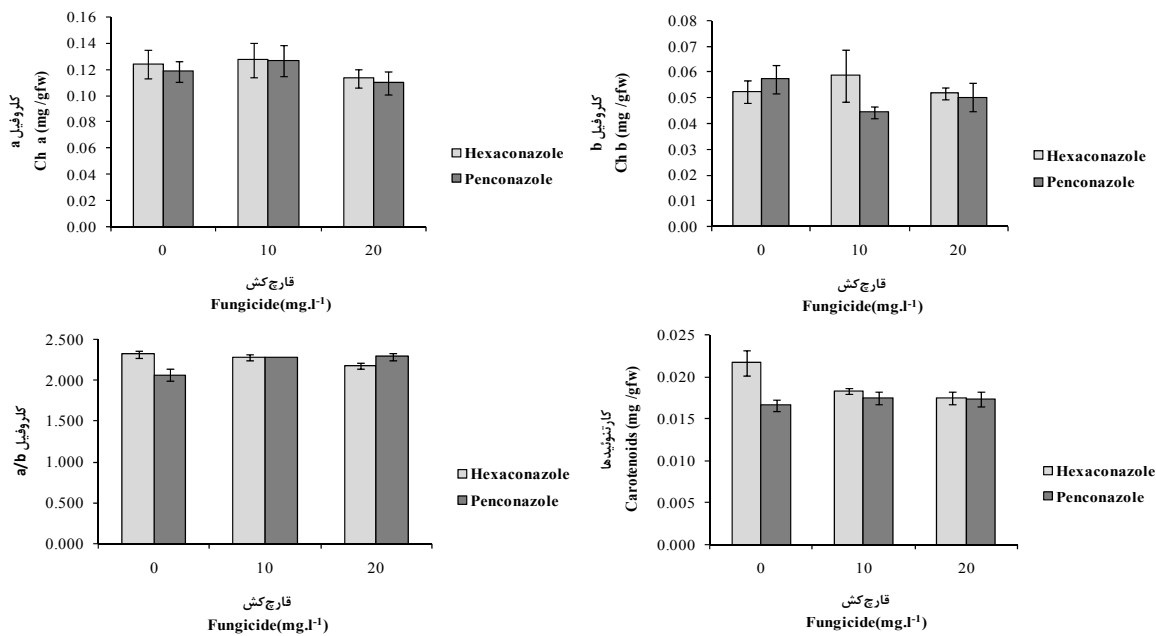
غلظت کارتوفیل‌ها در برگ کوشیا می‌شود (شکل ۷).

اثر غلظت‌های مختلف قارچ‌کش‌های هگزاکونازول و پنکونازول بر کل رنگدانه‌های فتوسترنزی حاکی از عدم تأثیر معنی‌دار این تیمار را بود با این وجود میزان کل رنگدانه‌ها در قارچ‌کش هگزاکونازول بیشتر از پنکونازول بود (جدول ۲، ۴، ۵ و شکل ۱۱).

نتایج مطالعات پیشین حاکی از افزایش میزان رنگدانه‌ها مانند کلروفیل، کارتوفیل‌ها، زانتوفیل‌ها و آنتوسیانین‌ها در نتیجه کاربرد تریازول‌ها از جمله هگزاکونازول بود (۱ و ۹)، از طرف دیگر کاهش میزان فتوسترنز و رشد در نتیجه کاربرد تریازول‌ها گزارش شده است (۴). در این آزمایش تنها نسبت کلروفیل a به کلروفیل b و مقدار کارتوفیل‌ها تحت تأثیر قارچ‌کش‌های هگزاکونازول و پنکونازول قرار گرفت و احتمالاً همانند نتایج بیشتر و همکاران (۴) کاهش میزان

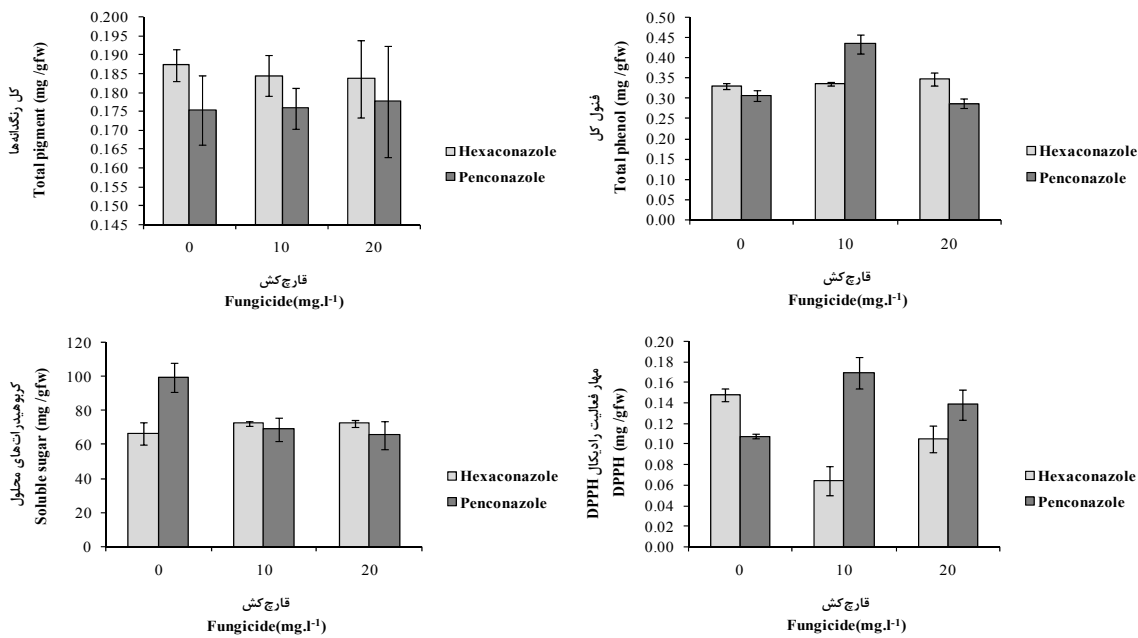
رنگدانه‌های فتوسترنزی: کاربرد قارچ‌کش‌های هگزاکونازول و پنکونازول و همچنین غلظت‌های مختلف آنها بر رنگدانه‌های فتوسترنزی کوشیا حاکی از عدم تأثیر معنی‌دار آنها بر میزان کلروفیل a و کلروفیل b بود (جدول ۴). با این وجود غلظت کلروفیل a و b در شرایط کاربرد قارچ‌کش هگزاکونازول بیشتر از پنکونازول بود (جدول ۵، شکل ۷). نسبت کلروفیل a به کلروفیل b در دو قارچ‌کش مورد استفاده رفتار متفاوتی نشان داد، بهطوری که با افزایش غلظت کاربرد قارچ‌کش هگزاکونازول این نسبت کاهش و در مقابل با افزایش غلظت کاربرد قارچ‌کش پنکونازول این نسبت افزایش یافت (شکل ۷). بررسی اثر نوع و غلظت قارچ‌کش‌ها از نظر غلظت کارتوفیل‌ها نشان داد که افزایش غلظت هر دو قارچ‌کش موجب کاهش معنی‌دار

فتوستز موجب کاهش ماده خشک تولیدی شده است.



شکل ۶- اثر غلظت‌های مختلف هگزاکونازول و پنکونازول بر میزان کلروفیل a، کلروفیل b، نسبت کلروفیل a/b و مقدار کارتونئیدها در کوشیا. خطوط عمودی نشان‌دهنده میانگین ± خطای استاندارد است

Figure 6- The effect of different concentrations of hexaconazole and penconazole on chlorophyll a, chlorophyll b, a/b and carotenoids content in Kochia .Vertical lines indicate the standard error values



شکل ۷- اثر غلظت‌های مختلف قارچ کشن‌های هگزاکونازول و پنکونازول بر کل رنگدانه‌های فتوستزی، میزان فنل، کربوهیدرات‌های محلول و فعالیت مهار رادیکال DPPH کوشیا. خطوط عمودی نشان‌دهنده میانگین ± خطای استاندارد است

Figure 7- The effect of hexaconazole and penconazole on total photosynthetic pigments, phenol, soluble sugar and DPPH in kochia.Vertical lines indicate the standard error values

جدول ۴- منابع تغییرات، درجه آزادی و سطح احتمال معنی‌داری (P) اثر غلظت قارچ‌کش‌های هگزاكونازول و پنکونازول بر مقدار کلروفیل a، کلروفیل b، کارتوئینیدها، کل رنگدانه‌ها، فتل کل، کربوھیدرات‌های محلول و مهار فعالیت رادیکال در گیاه کوشیا در شرایط کنترل شده

Table 4- Source of variation, degrees of freedom, and probability effect of hexaconazole and penconazole on Chl a, chlorophyll b, chlorophyll a/b, carotenoids, total pigments,

S.O.V	منابع تغییرات	Df	درجه آزادی	DPPH	کربوھیدرات‌های محلول	مهار فعالیت رادیکال	فتل کل	کل رنگدانه‌ها	کارتوئینیدها	Total pigments	Carotenoids	Chl a	Chl b	کلروفیل a/b	کلروفیل b/Chl b	a/b	کلروفیل a
(Fungicide)	قارچ‌کش	1		0.006**	0.164 ns	0.753 ns	0.250 ns	0.016**	0.180 ns	0.459 ns	0.729 ns						
(Concentration)	غذایت	2		0.663 ns	0.088 ns	0.001**	0.992 ns	0.163 ns	0.170 ns	0.775 ns	0.335 ns						
	قارچ‌کش × غذایت				0.001**	0.015**	0.001**	0.947 ns	0.036*	0.004**	0.266 ns	0.968 ns					
(Fungicide× Concentration)		2															
(Error)	دکھا	12															
(C.V) %	ضریب تغییرات				8.53	7.79	6.11	6.62	4.75	9.91	7.45	7.22					

ns, **, * non significant, significant at 0.01 and significant at 0.05 respectively

*بدترتب غیر معنی‌دار و معنی‌دار در سطح احتمال ۰/۰۵ و ۰/۰۱.

جدول ۵- میزان کلروفیل a، کلروفیل b، کارتوئینیدها، کل رنگدانه‌ها، فتل کل، کربوھیدرات‌های محلول و مهار فعالیت رادیکال در DPPH در گیاه کوشیا تحت تأثیر غلظت‌های مختلف قارچ‌کش‌های هگزاكونازول و پنکونازول

Table 5- Effect of different hexaconazole and penconazole concentrations on chlorophyll a, chlorophyll b, chlorophyll a/b, carotenoids, total pigments, total phenols, soluble carbohydrates and DPPH in kochia plants

Fungicide	قارچ‌کش	کلروفیل a	کلروفیل b	a/b	کلروفیل a/b	کارتوئینیدها	کل رنگدانه‌ها	فتل کل	کل رنگدانه‌ها	کلروفیل a	کلروفیل b	کلروفیل a/b	DPPH	کربوھیدرات‌های محلول	کربوھیدرات‌های محلول	DPPH	
Hexaconazole	غذایت	0.122 a	0.054 a	2.261 a	0.019 a	0.185 a	0.185 a	0.339 a	0.339 a	70.516 a		0.106 b					
Penconazole	پنکونازول	0.119 a	0.051 a	2.212 a	0.017 b	0.176 a	0.176 a	0.343 a	0.343 a	78.095 a		0.139 a					
Concentration (mg.l ⁻¹)																	
0	غذایت	0.121 a	0.055 a	2.193 a	0.019 a	0.181 a	0.181 a	0.319 b	0.319 b	83.109 a		0.128 a					
10	غذایت	0.127 a	0.052 a	2.279 a	0.018 a	0.180 a	0.180 a	0.386 a	0.386 a	70.759 a		0.117 a					
20	غذایت	0.112 a	0.051 a	2.236 a	0.017 a	0.181 a	0.181 a	0.318 b	0.318 b	69.049 a		0.122 a					

میزان‌های درای حروف مشابه مربوط به هر تیمار در هر متغیر براساس آزمون داکن در سطح احتمال ۰/۰۵٪ تفاوت معنی‌داری نداشت.

Means with the same letters of each group in each column, according to Duncan test at 5%, no significant difference

نبود، اما کاهش دما به پایین تر از -4°C درجه سانتی گراد سبب افزایش شدیدی در درصد نشت الکتروولیت‌ها گردید. همچنین افزایش غلظت قارچ‌کش‌های هگزاکوناژول و پنکوناژول از صفر به 10°C و 20°C میلی‌گرم در لیتر موجب کاهش میزان نشت الکتروولیت‌ها شد. همچنین محلول‌پاشی 10°C و 20°C میلی‌گرم در لیتر از قارچ‌کش‌های پنکوناژول و هگزاکوناژول موجب شد که درصد نشت الکتروولیت‌ها با کاهش دما تا -6°C درجه سانتی گراد روند افزایشی نداشته باشد. بنابراین کاربرد این قارچ‌کش‌ها به صورت محلول‌پاشی قبل از وقوع تنفس بخزدگی موجب افزایش -2°C درجه سانتی گراد در تحمل به بخزدگی کوشیا (از نظر شاخص نشت الکتروولیت‌ها) شده است. بررسی همبستگی بین نشت الکتروولیت‌ها با سایر صفات حاکی از رابطه منفی و معنی دار ($P \leq 0.01$) بین این خصوصیت با وزن خشک و ارتفاع بوته بود (جدول ۶). افزایش نشت الکتروولیت‌ها از غشاء سلول موجب مختلل شدن فیزیولوژی رشد گیاه شده و امکان رشد طبیعی و تولید زیست توده را از گیاه سلب می‌کند (۳۵). در این آزمایش مشاهده شد که رابطه نشت الکتروولیت‌ها تحت تأثیر دماهای بخزدگی با میزان کارتنتوئیدها در کوشیا مثبت و معنی دار ($P \leq 0.01$) بود (جدول ۶). تولید کارتنتوئید در شرایط تنفس‌های محیطی به عنوان یک آنتی اکسیدانت می‌تواند گیاه را در برابر صدمات احتمالی تا حدی محافظت کند (۲۸).

دماهای بخزدگی تأثیر معنی داری بر درصد بقاء، ارتفاع و وزن خشک گیاهان داشتند و کاهش دما منجر به کاهش صفات فوق شد. ارتفاع و وزن خشک گیاهان نیز تحت تأثیر غلظت قارچ‌کش قرار گرفت و با افزایش غلظت قارچ‌کش این صفات کاهش یافتند. در این مطالعه همبستگی منفی و معنی داری ($P \leq 0.01$) بین درصد نشت الکتروولیت‌ها و درصد بقاء گیاهان وجود داشت (جدول ۶)، به عبارت دیگر با افزایش درصد نشت الکتروولیت‌ها، درصد بقاء گیاهان کاهش یافته است. با وجود این و هرچند محلول‌پاشی تریاژول‌ها قبل از تنفس بخزدگی سبب کاهش LT_{50} گردید ولی درصد بقاء تحت تأثیر تریاژول‌ها قرار نگرفت. همبستگی تریاژول‌ها با پایداری غشاء در آزمایش‌های پیشین توسط فلتچر و همکاران (۱۰) گزارش شده بود. همچنین گپی و همکاران (۱۳) گزارش کردند که تیمار بوته‌های هویج با تریاژول‌ها مخصوصاً هگزاکوناژول و پاکلوبوتراژول نشت الکتروولیت‌ها را حدود 20°C درصد کاهش می‌دهد. تریاژول‌ها بیوستز استرول را دگرگون کرده و تجمع آن را در غشاء پلاسمایی تغییر می‌دهد (۳۰). این تغییر در تجمع استرول تغییرات زیادی در غشاء سلول ایجاد کند که ممکن است نتیجه آن افزایش پایداری غشاء باشد (۳۰). در مطالعه حاضر نشت الکتروولیت‌ها بلا فاصله پس از اعمال تنفس بخزدگی و درصد بقاء سه هفته پس از بروز تنفس بخزدگی اندازه‌گیری شد و لذا هر چند ممکن است کاربرد تریاژول‌ها در ابتدا بر کاهش درصد نشت الکتروولیت‌ها تأثیر مثبت داشته است، ولی درصد

بررسی غلظت ترکیبات فنلی در کوشیا نشان داد مقدار این ترکیبات با افزایش غلظت قارچ‌کش هگزاکوناژول افزایش یافت اما این افزایش از نظر آماری معنی داری نبود. در مقابل تیمار کاربرد قارچ‌کش پنکوناژول در غلظت 10°C میلی‌گرم در لیتر بیشترین میزان ترکیبات فنلی را تولید کرد (شکل ۸).

ترکیبات فنل‌ها در برابر تنفس‌های میحطی سرما و گرما مکانیزم‌های حفاظتی برای گیاهان ایجاد می‌کنند این ترکیبات دسته‌ای از مواد آنتی اکسیدانتی هستند که در کاهش اثرات تنفس‌های محیطی در سلول نقش دارند (۲۹). افزایش این ترکیبات با کاربرد تریاژول‌ها می‌تواند در بهبود مکانیزم‌های تحمل به دمای گیاهان مؤثر باشد.

میزان کربوهیدرات‌های محلول با افزایش غلظت قارچ‌کش هگزاکوناژول روند صعودی داشت، با این وجود اختلاف بین غلظت‌های مختلف در این قارچ‌کش معنی دار نبود، در مقابل میزان کربوهیدرات‌های محلول در تیمار کاربرد قارچ‌کش پنکوناژول روند نزولی نشان داد، به طوری که این صفت در تیمار عدم کاربرد قارچ‌کش پنکوناژول نسبت به تیمارهای 10°C و 20°C میلی‌گرم در لیتر 30°C درصد کاهش یافت (جدول ۵ و شکل ۸).

تریاژول‌ها موجب افزایش سنتز نشاسته و دیگر کربوهیدرات‌ها شده و آنزیم‌های متابولیسم کربوهیدرات‌ها را فعال می‌کنند به طوری که می‌توان با استفاده از تریاژول‌ها به طور معنی داری میزان تولید و کیفیت غده را در گیاهان غده‌ای مانند کاساووا افزایش داد (۱۲). با توجه به اینکه گزارش شده است که وظایف کربوهیدرات‌ها در گیاه شامل، حفاظت اسمزی و بعضی از آنها مانند قندهای الکلی مهار خدمات ناشی از رادیکال‌های فعال اکسیژن مانند رادیکال‌های سوپر اکسید، پراکسید هیدروژن و رادیکال‌های هیدروکسیل به پروتئین‌ها، اسیدهای نوکلئیک و غشاء لیپیدها می‌باشد (۱۷)، بنابراین کاربرد تریاژول‌ها می‌تواند موجب کاهش خسارات ذکر شده ناشی از سرما باشد.

میزان فعالیت مهار رادیکال DPPH در گیاهان تیمار شده با قارچ‌کش پنکوناژول 24°C درصد بیشتر از قارچ‌کش هگزاکوناژول بود و اختلاف آنها معنی داری بود (جدول ۵). برهمکنش قارچ‌کش‌های هگزاکوناژول و پنکوناژول در غلظت‌های مختلف نشان داد که کاربرد غلظت‌های مختلف قارچ‌کش‌ها موجب تغییر معنی دار فعالیت مهار رادیکال DPPH شد. فعالیت مهار رادیکال DPPH در این قارچ‌کش‌ها کاملاً متفاوت بود به طوری که بیشترین و کمترین فعالیت مهار رادیکال DPPH به ترتیب در قارچ‌کش پنکوناژول و هگزاکوناژول در غلظت 10°C میلی‌گرم مشاهده شد (شکل ۸).

به طور کلی نتایج این آزمایش نشان داد که تغییرات درصد نشت الکتروولیت‌ها با کاهش دما از صفر تا -4°C درجه سانتی گراد معنی داری

بقاء و صفات مرتبط با رشد مجدد را تحت تأثیر قرار نداده است.

جدول ۶- خواص همپستگی صفات اندازه‌گیری در گیاه کوشیا تحت تأثیر غلاظت‌های مختلف قارچ‌کش‌های هجکزاکونازول و پنکونازول

	15	14	13	12	11	10	9	8	7	6	5	4	3	2	1
0.02	0.11	0.01	**-0.69	**-0.69	-0.08	0.09	0.09	-0.13	-0.03	**0.87	0.12	**-0.80	1	High plant ارتفاع یونه	.1
0.05	0.10	0.01	-0.63**	-0.63**	-0.02	-0.04	-0.07	-0.10	-0.09	**0.78	0.26**	0.71**	1	Dry weight وزن خشک	.2
0.02	0.04	-0.04	0.79**	0.79**	-0.06	0.04	0.02	-0.06	0.02	0.84**	0.12	1	Electrolyte leakage نشت الکترولیت‌ها	.3	
0.25*	0.13	-0.03	0.01	0.01	-0.20	0.05	-0.07	-0.12	-0.20	0.01	1	L.T ₅₀ Le		.4	
-0.04	0.04	-0.07	-0.66**	-0.56**	-0.03	0.03	0.03	-0.06	0.01	1	Survival _{Le}		.5		
0.25*	0.09	-0.08	0.01	0.01	-0.04	0.06	0.05	-0.10	1	L.T ₅₀ su		.6			
-0.01	-0.45**	0.05	0.01	0.01	0.08	-0.02	0.02	1	RDMT50		.7				
-0.28**	-0.25*	-0.09	0.02	0.01	-0.70**	0.95**	1	Ch a کاروتین		.8					
-0.019	-0.38**	-0.05	0.02	0.01	-0.88**	1	Chb b کاروتین		.9						
0.02	0.45**	0.03	-0.01	0.01	1	Cha/Chb alb کلروفیل		.10							
0.01	0.01	0.01	1.00**	1	Carotenoids کاروتین‌ها		.11								
0.01	-0.01	0.01	1	Total pigment مجموع رنگاندها		.12									
0.53**	-0.18	1	1	Total phenol فلل کل		.13									
-0.27**	1	1	1	Soluble sugar کربوهیدرات		.14									
			1	DPPH		.15									

* and ** significant at 0.05 and significant at 0.01 respectively

* بیانیه معنی‌دار مسلخ ۰/۰۱ و ** بیانیه معنی‌دار مسلخ ۰/۰۵.

LT_{50_{su}} رابطه مثبت و معنی داری ($P \leq 0.01$) مشاهده شد (جدول ۶). این مطلب می تواند بیان کننده این واقعیت باشد که دماهای بی خزدگی در گیاه کوشیا، افزایش میزان نشت الکتروولیتها را در پی دارد و متعاقب آن در نتیجه تولید رادیکال های آزاد در اثر نشت الکتروولیتها، گیاه مجبور به واکنش شده و میزان آنتی اکسیدان هایی مانند مهار فعالیت رادیکال DPPH را افزایش می کند. در ارتباط با اثر تریازول ها بر کاهش اثر اکسیدکننده ها گزارشات متعددی موجود می باشد (۱۹ و ۳۲). در این مطالعه تنها کاربرد قارچ کش پنکونازول (با افزایش غلظت کاربرد آن) سبب افزایش میزان فعالیت آنتی اکسیدانتی در گیاه شده است. بنابراین در صورت کاربرد این ترکیبات قبل از وقوع تنش هایی مانند سرما می توان انتظار داشت که گیاهان نسبت به تنش اکسیداتیو که معمولاً بعد از تنش سرما اتفاق می افتد متتحمل شوند.

گیاهان طیف وسیعی از تنش های محیطی را که نهایتاً منجر به بروز تنش اکسیداتیو می شود را درک می کنند. مکانیسم تحمل در برخی از تنش ها به صورت یک ارتباط درونی و نتیجه یک برنامه ریزی هماهنگ و پیچیده است. در شرایط تنش عدم توازن بین فرآیند جذب انرژی و مصرف آن توسط اندام فتوستتری باعث تولید گونه های اکسیژن فعال و ناتوانی گیاه در مهار آن می گردد که در نهایت منجر به بروز تنش در غشا های سلول و بروز علائم ناشی از صدمات اکسیداتیو می شود (۶). افزایش میزان رادیکال های فعال اکسیژن در گیاه باعث می شود که برای کاهش اثرات سمی تنش اکسیداتیو ناشی از تنش های محیطی، مکانیسم های متنوعی در گیاه فعال شود. در این شرایط میزان آنتی اکسیدانت ها افزایش یافته و آنزیم های مهار کننده گونه های اکسیژن فعال در جهت کاهش اثرات ناشی از تنش اکسیداتیو حاصل از تنش های محیطی، افزایش پیدا می کنند. در این مطالعه بین آنتی اکسیدان مهار فعالیت رادیکال DPPH و LT_{50_{Le}} و

References

- Abdul Jaleel, C., Gopi, R., and Panneerselvam, R. 2008. Growth and photosynthetic pigments responses of two varieties of *Catharanthus roseus* to triadimefon treatment. Comptes Rendus Biologies 331: 272-277.
- Abdul Jaleel, C., Manivannan, P., Sankar, B., Kishorekumar, C. A., Gopi, R., Somasundaram, R., and Panneerselvam, R. 2007. Induction of drought stress tolerance by ketoconazole in *Catharanthus roseus* is mediated by enhanced antioxidant potentials and secondary metabolite accumulation. Colloids and Surfaces B: Biointerfaces 60: 201-206.
- Azizi, H., Nezami, A., Nasiri Mahalati, M., and Khazaie, H. R. 2007. Evaluation of cold tolerance in wheat (*Triticum aestivum L.*) cultivars under controlled conditions. Iranian Journal of Field Crops Research 1: 1-12. (in Persian with English abstract).
- Bisht, R., Singariya, P., Mathur, N., and Bohra, S. P. 2007. Triazoles: Their effects on net photosynthetic rate, transpiration rate and stomatal resistance in *Setaria italica* plants grown *in vivo*. Asian Journal of Experimental Sciences 21: 271-276.
- Blum, A. 1988. Plant breeding for stress environments. CRC Press, Inc., Boca Raton, FL.
- Boughammi, N., Michonneau, P., Verdus, M. C., Piton, F., Ferjani, E., Bizard, E., and Fleurat-Lessard, P. 2003. Structural changes induced by NaCl in companion and transfer cells of *Medicago sativa* blades. Protoplasma 220: 179-187.
- Dubey, R. S. 1997. Photosynthesis in plants under stressful conditions. In: Pessarakli. M (Eds.) Hand book of Photosynthesis. Marcel Dekker Inc, New York.
- Eugenio, M., Nunes, S., and Ray Smith, G. 2003. Electrolyte leakage assay capable of quantifying freezing resistance in rose clover. Crop Science 43: 1349-1357.
- Fletcher, R., and Hofstra, G. 1988. Triazoles as potential plant protectants. In: Sterol synthesis inhibitors in plant protection. Eds D. Berg, M. Plempel, Cambridge, Ellis Horwood Ltd, 321-331.
- Fletcher, R. A., Gilley, A., Davis, T. D., and Sankhla, N. 2000. Triazoles as plant growth regulators and stress protectants. Horticultural Reviews 24: 55-138.
- Fowler, D. B., and Gusta, L. V. 1979. Selection for winter hardiness in wheat. I. Identification of genotypic variability. Crop Science 19: 769-772.
- Gomathinayagam, M., Jaleel, C. A., Lakshmanan, G. M. A., and Panneerselvam, R. 2007. Changes in carbohydrate metabolism by triazole growth regulators in cassava (*Manihot esculenta* Crantz); effects on tuber production and quality. Comptes Rendus Biologies 330: 644-655.
- Gopi, R., Jaleel, C. A., Sairam, R., Lakshmanan, G. M. A., Gomathinayagam, M., and Panneerselvam, R. 2007. Differential effects of hexaconazole and paclobutrazol on biomass, electrolyte leakage, lipid peroxidation and antioxidant potential of *Daucus carota* L. Colloids and Surfaces B: Biointerfaces 60: 180-186.
- Gusta, L. V., Fowler, D. B., and Tyler, N. J. 1982. Factors influencing hardening and survival in winter wheat. In: Plant cold hardiness and freezing stress - mechanisms and crop implications, Vol. 2, In. Li P.H. and Sakai A.

- (Eds.). Academic Press, New York, 23-40.
15. Gusta, L. V., O'Connor, B. J., Gao, Y. P., and Jana, S. 2001. A re-evaluation of controlled freeze-test and controlled environment hardening conditions to estimate the winter survival potential of winter wheats. Canadian Journal of Plant Science 81: 241-246.
 16. Hana, B., and Bischofa, J. C., 2004. Direct cell injury associated with eutectic crystallization during freezing. Cryobiology 48: 8-21.
 17. Hasegawa, P. M., Bressan, R. A., Zhu, J. K., and Bohnert, H. J. 2000. Plant cellular and molecular responses to high salinity. Annual Review of Plant Physiology and Plant Molecular Biology 51: 463-499.
 18. Jami Al Ahmadi, M., and Kafi, M. 2008. Kochia (*Kochia scoparia*): To be or not to be? In: Crop and forage production using saline waters, In. Kafi M. and Khan M.A. (Eds.). NAM S&T Centre. Daya Publisher, New Delhi.
 19. Kraus, T.E., and Fletcher, R. A. 1994. Paclobutrazol protects wheat seedlings from heat and paraquat injury. Is detoxification of active oxygen involved? Plant Cell Physiology 35: 45-52.
 20. Kraus, T. E., Evans, R. C., Fletcher, R. A., and Pauls, K. P. 1995. Paclobutrazol enhances tolerance to increased levels of UV-B radiation in soybean (*Glycine max*) seedlings. Canadian Journal of Botany 73: 797-806.
 21. Murry, G. A., Eser, D., Gusta, L. V., and Eteve, G. 1988. Winter hardness in pea, lentil, faba bean and chickpea. In Summerfield, R.J. (Eds.), World Crops Cool Season Food Legumes. Kluwer Academic Publishers. The Netherlands. pp. 831-843.
 22. Nabati, J. 2009. Effect of salinity on physiological characteristics and qualitative and quantitative traits of forage Kochia (*Kochia scoparia*). PhD Thesis. Ferdowsi University of Mashhad. (in Persian with English abstract).
 23. Nayyar, H., Bains, T. S., and Kumar, S. 2005. Chilling stressed chickpea seedlings: effect of cold acclimation, calcium and abscisic acid on cryoprotective solutes and oxidative damage. Environmental and Experimental Botany 54: 275-285.
 24. Nezami, A., Borzooei, A., Jahani, M., Azizi, M., and Sharif, A. 2007. Electrolyte leakage as an indicator of freezing injury in colza (*Brassica napus* L.). Iranian Journal of Field Crops Research 5: 167-175. (in Persian with English abstract).
 25. Nezami, A., Nabati, J., Borzooei, A., Kamandi, A., Masomi, A., and Salehi, M. 2010. Evaluation of freezing tolerance in barley (*Hordeum vulgar* L.) cultivars at seedling stage under controlled conditions. Environmental Stresses in Crop Sciences 3: 9-22. (in Persian with English abstract).
 26. Nezami, A., Solimani, M. R., Ziae, M., Ghodsi, M., and Bannayan Aval, M. 2010. Evaluation of freezing tolerance of hexaploid triticale genotypes under controlled conditions. Notulae Scientia Biologicae 2: 114-120.
 27. Paliyath, G., and Fletcher, R. A. 1995. Paclobutrazol treatment alters peroxidase and catalase activities in heat-stressed maize coleoptiles. Physiology and Molecular Biology of Plants 1: 171-178.
 28. Rainha, N., Lima, E., Baptista, J., and Rodrigues, C. 2011. Antioxidant properties, total phenolic, total carotenoid and chlorophyll content of anatomical parts of *Hypericum foliosum*. Journal of Medicinal Plant Research 5: 1930-1940.
 29. Rivero, R. M., Ruiz, J. M., Garcia, P. C., Lopez-Lefebre, L. R., Sanchez, E., and Romero, L. 2001. Resistance to cold and heat stress: Accumulation of phenolic compounds in tomato and watermelon plants. Plant Science 160: 315-321.
 30. Sailerova, E., and Zwiazek, J. J. 1997. Early effect of triadimefon on water relations, sterol composition and plasma membrane ATPase activity in white spruce (*Picea glauca*) needles. Physiologia Plantarum 97: 747-753.
 31. Sakai, A., and Larcher, W. 1987. Frost survival of plants: Responses and adaptation to freezing stress. Springer-Verlag, Berlin.
 32. Senaratna, T., Mackay, C., McKersie, B., and Fletcher, R. 1988. Uniconazole-induced chilling tolerance in tomato and its relationship to antioxidant content. Journal of Plant Physiology 133: 56-61.
 33. Shashikumar, K., and Nus, J. L. 1993. Cultivar and winter cover effects on Bermudagrass cold acclimation and crown moisture content. Crop Science 33: 813-817.
 34. Upadhyaya, A., Davis, T., Walser, R., Galbraith, A., and Sankhla, N. 1989. Uniconazole-induced alleviation of low temperature damage in relation to antioxidant activity. Horticultural Science 24: 955-957.
 35. Zhang, Q., Fry J., Rajashekhar, C., and Bremer, D. 2009. Membrane polar lipid changes in *Zoysiagrass rhizomes* and their potential role in freezing tolerance. Journal of the American Society for Horticultural Science 134:322-328.

Effect of Hexaconazole and Penconazole on Kochia (*Kochia scoparia*) Freezing Tolerance

A. Kamandi¹- M. Kafi²- A. Nezami²- J. Nabati^{3*}

Received: 06-05-2013

Accepted: 19-09-2015

Introduction

Cold and freezing are the most important limiting factors on development of sensitive plants. When the ambient temperature deviates from optimal, physiological, and biochemical, metabolic and molecular changes will occur within plants. This is an effort of plants to maximize growth and developmental processes and to maintain cellular homeostasis during such adverse conditions. At the extremes of the natural temperature range of plant, the degree of physiological, cellular, metabolic and molecular dysfunction becomes so severe that it leads to death. Triazoles are the most potent groups of growth retardants with multiple effects. Plant growing with paclobutrazol generally has little effect on rates of net photosynthetic rate. However, because the compound reduces leaf area, net photosynthesis on a per plant basis is probably reduced. They have exhibited growth regulating, fungicidal, herbicidal, apical and antibacterial activities. More recently, it was found that triazole compounds are able to increase tolerance of plants to cold and freezing stress. Kochia (*Kochia scoparia* (L.) Schrad.), an out crossing species whose pollen move between plants in windy areas, has recently been considered as a forage or fodder crop in marginal lands. Steppuhn and Wall (1993) claimed that Kochia offers great potential as a crop that can be grown on saline soils, yielding fodder in quantities approaching that produced by alfalfa (*Medicago sativa* L.). Shamsutdinov *et al.* (1996) also reported more than 15 Mg ha⁻¹ dry-matter production for Kochia under saline conditions and concluded that it is a good candidate for forage hay. Thus, the aim of the present study was to determine whether the triazole compounds could increase tolerance of kochia against freezing stress.

Materials and Methods

An experiment was carried out with hexaconazole and penconazole in 0, 10 and 20 mg.L⁻¹ and freezing temperatures 0, -2, -4, -6 and -8 degree centigrade in factorial based on CRBD with three replications at research greenhouse of college of agriculture, Ferdowsi University of Mashhad in 2009. Plants were kept in natural condition until three weeks after planting, which in this stage they had three leaves, and then treated with fungicide. After 24 hours plants were frozen in thermo gradient freezer, in the dark. At first, the temperature of thermo gradient freezer was five degrees centigrade, and then temperature decreased two degree centigrade per hour. In order to make ice nucleation in plant at -3-degree centigrade ice nucleation active bacteria was sprayed. Plants were keeping an hour in each temperature treatment. In order to balance the ambient temperature, the plants are kept at the desired temperature for one hour and then the pots transport in a cold chamber at a temperature of 5 ± 2°C for 24 hours. The cell membrane stability was measured through electrolyte leakage (EL) and the lethal temperature 50 (LT_{50el}) (according to EL) also were determined in the youngest developed leaf from each plant. The electrolyte leakage in the solution was measured after 24 h of floating at room temperature using a conductivity meter. Total conductivity was obtained after keeping the flasks in an oven (75°C) for 90 minutes. Results were expressed as percentage of total conductivity. Survival percentage, plant height, dry weight and (LT_{50su}) (according to survival) were determined after three weeks recovery in the natural condition. The data were analyzed statistically using a two-way ANOVA, applied to the various measured and calculated parameters, followed by a Duncan test for mean comparison between treatments at a 95 % confidence level by MSTAT-C program.

Results and Discussion

The results showed that increase of fungicide concentration by 10 and 20 mg.L⁻¹ higher than control decreased electrolyte leakage but, electrolyte leakage build-up with decrease freezing temperature. Fungicide application increased -2 °C freezing tolerance in kochia. Increasing fungicide concentration in 10 and 20 mg.L⁻¹

1- Ph.D. in agronomy Ferdowsi University of Mashhad

2- Professor, Faculty of Agriculture, Ferdowsi University of Mashhad

3- Assistant Professor, Research Center for Plant Sciences, Ferdowsi University of Mashhad

(*- Corresponding Author Email: jafarnabati@ferdowsi.um.ac.ir)

than control causes decreased $LT50_{el}$ from -5.9 to -7.2. Application of triazoles responsible of reduced electrolyte leakage but they did not effect on survival. The use of different concentrations of fungicides hexaconazole and penconazole of photosynthetic pigments in Kochia showed no significant effect. However, the concentration of chlorophyll a and b in the use of fungicides hexaconazole was more than penconazole.

Conclusions

Triazole application initially had a positive effect on the reduction of electrolyte leakage, but survival and re-growth did not affect. Generally, the use of Triazoles compounds prior to stresses such as cold, could expect the plants can tolerate oxidative stress, which usually occurs after cold stress.

Keywords: Cold, Electrolyte leakage, Lethal temperature 50, Triazole

بررسی تأثیر تاریخ کاشت بر رشد و عملکرد گیاه وسمه (*Indigofera tinctoria* L.) در شرایط

شهرود

علی انصوری^۱- حسن شهرلی^۲- حسن مکاریان^{۳*}- منوچهر قلی پور^۴

تاریخ دریافت: ۱۳۹۲/۱۲/۱۰

تاریخ پذیرش: ۱۳۹۴/۰۲/۱۴

چکیده

به منظور بررسی امکان کاشت گیاه جدید وسمه در شرایط آب و هوایی منطقه و تعیین بهترین تاریخ کاشت، پژوهشی به صورت طرح آزمایشی بلوک‌های کامل تصادفی با ۳ تکرار در مزرعه دانشکده کشاورزی دانشگاه شهرود در سال ۱۳۹۰ به اجرا در آمد. تیمارها شامل سه تاریخ کاشت ۲۸ خرداد، ۱۲ و ۲۷ تیر بودند. براساس نتایج آزمایش تاریخ کاشت زودتر به دلیل طولانی‌تر بودن طول دوره رشد، میزان حداقل ماده خشک تجمعی و سرعت رشد محصول را بهتر ترتیب به میزان ۴/۴۱ و ۳/۵۹ برابر در مقایسه با تاریخ کاشت ۲۷ تیر افزایش داد. وزن خشک برگ و ارتفاع بوته در تاریخ کاشت ۲۸ خرداد بهتر ترتیب به میزان ۵۹/۶۴ و ۵۰ درصد نسبت به تاریخ کاشت ۲۷ تیر افزایش نشان داد. همچنین کاشت زودتر عملکرد بیولوژیک را به میزان ۴۷/۲۷ درصد نسبت به کاشت دیرتر افزایش داد. به طور کلی می‌توان اظهار نمود که تاریخ کاشت ۲۸ خرداد برای کاشت وسمه در شرایط شهرود مناسب‌ترین زمان بود.

واژه‌های کلیدی: زمان کاشت، سرعت رشد محصول، گیاه دارویی، ماده خشک تجمعی

مقدمه

کاشت علاوه بر جلوگیری از اثرات سوء یخ‌بندان بر محصول باعث عدم برخورد مراحل حساس گیاه با دماهای بالا در دوره‌های انتهایی رشد می‌شود (۱). به نظر می‌رسد با کاشت زود هنگام گیاه فرست بیشتری برای استفاده از شرایط مناسب محیط (رطوبت خاک به ویژه در اوایل بهار) فراهم می‌شود، در نتیجه کانوپی گیاه در مقایسه با کاشت تأخیری توسعه بیشتری خواهد داشت که منجر به افزایش شاخص سطح برگ در کاشت زود هنگام می‌شود (۲). لوپزبل یدو و همکاران (۱۵) برای کشت‌های زود هنگام در مقایسه با کشت‌های تأخیری نخود دوام سطح برگ بیشتری را گزارش کردند. سرعت رشد محصول با معناترین واژه در تجزیه و تحلیل رشد در جوامع گیاهی است که نمایانگر میزان تجمع ماده خشک در واحد سطح زمین در یک واحد زمان مشخص می‌باشد (۵). یکی از کارهای اولیه در خصوص بررسی سازگاری و زراعی کردن گیاهان دارویی تعیین تاریخ کاشت این گیاهان می‌باشد. به طور کلی تأخیر در کاشت، مراحل نموی تعیین کننده اجزای عملکرد را ممکن است در معرض عوامل نامساعد محیطی قرار داده و قابلیت تولید اقتصادی گیاه را کاهش دهد. از عوامل مهم تعیین کننده تاریخ کاشت مطلوب در هر منطقه می‌توان به درجه حرارت مناسب خاک جهت جوانه‌زنی و میزان رشد رویشی کافی

امروزه به منظور مطالعه در زمینه‌های مختلف مانند اصلاح گیاهان، فیزیولوژی و اکولوژی گیاهی از مدل‌های آنالیز رشد گیاه استفاده می‌شود (۱۵) و به وسیله آن امکان مطالعه ارتباط پیچیده بین رشد ارقام مختلف یک گیاه با محیط و توضیح و تفسیر پاسخ‌های فیزیولوژیکی ارقام در واکنش به محیط فراهم می‌شود (۵). انتخاب تاریخ کاشت مناسب به علت ضرورت استفاده حداقل از منابع محیطی طی فصل رشد حائز اهمیت است. تاریخ کشت مناسب، ابزار مدیریتی مهمی برای تعیین بهترین تطابق زمانی مراحل فنولوژیکی گیاه با عوامل محیطی مؤثر بر آنها می‌باشد، به طوری که حداقل عملکرد حاصل شود. تاریخ کشت مناسب موجب بهره‌گیری بهینه از عوامل اقلیمی مانند درجه حرارت، رطوبت، طول روز و همچنین تطابق زمان گلدهی با درجه حرارت مناسب می‌گردد (۱۶). انتخاب بهترین زمان

۱- دانش‌آموخته کارشناسی ارشد زراعت، دانشکده کشاورزی، دانشگاه شهرود

۲- دانش‌آموخته کارشناسی ارشد اگرواکولوژی، دانشکده کشاورزی، دانشگاه شهرود

۳- دانشیار گروه زراعت دانشکده کشاورزی دانشگاه شهرود

۴- دانشیار گروه زراعت دانشکده کشاورزی دانشگاه شهرود

(Email: h.makarian@yahoo.com) - نویسنده مسئول:

ترکیب‌پذیری با طیف وسیعی از رنگ‌های طبیعی دیگر دارد، "پادشاه رنگ"^{۱۲} نامیده می‌شود. هیچ گیاه رنگی دیگر، چنین جایگاه والایی مانند گونه‌های *Indigofera* در بسیاری از تمدن‌های گذشته نداشته است (۱۳). نیل بیشتر به شکل پودر عرضه می‌شود و جهت تهیه رنگ‌های آرایشی و صنعتی مصرف عمده دارد. از آنجا که در کشور ما تحقیقات چندانی روی این گیاه صورت نگرفته و با همان روش‌های سنتی کشت و کار می‌شود^(۲). لذا به دلیل نقش مهم وسمه در درمان بیماری‌ها و صنایع غذایی - بهداشتی انجام تحقیقات به زراعی در مورد این گیاه پر رنگ‌تر جلوه می‌نماید. هدف از انجام این پژوهش بررسی تأثیر تاریخ کاشت بر رشد و عملکرد زیست توده وسمه در منطقه شاهروд بوده است.

مواد و روش‌ها

این پژوهش در خرداد ماه سال ۱۳۹۰ در مزرعه تحقیقاتی داشکده کشاورزی دانشگاه شاهرود به صورت طرح آزمایشی بلوک‌های کامل تصادفی با سه تکرار انجام شد. تیمارها شامل سه تاریخ کاشت ۲۸ خرداد، ۱۲ و ۲۷ تیر بودند. شهرستان شاهرود در عرض جغرافیایی ۳۶ درجه و ۲۵ دقیقه شرقی و طول جغرافیایی ۵۴ درجه و ۵۷ دقیقه شمالی از نصف النهار گرینویچ واقع شده است و میانگین ارتفاع آن از سطح دریا ۱۳۴۹/۱ متر است. وضعیت درجه حرارت هوا در سال انجام آزمایش در شکل ۱ نشان داده شده است. قبل از انجام عملیات آماده‌سازی زمین و اجرای نقشه آزمایش، به منظور تعیین خصوصیات فیزیکی و شیمیایی خاک از عمق ۰-۲۵ سانتی‌متری در ۱۰ نقطه از خاک مزرعه نمونه‌برداری‌هایی به صورت حرکت زیگزاگ صورت گرفت. برای این منظور از هر نقطه معادل یک کیلوگرم خاک برداشت گردید، سپس نمونه‌هایی جمع‌آوری شده را مخلوط کرده، نهایتاً یک نمونه مرکب یک کیلوگرمی که در برگیرنده کل نمونه‌ها بود، جهت تجزیه به آزمایشگاه منتقل شد. نتایج تجزیه شیمیایی و فیزیکی خاک در جدول ۱ نشان داده شده است. پس از آماده‌سازی زمین (شخم، تستیح، دیسک)، به دلیل ریز بودن بذر و به منظور استقرار سریع گیاهچه بذور وسمه، آن را به مدت شش ساعت هیدرопرایم کرده و به صورت کپه‌ای چهار عدد بذر در هر کپه کاشته شد. تراکم کاشت ۵۰ بوته در متر مربع بود. هر کرت آزمایشی شامل چهار ردیف کشت به طول سه متر، فاصله بذور روی ردیف‌های کاشت ۱۰ سانتی‌متر و فاصله بین ردیف‌ها ۲۰ سانتی‌متر در نظر گرفته شد. با توجه به شرایط خاک، نوع آبیاری و غیره بذور در عمق ۱-۱/۵ سانتی‌متری خاک قرار داده شدند. قبل از کاشت مقدار ۱۰ تن در هکتار کود دامی اضافه شد. نمونه‌گیری در شش مرحله و هر ۱۵

قبل از گلدهی اشاره کرد (۱۱).

گرایش روز افزون به سمت طب گیاهی در درمان بیماری‌ها چه در سطح جهانی و چه در داخل ایران لزوم کشت انواع گیاهان دارویی را اجتناب‌ناپذیر می‌نماید. گیاه دارویی - صنعتی وسمه (*Indigofera tinctoria* L.) متعلق به خانواده Fabaceae از هند منشاء ناشناخته‌ای است و گفته می‌شود که احتمالاً از هند منشاء گرفته است. این گیاه در سطح وسیع به منظور تولید نیل^۱ و مواد ثانویه در بعضی مناطق دنیا کشت می‌شود. گونه وحشی یا محلی آن در بیشتر کشورهای آفریقایی، در آسیا از کشورهای عربی تا جنوب شرق آسیا و در استرالیا یافت می‌شود. این گیاه در ایران به طور عمده در منطقه گیرفت و کهنوچ و همچنین در شهرستان‌های ایرانشهر و به کشت و کار می‌شود. همچنین در مناطق کوهستانی خاش، تمندان، ایرانشهر، زابل، میرجاوه، فهرج سکه‌ور و شهرستان ریگان این گیاه به صورت وحشی رشد می‌کند. سطح زیر کشت وسمه در منطقه گیرفت و کهنوچ در سال زراعی ۸۴-۸۵ ۵۲۰ هکتار با میانگین عملکرد ۲۵۰۰ کیلوگرم در هکتار اعلام شده است (۲).

از گیاه وسمه در طب سنتی استفاده بسیار می‌شود. در ایران در مناطق جنوب شرق از دم کرده برگ‌های این گیاه برای مداوای پادرد و سر درد استفاده می‌شود. همچنین در این مناطق له شده برگ‌های وسمه برای سوزش و ترک پا کاربرد دارد. در کامرون از شاخه‌های گیاه وسمه به عنوان مساوک استفاده می‌شود. در طب سنتی از عصاره برگ این گیاه (گاهی اوقات مخلوط با عسل یا شیر) برای درمان بیماری‌های صرع^۲، اختلالات عصبی^۳، آسم^۴، برونشیت‌ها^۵، تب، مشکلات معده‌ای، کلیه و طحال، به عنوان یک پیشگیری کننده هاری، به عنوان پماد برای درمان بیماری‌های پوست و بواسیر استفاده می‌شود. همچنین از عصاره برگ این گیاه برای درمان سوتگی و زخم حیوانات اهلی چون گاو و اسب کاربرد دارد. از پودر ریشه این گیاه در کامرون برای تسکین درد دندان، در تانزانیا برای مداوای کوفت^۶ (آبله فرنگی)، سوزاک و سنگ کلیه به کار برده می‌شود (۱۸). در هند از خمیر ریشه آن برای التیام زخم کاربرد دارد. همچنین از دم کرده ریشه این گیاه در هند به عنوان یک پاذهر در برابر مارگزیدگی و برای درمان نیش عقرب و حشرات استفاده می‌شود. از آنجا که وسمه دارای رنگ آبی جذاب، ثبات رنگ بسیار بالا و قدرت بالای

۱- نیل ماده‌ای است آبی رنگ یا نیلی رنگ که از برگ‌های گیاه وسمه حاصل می‌شود به همین دلیل در زبان انگلیسی این رنگ را blue نمی‌گویند بلکه آن را indigo می‌نامند.

2- Epilepsy
3- Nervous disorders
4- Asthma
5- Bronchitis
6- Syphilis

در پایان فصل، ششمین مرحله نمونه‌برداری برای محاسبه عملکرد نهایی بیولوژیک در نظر گرفته شد. از هر کرت معادل ۱/۵ متر مربع برداشت شده و پس از قرار دادن نمونه‌ها در آون با دمای ۷۰ درجه سانتی‌گراد به مدت ۴۸ ساعت، وزن زیست توده اندام هوایی و زیر زمینی، طول ساقه و ریشه تعیین شد. تجزیه واریانس و همبستگی ساده بین صفات اندازه‌گیری شده با استفاده از نرم افزار SAS انجام گرفت و برای مقایسه میانگین‌ها از آزمون LSD در سطح احتمال پنج درصد استفاده شد.

روز یکبار به صورت تصادفی از مساحت ۰/۲۵ مترمربع انجام پذیرفت. در آزمایشگاه پس از شمارش تعداد بوته‌های وسمه برداشت شده از سطح نمونه‌گیری، تعداد برگ و ارتفاع بوته تعیین شد. به منظور تعیین وزن خشک، نمونه‌های وسمه به مدت ۴۸ ساعت در آون با دمای ۷۰ درجه سانتی‌گراد قرار گرفتند. برای محاسبه سرعت رشد از معادله (۱) استفاده شد.

$$CGR = \frac{(w_2 - w_1)}{(t_2 - t_1)SA} \quad (1)$$

نتایج و بحث

ماده خشک تجمیعی

ضرایب مربوط به برآذش معادله سه پارامتری سیگموئید به داده‌های ماده خشک تجمیعی وسمه در تاریخ کاشت‌های مختلف در جدول ۲ ارائه شده است. مقایسه ضرایب مربوط به نمونه‌گیری طی فصل رشد نشان داد که بین سه تاریخ کاشت ۲۸ خرداد، ۱۲ و ۲۷ تیر، ۲۸ خرداد بیشترین ماده خشک را داشت و درجه روز تجمیعی لازم برای رسیدن به ۵۰ درصد این حداکثر ماده خشک تجمیعی ۷۳/۱/۸۶ درجه روز در این تاریخ کاشت بود (شکل ۲a و جدول ۲). همچنین مشاهده شد بیشترین درجه روز به دست آمده مربوط به همین تاریخ کاشت می‌باشد. بررسی روند تغییرات ماده خشک نشان داد که تجمع ماده خشک در تاریخ کاشت ۲۸ خرداد تا درجه روز تجمیعی حدود ۴۰۰ (شکل ۲a، الف) و در تاریخ کاشت ۱۲ و ۲۷ تیر تا حدود ۲۰۰ (شکل ۲، ب و ج) به صورت بطیه بوده و پس از آن هر سه تاریخ کاشت ۲۸ خرداد، ۱۲ و ۲۷ تیر به ترتیب با کسب درجه روز تجمیعی حدود ۸۰۰ و ۶۰۰ درجه روز، رشد سریعی را نشان دادند. در نهایت تجمع ماده خشک در انتهای فصل به دلیل ریزش برگ‌ها و کم شدن وزن خشک اندام‌های هوایی کاهش یافت یا ثابت ماند. شدت ریزش برگ‌ها و در نتیجه کاهش وزن خشک اندام‌های هوایی در هر سه تاریخ کاشت مختلف وسمه مشاهده شد (شکل ۲). گوپتا (۱۰) نیز بیان داشت که بین عملکرد بیولوژیکی گیاه و تاریخ کاشت ارتباط معنی‌داری وجود دارد، یعنی با تأخیر در تاریخ کاشت، میزان وزن خشک گیاه کاهش می‌یابد. این موضوع بیان‌گر آن است که در تاریخ کاشت اول گیاه فرصت زیادی برای انباست ماده خشک در اختیار دارد.

سرعت رشد محصول (CGR)

ضرایب حاصل از برآذش داده‌های سرعت رشد وسمه در طی فصل به معادله سه پارامتری گاووس نشان داد که در بین سه تاریخ کاشت، بیشترین سرعت رشد در تاریخ کاشت ۲۸ خرداد (۳۴/۳۸) و کمترین سرعت رشد در تاریخ کاشت ۲۷ تیر (۱۲/۳۷) به دست آمد.

در این معادله W_1 : وزن خشک در نمونه‌برداری اول، W_2 : وزن خشک در نمونه‌برداری دوم، SA: سطح زمین نمونه‌برداری شده بر حسب متر مربع، t_1 : زمان نمونه‌برداری اول، t_2 : زمان نمونه‌برداری دوم می‌باشد.

برآذش معادلات و ترسیم نمودارها با استفاده از نرم افزار Sigma Plot انجام شد. برای این کار تابع سیگموئیدی سه پارامتری به داده‌های تغییرات ماده خشک تجمیعی در طی فصل برآذش داده شد (معادله ۲):

$$Y = \frac{a}{1+e^{-b(x-x_0)}} \quad (2)$$

در این معادله Y: مقدار ماده خشک تجمیعی در هر زمان (x) از فصل رشد می‌باشد، b: شیب افزایش و x_0 : زمانی (بر حسب درجه روز) است که گیاه به ۵۰ درصد ماده خشک تجمیعی خود می‌رسد.

تابع سه پارامتره گاووس^۱ نیز به داده‌های تغییرات سرعت رشد محصول برآذش داده شد (معادله ۳):

$$Y = ae^{-0.5(b(x-x_0)^2)} \quad (3)$$

در این معادله Y: مقدار سرعت رشد محصول در هر زمان (x) از فصل رشد می‌باشد، b: شیب افزایش و x_0 : زمانی است که گیاه به حداکثر شاخص سطح برگ یا سرعت رشد محصول می‌رسد.

در این پژوهش به جای روز رشد^۲ طبق معادله ۴ استفاده شد:

$$GDD = \sum_i^n \left(\frac{T_{\max} + T_{\min}}{2} \right) - Tb \quad (4)$$

در این معادله T_{\max} : حداکثر دمای روزانه با حد بالای ۳۵ درجه، T_{\min} : حداقل دمای روزانه با حد پایینی ۱۰/۲۷ درجه سانتی‌گراد، T_b : درجه حرارت پایه گیاه می‌باشد، که برای وسمه ۱۰/۲۷ درجه سانتی‌گراد در نظر گرفته شد (۶).

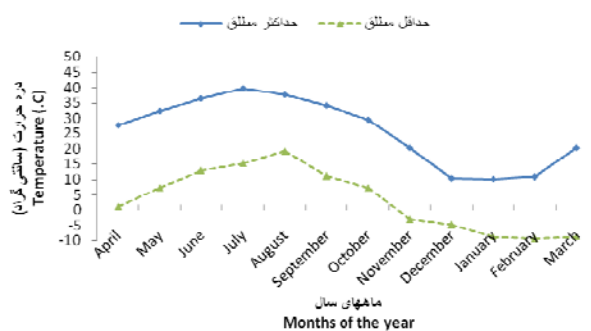
1- Gaussian

2- Growing Degree Day (GDD)

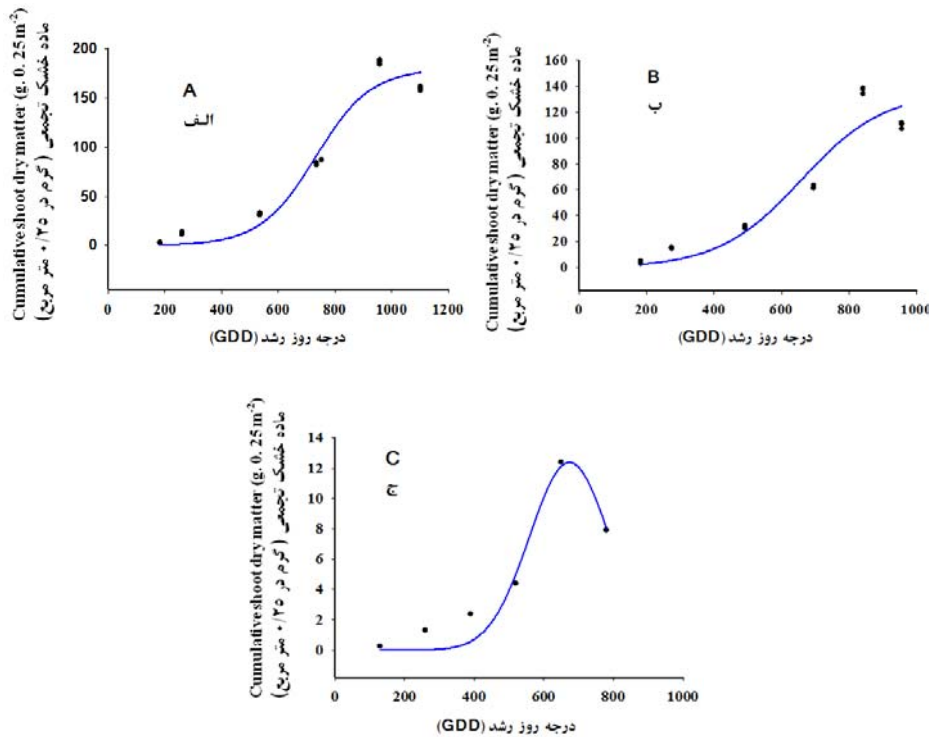
(جدول ۳).

جدول ۱- نتایج تجزیه فیزیکی و شیمیایی خاک مزرعه
Table 1- Physical and chemical analysis of soil

اسیدیته (pH)	مواد آلی (%)	كلسیم		منیزیم		سولفات		پتاسیم		فسفر		نیتروژن	
		Organic matter (%)	Calcium	Magnesium	Soulphat	Potassium	Phosphorus	(mg kg ⁻¹)	(ppm)				
8.1	0.33		37	23		6.1		114		10		0.04	



شکل ۱- نمودار درجه حرارت هوای شاهروド در طی سال اجرای آزمایش در سال ۱۳۹۰
Figure 1- Air temperature (in °C) of Shahrood region along the 2010 year



شکل ۲- روند تغییرات ماده خشک تجمیعی اندام هوایی وسمه در طی فصل رشد در تاریخ کاشت‌های الف- ۲۸ خرداد، ب- ۱۲ تیر و ج- ۲۷ تیر
نقاط: داده‌های اندازه‌گیری و خطوط: حاصل از برآش تابع هستند

Figure 2- The trend of cumulative shoot dry matter of indigo during the planting season on 28 June (A), 3 July (B) and 18 July (C) planting dates. Points are the measured data and lines are the fitted function

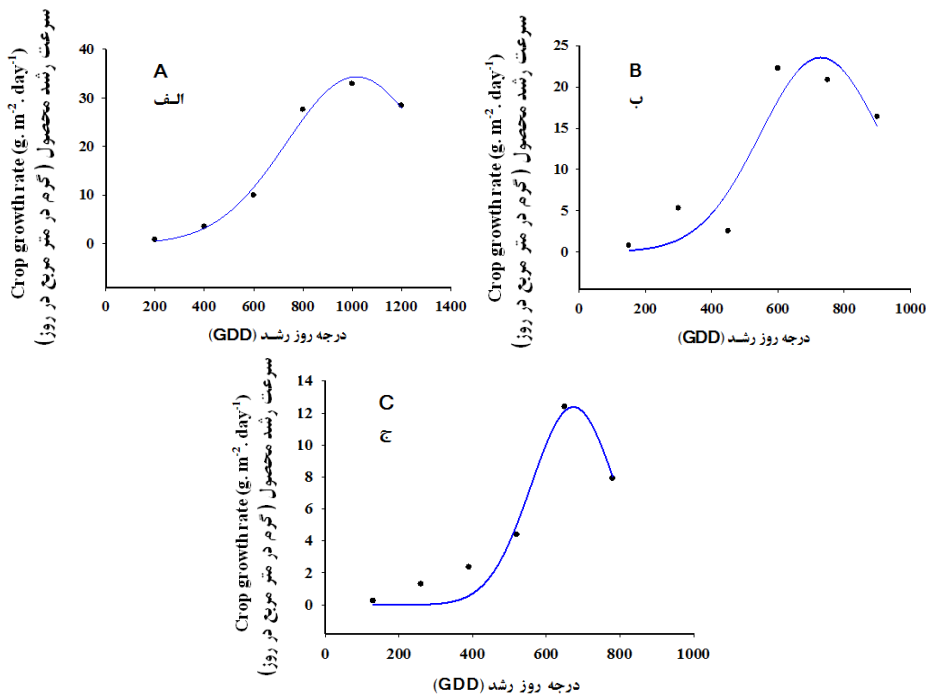
جدول ۲- ضرایب حاصل از برآذش معادله سه پارامتری سیگموئیدی به داده‌های وزن خشک تجمیعی وسمه در طی فصل رشد در تاریخ‌های کاشت مختلف

Table 2- The coefficients of the three-parameter sigmoid equation fitted to the data of cumulative dry matter of indigo during the growing season in different planting dates

تاریخ کاشت (Planting date)	حداکثر ماده خشک تجمیعی (grom در ۲۵ متر مربع) a (Maximum dry matter accumulation) (g/0.25 m ²)	b (شیب خط) b (Slope of the line)	x_0 (درجه روز تجمیعی لازم جهت رسیدن به ۵٪ ماده خشک تجمیعی) X_0 (Cumulative degree days required to reach 50% of dry matter accumulation)	R^2	سطح احتمال Probability (level)
June ۲۸ خرداد (18)	179.92 (0.0001)	(0.0003) 97.73	731.86 (0.0001)	0.96	<0.0001
(July ۳ تیر ۱۲)	135.45 (0.0001)	(0.0027) 122.28	658.76 (0.0001)	0.91	<0.0001
18 تیر (July ۲۷)	40.99 (0.0001)	(0.0024) 71.72	509.34 (0.0001)	0.92	<0.0001

اعداد داخل پرانتز نشان‌دهنده خطای استاندارد می‌باشد

اعداد داخل پرانتز نشان‌دهنده خطای استاندارد می‌باشد



شکل ۳- روند تغییرات سرعت رشد وسمه در تاریخ کاشت‌های الف- ۲۸ خرداد، ب- ۳ تیر و ج- ۱۸ تیر
 نقطه داده‌های اندازه‌گیری و خطوط حاصل از برآذش تابع هستند

Figure 3- The trend of growth rate of indigo during the planting season on 28 June (A), 3 July (B) and 18 July (C) planting dates. Points are the measured data and lines are the fitted function

۲). در تاریخ کاشت اول تقریباً برابر با ۱۰۰۰ درجه روز به حداکثر سرعت رشد خود رسید (شکل ۳، الف). در حالی که در دو تاریخ کاشت دیگر نسبت به تاریخ کاشت اول در درجه روز کمتر (تقریباً ۷۰۰ درجه روز) به حداکثر رشد خود رسید (شکل ۳، ب و ج). ال هاک (۴) در مطالعه اثر تاریخ کاشت بر عملکرد سیاهدانه (*Nigella sativa L.*) (Nigella sativa L.) مشاهده نمود تأخیر در زمان کاشت باعث کاهش سرعت رشد محصول شد. با توجه به نتایج به دست آمده، به نظر می‌رسد کاشت دیر هنگام

دلیل بالا بودن سرعت رشد در تاریخ کاشت ۲۸ خرداد را می‌توان بیشتر بودن ماده خشک تجمیعی در این تاریخ کاشت دانست و تاریخ کاشت ۲۷ تیر به علت داشتن ماده خشک تجمیعی کمتر، کمترین سرعت رشد را نشان داد (جدول ۲). همچنین دلیل دیگر را می‌توان به میزان دریافت درجه روز تجمیعی در طی فصل رشد نسبت داد. مشاهده می‌شود که بیشترین درجه روز دریافتی در تاریخ کاشت ۲۸ خرداد و کمترین درجه روز در تاریخ کاشت ۲۷ تیر حاصل شد (شکل

سبب کاهش طول دوره رشد شده و کاهش دوره و سرعت رشد می‌تواند باعث کاهش تولید بیوماس و در نهایت کاهش عملکرد گردد.

جدول ۳- ضرایب حاصل از برآشن معادله سه پارامتری گاووس به داده‌های سرعت رشد و سممه در طی فصل رشد در تاریخ‌های کاشت مختلف
Table 3- The coefficients of the three-parameter Gaussian equation fitted to the data of cumulative dry matter of indigo during the growing season in different planting dates

تاریخ کشت (Date)	a (حداکثر ماده خشک تجمعی) (گرم در ۲۵ متر مربع)	b (شیب خط) (Slope of the line)	x_0 (درجه روز تجمعی لازم جهت رسیدن به ۵٪ ماده خشک تجمعی) (Cumulative degree days required to reach 50% of dry matter accumulation)	R^2	سطح احتمال (Probability) (level)
۱۸ خرداد (Jun)	34.38 (0.0002)	(0.008) 282.92	1016.79 (0.0001)	0.99	0.0009
۳ تیر (July)	23.65 (0.0093)	(0.0238) 182.67	729.02 (0.0003)	0.86	0.0481
۱۸ تیر (July)	12.37(0.0027)	(0.0057) 114.56	673.73 (0.0001)	0.94	0.0113

اعداد داخل پرانتز نشان‌دهنده خطای استاندار می‌باشد.

جدول ۴- تجزیه واریانس (میانگین مربعات) صفات مورد بررسی در تاریخ‌های کاشت مختلف
Table 4- Results of analysis variance (mean squares) of traits as affected by planting dates

منابع تغییر (Source of variance)	درجه آزادی (df)	وزن خشک برگ (Leaf dry weight)	ارتفاع ساقه (Stem height)	عملکرد بیولوژیک (Biological yield)
بلوک (Block)	2	377.32	0.52	9072.19
تیمار (Treatment)	2	74289.06**	176.77**	136001**
خطا (Error)	4	967.99	1.77	13437.2
ضریب تغییرات (درصد) (CV%)		8.20	1.68	5.24

** معنی‌داری در سطح ۱ درصد

Notes. Df, Degree of freedom; CV, Coefficient of variation

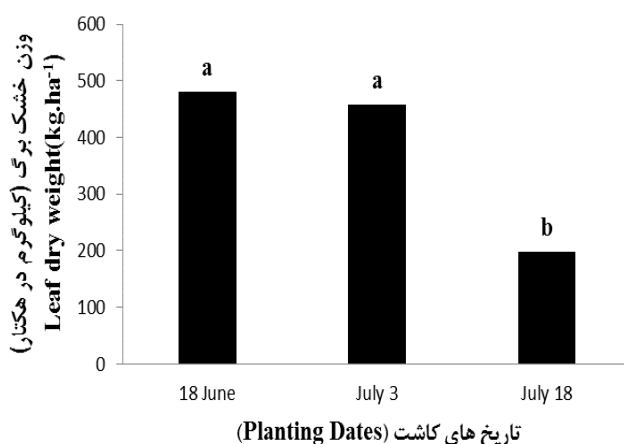
می‌شود که خود کنترل کننده پتانسیل عملکرد است.

وزن خشک برگ

نتایج تجزیه واریانس اختلاف معنی‌داری ($P \leq 0.01$) را از نظر وزن خشک برگ بین تاریخ‌های کاشت مورد بررسی نشان داد (جدول ۴). در بین تاریخ‌های کاشت بیشترین وزن خشک برگ مربوط به تاریخ ۲۸ خرداد و کمترین وزن خشک برگ مربوط به تاریخ کاشت ۲۷ تیر با مقادیری به ترتیب برابر $481/11$ و $194/14$ کیلوگرم در هکتار بود (شکل ۴). به نظر می‌رسد افزایش $59/64$ درصدی وزن خشک برگ در تاریخ کاشت ۲۸ خرداد به دلیل بالا بودن ماده خشک تجمعی ناشی از افزایش سرعت رشد تحت تأثیر دریافت درجه روز بیشتر باشد. قربانی و همکاران (۷) اظهار نمودند بیشترین عملکرد کاهیه زیره در کاشت زود هنگام حاصل شد و به تأخیر انداختن تاریخ کاشت، عملکرد کاهیه زیره سبز کاهش یافت. گروس (۹) دلیل کاهش عملکرد در اثر کشت تأخیری را این گونه بیان کرد که کشت دیر باعث محدود شدن اندازه گیاه پیش از تغییر از نمو رویشی به زایشی

ارتفاع بوته

تاریخ‌های کاشت مختلف تأثیر معنی‌داری ($P \leq 0.01$) بر ارتفاع گیاه داشتند (جدول ۴). نتایج مقایسه میانگین به دست آمده از ارتفاع بوته نشان داد که کمترین ارتفاع در تاریخ کاشت ۲۷ تیر و بیشترین ارتفاع مربوط به تاریخ کاشت ۲۸ خرداد به دست آمد (شکل ۵). همان‌طور که مشاهده می‌شود در تاریخ کاشت اول ارتفاع بوته به ترتیب $15/55$ و 50 درصد نسبت به تاریخ‌های کاشت دوم و سوم بیشتر شد. احتمالاً شرایط مساعد محیطی در تاریخ کاشت اول و طولانی تر بودن دوره رشد گیاه باعث استفاده بیشتر از منابع خاک و افزایش سرعت رشد و ارتفاع گیاه شده است.



شکل ۴- تأثیر تاریخ های کاشت بر وزن خشک برگ وسمه

Figure 4- Effect of planting dates on indigo leaf dry weight

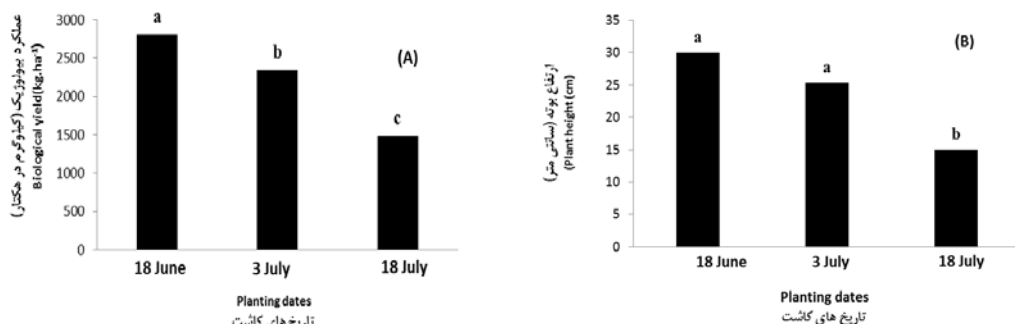
جدول ۵- همبستگی ساده بین وزن خشک برگ، ارتفاع ساقه و عملکرد بیولوژیک در وسمه

Table 5- Correlation between leaf dry weight, plant height and biological yield of indigo

ارتفاع ساقه Stem height	وزن خشک برگ Leaf dry weight	عملکرد بیولوژیک Biological yield	صفات Traits
		1.00	عملکرد بیولوژیک Biological yield
	1.00	0.91	وزن خشک برگ Leaf dry weight
1.00	0.92	0.99*	ارتفاع ساقه Stem height

* Indicates significance at 5% level

* بیانگر معنی داری در سطح ۵ درصد



شکل ۵- تأثیر تاریخ های کاشت بر عملکرد بیولوژیک (A) و ارتفاع بوته (B) وسمه

Figure 5- Effect of planting dates on biological yield (A) and height (B) of indigo plant

عملکرد بیولوژیک

همان طور که در جدول ۴ مشاهده می شود تأثیر تاریخ های کاشت بر عملکرد بیولوژیک معنی دار ($P \leq 0.01$) شد. نتایج حاصل از مقایسه میانگین این پژوهش نشان داد در بین تاریخ های کاشت بیشترین عملکرد بیولوژیک مربوط به تاریخ کاشت ۲۸ خرداد با عملکرد ۲۸۰۷/۳۳ کیلوگرم در هکتار بود (شکل ۵). کمترین عملکرد

کولاکی و همکاران (۳) طی تحقیقی بیان نمودن تأخیر در کاشت گلنگ (Carthamus tinctorius L.) موجب کاهش تعداد شاخه های جانبی و رشد آن می گردد. همچنین کاسریک (۱۴) اظهار داشت که کاهش رشد ناشی از تأخیر در کاشت سبب کاهش ارتفاع، عملکرد گل تازه و خشک در بابونه (Matricaria chamomilla L.) می شود.

کاشت زودتر کاهش داد.

نتیجه‌گیری

تأخیر در کاشت از طریق کوتاه کردن فصل رشد و کاهش پتانسیل فتوستتری گیاه و مصادف شده گیاه با دماه‌های پایین باعث شد تا رشد گیاه کاهش یابد. در حالی که تاریخ کاشت ۲۸ خرداد با افزایش تجمع ماده خشک، سرعت رشد محصول، وزن برگ، ارتفاع بوته نهایتاً سبب افزایش عملکرد بیولوژیک وسمه شد. همچنین نتایج این آزمایش نشان داد کاشت تأخیری از طریق کاهش تجمع ماده خشک و دریافت درجه روز کمتر سبب کاهش عملکرد بیولوژیک وسمه شد. مساعد بودن شرایط محیطی به ویژه نور و درجه حرارت و طول دوره رشد بیشتر در تاریخ کاشت ۲۸ خرداد باعث شده که گیاه از این شرایط بهتر استفاده نموده و تولید مواد فتوستتری را افزایش داد و نهایت عملکرد بیولوژیک افزایش یابد. با کوتاه‌تر شده دوره رشد، گیاه عملکرد بیولوژیکی کمتری تولید می‌کنند. بنابراین تاریخ کاشت ۲۸ خرداد به دلیل عملکرد بیولوژیک بیشتر، به عنوان تاریخ کاشت مناسب وسمه در شرایط شاهروند قابل توصیه است. هرچند برای اطمینان بیشتر لازم است آزمایش‌های تكمیلی دیگری نیز انجام شود.

بیولوژیک در تاریخ کاشت ۲۷ تیر به میزان ۱۴۸۰/۱۶ کیلوگرم در هکتار به دست آمد. تاریخ کاشت زود هنگام و سمه سبب افزایش ۴۷/۲۷ درصدی عملکرد بیولوژیک نسبت به کاشت تأخیری (تاریخ کاشت سوم) شد. به نظر می‌رسد مساعد بودن شرایط محیطی به ویژه نور و درجه حرارت در تاریخ کاشت اول باعث شد گیاه در مرحله رشد رویشی از این شرایط بهتر استفاده نموده، تولید مواد فتوستتری خود را افزایش داده و در نهایت عملکرد بیولوژیک بیشتری تولید کند. بین ارتفاع بوته و عملکرد بیولوژیک همبستگی مثبت معنی داری ($R^2 = 0.99$) مشاهده شد (جدول ۵). هرچه ارتفاع بوته بیشتر باشد مقدار گرم ماده خشکی که در هر سانتی‌متر اضافه می‌شود بیشتر شده و به دنبال آن افزایش عملکرد بیولوژیک را به همراه دارد. قربانی و همکاران (۷) دریافتند بیشترین عملکرد بیولوژیک زیره سبز در سال اول در تاریخ کاشت اول و در سال دوم در تاریخ کاشت دوم حاصل شد و کمترین مشاهده شد. ترکمن نیا (۲۰) در مطالعه سه تاریخ کاشت در سیاهدانه به این نتیجه رسید که دو تاریخ کاشت اول به دلیل استفاده بیشتر گیاه از منابع محیطی، بیشترین عملکرد دانه را داشت. موسوی و همکاران (۱۷) دریافتند که تأخیر در تاریخ کاشت اسفزه (*Plantago ovata* L.) به مقدار ۱۹/۷ درصد عملکرد بیولوژیک را نسبت به تاریخ

References

1. Adamson, F. J., and Coffelt, T. A. 2005. Planting dates effects on flowering, seed yield, and oil content of rape and crambe cultivars. Industrial Crops Products Abbreviation 21: 293-307.
2. Agriculture Ministry statistics, economic planning and the statistics office and information technology, production and performance of the crop years 85 acres in Kerman province, Available at <http://dbagri.maj.ir/zrt/product.asp> (visited 25 Jun 2012).
3. Cholaky, L., Fernandez, E. M., Asnal, W. E., Giayetto, O., and Plevich, Y. J. O. 1993. Safflower (*Carthamus tinctorius* L.) sowing dates in Rio Cuonto. Pp. 395-402. Paper presented at The Third International Safflower Conference. 14-18 Jun. 1993. Beijing, China.
4. El-Hag, Z. M. 1996. Effect of planting date, seed rate and method of planting on growth, yield and quality of black cumin (*Nigella sativa* L.) in Khartoum state. Khartoum. p 97.
5. Ghassemi-golzari, K., Ghanehpoor, S., and Dabbagh Mohammadi-Nasab, A. 2009. Effect of water limitation on growth and grain filling of faba bean cultivars. Journal Food Agriculture and Environment 7: 442-447.
6. Gholipoor, M., Ansori, A., Shahgholi, H., and Makarian, H. 2012. Determination of cardinal temperatures for germination of indigo (*Indigofera tinctoria* L.). National Congress on Medicinal Plants. 16-17 May. 2012. Kish Island, Iran.
7. Ghorbani, R., Kojek, A., Jehan, M., Hosseni, A., Mohamad Abadi, A. A., and Sabet Taemori, M. 2008. Effect of planting date, time and methods of weed management in different growth stages on yield and yield components of cumin. Iranian Journal of Agricultural Research 7 (1): 143-151. (in Persian with English abstract).
8. Goldani, M., and Razavi Moghadam, P. 2006. Effects of different irrigation regimes and sowing date on growth and phenological characteristics of three varieties of dryland and irrigated in Mashhad. Journal of Agricultural Sciences and Natural Resources 14: 1-12. (in Persian with English abstract).
9. Gross, A. T. H. 1963. Effect of date of planting on yield, plant height, flowering and maturity of rape and turnip rape. Agronomy Journal 56: 76-78.
10. Gupta, T. R. 1978. Path coefficient analysis of sesamum. Oleagineux 33: 15-62.
11. Imam, Y. 1994. Physiology tropical crop production (translation). University of Shiraz, Shiraz. (in Persian).
12. Jain, S., Nayak, S., and Joshi, P. 2010. Phytochemical study and physical evalution of *Indigofera tinctoria* leaves. Pharmacie Globale 1:1-2.
13. Jansen, P. C. M. 2005. Dyes and tannins. Plant Resources of Tropical Africa. p 88.
14. Kacurik, S. 1979. Variation of essential oil and chamazulene content in chamomile. Ponohospodrastvo 25: 67-75.

15. Lopez – Bellido, F. J., Lopez – Bellido, R. J., Khalil, S. K., and Lopez – Bellido, L. 2008. Effect of planting date on winter kabuli chickpea growth and yield under rainfed Mediterranean conditions. *Agronomy Journal* 100: 957-964.
16. Mosavi, K., Pezshek Poor, P., and Shahvardi, M. 2006. Weed population responses to dryland pea varieties (*Cicer arietinum* L.) and sowing date. *Science and technology agriculture and natural resources* 40: 167-176. (in Persian with English abstract).
17. Mosavi, S. Gh., Sghat elslami, M. J., and Poyan, M. 2010. Effect of planting date and plant density on yield, and herbs Psyllium (*Plantago ovate* L.). *Journal of Medicinal and Aromatic Plants Research* 27 (4): 681-699. (in Persian with English abstract).
18. Poorter, H., and Garnier, E. 1996. Plant growth analysis: an evaluation of experimental design and computational methods. *Journal of Experimental Botany* 47: 1343-1351.
19. Singh, B., Saxena, A. K., Chandan, B. K., Bhardwaj, V., Gupta, V. N., Suri, O. P., and Handa, S. S. 2001. Hepatoprotective activity of indigotone - a bioactive fraction from *Indigofera tinctoria* Linn. *Phytotherapy Research* 15: 294-297.
20. Turkemn Nia, A. 1996. The effect of time planting of *Nigella sativa* on yield under contain of Torbate Jum. Msc. Thesis agriculture, Torbat Jum unit Azad University. (in Persian with English abstract).
21. Zheljazkov, V. D., Pickett, K. M., Caldwell, C. D., Pincock, J. A., Roberts, J. C., and Mapplebeck, L. 2008. Cultivar and sowing date effects on seed yield and oil composition of coriander in Atlantic Canada. *Industrial Crop and Products* 28: 88-94.



The Effect of Planting Date on the Growth and Yield of Indigo (*Indigofera tinctoria* L.) in Shahrood Conditions

A. Ansori^{1*} - H. Shahgholi² - H. Makarian³ - M. Gholipoor⁴

Received: 01-03-2014

Accepted: 04-05-2015

Introduction

A suitable planting date is an important management tool to determine the best match between phenological stages of plant growth with the environmental factors affecting them. Indigo is known for the natural blue colors obtained from the leaflets and branches of this herb. In addition to indigo dyes, it has been used medicinally to purify the liver, reduce inflammation and fever and to alleviate pain. Determining the proper sowing time for the sowing indigo plant is highly important that should be based on the climate of each region separately. The objective of this research was to determine the effect of sowing date on growth and biological yield of indigo plant in Shahrood region.

Materials and Methods

This experiment was carried out on randomized complete block design with three replications in the experimental field of the University of Shahrood, Iran, in 2011. Treatments were three planting dates (18 June, 3 and 18 July). Plant density was 50 plants per square meter. The distance between the plants on and between the rows was 10 and 20 cm, respectively. Sampling was conducted in six-stages (every 15 days) randomly in 0.25 m². Equation 1 was used to calculate the growth rate.

$$CGR = \frac{W_2 - W_1}{t_2 - t_1} \quad (\text{Equation 1}) \quad Y = \frac{a}{1 + e^{-b(x-x_0)}} \quad (\text{Equation 2})$$

In this equation, W₁: dry weight in the first sampling, W₂: dry weight in the second sampling, SA: sampling area (m²), t₁: first sampling time, t₂: is the second sampling time. To do this, three parameters sigmoid function [Eq. 2], were fitted to dry matter accumulation variation during the season (Equation 2): In the equation 2: Y is the cumulative dry matter content at any time (x) of growing season, b: is the slope of increasing and x₀ is the time (in degree days) of reaching to 50% dry matter accumulation. Gaussian function parameter [Eq. 3] was fitted to the crop growth rate data variation:

$$Y = ae^{-(b(x-x_0)^2)} \quad (\text{Equation 3}) \quad GDD = \sum_{i=1}^n \left(\frac{T_{\max} - T_{\min}}{2} \right) - Tb \quad (\text{Equation 4})$$

In equation 3: Y value is crop growth rate at any time (x) of growing season, b: is the slope of increasing and x₀ is the time of reaching plant to the maximum CGR. In this study, instead of day, we used growing degree days (GDD) according to Equation 4: In this equation T_{max}: maximum daily temperature, T_{min}: minimum daily temperature, Tb: temperature of the plant, which was considered to indigo 10.27 °C (6). Fitting equations and drawing diagrams were performed using Sigma Plot 10 version. Analysis of variance and correlation between traits were performed using SAS software and means were compared using LSD test at the 5% level.

Results and Discussion

Results showed that (Figure 2a and Table 2) the earliest planting date (18 June) increased total dry matter and crop growth rate about 4.41 and 3.59 folds compared to third planting date (18 July), respectively. In addition, the highest GDD was recorded for the first sowing date (18 June). The results showed that the fastest (38.34) and the lowest (12.37) growing rate was related to 18 June and 18 July planting dates, respectively

1 and 2- M.Sc. Student in Agronomy of Shahrood University of Technology, Shahrood, Iran

3- Associate Professor in Weed Science, Department of Agronomy and Plant Breeding Faculty of Agriculture Shahrood University of Technology, Shahrood, Iran

4- Associate professor in Crop Ecology, Department of Agronomy and Plant Breeding Faculty of Agriculture Shahrood University of Technology, Shahrood, Iran

(*- Corresponding Author Email: aliansomri98@yahoo.com)

(Table 3). Gupta (10) also stated that there was a significant correlation between sowing time and plant biological yield, as with delay in sowing date plant dry weight has been decreased. Mean comparison results showed that the lowest plant height was obtained at the early planting date (18 June) and the lowest of it was seen in the late planting date (18 July) (Figure 5 B). In the first planting date (18 June), biological yield increased 47.27% compared to the later planting date (18 July). In third sowing date biological yield decreased significantly than first and second planting dates (Figure 5 A). Zhelgazkov *et al.* (21) on *Coriandrum sativum* L. showed that the earliest cultivation increased the length of effective growth period and finally caused an increase in fruit and biological yield. The reason for reduction of biological yield in delayed cultivation in addition to shortening of growth season is related to coincidence of vegetative and reproduction period with summer heat which resulted in severe reduction in the stem height, leaf dry matter and finally decreasing biological yield. This result is in agreement with findings of Kacurik (14); he stated that the height, fresh and dry flowers of the chamomile was reduced with delay in planting date.

Conclusions

In this study, the highest plant height, leaf dry weight and biological yield, was observed in 18 June sowing date. According to our results may be both day long and especially temperatures during reproductive growth, flowering and maturity are the limiting factors in above ground biomass formation. Based on our results, sowing dates of 18 June was the best planting date for indigo plant in Shahrood region.

Keywords: Crop growth rate, Cumulative dry matter, Medicinal plant, Planting time

اثر روش‌های مختلف آبیاری و شیوه‌های کاشت بر بهره‌وری آب و سلامت ارقام تجاری

سیب‌زمینی

حمیدرضا سالمی^۱- احمد سلیمانی پور^۲- علیرضا توکلی^{۳*}

تاریخ دریافت: ۱۳۹۲/۱۲/۲۱

تاریخ پذیرش: ۱۳۹۳/۱۱/۱۳

چکیده

افزایش سطح زیرکشت ارقام تجاری سیب‌زمینی در استان اصفهان، کاربرد سامانه‌های آبیاری تحت فشار را برای رسیدن به بالاترین راندمان آبیاری و بهره‌وری آب ضروری کرده است. این تحقیق به صورت طرح آماری کرت‌های دوبار خرد شده نواری در قالب بلوک‌های کامل تصادفی در سه تکرار و طی دو سال (۱۳۸۶-۱۳۸۷) اجرا شد. سه روش آبیاری شامل قطره‌ای نواری (تیپ)، بارانی و جویچه‌ای در کرت اصلی، دو روش کاشت یک ردیفه و دو ردیفه به عنوان کرت فرعی یکبار خردشده و دو رقم تجاری سیب‌زمینی در کرت فرعی دوبار خرد شده مورد مقایسه قرار گرفتند. عملکرد محصول، حجم آب مصرفی و عکس العمل ارقام نسبت به بیماری‌های مرسم منطقه ارزیابی گردید. نتایج نشان داد روش آبیاری بارانی با میانگین تولید ۲۶۱۵۲ کیلوگرم در هکتار نسبت به روش آبیاری تیپ با تولید ۲۳۹۷۴ کیلوگرم در هکتار برتری معنی داری دارد. بهره‌وری آب آبیاری در روش آبیاری تیپ حداقل و برابر ۴/۶۹ کیلوگرم بر متر مکعب به دست آمد نتایج مقایسه میانگین دو ساله عملکرد بین روش‌های کاشت نشان داد که کشت یک ردیفه با میانگین تولید ۲۴۸۳۹ کیلوگرم در هکتار نسبت به کشت دو ردیفه با میانگین ۲۲۹۲۷ کیلوگرم در هکتار برتری معنی دار دارد. نتایج حاصل از بررسی میزان و شدت آودگی غده‌های سیب‌زمینی نشان داد که بیشترین میانگین آودگی اسکب در روش آبیاری جویچه‌ای ۴۷ درصد بیشتر از روش آبیاری بارانی و ۷۸ درصد بیشتر از روش آبیاری تیپ بوده است.

واژه‌های کلیدی: آبیاری جویچه‌ای، آبیاری بارانی، آبیاری تیپ، آودگی

مقدمه

تخصیص داده است (۱۳). فریدن با سطح زیر کشت ۱۴۰۰۰ هکتار و تولید معادل ۱۲ درصد سیب‌زمینی (*Solanum tuberosum*) کل کشور بیشترین سهم را در تولید این محصول در استان داراست. لذا در این بخش به سامانه‌های آبیاری که آب را با بیشترین بازده کاربرد ممکن به کار می‌برند، نیاز می‌باشد. از این رو با توجه به روند توسعه روش‌های آبیاری بارانی و تیپ، مقایسه این سامانه‌ها در استان که از قطب‌های سیب‌زمینی کاری کشور به حساب می‌آید الزامی به نظر می‌رسد. محل انجام این پژوهش از مناطق ممنوعه از لحاظ برداشت آب از سفره آب زیرزمینی می‌باشد و همواره رقابت بر سر آب از بحران‌های اجتماعی و حتی سیاسی منطقه بوده است. از جمله راه حل‌های پیشنهادی برای جلوگیری از وقوع چنین مسائلی توسعه سامانه‌های آبیاری تحت فشار به جای شیوه‌های سنتی برای محصول سیب‌زمینی بوده است که با استقبال کشاورزان سیب‌زمینی کار روبه‌رو بوده است. در این میان همواره این پرسش مطرح بوده که کدام‌ین روش آبیاری، بالاترین راندمان و بیشترین بهره‌وری را دارا بوده است. کشاورز و حیدری (۹) در مطالعات وسیعی که در سطح کشور

امروزه با بهره‌برداری فراوان و بی‌رویه از منابع آب‌های سطحی و زیرزمینی، مسئله کمبود آب جنبه بحرانی پیدا کرده است به طوری که قرن آینده را می‌توان قرن مبارزه با مالکیت منابع آب نام‌گذاری کرد. در اغلب مناطق مملکت، آب یکی از عوامل محدود کننده افزایش تولید بوده و روش‌های نامناسب آبیاری خصوصاً شیوه‌های سنتی همه ساله حجم فراوانی از آب موجود را هدر می‌دهند. بخش کشاورزی حدود ۷۵ درصد از منابع آب در استان اصفهان را به خود

- ۱- استادیار پژوهش بخش تحقیقات فنی و مهندسی مرکز تحقیقات و آموزش کشاورزی و منابع طبیعی استان اصفهان
 - ۲- استادیار پژوهش بخش تحقیقات اقتصادی، اجتماعی و ترویجی، مرکز تحقیقات و آموزش کشاورزی و منابع طبیعی استان اصفهان
 - ۳- استادیار پژوهش بخش تحقیقات فنی و مهندسی مرکز تحقیقات و آموزش کشاورزی و منابع طبیعی استان سمنان (شهرود)
- (*)- نویسنده مسئول: (Email: art.tavakoli@gmail.com)

مقایسه قرار گرفت. نتایج تحقیق جابرو و همکاران (۸) نشان داد دور آبیاری تأثیر معنی‌داری در بهره‌وری آب و عملکرد محصول ندارد، لیکن دور آبیاری هفتگی (رایج) با آرایش دو ردیفه نسبت به دورهای آبیاری بالاتر نقش مؤثرتری در حفظ عملکرد محصول پایدار و بهبود بهره‌وری آب همراه با کاهش درآمد خالص اقتصادی داشت.

آزمایش مزروعه‌ای تاکله و چمدا (۱۵) در اتیوپی به منظور بررسی اثرات سطوح مختلف آبیاری قطره‌ای و روش کاشت بر عملکرد و اجزای عملکرد (تعداد میوه در هر بوته، تعداد شاخه‌های اولیه و ثانویه در بوته و ارتفاع بوته) فلفل سیز نشان داد اثر هر دو تیمار آبیاری و روش کاشت بر عملکرد، تعداد میوه در بوته و ارتفاع بوته بسیار معنی‌دار است. مقادیر حداکثر و حداقل عملکرد و اجزای عملکرد به‌ترتیب در تیمارهای آبیاری کامل با کاشت دو ردیفه و آبیاری به میزان ۵۰ درصد نیاز آبی با کاشت دو ردیفه ثبت شد.

به‌منظور افزایش بهره‌وری زمین و راندمان کوددهی (نیتروژن) در کشت نیشکر و سویا الگوهای آرایش کاشت و دو سطح کوددهی در تحقیق ۳ ساله توسط یانگ و همکاران (۱۸) مورد بررسی قرار گرفت. نتایج نشان داد که سامانه کاشت دو ردیفه در کشت مخلوط نیشکر و سویا بالاترین بهره‌وری اقتصادی را دارد.

نتایج پژوهش زارع ایانه و همکاران (۱۹) در منطقه همدان نشان داد تراکم جمعیت آفت تریپس در سامانه آبیاری بارانی کمتر از سامانه آبیاری جویجه‌ای بود. آبیاری بارانی ضمن کاهش جمعیت زنجرک‌ها، کنه دونقطه‌ای را به‌طور کامل از سطح مزرعه سیب‌زمینی حذف نمود. همچنین وزن تر اندام هوایی محصول در سامانه آبیاری بارانی به‌طور چشم‌گیری بیش از آبیاری جویجه‌ای بود. این افزایش عملکرد به‌واسطه سلامتی بوتهای به خاطر کاهش آفات، کاهش سومون مصرفی و قابلیت دسترسی بهتر گیاه به آب و مواد غذایی در سامانه آبیاری بارانی به‌دست آمد.

پیرا و شاک (۲۰) مدیریت آبیاری را برای دستیابی به استفاده بهینه از منابع آب، تولید پر بازده همراه با حفظ جنبه‌های زیست محیطی لازم می‌داند. آنها معتقدند آب اضافی موجب بروز بیماری‌های غده‌ای در سیب‌زمینی شده و کم آبیاری منجر به کاهش محصول و تنزل کیفیت می‌گردد. نتایج تحقیقات نامبردگان در ایالات متحده نشان داد با توجه به مواردی همچون تخلیه رطوبتی مجازار، تنش آبی و تبخیر و تعرق محصول، آبیاری قطره‌ای به منظور آبیاری در شرایط خاص تولید محصول بهویژه در کشت‌های متراکم الزامی است.

تحقیق براون و همکاران (۲۱) در کالیفرنیا نشان داد روش آبیاری قطره‌ای تیپ، نقش کمتری در بیماری غده در سیب‌زمینی (۱۳-۵۶) درصد غده‌ها) نسبت به آبیاری بارانی (۶۲-۵۶ درصد غده‌ها) دارد. شاخص پایین تر بیماری در روش تیپ به علت سطح کمتر خیس شده زمین نسبت به روش بارانی گزارش شده است.

نجام دادند میزان بهره‌وری آب در سامانه‌های آبیاری بارانی، سطحی و تیپ در کشت سیب‌زمینی را به‌ترتیب ۰/۹، ۰/۹۵ و ۳/۳ کیلوگرم بر متر مکعب اعلام کردند. احمدی و همکاران (۱) اصلاح و ارزیابی سامانه‌های آبیاری را، مؤثرترین روش مدیریتی برای تولید غذای پایدار در شرایط بحران آب می‌دانند. البته بهبود سامانه‌های آبیاری از سطحی به بارانی و توسعه کاربرد آن، ارتباط نزدیکی با یکنواختی توزیع آب آبیاری دارد (۱۲ و ۱۴). بدیهی است که همیشه شاخص عملکرد در واحد سطح، شاخص مناسبی برای گزینش تیمار برتر به شمار نمی‌رود (۱۷). توکلی (۱۷) ضمن تحلیل نقش مؤثر و کارآمد مدیریت کم آبیاری، این مدیریت را راهکاری برای کاهش مصارف غیرمفید و افزایش سهم مصارف مفید معرفی نمود. ایشان تعرق محصول را به عنوان مصرف مفید و تلفات حاصل از تبخیر مستقیم و تعرق علف‌های هرز را جزو منابع مصارف غیرمفید برشمرد و اشاره نمودند که تمهداتی که منجر به توسعه عمقی ریشه گردد سبب افزایش سهم مؤثر خاک در تأمین آب مورد نیاز گیاه می‌گردد.

در پژوهش اخوان و همکاران (۲) در استان همدان بیشترین و کمترین بهره‌وری آب ۴/۶۸ و ۲/۳۳ کیلوگرم بر متر مکعب به‌ترتیب مربوط به روش آبیاری تیپ و شیاری بود. همچنین نتایج مربوط به مشخصه‌های عملکرد بهره‌وری آب در تیمار کارگذاری نوار تیپ در عمق ۵ سانتی‌متری از سطح زمین و وسط پشتۀ نسبت به کارگذاری روی سطح خاک و کناره‌های پشتۀ رضایت‌بخش تر بوده است (۲).

اوایر و های‌ویس (۴) در یک مزرعه آزمایشی سامانه‌های آبیاری قطره‌ای، بارانی و سطحی را روی محصول سیب‌زمینی مقایسه کردند. نتایج نشان داد که بیشترین عملکرد محصول و بهره‌وری آب تحت سامانه قطره‌ای به‌دست می‌آید (۴). در پژوهش الطاهر و همکاران (۳) با توجه به واسطگی عملکرد محصول و کیفیت سیب‌زمینی به مقدار آب و روش آبیاری بالاترین عملکرد متعلق به سامانه تیپ و حدائق انرژی مصرفی در آبیاری زیرسطحی حاصل شد.

باغانی و همکاران (۵) به منظور بررسی اثرات مقادیر مختلف آبیاری و سه آرایش کاشت در آبیاری تیپ بر عملکرد سیب‌زمینی، آزمایشی را در سه منطقه مشهد، اردبیل و دماوند انجام دادند. نتایج نشان داد در هر سه منطقه، تیمار آرایش کاشت دو ردیف کاشت با فاصله ۳۵ سانتی‌متر روی پشتۀ و یک نوار آبیاری بین آنها بیشترین عملکرد قابل ارائه به بازار با غدهایی به اندازه ۳۵ تا ۵۵ میلی‌متر را دارا بود. همچنین بهره‌وری آب این تیمار، برتر از سایر آرایش‌های کاشت بود. کاهش سطح تأمین آب آبیاری در زراعت سیب‌زمینی باعث کاهش تولید کل غده گردید.

به منظور حفظ محیط زیست با به حدائق رساندن تلفات آب به صورت رواناب سطحی و فرونشست عمقی، تأثیر دو دور آبیاری و آرایش کاشت بر آب مصرفی و بهره‌وری آب در محصولات ردیفی با خاک لومی در دشت‌های نیمه خشک شمالی ایالات متحده مورد

بعد و آرایش کاشت از آپاچه‌های تنظیم شونده ویر^۱ با فواصل ۱۲ در ۸/۴ متر استفاده شد. نواحی تیپ ساخت شرکت آب‌فشن جنوب با فاصله روزنه ۳۰ سانتی‌متر و قطر اسی ۱۶/۵ میلی‌متر انتخاب شد. آبدی اسی ۰/۳۵ بار لیتر در ساعت بود. با مشخص بودن مقدار تبخیر و تعرق گیاه^۲ بر حسب میلی‌متر در روز (۵) عمق آب آبیاری محاسبه و با استفاده از پارامترهای فیزیکی خاک مزرعه و با لحاظ نمودن عمق توسعه ریشه گیاه، در آبیاری بارانی و جویچه‌ای به صورت دور هفت روزه و در روش تیپ چهار روزه اعمال شد.

اندازه‌گیری رطوبت خاک در هریک از تیمارها با استفاده از دستگاه TDR مدل 6050X1-E20 انجام شد. این مهم با نصب حسگرهای مربوط به دستگاه قرائت رطوبت خاک در عمق توسعه ریشه به انجام رسید. دستگاه به روش گراویمتری (ثقلی) و اسننجی گردید. مشخصه بهره‌وری آب که در رابطه (۱) تعریف شده برای سه روش آبیاری محاسبه گردید.

$$WP = \frac{Yield}{WU} \quad (1)$$

که در آن WP: شاخص بهره‌وری آب (کیلوگرم بر میلی‌متر)، Yield: عملکرد محصول (غده) (کیلوگرم در هکتار)، WU: میزان آب کاربردی (میلی‌متر) است.

حجم آب ورودی به تیمارها با استفاده از کنتور حجمی^۳ اینچی واستنجی شده در روش تیپ و بارانی و WSC فلوم و استنجی شده در روش جویچه‌ای اندازه‌گیری شد. در این طرح، غده‌ها به وسیله ماشین در عمق ۱۰-۱۵ سانتی‌متر کاشته شد. تاریخ کاشت در سال‌های اول و دوم به ترتیب ۸ و ۱۵ خرداد و تاریخ برداشت ۱۴ و ۱۰ مهر بود. با علف‌های هرز در این آزمایش به طریق شیمیایی با استفاده از سوموم تراکرون، رورال T-S و آمبوش در تیر ماه مبارزه شد. کوددهی به روش دستی و به میزان ۶۳ کیلوگرم در هکتار اوره، ۱۳۰ کیلوگرم در هکتار پتانس و ۱۱۵ کیلوگرم در هکتار فسفات قبل از کاشت و کود سرک در دو نوبت (۲۰ تیر و ۱۵ مرداد) به میزان ۱۶۰ کیلوگرم در هکتار اوره انجام شد.

میزان آب آبیاری طی فصل رشد (خرداد، تیر، مرداد و شهریور) در تیمارهای مختلف روش آبیاری شامل جویچه‌ای، بارانی و تیپ در جدول ۱ ارائه شده است. راندمان کاربرد آب در سامانه آبیاری جویچه‌ای، بارانی و تیپ به ترتیب حدود ۷۵، ۷۰ و ۹۵ درصد به دست آمد. با توجه به مقادیر راندمان کاربرد و تبخیر غیرمفید از سطح خاک و تبخیر قطرات باران، حجم آب مصرفی در سامانه آبیاری جویچه‌ای، بارانی و تیپ به ترتیب ۵۱۱۳، ۸۴۹۳، ۸۷۱۷ و ۵۱۱۳ متر مکعب به دست آمد.

در شرایط فعلی به علت افزایش سطح زیرکشت سیب‌زمینی در استان و لزوم کاربرد سامانه‌های آبیاری تحت فشار، اندازه‌گیری حجم آب مصرفی در سه روش آبیاری مورد مطالعه، تعیین بهره‌وری آب با توجه به بررسی عملکرد ارقام تجاری این محصول براساس دیسکرپتورهای NIAB و CIP از اهداف پژوهش حاضر به شمار می‌آیند.

مواد و روش‌ها

این طرح تحقیقاتی در ایستگاه تحقیقات رزو واقع در شهرستان فریدن واقع در غرب استان اصفهان که مهم‌ترین منطقه سیب‌زمینی کاری استان می‌باشد بر روی ارقام آگریا و مارفونا انجام شد. اراضی منطقه با قابلیت نفوذ متوسط دارای بافت خاک سطحی متوسط تا نسبتاً سنگین و بافت سنی و سنگزیزه‌ای در اعمق بیشتر از ۴۰-۵۰ سانتی‌متری بدون مشکل شوری و ماندابی است. شوری آب آبیاری در این ایستگاه ۱/۲۴ دسی‌زیمنس بر متر و میزان ظرفیت انباشت رطوبتی خاک (FC-PWP) از ۱۰ تا ۱۶ درصد وزنی در عمق‌های مختلف خاک متغیر است. وزن مخصوص ظاهری در سطح خاک ۱/۴۴ و در عمق ۱۰۰ سانتی‌متری ۱/۵۲ گرم بر سانتی‌متر مکعب اندازه‌گیری شد. در این آزمایش روش‌های آبیاری به عنوان کرت اصلی، روش‌های کاشت یک ردیف و دو ردیفه بر روی هر پشته به عنوان کرت فرعی یک بار خرد شده و ارقام سیب‌زمینی شامل مارفونا (زودرس) و آگریا (میانرس) به عنوان کرت فرعی دو بار خرد شده در قالب بلوك‌های دو بار خرد شده نواری در نظر گرفته شد. این پژوهش در زمینی به مساحت تقریبی ۱۶۰۰ متر مربع طی دو سال در سه تکرار انجام شد. در کشت یک ردیفه در کلیه تیمارهای آبیاری، پشته‌هایی با فواصل ۷۰ سانتی‌متر احداث و غده‌ها در اندازه‌های بذری (۳۵ تا ۵۵ میلی‌متر) با سن فیزیولوژیکی مناسب (مرحله چند جوانه‌ای) روی پشته به فاصله ۲۵ سانتی‌متر کشت شد و لوله‌های آبده (نواحی تیپ) روی پشته‌ها قرار گرفتند. در کشت دو ردیفه ابتدا پشته‌هایی با فواصل ۱۴۰ سانتی‌متر ایجاد گردید به طوری که عرض پشته حدود ۸۰ سانتی‌متر شد. در دو طرف پشته‌ها با فاصله ۴۰ سانتی‌متر دو ردیف غده با مشخصات ذکر شده کشت گردید و لوله‌های تیپ در وسط پشته قرار گرفت و از دو طرف بوته‌ها را آبیاری می‌نمود. این دو آرایش کاشت به صورت مشابه در تیمارهای آبیاری بارانی و جویچه‌ای اجرا شد. روش غالب کاشت غده در منطقه پشته‌ای (فاروئی) است که در این پژوهش، ترتیبی اتخاذ شد تا با شرایط مزرعه زارعین سیب‌زمینی کار سازگار باشد. در تیمار آبیاری بارانی با توجه به سرعت باد، شرایط واقعی زمین نظیر توپوگرافی، مشخصات منبع تأمین آب،

جدول ۱- میزان آب آبیاری طی فصل رشد (مترمکعب در هکتار) در روش‌های مختلف آبیاری

Table 1- Amounts of water use during crop season ($m^3.ha^{-1}$) for different irrigation methods

آبیاری تیپ	آبیاری بارانی (کلاسیک ثابت)	آبیاری جویچه‌ای	روش آبیاری
Irrigation methods	Furrow irrigation	Sprinkler	Drip tape
June	2100	1857	854
July	2848	2385	1830
August	2663	2235	1857
September	882	740	572
Sum.	8493	7217	5113

امکان سنجی استفاده بهینه از آب در ارقام تجاری سیبزمینی ارزیابی گردید. تجزیه و تحلیل داده‌ها با آزمون دانکن در سطح آماری پنج درصد با نرم‌افزار آماری SAS انجام شد.

نتایج و بحث

عملکرد و بهره‌وری آب

نتایج حاصل از آنالیز واریانس مرکب دو ساله مندرج در جدول ۲ نشان می‌دهد که روش آبیاری و سال در سطح پنج درصد و اثر رقم × سال در سطح یک درصد معنی‌دار شده است. اثر رقم و همچنین اثر مقابله روش کاشت × روش آبیاری، رقم × روش کاشت، رقم × روش آبیاری، رقم × روش کاشت × روش آبیاری و رقم × روش آبیاری × روش کاشت × سال معنی‌دار نگردید.

در طول دوره رشد، پارامترهایی نظیر تاریخ جوانه‌زنی، شروع گلدهی، زمان تشکیل غده‌ها، زمان رسیدن محصول و عکس العمل گیاه در مقابل آفات و امراض منطقه‌ای ثبت گردید و پس از رسیدن محصول با حذف خطوط حاشیه‌ای، عملکرد در کرت‌های آزمایشی اندازه‌گیری شد. در این آزمایش نیز تیمارهای آزمایشی از نظر شدت و میزان آلدگی غده‌ها به اسکب و ریزوکتونیا مورد ارزیابی قرار گرفت. روش کار بدین صورت بود که ابتدا تعداد یک صد نمونه از هر تیمار و تکرار به طور تصادفی انتخاب گردید و میزان آلدگی براساس الگوهای مؤسسه ملی گیاه‌شناسی کشاورزی براساس درصد سطح آلدگی ۰، ۲۵ و ۵۰ و بیش از ۵۰ درصد تعیین شد. جدول‌های دو طرفه میانگین کل درجه آلدگی در ارتباط با آبیاری × رقم، آبیاری × ردیف و ردیف × رقم تشکیل گردید. در پایان تجزیه واریانس داده‌ها براساس کرت‌های خرد شده نواری و آزمون چند دامنه‌ای دانکن انجام و سپس

جدول ۲- تجزیه واریانس مرکب عملکرد محصول سیبزمینی

Table 2- Combined Analysis of variance (means of squares) of potato yield

منابع تغییرات S.O.V	درجه آزادی df	جمع مجذورات Sum squares	میانگین مربعات Means of squares
(Y) سال	1	15.12	15.12 n.s.
(Y*Rep) تکرار در سال	4	32.15	8.04 **
(Irr.) روش آبیاری	2	341.23	170.70 *
(Irr.*Rep) روش آبیاری × تکرار	5	40.05	1.80 *
(Plant.) روش کاشت	1	38.43	38.43 *
(Irr.*Plant.) روش کاشت × روش آبیاری	2	47.31	23.66 n.s.
(Plant.*Irr.*Y.Rep.) روش کاشت × تکرار × سال × روش آبیاری	12	38.54	3.17 n.s.
(Var.) رقم	1	13.02	13.02 n.s.
(Irr.*Var.) رقم × روش آبیاری	2	4.25	2.12 n.s.
(Var.*Plant.) رقم × روش کاشت	1	0.03	0.032 n.s.
(Irr.*Var.*Plant.) رقم × روش کاشت × روش آبیاری	2	1.09	0.55 n.s.
(Irr.*Y) روش آبیاری × سال	2	24.90	12.45 n.s.
(Plant.*Y) روش کاشت × سال	1	0.94	0.94 n.s.
(Var.*Y) رقم × سال	1	11.30	11.30 **
(Var.*Irr.*Plant.*Y) رقم × روش آبیاری × روش کاشت × سال	1	4.27	2.13 n.s.
باقیمانده	24	43.08	1.795

Irr.: irrigation methods, Var.: Potatoes variety and Plant.: Planting methods: روش کاشت: Var.; رقم: Irr.; آبیاری: Plant.

جدول ۳- مقایسه میانگین عملکرد دو ساله روش‌های آبیاری، روش کاشت و ارقام مورد بررسی

Table 3- Comparison of potato yield under irrigation methods, planting methods and potatoes cultivars		
	بهره‌وری آب (کیلوگرم بر متر مکعب)	عملکرد غده (کیلوگرم در هکتار)
Irrigation methods	Tuber-yield (kg ha^{-1})	Water productivity (kg m^{-3})
(I ₁ = Furrow irrigation) آبیاری چویچه‌ای	20848 c	2.45 c
(I ₂ = Sprinkler) آبیاری بارانی	26152 a	3.62 b
(I ₃ = Drip tape) آبیاری تیپ	23794 b	4.49 a
(ب) رقم		
(V ₁) اگریا	24083 a	3.47 a
(V ₂) مارفونا	23233 a	3.45 a
(ج) روش کاشت		
(P ₁) یک ردیفه	24388 a	3.51 a
(P ₂) دو ردیفه	22927 b	3.30 a

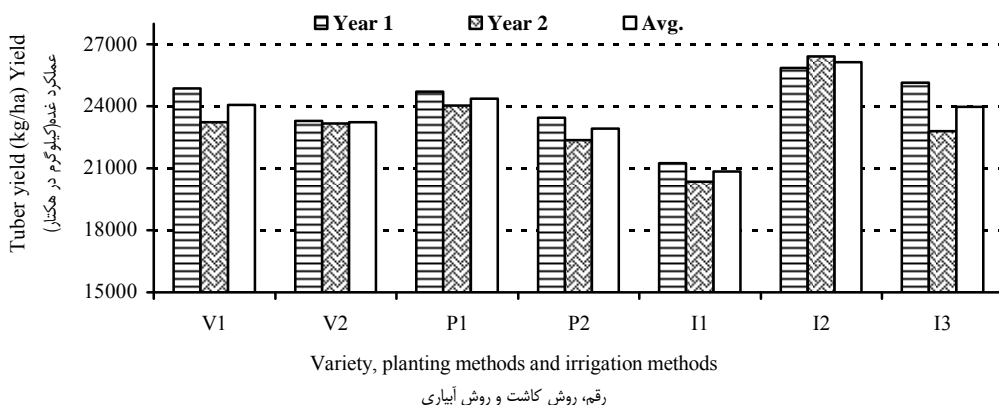
اعداد با حروف مشترک در هر ستون دارای اختلاف معنی دار ($P < 0.05$) نمی‌باشند، آزمون دانکن در سطح آماری پنج درصد.

Numbers followed by the same letter are not significantly differentns ($P < 0.05$), Duncan's test (95% confidence level).

I.: irrigation methods, V.: Potatoes variety and P.: Planting methods

درصد بیشتر از آبیاری بارانی است، ضمن اینکه میزان مصرف آب در روش بارانی ۴۱/۲ درصد بیشتر از روش تیپ می‌باشد. بر این اساس در صورتی که به میزان آب به کار رفته در یک هکتار آبیاری سطحی (۸۴۹۳۳ متر مکعب) آب در اختیار باشد، سطح قابل آبیاری با بارانی و تیپ به ترتیب ۱/۱۷۷ و ۱/۶۶ هکتار خواهد بود و میزان تولید با همین مقدار ثابت آب به ترتیب ۳۰/۷۸۱ و ۳۹/۸۲۱ تن در هکتار خواهد شد. در این شرایط و با میزان ثابت آب قابل دسترس، میزان افزایش تولید بارانی نسبت به چویچه‌ای، تیپ نسبت به چویچه‌ای و تیپ نسبت به بارانی به ترتیب ۹۱/۴، ۴۷/۶ و ۲۹/۴ درصد خواهد بود. بنابراین از منظر شاخص بهره‌وری آب و استفاده حداقلی از حجم ثابتی از آب قابل دسترس، روش آبیاری تیپ ارجحیت ملموس دارد.

نتایج حاصل از جدول ۳ نشان داد که روش آبیاری بارانی با میانگین عملکرد ۲۶۱۵۲ کیلوگرم در هکتار نسبت به روش آبیاری تیپ با تولید ۲۳۹۷۴ کیلوگرم در هکتار برتری معنی داری دارد. همچنین روش آبیاری چویچه‌ای با تولید ۲۰۸۴۸ کیلوگرم در هکتار، کمترین میزان محصول را تولید نموده است. با توجه به مقادیر آب آبیاری به کار رفته در هر یک از روش‌ها و میانگین عملکرد محصول در روش‌های آبیاری چویچه‌ای، بارانی و تیپ که به ترتیب برابر ۲۱۳۳۳ و ۲۵۸۷۷ و ۲۵۱۳۹ کیلوگرم در هکتار اندازه‌گیری شده (شکل ۱)، مقدار بهره‌وری آب در تیمارهای آبیاری فوق به ترتیب برابر ۳/۶۲، ۲/۴۵ و ۴/۶۹ کیلوگرم بر متر مکعب به دست آمد (جدول ۳). مطابق با شکل ۱، اگرچه میانگین عملکرد محصول به روش بارانی ۹/۰۸ درصد بیشتر از روش تیپ است، اما میزان بهره‌وری آب در روش تیپ ۲۹/۶



I.: irrigation methods, V.: Potatoes variety and P.: Planting methods

شکل ۱- اثر رقم، روش کاشت و روش آبیاری بر عملکرد غده سبزه‌منی در سال‌های آزمایش

Figure 1- Effects of irrigation methods, planting methods and potatoes cultivars on tuber yield

شاخص بهره‌وری آب حاکی از برتری نسبی کشت یک ردیفه سبب‌زمینی ($3/51$ کیلوگرم بر متر مکعب) نسبت به کشت دو ردیفه می‌باشد (جدول ۳).

عملکرد محصول سبب‌زمینی در روش آبیاری جویچه‌ای در کشت دو ردیفه بیشترین کاهش محصول را داشته که این کاهش به ترتیب در روش آبیاری تیپ و بارانی به حدائق می‌رسد. یکی از دلایل این اتفاق به خاطر میزان آلودگی و شیوع بیماری است چرا که بالاترین میزان آلودگی در کشت دو ردیفه در روش آبیاری جویچه‌ای به دست آمد.

نتایج آزمایش باغانی و همکاران (۵) نشان داد نحوه آرایش کاشت دو ردیفه روی پشته و یک نوار آبیاری بین آنها بیشترین عملکرد را دارا بوده است. همچنین در آزمایش‌های جابرو و همکاران (۸)، تاکله و چمدا (۱۵) و یانگ و همکاران (۱۸) آرایش دو ردیفه نسبت به یک ردیفه نقش مؤثرتری در استحصال محصول بیشتر داشته است. این در حالی است که در تحقیق حاضر در روش آبیاری بارانی با آرایش کاشت یک ردیفه بیشترین عملکرد حاصل شده است. نتایج چهار آزمایش فوق در شرایط آبیاری کامل (بدون تنفس آبی) به دست آمده است در حالی که در منطقه مورد مطالعه به سبب خشکسالی‌های مکرر که از ۱۴ سال گذشته شروع شده گیاهان کمتر از ۱۰۰٪ نیاز آبی آب دریافت می‌دارند. بهره‌وری آب بالاتر در تحقیق حاضر نسبت به آزمایش‌های کشاورز و حیدری (۹) و اخوان و همکاران (۲) مؤید تحت تنفس بودن شرایط آزمایش حاضر است.

بیماری‌ها

نتایج مربوط به میزان و شدت آلودگی غده‌ها به اسکب معمولی (جدول ۴) و همچنین نتایج آزمون‌های دو طرفه درجه آلودگی نسبت به اسکب معمولی نشان می‌دهد که میانگین آلودگی اسکب در روش آبیاری جویچه‌ای ۴۷ درصد بیشتر از روش آبیاری بارانی و ۷۸ درصد بیشتر از روش آبیاری تیپ می‌باشد، ولی بین ارقام تفاوت محسوسی وجود ندارد.

در روش‌های کاشت یک ردیفه و دو ردیفه بین ارقام مارفونا و اگریا از نظر میانگین میزان آلودگی تفاوت چندانی وجود نداشت. همچنین نتایج بیانگر بیشترین میزان آلودگی در کشت دو ردیفه و یک ردیفه در روش آبیاری جویچه‌ای می‌باشد. در کلیه موارد، آبیاری تیپ کمترین آلودگی را نشان می‌دهد. ضمناً براساس جدول ۴ در روش آبیاری بارانی و تیپ، در بیش از ۵۰ درصد آلودگی غده‌ها به بیماری، شدت آلودگی به اسکب تقریباً صفر می‌باشد.

معنی‌دار شدن اثر روش آبیاری بر عملکرد غده را می‌توان با تأثیر نحوه قرار دادن آب در اختیار گیاه و توزیع آن در محل ریشه مرتبط دانست. کاهش عملکرد در تیمار آبیاری جویچه‌ای به دلیل توزیع نامناسب آب در پروفیل خاک (پایین بودن راندمان کاربرد) و بالا بودن میانگین آلودگی اسکب در این تیمار می‌باشد. بین ارقام اگریا و مارفونا به ترتیب با تولید ۲۴۰۸۳ و ۲۳۲۲۳ کیلوگرم در هکتار تفاوت معنی‌داری وجود ندارد. میانگین‌های اثر رقم 24938 کیلوگرم در هکتار نسبت به رقم مارفونا با تولید ۲۳۲۹۵ کیلوگرم در هکتار و همچنین ارقام اگریا و مارفونا در سال دوم به ترتیب با تولید ۲۳۲۲۹ و ۲۳۱۷۱ کیلوگرم در هکتار برتری نسبی دارد. مطابق با شکل ۱ در هر سال، رقم آگریا دارای عملکرد بیشتری بوده است و از آن جایی که میزان یکسانی از آب کاربردی در اختیار داشتند، لذا بهره‌وری آب در رقم آگریا ($3/47$ کیلوگرم بر متر مکعب) بیشتر است.

نتایج این تحقیق همسو با گزارش دیگر محققین است به‌طوری که کشاورز و حیدری (۹) در مطالعات خود بهره‌وری آب را برای آبیاری نشستی حدائق و در روش تیپ حداکثر به میزان $3/3$ کیلوگرم بر متر مکعب اعلام نمودند. شاخص بهره‌وری برای محصول سبب‌زمینی در دشت‌های بزرگ شمالی امریکا (تیمه خشک) و در روش آبیاری بارانی، $5/4$ تا 120 کیلوگرم در هکتار بر میلی‌متر برای غده سبب‌زمینی گزارش شد (۱۰). همچنین اخوان و همکاران (۲) با ارزیابی مزارع تحت پوشش آبیاری تحت فشار در استان همدان، بهره‌وری آب در زراعت سبب‌زمینی با روش آبیاری تیپ را تا $4/68$ کیلوگرم بر متر مکعب برآورد کردند و همانطور که ذکر شد در تحقیق حاضر بهره‌وری آب در روش آبیاری تیپ برابر $4/69$ کیلوگرم بر متر مکعب به دست آمد. البته پرایر و شاک (۱۱) نشان دادند با توجه به مواردی همچون تخلیه رطوبتی مجاز، تنفس آبی و تبخیر و تعرق محصول، آبیاری بارانی نسبت به آبیاری سطحی و تیپ اولویت دارد.

مقایسه میانگین روش‌های کاشت نشان داد که کشت یک ردیفه با میانگین تولید 24839 کیلوگرم در هکتار نسبت به کشت دو ردیفه با میانگین تولید 22927 کیلوگرم در هکتار برتری معنی‌داری داشت. در کشت دو ردیفه رقابت برای جذب مواد غذایی بیشتر بوده و سایه‌اندازی و همپوشانی بوته‌ها سبب کاهش عملکرد می‌شود. میزان آب کاربردی در کشت یک و دو ردیفه برابر هست، لذا شاخص بهره‌وری آب ملاک و معیار مناسبی برای انتخاب شیوه برتر است.

جدول ۴- ارزیابی میزان و شدت آلودگی غدها به اسکب معمولی

Table 4- Intensity and the infection rate of diseases on tuber to Scab

Treatments	Healthy	سالمند	وضعیت تیمار	درصد آلودگی				Rate of diseases
				10%	25%	50%	>50%	
I ₁ V ₁ P ₁	20	40	20	10	5	5	-	19
I ₁ V ₂ P ₁	15	40	30	10	5	5	-	21.5
I ₁ V ₁ P ₂	13	40	30	10	7	7	-	23.5
I ₁ V ₁ P ₂	19	30	30	13	8	8	-	25
I ₂ V ₁ P ₁	30	35	25	10	-	-	-	14.8
I ₂ V ₂ P ₁	29	40	15	15	1	1	-	15.5
I ₂ V ₁ P ₂	30	35	25	10	-	-	-	14.7
I ₂ V ₂ P ₂	35	30	20	15	-	-	-	15.5
I ₃ V ₁ P ₁	52	20	15	13	-	-	-	12.3
I ₃ V ₂ P ₁	55	15	15	15	-	-	-	13
I ₃ V ₁ P ₂	45	25	20	10	-	-	-	12.5
I ₃ V ₂ P ₂	37	30	25	8	-	-	-	13.2

I.: irrigation methods, V.: Potatoes variety and P.: Planting methods. Irr: سامانه آبیاری، Var: رقم و. Plant: روش کاشت

می‌شود. تحقیق زارع ایانه و همکاران (۱۹) در منطقه فریدن نشان می‌دهد روش آبیاری بارانی در مقایسه با روش جویچه‌ای دارای عملکرد بالاتری بوده و همچنین تراکم جمعیت آفات مورد ارزیابی در این روش کمتر بوده است (۱۹). نقش روش آبیاری تیپ در کاهش تولید بیماری‌های غده در سیب‌زمینی که از نتایج تحقیق براون و همکاران (۶) می‌باشد مؤید نتایج آزمایش حاضر در خصوص بیماری‌های اسکب معمولی و ریزوکتونیا می‌باشد که سطح کمتر خیس شده زمین نسبت به دیگر روش‌های آبیاری از دلایل اصلی این موضوع است.

جدول ۵ مربوط به میزان و شدت آلودگی غدها به ریزوکتونیا و همچنین جدول‌های دو طرفه میزان آلودگی ریزوکتونیا نشان داد هر چند آبیاری تیپ در کلیه موارد کمترین میزان آلودگی را داشته، لیکن تفاوت محسوسی از نظر میزان آلودگی بین ارقام و سطوح آبیاری، ردیف و رقم، ردیف و آبیاری، ارقام با یکدیگر و ردیف‌ها با یکدیگر وجود نداشت.

پژوهش آواری و های ویس (۴) نشان داد بالاترین بهره‌وری آب در سامانه آبیاری تیپ قابل حصول می‌باشد. همچنین در روش‌های آبیاری تیپ و بارانی که توزیع رطوبت در خاک مناسب‌تر انجام می‌شود از توسعه بیماری‌های پوسیدگی غدد و پژمردگی جلوگیری

جدول ۵- ارزیابی میزان و شدت آلودگی غدها به ریزوکتونیا

Table 5- Intensity and the infection rate of diseases on tuber to rhizoctonia

Treatments	Healthy	سالمند	وضعیت تیمار	درصد آلودگی				Rate of diseases
				10%	25%	50%	>50%	
I ₁ V ₁ P ₁	40	35	15	10	-	-	-	11.5
I ₁ V ₂ P ₁	35	30	20	13	-	-	-	14.5
I ₁ V ₁ P ₂	40	35	15	10	-	-	-	11.5
I ₁ V ₁ P ₂	35	35	20	10	-	-	-	13.5
I ₂ V ₁ P ₁	45	30	17	10	-	-	-	12.2
I ₂ V ₂ P ₁	50	25	15	10	-	-	-	10.5
I ₂ V ₁ P ₂	45	25	20	10	-	-	-	12.5
I ₂ V ₂ P ₂	45	20	13	12	-	-	-	11.5
I ₃ V ₁ P ₁	55	15	15	6	-	-	-	9
I ₃ V ₂ P ₁	55	25	15	10	-	-	-	10.5
I ₃ V ₁ P ₂	40	30	15	10	-	-	-	11
I ₃ V ₂ P ₂	45	25	20	10	-	-	-	12.5

I.: irrigation methods, V.: Potatoes variety and P.: Planting methods. Irr: سامانه آبیاری، Var: رقم و. Plant: روش کاشت

شارمسارک و همکاران (۱۴) که دلالت به ارجح بودن آبیاری بارانی و تیپ دارد، مؤید نتیجه آزمایش فعلی می‌باشد.

باتوجه به تحلیل داده‌های این آزمایش در خصوص کاهش تولید بیماری‌های غده و مقادیر بهره‌وری آب در صورت وجود محدودیت آب، علی‌رغم پایین تر بودن عملکرد غده در روش آبیاری تیپ، این روش به دیگر روش‌ها ارجحیت دارد. نتایج اخذ شده توسط

نتیجه‌گیری

بارانی بیشترین عملکرد محصول قبل حصول بوده و همچنین از نظر شدت و میزان آلودگی به بیماری‌های منطقه بر روی غده (اسکب معمولی و ریزوکترنیا) نسبت به آبیاری جویچه‌ای برتری محسوس دارد. لذا در صورت عدم وجود محدودیت آب و نبود مشکل وزش باد شدید می‌تواند مورد استفاده قرار گیرد. نتایج این آزمایش نشان می‌دهد کشت یک ردیفه در زراعت سیب‌زمینی در کلیه تیمارها نتیجه مطلوبی دارد.

نتایج این تحقیق نشان داد که سامانه آبیاری تیپ علی‌رغم عملکرد محصول پایین‌تر نسبت به روش آبیاری بارانی، بهره‌وری آب را افزایش می‌دهد. همچنین غده‌ها از نظر ظاهری کمترین آلودگی به بیماری‌های اسکب معمولی و ریزوکترنیا را در این روش آبیاری نشان داده است. از این‌رو کاربرد این روش به‌ویژه در شرایط وجود محدودیت آب در زراعت سیب‌زمینی الزامی است. در روش آبیاری

References

1. Ahmadi, S. H., Andersen, M. N., Plauborg, F., Poulsen, R. T., Jensen, C. R., Sepaskhah, A. R., and Hansen, S. 2010. Effects of irrigation strategies and soils on field grown potatoes :Yield and water productivity. Agricultural Water Management 97 (11): 1923-1930.
2. Akhava, S., Mostafa Zadeh, F., and Ghadami FirouzAbadi, A. 2007. Comparison Two Irrigation Systems, Tape and Furrow Irrigation Methodes on Yield and water productivity of potato farming. Soil and Water Science 11 (41): 15-26. (in Persian with English abstract).
3. Alttaher, S. M., Medany, A., Abdel-Aziz, A., and Mustafa, M. M. 2002. Energy requirements and yield of drip irrigated potato. International Society for Horticultural Science. Saudi Arabia.
4. Awari, H. W., and Hiwase, S. S. 2004. Effect of irrigation systems on growth and yield of potato. Annals of plant physiology 8 (2): 185-187.
5. Baghani, J., Sadr Ghaen, H., and Kanoni, A. 2006. The effect of planting pattern and the amount of water in drip irrigation on potato yield. The second technical workshops micro-irrigation, Agricultural Engineering Research Institute, Karaj, 10pp. (in Persian with English abstract).
6. Brown, T., Detar, R., Sanden, L., and Phene, J. 2002. Comparison of drip and sprinkler irrigation systems for applying managing stem rot on potato. Plant Disease Journal 86 (11): 1211-1218. U. S. A.
7. Farshi, A. A., Shariati, M. R., Jarollahi, R., Ghaemi, M. R., Shahabi Far, M., and Tavallaei, M. M. 1997. Estimates crop water requirements of major agricultural and horticultural of the country. Vol. 1, Soil and Water Research Institute, 90pp. (in Persian with English abstract).
8. Jabro, J. D., Iversen, W. M., Evans, R. G., Stevensand, W. B., and Allen B. L. 2013. Water Use and Water Productivity of Sugarbeet, Malt, Barley and Potato affected by Irrigation Frequency. US Department of Agriculture Agricultural Research Service.
9. Keshavarz, A., and Heydari, N. 2003. Analysis of the loss of water resources in production processes and consumption of agricultural products. Proceedings of the First National Conference Losses of Agricultural Products, Tarbiat Modarres University, Tehran, 5pp. (in Persian with English abstract).
10. O'Neill, C. J., Humphreys, E., Louis, J., and Katupitiya A. 2008. Maize productivity in southern New South Wales under furrow and pressurized irrigation. Aust. J. Exp. Agric. 48 (3): 285-295.
11. Pereira, A. B., and Shock, C. C. 2006. Development of irrigation best management practices for potato from a research perspective in the United States. Sakia. Orge-Publish 1: 1-20. U. S. A.
12. Pereira, L. S., Oweis, T., and Zairi, A. 2002. Irrigation management under water scarcity. Agricultural Water Management 57 (3): 175-206.
13. Salemi, H. R., and Amin, M. S. 2010. (Serial No.28) Water Resources Development and Water Utilization in the Gavkhuni River Basin, Iran. Journal of Agricultural Science and Technology 4: 25-33.
14. Sharmasarkar, F. C., Sharmasarkar, Sh., Held, L. J., Miler, S. D., Vance, G. F., and Zhang, R. 2001. Agro economic Analyses of Drip Irrigation for Sugar beet Production. Agronomy Journal 93 (3): 517-523.
15. Takele, G., and Chemedu, D. 2009. Effects of drip irrigation levels and planting methods on yield and yield components of green pepper (*Capsicum annuum* L.) in Bako, Ethiopia. Agricultural Water Management 96 (11): 1673-1678.
16. Tavakoli, A. R. 2010. Improving water productivity by using integrated advanced agronomic management and limited irrigation at rainfed cereals farming. PhD thesis, Department of Irrigation and Drainage Irrigation and Reclamation, Faculty of Agricultural Engineering and Technology, University of Tehran. (in Persian with English abstract).
17. Tavakoli, A. R. 2013. Deficit Irrigation and Supplemental Irrigation Management for Rainfed and Irrigated Wheat at Selseleh Region. J. of Water Research in Agriculture 4: 589-600. (in Persian with English abstract).

18. Yang, W., Lia, Z., Wang, J., Wu, P., and Zhang, Y. 2013. Crop yield, nitrogen acquisition and sugarcane quality as affected by interspecific competition and nitrogen application. *Field Crops Research* 146: 44–50.
19. Zare Abyaneh, A. A., Kazzazi, M., and Soltani, H. 2009. The effect of sprinkler irrigation and furrow on sucking pest population and potato yield. *Journal of Agronomy* 84: 31–38. (in Persian with English abstract).



Effect of Different Irrigation and Planting Methods on Water Productivity and Health of Commercial Varieties of Potato

H. R. Salemi¹- A. Soliamanipur²- A. R. Tavakoli^{3*}

Received: 12-03-2014

Accepted: 02-02-2015

Introduction

Water crisis as a main factor of agronomy limitation exists in all over the arid and semiarid regions such as Isfahan, province which is located in the central part of the Zayandehrud River Basin (ZRB). Due to the increase in the cultivated area of potato in Fariedan Region located in the west of Isfahan province, it will be necessary to use pressurized irrigation systems to achieve the highest irrigation application efficiency and water productivity.

Materials and Methods

The ZRB ($41,500 \text{ km}^2$) is a closed basin with no outlet to the sea. The research was conducted in the Fariedan region of Isfahan, which is located in the west part of the ZRB. The Rozveh Agricultural Research Station ($32^\circ, 58' \text{ N}, 50^\circ, 25' \text{ E}$) is located at the altitude of 2390 m above the sea level. This study was conducted as a randomized complete blocks design as a split strip plot layout with three replications and during two years (2007-2008). Three irrigation systems (Drip tape, Sprinkler and furrow) were considered as main plots, two planting methods (one - row planting and two-row planting) as split subplots and two potato cultivars (Marfuna and Agria) as split-split subplots. Production (Tuber-yield), the consumption water and cultivars reactions to common diseases were evaluated in different treatments. The soil of the experimental area, according to USDA Soil Taxonomy 1994 is of silty loamy. At the soil depth of 1m, soil salinity ($1.1\text{-}2.0 \text{ dS m}^{-1}$), water salinity (1.24 dS m^{-1}), soil moisture at field capacity (23 Vol. %), and bulk density ($\text{BD} = 1.44 \text{ g/cm}^3$) at the field site were measured or experimentally obtained in the Isfahan Soil and Water Laboratory. The results were subjected to an ANOVA to analyze the effects of the treatments and their interactions. The data obtained were analyzed using the compound variance analysis and the averages of different treatments were separated using the Duncan multiple range test using the statistical software (SAS Institute, Inc., Cary, NC). The probability level of 0.05 (Duncan's test) also was selected.

Results and Discussion

An analysis of variance (ANOVA) was conducted on the irrigation systems and planting methods using PROC GLM (SAS 9.1, SAS institute Ltd., USA). Duncan's multiple range tests at 0.05 probability level was used for paired mean comparison. The Results provided in two years show that the effect of irrigation systems \times year ($P \leq 0.05$) and cultivars \times year ($P \leq 0.01$) on (Tuber-yield), the consumption water and cultivars reactions to common diseases were found to be significant. There is no interaction between irrigation and planting methods, Variety \times planting methods, Variety \times irrigation, irrigation \times Variety \times planting methods and irrigation \times Variety \times planting methods \times Year for (Tuber-yield), the consumption water and cultivate reactions to common diseases. On the contrary, the effects of the irrigation system treatments on the Tuber-yield and water productivity were significant ($p \leq 0.05$). The effects of variety on Tuber-yield and water productivity were not significantly ($P \geq 0.05$) detected.

Sprinkler irrigation method with 26152 kg ha^{-1} of production mean was preferred significantly to tape irrigation method with 23974 kg/ha of production mean. Tape irrigation leaded to the highest mean of WP equal to 4.69 kg m^{-3} . Two years comparison of yield mean showed no significant difference between Agria and Marfuna potato cultivars. The two year comparison results of yield means using different planting methods

1- Assistant professor of Agricultural Engineering Research Department, Esfahan Agricultural and Natural Resources Research and Education Center, Esfahan, Iran.

2- Assistant professor of Economic, Social and Extension Department, Researcher of Esfahan Agricultural and Natural Resources Research and Education Center, Esfahan, Iran.

3- Assistant professor of Agricultural Engineering Research Department, Semnan Agricultural and Natural Resources Research and Education Center (Shahrood), Shahrood, Iran. Corresponding Author

(*- Corresponding Author Email: art.tavakoli@gmail.com)

indicated that one row planting method (24839 kg ha^{-1}) was preferred significantly comparing to two row planting methods (22927 kg ha^{-1}). Evaluation of tuber infection by ordinary scab and rhizoctonia showed that the highest mean of infection way observed in furrow method and the lowest one was observed in tape method of irrigation. Scab infection in furrow irrigation was 47% higher than sprinkler irrigation and 78% higher than tape irrigation.

Conclusions

During the three (2) years of the experiments with the three (3) irrigation treatments imposed on the potato crop, it was found that the drip type irrigation system, despite its lower yield than sprinkler irrigation, increased water productivity. A lowest pollution tuber to scab infection and rhizoctonia was determined by Drip type method. Thus, using this method, particularly in water restrictions on potato planting is required. The highest tuber yield was obtained in sprinkler irrigation, as well as from the point of view of the intensity and the infection rate of diseases on the tuber to Scab and rhizoctonia there was significant advantage compared to furrow irrigation. Therefore, in the lack of water restriction and the high speed wind can be used. The results showed that the one row planting method for all treatments is desirable therefore highly recommended for agricultural potato production.

Keywords: Drip tape irrigation, Furrow irrigation, Infection, Sprinkler irrigation

بررسی اثر کود نیتروژن بر میزان جذب و ضریب استهلاک نور در ارقام مختلف گندم

^۱ فریده صمدیان - علی سلیمانی

تاریخ دریافت: ۱۳۹۲/۱۲/۲۱

تاریخ پذیرش: ۱۳۹۴/۱۰/۲۹

چکیده

به منظور ارزیابی میزان جذب و ضریب استهلاک نور در ارقام مختلف گندم تحت تأثیر تیمارهای مختلف کود نیتروژن در منطقه اصفهان، آزمایشی در سال زراعی ۱۳۹۰-۹۱ در مزرعه تحقیقاتی دانشکده کشاورزی آزاد اسلامی واحد اصفهان، اجرا شد. آزمایش به صورت کرت‌های یک بار خرد شده در قالب طرح پایه بلوک‌های کامل تصادفی، با سه تکرار انجام شد. سطوح مختلف کود نیتروژن شامل چهار سطح ۰، ۵۰، ۱۰۰ و ۱۵۰ کیلوگرم در هکتار نیتروژن خالص از منبع اوره در کرت‌های اصلی و ارقام مختلف گندم، شامل پیشتاز، سپاهان و SW-846 در کرت‌های فرعی قرار گرفتند. نتایج نشان داد تیمار کودی ۱۵۰ کیلوگرم نیتروژن خالص در هکتار حداکثر شاخص سطح برگ و حداکثر درصد جذب نور را در مقایسه با سایر تیمارهای حاصل نمود. بیشترین درصد جذب نور، سرعت رشد محصول و ماده خشک کل، مربوط به رقم پیشتاز و تیمار کودی ۱۵۰ کیلوگرم در هکتار نیتروژن بود. میزان ضریب استهلاک نور محاسبه شده در طی فصل رشد برای تیمارهای کودی ۰، ۵۰، ۱۰۰ و ۱۵۰ کیلوگرم نیتروژن خالص در هکتار به ترتیب ۰/۴۶۷۵، ۰/۴۷۹۴، ۰/۴۸۵۸ و ۰/۴۹۵ و برای رقم‌های پیشتاز، سپاهان و SW-846 به ترتیب برابر با ۰/۴۶۱۸، ۰/۴۸۸ و ۰/۴۵۰۴ بود. جهت دستیابی به حداکثر درصد جذب نور، سرعت رشد محصول و شاخص سطح برگ مناسب برای تولید بیشترین ماده خشک کل، تیمار کودی ۱۵۰ کیلوگرم نیتروژن خالص در هکتار و رقم پیشتاز تحت شرایط مشابه با مطالعه حاضر مناسب به نظر می‌رسد.

واژه‌های کلیدی: سرعت اسیمیلاسیون خالص، سرعت رشد محصول، شاخص سطح برگ

مقدمه

مواد غذایی و درجه حرارت مورد نیاز گیاه وجود نداشته باشد در آن صورت نور تنها عاملی است که روی میزان محصول هر گیاه اثر تعیین‌کننده دارد. همبستگی نزدیکی بین مقدار تشتعش دریافتی توسط گیاه و رشد آن وجود دارد. کود نیتروژن از طریق تأثیر بر میزان شاخص سطح برگ بر میزان جذب و ضریب استهلاک نور تأثیر دارد (۲۴). شواهد نشان می‌دهد که هرچه جذب مؤثر نور در جامعه گیاهی بیشتر باشد، عملکرد نیز افزایش خواهد یافت. با افزایش جذب نور عملکرد بیولوژیکی و اقتصادی نیز افزایش می‌یابد.

افزایش سریع سطح برگ و رسیدن به شاخص سطح برگ بحرانی که باعث می‌شود هرچه زودتر میزان فتوستنت و سرعت رشد گیاه به حداکثر برسد، دارای اهمیت است. این عوامل تضمین‌کننده عملکرد زیاد و کاهش رقبت علف‌های هرز نیز می‌باشد (۲۰). برای به حداکثر رسیدن سرعت رشد محصول بایستی به میزان کافی برگ در جامعه گیاهی وجود داشته باشد تا بیشترین مقدار نور خورشید را دریافت کند. فتوستنت انجام شده، خود سبب افزایش شاخص سطح برگ می‌گردد. بدین لحاظ شاخص سطح برگ مطلوب و حداکثر سرعت رشد محصول به طور همزمان حادث می‌شود (۱۸). با این حال

گندم (*Triticum aestivum*) از زمره قدیمی‌ترین و مهم‌ترین محصولات زراعی ایران و جهان به شمار می‌رود و از زمان‌های بسیار دور در تأمین معاش و ادامه حیات ساکنان این کره خاکی نقش بهسزایی به عهده داشته است (۱۲ و ۱۳). گندم در درجه اول به عنوان غذای انسان و در مرحله بعدی برای تغذیه دام و طیور و هم‌چنین کاربردهای صنعتی کشت می‌گردد (۱۰). افزایش تولید گندم در ایران از طریق افزایش راندمان تولید میسر است که برای موقفيت در امر تولید، شیوه‌های مدرن به زراعی و بهنژادی در راستای دستیابی به حداکثر عملکرد تا حدود زیادی بستگی به بهینه کردن ماشین آلات، تغذیه گیاه و رفع کمبودهای مواد غذایی مورد نیاز گیاه و بالا خص مراقبت‌های مدیریتی دارد. یکی از جنبه‌های مدیریتی استفاده از کودهای شیمیایی و حداکثر استفاده گیاه از نور می‌باشد. چنانچه کمبودی از نظر آب،

۱ و ۲- به ترتیب دانش‌آموخته کارشناسی ارشد و دانشیار گروه زراعت و اصلاح نباتات، دانشکده کشاورزی، دانشگاه آزاد اسلامی واحد اصفهان (خوارسگان) (Email: a_soleymani@khuisf.ac.ir) - نویسنده مسئول:

میزان تجمع ماده خشک کل گیاه بستگی زیادی به توصیف کامل شاخص سطح برگ، سرعت اسیمیلاسیون خالص، سرعت رشد محصول، ضریب استهلاک نور و کارایی مصرف نور دارد (۲۰). با توجه به این که ایران در منطقه خشک و نیمه خشک قرار گرفته، میزان مواد آلی خاک پایین بوده و در نتیجه دارای سطح پایین نیتروژن می‌باشد و گیاهان نیز دچار کمبود نیتروژن می‌باشند لذا تأمین نیتروژن ضروری است (۱۸). ارقام مختلف گیاه گندم توانایی متفاوتی در دریافت نیتروژن و تولید شاخص برگ دارند که بررسی عکس العمل آنها در جذب نور نیز حائز اهمیت است.

لذا هدف از این تحقیق بررسی اثر کود نیتروژن بر میزان جذب نور و محاسبه ضریب استهلاک نور در طول دوره رشد در ارقام مختلف گندم تحت شرایط اقلیمی اصفهان است.

مواد و روش‌ها

به منظور ارزیابی روند جذب نور و محاسبه ضریب استهلاک نور و شاخص‌های رشد در ارقام مختلف گندم تحت تأثیر تیمارهای مختلف کود نیتروژن، آزمایشی در سال زراعی ۱۳۹۰-۹۱ در مزرعه تحقیقاتی دانشکده کشاورزی دانشگاه آزاد اسلامی واحد اصفهان، واقع در روستای خاتون آباد در عرض جغرافیایی ۲۲ درجه و ۴۰ دقیقه شمالی و طول جغرافیایی ۵۱ درجه و ۴۸ دقیقه شرقی با ارتفاع ۱۵۵۵ متر از سطح دریا اجرا شد. این منطقه طبق تقسیم‌بندی کوپن دارای اقلیم خشک بسیار گرم با تابستان‌های گرم و خشک و زمستان‌های نیمه سرد می‌باشد. متوسط دراز مدت بارندگی و درجه حرارت سالیانه به ترتیب ۱۲۰ میلی‌متر و ۱۶ درجه سانتی گراد است. آزمایش به صورت کرت‌های یکبار خرد شده در قالب طرح پایه بلوک‌های کامل تصادفی با سه تکرار اجرا شد. در این آزمایش سطوح مختلف کود نیتروژن در کرت‌های اصلی که شامل چهار سطح ۰، ۵۰، ۱۰۰ و ۱۵۰ کیلوگرم در هكتار نیتروژن خالص از منبع اوره و ارقام مختلف گیاه گندم شامل سه رقم، پیشناز، سپاهان و SW-846 در کرت‌های فرعی قرار گرفتند. زمین محل آزمایش در سال قبل زیر کشت کلزا بوده که در آبان ماه سال ۱۳۹۰ زمین تا عمق ۳۰ سانتی‌متر توسط گاوآهن برگ‌داندار شخم زده شد و به کمک سیکلاتریل کلوجه‌ها کاملاً خرد و در نهایت تسطیح زمین انجام شد. به منظور تقویت زمین و تأمین عناصر مورد نیاز گیاه با توجه به نتیجه آزمایش خاک، طبق تیماربندی صورت گرفته براساس نقشه آزمایش، مقدار یک سوم کود شیمیایی اوره (۴۶٪ نیتروژن) هنگام کاشت و دو سوم هنگام پایان پنجه‌دهی به زمین داده شد. مشخصات فیزیکی و شیمیایی خاک محل آزمایش در جدول ۱ آرائه شده است.

سرعت رشد محصول در اثر زیاد شدن شاخص سطح برگ تا حدی افزایش می‌یابد که میزان نوری که برای فتوسنتز به برگ‌های پایینی می‌رسد برای جبران تنفس کافی باشد (۲۰). کارایی دریافت و جذب تشتعش یک گونه گیاهی تا حد زیادی تابعی از نمو برگ‌های آن است که با شاخص سطح برگ مشخص می‌شود (۲۱). لیکن افزایش سهم عملکرد اقتصادی نسبت به عملکرد بیولوژیک در محصولات دانه‌ای مورد نظر است (۲۱). ضریب استهلاک نور (k) تعیین کننده میزان کارآمدی تاج پوشش گیاهی با یک شاخص سطح برگ معین در دریافت تشتعش است. در واقع ضریب استهلاک نور مفهومی است که بیانگر میزان نفوذ نور در داخل کانوبی گیاه می‌باشد به طوری که هرچه برگ‌های بالایی کانوبی زاویه کمتری با ساقه داشته باشند ضریب استهلاک نور کمتر و هرچه برگ‌ها افقی‌تر باشند این ضریب بیشتر خواهد بود و نشانگر نرخ کاهش نور در جامعه گیاهی است (۱۷).

برخی محققین با رگرسیون‌گیری لگاریتمی از مقدار نور عبور کرده نسبت به شاخص سطح برگ یا شاخص سطح سبز در طی دوره توانستند مقدار ضریب استهلاک نور را محاسبه نمایند (۲). بنابراین، آن مقدار از نور خورشید که در جامعه نفوذ می‌کند، تحت تأثیر شاخص سطح برگ و آرایش برگ‌ها قرار می‌گیرد. ضریب کاهش تشتعش مقدار کاهش نور در جامعه گیاهی را با عدد بیان می‌کند و مشخصه آرایش برگ‌های است که عمدهاً شامل زاویه برگ‌ها و چگونگی تجمع برگ‌ها در داخل جامعه گیاهی است.

عملکرد کل ماده خشک نتیجه کارایی جامعه گیاهی از نظر استفاده از تشتعش خورشید در طول فصل رویشی است، در این ارتباط جامعه گیاهی نیاز به سطح برگ کافی داشته که به طور یکنواختی توزیع شده باشد و سطح زمین را کاملاً بپوشاند (۱۱).

یکی از عوامل مؤثر در افزایش کمی و بهبود کیفی محصولات کشاورزی، مصرف صحیح کودهای شیمیایی است که متأسفانه در ایران رعایت نمی‌شود و مصرف نامتعادل کودهای شیمیایی موجب تشدید بعضی از کمبودها، کاهش حاصلخیزی خاک و افت کیفیت محصولات زراعی و باغی شده است (۸). نیتروژن مهمترین عنصر غذایی در تولید گیاهان زراعی به شمار می‌آید و کمبود آن در اکثر خاک‌های آهکی دیده می‌شود (۱۴ و ۱۸). از آنجا که نور قابل ذخیره نبوده و یکی از عوامل محدود کننده عملکرد گیاهان زراعی است یکی از روش‌های افزایش کارایی استفاده از نور، افزایش شاخص سطح برگ تاحد زیادی نشان‌دهنده حداکثر فتوسنتز در تشتعش بالا می‌باشد (۹). بنابراین مطالعات تئوریک پیشنهاد می‌کند اگر اختصاص نیتروژن به برگ‌هایی صورت گیرد که نور بیشتری دریافت می‌کنند، فتوسنتز کانوبی به حداکثر خواهد رسید (۳).

جدول ۱- مشخصات فیزیکی و شیمیایی خاک محل آزمایش در عمق ۰ تا ۳۰ و ۳۰ تا ۶۰ سانتی‌متر
Table 1- Physical and chemical properties of site soil at the depth of 0 to 30 and 30 to 60 cm

عمق Depth (cm)	هدایت الکتریکی EC (ds m ⁻¹)	pH	ماده آلی Organic matter (%)	N	P (mg kg ⁻¹)	K	رس Silt		
							نیتروژن قابل جذب Fertilizer available nitrogen	پتاسیم قابل جذب Fertilizer available potassium	شن Sand
0-30	3.6	7.9	1.71	0.12	36	415	39	22	39
30-60	4.48	7.9	1	0.10	41	428	35	24	41

آماری با رعایت حاشیه اندازه‌گیری تشعشع فعل فتوستنتزی با طول موج ۴۰۰ تا ۷۰۰ نانومتر انجام شد. لذا هر ۱۵ روز یک بار بین ساعت ۱۱ تا ۱۳ ظهر واقعی تحت شرایط آسمان صاف و آفتابی اندازه‌گیری صورت گرفت. در هر مرحله اندازه‌گیری نور ۲۰ اندازه‌گیری در بالای پوشش گیاهی و ۳۰ اندازه‌گیری در پایین پوشش گیاهی انجام گرفت و سپس میانگین اندازه‌گیری‌های بالای پوشش گیاهی و میانگین اندازه‌گیری‌های پایین پوشش گیاهی ثبت گردید.

درصد جذب نور و ضریب استهلاک نور با استفاده از قانون لامبرت- بیر به ترتیب از معادلات (۵) و (۶) محاسبه شد.

$$\ln \frac{I}{I_0} = -k LAI \quad (6)$$

$$\frac{I_0 - I}{I_0} \times 100 = \text{درصد نور جذب} \quad (5)$$

که در آن، I میزان تشعشع فعل فتوستنتزی در پایین پوشش گیاهی، I_0 میزان تشعشع فعل فتوستنتزی در بالای پوشش گیاهی و k ضریب استهلاک نور است که شبیه خط رابطه (۶) می‌باشد.

محاسبات آماری مورد نیاز با استفاده از نرم افزارهای آماری Excel و Statgarph، رسم گرافها با استفاده از نرم افزار Mstat-c انجام گردید و برای مقایسه میانگین‌ها از آزمون چند دامنه دانکن در سطح احتمال پنج درصد استفاده شد.

نتایج و بحث

حداکثر شاخص سطح برگ

بیشترین میزان شاخص سطح برگ در مرحله گردهافشانی توسط تیمار کودی ۱۵۰ کیلوگرم در هکتار حاصل شد که اختلاف آن با سایر تیمارهای کودی معنی‌دار بود (جدول ۲). نتایج حاکی از آن است که با افزایش میزان نیتروژن شاخص سطح برگ به‌طور معنی‌داری افزایش می‌یابد. روند تغییرات شاخص سطح برگ طی فصل رشد حاکی از آن است که تا قبل از مرحله گردهافشانی، اختلاف قابل توجهی بین تیمارهای مختلف وجود نداشت ولی پس از آن به تدریج اختلاف بین تیمارها به‌صورت بارزی نمایان شد، به‌طوری‌که در مرحله گردهافشانی شاخص سطح برگ به بیشترین میزان خود رسید و پس از آن تا پایان دوره رشد به دلیل ریزش برگ‌ها شاخص سطح برگ

کاشت در ۱۴ آبان ماه ۱۳۹۰ و با تراکم ۴۰۰ بوته در متر مربع صورت پذیرفت. هر کرت آزمایشی شامل ۱۰ خط کاشت با فاصله خطوط کاشت ۱۵ سانتی‌متر و به طول پنج متر بود و به منظور جلوگیری از هرگونه اختلاط کود نیتروژن بین کرت‌های اصلی ۱/۵ متر فاصله در نظر گرفته شد. اولین آبیاری بلافارسله پس از کاشت انجام شد سایر آبیاری براساس نیاز گیاه و میزان بارندگی و زمان کوددهی در طول فصل رشد انجام گرفت. در طول دوره رشد به منظور کنترل علف‌های هرز از علفکش توفوتدی و جهت مبارزه با آفت‌شته و سایر حشرات از حشره‌کش فنیتریتیون استفاده گردید. از ابتدا و انتهای هر خط کاشت، نیم متر به عنوان اثرات حاشیه‌ای حذف گردید. از ۱۰ خط کاشت در هر کرت، سه خط از کنار هر دو طرف کرت حذف شد و ۴ خط وسط جامعه آماری آزمایش را تشکیل داد. جهت تعیین شاخص‌های رشد گیاه نمونه‌برداری از ۳۵ پس از سبز شدن به فاصله هر ۱۵ روز یک بار از ۱۵ سانتی‌متر طولی با رعایت حاشیه، تا زمان رسیدگی فیزیولوژیکی انجام شد. نمونه‌ها پس از انتقال به آزمایشگاه به اجزای مختلف (برگ، ساقه و خوشة) تقسیک شد و به مدت ۷۲ ساعت در دمای ۷۵ درجه سانتی‌گراد در آون تهويه‌دار خشک گردید و سپس توزین شدند. برای تعیین تغییرات میزان شاخص سطح برگ، روند تجمع ماده خشک کل، سرعت اسیمیلاسیون خاص و سرعت رشد محصول از بهترین روابط رگرسیونی طبق معادلات (۱)، (۲)، (۳) و (۴) استفاده گردید (۲۲).

$$LAI = e^{a_1 + b_1 t + c_1 t^2} \quad (1)$$

$$W = e^{a_2 + b_2 t + c_2 t^2} \quad (2)$$

$$NAR = (b_2 + 2c_2 t)e^{(a_2 - a_1) + (b_2 - b_1) + (c_2 - c_1)t^2} \quad (3)$$

$$CGR = NAR \times LAI = (b_2 + 2c_2 t)e^{a_2 + b_2 t + c_2 t^2} \quad (4)$$

در روابط فوق، W ماده خشک کل بر حسب گرم بر متر مربع، t زمان بر حسب تعداد روز پس از سبز شدن، LAI شاخص سطح برگ، NAR سرعت اسیمیلاسیون خالص، CGR سرعت رشد محصول و $a_1, b_1, c_1, a_2, b_2, c_2$ ضرایب رگرسیونی می‌باشند.

جهت اندازه‌گیری میزان جذب نور از دستگاه نورسنج مدل (TES-1334 A) ساخت کارخانه لوترون تایوان استفاده شد. بدین منظور یک روز قبل از اندازه‌گیری ماده خشک و سطح برگ، در یک متر مربع در همان محل که سطح برگ اندازه‌گیری شد از جامعه

تیمار کودی ۱۵۰ کیلوگرم نیتروژن در هکتار حاصل شد که اختلاف آن با تیمار ۱۰۰ کیلوگرم در هکتار معنی‌دار نبود ولی اختلاف آن با سایر تیمارهای کودی معنی‌دار بود (جدول ۲). نتایج حاکی از آن است که مصرف ۵۰ کیلوگرم در هکتار نیتروژن نیاز کودی گیاه را مرتفع نمی‌کند به‌طوری که با افزایش کود نیتروژن از ۵۰ به ۱۰۰ کیلوگرم در هکتار ماده خشک کل به‌طور معنی‌داری افزایش یافت. روند تغییرات تجمع ماده خشک کل در سطوح مختلف مصرف نیتروژن، در طی فصل رشد حاکی از آن است که تا حدود ۱۱۶ روز پس از کاشت اختلاف قابل توجهی بین تیمارهای مختلف نیتروژن وجود نداشت و پس از آن با شروع مرحله گردەافشانی، اختلاف بین تیمارها به‌صورت بارزی نمایان شد. با افزایش رشد رویشی و در حدود ۲۲۴ روز پس از کاشت یعنی تا اواسط دوره پر شدن دانه‌ها تجمع ماده خشک افزایش یافت، سپس ثابت و اندکی کاهش یافت (شکل ۳). این عکس‌العمل احتمالاً مربوط به سایه‌اندازی برگ‌های بالایی بر برگ‌های پایینی به‌ویژه در اواخر دوره رشد می‌باشد. دریسر و همکاران (۵) خاطر نشان کردند که افزایش مصرف نیتروژن موجب افزایش شاخص سطح برگ و ارتفاع گیاه می‌گردد. از طرفی افزایش شاخص سطح برگ تا حد مطلوب موجب افزایش کارایی فتوستتری و رشد اندام‌های رویشی و زایشی شده که متعاقب آن افزایش ماده خشک کل را منجر می‌گردد. که این عکس‌العمل با نتایج مطالعه حاضر تطابق دارد.

کاهش یافت. تیمار ۱۵۰ کیلوگرم در هکتار در طی فصل رشد از شاخص سطح برگ بیشتری در مقایسه با سایر تیمارها برخوردار بود (شکل ۱). درکر و همکاران (۷) نیز نشان دادند افزایش کاربرد کود نیتروژن موجب افزایش معنی‌دار شاخص سطح برگ در گیاه گندم می‌شود.

بیشترین میزان شاخص سطح برگ در مرحله گردەافشانی توسط رقم پیشتاز حاصل شد که اختلاف آن با سایر ارقام معنی‌دار بود و اختلاف معنی‌داری بین ارقام سپاهان و SW مشاهده نشد (جدول ۲). روند تغییرات شاخص سطح برگ در طی فصل رشد در ارقام مختلف حاکی از آن است که تا در ابتدای فصل رشد اختلاف قابل توجهی بین رقم‌های مختلف وجود نداشت، پس از آن با رسیدن به مرحله گردەافشانی اختلاف بین ارقام به‌صورت بارزی نمایان شد به‌طوری‌که در حدود ۱۸۸ روز پس از کاشت به بیشترین میزان شاخص سطح برگ رسیده و پس از آن تا پایان دوره رشد به دلیل رسیدن برگ‌ها شاخص سطح برگ کاهش یافت (شکل ۲). آستین و همکاران (۲۰) نیز اختلاف ارقام از نظر میزان شاخص سطح برگ را به اختلافات ژنتیکی آنان ارتباط دادند و بیان داشتند که تعداد برگ تولیدی به‌طور ژنتیکی کنترل شده و همچنین اندازه برگ نیز تحت تأثیر خصوصیات ژنتیکی ارقام می‌باشد.

ماده خشک کل

بیشترین میزان ماده خشک کل در مرحله گردەافشانی توسط

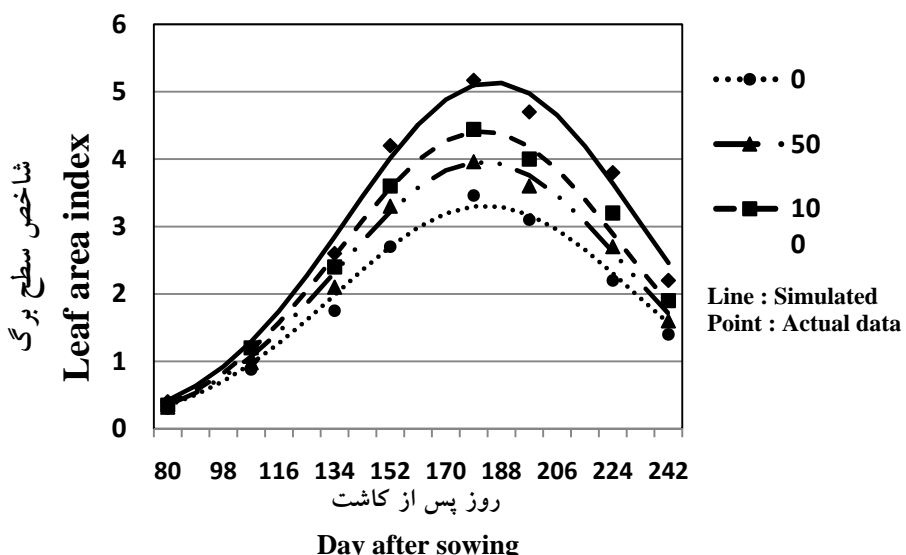
جدول ۲- مقایسه میانگین اثرات اصلی حداکثر شاخص سطح برگ و حداکثر وزن خشک کل ارقام مختلف گندم تحت تأثیر سطوح مختلف کود نیتروژن در مرحله گردەافشانی

Table 2- Comparison of the average main effects of maximum leaf area index and total dry weight of wheat cultivars under different levels of nitrogen fertilizer in anthesis stage

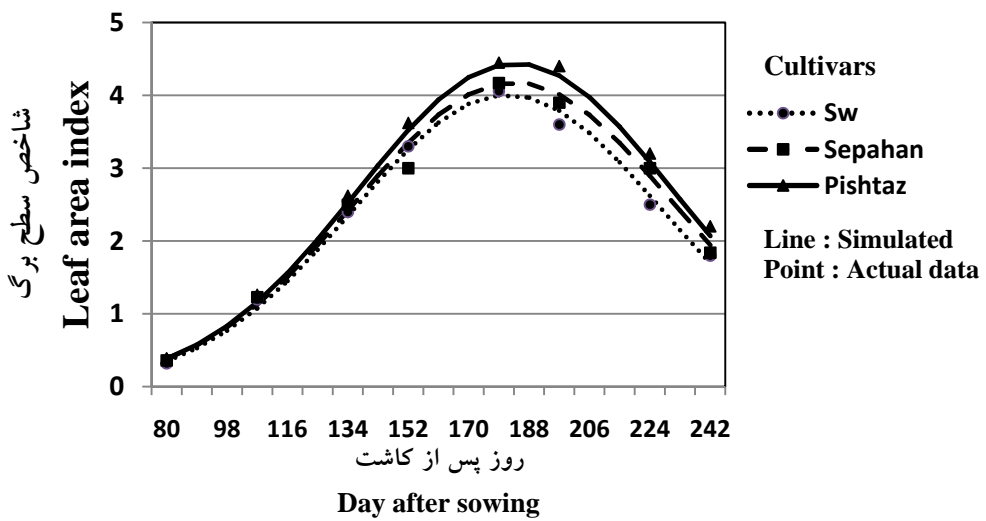
تیمارها Treatments	حداکثر شاخص سطح برگ Maximum leaf area index	حداکثر وزن خشک کل Maximum total dry weight (g m ⁻²)	جذب نور Light interception (%)
نیتروژن Nitrogen (kg ha⁻¹)			
0	3.46 c	948.7 b	81.40 c
50	3.96 bc	1089.9 b	87.26 b
100	4.44 b	2065.0 a	90.80 ab
150	5.17 a	2571.1 a	94.43 a
رقم			
Cultivar			
sw	4.06 b	1784.0 a	85.87 b
سپاهان	4.17 b	1887.0 a	87.85 b
Pshtaz پیشتر	4.45 a	2007.0 a	91.70 a

ستون‌هایی که حداقل دارای یک حرف مشترک هستند فاقد تفاوت معنی‌دار براساس آزمون چند دامنه‌ای دانکن در سطح احتمال پنج درصد می‌باشند

The columns that share at least one letter have no significant differences according to Duncan test at 5 percent of probability



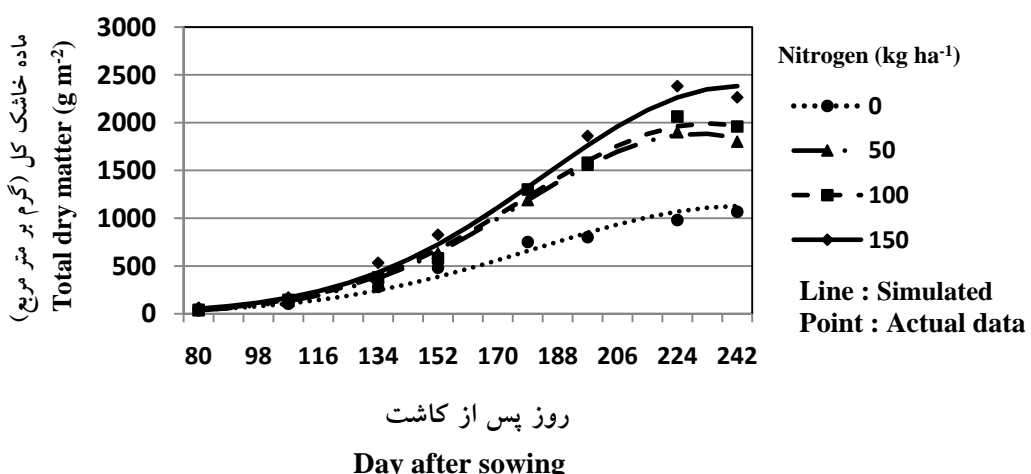
شکل ۱- روند تغییرات شاخص سطح برگ (LAI) تحت تأثیر سطوح مختلف نیتروژن
Figure 1- The trend of leaf area index changes (LAI) under different levels of nitrogen



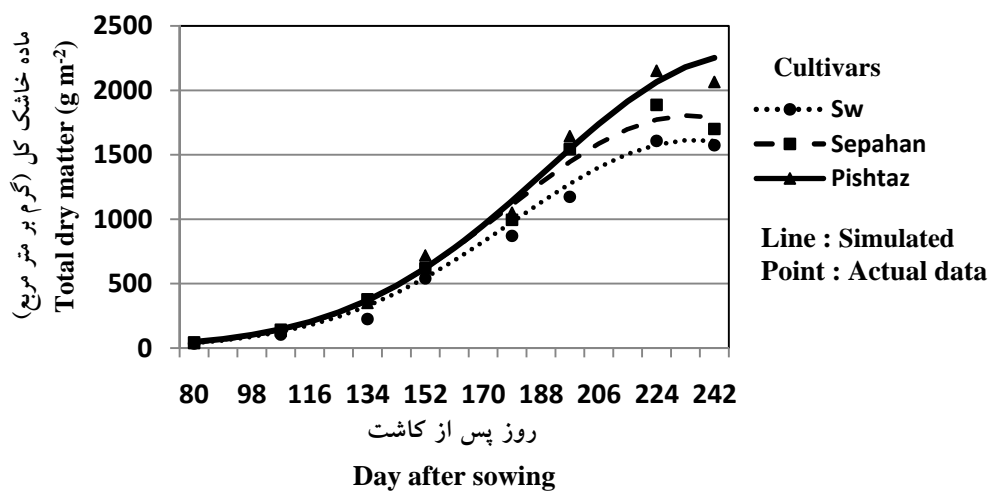
شکل ۲- روند تغییرات شاخص سطح برگ (LAI) تحت تأثیر ارقام مختلف گندم
Figure 2- The trend of changes in the leaf area index (LAI) affected by different wheat cultivars

رقم پیشتاز افزایش بیشتری در تجمع ماده خشک نشان داد. سپس میزان ماده خشک کل اندکی کاهش یافت که میزان این کاهش در لاین SW بیش از سایر ارقام بود و در نهایت در مرحله رسیدگی فیزیولوژیکی این رقم ماده خشک کل کمتری نسبت به سایر ارقام داشت (شکل ۴). به نظر می‌رسد رقم پیشتاز توانسته با افزایش رشد رویشی میزان ماده خشک کل را نسبت به سایر ارقام افزایش دهد. نتایج حاصل از مطالعات متعددی (۵، ۲۲ و ۲۳) نیز حاکی از آن است که ارقامی که شاخص سطح برگ بیشتری برخوردار باشند و سرعت توسعه پوشش گیاهی آنان بیشتر باشد ماده خشک کل بیشتری را نیز تولید می‌کنند.

اختلاف بین ارقام از نظر ماده خشک کل در مرحله گردهافشانی معنی‌دار نبود ولی با این وجود بیشترین ماده خشک کل توسط رقم پیشتاز حاصل شد که از شاخص سطح برگ بیشتری نسبت به سایر ارقام برخوردار بود (جدول ۲). روند تغییرات ماده خشک کل در طول فصل رشد گندم در ارقام مختلف حاکی از آن است که با افزایش رشد رویشی میزان ماده خشک کل افزایش می‌یابد. تا حدود ۱۵۲ روز پس از کاشت اختلاف قابل توجهی بین ارقام مختلفی وجود نداشت پس از آن با رسیدن به مرحله گردهافشانی اختلاف بین ارقام به صورت بارزی نمایان شد. پس از آن نیز میزان ماده خشک کل تا اواسط مرحله پر شدن دانه‌ها افزایش یافت و به بیشترین میزان خود رسید به طوری که



شکل ۳- روند تغییرات وزن خشک کل (TDM) تحت تأثیر سطوح مختلف نیتروژن
Figure 3- The trend of total dry matter (TDM) under different levels of nitrogen



شکل ۴- روند تغییرات وزن خشک کل (TDM) تحت تأثیر ارقام مختلف گندم
Figure 4- The trend of total dry weight (TDM) under the influence of different wheat cultivars

فتوصیلتکننده در طول زمان کاهش می‌یابد. زیرا با افزایش سطح برگ و در نتیجه سایه‌اندازی بیشتر، برگ‌هایی که در قسمت‌های بالاتر پوشش گیاهی قرار گرفته و نور خورشید به طور مستقیم به آنها برخورد می‌کند، در مقایسه با برگ‌هایی که در قسمت‌های زیرین پوشش گیاهی قرار گرفته و نور کمتری به دلیل سایه‌اندازی برگ‌های بالاتر به آنها برخورد می‌کند، کارایی بیشتری خواهند داشت. بنابراین باید انتظار داشت که سرعت اسیمیلاسیون خالص با افزایش سایه‌اندازی و پیری برگ‌ها کاهش یابد و در انتهای دوره رشد به سبب زرد شدن برگ‌ها سرعت اسیمیلاسیون خالص منفی می‌شود. روند تغییرات سرعت اسیمیلاسیون خالص رو به منفی شدن رفت و در زمان برداشت به حداچشم حاکی از آن است که تمامی رقم‌ها تا حدود ۱۷۵ روز پس از کاشت

سرعت اسیمیلاسیون خالص

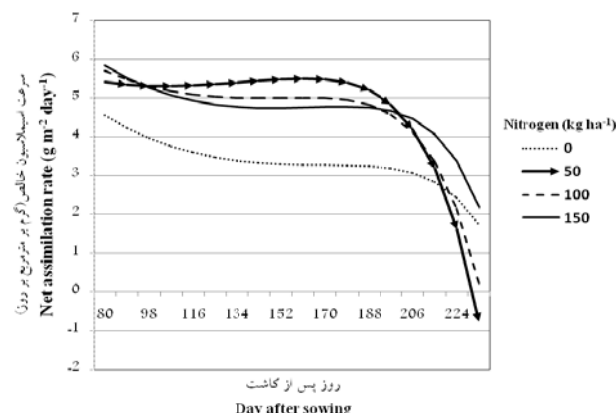
روند تغییرات سرعت اسیمیلاسیون خالص در طی فصل رشد در تیمارهای مختلف کودی حاکی از آن است که تا حدود ۱۰۷ روز پس از کاشت اختلاف تیمارهای ۵۰، ۱۰۰ و ۱۵۰ کیلوگرم در هکتار نیتروژن ناچیز است. پس از آن میزان سرعت اسیمیلاسیون خالص افزایش یافته و تا قبل از مرحله ۵۰ درصد سنبله‌دهی به حداچشم می‌رسد. سپس با نزدیک شدن به مرحله رسیدگی فیزیولوژیک و افزایش کسر تفسی ناشی از ریزش برگ‌ها و فتوسترات رو به کاهش گذاشت به طوری که در حدود ۲۰۶ روز پس از کاشت، سرعت اسیمیلاسیون خالص رو به منفی شدن رفت و در زمان برداشت به کمترین میزان خود رسید (شکل ۵). تولید ماده خشک نسبت به سطح

کاشت، اختلاف چشمگیری بین تیمارهای مختلف مشاهده نشد اما پس از آن تیمار کودی ۱۵۰ کیلوگرم در هکتار، با اختلاف قابل ملاحظه‌ای، سرعت رشد محصول بیشتری نسبت به سایر تیمارها داشت. در حدود مرحله گرده‌افشانی میزان سرعت رشد محصول به حداقل میزان خود رسید و سپس تا پایان دوره رشد کاهش یافت به طوری که در اواخر دوره رشد محصول به دلیل ریزش برگ‌ها و کاهش میزان فتوستنتر، میزان سرعت رشد محصول منفی شد. تیمار شاهد در مقایسه با سایر تیمارهای کودی کمترین سرعت رشد محصول را داشت (شکل ۷). نتایج حاکی از آن است که روند تغییرات سرعت رشد محصول در تیمارهای کودی با شاخص سطح برگ (شکل ۱) و تجمع ماده خشک (شکل ۳) همانگ است. کاتربوپاس و همکاران (۱۶) نیز بیان داشت که مصرف نیتروژن موجب افزایش شاخص سطح برگ و سرعت رشد محصول شده که در نتیجه منجر به افزایش ماده خشک کل می‌گردد.

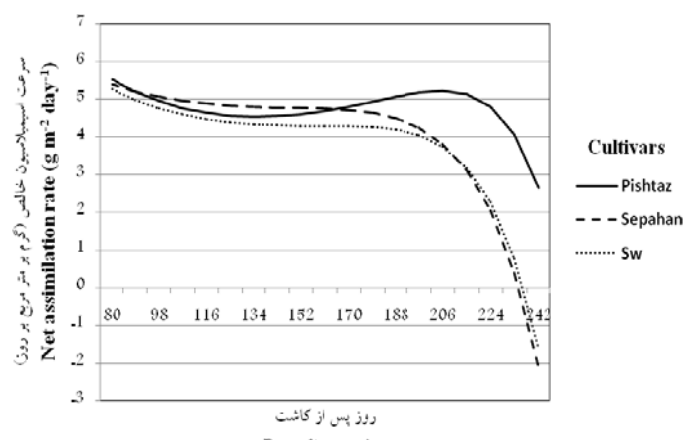
روند کاملاً مشابهی را طی کردند، ولی پس از آن رقم پیشتاز با تفاوت چشمگیری از سایر ارقام، سرعت اسیمیلاسیون خالص آن کاهش کمتری را نشان داد (شکل ۶). سلیمانی و همکاران (۲۲) نیز نتایج مشابهی را گزارش کردند و بیان داشتند در ابتدای دوره رشد که شاخص سطح برگ کم می‌باشد، کارایی تولید مواد فتوستنتری هر برگ بیشتر می‌باشد و سرعت اسیمیلاسیون خالص بالای مشاهده می‌شود در صورتی که در زمان به حداقل رسیدن شاخص سطح برگ، سایه‌اندازی برگ‌های بالا بر برگ‌های پایین کارایی تولید مواد فتوستنتری هر برگ را کاهش داده و در نتیجه سرعت اسیمیلاسیون خالص کاهش می‌یابد.

سرعت رشد محصول

روند تغییرات سرعت رشد محصول در طی فصل رشد، در تیمارهای مختلف کودی حاکی از آن است که تا حدود ۸۵ روز پس از



شکل ۵- روند تغییرات نرخ فتوستنتر خالص (NAR) تحت تأثیر سطوح مختلف نیتروژن
Figure 5- The trend of net photosynthesis rate (NAR) under different levels of nitrogen



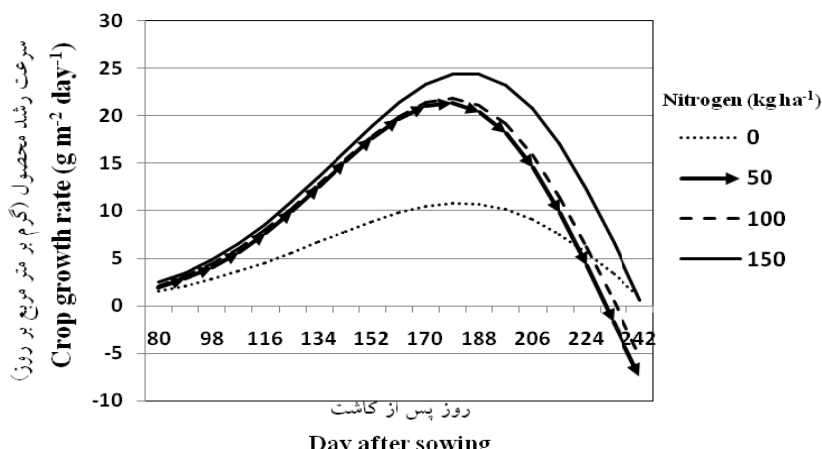
شکل ۶- روند تغییرات نرخ فتوستنتر خالص (NAR) تحت تأثیر ارقام مختلف گندم

Figure 6- The trend of changes in the net assimilation rate (NAR) under the influence of different wheat cultivars

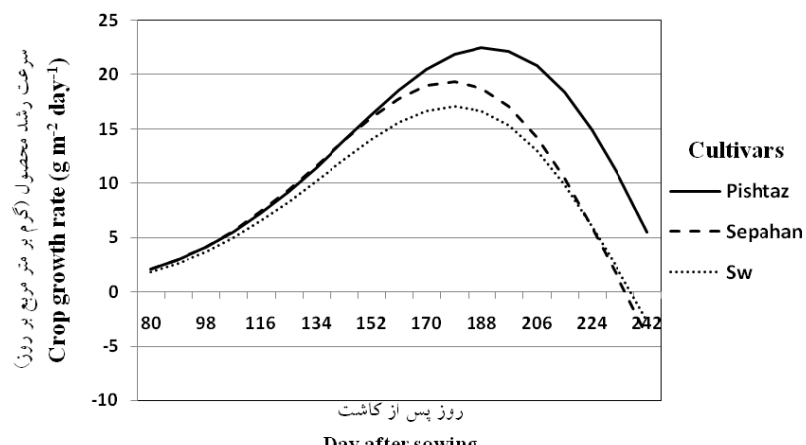
درصد جذب نور و ضریب استهلاک نور (K)

بیشترین درصد جذب نور توسط تیمار کودی ۱۵۰ کیلوگرم نیتروژن خالص در هکتار حاصل شد که اختلاف آن صرفاً با تیمار ۱۰۰ کیلوگرم کود نیتروژن در هکتار معنی دار نبود و با سایر تیمارها اختلاف معنی داری داشت (جدول ۲). نتایج حاکی از آن است با افزایش مصرف کود نیتروژن از ۵۰ به ۱۵۰ کیلوگرم در هکتار درصد جذب نور به طور معنی داری افزایش می‌یابد علت این عکس العمل افزایش میزان شاخص سطح برگ در اثر افزایش مصرف کود نیتروژن است به طوری که همانگی کاملی مشاهده می‌شود (جدول ۲). فلنت و همکاران (۶) نیز نشان دادند که عواملی که موجب افزایش شاخص سطح برگ می‌شوند در افزایش جذب نور نیز مؤثرند. آنان نیز بیان داشتند که ضریب استهلاک نور نیز از میزان شاخص سطح برگ تأثیر می‌پذیرد.

روند تغییرات سرعت رشد محصول در طی فصل رشد حاکی از آن است که روند رشد رشد محصول کلیه ارقام تا ۱۰۷ روز پس از سبز شدن به دلیل کامل نبودن کانونی گیاهی و درصد جذب نور کم خورشید بطئی بوده و سپس شروع به افزایش نمود و در حدود ۱۸۰ روز پس از سبز شدن به دلیل افزایش سطح برگ و جذب نور بیشتر به حداقل مقدار خود رسید پس از آن به دلیل توقف رشد رویشی و پیری برگ‌ها رو به کاهش گذاشت و سپس به دلیل ریزش برگ‌ها رو به منفی شدن گذاشت (شکل ۸). همچنین شکل ۸ نشان داد که بیشترین سرعت رشد محصول توسط رقم پیشتاز حاصل شد و کمترین سرعت رشد محصول توسط لاین SW حاصل شد. به نظر می‌رسد که رقم پیشتاز با داشتن طول دوره رشد بیشتر و به دلیل ویژگی‌های ژنتیکی از سرعت رشد محصول بالاتری نسبت به ارقام دیگر برخوردار می‌باشد.



شکل ۷- روند تغییرات سرعت رشد گیاه (CGR) تحت تأثیر سطوح مختلف نیتروژن
Figure 7- The trend growth rate changes (CGR) under different levels of nitrogen



شکل ۸- روند تغییرات سرعت رشد گیاه (CGR) تحت تأثیر ارقام مختلف گندم

Figure 8- The trend growth rate changes (CGR) under the influence of different wheat cultivars

در صد جذب نور، بیشترین ضریب استهلاک نور با کمترین شاخص سطح برگ بحرانی را حاصل کرد که نتیجه آن سرعت رشد محصول بالاتر این رقم در مقایسه با سایر ارقام بود. اکمل و جانسنز (۱) نیز بیان داشتند که با افزایش میزان کود نیتروژن شاخص سطح برگ و ضریب استهلاک نور افزایش می‌باید ولی افزایش سرعت رشد محصول به نحوه استهلاک نور توسط برگ‌های گیاه بستگی دارد. لذا افزایش نیتروژن تا زمانی می‌تواند موجب افزایش سرعت رشد محصول شود که برگ‌هایی پایینی نور را دریافت کنند و در سایه برگ‌های پایینی قرار نگیرند. در این حالت این برگ‌ها سرعت اسیمیلاسیون خالص مناسبی داشته و کارایی تولید در هر برگ کاهش نمی‌باید.

گرین و همکاران (۹) نیز نشان دادند که ارقام گیاهی که توانایی بالایی در دریافت نیتروژن و افزایش شاخص سطح برگ دارند از ضریب استهلاک نور بیشتری برخوردار هستند و سرعت رشد محصول بالاتری را نیز تولید می‌کنند. نتایج حاصل از مطالعات متعددی (۴، ۹، ۲۳) حاکی از آن است که سرعت رشد محصول در اثر افزایش شاخص سطح برگ تا حدی افزایش می‌باید که میزان نوری که برای فتوسنتز به برگ‌های پایینی می‌رسد برای جبران تنفس کافی باشد. تانوسا و همکاران (۲۴) نیز ویژگی‌های ژنتیکی ارقام گندم در نحوه استفاده از نیتروژن در تولید شاخص سطح برگ بالاتر و توسعه سریع پوشش گیاهی برای جذب نور را عامل مهمی برای تولید حداکثر سرعت رشد محصول دانستند.

نتیجه‌گیری

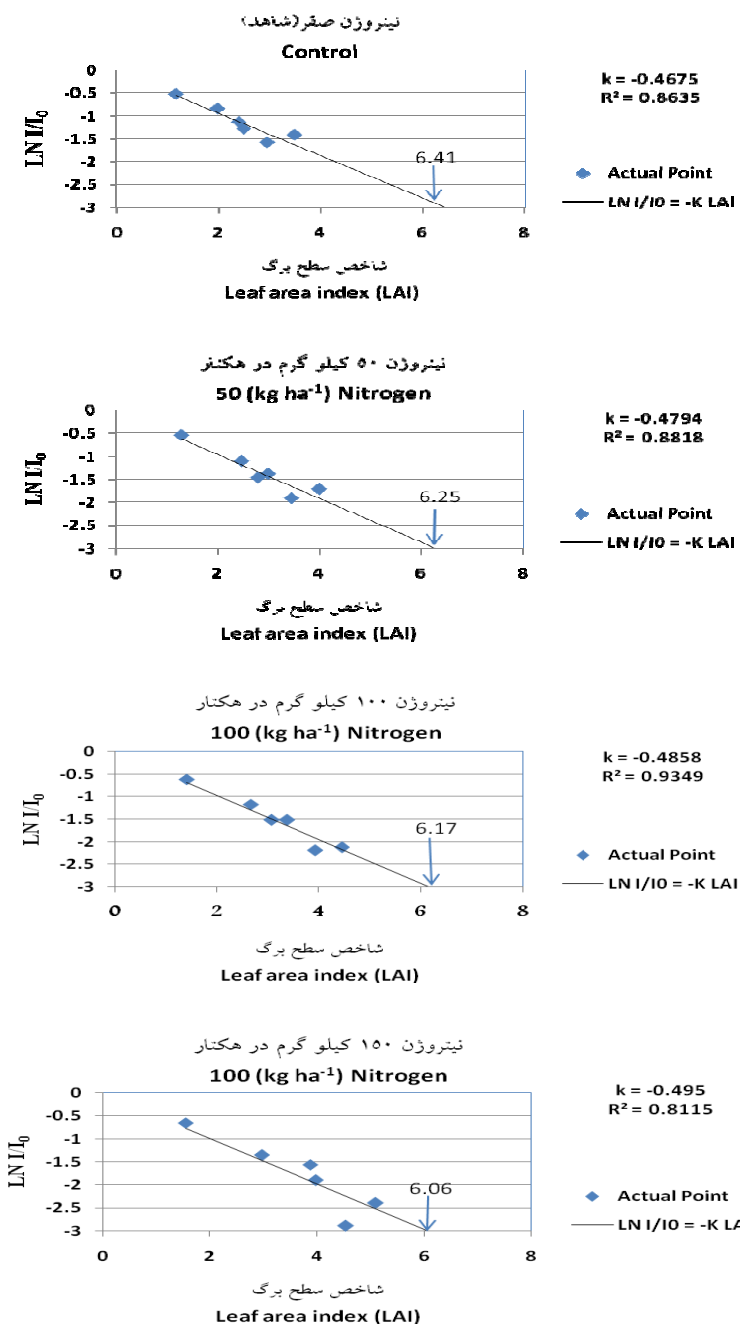
نتایج نشان داد که اثر کود نیتروژن بر ماده خشک کل، شاخص سطح برگ بیشینه، درصد جذب نور معنی‌دار بود و تیمار کودی ۱۵۰ کیلوگرم نیتروژن در هکتار بیشترین شاخص سطح برگ و درصد جذب نور را تولید کرد که در نتیجه بیشترین سرعت رشد محصول را حاصل نمود و منجر به ایجاد بالاترین سرعت رشد محصول و در نهایت بالاترین عملکرد ماده خشک کل شد. اثر رقم بر درصد جذب نور و شاخص سطح برگ نیز معنی‌دار بود. رقم پیشتاز نیز با داشتن بیشترین شاخص سطح برگ و درصد جذب نور، بیشترین ضریب استهلاک نور را با کمترین شاخص سطح برگ بحرانی حاصل کرد که نتیجه آن سرعت رشد محصول بالاتر این رقم در مقایسه با سایر ارقام بود. نتایج حاکی از آن است که جهت دستیابی به حداکثر میزان سرعت رشد محصول و شاخص سطح برگ مناسب برای تولید بیشترین ماده خشک کل، تیمار کودی ۱۵۰ کیلوگرم نیتروژن خالص در هکتار و رقم پیشتاز تحت شرایط مشابه با مطالعه حاضر مناسب به نظر می‌رسد.

در مطالعه حاضر ارزیابی میزان ضریب استهلاک نور در طی فصل رشد نشان داد که در تیمار عدم مصرف نیتروژن ضریب استهلاک نور به میزان ۴۶۷۵/۰ به دست آمد و با افزایش مصرف نیتروژن به میزان ۵۰، ۱۰۰ و ۱۵۰ کیلوگرم در هکتار نیتروژن ضریب استهلاک نور به ترتیب به میزان ۴۷۹۴/۰، ۴۸۵۸/۰ و ۴۹۵/۰ حاصل شد (شکل ۹). نتایج حاکی از آن است که با افزایش مصرف نیتروژن ضریب استهلاک نور نیز افزایش یافته است این عکس العمل به دلیل آن است که با افزایش مصرف نیتروژن، شاخص سطح برگ افزایش داشته است، درصد جذب نور بالاتری را داشته و موجب افزایش ضریب استهلاک نور در طی فصل رشد شده است. نظر به اینکه LNI/I₀ نشان‌دهنده ۹۵ درصد جذب نور و ۵ درصد عبور نور به کف پوشش گیاهی می‌باشد لذا شاخص سطح برگ مقابل آن، شاخص سطح برگ بحرانی می‌باشد که میزان آن برای تیمارهای شاهد، ۵۰ و ۱۵۰ کیلوگرم نیتروژن در هکتار برابر با ۶/۴۱۷۱، ۶/۲۵۷۸ و ۶/۴۱۷۱ به دست آمد (شکل ۹).

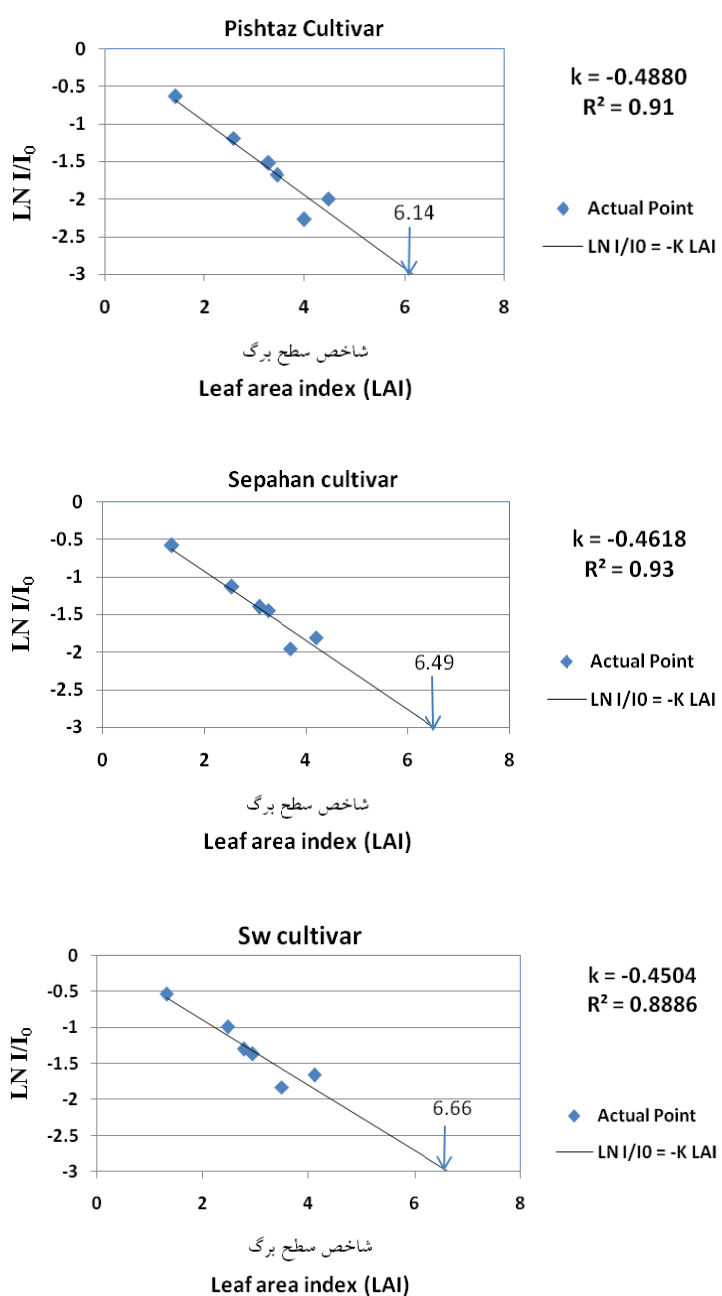
این عکس العمل نشان‌دهنده آن است که با افزایش مصرف نیتروژن تا سطح ۱۰۰ کیلوگرم در هکتار، میزان شاخص سطح برگ بحرانی کاهش می‌باید و پس از آن با مصرف نیتروژن بیشتر به میزان ۱۵۰ کیلوگرم در هکتار سطح برگ بحرانی افزایش می‌باید. نتایج حاصل از مطالعات متعددی (۱۵، ۱۹ و ۲۵) نیز حاکی از آن است که با افزایش میزان ضریب استهلاک نور، شاخص سطح برگ بحرانی کاهش می‌باید.

بیشترین درصد جذب نور توسط رقم پیشتاز حاصل شد که اختلاف آن صرفاً با رقم سپاهان معنی‌دار نبود ولی با رقم SW اختلاف معنی‌داری داشت (جدول ۲). بالاتر بودن شاخص سطح برگ رقم پیشتاز نسبت به سایر ارقام موجب برتری آن در جذب نور بیشتر شده است. ضریب استهلاک نور محاسبه شده برای ارقام پیشتاز، سپاهان و SW به ترتیب ۰/۴۸۸۰، ۰/۴۶۱۸ و ۰/۴۵۴۰ به دست آمد (شکل ۱۰). بیشتر بودن ضریب استهلاک نور در رقم پیشتاز در مقایسه با سایر ارقام نیز با درصد جذب نور آن هماهنگی کاملی دارد (جدول ۲). شاخص سطح برگ بحرانی برای ارقام پیشتاز، سپاهان و SW به ترتیب ۶/۴۹، ۶/۴۶ و ۶/۶۶ به دست آمد (شکل ۱۰).

بررسی عکس العمل روند تغییرات شاخص‌های رشد مورد بررسی و ارتباط آن با میزان جذب نور و ضریب استهلاک نور در تیمارهای کودی و ارقام مختلف به کار رفته نشان می‌دهد که تیمار کودی ۱۵۰ کیلوگرم در هکتار نیتروژن، بیشترین شاخص سطح برگ و درصد جذب نور را دارا بود که سبب شد بیشترین ضریب استهلاک نور با کمترین شاخص سطح برگ بحرانی حاصل شود که نتیجه آن ایجاد بالاترین میزان سرعت رشد محصول در مقایسه با سایر تیمارهای کودی است. رقم پیشتاز نیز با داشتن بیشترین شاخص سطح برگ و



شکل ۹- رابطه میزان عبور نور از کانوپی ($\text{LN}(I/I_0)$) و شاخص سطح برگ (LAI) تحت تأثیر سطوح مختلف کود نیتروژن
Figure 9- The relationship between the amount of light passing through the canopy ($\text{LN } I/I_0$) and leaf area index (LAI) affected by different levels of nitrogen fertilizer



شکل ۱۰- رابطه میزان عبور نور از کانوپی ($\text{LN}(I/I_0)$) و شاخص سطح برگ (LAI) تحت تأثیر ارقام مختلف گندم

Figure 10- The relationship between the amount of light passing through the canopy ($\text{LN } \frac{I}{I_0}$) and leaf area index (LAI) affected by different wheat cultivars

References

1. Akmal, M., and Janssens, M. 2004. Productivity and light use efficiency of perennial ryegrass with contrasting water and nitrogen supplies. *Field Crops Research* 88: 143-155.
2. Austin, R. B., Bingham, J., Blackwell, R. D., Evans, L. T., Ford, M. A., Morgan, C. L., and Taylor, M. 1992. Genetic improvements in winter wheat yields and associated physiological changes. *Journal of Agriculture Science Cambridge* 94: 673-689.
3. Board, J. 2000. Light interception efficiency and light quality affect yield compensation of soybean at low plant population. *Crop Science* 40: 1285-1294.

4. Bonhomme, R. 2000. Beware of comparing RUE values calculated from PAR vs. solar radiation or absorbed vs. intercepted radiation. *Field Crops Research* 68: 247-252.
5. Drecer, M. F., Schapendonc, A. H. C. M., Salfer, G. A., and Rabbinge, R. 2000. Comparative response of wheat and oilseed rape to nitrogen supply: absorption and utilization efficiency of radiation and nitrogen during the reproductive stages determining yield. *Plant and Soil* 220: 189-205.
6. Flent, F., Kiniry, J. R., Board, J. E., Westgate, M. E., and Reicosky, D. C. 1996. Row spacing Effects on Light Extinction coefficients of corn, sorghum, soybean and sunflower. *Agronomy Journal* 88: 185-190.
7. Garofalo, P., and Rinaldi, M. 2015. Leaf gas exchange and radiation use efficiency of sunflower (*Helianthus annuus* L.) in response to different deficit irrigation strategies: From solar radiation to plant growth analysis. *European Journal of Agronomy* 64: 88-97.
8. Gheybi, M. 1999. The need to optimize the fertilizer for increasing yield and improving the quality of maize. Technical Bulletin No. 44. Promotion of agricultural research institute of soil and water. Tehran, Iran. (In Persian).
9. Green, D. S., Erickson, J. E., and Kruger, E. L. 2003. Foliar morphology and canopy nitrogen as predictors of light-use efficiency in terrestrial vegetation. *Agricultural Forest Meteorology* 115: 163-171.
10. Imam, Y. 2004. Cereal crops. Shiraz University Press. (in Persian).
11. Imam, Y., and Niknezhad, V. 2004 .Introduction on and plant and crop physiology (Translation). Danshah Shiraz Press. (in Persian),
12. Kazemi, A. 1999. Private agriculture. 1st Edition. Tehran: Center of Tehran University Press. (in Persian).
13. Khodabande, N. 2005. Cultivation of crops. Tehran: Tehran University Press. (in Persian).
14. Khoshgoftar Manesh, H. 2007. Evaluation of plant nutrition and fertilizer management. Jihad Daneshgahi, Industrial University of Isfahan. (in Persian).
15. Kiniry, J. R., Landivar, J. A., Witt, M., Gerik, T. J., Cavero, J., and Wade, L. J. 1998. Radiation use efficiency response to vapor pressure deficit for maize and sorghum. *Field Crops Research* 56: 265-270.
16. Koutroubas, S. D., Papkosta, D. K., and Doitsinis, A. 2008. Nitrogen utilization efficiency of safflower hybrids and open-pollinated varieties under Mediterranean conditions, *Field Crops Research* 107: 56-61.
17. Major, D. J., and Otegu, B. W. 1996. Leaf area light interception and development in maize radiation use efficiency. *Agronomy Journal* 83: 895-903.
18. Malakouti, M. J., and Homae, M. 2004. Arid and semi-arid soil fertility. 2nd edition, Tehran Tarbiat Modares University Press. (in Persian).
19. McCullough, D. E., Girardin, O., Mihajlovic, M., Aguirre, A., and Tollenaar, M. 1994. Influence of N supply on development and dry matter accumulation of an old and new maize hybrid. *Canadian Journal Plant Science* 74: 471-477.
20. O'Connell, M. G., O'Leary, G. J., Whitfield, D. M., and Connor, D. J. 2004. Interception of photosynthetic ally active radiation and radiation-use efficiency of wheat, field pea and mustard in a semi-arid environment. *Field Crops Research* 85: 111-124.
21. Siddique, K. H. M., Tennant, D., Perry, M. W., and Belford, R. K. 1990. Water use and water use efficiency of old and modern wheat cultivars in a Mediterranean-type environment. *Australian Journal of Agricultural Research* 41: 431-447.
22. Soleymani, A., Khajepour, M. R., Noormohamadi, G. H., and Sadeghyan, Y. 2003. Effect of planting date and pattern on some physiological growth indices of sugar beet. *Journal of Agricultural Science* 9 (1): 105-123. (in Persian with English abstract).
23. Thomas, S. M., and Thorne, J. N., 1975. Effect of nitrogen fertilizer on photosynthesis and ribulose 1, 5-diphosphate carboxylase activity in spring wheat in the field. *Journal of Exp. Botany* 26: 43-51.
24. Tunusa, I. A. M., Siddique, K. H. M., Belford R. K., and Karimi, M. 1993. Effect of canopy structure on efficiency of radiation interception and use in spring wheat cultivars during the pre-anthesis period in a Mediterranean-type environment. *Field Crops Research* 35: 113-122.
25. Werker, A. R., and Jaggard, K. W. 1998. Dependence of sugar beet yield on light interception and evapotranspiration. *Agricultural and Forest Meteorology* 89: 229-240.



Effect of Nitrogen Fertilizer on Light Interception and Light Extinction Coefficient in Different Wheat Cultivars

F. Samadiyan¹- A. Soleymani^{2*}

Received: 12-03-2014

Accepted: 19-01-2016

Introduction

Wheat (*Triticum aestivum*) is a cereal grain, originated from the levant region of the near east and Ethiopian highlands, currently cultivated worldwide. Light extinction coefficient K is a coefficient that represents the amount of light reduced by the plant. Light or radiation extinction coefficient is a concept that expresses the light penetration decrease into the canopy in the way the upper leaves of the canopy with less angles have lower amount of K in comparison with the horizontal leaves. Green *et al.*, (2003) stated that nitrogen fertilizer increased light absorption by plant leaves; and affects the yield. The distribution patterns of nitrogen allocation in leaves are more exposed therefore photosynthesis rate per unit leaf area and canopy were optimized. Differences in canopy structure by the light extinction coefficient (k) of the Act Lambert - Beer is described, along LAI differing due to different species and genotypes which are important factors in absorption and light use efficiency. This experiment was performed to evaluate the maximum light absorption and light extinction coefficient in different levels of nitrogen usage and wheat cultivars.

Materials and Methods

An experiment was conducted during 2011-2012 on a research farm of Islamic Azad University, Isfahan Branch, located in Khatoon Abad Village (northern latitude of 32° and $40'$ and eastern longitude of 51° and $48'$ with altitude of 1555 m above sea level). A split plot layout within randomized complete block design was used with three replications. Main plots were consisted in four levels of N fertilizer (0, 50, 100 and 150 kg ha^{-1}) from an urea source in main plots and different cultivars of wheat included Pishtaz, Sepahan and SW-486 in sub plots. Planting was performed on 14 November 2011 and at a density of 400 plants per square meter. In order to strengthen the land and required elements for plant regarding soil test and treatments based on the test plan, the amount of a third off chemical fertilizer of urea, 46 % Nitrogen was given to the plant and two third by the end of clawing the plot. In the period of growing in order to control brushes 2, 4, D herbicide and Fenitrothion insecticidal was used for countering the louse pest and other insects. In the laboratory, leaf area was measured using scanner and 4.Image 0.2 software program. To determine changes of growth indices, regression relations were used. Total dry matter, leaf area index, net assimilation rate, crop growth rate, light interception extinction were measured.

Results and Discussion

The results showed that the effects of N fertilization were significant on the maximum leaf area index, total dry matter and light interception percent were related to Pishtaz cultivar and 150 kg N ha^{-1} fertilizer treatment significantly resulted Maximum light interception percent, net assimilation rate, with other treatments. Effects of cultivar were significant on maximum light absorption. The Maximum absorption of light, crop growth rate, total dry matter was related to Pishtaz. The interaction between nitrogen and the harvest index was significant at the five percent level. The evidence showed that higher light interception in plants, is associated with the higher performance of plant. The increase of light interception promote the biological and economic performance.

Conclusions

The results showed that application of 150 kg nitrogen per hectare, with the highest level of leaf area index and higher light absorption caused higher extinction coefficient of light in the canopy. Nitrogen fertilizer consumption increased light absorption by leaves, therefore the light extinction coefficient consuming more nitrogen in the plant community. The Maximum absorption of light, crop growth rate, total dry matter was

1, 2- Ms.c, Associate Prof., Department of Agronomy and Plant Breeding, Isfahan (Khorasgan) Branch, Islamic Azad University, Isfahan, Iran, respectively

(*-Corresponding Author Email: a_soleymani@khusf.ac.ir)

related to pishtaz. Scale of light extinction coefficient for fertilizer treatment control, 50, 100, 150 kg ha⁻¹, was 0.4675, 0.4794, 0.4858 and 0.495, respectively and for Pishtaz, Sepahan and SW-486 cultivars 0.488, -0.4618 and -0.4504, respectively. The results indicated that the application of 150 kg nitrogen per hectare, provides the highest level of morphological characteristics of the plant for producing the highest level of dry matter. Nitrogen fertilizer increased with increasing total plant dry matter. Treatment of 150 kg N per hectare, with the highest plant height, leaf area index and light absorption led to the highest growth rate and resulted in the highest biological and grain yield. The results indicated that 150 kg nitrogen fertilizer treatment for Pishtaz under similar climatic conditions with the present study produces maximum amount of growth indicators.

Keywords: Crop growth rate, Leaf area index, Net assimilation rate

اثر محلول‌پاشی با غلظت‌های سالیسیلیک اسید و پوتربیسین بر خصوصیات رشدی و عملکرد (*Satureja hortensis* L.) مرزه

عزیزه فرجی مهمانی^۱- بهروز اسماعیل‌پور^{۲*}- فاطمه سفیدکن^۳- سرور خرم دل^۴

تاریخ دریافت: ۱۳۹۳/۰۱/۰۵

تاریخ پذیرش: ۱۳۹۳/۰۹/۰۱

چکیده

این آزمایش با هدف بررسی عکس‌العمل خصوصیات مورفو‌لوزیکی، فیزیولوژیکی و عملکرد انسانس گیاه دارویی مرزه نسبت به محلول‌پاشی با سالیسیلیک اسید و پوتربیسین در قالب طرح بلوک‌های کامل تصادفی با سه تکرار در مزرعه مؤسسه تحقیقات جنگل‌ها و مراتع کشور، ایستگاه تحقیقات البرز کرج در سال زراعی ۱۳۹۰-۹۱ انجام شد. تیمارها شامل سه غلظت ۱، ۲ و ۳ میلی‌مولار بر لیتر سالیسیلیک اسید و چهار غلظت ۵۰، ۱۰۰، ۱۵۰ و ۲۰۰ میلی‌گرم بر لیتر پوتربیسین و شاهد بود. محلول‌پاشی برگی در سه مرحله ابتدای ساقده‌ی، آغازش گل و گله‌ی انجام شد. صفات مورد مطالعه شامل ارتفاع بوته و قطر تاج پوشش گیاهی، تعداد ساقه اندام‌های هوایی و سرشاخه‌های گلدار در گیاه، تعداد برگ در گیاه، وزن و عملکرد برگ، سطح برگ، تعداد گل آذین، وزن خشک و عملکرد گل آذین، درصد وزنی و بازده انسانس و غلظت کلروفیل a، b و کل بودند. نتایج نشان داد که اثر محلول‌پاشی با سالیسیلیک اسید و پوتربیسین بر شاخص‌های رشد و عملکرد انسانس معنی‌دار بود. بیشترین وزن خشک اندام هوایی نشان داد که در گیاه، وزن خشک سرشاخه‌های گلدار با ۳۲/۶۳ گرم در گیاه در م محلول‌پاشی با سه میلی‌مولار سالیسیلیک اسید بود. بیشترین (۴۵/۶۳ گرم در گیاه) کیلوگرم در هکتار) و کمترین (۲۹/۶ گرم در هکتار) عملکرد انسانس به ترتیب با محلول‌پاشی با ۱۵۰ میلی‌گرم بر لیتر پوتربیسین و شاهد حاصل گردید. بیشترین درصد وزنی انسانس (۲/۱۶ درصد) برای محلول‌پاشی با غلظت یک میلی‌مولار سالیسیلیک اسید حاصل گردید. به طور کلی، نتایج این آزمایش نشان داد برای دستیابی به بیشترین عملکرد اندام‌های هوایی و عملکرد انسانس به ترتیب می‌توان از محلول‌پاشی غلظت سه میلی‌مولار سالیسیلیک اسید و غلظت ۱۵۰ میلی‌گرم بر لیتر پوتربیسین استفاده نمود.

واژه‌های کلیدی: انسانس، تنظیم‌کننده رشد، گیاه دارویی، محصول طبیعی

مقدمه

۶ سانتی‌متر می‌رسد و ساقه‌ها و شاخه‌ها عموماً پوشیده از کرک می‌باشند. برگ‌ها متقابل، دارای دمبرگ‌های کوتاه یا تقریباً بدون دمبرگ می‌باشند، در سطح برگ لکه‌های کوچک فراوانی به نام غده وجود دارد که حاوی انسانس است. گل آذین‌ها گرزن بوده و به صورت چرخه‌های جدا از یکدیگر با ۲-۱۷ گل در محور برگ‌های بالایی ظاهر می‌شوند، گل‌ها نر و ماده بوده و به رنگ‌های سفید تا ارغوانی دیده می‌شوند.^(۳۷)

به منظور بهبود رشد کمی و کیفی گیاهان دارویی، امروز از انواع تنظیم‌کننده‌های گیاهی استفاده می‌شود. یکی از تنظیم‌کننده‌های رشد موردن استفاده بین‌منظور سالیسیلیک اسید می‌باشد که دامنه‌ای از فرآیندهای متعدد نظیر جوانه‌زنی بذر (۸ و ۱۶)، بازشدن روزن^(۶) و (۱۸)، جذب یون و انتقال آن (۳۳)، نفوذپذیری غشاء (۷) و سرعت رشد (۱۷ و ۱۸) را تحت تأثیر قرار می‌دهد. اسید سالیسیلیک به عنوان یکی از تنظیم‌کننده‌های رشدی محسوب می‌شود که بسته به غلظت، نوع

عارض جانبی داروهای شیمیایی و تمایل به استفاده بیشتر از محصولات طبیعی به منظور حفظ سلامت و همچنین بروز مشکلات داروهای صنعتی، باعث افزایش توجه به تولید گیاهان دارویی شده است (۵ و ۲۴). مرزه (*Satureja hortensis* L.) گیاهی یک‌ساله یا چندساله علفی و معطر از خانواده Lamiaceae بوده که دارای ساقه‌های متعدد افراده یا خیزان و کمانی با ارتفاع ۱۰ تا ۳۰ سانتی‌متر، به رنگ تیره‌تر از برگ‌ها می‌باشد. ارتفاع این گیاه حداقل تا

- ۱- دانشجویی کارشناسی ارشد باغبانی، دانشگاه حقوق اردبیلی
- ۲- دانشیار گروه علوم باغبانی، دانشکده کشاورزی، دانشگاه حقوق اردبیلی
- ۳- استاد مؤسسه تحقیقات مراتع و جنگل‌ها
- ۴- استادیار گروه زراعت و اصلاح نباتات، دانشکده کشاورزی، دانشگاه فردوسی مشهد
- (Email: behsmaiel@yahoo.com) - نویسنده مسئول:

نشاء گیاه پروانش (*Vinca minor* L.) موجب بهبود رشد در مراحل نمو گردید (۳۴). نتایج مطالعه‌ای روی تأثیر پوتوریسین و تراناس (*Ocimum Basilicum* L.) نشان داد که اعمال این دو ماده سبب افزایش خصوصیات رشدی گیاه نظیر ارتفاع بوته، تعداد شاخه جانبی و وزن تر و خشک اندام‌های هوایی) و درصد اسانس شد (۳۳). نتایج مشابهی در رابطه با محتواهای کربوهیدرات‌ها، آهن و روی، قندهای محلول، محلول‌پاشی نیتروژن و فسفر و پتاسیم قابل دسترس نیز مشاهده شد. محلول‌پاشی با پوتوریسین سبب ایجاد تغییر در رشد، اجزای ترکیبات شیمیایی مانند اسانس و عصاره گیاه ریحان نیز شد (۳۳). محلول‌پاشی برگی با پوتوریسین باعث افزایش معنی دار ارتفاع بوته، تعداد برگ، وزن تر برگ، وزن تر و خشک، سطح برگ، طول غده، قطر و وزن غده پیاز شده و همچنین عملکرد کمی و کیفی آن را از نظر تمام قندهای محلول، ترکیبات گوگرد، محتواهای فلکل‌های محلول، اسید آمینه‌های آزاد و کل محتواهای رنگدانه‌های فتوستتری افزایش داد (۴). نقش تنظیم‌کنندگی محلول‌پاشی با پوتوریسین بر بهبود تولید برخی دیگر از گیاهان نیز مانند فلفل شیرین (*Capsicum annum* L.) (۳۴)، گوجه فرنگی (*Pisum sativum* L.) (۷)، نخود فرنگی (*Lycopersicon esculentum*) (۱۰) و بادنجان (*Solanum melongena* L.) (۱۲) به تأیید رسیده است.

به طور کلی، بهدلیل اهمیت پتانسیل تولید کشت و کار گیاهان دارویی و بهبود عملکرد کمی و کیفی گیاه مرزه به عنوان یکی از گونه‌های ارزشمند، این آزمایش با هدف بررسی عکس‌العمل خصوصیات مورفلوژیکی، فیزیولوژیکی، اسانس و اجزای اسانس گیاه دارویی مرزه نسبت به غلظت‌های مختلف محلول‌پاشی با سالیسیلیک اسید و پوتوریسین انجام شد.

مواد و روش‌ها

این تحقیق در قالب طرح بلوك‌های کامل تصادفی با سه تکرار در مزرعه مؤسسه تحقیقات جنگل‌ها و مراتع کشور، ایستگاه تحقیقات البرز کرج در سال زراعی ۱۳۹۰-۹۱ انجام شد. غلظت‌های محلول‌پاشی برگی با سالیسیلیک اسید در سه سطح شامل ۱، ۲ و ۳ میلی‌مولا بر لیتر و پوتوریسین در چهار سطح شامل ۵۰، ۱۰۰، ۱۵۰ و ۲۰۰ میلی‌گرم بر لیتر و شاهد بود. قبل از شروع آزمایش خصوصیات فیزیکو‌شیمیایی خاک اندازه‌گیری شد که نتایج آن در جدول‌های ۱ و ۲ نشان داده شده است.

بذر مرزه یک‌ساله از پژوهشکده گیاهان دارویی دانشگاه شهید بهشتی تهیه شد. کرت‌ها با ابعاد ۱/۵ در ۱/۵ متر با فاصله یک متر از یکدیگر تهیه و بذرها به روش جوی و پشته داخل کرت‌ها به صورت سطحی به صورت دستی در اوخر خرداد ماه کاشته شدند. فاصله ردیف

گونه گیاهی، مرحله رشدی و شرایط محیطی، نقش مهمی را در تنظیم فرآیندهای فیزیولوژیکی گیاهان مثل رشد، جذب یون، فتوسنتز و جوانه‌زنی ایفاء می‌کند. این ماده همچنین به عنوان یک سیگنال مولکولی مهم در نوسانات گیاهی در پاسخ به تنش‌های محیطی شناخته شده است (۲۶). یزدان‌پناه و همکاران (۳۷) دریافتند که کاربرد سالیسیلیک اسید و اسید آسکوربیک با افزایش تحمل مرزه نسبت به تنش خشکی، اثر کمود آب را خنثی نمود و برخی از پارامترهای رشدی را افزایش داد. سینگ و همکاران (۲۹) نیز دریافتند که کاربرد سالیسیلیک اسید با غلظت ۵۰ میکرو مولار سبب افزایش شاخص‌های رشد گیاه خیار شد. نتایج نشان داد که در شرایط کم آبی و شرایط طبیعی بنور لوبيا چشم بلبلی پیش تیمار شده با سالیسیلیک اسید در غلظت ۲۷۰ میکرومولار در مقایسه با سایر تیمارها وضعیت مطلوبی از نظر صفات مورفلوژیک و فیزیولوژیک داشتند (۲۸). مداد و همکاران (۲۰) دریافتند که محلول‌پاشی سالیسیلیک اسید در مقایسه با روش آبیاری روی گیاه نخود (*Cicer aurantium* L.), تأثیر بیشتری بر فاکتورهای کیفی گیاه داشت. نتایج مطالعه آنها همچنین نشان داد که محلول‌پاشی با غلظت ۰/۷ میلی‌مولا سالیسیلیک اسید میزان پروتئین محلول کل و عملکرد بوته را به طور معنی‌داری افزایش داد.

پلی‌آمین‌ها یک گروه جدید از تنظیم‌کنندهای رشد طبیعی گیاهی هستند که امروزه به عنوان هورمون‌های گیاهی شناخته شده‌اند و در سیاری از فرآیندهای رشد و نمو نیز نقش دارند. عمومی‌ترین پلی‌آمین‌ها در گیاهان، پوتوریسین دی‌آمین (*Put*)^۱، اسپرمایدین تریامین (*Spm*)^۲ و اسپرمایدین تترامین (*Spm*)^۳ هستند که در تنظیم فرآیندهای رشد گیاهان دخالت می‌کنند (۲۵). در واقع پلی‌آمین‌ها، مولکول‌هایی با وزن مولکولی کم می‌باشند که در طیف وسیعی از فرآیندهای فیزیولوژیکی مانند جنبی‌زایی، تقسیم سلولی، توسعه و گسترش برگ‌ها و مقاومت نسبت به تنش‌های محیطی دخالت دارند (۱۹ و ۲۲). کاربرد پلی‌آمین‌ها از طریق جلوگیری از تولید رادیکال‌های آزاد به عنوان ترکیبات خدیپری نیز مفید می‌باشد (۳۳ و ۳۶). داتا و همکاران (۹) اظهار داشتند که پوتوریسین (*Put*)^۴ یکی از پلی‌آمین‌های سیار رایج است که در تمام سلول‌های گیاهی و در اسیدیته‌های مختلف (۵/۰-۶/۰) به عنوان کاتیون یافت می‌شود. محجوب و همکاران (۲۱) با بررسی اثر محلول‌پاشی پوتوریسین و تیامین روی گیاه دارویی بابونه (*Matricaria chamomilla* L.) مشاهده کردند که بهترین تأثیر بر صفات فیزیولوژیک و عملکرد گیاه با محلول‌پاشی ۱۵۰ ppm پوتوریسین به دست آمد. کاربرد خارجی پوتوریسین بر روی

1- Diamine Putrescine

2- Triamine Spermidine

3- Triamine Spermine

4- Putrescine

نتایج و بحث

نتایج آنالیز واریانس و مقایسه میانگین اثر محلول پاشی با غلظت‌های مختلف سالیسیلیک اسید و پوتربیسین بر خصوصیات رشدی و فیزیولوژیکی و عملکرد کمی و کیفی گیاه دارویی مرزه بهترتبی در جدول‌های ۳ و ۴ نشان داده شده است. اثر محلول پاشی با سالیسیلیک اسید و پوتربیسین بر ارتفاع بوته، قطر تاج پوشش، قطر ساقه، وزن خشک اندام‌های هوایی، وزن خشک سرشاخه‌های گلدار، وزن خشک برگ، وزن خشک گل آذین، عملکرد اندام هوایی، سرشاخه‌های گلدار، برگ و گل آذین، تعداد برگ و گل آذین، غلظت کلروفیل کل، a و b و درصد وزنی و بازده انسانس گیاه مرزه در سطح احتمال پنج درصد معنی دار ($p \leq 0.05$) بود (جدول ۳).

بیشترین ارتفاع بوته با $7/45$ سانتی‌متر برای محلول پاشی با ۱۰۰ میلی‌گرم بر لیتر پوتربیسین به دست آمد که فقط با شاهد و یک میلی‌مولار سالیسیلیک اسید اختلاف معنی‌داری داشت. کمترین ارتفاع با $7/39$ سانتی‌متر نیز مربوط به شاهد بود که با کلیه سطوح محلول پاشی با سالیسیلیک اسید و پوتربیسین اختلاف معنی‌داری داشت (جدول ۴). به نظر می‌رسد که محلول پاشی با پوتربیسین از طریق تولید آنزیم‌های بیوسنتز کننده باعث بهبود رشد رویشی شده که این امر از طریق افزایش طول میانگرهای افزایش ارتفاع بوته شده است. عبدالعزیز و همکاران (۲) دریافتند که غلظت‌های مختلف تنظیم‌کننده‌های رشد نظری تیامین موجب افزایش رشد رویشی رزماری (*Rosmarinus officinalis L.*) شد. محجوب و همکاران (۲۱) اظهار داشتند که کاربرد غلظت‌های مختلف پوتربیسین به طور معنی‌داری ارتفاع تحت تأثیر قرار داد و آن را بهبود بخشید. نتایج مطالعه یوسف و همکاران (۳۸) نشان داد که کاربرد پوتربیسین به طور معنی‌داری ارتفاع گیاه شب بو (*Matthiola incana L.*) را افزایش داد.

بیشترین میزان قطر تاج پوشش گیاهی با $7/47$ سانتی‌متر مربوط به غلظت ۱۵۰ میلی‌گرم بر لیتر پوتربیسین بود که با تیمارهای ۲۰۰ میلی‌گرم بر لیتر پوتربیسین، یک میلی‌مولار سالیسیلیک اسید و شاهد اختلاف معنی‌داری داشت. کمترین میزان این صفت با $9/33$ سانتی‌متر مربوط به شاهد بود که با محلول پاشی با غلظت ۲۰۰ میلی‌گرم بر لیتر پوتربیسین و یک میلی‌مولار سالیسیلیک اسید اختلاف معنی‌داری نداشت (جدول ۴). با توجه به نتایج مقایسه میانگین تیمارها (جدول ۴) بیشترین قطر ساقه با ۹ سانتی‌متر مربوط به تیمار سه میلی‌مولار سالیسیلیک اسید بود که تنها با تیمار دو میلی‌مولار سالیسیلیک اسید اختلاف معنی‌داری نداشت و کمترین میزان این صفت با ۷ سانتی‌متر مربوط به شاهد بود که با تمامی سطوح تیماری اختلاف معنی‌داری داشت.

۵۰ سانتی‌متر و فاصله روی ردیف ۲۰ سانتی‌متر در نظر گرفته شد. اولین آبیاری بلا فاصله پس از کاشت و آبیاری‌های بعدی با توجه به شرایط آب و هوایی به صورت سه روز در میان تا زمان برداشت انجام شد. عملیات تنک در مرحله ۴-۶ برگی انجام شد. هفت روز پس از کاشت جوانه‌زنی مشاهده شد. دوازده روز پس از جوانه‌زنی اولین گیاهان وارد مرحله چهار برگی شدند، ۲۱ روز پس از جوانه‌زنی اولین مرحله محلول پاشی همزمان با شروع ساقده‌ی صورت گرفت، مراحل بعدی محلول پاشی با فاصله ۱۴ و ۲۱ روز بعد بهترتبی در ابتدای مرحله‌های غنچه‌دهی و شروع گلدهی انجام شد. عملیات دستی و چین بنا به ضرورت در طول فصل رشد صورت گرفت.

در مرحله شروع گلدهی صفات مورفو‌لوژیک از قبیل ارتفاع گیاه و قطر تاج پوشش و ساقه اندازه‌گیری شد. در مرحله گلدهی کامل، گیاهان برای اندازه‌گیری سایر صفات مورفو‌لوژیک، فیزیولوژیک و محتوی خصوصیات انسانس شامل وزن خشک اندام‌های هوایی و سرشاخه‌های گلدار، تعداد، وزن، عملکرد و سطح برگ، تعداد، وزن خشک و عملکرد گل آذین و درصد وزنی و بازده انسانس برداشت شدند. پس از اندازه‌گیری صفات مورد نظر، بوته‌ها به مدت دو هفته در سایه خشک شدند. پس از آسیاب کردن برگ، عمل انسانس‌گیری با دستگاه کلونجر به روش تقطیر با بخار به مدت سه ساعت انجام و درصد انسانس تعیین و عملکرد انسانس براساس معادله (۱) محاسبه شد:

$$(1) \text{ عملکرد انسانس} = \text{عملکرد دانه} \times \text{محتوی انسانس}$$

بازده انسانس با استفاده از معادله (۲) محاسبه گردید (۱):

$$(2) \text{ انسانس} = 100 \times (\text{وزن خشک گیاه} / \text{وزن انسانس}) - \text{بازده انسانس}$$

محتوی کلروفیل a، b و کاروتینوئید و محاسبه غلظت رنگدانه‌ها با استفاده از معادلات (۳) تا (۵) انجام گرفت (۲۳):

$$(3) \text{ کلروفیل} g.l^{-1} = \frac{(OD645) + (OD643)}{(0.0202) + (0.00802)}$$

$$(4) \text{ کلروفیل} g.l^{-1} = (OD645) - (OD643) / (0.027)$$

$$(5) \text{ کلروفیل} b g.l^{-1} = (OD645) - (OD638) / (0.0448) - (0.0229)$$

داده‌ها با استفاده از برنامه آماری SAS 9.1 تجزیه و تحلیل شدند و میانگین‌ها براساس آزمون حداقل اختلاف معنی‌دار (LSD) در سطح احتمال پنج درصد مورد مقایسه قرار گرفتند.

جدول ۱- خصوصیات فیزیکی خاک قبل از شروع آزمایش

Table 1- Physical properties of soil before initiation of experiment

Soil texture	بافت خاک Ressi Clay (%)	رس (%)	سیلت (%)	شن (%)
			Silt (%)	Sand (%)
	ریسی Clay	35.71	37.78	25.51

جدول ۲- خصوصیات شیمیایی خاک قبل از شروع آزمایش

Table 2- Chemical properties of soil before initiation of experiment

پتاسیم قابل دسترس (ppm)	فسفر قابل دسترس Available P (ppm)	روی Zn (ppm)	آهن Fe (ppm)	سدیم اشیاع Saturated Sodium (%)	کربن آلی Organic Carbon (%)	مواد خنثی شونده Neutralizing compounds (%)	نیتروژن کل Total N (%)	اسیدیته pH	هدایت الکتریکی Electrical conductivity m^{-1} (dS)
580	8.16	0.37	3.18	35.29	1.33	2.29	0.09	7.48	

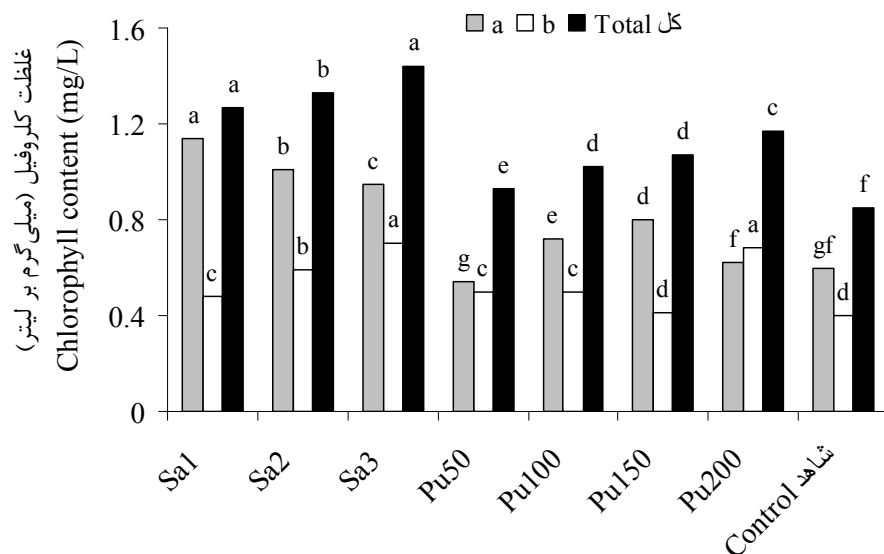
محلول پاشی با غلظت سه میلی مولار سالیسیلیک اسید مشاهده شد که با کلیه سطوح تیماری اختلاف معنی داری داشت. کمترین میزان این صفت با ۸۵ میلی گرم بر لیتر نیز مربوط به شاهد بود که دارای اختلاف معنی داری با کلیه سطوح بود. بیشترین غلظت کلروفیل a با ۱۴۱ میلی گرم بر لیتر مربوط به غلظت یک میلی مولار سالیسیلیک اسید بود که با سایر سطوح اختلاف معنی داری داشت. کمترین میزان این صفت نیز با ۶ میلی گرم بر لیتر برای شاهد حاصل گردید که با کلیه سطوح اختلاف معنی داری داشت. بیشترین میزان کلروفیل b با ۷ میلی گرم بر لیتر مربوط به محلول پاشی با غلظت سه میلی مولار سالیسیلیک اسید بود که تنها با تیمار ۲۰۰ میلی گرم بر لیتر پوتربیسین اختلاف معنی داری نداشت، کمترین میزان این صفت نیز با ۴ میلی گرم بر لیتر مربوط برای شاهد حاصل گردید که با تیمار ۱۵۰ میلی گرم بر لیتر مربوط برای شاهد حاصل گردید که با تیمار ۱۵۰ میلی گرم بر لیتر پوتربیسین اختلاف معنی داری نداشت (شکل ۱). از آنجا که منیزیم عنصر اصلی تشکیل دهنده کلروفیل محسوب می شود (۳)، به نظر می رسد که محلول پاشی باعث سنتز کلروفیل شده (۱۳) و یا از طریق افزایش جذب منیزیم (۴) سنتز کلروفیل را افزایش داده است. در همین راستا، نتایج نشان داد که محتوای کلروفیل گیاه کوکب تحت تأثیر کاربرد خارجی پوتربیسین و تیامین به صورت معنی داری افزایش یافت (۲۱). طلت و همکاران (۳۵) بیان داشتند که کاربرد برگی پوتربیسین و تربیتوфан بر برگ های *Carthamus L.* *roseus* باعث افزایش رشد، رنگدانه های فتوستنتزی (نظیر کلروفیل a، b و کاروتینوئیدها)، قندهای محلول و غیرقابل حل، پروتئین و آکالوئیدها گردید. با توجه به جدول مقایسه میانگین داده ها (جدول ۴) بیشترین تعداد گل آذین (۳۱۵ گل آذین در گیاه) مربوط به غلظت ۲۰۰ میلی گرم بر لیتر پوتربیسین بود که با غلظت های ۱۰۰ و ۱۵۰ میلی گرم بر لیتر پوتربیسین و سه میلی مولار سالیسیلیک اسید اختلاف معنی داری پوتربیسین

بیشترین تعداد ساقه جانبی با ۷/۲ ساقه در گیاه مربوط به غلظت سه میلی مولار سالیسیلیک اسید بود که با شاهد و غلظت های یک میلی مولار سالیسیلیک اسید و ۵۰ میلی گرم بر لیتر پوتربیسین اختلاف معنی داری داشت و کمترین تعداد ساقه جانبی با ۵/۱۷ ساقه در گیاه به شاهد تعلق داشت که فقط با غلظت سه میلی مولار سالیسیلیک اسید اختلاف معنی داری داشت. به نظر می رسد که محلول پاشی با پوتربیسین از طریق افزایش تقسیم سلولی، قطر ساقه را افزایش داده است. عبدالعزیز و همکاران (۲) نیز اظهار داشتند که محلول پاشی با پوتربیسین، تقسیم سلولی را افزایش داد. اسمیت (۳۱) گزارش نمود که مصرف خارجی پلی آمین ها باعث تحریک رشد گیاهان گردید. این محققان دلیل این امر را به وجود نیتروژن در این مواد تنظیم کننده رشد نسبت دادند و تأکید کردند که برای بهبود رشد گونه های مختلف گیاهی می توان مصرف این مواد تحریک کننده را مدنظر قرار داد. مقایسه میانگین تأثیر تیمارها (جدول ۴) نشان داد که بیشترین تعداد برگ با ۱۶۶۹ برگ در گیاه، وزن خشک برگ با ۳/۹/۶ گرم در گیاه، عملکرد برگ با ۷۱۰ کیلو گرم در هکتار و سطح برگ با ۷۵ مربوط به محلول پاشی با غلظت سه میلی مولار سالیسیلیک اسید بود که با سایر سطوح سالیسیلیک اسید، کلیه سطوح پوتربیسین و شاهد اختلاف معنی داری داشت. کمترین میزان این صفات به ترتیب با ۸۷۹ برگ در گیاه، ۳/۷/۳ گرم در گیاه، ۳/۷۴ کیلو گرم در هکتار و ۴۰ به شاهد اختصاص داشت که با کلیه سطوح سالیسیلیک اسید اختلاف معنی داری داشت، ولی با هیچ کدام از سطوح محلول پاشی پوتربیسین اختلاف معنی داری نداشت. به نظر می رسد که کاربرد خارجی سالیسیلیک اسید از طریق افزایش سنتز پروتئین موجب افزایش سطح برگ شده است (۱۵). سرافینی - فراکاسینی (۲۷) دریافتند که کاربرد پلی آمین ها موجب افزایش سنتز پروتئین شد. بیشترین غلظت کلروفیل کل با ۴۴/۱ میلی گرم بر لیتر برای

اول و دوم به صورت معنی داری افزایش داد. این محققان نتیجه گرفتند که تیمار ۱۵۰ میلی گرم بر لیتر (بالاترین غلظت) بیشترین اثر افزایشی را بر شاخصه های رشد ریحان نظیر ارتفاع بوته، تعداد شاخه در واحد گیاه، وزن تر و خشک اعمال نمود. از آنجا که هدایت روزنها ای تعیین کننده میزان ورود دی اکسید کربن به گیاه و در نتیجه تولید آسیمیلات ها و مواد فتوسترنزی می باشد (۱۱)، به نظر می رسد که محلول پاشی با سالیسیلیک اسید از طریق افزایش درجه بازشدنی روزنها موجب بهبود سرعت رشد و فتوسترنز شده که این امر در نهایت، عملکرد اندام های هوایی و سرشاخه های گلدار را موجب شده است. لارکیو سادوا (۲۱) نیز دریافت که سالیسیلیک اسید از طریق تأثیر بر بازشدنی روزنه، خصوصیات رشدی و سهم تولید آسیمیلات ها را در گیاهان تحت تأثیر قرار داد. محبوب و همکاران (۲۳) نیز با بررسی اثر محلول پاشی با پوتربیسین و تیامین بر گل کوکب دریافتند که غلظت ۱۵۰ پی ام پوتربیسین بیشترین اثر را بر ارتفاع، تعداد شاخه، تعداد برگ، وزن تر و خشک و قطر ساقه و عملکرد گل داشت. یافته های فوق با نتایج حاصل از این تحقیق مطابقت دارد. امین و همکاران (۴) در بررسی اثر پوتربیسین و گلوتامین بر عملکرد پیاز دریافتند که بیشترین عملکرد کمی و کیفی پیاز (*Allium cepa L.*) با محلول پاشی با غلظت های ۱۰۰ میلی گرم بر لیتر پوتربیسین و ۲۰۰ میلی گرم بر لیتر گلوتامین به صورت ترکیبی و جدآگانه به دست آمد.

نداشت، کمترین میزان این صفت با ۱۶۴ گل آذین در گیاه نیز به شاهد اختصاص داشت که دارای اختلاف معنی داری با کلیه سطوح محلول پاشی بود. بیشترین وزن خشک گل آذین با ۱۵/۶۵ گرم در گیاه و عملکرد گل آذین با ۱۷۳۹ کیلوگرم در هکتار مربوط به تیمار محلول پاشی با سه میلی مولار سالیسیلیک اسید بود که تنها با شاهد و محلول پاشی با غلظت یک میلی مولار بر لیتر سالیسیلیک اسید اختلاف معنی داری داشت. کمترین وزن خشک گل آذین با ۸/۲۵ گرم در گیاه و عملکرد گل آذین با ۹۱۶ کیلوگرم در هکتار به شاهد اختصاص داشت که با کلیه سطوح تیمارها اختلاف معنی داری داشت. اسلوکوم و گالستون (۳۰) اظهار داشتند که پلی آمین ها از طریق تأثیر بر فیزیولوژی گیاه، سنتز متابولیت ها، رشد و گله دی گیاه را تحت تأثیر قرار داد.

بیشترین وزن خشک اندام هوایی با ۴۵/۶۳ گرم در گیاه، وزن خشک سرشاخه های گلدار با ۲۲/۶۳ گرم در گیاه مربوط به محلول پاشی با سه میلی مولار سالیسیلیک اسید بود که تنها با شاهد و یک میلی مولار سالیسیلیک اسید اختلاف معنی داری دارند. کمترین میزان وزن خشک اندام هوایی با ۲۴/۰۴ گرم در گیاه و وزن خشک سرشاخه با ۱۷/۱۹ گرم در گیاه مربوط به شاهد بود که با سایر سطوح اختلاف معنی داری داشت (جدول ۴ و شکل ۲). طلت و همکاران (۳۳) در تحقیق روی اثر پوتربیسین و ترانس سینامیک اسید بر گیاه ریحان دریافتند که این تیمارها میزان عملکرد اندام هوایی را در چین



شکل ۱- اثر غلظت های محلول پاشی با سالیسیلیک اسید و پوتربیسین بر غلظت کلروفیل گیاه دارویی مرزه

Figure 1- Effects of foliar spraying with SA and Putrescine on chlorophyll content of Summer Savory

Sa₁, Sa₂ and Sa₃ showed spraying with 1, 2 and 3 mM.l SA, respectively and Pu₅₀, Pu₁₀₀ and Pu₁₅₀ showed spraying with Putrescine 50, 100 and 150 mg.l concentrations based on LSD (p≤0.05).

Sa₁, Sa₂ and Sa₃ showed spraying with 1, 2 and 3 mM.l SA, respectively and Pu₅₀, Pu₁₀₀ and Pu₁₅₀ showed spraying with Putrescine 50, 100 and 150 mg.l concentrations based on LSD (p≤0.05).

جدول ۳- تجزیه واریانس (میانگین مربعات) بیشترین تأثیر با سالیسیلیک اسید و پوترسین بر خصوصیات رشدی و فیزیولوژیکی و عملکرد کمی و کیفی گیاه دارویی مزه^۵

Table 3- Analysis of variance (square of means) for the effect of SA and Putrescine Pretreatment on growth and physiological characteristics and quality and quantity of yield in summer savory

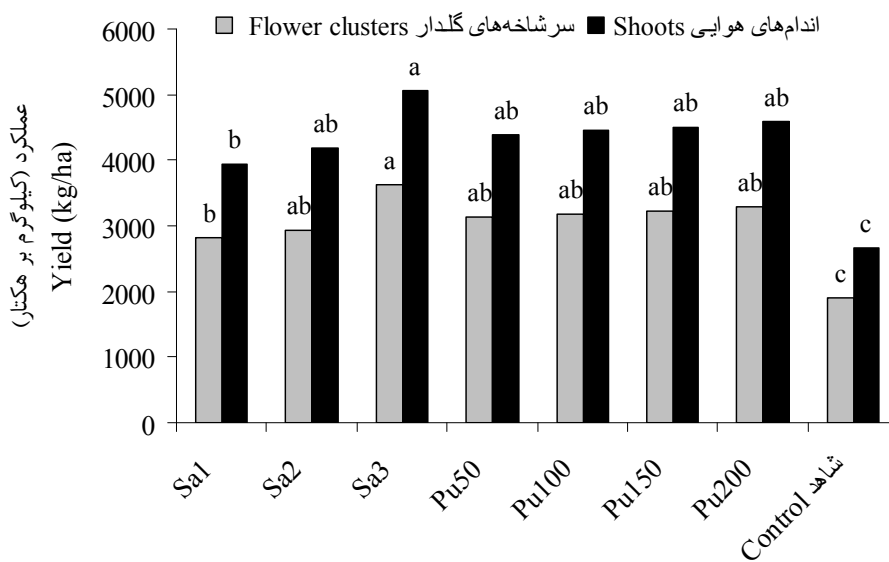
وزن خشک برگ Dry weight of Leaf	تعداد برگ Leaf No.	عملکرد شاخه های گلدار Yield of Flowering Stems	وزن خشک شاخه گلدار Dry weight of Flowering Stems	عملکرد اندام گلدار Yield of aerial parts	وزن خشک اندام گلدار Dry weight of aerial parts	تعداد ساقه جذعی Axillary Stem No.	قطر تاج پوش stem diameter	ارتفاع بوته Plant height	درجه ازدای DF	منابع تغییرات Source of variation	کواریا Replication
0.15	11518	109548	8.87	214284	17.35	1.83	0.004	2.31	1.29	2	کواریا Replication
2.79**	171262**	770279*	62.4**	1506731**	122**	3.19*	0.01**	12.5**	13.3**	7	کواریا Treatment
0.24	17536	114836	9.3	22.46	18.19	1.19	0.002	1.37	2.65	14	کواریا Error
10.9	10.9	11	11	11.21	11.2	5.75	5.29	3.13	3.4	(%)	ضریب تغییرات (%)

* and **: significant in ($P \leq 0.5$) and ($P \leq 0.01$), respectively
* بدتر ترتیب منفی دارد سطح احتمال پنج و یک درصد

جدول ۳-continued
Table 3 continued

عملکرد اسناسی Essential oil Yield of efficiency	وزن خشک پر زده اسانسی Essential Oil Percent	وزن خشک اسناسی Chlorophyll b	وزن خشک کلروفیل کل Chlorophyll a	وزن خشک کلروفیل کل Chlorophyll Total Chlorophyll Chlorophyll a Chlorophyll b	وزن خشک آذین Yield of Inflorescence	تعداد آذین آذین Inflorescence No.	وزن خشک آذین Dry weight of Inflorescence	علاوه بر آذین Leaf area index	درجه ازدای DF	منابع تغییرات Source of variation	کواریا Replication
279	0.07	0.015	0.003	0.007	0.005	25923	2.1	182	0.0021	1862	2
691**	0.26**	0.21**	0.04**	0.013**	0.012**	183101**	14.83**	7528**	4.13**	34491**	7
146	0.05	0.03	0.005	0.001	0.002	26816	2.17	682	0.034	3032	14
23.23	10.7	9.06	4.2	3	0.97	11.22	11.22	9.8	7.9	10.9	ضریب تغییرات (%) CV (%)

* and **: significant in ($P \leq 0.5$) and ($P \leq 0.01$), respectively
* بدتر ترتیب منفی دارد سطح احتمال پنج و یک درصد



شکل ۲- اثر غلظت های محلول پاشی با سالیسیلیک اسید و پوتربیسین بر عملکرد اندام های هوایی و سرشاخه های گلدار گیاه دارویی مرزه

Figure 2- Effects of foliar spraying with SA and Putrescine on yield of aerial parts and flowering stems of Summer Savory

SA_1 , SA_2 و SA_3 : به ترتیب نشان دهنده محلول پاشی با غلظت های ۱، ۲ و ۳ میلی مولار سالیسیلیک اسید و Pu_{150} , Pu_{100} و Pu_{50} : به ترتیب نشان دهنده محلول پاشی با غلظت های ۵۰، ۱۰۰ و ۱۵۰ میلی گرم بر لیتر پوتربیسین براساس آزمون LSD در سطح احتمال ۵ درصد می باشد.

SA_1 , SA_2 and SA_3 Showed Spraying with 1, 2 and 3 mM.l SA, respectively and Pu_{50} , Pu_{100} and Pu_{150} Showed spraying with Putrescine in 50, 100 and 150 mg.l concentrations. based on LSD ($p \leq 0.05$).

سالیسیلیک اسید و ۱۵۰ میلی گرم بر لیتر پوتربیسین حاصل گردید که با شاهد و غلظت سه میلی مولار بر لیتر سالیسیلیک اسید اختلاف معنی داری داشت. کمترین میزان این صفت (۱۵۵) نیز مربوط به شاهد بود که تنها با تیمار سه میلی مولار اسید سالیسیلیک اختلاف معنی داری نداشت (جدول ۴). از آنجا که اسانس ها ترکیب هایی ترپنوفئیدی بوده که واحدهای سازنده آن ها (ایزوونوئیدها) مانند ایزوپنتنیل پیرو فسفات و دی متیل آلیل پیروفسفات، نیاز به ATP و NADPH دارند و با در نظر گرفتن این مطلب که حضور عناصر غذایی برای تشکیل ترکیب های اخیر ضروری می باشد، به نظر می رسد که محلول پاشی از طریق فراهمی و افزایش جذب عناصر غذایی از جمله نیتروژن و همچنین سنتر قندها و کربوهیدرات ها موجب افزایش عملکرد اسانس این گیاه دارویی شده است (۲۴). رولند و همکاران (۲۵) دریافتند که کاربرد خارجی پلی آمین ها باعث تحریک متابولیسم ترکیبات نیتروژن شد. نتایج مطالعه طلت و همکاران (۳۳) نشان داد که کاربرد پوتربیسین و ترانس سینامیک اسید موجب بهبود معنی دار درصد و عملکرد اسانس ریحان شد. عبدالعزیز و همکاران (۶) در بررسی اثر پوتربیسین، آسکوربیک اسید و تیامین روی گلابی رویشی، پارامترهای گلدهی و ترکیبات شیمیایی گیاه داشت.

علاوه بر این، به نظر می رسد که نقش پوتربیسین در افزایش رشد گیاهان در شرایط بدون تنش احتمالاً مربوط به اثر آنتی اکسیدانتیو، کمک به تعادل کاتیون-آنیون و یا احتمالاً عمل به عنوان منبع نیتروژن بوده است (۳۶). نتایج مطالعه عبدال واحد و جمال الدین (۱) بیان داشتند که محلول پاشی با اسپرمیدین در مرحله رشد رویشی باعث تقویت خصوصیات رشدی بابونه نظیر ارتفاع، تعداد شاخه جانبی و وزن تر و خشک اندام های هوایی شد. نتایج مطالعه گیوتویز-کورونادو و همکاران، (۱۵) نیز نشان داد که کاربرد خارجی سالیسیلیک اسید به طور معنی داری رشد ساقه و رویش را افزایش داد.

بیشترین عملکرد اسانس سرشاخه های گلدار با ۷۶/۷۶ کیلو گرم بر هکتار به محلول پاشی با غلظت ۱۵۰ میلی گرم بر لیتر پوتربیسین اختصاص داشت که با کلیه سطوح به جز شاهد اختلاف معنی داری نداشت. کمترین میزان این صفت نیز با ۶/۲۹ کیلو گرم در هکتار برای شاهد حاصل گردید. بیشترین درصد وزنی اسانس با ۱۶/۲ درصد مربوط به محلول پاشی با غلظت یک میلی مولار سالیسیلیک اسید حاصل گردید که با غلظت سه میلی مولار بر لیتر سالیسیلیک اسید و شاهد اختلاف معنی داری نداشت. کمترین میزان این صفت نیز با ۱/۴۳ درصد به شاهد اختصاص داشت که تنها با تیمار سه میلی مولار سالیسیلیک اسید اختلاف معنی داری نداشت (شکل ۳). بیشترین بازده اسانس (۳۵/۲) برای محلول پاشی با غلظت های سه میلی مولار

جدول ۴- مقایسه میانگین اثر پیش تیمار با سالسیلیک اسید و پوترسین بر خصوصیات رشدی و فیزیولوژیکی و عملکرد کمی و کیفی گیاه دارویی مرزه

Table 4- Mean comparison of effect of SA and Putrescine Pretreatment on growth and physiological characteristics and quality of yield in summer savory										
عملکرد برگ Yield of Leaf	وزن خشک برگ Dry weight of leaf	تعداد برگ Leaf No.	وزن خشک شاخهای گلدار Dry weight of flower clusters (g)	تعداد ساقه Dry weight of shoots (g)	وزن خشک اندام‌های هوایی Dry weight of aerial organs (g)	جوانش Branch No.	قطر ساقه Stem diameter (cm)	قطر تاج پوششی Canopy diameter (cm)	ارتفاع بوته Plant height (cm)	تیمار Treatment
550	4.95	1294	25.3	35.38	18.47	0.8	35.3	42	1	(mM) سالسیلیک اسید
586	5.27	1387	26.94	37.67	19.5	0.86	38.4	43.33	2	Salicylic Acid (mM)
710	6.39	1669	32.63	45.63	20.67	0.92	39.33	45.07	3	پوترسین
439	3.59	1082	28.27	39.54	17.47	0.83	38.17	44.53	50	Putrescine (mg/l)
446	4.01	1098	28.7	40.14	19.1	0.82	38.3	45.67	100	
451	4.06	1110	29.02	40.58	19.3	0.81	39.47	44.47	150	
459	4.13	1131	29.56	41.34	19.87	0.81	36	43.6	200	
374	3.37	892	17.19	24.04	17.47	0.68	33.87	39.07	شاهد	
96.43	0.8579	231.9	5.34	7.469	1.91	0.2477	2.05	2.851	LSD	

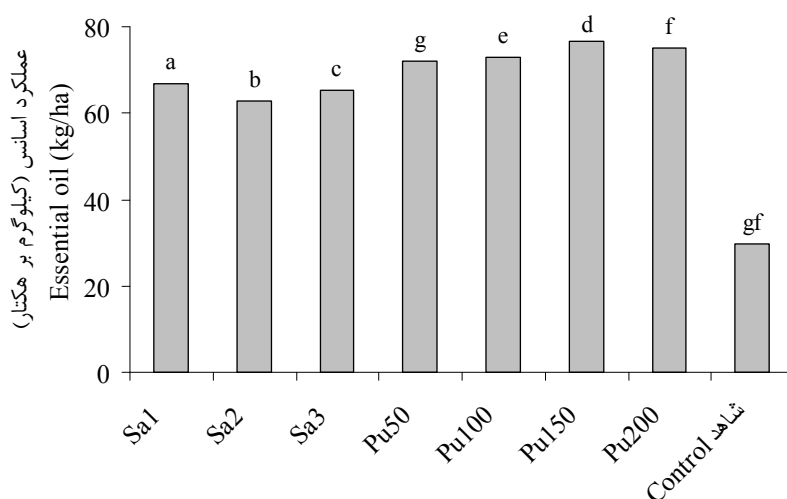
* Means with different letters in each column have significant difference based on LSD ($p\leq 0.05$).
 ** میانگین‌های دارای حروف متوال در هر ستون دارای اختلاف معناداری پذیرش نداشتند.

ادامه جدول ۴

Table 4 continued

عملکرد انسانس yield of essential oil	عملکرد انسانس yield of essential oil	بازده اسانسی Essential oil efficiency	درصد اسانس Essential oil percent	عمرکرد گل آذین Yield of Inflorescence (kg.ha ⁻¹)	وزن خشک گل آذین Dry weight of Inflorescence (g)	تعداد گل آذین Inflorescence No.	شاخص سطحی Leaf area index	تیمار Treatment
66.91	2.35	2.16	1.348	12.14	242	0.59	1	(mM) سالسیلیک اسید
62.86	2.11	1.94	1.436	12.92	257	0.62	2	Salicylic Acid (mM)
65.21	1.8	1.67	1.739	15.65	312	0.75	3	پوترسین
72.13	2.3	2.13	1.525	13.72	247	0.47	50	
72.97	2.29	2.13	1.547	13.93	268	0.47	100	
76.76	2.35	2.1	1.565	14.08	307	0.48	150	
75.05	2.27	2.13	1.594	14.34	315	0.49	200	
29.65	1.55	1.43	916	8.25	164	0.40	شاهد	
21.16	0.3916	0.3033	286.8	2.58	45.73	0.3229		

* Means with different letters in each column have significant difference based on LSD ($p\leq 0.05$).
 ** میانگین‌های دارای حروف متوال در هر ستون دارای اختلاف معناداری پذیرش نداشتند.



شکل ۳- اثر غلظت های محلول پاشی با سالیسیلیک اسید و پوتربیسین بر عملکرد اسانس گیاه دارویی مرزه
Figure 3- Effects of foliar spraying with SA and Putrescine on yield of essential oil in Summer Savory

Sa₁, Sa₂, Sa₃: به ترتیب نشان دهنده محلول پاشی با غلظت های ۱، ۲ و ۳ میلی مولار سالیسیلیک اسید و Pu₅₀, Pu₁₀₀ و ۳ میلی مولار پوتربیسین بر اساس آزمون LSD درصد احتمال ۵ درصد می باشد.

Sa₁, Sa₂ and Sa₃ Showed Spraying with 1, 2 and 3 mM.l SA, respectively and Pu₅₀, Pu₁₀₀ and Pu₁₅₀ Showed spraying with Putrescine in 50, 100 and 150 mg.l concentrations. based on LSD ($p \leq 0.05$).

عملکرد اندام هوایی بیشترین تأثیر را داشت. با توجه به نتایج حاصل از این پژوهش و نظریات سایر محققین در رابطه با مکانیسم عمل پوتربیسین بر افزایش عملکرد و بهبود کیفیت گیاه، می توان نتیجه گرفت از آنجا که پوتربیسین یکی از پلی آمین های فعال بوده و بخشی از متabolیسم های ترکیبات نیتروژنی را شامل می شود، توانسته است از طریق فراهمی نیتروژن برای گیاه سبب افزایش شاخص های رشد و عملکرد گیاه گردد. کاربرد پوتربیسین با ایجاد تنظیم کنندگی سبب افزایش تقسیم سلولی، تمایزیابی سلول ها و جلوگیری از پیری گیاه به وسیله جلوگیری از کاهش تخریب کلروفیل و ممانعت از سنتز اتیلن می شود. علاوه بر این، پوتربیسین بر میزان آنزیم های گیاهی اثر هم افزایی داشته و سبب افزایش سنتز آنزیم ها می شود. از سوی دیگر، پوتربیسین عامل مهمی در سنتز قندها و کربوهیدرات ها محسوب می شود. از مطالب فوق، استناد می شود که پوتربیسین با افزایش جذب عناصر غذایی از جمله نیتروژن و سنتز آنزیم های رشدی و اثر تنظیم کنندگی سبب افزایش شاخص های رشدی و عملکرد کلی گیاه مرزه شده است.

عبدال واحد و جمال الدین (۵) با بررسی اثر مصرف اسپرمیدین در مرحله رشد رویشی بابونه، افزایش اسانس گل را موجب گردید. طلعت و همکاران (۳۲) بیان داشتند که محلول پاشی با غلظت ۵۰ میلی لیتر سالیسیلیک اسید موجب افزایش محتوى و عملکرد اسانس شمعدانی گردید.

نتیجه گیری

نتایج این مطالعه نشان داد که محلول پاشی با غلظت های سالیسیلیک اسید و پوتربیسین خصوصیات مورفو لوزیکی، فیزیولوژیکی، اسانس و اجزای اسانس گیاه دارویی مرزه را به طور معنی داری تحت تأثیر قرار داد. محلول پاشی با پوتربیسین صفاتی از قبیل ارتفاع بوته، قطر تاج پوشش گیاهی، وزن خشک اندام هوایی، عملکرد اندام هوایی، وزن خشک سرشاخه های گلدار، عملکرد سرشاخه های گلدار، تعداد، وزن خشک و عملکرد گل آذین مرزه را به طور معنی داری افزایش داد. در میان سطوح مختلف پوتربیسین غلظت ۲۰۰ میلی گرم بر لیتر در رابطه با اکثر صفات مورد مطالعه از جمله وزن خشک و

References

1. Abd El-Wahed, M. S. A., and Gamal El-Din, K. M. 2004. Stimulation of growth, flowering, biochemical constituents and essential oil of chamomile plant (*Chamomilla recutita* L., Rausch) with Spermidine and stigmasterol application. Bulgarian Journal of Plant Physiology 30: 89-102.
2. Abdel Aziz, N. G., Taha, L. S., and Ihabim Soad, M. M. 2009. Some studies on the effect of Putrescine, ascorbic acid and thiamine on growth, flowering and some chemical constituents of gladiolus plants at Nubaria. Ozean Journal of Applied Sciences 2 (2): 169-179.

3. Alam, S. M. 1994. Nutrient Uptake by Plant under Stress Condition. In: Pessarakali, M. (ed.) *Handbook of Plant Stress*. Dekker, New York, p. 227-246.
4. Amin, A. A., Gharib, F. A. E., El-Awadi, M., and Rashad, M. E. M. 2011. Physiological response of onion plants to foliar application of Putrescine and glutamine. *Scientia Horticulturae* 129: 353-360.
5. Azarnivand, H., Ghavam Arbani, M., Sefidkon, F., and Tavili, A. 2010. The effect of ecological characteristics on quality and quantity of the essential oils of *Achillea millefolium* L. subsp. *Millefolium*. *Iranian Journal of Medicinal and Aromatic Plants* 25 (4): 556-571. (in Persian with English abstract).
6. Barkosky, R. R., and Einhellig, F. A. 1993. Effects of Salicylic acid on plant water relationship. *Journal of Chemical Ecology* 19: 237-247.
7. Cohen, E., Arad, S., Heimer, Y. M., and Mizrahi, Y. 1982. Participation of ornithine decarboxylase in early stages of tomato fruit development. *Plant Physiology* 70: 540-543.
8. Cutt, J. R., and Klessig, D. F. 1992. Salicylic acid in plants. A changing perspective. *Pharmaceutical Technology* 16: 25-34.
9. Datta, M., Palit, R., Sengupta, C., Pandit, M. K., and Banerjee, S. 2011. Plant growth promoting rhizobacteria enhance growth and yield of chilli (*Capsicum annuum* L.) under field conditions. *Plant growth promoting rhizobacteria*. *Australian Journal of Crop Science* 5 (5): 531-536.
10. El-Tohamy, W. A., El-Abagy, H. M., and El-Greadly, N. H. M. T. 2008. Studies on the effect of Putrescine, yeast and vitamin c on growth, yield and physiological responses of eggplant (*Solanum melongena* L.) under sandy soil conditions. *Australian Journal of Basic and Applied Sciences* 2 (2): 296-300.
11. Gardner, F. P., Pearce, R. B., and Mitchell, R. L. 1985. *The Physiology of Crop Plants*. Iowa State University Press, Science 327 pp.
12. Gharib, A. A., and Hanafy Ahmed, A. H. 2005. Response of pea plants (*Pisum sativum* L.) to foliar application of Putrescine, glucose, foliar feed and silicon. *The Journal of Agricultural Science, Mansoura University* 30 (12): 7563-7579.
13. Giri, B., and Mukerji, G. K. 2004. Mycorrhiza inoculation alleviates salt stress in *Sesbania aegyptica* and *Sesbania grandiflora* under field conditions: evidence for reduced sodium and improved magnesium uptake. *Mycorrhiza* 14: 307-312.
14. Giri, B., Kapoor, R., and Mukerji, K. G. 2002. VA mycorrhizal techniques. VAM technology in establishment of plants under salinity stress condition. In: Mukerji, K.G., Manoracheir, C. and Singh, J. (eds.) *Techniques in mycorrhizal studies*. Kluwer, Dordrecht, pp. 313-327.
15. Gutiérrez-Coronado, M. A., Trejo-López, C., and Larqué-Saavedra, A. 1998. Effects of Salicylic acid on the growth of roots and shoots in soybean. *Plant Physiology and Biochemistry* 36: 563-565.
16. Harper, J. P., and Balke, N. E. 1981. Characterization of the inhibition of K⁺ absorption in oat roots by salicylic acid. *Plant Physiology* 68: 1349-1353.
17. Khan, W., Prithiviraj, B., and Smith, D. 2003. Photosynthetic responses of corn and soybean to foliar application of salicylates. *Journal of Plant Physiology* 6: 1-8.
18. Larque-Saavedra, A. 1979. Stomatal closure in response to Salicylic acid treatment. *Plant Physiology* 93: 371-375.
19. Liu, J. H., Honda, C., and Moriguchi, T. 2006. Involvement of polyamine in floral and fruit development. *JARQ* 40: 51-58.
20. Madah, S. M., Falahian, F., Sabagh Pour, S. H. and Chalabian, F. 2007. Effect of Salicylic acid on yield and anatomical structure in *Cicer arietinum* L., *Journal of Basic Science* 62 (1): 61-70. (in Persian with English abstract).
21. Mahgoub, M. H., Abd-El Aziz, N. G., and Mazhar, A. M. A. 2011. Response of *Dahlia pinnata* L. plant to foliar spray with Putrescine and thimine on growth, flowering and photosynthetic. *American-Eurasian Journal of Agricultural and Environmental Sciences* 10 (5): 769-775.
22. Pedraza, R. O., Motok, J., Tortora, M. L., Salazar, S. M., and Díaz-Ricci, J. C. 2007. Natural occurrence of *Azospirillum brasiliense* in strawberry plants. *Plant and Soil* 295: 169-78.
23. Porra, R. J., Thompson, W. A., and Kriedemann, P. E. 1989. Determination of accurate extinction coefficients and simultaneous equations for assaying chlorophylls a and b extracted with four different solvents: verification of the concentration of chlorophyll standard by atomic absorption spectrometry. *Photosynthesis Research* 975: 384-394.
24. Rahimzadeh, S., Sohrabi, Y., Heidari, G., and Pirzad, A. 2008. Effect of Biofertilizers Application on some Morphological Characteristics and Yield of Dragonhead (*Dracocephalum moldavica* L.). *Journal of Horticulture Science* 25 (3): 335-343. (in Persian with English abstract).
25. Rowland, A. J., Borland, A. M., and Lea, P. J. 1988. Changes in amino acids, amines and proteins in response to air pollutants. In: Schulte-Hostede, S., Darrall, N.M., Blank, L.W. and Wellburn A.R. (eds.). *Air pollution and plant metabolism*, pp. 189-221- Elsevier Applied Science, London and New York.
26. Senaratna, T., Touchell, D., Bunn, E., and Dixon, K. 2000. Acetyl Salicylic acid (Aspirin) and Salicylic acid induce multiple stress tolerance in bean and tomato plants. *Plant Growth Regulation* 30: 157-161.
27. Serafini-Fracassini, D. 1991. Cell Cycle-Dependent Changes in Plant Polyamine Metabolism. I: Slocum R.D.,

- Flores, H.E. (eds.). Biochemistry and Physiology of Polyamines in Plants. CRC Press, Boca Raton, F.L. pp. 159-171.
28. Shekari, F., Pakmehr, A., Rastgoo, M., Vazayefi, M., and Ghoreyshi Nasab, M. J. 2011. Effect of seed priming with Salicylic Acid on some of physiological traits in *Vigna unguiculata* L. under drought stress. Journal of Agriculture Science 4 (13): 13-29. (in Persian with English abstract).
29. Singh, P. K., Chaturvedi, V. K., and Bose, B. 2010. Effects of Salicylic acid on seedling growth and nitrogen metabolism in cucumber (*Cucumis sativus* L.). Journal of Stress Physiology and Biochemistry 6 (3): 102-113.
30. Slocum, R. D., and Galston, A. W. 1985. Changes in polyamines associated with post fertilization and development in tobacco ovary tissues. Plant Physiology 79: 336-343.
31. Smith, T. A. 1982. The Function and Metabolism of Polyamines in Higher Plants. In: Wareing, P.F. (ed). Plant Growth Substances. Academic Press, New York, pp. 683.
32. Talaat, I. M. 2005. Physiological effect of Salicylic acid and tryptophan on *Pelargonium graveolens*. Egyptian Journal of Applied Sciences 20: 751-760.
33. Talaat, I. M., and Laila, K. 2010. Physiological response of sweet basil plants (*Ocimum basilicum* L.) to Putrescine and Trans-Cinnamic Acid. American-Eurasian Journal of Agricultural and Environmental Sciences 8 (4): 438-445.
34. Talaat, I. M., Bekheta, M. A., and Mahgoub, M. M. H. 2005. Physiological response of Periwinkle plants (*Catarranthus roseus* L.) to tryptophan and Putrescine. International Journal of Agriculture and Biology 7 (2): 210-213.
35. Talaat, N. B. 2003. Physiological studies on the effect of salinity, ascorbic acid and Putrescine on sweet pepper plant. PhD Thesis, Agric, Bot. Dept., Fac. Agric., Cairo Univ., p. 286.
36. Tang, W., and Newton, R. J. 2004. Increase of polyphenol oxidase and decrease of polyamines correlate with tissue browning in Virginia pine (*Pinus virginiana* Mill.). Plant Science 67: 621-628.
37. Yazdanpanah, S., Baghizadeh, A., and Abbassi, F. 2011. The interaction between drought stress and salicylic and ascorbic acids on some biochemical characteristics of *Satureja hortensis*. African Journal of Agricultural Research 6 (4): 798-807.
38. Youssef, A. A., Mona, H. M., and Iman, M. T. 2004. Physiological and biochemical aspects of *Matthiola incana* L. plants under the effect of Putrescine and kinetin treatments. Egyptian Journal of Basic and Applied Sciences 19 (9B): 492-510.



Effects of Foliar Spraying with Salicylic acid and Putrescine on Growth Characteristics and Yield of Summer Savory (*Satureja hortensis* L.)

A. Faraji-mehmani¹- B. Esmaelpour^{1*}- F. Sefikon²- S. Khorramdel³

Received: 25-03-2014

Accepted: 22-11-2014

Introduction

Summer Savory (*Satureja hortensis* L.) is an annual, herbaceous plant belonging to the Labiate family. This plant is most often used as a culinary herb, but it also has marked medicinal benefits, especially upon the whole digestive system. The most important components of *S. hortensis* include volatile oils, phenolic compounds, flavonoids and phenolic acids, tannins, mucus, resins, carotenoids and mineral components. Plant growth regulators are used to improve the quality and quantity of medicinal plant production. Salicylic Acid is one of this PGRs that involved in seed germination, photosynthesis, Stomatal opening and closure, Membrane Permeability, Ions Absorption and transmission and other growth processes. Polyamines are ubiquitous low-molecular-weight aliphatic amines that are involved in regulating plant growth processes. The most commonly found polyamines in higher plants, putrescine (Put), spermidine (Spd) and spermine (Spm) may be present in free, soluble conjugated and insoluble bound forms. It has been demonstrated that PAs are important for the normal course of diverse plant ontogeny processes such as cell division and elongation, organogenesis and somatic and zygotic embryogenesis.

Materials and Methods

This experiment was conducted in factorial based on a randomized complete block design with three replications in Karaj, Iran. Foliar spraying with SA (1, 2 and 3 mM.l) and Putrecine (50, 100, 150 and 200 mg l⁻¹) was performed in thrice in Savory growth period. Spraying was performed at 21, 35 (Budding Phase) and 56 (flowering initiation phase) day after seed germination. In flowering stage, some morphological traits such as plant height, weight, yield, canopy diameter, stem diameter, leaf area, essential oil content and efficiency were measured.

Results and Discussion

Analysis of variance showed that the effects of salicylic acid and putrescine spraying on plant height, canopy diameter, stem diameter, number of axillary stems, foliage dry weight, foliage yield, flower dry weight, number of leaves, leaf dry weight, leaf yield, leaf area index (LAI), number of inflorescence, dry weight of inflorescence, total chlorophyll content, chlorophyll a and b content, essential oil content, yield and efficiency was significant ($P < 0.01$). Application of 100 mg.l putrescine resulted in maximum plant height (45.67 cm) that showed a significant difference with control and 1 mM.l SA treatments. Highest number of inflorescence per plant obtained in pots spraying with 150 and 200 mg.l putrescine and 3 mM l⁻¹ SA. It seems that spraying with putrescine improved vegetative growth through production enhancement of biosynthetic enzymes. Putrescine increased the cell division in plant tissues due to the presence of nitrogen in its structure. Treatment with putrescine significantly improved plant height in *Matthiola incana*. In response to spraying with 3 mM.l SA amounts of stem diameter, number of leaves per plant, dry weight and yield of leaves and number of inflorescences were significantly increased in comparison with other treatments. Highest values of axillary stems, dry weight of aerial parts, weight of flowering stems, leaf area index and inflorescence yield were also observed in 3 mM l⁻¹ treatments but it did not show significant deference with any of the other treatments. It was well documented that salicylic acid exert their influence on physiological and biochemical processes, including, photosynthesis, ion uptake, membrane permeability, enzyme activities, flowering, heat production and growth and development of plants. SA can increase growth parameters in Summer Savory by enhancing photosynthetic

1- Department of Horticultural Science, Faculty of Agriculture, University of Mohaghegh Ardabili

2- Research Institute of Forests and Rangelands, Tehran, Iran

3- Department of Agronomy and plant breeding, Ferdowsi Mashhad University

(*- Corresponding Author Email: behsmaiel@yahoo.com)

rate and nitrate metabolism. SA increased the activity of nitrate reductase both in leaves and roots of maize plants. Maximum total chlorophyll content was obtained in plants, spraying with 1 and 3 mM l⁻¹ SA that was significant. Application of 1 and 3 mM l⁻¹ SA resulted in higher amounts of chlorophyll a and b, respectively. Moreover, all putrescine concentrations eventuated to significant increase in chlorophyll contents compared to control treatments. Talaat (33) reported that foliar application of putrescine increased chlorophyll and carotenoids content, soluble and non-soluble sugar, proteins and alkaloids in sweet pepper. Based on Figure 2, it was clear that the yield of aerial parts and flowering stems gradually increased with addition of SA concentration and reached its maximum at the 3 mM l⁻¹ treatment. However the significant difference between putrescine concentrations was not observed.

Conclusions

This study revealed that foliar application of SA and putrescine significantly affected the morphological, physiological and biochemical traits of *Satureja hortensis*. Thus, it can be used as a plant growth regulator for yield and essential oil content improvement in field production of this plant.

Keywords: Essential oil, Medicinal plants, Natural products, Plant growth regulator



تأثیر تاریخ کاشت و تراکم بوته بر شاخص‌های فیزیولوژیک رشد، صفات کمی و کیفی دو رقم همیشه بهار (*Calendula officinalis* L.) در شرایط اراک

علی سپهری^{۱*} - تهمینه مهران راد^۲ - افشین کرمی^۳

تاریخ دریافت: ۱۳۹۳/۰۱/۲۷

تاریخ پذیرش: ۱۳۹۴/۰۳/۲۳

چکیده

به منظور تعیین تاریخ کاشت و تراکم مناسب گیاه همیشه بهار، آزمایشی به صورت اسپلیت فاکتوریل در ۳ تکرار، در مزرعه آزمایشی مرکز تحقیقات کشاورزی اراک اجرا شد. عوامل مورد بررسی شامل دو تاریخ کاشت (دوام و دوازدهم اردیبهشت)، چهار تراکم بوته (۲۶، ۳۳، ۴۱ و ۵۷ بوته در متر مربع) و دو رقم (کم پر و پرپر) بودند. براساس نتایج آزمایش تیمارهای مورد بررسی اثر معنی داری بر شاخص‌های فیزیولوژیکی رشد، ارتفاع بوته، تعداد گل، وزن هزار دانه، کلروفیل، درصد روغن و اسانس گیاه همیشه بهار داشت. تأخیر در کشت و کاهش تراکم بوته موجب کاهش شاخص سطح برگ و وزن خشک کل گردید. همچنین رقم پرپر نسبت به رقم کم پر از شاخص‌های رشدی بالاتر و استفاده از رقم پرپر موجب بهبود صفات مورد بررسی گردید. تراکم ۵۷ بوته در متر مربع در تاریخ کاشت اول و دوم به ترتیب ارتفاع بوته را $25/1$ و $34/4$ درصد نسبت به تراکم ۲۶ بوته افزایش داد. همچنین تأخیر در کشت موجب کاهش صفات مورد بررسی شد. در همین رابطه تاریخ کشت دوم نسبت به تاریخ کشت اول شاخص کلروفیل را در تراکم ۵۷ بوته $18/4$ درصد کاهش داد. رقم پرپر در تراکم‌های $57/1$ ، $32/1$ ، $41/1$ و $26/1$ بوته درصد اسانس را به ترتیب $9/8$ ، $9/6$ ، $5/3$ و $5/1$ درصد نسبت به رقم کم پر افزایش داد.

واژه‌های کلیدی: اسانس روغنی، تعداد گل، شاخص رشد، کلروفیل

مقدمه

پرپر می‌باشد که برای اهداف دارویی و یا غذایی استفاده می‌شود (۴۳). گیاه همیشه بهار حاوی ۵ تا 20 cm درصد روغن است که از این مقدار حدود 60 cm درصد اسید کالنديک است که در تسکین درد مؤثر است (۲۲). از گل این گیاه به عنوان طعم‌دهنده و رنگ‌دهنده غذاهای مختلف استفاده می‌شود. علاوه بر این دارای مواد مؤثره و ترکیباتی است که در صنایع داروسازی به منظور تهیه کرمها و لوسیون‌ها از آن‌ها استفاده می‌شود (۱۵). رشد، نمو و تولید محصول گیاهان دارویی به مانند سایر گیاهان متأثر از عوامل ژنتیکی و زراعی می‌باشد. انتخاب مناسب‌ترین تاریخ کاشت و مطلوب‌ترین تراکم بوته از عوامل مهم موافقیت در زراعت هر گیاهی به شمار می‌رود (۴). حصول به حداقل عملکرد یک رقم مستلزم عدم برخورد مراحل حساس نمو گیاه به عوامل نامساعد و بهره‌گیری کامل از شرایط مطلوب محیطی است. از آنجا که طول مراحل مختلف نموی تابعی از دو عامل اصلی حرارت و طول روز است می‌توان با تغییر تاریخ کاشت، مراحل مختلف نمو گیاه را با وضعیت حرارت و طول روز موجود طی فصل رشد انطباق داد و میزان رشد رویشی و زایشی مطلوبی را به دست آورد. از این رو اطلاع کامل و صحیح از خصوصیات رشد و نمو و نیازهای اکولوژیکی

امروزه به دلیل مشخص شدن عوارض جانبی داروهای شیمیایی، رویکرد عمومی به مصرف داروهای گیاهی در حال افزایش است. گیاهان دارویی از دیرباز دارای جایگاه ویژه‌ای در نظام سنتی کشاورزی ایران بوده و استفاده از این گیاهان به عنوان دارو برای پیشگیری و درمان بیماری‌ها از روزگاران کهن مورد توجه متخصصان طب سنتی قرار داشته است. گیاهان دارویی با منابع غنی از متابولیت‌های ثانوی، مواد مؤثره اساسی بسیاری از داروها را تأمین می‌کنند. همیشه بهار گل‌های مروارید مانند روشن، زرد یا نارنجی و دارای دو نوع کم پر و

۱- استادیار گروه زراعت و اصلاح نباتات دانشکده کشاورزی دانشگاه بوعلی سینا همدان

۲- دانشجوی کارشناسی ارشد زراعت دانشکده کشاورزی دانشگاه بوعلی سینا همدان

۳- دانشجوی دکتری فیزیولوژی گیاهان زراعی دانشکده کشاورزی دانشگاه بوعلی سینا همدان

(Email: Sepehri110@yahoo.com) - نویسنده مسئول:

در اواسط رشد و قبل از گلدهی مصرف شد. بعد از اجرای مراحل آماده‌سازی زمین، جوی و پشته‌هایی به فواصل ۳۵ سانتی‌متر با استفاده از فاروئر ایجاد گردید. سپس بذور در فواصل تعیین شده مطابق تراکم مورد نیاز (۵، ۷ و ۱۱ سانتی‌متر) بر روی پشته‌ها کشت شدند. آبیاری به صورت جویچه‌ای و هر هفت روز یکبار انجام شد. در این آزمایش هر کرت شامل ۸ خط کاشت بود که خطوط کناری به عنوان حاشیه در نظر گرفته شدند، از دو خط برای نمونه‌برداری در طی فصل و از خطوط میانی برای برداشت نهایی استفاده گردید. اولین نمونه‌برداری یک ماه بعد از تاریخ کاشت انجام شد و در هر بار نمونه‌برداری ۵ بوته از خطوط منتخب به صورت کف برداشت گردید. فاصله زمانی بین هر نمونه‌برداری ۱۰ روز بود. برای تعیین روند رشد و تجزیه و تحلیل شاخص‌های رشد در هر بار نمونه‌برداری سطح برگ، وزن خشک، برگ، ساقه و گل به طور جداگانه تعیین گردید. برداشت نهایی به منظور عملکرد دانه در زمان مناسب انجام و درصد روغن دانه به وسیله دستگاه سوکسله برای هر تیمار اندازه‌گیری شد (۲۶ و ۲۶). محتوى استخراج اسانس گل‌های همیشه بهار با استفاده از دستگاه کلونجر انجام گردید (۱). برای تعیین بهترین رابطه موجود بین ماده خشک و روزهای بعد از کاشت از نرم افزار SAS (Ver. 9.1) استفاده شد. از میان معادلات مورد بررسی مناسب‌ترین رابطه‌ای که توانست وزن خشک گیاه در تیمارهای مختلف در طول فصل رشد را توضیح دهد (معادله ۱) براساس بهترین ضریب تعیین (R^2) عبارت بودند از:

$$DM = \text{Exp} (a + bT + cT^2) \quad (1)$$

تعیین روند شاخص سطح برگ گیاه از معادله (۲) استفاده گردید:

$$LAI = \text{Exp} (a' + b'T + c'T^2) \quad (2)$$

در این روابط a , b , c , a' , b' , c' ضرایب معادلات رگرسیونی، T زمان برحسب روز و Exp لگاریتم در پایه طبیعی می‌باشد. دمای حداکثر و حداقل روزانه برای تعیین شاخص حرارتی توسط ترمومتر ثبت و با استفاده از معادله (۳) اندازه‌گیری شد (۲۳).

$$GDD = \sum_{\text{ا}}^n \left(\frac{T_{\text{max}} + T_{\text{min}}}{2} - Tb \right) \quad (3)$$

$=$ درجه روز رشد، T_{max} حداکثر درجه روزانه هوا با حد بالای ۴۰ درجه سانتی‌گراد، T_{min} حداقل دمای روزانه با حد پایینی ۵ درجه سانتی‌گراد، T_b = دمای پایه برابر ۶ درجه سانتی‌گراد، داده‌های حاصل از آزمایش به وسیله نرم افزار SAS (Ver. 9.1) مورد تجزیه و تحلیل آماری قرار گرفتند. مقایسه میانگین‌های صفات مورد بررسی در آزمایش با آزمون دانکن و در سطح احتمال پنج درصد انجام گردید.

محصول مورد کاشت و عوامل محیطی لازم است تا بتوان تاریخ کاشت مناسبی را انتخاب نمود (۸). تأثیر تاریخ‌های کاشت مختلف روی عملکرد گل و اجزای آن در گیاه همیشه بهار در منطقه اردبیل نشان داد که بین تاریخ کاشت‌های مورد نظر از لحاظ صفات درصد سبز، ارتفاع گیاه، سطح سایه‌اندازی، تعداد گل و وزن گل اختلاف معنی‌داری وجود داشت (۱۹). از طرف دیگر استقرار تراکم مطلوب بوته‌های سالم در سطح مزرعه پایه و اساس یک سیستم موفق زراعی محسوب می‌شود. در تراکم کمتر از حد مطلوب استفاده از عوامل محیطی موجود مانند نور، رطوبت و مواد غذایی حداکثر نبوده و در تراکم بالاتر از حد بهینه نیز وجود رقابت شدید از عملکرد نهایی محصول خواهد کاست (۴). با کاهش ردیفهای کاشت، تاج پوشش زودتر بسته شده و مزرعه زودتر به حداکثر شاخص سطح برگ برای جذب کامل تابش خورشیدی می‌رسد و متعاقب آن مقدار بیشتری مواد فتوسنتزی برای رشد و عملکرد حاصل می‌گردد (۲). مطالعات انجام شده در خصوص تأثیر تراکم بر عملکرد ماده خشک حاکی از آن است که عملکرد ماده خشک با افزایش تراکم تا رسیدن به یک سطح ثابت بدون تغییر افزایش می‌یابد و در تراکم‌های زیاد تا زمانی که رطوبت و مواد غذایی عامل محدودکننده نیست عملکرد بذر افزایش می‌یابد (۲۷). با توجه به اهمیت گیاه دارویی همیشه بهار و نظر به اینکه تعیین تاریخ کاشت و تراکم مناسب بوته از عوامل زراعی مهم در موقوفیت گیاهان هستند، بنابراین تحقیق حاضر به منظور بررسی واکنش دو رقم پرپر و کم پر همیشه بهار نسبت به تاریخ کاشت و تراکم بوته در طی دوران رشد از طریق تجزیه و تحلیل رشد و مطالعه صفات کمی و کیفی گیاه انجام گرفت.

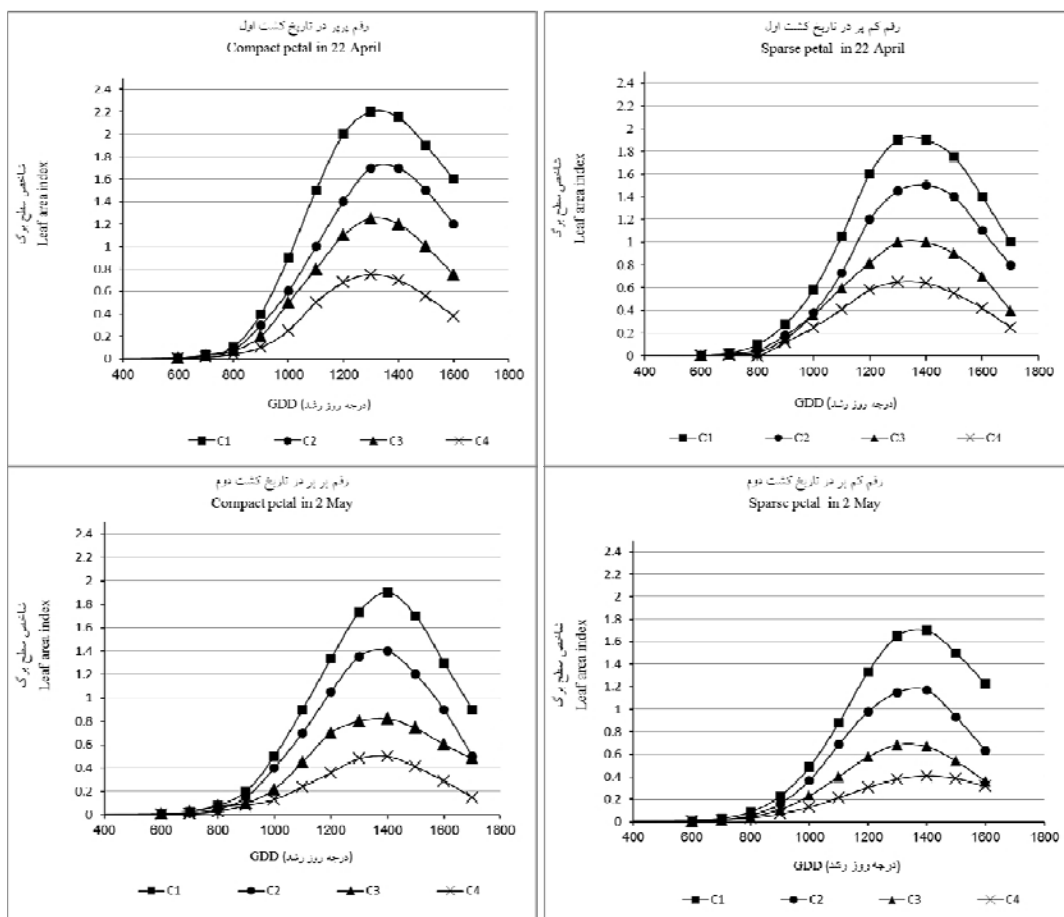
مواد و روش‌ها

به منظور بررسی اثر تاریخ کاشت و تراکم بوته بر شاخص‌های فیزیولوژیکی رشد و صفات کمی و کیفی دو رقم همیشه بهار آزمایشی در سال زراعی ۱۳۹۰-۱۳۸۹ در مزرعه آزمایشی مرکز تحقیقات کشاورزی اراک (واقع در ۳۴ درجه و پنج دقیقه عرض شمالی و ۲۹ درجه و ۴۲ دقیقه طول شرقی و با ارتفاع ۱۷۵۷ متر از سطح دریا) و در یک خاک سیلتی لومنی با pH ۷/۵ و دارای ۱/۱ درصد ماده آلی و هدایت الکتریکی ۰/۹ دسی زیمنس اجرا گردید. آزمایش به صورت اسپلیت فاکتوریل در سه تکرار انجام شد. تیمارهای آزمایشی شامل دو تاریخ کشت ۲ اردیبهشت و ۱۲ اردیبهشت بودند که در کرت‌های اصلی قرار داده شدند و در کرت‌های فرعی دو رقم همیشه بهار (کم پر و پرپر) در چهار تراکم (۴۱، ۴۲، ۵۷ و ۵۷ بوته در متر مربع) در نظر گرفته شد. براساس آزمون خاک کودهای مورد نیاز (۱۵۰ کیلوگرم سولفات آمونیوم، ۱۰۰ کیلوگرم اوره) به خاک اضافه شد. یک سوم کود اوره در زمان آماده‌سازی زمین و بقیه در دو نوبت به صورت سرک

نتایج و بحث

شاخص سطح برگ (LAI)

شکل ۱ روند تغییرات شاخص سطح برگ را تحت تأثیر تراکم و تاریخ کاشت در دو رقم مورد بررسی نشان می‌دهد. همان‌گونه که مشاهده می‌شود در تمامی تیمارها حدود ۶۰۰ درجه روز رشد زندگانی برگ افزایش سطح برگ به دلیل افزایش سریع در تعداد و سطح برگ‌ها آغاز گردید و این روند افزایشی در حدود ۱۳۵۰ درجه روز رشد بعد از کاشت به حداقل خود رسید که باسته شدن کانوپی و حداقل تجمع ماده خشک در تیمارها مصادف بود. با توجه به شکل ۱ روند افزایشی سطح برگ در تراکم‌های بالا نسبت به تراکم‌های پایین از سرعت بیشتری برخوردار است. به طوری که در هر دو تاریخ کاشت مورد بررسی تراکم‌های بالا سطح برگ بیشتری باشد که در تراکم‌های پایین تر داشت. تراکم‌های بیشتری LAI بالاتر برخوردار بودند در هنگام کاهش LAI شبیه بیشتری داشتند. بررسی روند تغییرات LAI در طول فصل رشد نشان داد که شاخص سطح



شکل ۱ - روند تغییرات شاخص سطح برگ ارقام پرپر و کم پر همیشه بهار در تاریخ کشت اول (۲ اردیبهشت) و تاریخ کشت دوم (۱۲ اردیبهشت) در تراکم‌های ۵۷ بوته در متزمریع (C1)، ۴۱ بوته در متزمریع (C2)، ۳۲ بوته در متزمریع (C3) و ۲۶ بوته در متزمریع (C4)

Figure 1- The trend of leaf area index changes in sparse and compact petal marigold at first planting date (22 April) and second planting date (2 May) in 57 (C1), 41 (C2), 32 (C3) and 26 (C4) plant densities in square meter

سبب ایجاد اختلاف معنی‌داری در تجمع ماده خشک شده است. این نتایج با مطالعات سایر محققین که روی گیاهان دارویی بومادران *Hibiscus millefolium* L. (رازیانه، چای ترش) و گل راعی (*Achillea millefolium* L.) و گل راعی (*Hypericum perforatum* L.) مطابقت دارد (۱۳، ۱۶ و ۲۵). تاریخ کاشت دیر هنگام در قیاس با تاریخ کاشت به موقع باعث کاهش تجمع ماده خشک و بالطبع سبب کاهش محصول می‌گردد در کشت تأخیری، گیاه فرصت کافی جهت استفاده از امکانات محیط را ندارد و قادر نخواهد بود عملکردی در حد مطلوب تولید نماید (۱۱). ویدن (۴۵) نیز اظهار داشت که عملکرد ماده خشک مستقیماً با مقدار اشعه جذب شده به‌وسیله برگ‌های گیاه در مدت زمان کاشت تا برداشت ارتباط دارد و تأخیر در تاریخ کاشت تولید ماده خشک را کاهش می‌دهد.

ارتفاع بوته

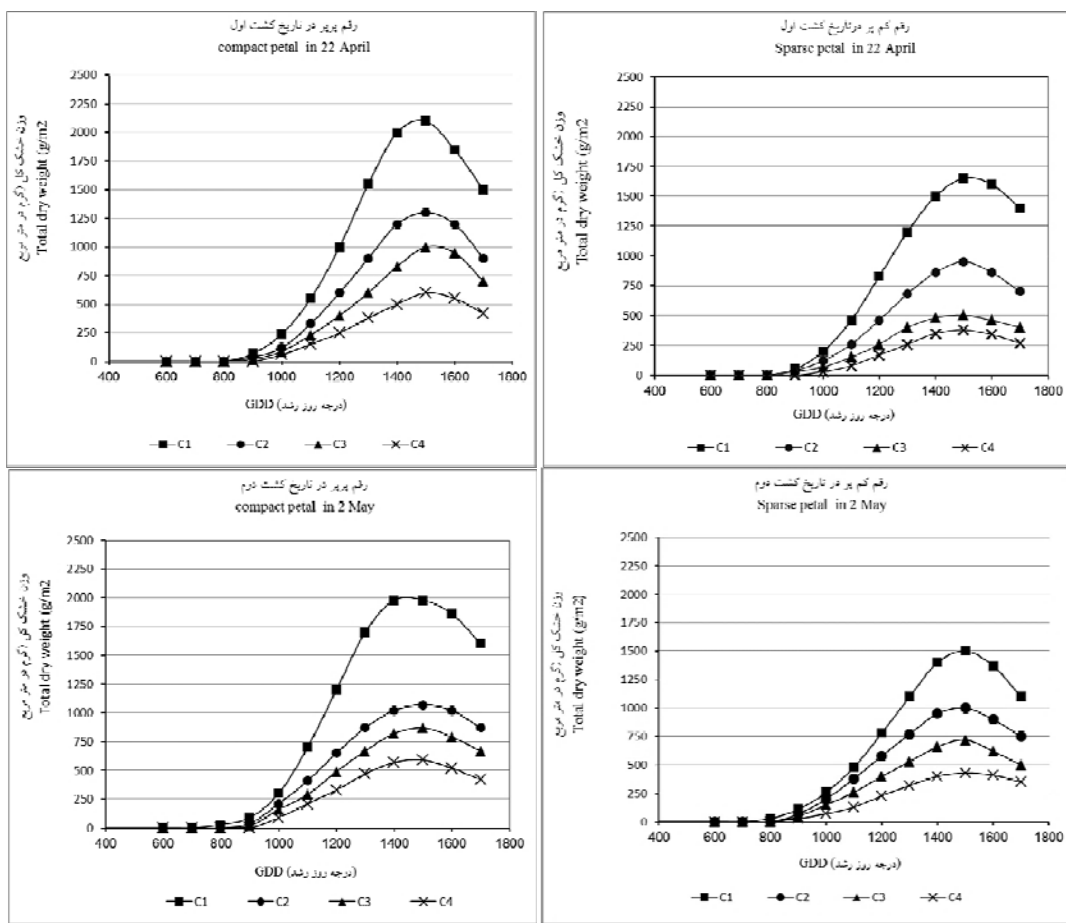
براساس نتایج تجزیه واریانس داده‌های آزمایش علاوه بر اثرات اصلی تاریخ کاشت، تراکم بوته و رقم، بر همکنش دوگانه تیمارهای آزمایش بر صفت ارتفاع بوته همیشه بهار معنی‌دار بود (جدول ۱). براساس نتایج برهمکنش تاریخ کاشت × تراکم بوته بالاترین ارتفاع بوته در تاریخ کشت اول (۲ اردیبهشت) و در تراکم ۵۷ بوته حاصل گردید (جدول ۳). شایان ذکر است که در هر دو تاریخ کاشت افزایش تراکم بوته موجب افزایش ارتفاع همیشه بهار گردید. به‌طوری‌که تراکم ۵۷ بوته در متر مربع در تاریخ کاشت اول و دوم به‌ترتیب ارتفاع بوته را ۲۵/۱ و ۳۴/۴ درصد نسبت به تراکم ۲۶ بوته افزایش داد (جدول ۳)، در بین ارقام مورد بررسی نیز رقم پرپر نسبت به رقم کم پر از ارتفاع بوته بیشتری برخوردار بود (جدول ۳). قابل ذکر است که رقم پرپر در تمامی تراکم‌های آزمایش نیز از ارتفاع بوته بالاتری نسبت به رقم کم پر برخوردار بود (جدول ۴). رقم مذکور در تراکم‌های ۵۷، ۳۲، ۴۱ و ۲۶ بوته ارتفاع را به‌ترتیب ۵/۵، ۳/۶، ۴/۱ و ۶/۴ درصد نسبت به رقم کم پر در همان تراکم‌ها افزایش داد (جدول ۴).

نتایج حاکی از آن است که تأخیر در کشت موجب کاهش ارتفاع بوته همیشه بهار گردید. کوتاه شدن دوره رشد و کاهش فتوستنتر خالص در تیمار تاریخ کاشت دوم (۱۲ اردیبهشت) را می‌توان علت این موضوع دانست (۱۱). رضوانی مقدم و احمدزاده مطلق (۳۸) نیز گزارش نمودند که با افزایش تراکم گیاهی ارتفاع سیاهدانه (*Nigella sativa* L.) افزایش یافت. همچین با افزایش تراکم بوته در متر مربع مشاهده شد که ارتفاع گیاه افزایش یافت. کاهش تراکم گیاهی سبب شده است که نور زیادتری به داخل گیاه نفوذ کند و از این رو رقابت بین بوته‌ها برای جذب نور کمتر شده و ارتفاع گیاهان کاهش یافته است.

در تراکم بالا گیاه سریع‌تر به شاخص سطح برگ مطلوب می‌رسد و مواد فتوستنتری را سریع‌تر در اختیار اندام زایشی قرار می‌دهد و در نتیجه سریع‌تر پیر می‌گردد به عبارت دیگر دوام سطح برگ در تراکم بالا کمتر از تراکم‌های پایین است (۲۸). براساس گزارش کربیمی و صدیق (۲۶) گزارش نمودند که افزایش تراکم گیاه در حد مطلوب سبب می‌گردد که شاخص سطح برگ در تراکم‌های بالا سریع‌تر از تراکم‌های پایین به حداقل مقدار خود برسد. نتایج این تحقیق با نتایج سایر محققین مطابقت دارد (۲۹ و ۴۰). رقم پرپر از شاخص سطح برگ بالاتری نسبت به رقم کم پر برخوردار می‌باشند. کلاوسون و همکاران (۶) در تحقیقات خود نتیجه گرفتند که افزایش سطح برگ باعث افزایش سرعت فتوستنتر می‌شود که این امر روی دیگر کمیت‌های تجزیه و تحلیل رشد از جمله عملکرد اثر می‌گذارد. علت به تاریخ کاشت دوم را می‌توان به وجود دمای مساعدتر برای رشد برگ‌ها و بهره‌برداری بهتر از پتانسیل محیط نسبت داد. تأخیر در تاریخ کاشت سبب می‌شود گیاه نتواند از پتانسیل محیط به خوبی استفاده نماید و سطح برگ کافی جهت دریافت تشعشع تولید کند. این امر موجب می‌گردد در اثر تأخیر در کاشت سطح برگ کمتری و به دنبال آن ماده خشک کمتری تولید شود. نتایج این آزمایش با تحقیقات سایر محققین مطابقت دارد (۲۱).

ماده خشک کل (TDW)

همان‌گونه که در شکل ۲ مشاهده می‌شود با افزایش تراکم بوته در واحد سطح میزان ماده خشک کل نیز افزایش پیدا می‌کند به‌طوری‌که در تمامی تیمارها حداقل ماده خشک کل در تراکم ۵۷ بوته در متر مربع و کمترین آن به تراکم ۲۶ بوته در متر مربع تعلق دارد. از عوامل مؤثر دیگر در میزان TDW می‌توان به عامل رقم اشاره کرد. با توجه به نتایج حاصل دیده می‌شود که رقم پرپر در مقایسه با رقم کم پر از TDW بالاتری برخوردار است. تأخیر در تاریخ کاشت سبب کاهش ماده خشک کل گردید. افزایش ماده خشک کل در تراکم بیشتر را می‌توان به استفاده بهتر از عوامل محیطی در این شرایط نسبت داد. به اظهار بولاک و همکاران (۵) با ازدیاد تراکم به دلیل استفاده بهتر از منابع، مقدار تجمع ماده خشک افزایش می‌یابد. این روند در سایر گیاهان دارویی از جمله ماری تیغال (*Silybum marianum* L.) و رازیانه (*Foeniculum vulgare* L.) نیز مشاهده شده است (۱۲ و ۳۳). براساس نتایج سایر محققین در اثر کاهش فاصله بین ردیف توزیع و نفوذ نور، میزان تهویه بین بوته‌ها، میزان تبخیر و تعرق، حرارت گیاه و خاک، توزیع مواد غذایی و رطوبت خاک دچار تغییر شده و روی عملکرد تأثیر می‌گذارد و با ایجاد تراکم مطلوب، عملکرد مناسب حاصل می‌گردد (۱۲). تأخیر در تاریخ کاشت



شکل ۲- روند تغییرات وزن خشک کل ارقام پرپر و کم پر همیشه بهار در تاریخ کشت اول (۲ اردیبهشت) و تاریخ کشت دوم (۱۲ اردیبهشت) در تراکم‌های ۵۷ بوته (C1)، ۴۱ بوته (C2)، ۳۲ بوته (C3) و ۲۶ بوته (C4) در مترمربع

Figure 2- The trend of total dry weight changes of sparse and compact petal marigold in first planting date (22 April) and second planting date (2 May) in 57 (C1), 41 (C2), 32 (C3) and 26 (C4) plant densities in square meter

به طوری که تاریخ کشت ۲ اردیبهشت تیمار ۵۷ بوته و ۴۱ بوته در متر مربع نسبت به تراکم ۲۶ بوته تعداد گل را به ترتیب $\frac{3}{4}$ و $\frac{3}{4}$ درصد کاهش داد (جدول ۳). رقم پرپر نیز در هر دو تاریخ کاشت از تعداد گل بیشتری نسبت به رقم کم پر داشت (جدول ۳). رقم پرپر در تراکم‌های مختلف نیز از تعداد گل بیشتری نسبت به رقم کم پر برخوردار بود (جدول ۴). در چنین شرایطی رقم پرپر نسبت به رقم کم پر در تراکم‌های ۵۷، ۴۱، ۳۲، ۲۶ بوته در مترمربع تعداد گل را به ترتیب $\frac{5}{5}$ ، $\frac{9}{8}$ ، $\frac{7}{5}$ و $\frac{9}{7}$ درصد نسبت به رقم کم پر و در همان تراکم‌های کاشت بهبود داد (جدول ۴). به نظر می‌رسد تأخیر در کشت از طریق کوتاه کردن فصل رشد و کاهش پتانسیل فتوستنتزی گیاه و مصادف شدن دوره گلدهی با دماهی‌ای بالا باعث شد تا تعداد گل در واحد سطح کاهش یابد (۱۱). در حالی که در تاریخ کاشت اول تولید و اختصاص مواد فتوستنتزی بیشتر به اندام‌های زایشی، شرایط مناسبی را برای افزایش تعداد واحد زایشی فراهم نموده است (۱۴). در گیاه

سرمهنیا و کوچکی (۴۱) معتقدند که در هنگام رقابت برای نور ارتفاع گیاهان ممکن است به دلیل اثر انتیوله کنندگی سایه شدید افزایش یابد. رسام و همکاران (۳۷) نیز گزارش نمودند که افزایش تراکم بوته انسیون (*Pimpinella anisum* L.) موجب افزایش ارتفاع بوته گردید.

تعداد گل در بوته

نتایج آزمایش حاکی از آن است که بر همکنش دوگانه تیمارهای آزمایش بر تعداد گل در بوته همیشه بهار معنی دار گردید ولی بر همکنش سه‌گانه تیمارها بر این صفت اثر معنی داری نداشت (جدول ۱). براساس برهمکنش تاریخ کاشت × تراکم بوته بالاترین تعداد گل در تاریخ کاشت اول (۲ اردیبهشت) و در تراکم ۲۶ بوته در متر مربع حاصل گردید (جدول ۳) و افزایش تراکم در هریک از تاریخ‌های کاشت موجب کاهش تعداد گل در بوته همیشه بهار گردید.

باعث کاهش عملکرد در تاریخ‌های کاشت دیرتر گردیده است (۲۰). تأخیر در تاریخ کاشت بر روی وزن هزار دانه گیاهان دارویی دیگر از جمله زیره سبز (*Cuminum cyminum L.*) و گیاهان زراعی از قبیل گلنگ (هندل) (*Carthamus tinctorius L.*) نیز مؤثر بوده است (۷ و ۴۴).

شاخص کلروفیل

براساس نتایج آزمایش علاوه بر اثرات ساده تیمارهای آزمایش، اثر متقابل دوگانه تیمارهای آزمایش بر شاخص کلروفیل در سطح احتمال ۵ درصد معنی دار بود (جدول ۱). در این بین بالاترین شاخص کلروفیل در تاریخ کاشت ۲ اردیبهشت و در تراکم ۵۷ بوته در متر مشاهده گردید و این شاخص با تأخیر در کاشت کاهش یافت (جدول ۳). تاریخ کشت دوم (۱۰ روز تأخیر) نسبت به تاریخ کشت اول شاخص کلروفیل را در تراکم ۵۷ بوته $18/4$ درصد کاهش داد (جدول ۳). در بین رقم‌های مورد بررسی نیز بیشترین کلروفیل در رقم پرپر محاسبه گردید و چنین روندی در هر دو تاریخ کاشت مشاهده شد (جدول ۳). رقم پرپر در تراکم‌های مختلف نیز از شاخص کلروفیل بهتری برخوردار بود. به طوری که این رقم در تراکم‌های ۵۷، ۳۲، ۴۱ و ۵۸ بوده شاخص کلروفیل را به ترتیب $2/24$ ، $4/9$ ، $5/58$ و $8/95$ درصد نسبت به رقم کم پر افزایش داد (جدول ۴). به نظر می‌رسد افزایش تراکم در هر دو رقم مورد بررسی موجب افزایش شاخص کلروفیل شده است (جدول ۴). داتا و لاهیری (۱۰) نیز طی یک مطالعه بر گیاه عدس (L. *Lens culinaris*) اظهار داشتند، که با افزایش تراکم، میزان کلروفیل تا یک حد اپتیمیم با افزایش مواجه می‌شود. مجنون حسینی و همکاران (۳۰) نیز اذعان داشتند که افزایش تراکم بوته موجب افزایش شاخص کلروفیل نخود (L. *Cicer arietinum*) گردید. به نظر می‌رسد بالاتر بودن درصد کلروفیل در تاریخ کاشت زودتر می‌تواند به دلیل طولانی تر بودن فصل رشد و استفاده از شرایط اقلیمی مناسب اوایل بهار باشد.

درصد روغن

تاریخ کاشت، تراکم و رقم همچنین برهمکنش دوگانه و سه‌گانه تیمارهای آزمایش بر درصد روغن دانه همیشه بهار اثر معنی داری در سطح احتمال ۱ درصد داشتند (جدول ۱). تأخیر در کاشت، کاهش تراکم بوته در واحد سطح و کشت رقم کم پر سبب کاهش درصد روغن گردید (جدول ۲). بررسی برهمکنش تاریخ کاشت \times تاریخ کاشت نشان می‌دهد که تأخیر در کشت موجب کاهش درصد روغن گردید به طوری که تاریخ کشت دوم در تراکم ۵۷ بوته در متر مربع $13/7$ درصد روغن را نسبت به همان تراکم اما در تاریخ کشت اول کاهش داد (جدول ۳). قابل ذکر است که رقم پرپر در هر دو تاریخ کاشت و در تمامی تراکم‌ها درصد روغن بالاتری نسبت به رقم کم پر

نیسون نیز کاهش تعداد واحد زایشی را بر اثر تأخیر کاشت گزارش گردیده است (۳۷). با توجه به اینکه همیشه بهار گیاهی رشد نامحدود است، تنظیم تراکم مناسب مخصوصاً در طی دوره رشد زایشی از اهمیت زیادی برخوردار است (۴۲). از طرف دیگر افزایش تراکم باعث می‌شود گیاه منابع (فضاء، آب و نیتروژن) کمتری جهت افزایش بیش از حد رشد در اختیار داشته و در نتیجه توازن مناسب میان رشد رویشی و زایشی برقرار نشده و نهایتاً از تعداد گل کمتری در تراکم‌های بالا برخوردار باشد (۳۱). در همین رابطه مارتین و دئو (۳۲) اظهار داشتند که با افزایش تراکم بر اثر تشدید رقابت تعداد گل در بوته کاهش می‌باشد که نتیجه تحقیق حاضر با آن مطابقت دارد. قابل ذکر است که رقم پرپر پتانسیل بالاتری در تولید گل داشت.

وزن هزار دانه

همان‌گونه که در جدول شماره ۱ ملاحظه می‌شود تاریخ کاشت، تراکم، رقم و همچنین اثر متقابل تراکم \times رقم، تاریخ کاشت \times رقم و بر همکنش تاریخ کاشت \times تراکم اختلاف معنی داری در سطح ۱ درصد بر وزن هزار دانه به وجود آورده است. اما اثرات متقابل تاریخ کاشت \times تراکم \times رقم بر وزن هزار دانه معنی دار نبود. براساس جدول ۲ با افزایش تراکم و تاریخ کشت زودتر وزن هزار دانه همیشه بهار افزایش یافت. دیگر محققین نیز افزایش وزن هزار دانه را در راستای افزایش تراکم در حد مطلوب تأیید نموده‌اند (۰ و ۴۴). با توجه به بر همکنش تاریخ کاشت در تراکم بوته مشاهده می‌گردد که بالاترین وزن هزار دانه همیشه بهار در تراکم ۵۷ بوته و در تاریخ کشت ۲ اردیبهشت و کمترین وزن هزار دانه در تراکم ۲۶ بوته در متر مربع و در تاریخ کشت ۱۲ اردیبهشت حاصل گردید (جدول ۳). بررسی اثر متقابل تراکم و رقم بر وزن هزار دانه نشان می‌دهد که بیشترین وزن هزار دانه در تاریخ کاشت اول و رقم پرپر و کمترین وزن هزار دانه در تیمار تاریخ کاشت دوم و رقم کم پر حاصل گردید (جدول ۴). شایان ذکر است که رقم پرپر در اکثر تراکم‌های گیاهی مورد بررسی از وزن هزار دانه بالاتری برخوردار بود (جدول ۴). که این تفاوت به پتانسیل رقم پرپر در تولید دانه با وزن بیشتر مربوط می‌باشد. وزن نهایی دانه تا حدود زیادی بین ژنتیپ‌ها متغیر است (۳). براساس نتایج به دست آمده تأخیر در کاشت، کاهش تراکم بوته در متر مربع و استفاده از رقم کم پر موجب کاهش وزن هزار دانه همیشه بهار گردیده است. از آنجا که تاریخ کاشت بر طول دوره‌های رویشی و زایشی گیاه اثر می‌گذارد و همچنین طول دوره گلدهی و پرشدن دانه ارتباط مثبت بالایی با عملکرد دانه دارد، بنابراین به نظر می‌رسد که با توجه به کاهش فاصله سبز شدن گیاه تا گلدهی و همچنین گلدهی تا رسیدگی فیزیولوژیکی در کشت‌های دیرتر، گیاه قبل از رسیدن به شاخص سطح برگ مناسب وارد فاز زایشی گردیده و کاهش دریافت انرژی نورانی توسط برگ‌ها

تراکم بوته از جمله فاکتورهای مهم زراعی است به طوری که اگر تراکم مطلوب باشد کاهش رقابت بین گیاهان مجاور می‌تواند تأثیر مطلوبی بر شکل و اندازه نهایی گیاه همچنین عملکرد کمی و کیفی گیاهان داشته باشد (۱۸). افزایش درصد روغن در راستای افزایش تراکم بیان کننده این مطلب است که با فراهم آوردن تراکم مطلوب امکان استفاده از شرایط محیطی مناسب را برای گیاه فراهم کرده و گیاه قادر است محصول مناسبی تولید نماید (۳۵).

داداشت (جدول ۳ و جدول ۴). رقم پرپر در تراکم‌های ۵۷ بوته و ۲۶ بوته درصد روغن را به ترتیب $3/3$ و $1/3$ درصد نسبت به رقم کم پر افزایش داد (جدول ۴). براساس نتایج برهمکنش سه گانه تاریخ کاشت \times تراکم بوته \times رقم ملاحظه می‌گردد که بالاترین درصد روغن در رقم پرپر، در تاریخ کاشت ۲ اردیبهشت و با تراکم ۵۷ بوته در متر مربع حاصل گردید (شکل ۱). گزارش‌های متعددی حاکی از تأثیر تراکم بوته بر میزان مواد مؤثره گیاهان دارویی می‌باشد (۳۶ و ۳۹).

جدول ۱- تجزیه واریانس (میانگین مربعات) اثر سطوح مختلف تاریخ کاشت، تراکم بوته و رقم بر برشی ویژگی‌های رشدی همیشه بهار
Table 1- Analysis variance of different levels effect of planting date, plant density and variety on some growth parameters of marigold

منابع تغییرات Source of variation	درجه آزادی Degree of freedom	ارتفاع بوته Plant height	تعداد گل در بوته Number of flowers in plant	وزن ۱۰۰۰ دانه 1000 seed weight	میانگین مربعات Means of square		
					شاخص کلروفیل SPAD Number	درصد روغن % Oil	درصد اساسی Essential % oil
تاریخ کاشت Planting date	1	292.02**	42.64**	43.58**	15.28	40.92**	34.7**
خطای ۱ Error 1	2	28.69	0.46	0.11	34.06	0.005	0.001
تراکم بوته Plant density	3	461.4**	13.21**	16.71**	12.8	8.95**	5.6**
رقم variety	1	241.5**	0.81*	10.02**	41.68	0.31**	0.9**
تراکم \times رقم variety \times Plant density	3	11.3	1.20**	0.66**	23.7*	0.06*	0.07*
تاریخ کاشت \times تراکم Plant \times Planting date density	3	19.47**	2.40**	0.46**	11.2*	0.23*	0.3*
تاریخ کاشت \times رقم variety \times Planting date	1	19.2*	2.10**	0.26 ns	5.46*	0.08*	0.011*
تاریخ کاشت \times رقم \times تراکم variety \times Planting date \times Plant density	3	12.61 ns	0.80 ns	0.07 ns	3.91 ns	0.13 ns	0.2 ns
خطای ۲ Error 2	28	4.51	0.10	0.09	1.1	0.07	0.04
خریب تغییرات CV (%)	-	9.2	10.5	7.5	8.1	6.4	5.8

**، * و ns به ترتیب معنی دار در سطح ۱ درصد و ۵ درصد و غیر معنی دار

**, *, ns: Significant at 1% and 5% probability level, Non-significant difference, respectively

جدول ۲- مقایسه میانگین سطوح مختلف تاریخ کاشت، تراکم بوته و رقم بر صفات کمی و کیفی همیشه بهار

Table 2- Mean comparison of different levels of planting date, plant density and variety on quantity and quality traits of marigold

تیمارها Treatments	ارتفاع بوته Plant height (cm)	تعداد گل در بوته Number of flowers in plant	وزن ۱۰۰۰ دانه 1000 Seed weight (g)	شاخص کلروفیل SPAD Number	درصد روغن %Oil	درصد اسانس Essential % oil
تاریخ کاشت						
۲ اردیبهشت 22 April	43.88 a	18.45 a	113.13 a	38.25 a	16.9 a	0.182 a
۱۲ اردیبهشت 2 May	31.48 b	13.73 b	117.43 b	29.59 b	15.05 b	0.131 b
تراکم بوته						
۵۷ بوته ۵۷ plants	44.65 a	13.80 d	204.04 a	38.30 a	16.41 a	0.182 a
۴۱ بوته ۴۱ plants	39.8 b	14.5 c	135.00 b	34.60 b	16.3 a	0.166 b
۳۲ بوته ۳۲ plants	34.6 c	16.57 b	91.32 c	31.84 c	15.85 c	0.147 c
۲۶ بوته ۲۶ plants	31.6 d	19.5 a	70.77 d	30.95 d	15.06 d	0.133 d
Variety رقم						
کم پر Sparse petal	43.20 b	15.80 b	118.55 b	36.98 b	15.89 b	0.153 b
پر Compact petal	47.00 a	17.26 a	132.01 a	39.10 a	16.05 a	0.164 a

در هر ستون میانگین‌هایی که حداقل دارای یک حرف مشترک هستند فاقد اختلاف معنی‌دار در سطح پنج درصد با آزمون دانکن می‌باشند.

In each column, means which followed by similar letter(s) are not significantly different at 5% probability level.

۵۷ بوته در متر مربع و در رقم پرپر مشاهده شد، در حالی که کمترین اسانس با کشت رقم کم پر و در تراکم ۲۶ بوته در متر مربع حاصل گردید (جدول ۴). در همین رابطه جولی و همکاران (۲۲) اذعان داشتند در زراعت همیشه بهار نحوه کشت و خصوصیات زراعی می‌تواند بر میزان ماده مؤثره و روغن آن تأثیر بگذارد که تحقیق حاضر با آن مطابقت دارد. کشت به هنگام گیاه سبب شده تا گیاه فرصت کافی برای استفاده از شرایط محیطی را داشته باشد و بتواند محصول بیشتر و درصد اسانس بالاتری در قیاس با گیاهان کشت شده در تاریخ کاشت دوم تولید کند (۳۴).

نتیجه‌گیری

به طور کلی، تأخیر در تاریخ کاشت موجب کاهش شاخص‌های رشد از جمله TDW گردید. تأخیر کاشت به دلیل کوتاه شدن دوران رشد رویشی سبب کاهش LAI نسبت به تاریخ کاشت اول شد.

درصد اسانس
براساس نتایج تجزیه واریانس داده‌ها علاوه بر اثرات اصلی آزمایش، برهمکنش دوگانه تیمارهای تاریخ کاشت، تراکم بوته و رقم بر درصد اسانس همیشه بهار معنی‌دار گردید (جدول ۱). براساس اثر متقابل تاریخ کاشت × تراکم بوته، بالاترین درصد اسانس در تاریخ کاشت ۲ اردیبهشت و با تراکم ۵۷ بوته در متر مربع حاصل گردید. این در حالی بود که تأخیر در کاشت موجب کاهش درصد اسانس همیشه بهار شد (جدول ۳). از سوی دیگر برهمکنش تاریخ کاشت × رقم نشان می‌دهد که کشت ارقام پر پر در هر دو تاریخ کاشت از درصد اسانس بالاتری نسبت به رقم کم پر برخوردار بود (جدول ۳). رقم پرپر در تاریخ کاشت ۲ و ۱۲ اردیبهشت درصد اسانس را $\frac{3}{4}$ و $\frac{3}{4}$ درصد نسبت به رقم کم پر در همان تاریخ کاشت افزایش داد (جدول ۳). رقم پرپر در تراکم‌های مختلف نیز از درصد اسانس بالاتری برخوردار بود (جدول ۴). در این بین بالاترین درصد اسانس در تراکم

اردیبهشت و در رقم پرپر مشاهده شد. این درحالی بود که با افزایش تراکم نیز تمامی صفات مورد بررسی (به استثنای تعداد گل در بوته) افزایش یافت. براساس نتایج آزمایش کشت رقم پرپر در تاریخ ۲ اردیبهشت و تراکم گیاهی ۵۷ بوته در متر مربع بهترین عملکرد همیشه بهار را حاصل نمود.

بدهیه است که کاهش شاخص سطح برگ سبب کاهش میزان فتوسنتز در برگ شده و در نتیجه کاهش رشد را به دنبال داشته است. افزایش تراکم به دلیل استفاده بهینه از شرایط و عوامل محیطی سبب افزایش شاخص‌های رشدی، صفات کمی و کیفی همیشه بهار گردید. در همین رابطه بالاترین ارتفاع بوته، تعداد گل، وزن هزار دانه، شاخص کلروفیل و درصد روغن و اسانس در تاریخ کشت ۲

جدول ۳- مقایسه میانگین اثر مقابل تاریخ کاشت × تراکم و اثر مقابل تاریخ کاشت × رقم بر صفات کمی و کیفی همیشه بهار

Table 3- Mean comparison of interaction effects of planting date × plant density and planting date × variety on quantity and quality traits of marigold

تیمارها Treatments	ارتفاع بوته Plant height (cm)	تعداد گل در بوته Number of flowers in plant	وزن دانه 1000 Seed weight (g)	شاخص کلروفیل SPAD Number	درصد روغن %Oil	درصد اسانس Essential % oil
۲ اردیبهشت 22 April	۵۷ بوته 57 plant	51.01 a	15.6 cd	9.73 a	42.2 a	17.84 a
	۴۱ بوته 41 plant	46.3 b	16.7 c	9.01 b	39.1 b	17.15 b
	۳۲ بوته 32 Plant	40.05 c	19.11 b	7.71 c	36.4 c	16.74 c
	۲۶ بوته 26 plant	38.18 cd	22.4 a	7.33 d	35.3 c	16.20 d
۱۲ اردیبهشت 2 May	۵۷ بوته 57 plant	38.3 d	12.01 f	7.92 c	34.4 a	15.39 e
	۴۱ بوته 41 plant	33.32 e	12.3 f	7.05 d	30.1 b	15.40 e
	۳۲ بوته 32 Plant	29.2 f	14.04 d	6.26 e	27.28 c	14.97 g
	۲۶ بوته 26 plant	25.11 g	16.6 c	4.93 f	26.6 c	14.30 h
۲ اردیبهشت 22 April	کم پر Sparse petal	45.5 bc	18.1 b	Ns	38.4 b	16.9 b
	پر Compact petal	49.4 a	21.4 a	Ns	41.4 a	17.6 a
۱۲ اردیبهشت 2 May	کم پر Sparse petal	40.9 d	13.8 d	Ns	33.3 d	15.1 d
	پر Compact petal	44.6 c	16.03 c	Ns	36.02 c	15.8 c

در هر ستون میانگین‌هایی که حداقل دارای یک حرف مشترک هستند قادر اختلاف معنی‌دار در سطح پنج درصد با آزمون دانکن می‌باشند.

Means in each column, followed by similar letter(s) are not significantly different at 5% probability level

جدول ۴- مقایسه میانگین اثر متقابل تراکم × رسم بر صفات کمی و کیفی همیشه بهار

Table 4- Mean comparison of interaction effects of plant density ×variety on quantity and quality traits of marigold

تیمارها Treatments	ارتفاع بوته Plant height (cm)	تعداد گل در بوته Number of flowers in plant	وزن ۱۰۰۰ دانه 1000 Seed weight (g)	شاخص کلروفیل SPAD Number	درصد روغن %oil	درصد اسانس Essential % oil
57 بوته 57 plant	کم پر Sparse petal	48.1 b	12.4 fg	8.09 b	39.02 c	17.23 b
	از پر Compact petal	50.2 a	13.13 f	9.56 a	40.10 c	17.8 a
41 بوته 41 plant	کم پر Sparse petal	44.5 d	14.6 e	7.86 bc	42.10 b	16.64 d
	از پر Compact petal	46.2 c	16.22 c	8.2 b	44.3 a	16.6 c
32 بوته 32 Plant	کم پر Sparse petal	41.2 e	17.01 c	6.48 d	35.31e	16.2 f
	از پر Compact petal	43.6 d	18.4 bc	7.5 c	37.40 d	16.52 de
26 بوته 26 plant	کم پر Sparse petal	34.6 g	19.2 ab	5.71 e	31.5 f	15.6 h
	از پر Compact petal	39.2 f	21.3 a	6.55 d	34.6 ef	15.81 g
						0.131 f

در هر ستون میانگین‌هایی که حداقل دارای یک حرف مشترک هستند فاقد اختلاف معنی‌دار در سطح پنج درصد می‌باشند.

Means in each column, followed by similar letter(s) are not significantly different at 5% probability level

References

1. Aflatuni, A. 2005. The yield and essential oil content of mind (*Mentha* ssp.) in Ontario. Canada Journal of Essential oil Research 35: 663-666.
2. Azari, A., and Khajeh poor, M. 2003. Effect of planting method on yield and yield components on *Carthamus tinctorious* L. Journal of science and technology of agriculture and natural resource 1 (7): 20-25.
3. Azizi, M., Soltani, A., and Khavari, S. 2008. Rape, physiology, breeding, bio technology (translation). Jahad, Mashhad University Press, 158 pages.
4. Beheshti, A., Koocheki, A., and Nasiri Mahalati, M. 2002. The effect of planting pattern on light interception and radiation use efficiency in canopy of three maize cultivars. Seed and Plant Improvement Journal 18 (4): 417-431. (in Persian).
5. Bullock, D. G., Nielson, R. L., and Nyquist, W. E. 1993. A growth analysis comparison of corn rows in conventional and equidistant plant spacing. Crop Science 28: 254-285.
6. Clawson, K. L., Specht, J. E., and Blad, B. L. 1986. Growth analysis of soybean Isolines differing in pubescence density. Agronomy Journal 78: 164-172.
7. Dadashi, N. 2001. Effect of sowing date on yield of safflower. Master Thesis Agronomy, College of Agriculture, Isfahan University of Technology. (in Persian with English abstract).
8. Dehdashti, M., Soleimani, A., and Nasir, B. M. 2008. Effect of delayed planting on physiological parameters of rapeseed (*Brassica napus* L.). Journal of research in the Agricultural Sciences 4 (2): 163-152. (in Persian).
9. Draycott, A. P. T., and Webb, D. J. 1971. Effects of nitrogen fertilizer, plant population and irrigation on sugar beet yields. Journal of Agriculture Science 76: 261-267.
10. Dutta, R. K., and Lahiri, B. P. 1998. Growth and yield of Lentil in relation to population pressure. Lens Newsletter 25 (1-2): 27-29.
11. Estakhr, A., and Choukan, R. 2006. Effects of planting date and density of female parent B73 on hybrid seed production of KSC704 in Fars province. Seed and plant improvement journal 22 (2):167-183. (in Persian).
12. Fatehi, F., Bahramnejad, S., Maleki, M., Pirkhezri, M., and Shamsodin Vandi, R. 2007. Effect of density on yield and yield components of *Silybum marianum*. The third conference of medicinal plants, Iran. (in Persian).

13. Fotokian, M., Yousefzadeh, Y., and Talebzadeh, L. 2007. Effect of sowing date on yield and dry matter and content of Hypericum of (*Hypericum perforatum* L). The third conference of medicinal plants, Iran. (in Persian with English abstract).
14. Galavi, M., Ramroudi, M., and Mansouri, S. 2007. Effect of sowing dates on yield, yield components and quality of isabgol (*Plantago ovata*) in Sistan region. Pajouhesh and Sazandegi 77: 135-140. (in Persian with English abstract).
15. Gazim, Z. C., Rezende, C. M., Fraga, S. R., and Svidzinski, T. I. E. 2008. Antifungal activity of the essential oil from *Calendula officinalis* L. growing in Brazil. Brazilian Journal of Microbiology 39: 61-63.
16. Ghanbari, A., Mayer, B., and Sarani, Sh. 2007. Effect of planting date and row spacing on yield of hibiscus tea. The third conference of medicinal plants, Iran. (in Persian).
17. Ghani A., and Azizi, M. 2007. Effect of sowing date on morphological characteristics, yield and essential oil of (*Achillea millefolium* subsp. *millefolium*). The third conference medicinal plants, Iran. (in Persian).
18. Hosseinpour, M., Pirzad, A., Habibi, H., and Fotokian, M. H. 2011. Effect of biological nitrogen fertilizer (*Azotobacter*) and plant density on yield, yield components and essential oil of Anise. Journal of Agricultural Science 2 (21): 69-86. (in Persian with English abstract).
19. Imani, A. 2001. Effect of sowing date on yield and yield components on *calendula officinalis* L. in Ardabil. Iranian congress medicinal plants.
20. Iran-Nejad, H., and Hoseini Mazinani, S. M. 2005. The effect of planting date on the seed yield of three varieties of oil flax in Varamin. Journal of Agricultural Sciences 11 (4): 111-120. (in Persian with English abstract).
21. Javaheri, M. A., Zinaldini, A., and Najafi, H. 2004. Effect of planting date on growth indices of sugar beet in Arzoieh Region (autumn sowing). Pajouhesh and Sazandegi 62: 58-63. (in Persian with English abstract).
22. Joly, R., Forcellab, F., Petersonb, D., and Eklundb, J. 2013. Planting depth for oilseed calendula, Industrial Crops and Products 42: 133-136.
23. Karimi, M., and Azizi, M. 1994. Analysis of crop. Jahad, Mashhad University Press, 111 pages.
24. Karimi, M. M., and Siddique, K. H. M. 1991. Crop growth and relative growth rates of old and modern wheat cultivars. Australian Journal of Agriculture Research 42: 13-20.
25. Kazerani, N., SadAbadi, L., and Dashti, P. 2007. Effect of sowing date on yield and agronomic traits of fennel under Borazjan climatic conditions. The third conference of medicinal plants, Iran. (in Persian).
26. Khalid, A., and Jaime, T. D. A. 2010. Yield, essential oil and pigment content of *Calendula officinalis* L. flower heads cultivated under salt stress conditions. Scientia Horticulturae 126: 297-305.
27. Langdon, P. W., Whileya, A. W., Mayer, R. J., Pegg, K. G., and Smith, M. K. 2008. The influence of planting density on the production of Goldfinger (*Musa* spp., AAAB) in the subtropics. Scientia Horticulturae 115: 238-243.
28. Lebaschy, M. H., Rezai, H., and Karim, M. 1994. Evaluation of influenced growth physiological parameters on oat and barley cultivars. Pajouhesh and Sazandegi 24: 53-46. (in Persian with English abstract).
29. Lebaschy, M. H., and Sharifi, E. 2004. Application of physiological growth indices for suitable harvesting of Hypericum perforatum. Pajouhesh and Sazandegi 65: 65-75. (in Persian with English abstract).
30. Majnoon Hosseini, N., Mohammadi, H., Poustini, K., and Zeinaly Khanghah, H. 2003. Effect of plant density on agronomic characteristics, chlorophyll content and stem emobilization percentage in Chickpea Cultivars (*Cicer arietinum* L). Iranian Journal of agriculture science 34 (4): 1011-1019. (in Persian with English abstract).
31. Marisol-Berti, D., Rosemarie wilckens, E., Felicitas Hevia, H., and Alejandro Montecino, Y. 2003. Influence of sowing date and seed origin on the of capitol *Calendula officinalis* L. during two growing seasons in Chili. Agriculture technology 63 (1): 3-9.
32. Martin, R. J., and Deo, B. 2000. Effect of plant population on calendula (*Calendula officinalis* L.) flower production. New Zealand Journal of Crop and Horticultural Science 28: 37-44.
33. Mohamadi, Kh., Nabiolahi, K., Kalamian, S., and Souri, N. 2007. Effect of plant density and Nitrogen fertilizer levels on phonological stages of fennel. The third conference of medicinal plants, Iran. (in Persian).
34. Morteza, E., Akbari G. A., Modares-Sanavi, S. A. M., and Aliabadi Frahani, H. 2009. Effects of sowing date and planting density on quality features in Valerian (*Valeriana officinalis* L.). Journal of Ecology and the Natural Environment 1 (9): 201-205.
35. Pirzad, A. R., Aliyari, H., Shakiba, M. R., Zehtab-Salmasi, S., and Mohammadi, S. A. 2008. Effects of irrigation and plant density on water-use efficiency for essential oil production in *Matricaria chamomilla* L. Agriculture Science 18 (2): 49-58. (in Persian with English abstract).
36. Rahmani, N., Valadabadi, S., Daneshian, j., and Bigdelli, M. 2008. Effect of nitrogen application on yield and physiological parameters of Calendula plants under drought stress. Journal of Medicinal and Aromatic Plants 1: 108-101. (in Persian with English abstract).
37. Rassam, Gh., Naddaf, M., and Sefidcon, F. 2007. Effect of planting date and plant density on yield and seed yield components of Anise (*Pimpinella anisum* L). Pajouhesh and Sazandegi 75: 127-133. (in Persian with English abstract).

38. Rezvani Moghaddam, P., and Ahmadzadeh Motlagh, M., 2007. Effect of sowing date and plant density on yield and yield components of black cumin (*Nigella sativa*) in Islamabad-Ghayein. *Pajouhesh and Sazandegi* 76: 62-68. (in Persian with English abstract).
39. Salamon, I. 2007. Effect of the internal and external factors on yield and qualitative-quantitative characteristics of chamomile essential oil. I International Symposium on Chamomile Research, Development and Production. *Acta Horticulture* 749: 45-64.
40. Samadi, A. 2002. Effect of plant density and sowing date on yield of two varieties of rapeseed. Master Thesis Agronomy, College of Agriculture, Shiraz University. (in Persian with English abstract).
41. Sarmdyna, Gh., and Koocheki, A. 1990. *Crop Physiology* (Translation). Jahad, Mashhad University Press, 467 p.
42. Tabatabaie, R., Amini Dehaghi, M., Shahmoradi, M., and Kaviani Ahangar, F., 2011. Effects of planting date and different amounts of nitrogen fertilizer on the yield and yield components of two marigold varieties (*Calendula Officinalis*). *Journal of Agronomy Science* 3 (5): 103-118. (in Persian with English abstract).
43. Valadares, S. V., Honorio, I. C. G., Junior, C. F. C., Valadares, R. V., Barbosa, C. K. R., Martins, E. R., and Fernandes, L. A. 2010. Production of Marigolds planted on Bahia grass as a function of organic fertilization. *Biotemas* 23: 21-24.
44. Veisi, H., Bahram Nejad, S., Rouzrokh, M., and Ahmadi, Gh. 2007. Effect of planting date, plant density and spacing on yield and yield components of Cumin in Salas-Babajani. The third conference medicinal plants, Iran. (in Persian).
45. Weeden, B. R. 2000. Potential of sugar beet on the Atherton tableland. Rural Industries Research and Development Corporation. 102 p.



Effects of Planting Date and Plant Density on Physiological Indices, Quantity and Quality Traits of Two Varieties of Marigold (*Calendula officinalis* L.)

A. Sepehri^{1*} - T. Mehranrad² - A. Karami³

Received: 16-04-2014

Accepted: 13-06-2015

Introduction

Marigold (*Calendula officinalis* L.) is originated from North West Africa and Mediterranean area, is a medicinal plant used for several purposes. It is an annual herb or short-lived perennial from the Asteraceae family with yellow or orange flowers. The Marigold has been used as a traditional medicine and food dye, but is currently used as an anti-inflammatory and wound healer. It is grown for drug, obtained from the flowers. The flowers blossom during summer three or more times per year. The essential oil of yellow or orange petals of *Calendula officinalis* L. is one of the important yield components which is used for food and medicine. Moreover, the seed has an oil content of 5-20 %. Seed oil could be used as a binder in paints, coating and cosmetics.

Growth, development and production of medicinal plants, as well as other plants are affected by genetic and agronomic factors. Planting date and plant density are two most important factors that can affect yield and yield components. Planting date affects the quantity and quality of secondary metabolites of medicinal plants. The optimum sowing date and plant density can improve the light and temperature absorption and other factors during the growing season. The positive effects of optimal planting date and plant density has been described by a number of researchers. The Plant population is dependent on the plant characters, growth period, time and method of cultivation. Also, the suitable sowing date has advantages for maximum production. Early sowing in the spring causes weakly establishment of plant and late planting date shortens growth period and simultaneous flowering period due to high temperature in summer. In this study, the effects of plant density and planting date on physiological indices, quantity and quality of two varieties of spare and compact marigold has been evaluated.

Materials and Methods

In order to determine the effects of planting date and plant density on physiological indices, quantity and quality traits of two varieties of marigold (*Calendula officinalis* L.), a split-factorial experiment with three replications was carried out in agricultural research station in Arak (latitude: 34° 5' N; longitude: 29° 42' E; 1757 m altitude) in 2010 the growing season. Soil was silty-loamy with pH of 7.5 and EC of 0.8 Ds ms-1. The experimental factors included two planting dates (22 April and 2 May), four planting densities (26, 32, 41 and 57 plants/m²) and two varieties (sparse and compact petal). Thinning was performed 20 days after cultivation. Irrigation was carried out in 7 days intervals. For determination of growth indices, ten plants from each plot cut from crown and dried for 48 h in oven at 70°C and then weighted. The plant height, number of flowers per plant, leaf chlorophyll, leaf area index, total dry matter, seed yield, 1000 seed weight, essential oil and grain oil were measured. The extraction of the essential oil of the flower was performed using the Clevenger apparatus by steam distillation (1). Extraction of grain, oil was accomplished according to the soxhlet standard method. The data were analyzed using the statistical analysis system (SAS 9.1) and means were compared using Duncan test at P ≤ 0.05 probability.

Results and Discussion

Results showed that, planting date and plant density had significant effects on physiological indices, plant height, and number of flowers per plant, 1000 grain weight, chlorophyll index, oil percent and essential oil percentage of marigold. Late planting and decreasing plant density, reduced leaf area index (LAI), total dry weight (TDW) and crop growth rate (CGR) indices. The compact petal variety showed the highest growth indices compared with spare petal plants. On the other hand, early planting, high plant density and compact

1- Assistant Prof., Faculty of Agriculture, Bu-Ali Sina University, Hamadan

2- M.Sc Student, Faculty of Agriculture, Bu-Ali Sina University, Hamadan

3- PhD Student, Faculty of Agriculture, Bu-Ali Sina University, Hamadan

(*- Corresponding Author Email: Sepehri110@yahoo.com)

petal variety increased the growth and development of plants. The first planting date had higher leaf area index compared to second sowing date. It seems that first sowing date made adequate leaf area indices for light and radiation absorption for photosynthesis. Number of 57 plants per square meter in the first and second planting dates improved plant height by 25.1 % and 34.4 %, compared to 26 plants per square meter, respectively. It is noticeable that delay in planting date reduced the mention plant traits. The second planting date (2 May) with 57 plants per square meter in comparison to the first planting date (22 April) decreased chlorophyll index by 18.4%. The compact petal variation showed the highest number of flower and oil percent in comparison with sparse petal variety. The compact petal variety in the number of 57, 41, 32 and 26 plants densities increased essential oil percentage by 9.8, 6.8, 3.5 and 9.1 % compared to sparse petal, respectively. Martin and Deo (32) showed that the highest flower yield in *Calendula officinalis* L. was observed in 40 plants/m² density and April 15 sowing date.

Conclusions

The present study showed that the best result for different traits with the exception of number of flower per plant achieved in the first sowing date (22 April) with a compact petal variety and 57 plants per square meter. Therefore, this treatment is suitable for marigold cropping in Arak situation and areas with similar climate and weather.

Keywords: Essential oil, Growth, Marigold, Plant sowing

اثر تراکم بوته بر عملکرد و اجزای عملکرد ذرت شیرین و ذرت‌بچه هیبرید KSC 403

هاجر باوی^۱ - محمد رضا مرادی تلاوت^{۲*} - سید عطاءالله سیادت^۳ - احمد کوچک زاده^۴

تاریخ دریافت: ۱۳۹۳/۰۱/۲۹

تاریخ پذیرش: ۱۳۹۳/۱۱/۱۳

چکیده

به منظور بررسی اثر تراکم بوته و روش برداشت بر عملکرد ذرت شیرین و ذرت‌بچه آزمایشی طی سال زراعی ۱۳۹۱-۹۲ در دانشگاه کشاورزی و منابع طبیعی رامین خوزستان اجرا گردید. در این آزمایش تراکم بوته در چهار سطح (۷، ۱۱، ۹ و ۱۳ بوته در متر مربع) و روش برداشت در دو سطح (برداشت به صورت ۱۰۰٪ ذرت‌بچه و برداشت به صورت ۱۰۰٪ ذرت شیرین) در قالب طرح بلوک‌های کامل تصادفی با چهار تکرار بررسی شد. تراکم بوته در روش برداشت ذرت‌بچه بر تمام اجزای عملکرد به جز وزن بالل بدون پوشش اثر معنی‌داری داشت به گونه‌ای که با افزایش تراکم بوته، تعداد بالل در واحد سطح و درصد بالل غیر استاندارد افزایش یافت ولی از وزن بالل و درصد بالل استاندارد کاسته شد. بالاترین عملکرد بالل بدون پوشش، بدون پوشش استاندارد و غیر استاندارد به ترتیب با ۲۶۴۹/۵، ۳۰۴۳/۹ و ۷۶۶/۹۷ کیلوگرم در هکتار در تراکم ۱۳ بوته در متر مربع به دست آمد. در ذرت شیرین نیز تراکم بوته بر کلیه اجزای عملکرد معنی‌دار بود و با افزایش تراکم از ۷ به ۱۳ بوته در متر مربع، تعداد ردیف در بالل، تعداد دانه در ردیف و وزن هزار دانه کاهش یافت. بالاترین عملکرد دانه (۱۲۳۲/۵۰ کیلوگرم در هکتار) و عملکرد بالل سبز (۱۲۶۰۷/۲ کیلوگرم در هکتار) در تراکم ۹ بوته در متر مربع حاصل شد. محاسبه همبستگی بین عملکرد و اجزای آن در ذرت‌بچه برخلاف ذرت شیرین نشان داد که بین تعداد بوته در واحد سطح و عملکرد همبستگی مثبت و معنی‌داری وجود دارد.

واژه‌های کلیدی: بالل استاندارد، بالل بدون پوشش، بالل سبز، وزن هزار دانه، همبستگی

مقدمه

ذرت‌بچه همان بالل سبز ذرت شیرین است که بافتی ترد، ظرفی و طعم شیرینی دارد که می‌تواند از ارقام بسیار متداول ذرت و در زمان گرده‌افشانی، برداشت شود. این محصول دارای کربوهیدرات، چربی، پروتئین، قند، مواد معدنی و ویتامین‌هایی از قبیل B و C است و قابلیت هضم آن نیز بالاست (۴). ذرت شیرین و ذرت‌بچه محصولاتی با دوره رشد کوتاه بوده و با توجه به ارزش غذایی بالای آن‌ها علاقمندی به مصرف تازه‌خوری و یا کنسرو شده‌ی آن‌ها در حال افزایش است. یکی از عوامل مهم جهت دست‌یابی به حداکثر عملکرد در زراعت ذرت، انتخاب تراکم مناسب با توجه به شرایط منطقه، پتانسیل تولید منطقه و همچنین نوع مصرف و نوع هیبرید است (۱۶). محققین در یک مطالعه‌ی تعیین تراکم مناسب برای ذرت شیرین در منطقه شمال شرقی ایالت متحده آمریکا نشان دادند درصورتی که بالل‌هایی با طول بالاتر از ۱۷/۷۸ سانتی‌متر مورد نظر باشد، با توجه به رقم، باید تراکم بین ۳۵۵۰۰ تا ۵۹۳۰۰ بوته در هکتار در نظر گرفته شود (۸). پژوهشگران دیگری با بررسی الگوی کاشت و تراکم بوته اثر متقابل تراکم بوته و آرایش کاشت بر تعداد دانه در ردیف و عملکرد

ذرت از خانواده‌ی گندمیان (Poaceae) است که به علت تنوع فوق العاده در فرم، کیفیت و عادت رشد در بخش وسیعی از مناطق مستعد کشاورزی جهان مورد کشت و کار و بهره‌برداری قرار می‌گیرد. از میان زیر‌گونه‌های متعدد ذرت، ذرت شیرین به یکی از مهم‌ترین Z. mays var. (Z. mays var. saccharata) با انجام جهش ژنتیکی در لوکوس su از کروموزوم شماره ۴ ذرت معمولی حاصل شده است. این جهش باعث می‌شود که آندوسپرム دانه در حدود دو برابر بیشتر از ذرت معمولی قند ذخیره کند

۱- دانش‌آموخته کارشناسی ارشد، دانشگاه کشاورزی و منابع طبیعی رامین خوزستان
۲- استادیار فیزیولوژی گیاهان زراعی دانشگاه کشاورزی و منابع طبیعی رامین خوزستان

۳- استاد گروه زراعت دانشگاه کشاورزی و منابع طبیعی رامین خوزستان
۴- استادیار فیزیولوژی گیاهان زراعی دانشگاه کشاورزی و منابع طبیعی رامین خوزستان
(*- نویسنده مسئول: Email: moraditelavat@yahoo.com)

ذرت در دو سطح (برداشت ۱۰۰٪ به صورت ذرت بچه و برداشت ۱۰۰٪ به صورت ذرت شیرین)، برای ایجاد تراکم‌های مورد نظر، فواصل روی ردیف به ترتیب ۱۹، ۱۵، ۱۲ و ۱۰ سانتی متر در نظر گرفته شد. در این آزمایش از هیبرید KSC 403 su استفاده شد که دارای خصوصیت چند بالالی است.

جدول ۱- ویژگی‌های فیزیکی و شیمیایی خاک محل آزمایش

Table 1- physical and chemical characteristics of soil

عمق درصد مواد نمونه برداری (cm)	EC (ds.m ⁻¹)	K (ppm)	P (ppm)	N (%)	آلی (%) OM
0-30	3.1	214	6.2	0.07	0.66

کشت به صورت جوی و پشتاهی انجام شد که در هر کپه سه بذر کاشته شد و سپس در مرحله چهار تا شش برگی، به یک بوته تنک شدند. هر کرت شامل ۷ خط کاشت به طول چهار متر بود و فاصله بین پشتاهها ۷۵ سانتی متر در نظر گرفته شد همچنین بین تکرارها دو متر فاصله ایجاد شد. برداشت تمام بالا به منظور ذرت بچه چندین مرتبه در زمان دو تا سه روز پس از آغاز گردهافشانی و برای ذرت شیرین در آغاز مرحله خمیری دانه (رطوبت ۳۰ درصد) صورت گرفت. بدین منظور، بوتهای پس از حذف نیم متر حاشیه از دو طرف، توسط دست برداشت شدند. با توجه به ناهمگنی ماده‌ی آزمایشی (گیاهان ذرت بچه و ذرت شیرین)، امکان مقایسه‌ی عملکرد ذرت بچه و ذرت شیرین و در نتیجه تجزیه‌ی واریانس داده‌ها در آزمایش براساس طرح‌های آماری چند فاکتوره وجود نداشت بنابراین از طرح بلوک‌های کامل تصادفی در چهار تکرار برای بررسی تراکم بوته استفاده شد. تجزیه‌ی آماری داده‌ها، شامل تجزیه‌ی واریانس و مقایسه میانگین‌ها، با استفاده از نرم افزار سیستم آنالیز آماری (SAS ۹/۲)، و مقایسه میانگین داده‌ها با آزمون LSD در سطح پنج درصد انجام شد (۱۷).

نتایج و بحث

۱. ذرت بچه

اثر تراکم بوته بر تعداد بالل در واحد سطح معنی دار بود (جدول ۲). به گونه‌ای که با افزایش تراکم بوته، به تعداد بالل در واحد سطح نیز افزوده شد. مقایسه میانگین تعداد بالل در واحد سطح در ذرت بچه نشان می‌دهد که با افزایش تراکم از ۷ به ۱۳ بوته در متر مربع، تعداد بالل در واحد سطح از ۱۸/۰۲ به ۲۲/۷۵ بالل افزایش یافت (جدول ۳).

دانه تأثیر معنی داری داشت به طوری که با افزایش تراکم به ۱۰ بوته در متر مربع عملکرد دانه در آرایش کشت دو ردیفه افزایش یافت (۱۵). همچنین در یک آزمایش دیگر با بررسی چهار رقم ذرت و سه تراکم ۴۵، ۵۵ و ۶۵ هزار بوته در هکتار) محققین به این نتیجه رسیدند که تراکم بوته بر طول بالل، تعداد دانه در بالل، وزن هزار دانه، عملکرد بیولوژیک، عملکرد دانه و شاخص به طوری که بالاترین عملکرد بیولوژیک، عملکرد دانه و شاخص برداشت در تراکم ۶۵ هزار بوته در هکتار به دست آمد (۱۴). محققین دیگری در تحقیقات خود به این نتیجه رسیدند که تراکم بوته بر صفاتی مانند شاخص برداشت، تعداد بالل در هکتار و تعداد ردیف در بالل ذرت شیرین اثر معنی داری داشته است. این محققین همچنین حداکثر عملکرد دانه ذرت معمولی (۱۰/۴۲۸ تن در هکتار) را مربوط به تراکم ۹۰ هزار بوته در هکتار عنوان کردند (۲). در یک آزمایش دیگر در بررسی تراکم بوته بر عملکرد و اجزای عملکرد ذرت بچه گزارش شد که در تراکم‌های بالا درصد بالل استاندارد کاهش یافت اما به درصد بالل غیر استاندارد افزوده شد (۹). همچنین گزارش شده است که بیشترین درصد بالل غیر استاندارد در تراکم ۸۵ هزار بوته در هکتار در روش برداشت دو منظوره ذرت بچه و ذرت شیرین به میزان ۷۶/۶۱ درصد به دست آمد (۱). بررسی‌ها نشان می‌دهد که در ارتباط با ذرت بچه تحقیقات خیلی کمی در استان خوزستان انجام شده است و بیشتر تحقیقات انجام شده در رابطه با ذرت خوارکی (به صورت تازه خوری و کنسرو) بر روی ذرت شیرین متتمرکز شده است. بنابراین انجام تحقیقات بیشتر بر روی تولید ذرت بچه و همچنین تولید دو منظوره (ذرت شیرین و ذرت بچه) برای تعیین بهترین تراکم و روش برداشت برای حصول بالاترین عملکرد و افزایش تولید در واحد سطح ضروری است. با توجه شرایط آب و هوایی و تابستان طولانی خوزستان و همچنین افزایش گرایش به مصرف ذرت بچه و ذرت شیرین در کشور تحقیق حاضر ضروری می‌نمود. بنابراین در تحقیق حاضر تولید ذرت بچه و دانه از هیبرید ذرت شیرین مورد بررسی قرار گرفته است.

مواد و روش‌ها

این پژوهش طی سال زراعی ۱۳۹۲-۱۳۹۱ در مزرعه‌ی پژوهشی دانشگاه کشاورزی و منابع طبیعی رامین خوزستان، واقع در ۳۶ کیلومتری شمال شرقی اهواز با عرض جغرافیایی ۳۱ درجه و ۳۶ دقیقه، طول جغرافیایی ۴۸ درجه و ۵۳ دقیقه ارتفاع از سطح دریا حدود ۲۰ متر انجام شد. خصوصیات خاک محل آزمایش در جدول ۱ نشان داده شده است. آزمایش در قالب طرح بلوک‌های کامل تصادفی با چهار تکرار انجام شد. عامل‌های آزمایش عبارت بودند از: تراکم بوته در چهار سطح (۱۱، ۹، ۷ و ۱۳ بوته در متر مربع) و روش برداشت

جدول ۲- تجزیه واریانس عماکرد و اجزای عماکرد فربت‌بچه (میانگین مربوط) در سطوح مختلف تراکم بوده

Table 2- Analysis of variance yield and yield components baby corn in different plant density

منابع تفصیر S.O.V	وزن بلال N.eat/ha	درجه ازادی df	درصد بلال در واحد سطح N.eat/ha	وزن بلال با بیرون پوشش	وزن بلال با بیرون پوشش	درصد بلال استاندارد % standard ear	درصد بلال غیر استاندارد % sub ear	عماکرد بلال بیرون پوشش Dehusked ear yield	عماکرد بلال با بیرون پوشش Husked ear yield	عماکرد بلال بیرون پوشش Dehusked standard ear yield
Block(R)	بلوک	3	3.437**	0.615**	9.936 ^{ns}	1.554*	0.372 ^{ns}	89231.72 ^{ns}	23587.52 ^{ns}	3804.29 ^{ns}
Plant density(D)	تراکم بوده	3	15.825**	0.241 ^{ns}	15.318*	4.453*	0.787**	774633.27**	1899422.17**	31000/57*
Error(A)	خطا	9	0.453	0.206	3.068	0.251	0.575	29830.23	10764.24	5186.11
C.V (%)	ضریب تغییرات		3.28	3.22	3.8	2.39	0.96	7.92	1.47	11.15

* and ** : significant at the 5% and 1% probability levels, respectively
ns: Non-significant
* پرتوی مخفی در سطح ۵% درصد، ** پرتوی مخفی در سطح ۱% درصد

جدول ۳- مقایسه میانگین عماکرد و اجزای عماکرد فربت‌بچه در تراکم‌های مختلف بوده

Table 3- Mean comparison for yield and yield components in baby corn in different plant density

تراکم بوده (plant/m ²)	وزن بلال با بیرون پوشش	وزن بلال بدون پوشش	درصد بلال بیرون پوشش	درصد بلال بیرون پوشش	عماکرد بلال با پوشش Husked ear yield kg ha ⁻¹	عماکرد بلال بدون پوشش Dehusked ear yield kg ha ⁻¹	عماکرد بلال بدون پوشش Dehusked standard ear yield kg ha ⁻¹
7	18.0	14.4	23.2	76.8	1712.4	6262.9	571.3
9	20.0	14.1	46.7	21.2	1913.7	6759.0	591.4
11	21.2	14.2	45.2	20.1	2446.3	7554.8	652.5
13	22.8	13.8	43.8	20.0	2649.5	7842.2	767.0
LSD _{0.05}	1.1	0.8	2.1	0.8	1.5	300.4	351.2
						176.3	401.2

معمولی و همچنین ذرت شیرین است و به همین دلیل باید برای رسیدن به نتیجه‌ی قابل توصیه، در آزمایش‌های بعد تراکم‌های بالاتر از ۱۳ بوته در مترمربع بررسی شود.

همبستگی بین عملکرد و اجزای عملکرد ذرت‌بچه

شناخت همبستگی بین عملکرد و اجزای آن و یافتن نوع روابط بین آن‌ها و استفاده از این روابط در معرفی هیبریدهای جدید از طریق بهنژادی می‌تواند در بهبود عملکرد مؤثر باشد. نتایج همبستگی بین عملکرد و اجزای عملکرد ذرت‌بچه در جدول ۴ آمده است. عملکرد بالل با و بدون پوشش با تعداد بالل در واحد سطح همبستگی مثبت و با وزن تکبالل با و بدون پوشش همبستگی منفی دارند، که نشان می‌دهد که با افزایش تراکم، از وزن بالل کاسته، اما به دلیل افزایش تعداد بوته در واحد سطح عملکرد بالل افزایش پیدا می‌کند. همچنین عملکرد بالل با و بدون پوشش با درصد بالل استاندارد و غیر استاندارد بهترین تراکم، درصد بالل استاندارد را کاهش و درصد بالل غیر استاندارد، افزایش می‌یابد.

در مورد عملکرد بالل استاندارد نتایج همبستگی نشان می‌دهد که این صفت بهترین همبستگی مثبت و منفی را با تعداد بالل در واحد سطح و درصد بالل استاندارد دارد زیرا با افزایش تراکم، به تعداد بالل در واحد سطح افزوده اما از درصد بالل استاندارد کاسته می‌شود. عملکرد بالل غیر استاندارد به‌جز با وزن بالل با و بدون پوشش و درصد بالل استاندارد با کلیه صفات مورد بررسی همبستگی مثبت دارد. بهطوری که بیشترین همبستگی مثبت ($=0.94$) را با عملکرد بالل استاندارد دارد زیرا با افزایش تراکم در واحد سطح هر دو این صفات افزایش می‌یابند.

۲. ذرت شیرین

اثر تراکم بوته بر تعداد بالل در واحد سطح اثر معنی‌دار بود (جدول ۵). مقایسه میانگین داده‌ها نشان داد تراکم ۱۳ بوته در متر مربع با $22/1$ بالل نسبت به تراکم ۷ بوته در متر مربع ($=0.7/19$) بالاترین تعداد بالل در واحد سطح را داشت (جدول ۶).

تعداد ردیف در بالل تحت تأثیر تراکم بوته در واحد سطح قرار گرفت (جدول ۵). نتایج نشان داد که با افزایش تراکم، تعداد ردیف در بالل به میزان $10/64$ درصد کاهش یافت. تراکم ۷ بوته در متر مربع با میانگین $15/50$ و تراکم 13 بوته در متر مربع با میانگین $13/85$ ردیف در بالل به ترتیب بیشترین و کمترین تعداد ردیف در بالل را داشتند (جدول ۶). محققان دیگری اظهار داشتند که تراکم 25 هزار بوته در هکتار با میانگین $27/74$ ردیف در بالل بیشتر از تراکم 85 هزار بوته در هکتار (جدول ۷) بود (۳).

یکی از خصوصیات مهم در تولید بالل در ذرت‌بچه درصد بالل استاندارد می‌باشد. درصد بالل استاندارد عبارت از تعداد بالل قابل عرضه به بازار به تعداد کل باللهای بروداشت شده است. اندازه استاندارد بالل طبق استاندارد بین‌المللی کدکس برای طول و قطر بالل به ترتیب $10-12$ و $1-2$ سانتی‌متر است. نتایج حاصل از تجزیه واریانس داده‌ها نشان داد که هر دو صفت فوق تحت تأثیر تراکم بوته قرار گرفتند (جدول ۲). با افزایش تراکم بوته در واحد سطح از میزان بالل استاندارد کاسته شد. به این صورت که تراکم 7 و 13 بوته در متر مربع به ترتیب با میانگین $23/24$ و $20/01$ درصد بیشترین و کمترین درصد بالل استاندارد را به دست آورند. روندی که در مورد درصد بالل استاندارد ذکر شد با روند مشاهده شده در مورد بالل غیر استاندارد، مغایرت داشت به نحوی که در تراکم 7 بوته در متر مربع با $76/76$ درصد و تراکم 13 بوته در متر مربع با $80/48$ درصد به ترتیب کمترین و بیشترین درصد بالل غیر استاندارد حاصل شد (جدول ۳). نشان داده شده است که بالاترین درصد بالل استاندارد ($49/31$) در تراکم 65 هزار بوته در هکتار به دست آمد (۱۰). همچنین در تحقیق دیگری بیان شده است که تاریخ کاشت 3 مرداد و تراکم $74/61$ در هزار بوته در هکتار بیشترین درصد بالل غیر استاندارد (85 درصد) را به خود اختصاص دادند. بر این اساس، می‌توان هیبریدهای دیگر را از نظر درصد بالل استاندارد بررسی کرد تا بتوان در صورت امکان محصولی با درصد بالاتر بالل استاندارد تولید کرد (۱).

با افزایش تراکم از 7 به 13 بوته در متر مربع عملکرد بالل بدون پوشش به میزان $35/36$ درصد افزایش یافت بهطوری که بیشترین و کمترین آن به ترتیب مربوط به تراکم 13 و 7 بوته در متر مربع به ترتیب با $2649/5$ و $1712/4$ کیلوگرم در هکتار ثبت شد (جدول ۳). با افزایش سطوح تراکم تا 13 بوته در متر مربع، عملکرد بالل با پوشش نیز به میزان $39/98$ درصد افزایش یافت. بیشترین عملکرد بالل با پوشش با میانگین 7842 کیلوگرم در هکتار در تراکم 13 بوته در متر مربع و کمترین آن با میانگین 4706 کیلوگرم در هکتار در تراکم 7 بوته در متر مربع حاصل شد (جدول ۳).

تجزیه واریانس عملکرد بالل بدون پوشش استاندارد و غیر استاندارد نشان داد که تراکم بوته تأثیر معنی‌داری بر این صفات داشت (جدول ۲). مقایسه میانگین‌ها نشان داد که بالاترین عملکرد بالل بدون پوشش استاندارد و غیراستاندارد به ترتیب با میانگین $766/97$ و $3043/9$ کیلوگرم در هکتار در تراکم 13 بوته در مترمربع حاصل شد (جدول ۳). محققان گزارش کرده‌اند که در تراکم $10/5$ هزار بوته در هکتار بالاترین عملکرد بالل بدون پوشش استاندارد 722 کیلوگرم در هکتار) و عملکرد بالل بدون پوشش غیر استاندارد 1961 کیلوگرم در هکتار) به دست آمد (۱۰). در این آزمایش نیز بیشترین عملکرد در بالاترین سطح تراکم به مراتب بیشتر از ذرت می‌دهد تراکم مطلوب برای تولید ذرت‌بچه به مراتب بیشتر از ذرت

جدول ۴- همبستگی بین صفات عملکرد و اجزای عملکرد ذرت‌بچه رقم KSC403 su

Table 4- The Correlation between traits yield and yield components of baby corn var KSC403su

	NE	WE	WEH	SE	NSE	YE	YEH	YSE	YNSE
تعداد بالا در واحد سطح	1								
وزن بالا بدون پوشش	-0.44 ^{ns}	1							
وزن بالا با پوشش	-0.66 ^{**}	0.66 ^{**}	1						
درصد بالا استاندارد	-0.55 [*]	-0.11 ^{ns}	0.35 ^{ns}	1					
درصد بالا غیر استاندارد	0.71 ^{**}	-0.23 ^{ns}	-0.63 ^{**}	-0.69 ^{**}	1				
عملکرد بالا بدون پوشش YE	0.72 ^{**}	-0.38 ^{ns}	-0.72 ^{ns}	-0.61 [*]	0.88 ^{**}	1			
عملکرد بالا با پوشش YEH	0.85 ^{**}	-0.39 ^{ns}	-0.70 ^{**}	-0.73 ^{**}	0.86 ^{**}	0.90 ^{**}	1		
عملکرد بالا استاندارد YSE	0.63 ^{**}	0.105 ^{ns}	-0.21 ^{ns}	-0.61 [*]	-0.64 ^{**}	0.54 [*]	0.75 ^{**}	1	
عملکرد بالا غیر استاندارد YNSE	0.82 ^{**}	0.09 ^{ns}	-0.39 ^{ns}	-0.63 ^{**}	0.67 ^{**}	0.62 [*]	0.81 ^{**}	0.94 ^{**}	1

* و ** به ترتیب معنی دار در سطح ۵ و ۱ درصد، ns غیرمعنی دار

* and ** : significant at the 5% and 1% probability levels, respectively

Ns: Non- significant

در متر مربع با میانگین ۱۱۳۹۸ کیلوگرم در هکتار کمترین عملکرد بالا سیز را داشتند (جدول ۶). در آزمایشی دیگر گزارش شده است که حداکثر عملکرد بالا سیز در تراکم ۷۵ هزار بوته در هکتار به میزان ۱۸۱۷۰ کیلوگرم در هکتار به دست آمد (۶). طبق جدول تجزیه واریانس (جدول ۵) تراکم بوته، عملکرد دانه با رطوبت ۳۰ درصد (برداشت در آغاز مرحله خمیری) را تحت تأثیر خود قرار داده است. تراکم ۹ بوته در متر مربع با میانگین ۱۲۳۲/۵۰ کیلوگرم در هکتار بیشترین و تراکم ۷ بوته در متر مربع با میانگین ۹۶۵/۲۶ کیلوگرم در هکتار کمترین عملکرد دانه را داشتند (جدول ۶). با افزایش تراکم، عملکرد دانه نیز افزایش یافت ولی در تراکم‌های بالا به دلیل رقابت شدید بین گیاهان و در نتیجه محدود شدن منابع از جمله آب، نور و مواد غذایی مقدار تولید محصول کاهش یافت. نتایج حاصل از این تحقیق با نتایج محققین دیگر (۷) مطابقت داشت. در آزمایش حاضر، عملکرد دانه‌ی ذرت شیرین چندان قابل توجه نبود. باید توجه داشت عملکرد دانه‌ی ذرت شیرین بر خلاف ذرت‌بچه مستلزم گردهافشانی و تلقیح مناسب بالا است که در تاریخ کاشت این آزمایش به دلیل برخورد گردهافشانی ذرت شیرین با گرمای اوایل خردادماه خوزستان، تلقیح دانه‌ها مختلف گردید و در نتیجه عملکرد دانه چندان قابل توجه نبود.

همبستگی بین عملکرد و اجزای عملکرد ذرت شیرین
بررسی ضرایب همبستگی (جدول ۷) نشان داد که تعداد ردیف در بالا، تعداد دانه در ردیف و وزن هزار دانه با تعداد بالا در واحد سطح همبستگی منفی داشتند زیرا با افزایش تراکم، در این آزمایش تعداد بالا در واحد سطح افزایش یافت و به دنبال آن و به دلیل افزایش رقابت بین بوته‌ها از تعداد ردیف در بالا و دانه در ردیف و همچنین وزن هزار دانه کاسته شد. عملکرد دانه و عملکرد بالا سیز هر دو با

تعداد دانه در ردیف نیز تحت تأثیر تراکم بوته قرار گرفت و با افزایش تراکم از ۷ به ۱۳ بوته در متر مربع، ۱۷/۷۷ درصد از تعداد دانه در ردیف کاسته شده است (جدول ۵). تراکم ۷ بوته در متر مربع با میانگین ۱۴/۳۸ و تراکم ۱۳ بوته در متر مربع با میانگین ۳۱/۳۶ دانه در ردیف به ترتیب بیشترین و کمترین تعداد دانه در ردیف را دارا بودند (جدول ۶). بیشتر بودن تعداد دانه در ردیف در تراکم ۷ بوته در متر مربع را می‌توان به کمتر بودن رقابت بر سر جذب نور، رطوبت و مواد غذایی دانست و در نتیجه سهم آسمیلاتی که در اختیار فاز زایشی برای رسیدن به حداکثر پتانسیل تولید گل و دانه لازم می‌باشد بیشتر از سایر تراکم‌های کاشت بوده است. در آزمایش‌های متعدد نشان داده شده است که با افزایش تراکم بوته در واحد سطح، با وجود افزایش تعداد ردیف در بالا، به دلیل وقوع فرآیند جبران اجزای عملکرد، تعداد دانه در ردیف کاهش یافت (۵ و ۱۱).

تراکم بوته در سطح یک درصد وزن هزار دانه را تحت تأثیر خود قرار داد (جدول ۵). نتایج نشان داد که با افزایش تراکم بوته، وزن هزار دانه کاهش یافته است. به نحوی که تراکم ۷ بوته در متر مربع با میانگین ۲۲۱/۵۱ گرم بالاترین و تراکم ۱۳ بوته در متر مربع با میانگین ۲۰۷/۲۹ گرم کمترین وزن هزار دانه را دارا بودند (جدول ۶). در آزمایش دیگری محققان گزارش کردند که با افزایش تراکم، وزن هزار دانه کاهش می‌یابد (۱۴).

از آن جایی که محصول گیاه ذرت شیرین به صورت بالا کامل و ترد در آغاز مرحله خمیری (حدود ۳۰ درصد رطوبت دانه‌ها) برای فروش عرضه می‌شود لذا عملکرد کل، تحت عنوان "عملکرد بالا سیز" مورد بررسی قرار گرفت. براساس نتایج به دست آمده از تجزیه واریانس داده‌ها (جدول ۵) تراکم بوته باعث ایجاد اختلاف معنی داری بر عملکرد بالا سیز شده است. طبق این یافته‌ها تراکم ۹ بوته در متر مربع با میانگین ۱۲۶۰۷/۲ کیلوگرم در هکتار بیشترین و تراکم ۷ بوته

کاهش در تعداد ردیف در بالال و تعداد دانه در ردیف باعث عملکرد دانه و بالال سبز افزایش پیدا می کند. افزایش تراکم و تعداد بالال در واحد سطح، افزایش می باند اما یک همبستگی منفی و غیر معنی داری با تعداد ردیف در بالال و دانه در ردیف دارند و این نتایج نشان می دهد که با افزایش تراکم، با وجود

جدول ۵- تجزیه واریانس عملکرد ذرت شیرین (میانگین مربعات) تحت سطوح مختلف تراکم

Table 5- Analysis of variance yield and yield components sweet corn in different plant density

منبع تغییر S.O.V	درجه آزادی Df	بالال در واحد سطح N. ear/ha	ردیف در بالال Row in ear	دانه در ردیف Grain in Row	وزن هزار دانه (g)	عملکرد دانه Grain yield (kg ha ⁻¹)	عملکرد بالال سبز Green ear yield (kg ha ⁻¹)
Block (R)	3	2.78 ^{ns}	0.10 ^{ns}	1.58 ^{ns}	5.09 ^{ns}	7963.03 ^{ns}	1189432.00 ^{**}
Plant (D) density	3	6.80 ^{ns}	1.88*	34.30 ^{**}	148.07 ^{**}	52273.01 ^{**}	1207069.85 ^{**}
Error(A) خطا	9	3.06	0.39	2.85	10.15	7239.73	64485.68
C.V(%) ضریب تغییرات		8.3	3.4	4.8	1.4	7.7	2.1

* و ** به ترتیب معنی دار در سطح ۵ و ۱ درصد، ns غیرمعنی دار

* and ** : significant at the 5% and 1% probability levels, respectively

Ns: Non- significant

جدول ۶- مقایسه میانگین عملکرد و اجزای عملکرد ذرت شیرین هیبرید 403 KSC

Table 6- Mean comparison for yield and yield components in sweet corn var KSC403 su

تراکم بوته (plant m ⁻²)	N. ear/ha	تعداد بالال در واحد سطح Row in ear	تعداد دانه در ردیف Grain in Row	وزن هزار دانه (g)	عملکرد دانه Grain yield (kg ha ⁻¹)	عملکرد بالال سبز Green ear yield (kg ha ⁻¹)
7	19.1	15.5	38.1	221.5	965.3	11398.0
9	20.7	14.5	35.9	217.4	1232.5	12607.2
11	21.5	14.4	33.6	213.1	1135.9	12511.3
13	22.1	13.9	31.4	207.3	1052.6	12220.2
LSD _{0.05}	1.7	1.1	3.2	5.1	133.6	993.0

جدول ۷- همبستگی بین صفات عملکرد و اجزای عملکرد ذرت شیرین رقم KSC403 su

Table 7- The correlation between traits yield and yield components of sweet corn var KSC403su

	NE	ROW	GRAIN	WG	YG	YE
تعداد بالال در واحد سطح	1					
ROW	-0.51*	1				
تعداد ردیف در بالال						
GRAIN	-0.58*	0.65 ^{**}	1			
تعداد دانه در ردیف						
WG	-0.70 ^{**}	0.59*	0.73 ^{**}	1		
وزن هزار دانه						
YG	0.48*	0.034 ^{ns}	-0.17 ^{ns}	0.027 ^{ns}	1	
عملکرد دانه						
YE	0.70 ^{**}	-0.30 ^{ns}	-0.25 ^{ns}	-0.30 ^{ns}	0.64 ^{**}	1

* و ** به ترتیب معنی دار در سطح ۵ و ۱ درصد، ns غیرمعنی دار

* and ** : significant at the 5% and 1% probability levels, respectively

Ns: Non- significant

عملکرد نسبتاً مطلوبی داشت، در حالی که عملکرد ذرت شیرین در مقایسه با سایر گزارش‌ها مقادیر اندکی را نشان داد. معمولاً تولید دانه ذرت معمولی نیز در این منطقه در تاریخ کاشت مذکور عملکرد اندکی دارد، که این موضوع را به همزمانی مرحله‌ی گردهافشانی ذرت با اوج گرمای هوا در منطقه نسبت داده‌اند. بنابراین عملکرد مطلوب ذرت‌بچه که نیازی به انجام تلقیح و گردهافشانی در مقایسه با عملکرد ذرت شیرین که همانند ذرت دانه‌ای معمولی که مستلزم تلقیح و گردهافشانی مناسب‌گیاه است بدیهی بوده و طول دوره‌ی رشد کوتاه‌تر بوده استفاده نیز نتوانست این موضوع را جبران نماید.

نشان داد که عملکرد بالا بدون پوشش استاندارد (محصول اصلی برای عرضه به بازار) به جزء با درصد بالا استاندارد و وزن بالا با پوشش با کلیه صفات همبستگی مثبت دارد. در مورد ذرت شیرین نیز نتایج نشان داد که عملکرد دانه با اجزای خود (تعداد ردیف در بالا و تعداد دانه در ردیف) همبستگی منفی دارد. این موضوع به این معنی که با افزایش تراکم علی‌رغم کاهش تعداد ردیف در بالا و تعداد دانه در ردیف، عملکرد دانه به دلیل افزایش تعداد بالا در واحد سطح تا یک حدی افزایش می‌باشد و با افزایش بیشتر تراکم، عملکرد روند نزولی پیدا می‌کند. در مجموع کشت ذرت‌بچه در آزمایش حاضر

References

1. Calarastaghi, K., Rahmani, A., and Khavari Khorasani, S. 2009. The Reaction Morphological Traits of Baby Corn var KSC403su to Planting date delayed, Plant density and metod Harvest. Scientific Journal of Ecophysiology of Crop and Weeds 4 (15): 55-66.
2. Eskandarnejad, S., Khavari Khorasani, S., Bakhtiari, S., and Heidarian, A. R. 2013. Effect of spacing and plant density on yield components of Sweet Corn (*Zea mays L. Saccharata*) varieties. Advanced Crop Science 3: 81-88.
3. Haghigat, A., Shirani Rad, A. H., Seyfzadeh, S., and Yousefi, M. 2012. Effect of Cattle manure and plant density on sweet corn yield grown different cropping methods. International Journal of Agronomy and Plant Production 3: 696-699.
4. Hallauer, A. R. 2001. Specialty Corn. CRC Press LLC.
5. Lashkari, M., Madani, H., Ardekani, M. R., Golzardi, F., and Zargari, K. 2011. Effect of plant density on yield and yield components of different Corn (*Zea mays L.*) hybrids. AM-Euras. Journal of Agriculture and Environmental Sciences 10 (3): 450-457.
6. Mokhtar pour, H., Mossavat, S. A., Faiz bakhsh, M. T., and Saberi, A. 2008. Effect of sowing date and plant density on ear yield of sweet corn in summer sowing. Electronic Journal Crop Planting 1 (1): 101-113.
7. Moraditochaei, M., Motamed, M. K., Azarpour, E., and Khosravi Danesh, R. 2012. Effects of nitrogen fertilizer and plant density management in corn farming. ARPN Journal of Agriculture and Biological Sciences 7 (2): 133-137.
8. Morris, T., Hamilton, G., and Harney, S. 2000. Optimum plant population for fresh market sweet corn in the Northeastern United States. Horticulture and Technology 10: 331-333.
9. Nikkhah kheibari, M., Khavari Khorasani, S., and Taheri, Gh. 2012. Effects of plant density and variety on some of morphological traits, yield and yield components of baby corn (*Zea mays L.*). International Research Journal of Applied and Basic Sciences 3 (10): 2009-2014.
10. Rahmani, A., Khavari Khorasani, S., and Nabavi Kalat, S. M. 2009. Effects of Sowing Date and Plant Density on morpho-physiological triats, Yield and Yield Components of (Baby Corn) Var. ksc. Journal of Seed and Plant 25-2 (4): 449-463.
11. Rahmati, H. 2012. Effect of plant density and nitrogen rates on morphological characteristics grain maize. Journal of Basic and Applied Sciences and Research 2 (5): 4680-4683.
12. Sarlangue, T., Andrade, F. H., Calvino, P. A., and Purcell, L. C. 2007. Why do maize hybrids respond differently to variation in plant density? Agronomy Journal 99: 984-991.
13. Schulteis, J. R. 2002. Sweet corn production. www. ces. ncsu. edu.
14. Shafi, M., Bakht, J., Ali, S., Khan, H., Aman Khan, M., and Sharif, M. 2012. Effect of planting density on phenology, growth and yield of maize (*Zea mays L.*). Pakistan Journal of Botany 44 (2): 691-696.
15. Shakarami, G., and Rafiee, M. 2009. Response of corn (*Zea mays L.*) to planting pattern and density in Iran. American-Eurasian Journal Agriculture and Environmental Sciences 5 (1): 69-73.
16. Siadat, S. A. 1995. The Effect of density and hybrid on corn yield in summer and spring in Khuzestan Province.
17. Soltani, A. 2007. Application soft ware SAS in statistical analisis. Publications University Jihad Mashhad.



Effects of Plant Density on Sweet and Baby Corn (Hybrid KSC 403) Yield and Yield Components

H. Bavi¹- M.R. Moradi-Telavat^{2*}- S.A. Siadat³- A. Koochakzadeh⁴

Received: 18-04-2014

Accepted: 02-02-2015

Introduction

Sweet corn is the one of the most important types of corn. There is a high amount of sugar in the endosperm of sweet corn than dent corn. Baby corn is the ear of corn that is being harvested in the silking stage before the end of pollination. This crop has an interesting using methods as salad, conserve production and vegetative consumption. Both two sweet and baby corn is obtained from one plant in different growth stages and could be harvested from one corn hybrid. Best yield and quality of baby corn is obtained from sweet corn hybrids, because of high amounts of sugar in the grains and ears. Sweet corn and baby corn could be harvested at early dough stage (with about 30 % of humidity) and early silking stage before the pollination is completed, respectively. Plant density is the most important factor in growing corn, especially in sweet and baby corn. Khuzestan province is one of the main regions of corn production in Iran. In Khuzestan, forage and silage corn have the most production among the summer crops. Corn is planted in two planting date in Khuzestan: early spring and early summer. Spring corn planting produces little grain yield due to Simultaneity of silking stage with hot early summer days. Because of little production and little research about sweet and baby corn, this study was performed and designed.

Materials and Methods

In order to investigate the effects of plant density and harvesting method on sweet corn and baby corn yield, an experiment was performed during 2012-13, in research farm of Ramin Agriculture and Natural Resources University of Khuzestan, located in southwest of Iran. In this experiment, four plant densities (7, 9, 11 and 13 plants.m⁻²) and two harvesting methods (baby corn and sweet corn) were investigated in an RCB statistical design with four replications. The KSC 403 hybrid was used and investigated in the experiment, as a sweet corn hybrid. Statistical analysis was performed using SAS 9.1 through GIM procedure. Means of all treatments were comprised using least significant difference (LSD) at 5 % probability level.

Results and Discussion

The effects of plant density on yield components of baby corn was significant. Increasing the plant densities increased the ear number and percentage of non-standard ears. The Highest yield of ear without husk, standard and non-standard were obtained (2649.5, 766.97, and 3043.9 kg.ha⁻¹, respectively) with 13 plants.m⁻². In sweet corn, increasing plant density from 7 to 13 plants.m⁻², decreased row per ear, grain per row and thousand grain weight. Highest grain yield (1232.5 kg ha⁻¹) and green ear (12607.2 kg ha⁻¹) of sweet corn were obtained with plant density of 9.m⁻².

Conclusions

Analysis of correlation showed that in both baby and sweet corn, there were positive and significant correlations between yield and its components. There was the high number of non-standard ears in all experimental treatments. In sweet corn, the standard ear without husk yield has positive and significant correlation with all traits except the percentage of standard ear and sheathed ear weight. In addition, unsuitable climate conditions during silking stage reduced the yield of sweet corn through the high number of aborted florets. Yield of sweet corn yield showed negative and significant correlation with grain row per ear and grain per row. However, increasing the ear number.m⁻² increased yield in higher plant densities up to 9 plant.m⁻² density.

1- Former M.Sc Student of Agronomy, Ramin Agriculture and Natural Resources University of Khuzestan

2- Assistant Professor, Ramin Agriculture and Natural Resources University of Khuzestan

3- Professor, Ramin Agriculture and Natural Resources University of Khuzestan

4- Assistant Professor, Ramin Agriculture and Natural Resources University of Khuzestan

(*- Corresponding author Email: moraditelavat@yahoo.com)

Generally, the baby corn had high yield with good quality in this region, but, standard ear percent of the baby corn of the hybrid KSC 403 was very low. On the other hand, sweet corn grain yield was low due to high air temperatures during pollination and maturity stages.

Keywords: Correlation, Ear Without sheath, Green ear, Standard ear, Thousand grain weight

اثر کاربرد حاصلخیزکننده‌های خاک بر برخی ویژگی‌های رشدی و عملکرد سورگوم دانه‌ای (*Sorghum bicolor*)

رضا کمائی^۱ - مهدی پارسا^{۲*} - محسن جهان^۳

تاریخ دریافت: ۱۳۹۳/۰۲/۰۱

تاریخ پذیرش: ۱۳۹۳/۰۸/۲۷

چکیده

به منظور بررسی واکنش برخی از ویژگی‌های رشدی، عملکرد، اجزای عملکرد سورگوم دانه‌ای (*Sorghum bicolor*) با استفاده از کودهای زیستی، شیمیایی و آلی، آزمایشی به صورت طرح بلوك کامل تصادفی و در سه تکرار در گلخانه تحقیقاتی دانشکده کشاورزی، دانشگاه فردوسی مشهد در سال ۱۳۹۲ اجرا شد. تیمارهای آزمایشی شامل سه نوع کود بیولوژیک و تلفیق آنها با یکدیگر و ورمی کمپوست و کود شیمیایی به شرح زیر بود: ۱- قارچ میکوریزا آریسکولار گونه *G. mosseae* + ورمی کمپوست، ۲- قارچ میکوریزا + نیتروکسین (حاوی باکتری‌های *Azospirillum* sp. و *G. mosseae* sp.)، ۳- قارچ میکوریزا + کود شیمیایی *NPK*، ۴- قارچ میکوریزا + ریزوبیوم (*Rhizobium* sp.)، ۵- قارچ میکوریزا + *Azotobacter* sp. و ۶- شاهد. برخی از صفات مورد مطالعه در این آزمایش عبارت بودند از: کلونیزاسیون طول ریشه و ارتفاع بوته، طول مخصوص ریشه، عملکرد دانه، تعداد دانه در خوشة، وزن هزار دانه بود. نتایج نشان داد که اثر تیمارهای کودی بر صفات و ویژگی‌های درصد کلونیزاسیون طول ریشه، طول مخصوص ریشه، شاخص سطح برگ، عملکرد، تعداد دانه در خوشة و وزن هزار دانه دارای اثر معنی‌داری بود. بیشترین درصد کلونیزاسیون طول ریشه (۸۲ درصد)، طول مخصوص ریشه (۵۱/۸۲ متر) در تیمار تلفیقی میکوریزا و نیتروکسین و بیشترین وزن هزار دانه (۴۲۵/۶۲ گرم در متر مربع)، تعداد دانه در خوشه (۶۳۵) در تیمار تلفیقی میکوریزا و نیتروکسین و بیشترین وزن هزار دانه (۲۹/۲۶ گرم) در تیمار استفاده توأم از میکوریزا و ورمی کمپوست حاصل شد. کلونیزاسیون و عملکرد بیشتر در اثر تیمار تلقیح دوگانه را می‌توان به برهمکنش مثبت میکوریزا و باکتری‌های آزادی تشییت‌کننده نیتروژن نسبت داد. با توجه به نتایج آزمایش، بهترین تیمار کودی برای سورگوم مخلوط قارچ میکوریزا و زیستی نیتروکسین پیشنهاد می‌گردد.

واژه‌های کلیدی: درصد کلونیزاسیون طول ریشه، طول مخصوص ریشه، میکوریزا، نیتروکسین، ورمی کمپوست

مقدمه

میکوریزا به عنوان جزیی کلیدی در بوم نظامهای طبیعی و کشاورزی، اثرات مثبتی بر گیاهان همزیست دارد (۱۶). افزایش سطح فعال سیستم ریشه گیاه برای جذب بهتر مواد غذایی از خاک، خصوصاً در شرایط کمبود فسفر (۱۸)، افزایش فتوستنت (۶)، افزایش مقاومت به تنش‌های خشکی، شوری و مقاومت به آفات و بیماری‌ها (۱۶)، بهبود ساختمان خاک و تشدید فعالیت باکتری‌های ریزوبیوم و آزوسپیریلوم (۳) نمونه‌هایی از نقش این قارچ در بوم نظامهای زراعی می‌باشد. رابطه همزیستی میکوریزایی تمامی جنبه‌های بیولوژیکی سیستم ریشه گیاه میزبان را تحت تأثیر خود قرار می‌دهد. همچنین تمامی گیاهان به نحوی در ارتباط با رابطه همزیستی میکوریزایی می‌باشند. لذا می‌توان گفت که تمامی موجودات زنده و تمامی اکوسیستم‌ها از باکتری‌ها گرفته تا انسان و اراضی مرتبط تا صحراء‌های خشک به نوعی وابسته به روابطه همزیستی میکوریزایی می‌باشند (۲). مهمترین و اساسی‌ترین رابطه نقش قارچ‌های میکوریزا، افزایش جذب عناصر معدنی به‌ویژه فسفر در گیاه میزبان می‌باشد. این تأثیر به خصوص در

جایگزینی بخشی از نهاده‌های شیمیایی با نهاده‌های طبیعی، به عنوان دو مین گام در مسیر رسیدن به پایداری کشاورزی بیان شده است (۱۳). در بسیاری از موارد کاربرد کودهای شیمیایی باعث آلودگی‌های محیطی و صدمات اکولوژیکی می‌شود که خود هزینه تولید را افزایش می‌دهد (۱۰). برای کاهش این مخاطرات باید از منابع نهاده‌هایی استفاده کرد که علاوه بر تأمین نیازهای فعلی گیاه، سبب پایداری سیستم‌های کشاورزی در درازمدت نیز شود (۲۷). بنابراین استفاده از کودهای زیستی و انتخاب بهترین گونه میکروارگانیسم که بیشترین سازگاری و کارایی را نسبت به اقلیم منطقه داشته باشد می‌تواند در پایداری سیستم کشاورزی مفید واقع شود.

۱، ۲ و ۳- بهتریب دانش‌آموخته کارشناسی ارشد زراعت و اصلاح نباتات و دانشیاران گروه زراعت و اصلاح نباتات، دانشکده کشاورزی، دانشگاه فردوسی مشهد (Email: parsa@um.ac.ir)
(*)- نویسنده مسئول:

نیتروژن بر بسیاری از گیاهان زراعی دیگر ارجحیت داشته باشد (۲۸). امروزه توجه از روابط متقابل گیاه- موجود به سمت روابط متقابل گیاه- موجود - موجود معطوف شده است (۲۱). تلاش‌هایی به منظور تشخیص فعالیت‌های میکروبی در جوامع دو یا سه عضوی از میکرووارگانیسم‌ها و همبینطور به منظور شناسایی مکانیسم این روابط صورت پذیرفته است. چنین روابط تقدیمه‌ای دارای اهمیت اکولوژیکی‌اند و در کشاورزی نیز کاربردی مهم دارند (۷). لذا هدف از اجرای این آزمایش بررسی عملکرد گیاه سورگوم دانه‌ای تحت تأثیر کودهای زیستی، آلی و شیمیایی بود.

مواد و روش‌ها

این تحقیق در قالب طرح بلوك‌های کامل تصادفی با شش تیمار و در سه تکرار در گلخانه تحقیقات دانشکده کشاورزی دانشگاه فردوسی در سال ۱۳۹۲ اجرا شد. نتایج حاصل از تجزیه فیزیکوشیمیایی خاک محل آزمایش در جدول ۱ شان داده شده است. بذر سورگوم رقم سپیده از مرکز تحقیقات کشاورزی طرق تهیه و استفاده شد. ابعاد کرت‌های آزمایشی 150×60 سانتی‌متر در نظر گرفته شد. کشت به صورت ریفی انجام و بذور با فاصله بین ردیف ۲۰ سانتی‌متر و فاصله روی ردیف ۲۰ سانتی‌متر در ۷ مرداد ۱۳۹۲ کاشته شد. کشت مستقیماً در خاک انجام شد و به این منظور یکی از واحدهای گلخانه به طور کامل که فاقد کف بتی بود به این آزمایش اختصاص یافت. تیمارهای مورد مطالعه شامل: ۱- قارچ میکوریزا آرسکولار گونه *G. mosseae* + ورمی‌کمپوست (M+V)، ۲- قارچ میکوریزا + نیتروکسین (دارای باکتری‌های *Azotobacter* sp. و *Rhizobium* sp.) (M+N)، ۳- قارچ میکوریزا + ریزوپیلوم (M+R)، ۴- قارچ میکوریزا + کود شیمیایی (M+NPK)، ۵- قارچ میکوریزا (M) و ۶- شاهد (C) بود. عملیات مخلوط کردن تیمارهای قارچ میکوریزا، ورمی‌کمپوست و کود شیمیایی با خاک قبل از کاشت انجام و مواد ذکور به طور کامل تا عمق ۳۰ سانتی‌متری با خاک مخلوط شدند. تلقیح بذور نیز با کودهای بیولوژیک مورد استفاده نیز ضمن پرهیز از نور خورشید و سایر نکات لازم در روز کاشت انجام شد.

اراضی که فسفر محلول در خاک کم بوده یا در اثر خشکی ضربی پخشیدگی عنصر فسفر بسیار کاهش یافته است مشهودتر می‌باشد (۱۶). گزارش شده است که تلقیح ذرت با قارچ میکوریزا، باکتری‌های آزوسپیریلوم و ازتوباکتر در نظامهای زراعی کمنهاده و اکولوژیک در مقایسه با نظامهای متوسط و پرنهاده، سبب افزایش معنی‌دار عملکرد مادة خشک، عملکرد دانه، عدد کلروفیل متر و سرعت فتوسنتز برگ شد (۱۶).

کود نیتروکسین حاوی باکتری‌های همیار آزادی از جمله آزوسپیریلوم (*Azospirillum* sp.) و ازتوباکتر (*Azotobacter* sp.) می‌باشد که علاوه بر تثیت ازت اتمسفری در محیط ریشه گیاه، توانایی ساخت و ترشح مقداری مواد بیولوژیکی فعال ماند و بتامین‌های B، اسید نیکوتینیک، اسید پتوتونیک، اکسین‌ها و جیرلین‌ها را دارند که باعث بهبود رشد ریشه و در نتیجه افزایش سرعت جذب آب و عناصر غذایی و در نهایت افزایش عملکرد می‌گردد (۱۷).

ورمی‌کمپوست حاصل یک فرآیند نیمه هوایی است که طی تجزیه مشترک مواد آلی توسط کرم زباله یا کرم خاکی و میکرووارگانیسم‌های خاکزی تولید می‌شود (۱۵). کرم‌های خاکی با تکه تکه کردن مواد زاید، فعالیت میکروبی و تجزیه مواد آلی را افزایش می‌دهند. بنابراین روی آن قسمت از مواد آلی که اکسایش یافته و تثیت شده، سبب پدیده هوموسی شدن می‌شوند. در نتیجه این عمل مواد آلی دفعی از روده کرم، با مواد اولیه خود بسیار متفاوت است (۲۳). گلن و همکاران (۱۲) بیان داشتند که استفاده از ورمی‌کمپوست یک راه جدید و مناسب برای تأمین نیاز غذایی گیاه می‌باشد که علاوه بر آن کیفیت خاک را هم بهبود می‌بخشد. از طرفی ورمی‌کمپوست باعث بهبود ساختمان فیزیکی خاک و بهبود رشد ریشه گیاه می‌شود (۷).

سورگوم (*Sorghum bicolor* L.) یکی از گیاهان علوفه‌ای خانواده گرامینه است که در بسیاری از نقاط جهان به منظور تولید علوفه سبز، سیلولی و خشک مورد استفاده قرار می‌گیرد. این گیاه با داشتن صفاتی مثل قدرت پنجهزنی بالا، رشد سریع و تولید عملکرد مناسب از اهمیت زیادی برخوردار است. قرار گرفتن این گیاه در گروه گیاهان با مسیر فتوسنتزی چهارکربنی باعث شده است که پتانسیل تولید در این گیاه بسیار بالا بوده و از نظر راندمان مصرف آب و

جدول ۱- خصوصیات فیزیکی و شیمیایی خاک محل اجرای آزمایش
Table 1- Chemical and physical characteristics of soil for experimental site

بافت خاک Soil texture	نیتروژن قابل دسترس Available nitrogen (PPM) (ppm)	فسفر P (ppm)	پتاسیم Potassium (ppm)	EC (دسيزيمنس بر متر) (dS m ⁻¹)	pH	OC (%)	OM (%)
شنبه‌لویی Sandy loam	65.4	66.7	356	7.92	7.86	1.32	2.28

هر نمونه اقدام شد.

تعیین درصد کلونیزاسیون طول ریشه مستلزم رنگ آمیزی ریشه‌های فیکس شده و سپس مشاهده و اندازه‌گیری آن قسمت از طول ریشه‌ها که توسط اندام‌های قارچی آلوود شده‌اند، می‌باشد که به این منظور بهتر ترتیب از روش رنگ آمیزی کورمانیک و مک‌گرا (۲۰) و روش جی یووانسی و موسه (۱۱) موسوم به روش گریدلاین اینترسکت (۳۱) استفاده شد. تجزیه واریانس و تحلیل داده‌های آزمایشی و رسم شکل‌های مربوط به آنها، توسط نرمافزار Ver.11 MS-Excel و SAS Ver. 9.1 صورت گرفت. برای مقایسه میانگین تیمارها نیز از آزمون LSD در سطح احتمال پنج درصد استفاده شد.

نتایج و بحث

نتایج تجزیه واریانس داده‌های حاصل از آزمایش نشان‌دهنده اثر معنی‌دار تیمارهای آزمایشی بر درصد کلونیزاسیون طول ریشه، طول مخصوص ریشه، شاخص سطح برگ، عملکرد، تعداد دانه در خوشة و وزن هزار دانه بود (جدول ۲).

اولین آبیاری بالا فاصله پس از کاشت انجام و به منظور بهبود سبز شدن گیاه‌جهه‌ها، آبیاری بعد به فاصله ۴ روز انجام شد و آبیاری‌های بعدی در فواصل منظم ۱۰ روزه اعمال گردید. پس از استقرار گیاه و رسیدن ارتفاع بوته‌ها به ۱۵ سانتی‌متری گیاهان تنک شدند. عملیات وسیع علف‌های هرز ۵ مرتبه در طول دوره رشد (از سبز شدن تا مرحله تنک یک مرحله، تا اوایل مرحله زایشی دو مرتبه، مرحله زایشی یک مرتبه) و در موقع نیاز انجام شد. در طول دوره رشد، ارتفاع گیاه و سطح برگ و پس از برداشت، عملکرد و اجزاء عملکرد شامل تعداد خوشة در واحد سطح، تعداد دانه در خوشة و وزن هزار دانه اندازه‌گیری شد. بر این اساس زمانی که میزان رطوبت دانه‌ها به ۱۵ درصد رسید توزین گردیدند. به منظور تعیین طول مخصوص ریشه (طول ریشه موجود در حجم مشخصی از خاک)، در اواخر فصل رشد از بوته‌های موجود در هر کرت اقدام به نمونه‌گیری شد، بدین ترتیب که پس از حذف اندام‌های هوایی بوته‌هایی که برای نمونه‌گیری انتخاب شده بودند، خاک اطراف ساقه به صورت یک مکعب به ضلع ۲۵ سانتی‌متر برش داده شده و سپس تمام خاک و ریشه موجود در این مکعب، بیرون آورده شستشو شد و به آزمایشگاه حمل گردید. سپس با استفاده از روش تنانت (۳۵) نسبت به تعیین طول مخصوص ریشه در

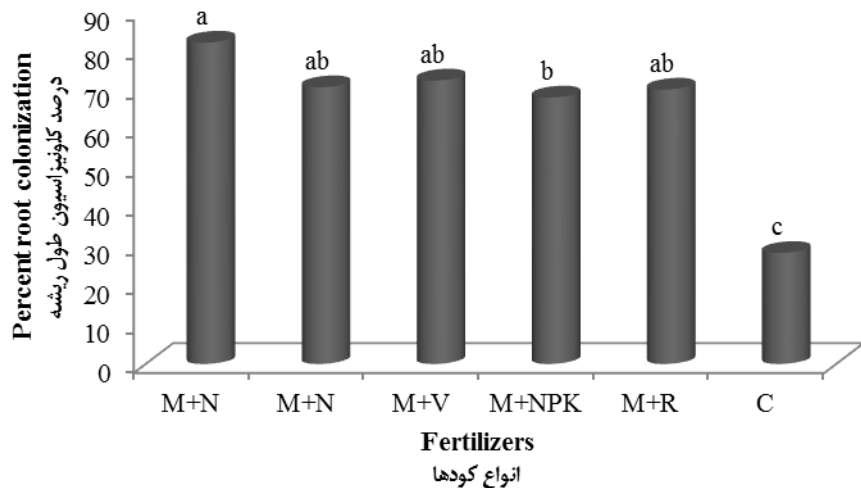
جدول ۲- تجزیه واریانس (میانگین مربعات) خصوصیات رشدی، عملکرد، اجزای عملکرد گیاه سورگوم تحت تأثیر کودهای مختلف
Table 2- Analysis of variance (mean squares) growth characteristics, yield, yield components of sorghum under the influence of various fertilizers

منابع تغییر (variation source)	درجه آزادی (df)	درصد کلونیزاسیون Percent of root length colonization	طول مخصوص ریشه Specific root length	شاخص سطح برگ LAI	ارتفاع بوته Height	عملکرد Yield	تعداد دانه در خوشة Number of seed in panicle	وزن هزار دانه Thousands seeds weight
بلوک Replication	2	62.055 ^{ns}	56.155 ^{ns}	0.01 ^{ns}	1.92 ^{ns}	845.369 ^{ns}	9.055 ^{ns}	1.192*
تیمار Treatment	5	1051.822**	204.218*	0.303**	47.586 ^{ns}	023.8287*	4623.155**	3.426**
Error خطا	10	188.47	54.229	0.005	40.59	2488.89	7721.255	0.338
CV (%)		10.53	17.02	2.61	5.26	13.82	17.59	1.87

ns: عدم وجود اختلاف معنی‌دار، ** و * به ترتیب وجود اختلاف معنی‌دار در سطح ۱٪ و ۵٪
ns, *, **: non-significant, significant at $p = 0.05$ and $p = 0.01$, respectively

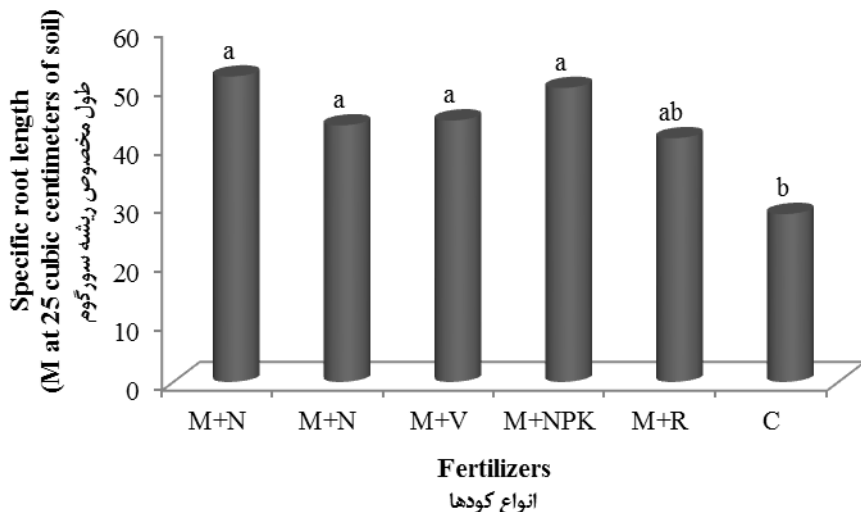
۵۸/۳۳ درصد و تیمار تلفیقی میکوریزا و باکتری ریزوبیوم به نسبت ۵۹/۵۲ درصد نسبت به تیمار شاهد بیشتر است (شکل ۱). همچنین، کلیه تیمارها با تیمار شاهد اختلاف معنی‌داری داشتند. کلونیزاسیون بیشتر در اثر تیمار تلقیح دوگانه را می‌توان به برهمکنش مثبت میکوریزا و باکتری‌های آزادی تثبیت‌کننده نیتروزون نسبت داد.

درصد کلونیزاسیون طول ریشه: اثر تیمارهای آزمایشی بر درصد کلونیزاسیون طول ریشه را معنی‌دار بود (جدول ۲). همچنین، میزان کلونیزاسیون ریشه در تیمار تلقیح دوگانه کود زیستی نیتروکسین و میکوریزا به نسبت ۶۵/۴۵ درصد، تیمار میکوریزا به نسبت ۵۹/۹ درصد، تیمار ترکیبی میکوریزا و ورمی کمپوست به نسبت ۶۰/۸۳ درصد، مخلوط میکوریزا و کود شیمیایی NPK به نسبت



شکل ۱- تغییرات درصد کلونیزاسیون طول ریشه سورگوم تحت تأثیر کودهای مختلف (وجود حداقل یک حرف مشترک در ستون‌ها نشان‌دهنده عدم اختلاف معنی‌دار در سطح احتمال پنج درصد است)

Figure 1- Changes percent root colonization of *sorghum bicolor* plant as affected by different fertilizers
(Common letter on the columns indicate no significant difference between treatments at the 5% level probability)



شکل ۲- تغییرات طول مخصوص ریشه سورگوم تحت تأثیر کودهای مختلف (وجود حداقل یک حرف مشترک در ستون‌ها نشان‌دهنده عدم اختلاف معنی‌دار در سطح احتمال پنج درصد است)

Figure 2- Changes specific root length of *sorghum bicolor* plant as affected by different fertilizers
(Common letter on the columns indicate no significant difference between treatments at the 5% level probability)

گردهافشانی با عملکرد زیستی و دانه گزارش شده است (۳۱). تغییرات شاخص سطح برگ در پاسخ به تیمارهای مختلف در طول فصل رشد (شکل ۳) برای تمامی تیمارها روند نسبتاً مشابهی داشته، در ابتدای فصل رشد میزان شاخص سطح برگ کم بوده و با ادامه فصل رشد افزایش یافته تا اینکه در ۸۰ روز بعد از کاشت به حداقل میزان خود رسید و سپس در انتهای فصل رشد شاخص سطح برگ به علت پیر شدن و ریزش آن‌ها روند نزولی داشت. یافته‌های این آزمایش نشان داد که در تلقیح دوگانه کود زیستی نیتروکسین و میکوریزا به نسبت ۲۲/۶۱ درصد، تیمار میکوریزا به نسبت ۱۴/۲۳ درصد، تیمار ترکیبی میکوریزا و ورمی کمپوست به نسبت ۱۷/۲۴ درصد، تیمار مخلوط میکوریزا و کود شیمیایی NPK به نسبت ۲۷/۲۴ درصد و تیمار تلفیقی میکوریزا و باکتری ریزوبیوم به نسبت ۱۱/۳۱ درصد به شاهد بیشتر است (شکل ۳).

مديناء و همکاران (۲۴) در تحقیقات خود بر روی ماشک، دو گونه قارچ میکوریزایی (*G. etunicatum*) و (*G. intraradices*) را به کار برداشتند و نتایج این آزمایش نشان داد که میکوریزا سبب افزایش شاخص سطح برگ، سرعت رشد نسبی و سرعت رشد محصول شد. همچنین جهان (۱۶) در آزمایشی که بر روی گیاه ذرت (*Zea mays*) نشان داد که با تلقیح باکتریایی، شاخص سطح برگ بیشتر از تیمار شاهد بود.

ارتفاع نهایی: بررسی ارتفاع بوته در پاسخ به تیمارهای مختلف در انتهای فصل رشد نشان داد که ارتفاع بوته سورگوم دانه‌ای در هیچ‌کدام از تیمارها معنی دار نیست. نتایج آزمایش نشان داد که در تلقیح دوگانه کود زیستی نیتروکسین و میکوریزا به نسبت ۹/۳۱ درصد، تیمار میکوریزا به نسبت ۵/۰۸ درصد، تیمار ترکیبی میکوریزا و ورمی کمپوست به نسبت ۷/۲۴ درصد، تیمار مخلوط میکوریزا و کود شیمیایی NPK به نسبت ۷/۰۹ درصد و تیمار تلفیقی میکوریزا و باکتری ریزوبیوم به نسبت ۵/۴۷ درصد به شاهد بیشتر است (شکل ۴). عیدی زاده و همکاران (۸) بیان داشتند که حضور کودهای زیستی باعث بهبود خصوصیات خاک نظریه محتواهای ماده آلی و افزایش دسترسی عناصر نیتروژن، فسفر، پتاسیم و عنصر ریزمعذی می‌شود و در حضور مقادیر مناسبی از کودهای شیمیایی این اثرات تشددید می‌شود. همچنین مشاهده شده است که تلقیح با میکوریزا باعث تغییرات وسیع شاخص‌های مورفولوژیکی ریشه بهویژه افزایش ریشه‌های جانبی می‌شود (۴)، در نتیجه با افزایش رشد ریشه آب و مواد غذایی بیشتری در اختیار گیاه قرار می‌گیرد و این امر موجب بهبود رشد و ارتفاع بوته می‌گردد. محمد و همکاران (۲۵) گزارش کردند که کاربرد تؤام کود فسفر و میکوریزا (*Glomus intraradices*) سبب افزایش ارتفاع بوته و ماده خشک در مقایسه با شاهد در جو (Hordeum vulgare) شد. ویدادا و همکاران (۳۷) نیز بیان داشتند که گیاه سورگوم (*Sorghum bicolor L.*) تلقیح شده با میکوریزا

تیلاک و سینگ (۳۶) گزارش کردند که باکتری *Azospirillum brasiliense* کلونیزاسیون ریشه‌ها توسط قارچ‌های میکوریز آربوسکولار را تحریک کرده و رشد را در ارزن مرواریدی *Pennisetum glaucum* افزایش داد. آنها پیشنهاد کردند که وجود باکتری *Azospirillum brasiliense* در پوست ریشه ارزن مرواریدی میکوریزایی شده، احتمال وجود اثر متقابل مستقیم بین قارچ‌های میکوریز آربوسکولار و باکتری آزوسپیریلوم در داخل گیاه را تأیید می‌کند. پاکوفسکی (۳۰) گزارش کرد که تلقیح سورگوم با باکتری آزوسپیریلوم سبب افزایش کلونیزاسیون میکوریزا، زیست توده و تعداد وزیکول‌های قارچ شد.

طول مخصوص ریشه: شکل ۲ تغییرات طول مخصوص ریشه (متر ریشه در ۲۵ سانتی متر مکعب خاک) سورگوم دانه‌ای در اثر کاربرد انواع کود و تلقیح با میکروارگانیسم‌ها را نشان می‌دهد. این شکل به نحو مطلوبی، اثر استفاده از میکروارگانیسم‌ها را بر یکی از ویژگی‌های مهم گیاهی که طول مخصوص ریشه می‌باشد، نشان می‌دهد. اثر تلقیح انواع میکروارگانیسم بر طول مخصوص ریشه در تلقیح سورگوم دانه‌ای معنی دار بود. میزان طول مخصوص ریشه در تلقیح دوگانه کود زیستی نیتروکسین و میکوریزا به نسبت ۴۵/۰۲ درصد، تیمار میکوریزا به نسبت ۳۴/۵۶ درصد، تیمار ترکیبی میکوریزا و ورمی کمپوست به نسبت ۳۵/۷۸ درصد، تیمار مخلوط میکوریزا و کود شیمیایی NPK به نسبت ۴۲/۸۹ درصد و تیمار تلفیقی میکوریزا و باکتری ریزوبیوم به نسبت ۳۱/۱۱ درصد به شاهد بیشتر است (شکل ۲).

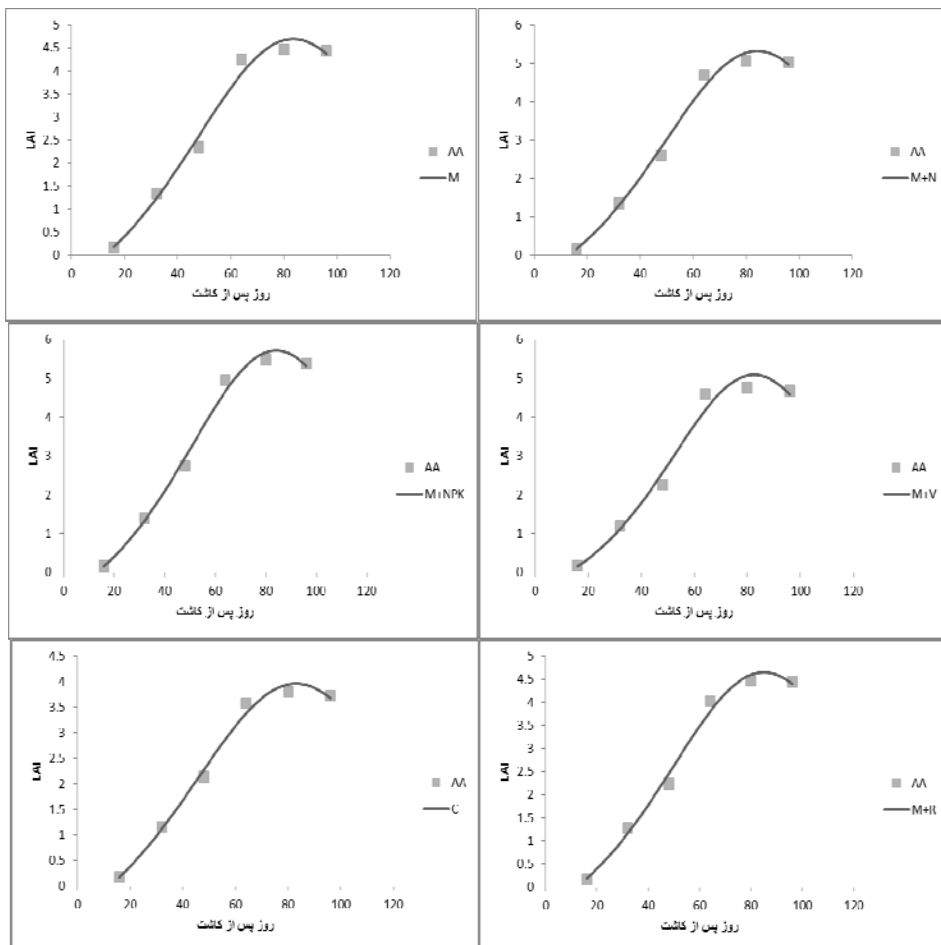
گزارشات متعدد (۵) حاکی از آن است که میکوریزا رشد ریشه را افزایش داده و به دنبال آن یک نظام گسترده از ریشه را برای جذب آب ایجاد می‌کند. مارولاندا و همکاران (۲۲) گزارش کردند که تلقیح دوگانه گیاه *Bacillus sphaerocarpa* با باکتری *Retama turengiensis* و قارچ *Glomus intraradices* در گیاهان تلقیح جداگانه، سبب حداقل توسعه ریشه شد. آنها همچنین بیان کردند که تلقیح با سویه مقاوم به خشکی باکتری *Bacillus turengiensis* رشد ریشه را ۲۱ درصد افزایش داد و جذب نسبی آب در گیاهان تلقیح شده بیشتر از شاهد بود. تیلاک و سینگ (۳۶) گزارش کردند که باکتری *Azospirillum brasiliense* رشد ریشه را در ارزن مرواریدی *Pennisetum glaucum* افزایش داد. برخی محققین پیشنهاد کردند که این باکتری‌ها، هورمون‌های گیاهی تولید می‌کنند که سبب افزایش رشد گیاه شده یا رشد ریشه را افزایش داده و بنابراین طرفیت جذب عناصر غذایی را بالا برده و شناس گیاه را در اجتناب از خشکی افزایش می‌دهند (۱۴).

شاخص سطح برگ: شاخص سطح برگ یکی از شاخص‌های تعیین‌کننده رشد می‌باشد و همبستگی قوی بین سطح برگ در مرحله

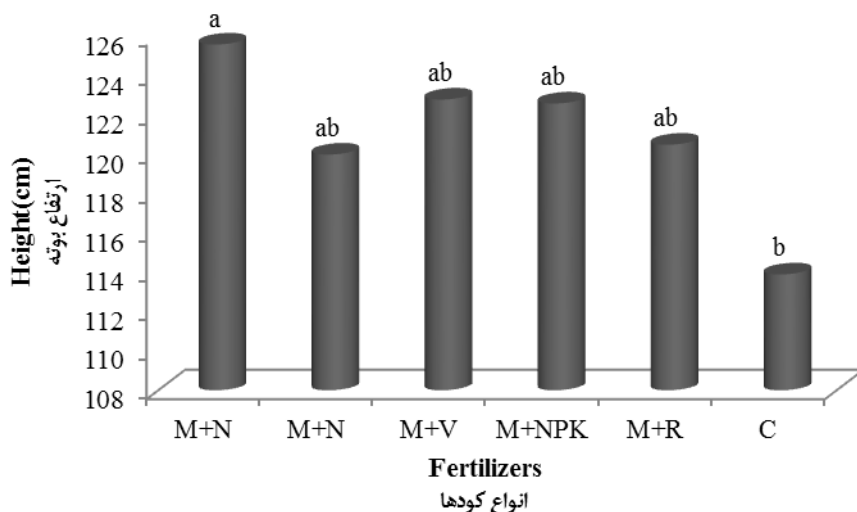
تلقیقی میکوریزا و باکتری ریزوبیوم به نسبت ۲۴/۸۷ درصد به شاهد بیشتر است گزارش شده است که همزیستی میکوریزایی یک استراتژی برتر رقابتی برای گیاه میزبان فراهم می‌آورد. همچنین بیان *Azospirillum brasilense* داشت در تئیجه تلقیق گندم با باکتری *Cicer arietinum* (۲۶) با وجود این، در عملکرد دانه و محتوی نیتروژن افزایش یافت (۱۶). از این نظر، در برخی موارد، میکوریزا باعث افزایش عملکرد گیاه میزبان نیز شده است، سوبرامانیان و همکاران (۳۴) گزارش کردند که در گیاه ذرت تلقیق شده با میکوریزا (*Glomus intraradices*) عملکرد دانه افزایش یافته و محتوای Mg، Mn و Zn در دانه این گیاهان نسبت به شاهد بیشتر بود.

نسبت به شاهد دارای ارتفاع بیشتری بود. مرادی و همکاران (۲۶) افزایش ارتفاع بوته نخود (Cicer arietinum) را در اثر تلقیق با میکوریزا گزارش کردند.

عملکرد دانه: شکل ۵ عملکرد سورگوم دانه‌ای در اثر کاربرد انواع میکرووارگانیسم و کود را نشان می‌دهد. اثر کاربرد انواع میکرووارگانیسم و کود بر عملکرد دانه سورگوم معنی دار بود. در این آزمایش، تلقیق دوگانه کود زیستی نیتروکسین و میکوریزا به نسبت ۳۷/۴ درصد، تیمار میکوریزا به نسبت ۲۶/۱۶ درصد، تیمار ترکیبی میکوریزا و ورمی کمپوست به نسبت ۳۰/۴۶ درصد، تیمار مخلوط میکوریزا و کود شیمیایی NPK به نسبت ۲۸/۷۷ درصد و تیمار



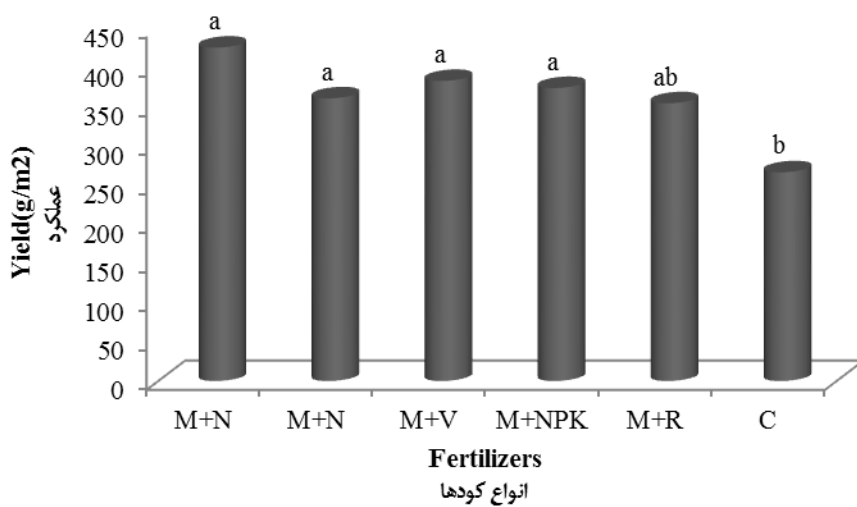
شکل ۳- تغییرات شاخص سطح برگ سورگوم تحت تأثیر کودهای مختلف
Figure 3- Changes LAI of *sorghum bicolor* plant as affected by different fertilizers



شکل ۴- تغییرات ارتفاع نهایی سورگوم تحت تأثیر کودهای مختلف

(وجود حداقل یک حرف مشترک در ستون‌ها نشان‌دهنده عدم اختلاف معنی‌دار در سطح احتمال پنج درصد است)

Figure 4- Changes Hight of *sorghum bicolor* plant as affected by different fertilizers
(Common letter on the columns indicate no significant difference between treatments at the 5% level probability)



شکل ۵- تغییرات عملکرد دانه سورگوم تحت تأثیر کودهای مختلف

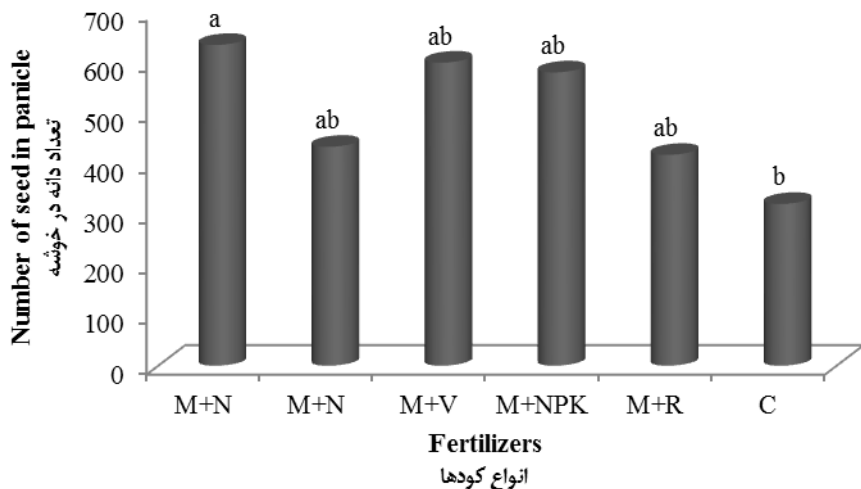
(وجود حداقل یک حرف مشترک در ستون‌ها نشان‌دهنده عدم اختلاف معنی‌دار در سطح احتمال پنج درصد است)

Figure 5- Changes yield of *sorghum bicolor* plant as affected by different fertilizers
(Common letter on the columns indicate no significant difference between treatments at the 5% level probability)

درصد، تیمار میکوریزا به نسبت ۲۶/۰۷ درصد، تیمار ترکیبی میکوریزا و ورمی کمپوست به نسبت ۴۶/۶۱ درصد، تیمار مخلوط میکوریزا و کود شیمیایی NPK به نسبت ۴۴/۸۳ درصد و تیمار تلفیقی میکوریزا و باکتری ریزوبیوم به نسبت ۲۳/۲۴ درصد به شاهد بیشتر است. نتایج تحقیق علیزاده و همکاران (۱) که با هدف بررسی اثر همزیستی قارچ میکوریزا و باکتری‌های آرسپیریلوم بر گیاه ذرت انجام دادند نشان داد که عملکرد و اجزای عملکرد ذرت تحت تأثیر تیمارهای کودی قرارگرفتند، به طوری که آرسپیریلوم بر عملکرد دانه و تعداد دانه‌های

تعداد دانه در خوشه: از دیگر صفات مهم که به عنوان اجزای عملکرد از آن یاد می‌گردد، تعداد دانه در خوشه می‌باشد که همانند وزن هزار دانه نقش مؤثری بر شکل گیری عملکرد دانه دارد. نتایج حاصل از اثر تیمارهای آزمایشی بر تعداد دانه در خوشه در (شکل ۵) نشان داد که اختلاف معنی‌داری در بین تیمارهای مورد مطالعه در سطح یک درصد وجود دارد. یافته‌های این آزمایش نشان داد که در تلچیح دوگانه کود زیستی نیتروکسین و میکوریزا به نسبت ۴۹/۵۵

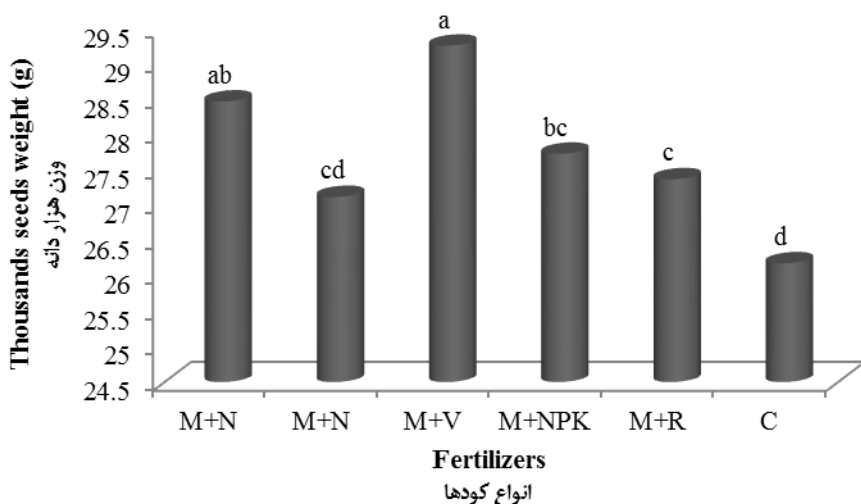
بلال بهطور معنی‌داری اثر گذاشت اما بر وزن هزار دانه تأثیر نداشت.
میکوریزا بر عملکرد دانه و وزن هزار دانه در سطح ۱ درصد تأثیر مثبت داشت.



شکل ۶- تغییرات تعداد دانه در خوش سرگوم تحت تأثیر کودهای مختلف

(وجود حداقل یک حرف مشترک در ستون‌ها نشان دهنده عدم اختلاف معنی‌دار در سطح احتمال پنج درصد است)

Figure 6- Changes number of seed in panicle of *sorghum bicolor* plant as affected by different fertilizers
(Common letter on the columns indicate no significant difference between treatments at the 5% level probability)



شکل ۷- تغییرات وزن هزار دانه سرگوم تحت تأثیر کودهای مختلف

(وجود حداقل یک حرف مشترک در ستون‌ها نشان دهنده عدم اختلاف معنی‌دار در سطح احتمال پنج درصد است)

Figure 7- Changes thousands seeds weight of *sorghum bicolor* plant as affected by different fertilizers
(Common letter on the columns indicate no significant difference between treatments at the 5% level probability)

وزن هزار دانه: در شکل ۷ اثر کاربرد کودهای زیستی، درصد معنی‌دار بوده است. نتایج این آزمایش نشان داد که در تلقیح دوگانه کود زیستی نیتروکسین و میکوریزا به نسبت ۸/۰۴ درصد،

دوگانه کود زیستی نیتروکسین و میکوریزا به نسبت ۸/۰۴ درصد،
شیمیایی و آلی بر وزن هزار دانه را نشان می‌دهد که در سطح ۱

بین استفاده تلفیقی از میکوریزا و نیتروکسین بیشترین تأثیر را در افزایش ویژگی‌های فوق داشت. می‌توان گفت هر وقت همراه کود میکوریزا منبعی از نیتروژن وجود داشت این کود عملکرد بهتری از خود نشان داد. بدون تردید کاربرد کودهای بیولوژیک و آلی به خصوص در خاک‌های فقیر از عناصر غذایی، علاوه بر اثرات مثبتی که بر کلیه خصوصیات خاک و حفظ کیفیت خاک و افزایش مواد آلی خاک نسبت به کاربرد کودهای معدنی دارد، از جنبه‌های اقتصادی، زیست محیطی و اجتماعی نیز مفید بوده و می‌تواند جایگزینی مناسب و مطلوب برای کودهای شیمیایی در بلندمدت باشد. از آنجا که عدم مصرف نهاده‌های شیمیایی در تولید گیاهان زراعی، شرط اصلی سالمند و طبیعی بودن آنها است، لذا پاسخ مثبت گیاه سورگوم دانه‌ای نسبت به کودهای بیولوژیک می‌تواند نوید بخش امکان تولید پایدار این گیاهان زراعی ارزشمند باشد.

تیمار میکوریزا به نسبت ۳/۴۶ درصد، تیمار ترکیبی میکوریزا و ورمی کمپوست به نسبت ۱۰/۵۲ درصد، تیمار مخلوط میکوریزا و کود شیمیایی NPK به نسبت ۵/۵۸ درصد و تیمار تلفیقی میکوریزا و باکتری ریزوبیوم به نسبت ۴/۳۴ درصد به شاهد بیشتر است. کاربرد میکوریزا سبب به تعویق افتادن پیری برگ‌ها، کاهش ریزش برگ‌ها و افزایش میزان آب قابل دسترس گیاه و در نتیجه افزایش فتوسنتر گیاه می‌شود. بنابراین مواد غذایی و شیره پرورده بیشتری در اختیار دانه‌ها قرار گرفته و سبب افزایش اندازه و حجم دانه‌ها می‌گردد. لذا، دانه‌ها سنگین‌تر شده و وزن هزار دانه افزایش می‌یابد (۲۹ و ۱۹).

نتیجه‌گیری

این تحقیق تأثیر مثبت استفاده از کودهای زیستی و آلی را روی ویژگی‌های رشدی، عملکرد گیاه سورگوم دانه‌ای نشان داد و در این

References

- Alizadeh, A., Alizadeh, A., and Khast Khodei, A. 2009. Application of mycorrhiza and Azospirillum study aimed at optimizing the use of nitrogen and phosphorus in corn Sustainable Agriculture. The findings of modern agriculture Issue 1. (in Persian).
- Allen, M. F. (ed). 1992. Mycorrhizal Functioning, an Integrative Plant - Fungal Process. Chapman & Hall Press. New York, 534 pp.
- Antunes, P. M., Deaville, D., and Goss, M. J. 2005. Effect of two AMF life strategies on the tripartite symbiosis with Bradyrhizobium japonicum and soybean. *Mycorrhiza* 16 (3): 167-173.
- Berta, G., Fusconi, A., and Hooker, J. E. 2002. In: S. Gianinazzi, H. Schuepp, J. M. Barea and K. Haselwandter (Eds). Arbuscular mycorrhizal modifications to plant root systems: scale, mechanisms and consequences. *Mycorrhiza Technology in Agriculture, from Genes to Bioproducts*. Basel, Switzerland, Birkhauser Verlag p. 71-85.
- Cardoso, I., and Kuyper, M. T. W. 2006. Mycorrhizas and tropical soil fertility. *Agriculture, Ecosystems and Environment* 116: 72-84.
- Copetta, A., Lingua, G., and Berta, G. 2006. Effects of three AM fungi on growth, distribution of glandular hairs, and essential oil production in *Ocimum basilicum* L. var. Genovese. *Mycorrhiza* 16: 485-494.
- Dash, M. C., and Petra, U. C. 1979. Wormcast production and nitrogen contribution to soil by a tropical earthworm population from a grassland site in Orissa India *Revue d'écologie et de biologie du sol*, 16: 79-83.
- Eaidizadeh, Kh., Mahdavi Dameghani, A., Sabahi, H., and Soofizadeh, S. 2011. The application of bio-fertilizers in combination with chemical fertilizer to grow corn (*Zea mays* L.) in the valley. *Journal of Ecology Agriculture* 2 (2): 293-301. (in Persian).
- El-Mougy, N. S., and Abdel-Kader, M. 2007. Antifungal effect of powdered spices and their extracts on growth and activity of some fungi in relation to damping-off disease control. *Journal of Plant Protection Research* 47 (3): 267-278.
- Ghost, B. C., and Bhat, R. 1998. Environmental hazards of nitrogen loading in wetland rice fields. *Environ. Pollut* 102: 123-126.
- Giovannetti, M., and Mosse, B. 1980. An evaluation of techniques for measuring vesicular arbuscular mycorrhizal infection in roots. *New Phytologist* 84: 489-500.
- Glenn, R. D., Mallesh, B. C., Kubra, B., and Bagyaraj, D. J. 1992. Influence of vermicompost application on the available macronutrients and selected microbial populations in a paddy field. *Soil Biology and Biochemistry* 24: 1317-1320.
- Gliessman, S. R. 1998. Agroecology: Ecological Processes in Sustainable Agriculture. CRC Press, ISBN: 1-57504-043-3.
- Gryndler, M. 2000. Interaction of arbuscular mycorrhizal fungi with other soil organisms. In: *Arbuscular Mycorrhizas: Physiology and Function*. Kapulnik Y., and. Douds, D.D. (Eds.). pp. 239-262. Kluwer Academic Publishers, Dordrecht, The Netherlands, ISBN 0-7923-6444-9.
- Haghparast tanha, M. 1993. Terricolous and agricultural soils. Islamic Azad University Publications of Rasht, No 83-98. (in Persian).

16. Jahan, M. 2008. Agroecological aspects of coexistence corn mycorrhizal fungi and bacteria free-living nitrogen-fixing crops in conventional and ecological systems. PhD thesis of Agriculture (Ecology), Faculty of Agriculture. Mashhad Ferdowsi University. (in Persian).
17. Kader, M. A., Mian, M. H., and Hoque, M. S. 2002. Effects of Azotobacter inoculant on the yield and nitrogen uptake by wheat. *Journal of Biological Sciences* 2 (4): 259-261.
18. Kapoor, R., Chaudhary, V., and Bhatnagar, A. K. 2007. Effects of arbuscular mycorrhiza and phosphorus application on artemisinin concentration in *Artemisia annua* L. *Mycorrhiza* 17: 581-587.
19. Kocheki, A., and Sarmadneya, Gh. H. 2010. Crop physiology. (Translation). Publications University of Mashhad. 400 p. (In Persian).
20. Kormanik, P. P., and McGraw, A. C. 1982. Quantification of vesicular-arbuscular mycorrhizae in plant roots. Available Online at: <http://md1.csa.com/partners/viewrecords.php?requester=gs&collection=ENV&recid=596492>.
21. Lakzeyan, A. 2011. Microbial activity in the rhizosphere. (Translation). University of Mashhad, 380 p. (In Persian).
22. Marulanda, A., Barea, J. M., and Azcon, R. 2006. An indigenous drought-tolerant strain of *Glomus intraradices* associated with a native bacterium improves water transport and root development in *Retama sphaerocarpa*. *FEMS Microbiology Ecology* 52: 670-678.
23. Martin J. P., Black J. H., and Hawthorne, R. M. 1997. Influence of earthworm-processed pig manure on the growth and yield of green house tomatoes. *Bioresource Technology* 75: 175-180.
24. Medina, O. A., Kretschmer, A. E., and Sylvia, D. M. 1990. Growth response of field-grown Siratro (*Macroptilium atropurpureum* Urb.) and *Aeschynomene americana* L. to inoculation with selected vesicular-arbuscular mycorrhizal fungi. *Biology and Fertility of Soils* 9 (1): 54-60.
25. Mohammad, M. J., Malkawi, H. I., and Shibi, R. 2002. Effect of arbuscular mycorrhizal fungi and phosphorus fertilization on growth and nutrient uptake of barley grown on soil with different levels of salts. *Journal of Plant nutrition* 26: 125-137.
26. Moradi, S., Basharati, H., Nadeyan, H., Karimi, A., and Golchin, A. 2010. The effects of humidity, mycorrhiza and Rhizobium on germination, flowering and morphological traits in pea. Soil Science Congress in Gorgan, 243-244. (in Persian).
27. Murty, M. G., and Ladha, J. K. 1988. Influence of *Azospirillum* inoculation on the mineral uptake and growth of rice under hydroponic conditions. *Plant and Soil* 108: 281-285.
28. Nurmohammadi, Gh., Seyadat, A. A., and Kashani, A. 2010. The cultivation of crops. Chamran University Press, 446 p. (in Persian).
29. Panwar, J. D. S. 1991. Effect of VAM and *Azospirillum brasiliense* on photosynthesis, nitrogen metabolism and grain yield in wheat. *Indian Journal of Plant Physiology* 34: 357-361.
30. Pacovsky, R. S. 1990. Development and growth effects in the sorghum-Azospirillum association. *Journal of Applied Microbiology* 68: 555-563.
31. Rajapakse, S., and Miller, C. 1992. Methods for studying vesicular-arbuscular mycorrhizal root colonization and related root physical properties. In: Methods in microbiology, Volume 24. Norris J. R., Read D. J. and Varma A. K. (Eds.). Academic Press Ltd., USA, pp. 302-316.
32. Shirani, A., Alizadeh, A., and Hashemi Dezfuli, A. 2001. Effect of arbuscular mycorrhizal fungi, phosphorus and drought stress on the efficiency of nutrient uptake in wheat. *Publications Seed and Plant* 16: 327-349. (in Persian).
33. Singh, S. P. 1997. Chickpea (*Cicer arietinum* L.). *Field Crops Research* 53: 161-170.
34. Subramanian, K. S., and Charest, C. 1997. Nutritional, growth, and reproductive responses of maize (*Zea mays* L.) to arbuscular mycorrhizal inoculation during and after drought stress at tasselling. *Mycorrhiza* 7 (1): 25-32.
35. Tennant, D. 1975. A test of a modified line intersect method of estimating root length. *Journal of Ecology*, 63: 995-1001.
36. Tilak, K. V. B. R., and Singh, C. S. 1988. Response of pearl millet (*Pennisetum americanum*) to inoculation with vesicular-arbuscular mycorrhizae and *Azospirillum brasiliense* with different source of phosphorus. *Current Science* 57: 43-44.
37. Widada, J., Damarjaya D. I., and Kabirun S. 2007. In: Velazquez, E., and Rodriguez-Barrueco, C. (eds). The interactive effects of arbuscular mycorrhizal fungi and rhizobacteria on the growth and nutrients uptake of sorghum in acid soil. First International Meeting on Microbial Phosphate Solubilization. Springer, p. 173-177.



The Effect of Soil Fertilizers on Yield and Growth Traits of Sorghum (*Sorghum bicolor*)

R. Kamaei¹ - M. Parsa^{2*} - M. Jahan²

Received: 21-04-2014

Accepted: 18-11-2014

Introduction

Since the use of chemical fertilizers causes environmental pollution and ecological damage, so application of biological fertilizers and selection the effective and compatible species in an special area, could be beneficial for sustainability of agroecosystems there. Nowadays, attention to the interrelation of plant-organism tended to interrelations between plant-organism-organism. Such nutritional relations, have ecological importance and important application in agriculture. The aim of this experiment was to evaluate the effect of chemical, organic and bio fertilizers on sorghum performance.

Materials and Methods

A field experiment was conducted in a randomized complete block design with three replications. The experimental treatments include three kinds of biofertilizers and their integrations and vermicompost and chemical fertilizer as follow: 1- mycorrhiza arbuscular (*G. mosseae*) + vermicompost 2- mycorrhiza+ Nitroxine® (included bacteria *Azospirillum* sp. and *Azotobacter* sp.) 3- mycorrhiza arbuscular+ Rhizobium (*Rhizobium* sp.) 4-mycorrhiza arbuscular + Chemical fertilizer NPK 5- mycorrhiza arbuscular 6-control. Mycorrhiza and chemical fertilizer were mixed with soil at the depth of 30 cm before planting. Seeds were inoculated with bio fertilizers and dried at shadow. First irrigation applied immediately after planting. In order to improve seedling emergence second irrigation was performed after 4 days and other irrigation was applied at regular intervals of 10 days. Studied traits were: height and percentage of root colonization, specific root length, seed yield, number of seeds in panicle, thousands seeds weight. To determine the specific root length (root length in a certain volume of soil) at the end of the growing season, plants in each plot were sampled. Then the length of root of each sample was determined.

Results and Discussion

The results showed that although the treatments did not affect the height of stem significantly, but they had significant effects on characteristics of root length colonization, specific root length, leaf area index, crop yield, number of seeds per panicle and thousand grains weight. The results demonstrated that the highest percent of root length colonization (82), specific root length (51.82 m root in 25 cm³ soil), leaf area index (5.47), seed yield (425.62 g.m⁻²), number of seeds in panicle (635) were obtained in mycorrhiza with Nitroxine® treatment. The highest weight of thousands seeds (29.26 g) was gained in simultaneous use of mycorrhiza and vermicompost. On the basis of our results, the integration of mycorrhiza with Nitroxine® is suggested as the best fertilizer treatment for sorghum.

Conclusions

The results showed that the application of mycorrhiza with nitroxin had the greatest effect on growth characteristics and yield of sorghum. It seems that whenever there was a source of nitrogen beside the mycorrhiza, the performance of sorghum was higher. Undoubtedly, application of bio and organic fertilizers specially in poor soils, have positive effects on soil physical and nutritional characteristics. On the other hand according to economical, environmental and social aspects, they are benefits and could be appropriate alternative for chemical fertilizers in future.

Keywords: Mycorrhiza arbuscular, Nitroxine, Percent of root length colonization, Specific root length, Vermicompost

1, 2- Former M.Sc. Student and Associate Professor, College of Agriculture, Ferdowsi University of Mashhad
(*- Corresponding Author Email: pars@um.ac.ir)

بررسی عملکرد و اجزای عملکرد ژنوتیپ‌های مختلف ارزن تحت دو رژیم آبیاری

ساره مشایخی^۱ - غلامرضا خواجه‌ی بی‌نژاد^{۲*} - قاسم محمدی نژاد^۳

تاریخ دریافت: ۱۳۹۳/۰۲/۲۴

تاریخ پذیرش: ۱۳۹۳/۰۹/۱۸

چکیده

به منظور بررسی عملکرد، اجزاء عملکرد ژنوتیپ‌های مختلف ارزن و تعیین متحمل ترین ژنوتیپ براساس شاخص‌های تحمل به خشکی تحت رژیم‌های مختلف آبیاری آزمایشی به صورت کرت‌های خرد شده در قالب طرح بلوک‌های کامل تصادفی با سه تکرار در دانشکده کشاورزی دانشگاه شهید باهنر کرمان اجرا گردید. سطوح آبیاری براساس تبخیر تجمعی از تشتک تبخیر کلاس A شامل سطح اول آبیاری، بدون تنش (۵۰ میلی‌متر تبخیر) و سطح دوم آبیاری، تنش (۱۰۰ میلی‌متر تبخیر) به عنوان فاکتور اصلی و ژنوتیپ‌های مختلف ارزن معمولی و ارزن دم رویاهی به عنوان فاکتور فرعی در نظر گرفته شدند. نتایج تجزیه واریانس حاکی از کاهش معنی دار همه صفات زراعی تحت تنش خشکی بود. مقایسه میانگین گروهی بین ژنوتیپ‌های مختلف ارزن بیانگر آن بود که ژنوتیپ‌های ارزن معمولی نسبت به ژنوتیپ‌های ارزن دم رویاهی برتری داشتند. از بین شاخص‌های تحمل به خشکی شاخص میانگین بهره‌وری MP، میانگین هندسی بهره‌وری GMP، شاخص تحمل تنش STI و شاخص عملکرد YI همبستگی مثبت و معنی‌داری با عملکرد در شرایط تنش و بدون تنش نشان دادند و شاخص‌های مناسب برای شناسایی ژنوتیپ‌های ارزن متحمل به تنش خشکی می‌باشند. در این آزمایش اکوتیپ گلباف پتانسیل عملکرد زیادتر و تحمل نسبی بیشتری نسبت به تنش خشکی نشان داد و می‌تواند به عنوان اکوتیپ امید بخش در معرفی ارقام جدید متحمل به خشکی به کار رود.

واژه‌های کلیدی: ارزن، تنش خشکی، شاخص‌های تحمل، صفات مورفو‌لوزیک، عملکرد دانه

مقدمه

محیطی است (۷). از جمله راه‌های مقابله با تنش خشکی، اصلاح گیاهان متحمل و زودرس است. شناخت این موضوع که هر یک از گیاهان یا ژنوتیپ‌ها چگونه با تنش مقابله می‌کنند، حائز اهمیت می‌باشد (۲۶).

گیاه ارزن (*Punicum miliaceam*), گیاهی علفی و یکساله است که در مناطق گرم و خشک رشد می‌کند و بهدلیل دارا بودن دانه‌های ریز (کوچکتر از دانه‌های ذرت خوش‌ای) در بین غلات به غله *Triticum aestivum*, برنج (*Oriza sativa*), ذرت (*Zea mays*)، جو (*Sorghum bicolor*) و سورگوم (*Hordeum vulgare*) مهتمترین گیاه یکساله جهان محسوب می‌گردد (۲۲). ارزن یکی از گیاهان سازگار به خشکی است که بررسی و مطالعه صفات ویژه آن می‌تواند به شناسایی مکانیسم‌های مؤثر در مقابله با خشکی کمک نماید. مکانیسم‌های متفاوتی برای تحمل خشکی در ارزن‌ها مطرح است. تحقیقات نشان داده است که ارزن می‌تواند از طریق گلدۀ زود هنگام و عدم همزمانی در نمو پنجه‌ها از اثرات خشکی بگریزد (۵) و (۲۹).

گیاهان در طول دوره رشد خود پیوسته توسط عوامل نامساعد محیطی تحت تأثیر قرار می‌گیرند. بعضی از این عوامل محدود مانند تنش رطوبتی، رشد و نمو را در گیاهان محدود می‌کنند (۲). تنش رطوبتی جزء تنش‌های عمومی می‌باشد که آثار بسیار نامطلوبی بر رشد و تولید گیاهان زراعی می‌گذارد (۶). شدیدترین اثرات تنش خشکی موقعی مشاهده می‌شوند که کمبود آب در دوره گلدهی یا پر شدن دانه رخ دهد. در مرحله رشد زایشی گیاه، تنش آب فرآیند گلدهی و رسیدن میوه را تسریع می‌کند (۴۶). تنش خشکی مهمترین عامل محدودکننده رشد و نمو گیاهان در سرتاسر دنیا می‌باشد، به طوری که کاهش رشد در اثر تنش خشکی به مرتب بیشتر از سایر تنش‌های

۱ و ۲- بهترتبی دانشجوی کارشناسی ارشد و دانشیار گروه زراعت و اصلاح نباتات، دانشکده کشاورزی دانشگاه شهید باهنر کرمان
۳- دانشیار گروه اصلاح نباتات، مدیر قطب علمی تنش‌های محیطی در غلات، دانشکده کشاورزی دانشگاه شهید باهنر کرمان
(*- نویسنده مسئول: Email: Mohammadinejad@yahoo.com)

اولویت دار در این منطقه می‌باشد. این آزمایش با هدف بررسی تأثیر سطوح آبیاری بر عملکرد، اجزاء عملکرد در ژنوتیپ‌های مختلف ارزن و تعیین متholm ترین ژنوتیپ به تنش خشکی با استفاده از شاخص‌های تحمل به خشکی و مقایسه واکنش ژنوتیپ‌های مختلف ارزن دم روباهی در مقایسه با ژنوتیپ‌های مختلف ارزن معمولی تحت تنش صورت گرفت.

مواد و روش‌ها

به منظور بررسی عملکرد، اجزاء عملکرد ژنوتیپ‌های مختلف ارزن و تعیین متholm ترین ژنوتیپ براساس شاخص‌های تحمل به خشکی تحت دو رژیم آبیاری، آزمایشی در سال ۱۳۹۱ در مزرعه تحقیقاتی دانشکده کشاورزی دانشگاه شهید باهنر کرمان (عرض جغرافیایی ۵۷ درجه و ۱۰ دقیقه شمالی، طول جغرافیایی ۳۰ درجه و ۲۰ دقیقه شرقی و ارتفاع ۱۷۵۴ متر از سطح دریا) بهصورت کرت‌های خرد شده در قالب طرح بلوك‌های کامل تصادفی با سه تکرار انجام شد. براساس آمار هواشناسی موجود و با توجه به تقسیم‌بندی آبریزه این منطقه دارای اقلیم نیمه خشک با تابستان‌های گرم و زمستان‌های معتدل می‌باشد. میانگین درجه حرارت سالانه آن $17/4$ درجه سانتی‌گراد و میانگین حداقل و حداکثر دما بهترتیب $8/6$ و $26/2$ درجه سانتی‌گراد می‌باشد. متوسط تبخیر سالانه از تستک تبخیر کلاس A $2792/3$ میلی‌متر، متوسط رطوبت نسبی هوا $31/5$ درصد و متوسط بارندگی سالانه $124/3$ میلی‌متر می‌باشد. این منطقه واقع در جنوب شرقی ایران در خاکی با بافت لومی‌شنی و pH قلیایی و هدایت الکتریکی آب ایران در $0.96/0$ ds m⁻¹ قرار دارد. سطوح تیمار آبیاری براساس تبخیر تجمعی از تستک تبخیر کلاس A شامل سطح اول آبیاری، آبیاری مرسموم (۵۰ میلی‌متر تبخیر) و سطح دوم آبیاری، کم آبیاری (100 میلی‌متر تبخیر) بهعنوان فاکتور اصلی در کرت‌های اصلی و ژنوتیپ‌های دو گونه ارزن شامل (ارزن معمولی (*Punicum miliaceam*)): رقم پیشنهانگ، اکوچیپ‌های رابر، گلباخ و لاین‌های P101، P69 و ارزن دم روباهی (*Setaria italica*): رقم باستان و لاین‌های S79، S81 و S85 که لاین‌ها از موسسه تحقیقات اصلاح و تهیه نهال و بذر کرج تهییه شدند بهعنوان عامل فرعی در کرت‌های فرعی قرار گرفتند. آبیاری مزرعه تا اعمال تیمار خشکی (مرحله سه برگی)، برای کلیه کرت‌ها بهصورت یکسان انجام شد. پس از آن زمان انجام آبیاری با توجه به تستک تبخیر کلاس A (۵۰ میلی‌متر تبخیر از تستک)، تعیین گردید.

تهییه زمین شامل شخم پاییزه و دو دیسک بهاره عمود بر هم و تسطیح زمین بهوسیله لول بود و کودپاشی براساس آزمون خاک به مقدار 200 کیلو گرم کود اوره (در دو مرحله قبل از کاشت و مرحله ساقه رفتن)، 150 کیلوگرم کود سوپر فسفات تریپل و 100 کیلوگرم

بروک و همکاران (۹) کاهش شاخص برداشت گیاه ارزن، در اثر تنش خشکی را گزارش کردند. برخی محققین در مطالعه تأثیر تنش کم آبی بر روابط آبی و رشد دو گونه سوروف (- *Echinocloa crus-galli* L.) و ارزن مروارید (*Pennisetum glaucum*)، مشاهده نمودند که تنش آبی باعث کاهش ارتفاع گیاه، وزن خشک اندام هوابی و تعداد پنجه در هر سه گیاه گردید. شدت این اثرات در ارزن مروارید به مراتب کمتر از دو گونه دیگر بود (۱۰). تنش خشکی در ارزن، سبب کاهش عملکرد دانه، تعداد دانه در خوش و وزن هزار دانه می‌شود (۲۸). کاهش عملکرد بیولوژیکی در بررسی تنش خشکی نیز گزارش گردیده است (۳۷).

برای شناسایی مقاومت و واکنش رقمهای به تنش براساس عملکرد دانه، شاخص‌های متفاوتی گزارش شده است. برخی محققین شاخص تحمل^۱ (TOL) و شاخص میانگین بهره‌وری^۲ (MP) را پیشنهاد داده‌اند که مقادیر بالای TOL نشان‌دهنده حساسیت نسبی ژنوتیپ‌ها به تنش است (۴۴). شاخص MP نیز بهصورت متوسط جمع جبری عملکرد یک ژنوتیپ در شرایط تنش و بدون تنش تعریف می‌شود. شاخص تحمل تنش^۳ (STI) بهعنوان معیاری برای گزینش ارقام متحمل به تنش خشکی است که مقادیر بالای این شاخص نشان‌دهنده تحمل زیاد تنش و عملکرد بالقوه بالا است (۱۲). شاخص دیگری که ارائه شد میانگین هندسی بهره‌وری^۴ (GMP) است، این شاخص در مقایسه با MP در تفکیک رقمهای از قدرت بالاتری برخوردار است (۱۲). یکی دیگر از شاخص‌های انتخاب، شاخص حساسیت به تنش^۵ (SSI) است محققین نشان دادند که ژنوتیپ‌هایی با SSI کمتر از واحد، به خشکی متحمل تر هستند. بنابراین کاهش عملکرد آن‌ها در شرایط خشکی کمتر از کاهش عملکرد متوسط کل ژنوتیپ‌ها است (۱۳). شاخص پایداری عملکرد^۶ (YSI) عملکرد یک رقم در شرایط تنش را نسبت به عملکرد غیر تنش آن ارزیابی می‌کند و می‌تواند شاخص مناسبی برای شناسایی ارقام متحمل به تنش باشد، بنابراین انتظار می‌رود ارقامی با YSI بالاتر عملکرد بیشتری در هر دو شرایط داشته باشند (۸). شاخص عملکرد^۷ (YI) ارقام را فقط براساس عملکرد در شرایط تنش رتبه‌بندی می‌کند، بنابراین رقمهای با عملکرد بالا در هر دو شرایط تنش و عدم تنش را تشخیص نمی‌دهد (۱۶).

با توجه به اینکه مهمترین عامل مربوط کننده کشت گیاهان در مناطق خشک از جمله استان کرمان کمیود آب می‌باشد لذا بررسی نیاز آبی گیاهان و شناسایی ارقام مقاوم به خشکی جزو تحقیقات

1- Tolerance

2- Mean Productivity

3- Stress Tolerance Index

4- Geometric Mean Productivity

5- Stress Susceptibility Index

6- Yield Stability Indexes

7- Yield Index

همچنین بین ژنتیپ‌ها اختلاف معنی‌داری وجود داشت، به‌طوری‌که مقایسه گروهی نشان داد این اختلاف صرفاً به خاطر اختلاف در دو جنس ارزن است و ارتباطی به ژنتیپ‌های هر جنس با هم ندارد (جدول ۱). همچنین نتایج مقایسه گروهی میانگین‌ها بین ژنتیپ‌های ارزن نشان داد که ژنتیپ‌های ارزن دم روپاهی دارای تعداد پنجه بیشتری بودند (جدول ۳). در بین ژنتیپ‌های موجود در این آزمایش، ژنتیپ‌های باستان، S85، S81، S79، P69 بیشترین تعداد پنجه و ژنتیپ‌های رابر و آبیاری متبرین تعداد پنجه را در شرایط تنفس خشکی دارا بودند (جدول ۲). در این تحقیق اثر رژیم‌های مختلف آبیاری معنی‌دار شد (جدول ۱). به منظور تحلیل بیشتر اثر متقابل به اجزا، اثر متقابل آبیاری در ارزن دم روپاهی و اثر متقابل آبیاری در ارزن معمولی تفکیک شد که در نتیجه هیچ‌کدام به تنهایی معنی‌دار نشد. در حالی که این اختلاف اثر متقابل آن‌ها بود که معنی‌دار شد یعنی هیچ‌کدام از جنس‌ها به تنهایی واحد اثر متقابل نبودند که بیانگر واکنش یکسان آن‌ها به تغییرات محیطی است ولی چون نوع واکنش این دو جنس به تیمارهای آبیاری مختلف می‌باشد، لذا اختلاف اثر متقابل آن‌ها معنی‌دار گردید که با این وجود اثر متقابل آبیاری در ژنتیپ معنی‌دار گردید (جدول ۱). ناخدا و همکاران گزارش نمودند که خشکی باعث کاهش ارتفاع، تعداد پنجه و نسبت برگ به ساقه در ارزن نوتوفید شد (۳۳). گزارش‌های برخی محققین دیگر نیز حاکی از کاهش تعداد پنجه بر اثر تنفس خشکی است که با نتایج این تحقیق مطابقت دارد (۲۸ و ۲۷).

ارتفاع بوته: نتایج تجزیه واریانس حاکی از اختلاف معنی‌دار بین ژنتیپ‌های مختلف ارزن بود (جدول ۱). مقایسه گروهی میانگین‌ها نشان داد که ارزن دم روپاهی نسبت به ارزن معمولی ارتفاع بیشتری دارد (جدول ۳). در بین ژنتیپ‌های موجود در این آزمایش، ژنتیپ S85 بیشترین ارتفاع ساقه را دارا بود و ژنتیپ‌های رابر و گلباش که از نظر آماری تفاوت معنی‌داری بین آن‌ها مشاهده نشد کمترین ارتفاع ساقه را دارا بودند (شکل ۱-ب). اثر رژیم‌های مختلف آبیاری در سطح یک درصد معنی‌دار گردید به‌طوری‌که ارتفاع در شرایط نرمال بیش از ارتفاع در شرایط تنفس بود (شکل ۱-الف). در حالی که اثر متقابل آبیاری در ژنتیپ معنی‌دار نبود ولی پس از تفکیک اثر متقابل آبیاری در ژنتیپ برای ارزن‌های معمولی و دم روپاهی اثر متقابل آبیاری در ارزن دم روپاهی معنی‌دار نشد که بیانگر واکنش یکنواخت این ژنتیپ‌ها به تیمارهای آبیاری است در حالی که اثر متقابل آبیاری در ارزن معمولی و اختلاف آثار متقابل دو جنس مختلف ارزن در سطوح آبیاری معنی‌دار شد که بیانگر تنوع بیشتر ژنتیپ‌های مختلف ارزن معمولی نسبت به ارزن دم روپاهی در شرایط تنفس است (جدول ۱). ارتفاع بوته صفتی است که بیش از هر عامل دیگر تحت تأثیر ویژگی‌های ژنتیکی قرار می‌گیرد (۴۱).

کود سولفات پتاسیم در هکتار که قبل از کاشت به زمین داده شد انجام گردید. مبارزه با علف‌های هرز نیز قبل و بعد از سبز شدن انجام شد. جهت جلوگیری از نشت آب، فاصله بین کرته‌های اصلی دو متر و همچنین فاصله بین تکرارها نیز دو متر در نظر گرفته شد. در زمان رسیدگی فیزیولوژیک دانه، پس از حذف ردیف‌های حاشیه و ۰/۵ متر از ابتدا و انتهای هر کرت با برداشت از خطوط میانی صفاتی نظیر ارتفاع بوته، تعداد پنجه در هر گیاه، تعداد شاخه فرعی، تعداد پانیکول در هر گیاه، شاخص برداشت، عملکرد بیولوژیک، وزن هزار دانه و عملکرد دانه اندازه‌گیری و محاسبه شدند. طرح مورد نظر در دو کرت اصلی (تنش و عدم تنش) و ۹ کرت فرعی که شامل چهار ردیف کاشت ۲/۵ متری به فاصله ۵۰ سانتی‌متری از یکدیگر در نظر گرفته شد. عملیات کاشت با دست در ۲۵ اردیبهشت ماه انجام شد. تعداد بوته در هر هکتار حدود ۴۰۰۰۰۰ بوته بود. شاخص‌های تحمل به خشکی شامل شاخص تحمل، شاخص میانگین بهره‌وری، شاخص تحمل تنفس، میانگین هندسی بهره‌وری، شاخص حساسیت به تنفس، شاخص پایداری عملکرد و شاخص عملکرد از روابط زیر محاسبه شدند.

$$SSI = \frac{1 - (\bar{Y}_s / Y_p)}{1 - (\bar{Y}_s / \bar{Y}_p)} \quad (1)$$

$$TOL = Y_p - Y_s \quad (2)$$

$$YSI = \frac{Y_s}{Y_p} \quad (3)$$

$$YI = \frac{Y_s}{\bar{Y}_s} \quad (4)$$

$$MP = \frac{(Y_p + Y_s)}{2} \quad (5)$$

$$STI = \frac{Y_s \times Y_p}{\bar{Y}_p^2} \quad (6)$$

$$GMP = \sqrt{Y_p \times Y_s} \quad (7)$$

در روابط فوق Y_p عملکرد دانه ژنتیپ مورد نظر در شرایط بدون تنفس، Y_s عملکرد دانه ژنتیپ مورد نظر در شرایط تنفس، \bar{Y}_p میانگین عملکرد ژنتیپ‌ها در شرایط بدون تنفس و \bar{Y}_s میانگین عملکرد ژنتیپ‌ها در شرایط تنفس است. پس از محاسبه شاخص‌های فوق همبستگی بین مقادیر این شاخص‌ها و عملکرد دانه در شرایط تنفس و بدون تنفس خشکی محاسبه شد تا بهترین شاخص‌ها برای شناسایی و انتخاب ژنتیپ‌های متحمل به تنفس خشکی مشخص شوند. مقایسه گروهی میانگین‌ها در بین ژنتیپ‌های ارزن (معمولی و دم روپاهی)، در هر سطح آبیاری انجام شد. برای تجزیه و تحلیل داده‌ها، محاسبه همبستگی بین شاخص‌ها و ترسیم نمودارها از نرم افزارهای SAS و Excel استفاده گردید. مقایسه میانگین‌های به دست آمده برای هر صفت نیز با استفاده از آزمون دانکن در سطح احتمال پنج درصد صورت پذیرفت.

نتایج و بحث

تعداد پنجه: تنفس خشکی اثر کاهنده‌ای در تعداد پنجه داشت و

جدول ۱- نتایج تجزیه واریانس صفات مورفولوژیکی و عملکرد ارزن در تیمارهای آبیاری و ژنوتیپ‌ها
Table 1- Analysis of variance for morphological and Irrigation and millet genotypes

متابع تغییر	درجه آزادی	تعداد پنجه در هر گیاه	ارتفاع بوته	تعداد شاخه فرعی	تعداد پانیکول در هر گیاه	شاخص برداشت	وزن هزار دانه	عملکرد بیولوژیک	عملکرد دانه
تکرار (Repeat)	2	0.20	321.96	0.57	0.49	2.56	0.01	59017664.9	75752.46
آبیاری (Irrigation)	1	0.19*	4295.15**	0.88*	2.44*	56.65**	0.001 ^{ns}	28184002.7**	4741.40 ^{ns}
خطا (Error a)	2	0.02	159.36	0.12	0.02	7.82	0.02	12058893.6	3321.13
ژنوتیپ (Genotype)	8	0.26**	1530.93**	8.01**	20.32**	211.51**	0.31**	14224507.8**	428933.47**
اختلاف دو جنس ارزن									
(Differences between the sexes Millet)	1	0.58**	2272.63**	20.41**	42.54**	42.64**	0.60**	3891985.80 ^{ns}	73173.69**
باقیمانده (The remaining)	7	0.07 ^{ns}	304.48 ^{ns}	2.05**	4.25**	122.05**	0.08*	7981561.09**	280046.18**
آبیاری × ژنوتیپ (Irrigation × genotype)	8	0.14**	241.33 ^{ns}	1.36**	1.36**	170.51**	0.02 ^{ns}	4511634.9*	149749.86**
آبیاری × ارزن معمولی (Irrigation × common millet)	4	0.09 ^{ns}	401.27*	3.51**	7.44**	147.88**	0.14**	11894304.15**	347399.65**
آبیاری × ارزن دم روپاهی (Irrigation × foxtail millet)	3	0.04 ^{ns}	175.42 ^{ns}	0.09 ^{ns}	0 ^{ns}	87.61**	0.004 ^{ns}	2088131.88 ^{ns}	190241.55**
اختلاف اثر متقابل دو جنس (The interaction between the sexes)	1	0.58**	2272.63**	20.41**	55.42**	42.64**	0.60**	3891985.80 ^{ns}	73173.69**
خطا b (Error b)	32	0.03	135.96	0.20	0.36	5.34	0.03	1862670.4	12751.10

ns, * و ** به ترتیب غیرمعنی‌دار و معنی‌دار در سطوح ۵ و ۱ درصد.
ns, *and** respectively insignificant and significant at the 5% and 1%

می‌شود. تولید مریستم‌های انتهایی ساقه موجب افزایش ارتفاع یا طول گیاه می‌گردد که در شرایط تنفس خشکی تولید سلول‌های مریستمی کم، و در نتیجه ارتفاع ساقه کاهش می‌یابد (۲۰). کاهش ارتفاع بوته تحت شرایط تنفس در گیاهان علوفه‌ای نظریه سورگوم، ارزن و ذرت گزارش شده است (۴).

با این حال شرایط محیطی از جمله تنفس خشکی، ارتفاع بوته را تحت تأثیر قرار می‌دهد. کاهش ارتفاع در اثر تنفس خشکی می‌تواند به دلیل تأثیر تنفس بر روی آماس سلولی و همچنین کاهش تکثیر سلولی باشد. واریته‌های مختلف از نظر عکس العمل به تنفس خشکی با هم متفاوت می‌باشند، در همین رابطه نزرلی و زرددشتی (۳۴) بیان کردند برای طویل شدن سلول نیاز به یک حداقل پتانسیل آب بوده است و در نتیجه در اثر کمبود آب در نهایت، میانگره‌ها و ارتفاع ساقه کوتاه

جدول ۲- مقایسه میانگین‌های اثر متقابل آبیاری و واریته بر صفات رویشی و زایشی ارزن

Table 2- Comparison of the interaction of Irrigation and millet at varieties vegetative and reproductive traits

آبیاری	زنوتب	تعداد پنجه در هر گیاه	ارتفاع بوته (cm)	تعداد شاخه فرعی	تعداد پانیکول در هر گیاه	شاخص برداشت (%)	وزن هزار دانه (g)	عملکرد بیولوژیک (kg ha ⁻¹)	عملکرد دانه (kg ha ⁻¹)
تش (Stress)	پیشاهنگ	0.5 ^{cd}	73.4 ^{d-g}	2.9 ^{bc}	3.8 ^{bc}	5.2 ^{f-h}	0.8 ^{b-f}	4724.0 ^{c-f}	169.0 ^{f-h}
	رابر	0.2 ^d	57.4 ^g	2.3 ^{cd}	4.8 ^b	4.0 ^{f-h}	0.8 ^{b-f}	2662.6 ^f	100.0 ^{gh}
	گلبا	0.8 ^{bc}	56.8 ^g	1.2 ^{ef}	2.0 ^e	11.3 ^{de}	1.3 ^a	3105.3 ^{ef}	592.0 ^{bc}
	P69	0.4 ^d	61.3 ^{e-g}	2.1 ^d	3.4 ^{cd}	8.4 ^{ef}	0.8 ^{b-e}	3660.6 ^{d-f}	426.6 ^{c-e}
	P101	0.8 ^{bc}	70.6 ^{d-g}	1.1 ^{ef}	2.1 ^e	3.7 ^{gh}	0.6 ^{c-g}	6422.0 ^{bc}	294.6 ^{d-h}
	باستان	1.0 ^{ab}	81.4 ^{c-e}	1.0 ^{ef}	1.0 ^f	6.6 ^{f-h}	0.6 ^{c-g}	2979.3 ^f	226.6 ^{e-h}
	S79	1.1 ^{ab}	80.2 ^{c-f}	0.9 ^{ef}	1.0 ^f	2.6 ^h	0.7 ^{c-g}	2900.6 ^f	85.3 ^h
	S81	1.0 ^{ab}	90.7 ^{a-d}	1.0 ^{ef}	1.0 ^f	7.0 ^{f-h}	0.6 ^{d-g}	4042.3 ^{c-f}	504.0 ^{cd}
	S85	1.0 ^{ab}	106.7 ^{ab}	0.4 ^f	1.0 ^f	6.3 ^{f-h}	0.5 ^{fg}	4990.0 ^{c-f}	388.6 ^{c-e}
	پیشاهنگ	0.8 ^{bc}	97.6 ^{a-c}	5.2 ^a	5.9 ^a	6.1 ^{f-h}	0.9 ^{b-d}	9168.6 ^a	234.0 ^{e-h}
نرمال (Normal)	رابر	1.1 ^{ab}	58.6 ^{fg}	3.2 ^b	6.8 ^a	16.2 ^c	0.8 ^{b-e}	3165.3 ^{ef}	334.6 ^{d-f}
	گلبا	1.0 ^{ab}	70.9 ^{d-g}	1.6 ^{de}	2.2 ^e	33.4 ^a	1.1 ^{ab}	3290.6 ^{ef}	1299.0 ^a
	P69	0.6 ^{cd}	99.2 ^{a-c}	3.3 ^b	4.0 ^{bc}	13.8 ^{cd}	0.9 ^{bc}	5938.3 ^{b-d}	776.6 ^b
	P101	1.0 ^{ab}	85.7 ^{b-d}	1.2 ^{ef}	2.7 ^{/vde}	4.7 ^{f-h}	0.6 ^{c-g}	7924.6 ^{ab}	304.6 ^{d-g}
	باستان	1.0 ^{ab}	107.6 ^{ab}	1.0 ^{ef}	1.0 ^f	7.3 ^{e-g}	0.6 ^{d-g}	6389.3 ^{bc}	420.6 ^{c-e}
	S79	1.2 ^a	110.4 ^a	1.2 ^{ef}	1.0 ^f	6.0 ^{f-h}	0.4 ^g	3672.6 ^{d-f}	122.0 ^{f-h}
	S81	1.0 ^{ab}	100.5 ^{a-c}	1.0 ^{ef}	1.0 ^f	23.2 ^b	0.6 ^{c-g}	5666.0 ^{b-e}	784.0 ^b
	S85	1.0 ^{ab}	108.1 ^a	0.7 ^{ef}	1.0 ^f	7.7 ^{e-g}	0.5 ^{e-g}	5699.3 ^{b-e}	440.6 ^{c-e}

میانگین‌های دارای حداقل یک حرف مشترک، از نظر آماری در سطح احتمال پنج درصد با آزمون دانکن معنی‌دار نیستند.

The mean of at least one letter in common, they are not statistically significant at the 5% level.

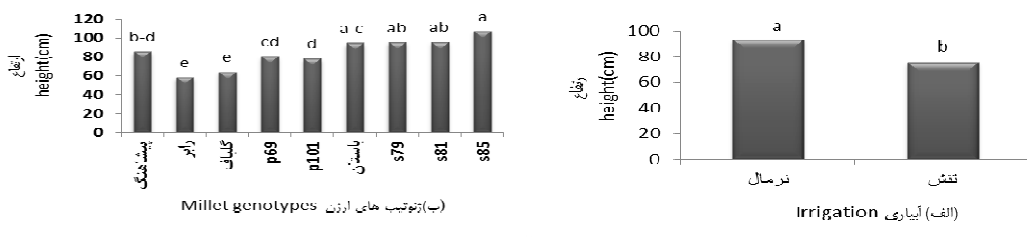
جدول ۳- مقایسات گروهی میانگین صفات رویشی، عملکرد و اجزای عملکرد براز ژنوتب‌های ارزن معمولی و دم رویاهی تحت رژیمهای مختلف آبیاری

Table 3- Comparisons of mean growth characteristics, yield and yield components for common and foxtail millet genotypes under different irrigation regimes

آبیاری	زنوتب	تعداد پنجه در هر گیاه	ارتفاع بوته (cm)	تعداد شاخه فرعی	تعداد پانیکول در هر گیاه	شاخص برداشت (%)	وزن هزار دانه (g)	عملکرد بیولوژیک (kg ha ⁻¹)	عملکرد دانه (kg ha ⁻¹)
تش (Stress)	ارزن معمولی (common millet)	0.55b	63.93b	1.94a	3.23a	6.54a	0.92a	4114.93a	316.46a
	ارزن دم رویاهی (foxtail millet)	1.02 a	89.78a	0.83b	1b	5/67b	0.62b	3728.08b	301.16b
نرمال (Normal)	ارزن معمولی (common millet)	0.91b	82.43b	2.91a	3.93a	14.87a	0.94a	5897.52a	589.79a
	ارزن دم رویاهی (foxtail millet)	1.05a	106.68a	0.99 b	1b	11.12b	0.57b	5356.83b	441.83b

میانگین‌های دارای حداقل یک حرف مشترک، از نظر آماری در سطح احتمال پنج درصد با آزمون دانکن معنی‌دار نیستند.

The mean of at least one letter in common, they are not statistically significant at the 5% level.



شکل ۱- مقایسه میانگین ارتفاع بوته در (الف) تیمارهای آبیاری و (ب) ژنوتیپ‌های مختلف
Figure 1- Compares the average height of a) Irrigation treatments and b) Genotypes

آماری تفاوت معنی‌داری بین آن‌ها وجود ندارد (جدول ۲). اثر متقابل آبیاری در ژنوتیپ بر روی تعداد پانیکول معنی‌دار بود ولی پس از تفکیک اثر متقابل آبیاری در ژنوتیپ برای دو جنس مختلف ارزن اثر متقابل آبیاری در ارزن دم روباهی معنی‌دار نشد که نشان‌دهنده واکنش یکسان ژنوتیپ‌ها به تیمار آبیاری است. در حالی که اثر متقابل آبیاری در ارزن معمولی و اختلاف آثار متقابل دو جنس مختلف ارزن در سطوح آبیاری معنی‌دار شد که بیانگر تنوع بیشتر ژنوتیپ‌های مختلف ارزن معمولی نسبت به ارزن دم روباهی در شرایط تنش است (جدول ۱). در آزمایشی که بر روی گیاه گلرنگ صورت گرفت، تعداد طبق در بوته در اثر تنش کمبود آب، کاهش معنی‌داری یافت (۱). همچنین گزارش شده است که تنش کمبود آب منجر به کاهش معنی‌دار تعداد غوزه در بوته پنبه (*Gossypium hirsutum*) گردیده است (۴۰).

شاخص برداشت: نتیجه تجزیه واریانس نشان داد که بین ژنوتیپ‌ها اختلاف معنی‌داری وجود داشت که این اختلاف بین دو جنس ارزن و درون جنس‌ها معنی‌دار شد (جدول ۱). نتایج مقایسه گروهی میانگین‌ها بین ژنوتیپ‌های ارزن برای شاخص برداشت نشان داد که ارزن معمولی دارای شاخص برداشت بیشتری است (جدول ۳). در بین ژنوتیپ‌های موجود در این آزمایش، ژنوتیپ‌های گل‌باف بیشترین و S79 کمترین شاخص برداشت را در شرایط تنش خشکی دارا بودند (جدول ۲). تنش خشکی اثر کاهشی معنی‌داری روی شاخص برداشت نشان داد و اثر متقابل آبیاری در ژنوتیپ بر روی شاخص برداشت معنی‌دار بود که پس از تفکیک اثر متقابل آبیاری در ژنوتیپ برای ارزن‌های معمولی و دم روباهی، اثر متقابل آبیاری در ارزن دم روباهی، اثر متقابل آبیاری در ارزن معمولی و اختلاف آثار متقابل دو جنس مختلف ارزن در سطوح آبیاری معنی‌دار شد که به علت اختلاف بیشتر پاسخ ژنوتیپ‌های دو جنس نسبت به یکدیگر می‌باشد (جدول ۱). شاخص برداشت از طریق کاهش تعداد غلاف در بوته، تعداد دانه در هر غلاف، وزن دانه‌ها و در نهایت کاهش عملکرد اقتصادی، کاهش می‌باید. در تطابق با این نتایج برخی محققین نیز کاهش شاخص برداشت را در اثر تنش آبیاری در لوبیا چیتی (Phaseolus vulgaris) گزارش کردند (۳). شاخص برداشت گیاه

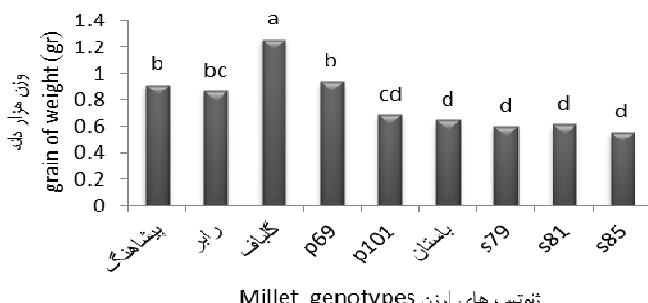
تعداد شاخه فرعی: نتایج به دست آمده حاکی از اختلاف معنی‌دار بین ژنوتیپ‌ها بود به طوری که اختلاف بین دو جنس و درون جنس‌ها معنی‌دار شد (جدول ۱). در مقایسه گروهی میانگین‌ها بین ژنوتیپ‌های مختلف ارزن، مشاهده شد که ارزن معمولی دارای تعداد شاخه فرعی بیشتری نسبت به ارزن دم روباهی بود (جدول ۳). در بین ژنوتیپ‌های موجود در این آزمایش، رقم پیشنهادی بیشترین و ژنوتیپ S85 کمترین تعداد شاخه فرعی را در شرایط تنش خشکی دارا بودند (جدول ۲). تنش آبی نیز اثر کاهشی معنی‌داری روی تعداد شاخه فرعی نشان داد. نتایج تجزیه واریانس حاکی از آن است که اثر متقابل آبیاری در ژنوتیپ بر روی تعداد شاخه فرعی معنی‌دار شد ولی پس از تفکیک اثر متقابل آبیاری در ژنوتیپ برای دو جنس مختلف ارزن، اثر متقابل آبیاری در ارزن دم روباهی معنی‌دار نشد که بیانگر واکنش یکنواخت این ژنوتیپ‌ها به تیمار آبیاری است در حالی که اثر متقابل آبیاری در ارزن معمولی و همچنین اختلاف اثر متقابل دو جنس مختلف ارزن در سطوح آبیاری معنی‌دار شد که بیانگر تنوع بیشتر ژنوتیپ‌های مختلف ارزن معمولی نسبت به ارزن دم روباهی در شرایط تنش است (جدول ۱). نوروز پور و رضوانی مقدم اعلام کردند که تنش خشکی در گیاه دارویی سیاه دانه (*Nigella sativa*) سبب کاهش در تعداد شاخه‌های فرعی شده و دلیل آن را کاهش طول مرحله رشد رویشی و افزایش سرعت گذر گیاه از مرحله رشد رویشی و رساندن خود به مرحله رشد زایشی ذکر کردند (۳۵). تنش خشکی در گیاه گلرنگ (*Carthamus tinctorius*) منجر به کاهش سطح برگ، ارتفاع گیاه، تعداد شاخه و تعداد طبق گردید (۲۱).

تعداد پانیکول: تنش خشکی اثر کاهشی بر تعداد پانیکول داشت و نتیجه تجزیه واریانس نشان داد بین ژنوتیپ‌ها اختلاف معنی‌دار وجود دارد که این اختلاف بین دو جنس و درون جنس‌ها معنی‌دار شد (جدول ۱). مقایسه گروهی میانگین‌ها بین ژنوتیپ‌های ارزن نشان داد که ژنوتیپ‌های ارزن معمولی بیشترین تعداد پانیکول را نسبت به ارزن دم روباهی دارا بودند (جدول ۳). در بین ژنوتیپ‌های موجود در این آزمایش، اکوتب را بر بیشترین تعداد پانیکول را در شرایط تنش خشکی دارا بود و ژنوتیپ‌های باستان، S79، S81، S85 کمترین تعداد پانیکول را در شرایط تنش خشکی داشتند که از نظر

ازن معمولی و اختلاف آثار متقابل برای دو جنس مختلف ارزن در سطوح آبیاری معنی‌دار شد که بیانگر تنوع بیشتر ژنتیک‌های مختلف ارزن معمولی نسبت به ارزن دم روباهی در شرایط تنفس است (جدول ۱). وزن هزار دانه نشان‌دهنده وضعیت و طول دوره زایشی هر گیاه است و از آنجا که با آغاز گلدهی و مشخص شدن تعداد دانه در بوته، دانه‌ها شروع به دریافت و ذخیره مقادیری از مواد فتوستراتی می‌نمایند، می‌باشد بین وزن هزار دانه هنگامی که گیاه در حال تنفس رطوبتی قرار می‌گیرد، با حالت‌های نرم تفاوت وجود داشته باشد (۴۱). با محدود شدن آبیاری در مرحله زایشی به دلیل اینکه طول دوره پر شدن دانه کاهش می‌یابد گیاه با محدودیت منبع مواجه شده و مواد کمتری به دانه‌ها منتقل می‌شود. بنابراین هرگونه تنفس کم آبی در طی این مراحل می‌تواند بر روابط منع و مخزن تأثیر منفی بگذارد. برخی از تحقیقات بیانگر آن است که خشکی باعث کاهش وزن هزار دانه می‌شود (۴۷). تنفس خشکی بعد از گلدهی باعث کاهش تعداد سلول آندوسپریم دانه در قاعده و راس سنبله شده و در نهایت وزن دانه را کاهش می‌دهد (۳۰). برخی تحقیقات نیز حاکی از آن است که محدودیت آب موجب کاهش رشد دانه و وزن هزار دانه می‌شود و بیشترین کاهش هنگامی است که گیاه با تنفس خشکی آخر فصل مواجه شود (۴۳). اعمال تنفس خشکی از ابتدای مرحله رویشی انجام شد ولی از آن جایی که حساس‌ترین مراحل زندگی گیاهان زراعی به تنفس‌های محیطی به خصوص تنفس خشکی و شوری مراحل گلدهی و دانه‌بندی می‌باشد کاهش وزن هر دانه و افزایش درصد پوکی دانه، سبب کاهش وزن هزار دانه گردید. در همین رابطه محققان زیادی کاهش وزن هزار دانه در اثر تنفس خشکی را گزارش کرده‌اند (۲۳) و (۴۷).

درت تحت تأثیر تنفس خشکی تقریباً ثابت است. همان طور که تنفس خشکی باعث کاهش عملکرد دانه می‌گردد، وزن خشک کل را نیز کم می‌کند، مگر اینکه تنفس شدید باعث کاهش عملکرد دانه به میزان زیاد گردد و در نتیجه شاخص برداشت کاهش پیا کند (۴۵). اعمال تنفس خشکی از ابتدای مرحله رویشی تا رسیدگی دانه تأثیر قابل ملاحظه‌ای بر شاخص برداشت ندارد؛ زیرا کاهش پتانسیل آب خاک در سرتاسر دوره رشد باعث کاهش یکنواخت عملکرد دانه و کل ماده خشک تولیدی (عملکرد بیولوژیک) می‌شود (۳۶)؛ ولی کاهش پتانسیل آب خاک در دوره‌ی زایشی باعث کاهش بیشتر عملکرد دانه نسبت به عملکرد بیولوژیک شده که از این طریق شاخص برداشت نقصان خواهد یافت. کاهش شاخص برداشت در اثر تنفس خشکی آخر فصل توسط سایر محققین نیز گزارش شده است (۱۴) و (۴۷).

وزن هزار دانه: نتایج تجزیه واریانس حاکی از اختلاف معنی‌دار بین ژنتیک‌های مختلف ارزن بود که این اختلاف بین دو جنس و درون جنس‌های ارزن معنی‌دار شد (جدول ۱). مقایسه گروهی میانگین‌ها در مورد وزن هزار دانه نشان داد که ژنتیک‌های ارزن معمولی دارای وزن هزار دانه بیشتری نسبت به ژنتیک‌های ارزن دم روباهی می‌باشند (جدول ۳). در بین ژنتیک‌های موجود در این آزمایش، اکوتیپ گلباف بیشترین وزن هزار دانه و ژنتیک‌های باستان، S79، S81 و S85 که از نظر آماری تفاوت معنی‌داری بین آن‌ها وجود ندارد کمترین وزن هزار دانه را دارا بودند (شکل ۲). اثر متقابل آبیاری در ژنتیک معنی‌دار نشد ولی پس از تفکیک اثر متقابل آبیاری در ژنتیک برای ارزن‌های معمولی و دم روباهی، اثر متقابل آبیاری در ارزن دم روباهی معنی‌دار نشد که بیانگر واکنش یکسان ژنتیک‌ها به تیمارهای آبیاری است در حالی که اثر متقابل آبیاری در



شکل ۲- مقایسه میانگین وزن هزار دانه در ژنتیک‌های مختلف ارزن
Figure 2- Compares the average weight of grain millet genotypes

بوده و ارتباطی به دو جنس ارزن ندارد (جدول ۱). همچنین نتایج مقایسه گروهی میانگین‌ها بین ژنتیک‌های ارزن نشان داد که ارزن معمولی نسبت به ارزن دم روباهی عملکرد بیولوژیک بیشتری دارد (جدول ۳). در بین ژنتیک‌های موجود در این آزمایش، ژنتیک P101

عملکرد بیولوژیک: نتایج تجزیه واریانس نشان داد که بین ژنتیک‌های مختلف ارزن اختلاف معنی‌داری در مورد عملکرد بیولوژیک وجود داشته و از طرفی مقایسه گروهی بیانگر آن است که این اختلاف صرفاً ناشی از اختلاف بین ژنتیک‌های هر جنس با هم

معنی دار شد. این امر نشان‌دهنده تنوع بیشتر ژنوتیپ‌های مختلف ارزن معمولی نسبت به ارزن دم رویاهی در شرایط تنش است (جدول ۱). تنش خشکی در طی رشد دانه، میزان عملکرد را کاهش می‌دهد (۳۸). دلیل این کاهش را می‌توان به رشد رویشی کمتر و به تبع آن، کاهش سطح فتوسترنکنند، بسته شدن روزنه‌ها، کاهش قابلیت تبادل گازی روزنه‌ها، کاهش آبگیری کلروپلاست و سایر بخش‌های پروتوبلاسم، کاهش سنتر پروتئین و کلروفیل که سبب تقلیل و محدود شدن فتوسترن می‌گردد و در نهایت رشد و عملکرد نهایی گیاه را کاهش می‌دهد ارتباط داد (۲۶). کوماری (۲۵) نیز گزارش کرد تنش خشکی در ارزن سبب کاهش عملکرد دانه، تعداد دانه در خوش و وزن هزار دانه می‌شود. برخی تحقیقات کاهش عملکرد دانه گندم را در شرایط تنش خشکی گزارش کرده‌اند (۴۷). تنش خشکی از طریق اختلال در روند جذب و انتقال عناصر غذایی، عرضه مواد پرورده را کاهش داده و موجب تغییر در اجزای عملکرد و کاهش عملکرد دانه می‌گردد. وستیج و بویر (۴۹) دریافتند که کاهش عملکرد دانه ذرت در شرایط تنش خشکی به علت کاهش وزن هزار دانه و تعداد دانه در ردیف می‌باشد. کاهش عملکرد بسته به زمان و شدت تنش خشکی می‌تواند در نتیجه محدودیت مبدأ (کاهش فتوسترن و نیز تسریع پیری و زوال برگ‌ها) و یا محدودیت مقصد فیزیولوژیک (کاهش اندازه مقصد) باشد. برخی محققین در مطالعه‌ای بر روی یازده رقم جو بیان کردند که تنش خشکی باعث کاهش هدایت روزنه‌ای و فتوسترن خالص شده و در نهایت عملکرد را کاهش می‌دهد (۱۸).

شاخص‌های تحمل به خشکی: نتایج حاصل از تحلیل همبستگی بین شاخص‌های تحمل به خشکی با عملکرد دانه در شرایط تنش و بدون تنش (جدول ۵) نشان داد که شاخص تحمل فقط همبستگی مثبت با عملکرد در شرایط بدون تنش داشته و شاخص تحمل TOL همبستگی مثبت و معنی داری با عملکرد در شرایط بدون تنش دارد. شاخص پایداری عملکرد (YSI) دارای همبستگی مثبت با عملکرد دانه در شرایط تنش خشکی بود. شاخص‌های میانگین بهره‌وری (MP)، میانگین هندسی بهره‌وری (GMP)، شاخص تحمل تنش (STI) و شاخص عملکرد (YI) دارای همبستگی مثبت و معنی دار با عملکرد دانه در شرایط تنش و بدون تنش بودند، به همین جهت، این چهار شاخص، بهترین شاخص‌ها برای شناسایی ارقام برتر هستند. نتایج ذکر شده با نتایج سایر محققین (۱۵ و ۴۷) مطابقت دارد. همبستگی عملکرد دانه در شرایط عادی (Yp) با عملکرد دانه در شرایط تنش خشکی (YS)، (۰/۸۹^{***}) مثبت و معنی دار بود. بنا به نظر فرناندز (۱۲) شاخصی که همبستگی معنی دار و بالا با عملکرد دانه در شرایط عادی و تنش داشته باشد به عنوان بهترین شاخص انتخاب می‌شود. سایر پژوهشگران نیز کارآیی این شاخص‌ها را در پژوهش‌های خود نشان داده‌اند (۳۱ و ۴۸). با توجه به

بیشترین عملکرد بیولوژیک را در شرایط تنش خشکی دارا بوده و ژنوتیپ‌های رابر، باستان و S79 که از نظر آماری تفاوت معنی‌داری بین آن‌ها وجود ندارد کمترین عملکرد بیولوژیک را در شرایط تنش خشکی دارا بودند (جدول ۲). تنش خشکی نیز اثر کاهشی معنی‌داری روی عملکرد بیولوژیک نشان داد. اثر متقابل آبیاری در ژنوتیپ بر آبیاری در ژنوتیپ برای ارزن‌های معمولی و دم رویاهی، اثر متقابل آبیاری در ارزن معمولی معنی دار شد که نشان‌دهنده تنوع بیشتر ژنوتیپ‌های مختلف ارزن معمولی نسبت به ارزن دم رویاهی در شرایط تنش است، در حالی که اثر متقابل آبیاری در ارزن دم رویاهی و اختلاف آثار متقابل دو جنس مختلف ارزن در سطوح آبیاری معنی‌دار نشد که این امر بیانگر واکنش یکنواخت ژنوتیپ‌ها به تیمارهای آبیاری است (جدول ۱). عملکرد بیولوژیک که نشان‌دهنده ماده خشک تجمع یافته در اندام در زمان برداشت است، تحت تأثیر تنش خشکی قرار می‌گیرد. کاهش عملکرد بیولوژیک در اثر تنش خشکی بر روی ارقام گندم نیز گزارش شده است (۱۱). افزایش تنش خشکی در گیاه ارزن منجر به کاهش وزن خشک کل گیاه گردید (۳۲). تنش خشکی سبب کاهش فشار تورژسانس سلوی و به دنبال آن کاهش نمو سلوی و رشد اندام‌های گیاه می‌شود. از طرف دیگر تنش خشکی، میزان چذب آب و عناصر غذایی، سطح برگ، سرعت رشد گیاه، طول دوره رشد گیاه و سطح فتوسترنزی گیاه را کاهش می‌دهد. همه این عوامل نهایتاً منجر به کاهش تولید ماده خشک می‌گردند (۱۷). نتایج مطالعات سینکی و همکاران (۴۶) مشابه نتایج حاصل از این آزمایش بوده و مؤید این است که تنش خشکی موجب کاهش عملکرد بیولوژیکی ارقام کلزا شده است. محققین دیگری نیز نتایج مشابهی مبنی بر کاهش عملکرد بیولوژیک در اثر تنش خشکی گزارش کردند (۱۱ و ۳۹).

عملکرد دانه: نتیجه تجزیه واریانس نشان داد که بین ژنوتیپ‌های ارزن از نظر عملکرد دانه اختلاف معنی‌داری وجود داشته و نتایج مقایسه گروهی بین ژنوتیپ‌های ارزن برای عملکرد دانه نیز بیانگر این است که اختلاف بین دو جنس ارزن و ژنوتیپ‌های هر جنس با هم معنی دار شده است (جدول ۱). مقایسه گروهی میانگین بین ژنوتیپ‌های ارزن حاکی از آن است که ارزن معمولی دارای عملکرد دانه بیشتری است (جدول ۳)، در بین ژنوتیپ‌های موجود در این آزمایش، ژنوتیپ‌های گلباف بیشترین و S79 کمترین عملکرد دانه را در شرایط تنش خشکی دارا بودند (جدول ۲). اثر متقابل آبیاری در ژنوتیپ بر روی عملکرد دانه معنی دار بود که پس از تفکیک اثر متقابل آبیاری در ژنوتیپ برای ارزن‌های معمولی و دم رویاهی، اثر متقابل آبیاری در ارزن دم رویاهی، اثر متقابل آبیاری در ارزن معمولی و اختلاف آثار متقابل دو جنس مختلف ارزن در سطوح آبیاری

ژنوتیپ‌هایی مانند گلیاف و S79 به ترتیب دارای عملکرد دانه، بالا و پایین می‌باشند می‌توان به این نتیجه رسید که شاخص‌های مذکور، ژنوتیپ‌هایی را انتخاب می‌کنند که پتانسیل عملکرد بالایی داشته باشند و از بین ژنوتیپ‌های مورد مطالعه، اکوتیپ گلیاف را به عنوان متحمل‌ترین اکوتیپ به تنش خشکی معرفی نمود.

جدول ۴- شاخص‌های تحمل به خشکی و عملکرد دانه در شرایط نرمال و تنش خشکی در ارزن
Table 4- Indicators of drought tolerance and yield in normal and drought conditions in Millet

ژنوتیپ	YP	YS	SSI	TOL	GMP	STI	MP	YI	YSI
پیشانگ	234	169	0.68	65	198.86	0.14	201.50	0.55	0.72
رایبر	334.7	100	1.71	234.67	182.94	0.12	217.33	0.32	0.30
گلیاف	1299	592	1.33	707	876.93	2.80	945.50	1.91	0.46
P69	776.7	426.7	1.10	350	575.65	1.21	601.67	1.38	0.55
P101	304.7	294.7	0.08	10	299.62	0.33	299.67	0.95	0.97
باستان	420.7	226.7	1.12	194	308.79	0.35	323.67	0.73	0.54
S79	122	85.3	0.73	36.67	102.03	0.04	103.67	0.28	0.70
S81	784	504	0.87	280	628.60	0.44	644	1.63	0.64
S85	440.7	388.7	0.29	52	413.85	0.62	414.67	1.26	0.88

جدول ۵- ضرایب همبستگی شاخص‌های تحمل به خشکی و عملکرد دانه در شرایط تنش و عدم تنش

Table 5- Correlation indices of drought tolerance and yield in stress and non-stress

	YP	YS	SSI	TOL	GMP	STI	MP	YI	YSI
YP	1								
YS	0.89 **	1							
SSI	0.37	- 0.02	1						
TOL	0.93 **	0.68*	0.64	1					
GMP	0.97 **	0.96 **	0.20	0.84 **	1				
STI	0.98**	0.90**	0.28	0.90 **	0.97 **	1			
MP	0.98 **	0.95**	0.25	0.87 **	0.99 **	0.98**	1		
YI	0.89 **	0.99 **	- 0.02	0.68 *	0.96**	0.90 **	0.95 **	1	
YSI	- 0.37	0.02	- 0.99 **	- 0.64	- 0.19	- 0.27	- 0.24	0.02	1

ns, ** به ترتیب غیر معنی‌دار و معنی‌دار در سطح احتمال پنج و یک درصد

ns, *and** respectively insignificant and significant at the 5% and 1%

می‌تواند به عنوان اکوتیپ امید بخش در معرفی ارقام جدید متحمل به خشکی به کار رود. استفاده از سایر ژنوتیپ‌های ارزن در مناطق مختلف می‌تواند، نتایج بدست آمده از این تحقیق را کامل‌تر نماید، ضمناً پیشنهاد می‌گردد استفاده از رژیم‌های آبیاری بین تیمار کم آبیاری و آبیاری معمول اعمال شده در این پژوهش مورد مطالعه قرار گیرند.

نتیجه‌گیری

با توجه به نتایج حاصل از این آزمایش به نظر می‌رسد که کشت ژنوتیپ‌های ارزن معمولی نسبت به کشت ژنوتیپ‌های ارزن دم روباهی برتری دارد، چون در شرایط تنش و بدون تنش خشکی میزان عملکرد دانه بیشتری دارند. همچنین اکوتیپ گلیاف پتانسیل عملکرد زیادتر و تحمل نسبی بیشتری نسبت به تنش خشکی نشان داد و

References

1. Abolhassani, K., and Saeidi, G. 2006. Evaluation of drought tolerance of safflower lines based on tolerance and sensitivity indices to water stress. *Science and Technology of Agriculture and Natural* 10: 407-419.
2. Azizinia, S., Ghanadha, M. R., Zali, A. A., Yazdi Samadi, B., and Ahmadi, A. 2005. Evaluation and assess of quantitative traits related to drought tolerance in wheat. *Agricultural Sciences* 36: 281-292.
3. Bayat, A. A., Sepehri, A., Ahmadvand, G., and Dorri, H. R. 2010. Effect of water deficit stress on yield and yield components of pinto bean (*Phaseolus vulgaris L.*) genotypes. *Iranian Journal of Crop Sciences* 12 (1): 42-54. (in Persian with English abstract).
4. Bibi, A., Sadaqat, H., Akram, H. M., Khan, T. M., and Usman, B. F. 2010. Physiological and agronomic responses of sudangrass to water stress. *Agricicultrar Research* 48 (3).
5. Bidinger, F. R., Mahalakshmi, V., and Rao, G. D. P. 1987. Assessment of drought resistance in pearl millet (*Pennisetum americanum L. Leeke.*). II. Estimation of genotype response to stress. *Aust. J. Agric. Res* 38: 49-59.
6. Blum, A. 2005. Drought resistance, water-use efficiency, and yield potential- are they compatible, dissonant, or mutually exclusive Australian. *Agricultural Research* 56: 1159-1168.
7. Blum, A. 2011. Plant breeding for water-limited environments. Springer 258 PP.
8. Bouslama, M., and Schapaugh, W. T. 1984. Stress tolerance in soybean. I: Evaluation of three screening techniques for heat and drought tolerance. *Crop Science* 24: 933-937.
9. Bruck, H., Payne, W. A., and Sattelmacher, B. 2000. Effects of phosphorus and water supply on yield, transpiration, water-use efficiency and carbon isotope discrimination of pearl millet. *Crop Science* 40: 120-125.
10. Conover, D. G., and Sovonick, S. A. 1989. Influence of deficits on the water relations and growth of *Echinochloa turneriana*, *Echinochloa crus-gali*, and *Pennisetum americanum*. *Aus. Journal Plant Physiol* 16 (3): 291-304.
11. Emam, Y., Ranjbari, A., and Bahrani, M. J. 2006. Evaluation of yield and yield components in wheat cultivars under post-anthesis drought stress. *J. Agric. Sci. Tech. Nat. Research* 11: 317-328.
12. Fernandez, G. C. J. 1992. Effective selection criteria for assessing stress tolerance. In: Kuo, C. G. (ed.). *Proceedings of the International Symposium on Adaptation of Vegetables and Other Food Crops in Temperature and Water Stress*. AVRDC Publication, Tainan, Taiwan. pp 257-270.
13. Fischer, R. A., and Maurer, R. 1978. Drought resistance in spring wheat cultivars. I: grain yield response. *Aust. J. Agric. Research* 29: 897-912.
14. Foulkes, M. J., Sylvester-Bradley, R., Weightman, R., and Snape, J. W. 2007 Identifying physiological traits associated with improved drought resistance in winter wheat. *Field Crops Research* 103: 11-24.
15. Garavandi, M., Farshadfar, M., and Kahrizi, D. 2010. Evaluation of drought tolerance in bread wheat advanced genotypes in field and laboratory conditions. *Seed and Plant Improvment Journal* 26: 233-252.
16. Gavuzzi, P., Rizza, F., Palumbo, M., Campaline, R. G., Ricciardi, G. L., and Borghi, B. 1997. Evaluation of field and laboratory predictors of drought and heat tolerance in winter cereals. *Can. Journal Plant Science* 77: 523-531.
17. Goldani, M., and Rezvani Moghadam, P. 2005. Effect of planting date on yield and yield components of land and water, and dry peas in Mashhad. *Iranian Journal of Agricultural Research* 2: 12.
18. Gonzalez, A., Bermjo, V., and Gimeno, B. S. 2010. Effect of different physiological traits on grain yield in barley grown under irrigated and terminal water deficit conditions. *Journal Agric. Sciences* 148: 319-328.
19. Quinta, F., Motzo, R., and Eidda, M. D. 1993. Effect of drought on yield and yield components of durum wheat and triticale in a mediterranean environment. *Field Crops Research* 33: 399-409.
20. Hajhassani Asl, A., Moradi Agham, A., Ali ababi frahan, H., and Rassei Far, M. 2011. Three forage yield and its componts under water condition on delay in khoy zone (Iran). *Environmental Biology* 5 (5): 847-852.
21. Hashemi Dezfooli A. 1994. Growth and yield of safflower as affected by drought stress. *Crop Research. Hisar* 7 (3): 313-319.
22. Khodabandeh, N. 2003. *Cereals*. Tehran University Press.
23. Kirigwi, F., Van M., Ginkel, M., Trethewan, R., Sears, R. G., Rajaram, S., and Paulsen, G. M. 2004. Evaluation of selection strategies for wheat adaptation across water regimes. *Euphytica* 135: 361-371.
24. Koocheki, A. R., Yazdansepas, A., and Nikkhah, H. R. 2007. Effects of terminal drought on grain yield and some morphological traits in wheat (*Triticum aestivum L.*) genotypes. *Crop Science* 8 (1): 14-29.
25. Kumari, S. 1998. The effects of soil moisture stress on the development and yield of millet. *Agronomy Journal* 57: 480-487.
26. Laribi, B., Bettaieb, I., Kouki, K., Sahli, A., Mougou, A., and Brahim, M. 2009. Water deficit effects on caraway (*Carum carvi L.*) growth, essential oils and fatty acids composition. *Industrial Crops and Proudcts* 30: 372-379.
27. Ludlow, M. M., and Muchow, R. C. 1990. A critical evaluations of traits for improving crop yields in water - limited environments. *Adv. in Agron* 43: 107-153.
28. Mahalakshmi, V., and Bidinger, F. R. 1985. Flowering response of pearl millet to water stress during panicle development. *Annals of applied biology* 106: 571-578.
29. Mahalakshmi, V., and Bidinger, F. R. 1986. Water deficit during panicle development in pearl millet: Yield

- compensation by tillers. *J. Agric. Science. Camb* 106: 113-119.
30. Marc, E. N., Roslyn, M. G., and Dalling, M. J. 1985. Effect of post-anthesis drought on cell division and starch accumulation in developing wheat grains. *Ann. Bot* 55: 433-444.
 31. Mohammadi, R., Armion, M., Kahrizi, D., and Amri, A. 2010. Efficiency of screening techniques for evaluating durum wheat genotypes under mild drought conditions. *Int. Journal Plant Prod* 4: 1735-8043.
 32. Mousavi, Gh., Mirhadi, M., Siadat, E., Noormohamami, Gh., and Darvish, F. 2009. The effect of water stress and nitrogen fertilization on yield and water use efficiency of forage millet. *Modern Agriculture* 15: 114-101.
 33. Nakhoda, B., Hashemi Dezfooli, A., and Banisadr, N. 2000. Effects of water stress on yield of forage millet forage quality properties Notrifid. *Iranian Journal of Agricultural Sciences* 4: 701-712.
 34. Nazarli, H., and Zadashti, M. R. 2010. The Effect of Drought Stress and Super Absorbent Polymer (A 200) on Agronomical Traits of Sunflower (*Helianthus Annuus L.*) under Field Condition. *Cercetari Agronomice in Moldova* 3 (143): 4-14.
 35. Nouroz poor, Gh., and Rezvani Moghadam, P. 2005. Effects of different irrigation and plant density on yield and yield components of medicinal plants Nigella. *Iranian journal of agricultural research* 2: 305-314.
 36. Omidi Ardali, Gh., and Behrani, M. 2011. Effects of drought stress, the amount and timing of nitrogen application on yield and yield components of sunflower growth stages. *Science and Technology of Agriculture and Natural Resources, Water and Soil Sciences* 55: 199-207.
 37. Osborne, S. L., Schepers, D. D., Francis, J. S., and Schlemmer, M. R. 2002. Use of Spectral radiance to estimate in season biomass and grain yield in nitrogen and water stress on cron. *Crop Sciene* 42: 165-171.
 38. Pan, X., Wang, G., Yang, H., and Wei, X. 2003. Effect of water deficit on whitin-polo variability in growth and grain yield of spring wheat in northwest china. *Fiele Crops Research* 80: 195-205.
 39. Pireivatlou, A. S., Dehdar Masjedlou, B., and Ramiz, T. A. 2010. Evaluation of yield potential and stress adaptive trait in wheat genotypes under post anthesis drought stress conditions. *Afric. Journal. Agric. Research* 5: 2829-2836.
 40. Plein, W. A., Wells, R., Little, G., Edmisten, K. L., and Wilcut, J. W. 2003. Glyphosate and water-stress effects on fruiting and carbohydrates in glyphosate- resistant cotton. *Crop Science* 43: 879-885.
 41. Rezaei Chiane, A., Zahtab Salmasi, S., Ghasemi Golazani, K., and Delazar, E. 2012. The effects of irrigation on yield and yield components of three landraces fennel. *Agricultural and sustainable production* 4: 57-70.
 42. Richards, R., Rebetzke, G. J., Condon, A. G., and Van Herwaarden, A. F. 2002. Breeding opportunities for increasing the efficiency of water use and crop yield in temperate cereals. *Crop Science* 42: 111-121.
 43. Rosales-Serna, R., and Kohashi-Shibata, J. 2003. Biomass distribution, maturity acceleration and yield in drought-stressed common bean cultivars. *Field Crops Research* 85: 203-211.
 44. Rossuelle, A., and Hamblin, A. J. 1981. Theoretical aspects of selection for stress and non-stress environment. *Crop Science* 21: 1441-1446.
 45. Setter, T. L., Brian, A., Lannigan, F., and Melkonian, J. 2001. Loss of kernel set due to water deficit and shade in maize: carbohydrate supplies, abscissic acid and cytokinins. *Crop Sciemcem* 41: 1530-1540.
 46. Sinaki, J. M., Majidi Heravan, E., Shirani Rad, A. H., Normohamadi, G., and Zarei, G. 2007. The effects of water deficit during growth stages of canola (*Brassica napus L.*). *American-Eurasian Journal of Agricultural and Environmental Science* 2 (4): 417-422.
 47. Sio-Se Mardeh, A., Ahmadi, A., Poustini, K., and Mohammadi, V. 2006. Evaluation of drought resistance indices under various environmental conditions. *Field Crops Research* 98: 222-229.
 48. Talebi, R., Fayaz, F., and Naji, A. M. 2009. Effective selection criteria for assessing drought stress tolerance in durum wheat (*Triticum durum Desf.*). *Gen. Appl. Plant. Physiol* 35: 64-74.
 49. Westage, M. E., and Boyer, J. S. 1998. Reproduction at low silk and pollen water potentials in maize. *Crop Science* 26: 951-956.



Evaluation of Yield and Yield Components of Different Millet Genotypes Under Two Irrigation Regimes

S. Mashayekhi¹- Gh. Khajoeinejad²- Gh. Mohammadinejad^{3*}

Received: 14-05-2014

Accepted: 09-12-2014

Introduction

Drought stress is the most important factor limiting plant growth throughout the world so that the slowdown in drought is far more than other environmental stress (1). Following wheat, rice, maize, barley millet and sorghum, are the world's most important annual crops.

Materials and Methods

In order to evaluate the yield and yield components of millet genotypes and determine the most tolerant genotype based on indicators of drought tolerance a field experiment was conducted at the research farm of the Faculty of Agronomy of the University of Shahid Bahonar university of Kerman-Iran in 2012. The experiment was carried out as split plot based on the randomized complete block design with three replications. Main plots were dedicated to drought, water levels (50 and 100% field capacity) and in the subplots millet cultivars(including Common Millet: Pishahang cultivar, Rabor and Golbaf ecotypes and common promising lines P69, P101, as well as foxtail millet, Bastan cultivar and foxtail promising lines S79, S81, S85 lines) were planted. Irrigation levels was calculated based on the cumulative evaporation from class A evaporation pan. First irrigation was done after 50 mm evaporation and second was done after 100 mm evaporation. The irrigation method was conventional (flooding).

Results and Discussion

Analysis of variance showed significant difference for tiller number among the genotypes and stress reduced number of tillers. Foxtail millet such as Bastan cultivar, S79, S81 and S85 lines had the maximum number of tillers, while common millet genotypes including: Rabor ecotype and P69 had the lowest number of tillers in drought stress conditions.

Analysis of variance showed significant differences between genotypes in terms of plant height. Foxtail millet showed higher plant height than common millet, among the under studied genotypes, S85 line had the highest plant height whilst Golbaf and Rabor had the lowest plant height. Different irrigation regimes showed highly significant effect in plant height. Result indicated that there is no significant interaction of each millet genus by irrigation treatment in plant height, while foxtail and common millet showed significant difference in interaction by irrigation treatments.

Different genotypes had different number of branches. Among the genotypes in this experiment, the number of branches in Bastan was the highest and lowest was belonged to S85 line under drought stress, respectively. Effects of water stress also showed a significant decrease in the number of branches. Analysis of variance showed that the interaction of genotype by irrigation treatments on the number of branches was significant.

Drought caused a reduction in the number of panicle and the result showed there was no significant difference between genotypes. Among genotypes in this experiment, Rabor ecotype had the highest number of panicle in terms of stress and foxtail millet including: Bastan cultivar, S79, S81 and S85 had minimum number of panicle in drought stress conditions. Irrigation in genotype interaction was significant on a number of panicle.

Results showed that there was a significant difference between genotypes for harvest index. Among genotypes in this study, S79 and Golbaf genotypes had the lowest harvest index under drought stress. Drought stress effect on harvest index showed a significant decrease, also interaction effect was significant.

1- MSc. Student, Department of Agronomy, College of Agriculture, Shahid Bahonar University of Kerman

2- Associate Professor, Department of Agronomy and Plant Breeding, Faculty of Agriculture, Shahid Bahonar University of Kerman, Iran

3- Associate Professor, Department of Plant Breeding, Director of the Center of Excellence in Environmental Stresses in Cereals, Faculty of Agriculture, Shahid Bahonar University of Kerman, Iran

(*- Corresponding Author Email: Mohammadinejad@yahoo.com)

Analysis of variance showed significant differences between different genotypes of millet based on seed weight. Among genotypes in these experiments, Golbaf and Bastan had the highest seed weight while genotype, S79, S81 and S85 with no statistically significant difference had the lowest seed weight, respectively. There was no significant interaction between genotype by irrigation. Seed weight reduction due to drought stress has been reported in several studies (3). Analysis of variance showed a significant difference between millet genotypes about biological yield. Among genotypes in this study, genotype P101 showed highest biological yield in drought stress conditions but Rabor and S79, showed lowest biological yield in drought stress condition. Drought stress effect on biological yield showed a significant decrease. Genotype by irrigation interaction on biological yield was significant. Biological yield loss due to drought stress has been reported in several studies (2).

Mean productivity (MP), geometric mean productivity (GMP), stress tolerance index (STI) and performance index (YI), by a significant positive correlation with grain yield in stress and non-stress conditions were the best indicators for identification of superior varieties. Using mentioned Indices, a genotype with high yield potential was Golbaf as the most tolerant ecotypes to drought stress, S79 was more sensitive to drought than the other genotypes More details is described in the text as it is original.

Conclusions

Based on this experiment it can be concluded that at drought condition cultivation of common millet has advantage than foxtail millet. Among common millet genotypes Golbaf ecotype showed the highest yield potential and relative tolerance to drought stress. It can be introduced as a promising line in breeding programs for drought tolerance studies.

Keywords: Drought stress, Grain yield, Millet, Tolerance indicators



بررسی تأثیر سیلیس بر بهبود تحمل به تنفس شوری کلرید سدیم در یونجه یک ساله (*Medicago scutellata* L.)

مايا عزيزي^۱- احمد عبدالزاده^{۲*}- پويان مهربان جوبني^۳- حميدرضا صادقي پور^۴

تاریخ دریافت: ۱۳۹۳/۰۳/۰۱

تاریخ پذیرش: ۱۳۹۳/۰۹/۱۲

چکیده

این پژوهش با هدف بررسی تأثیر سیلیکون در افزایش تحمل به شوری کلرید سدیم گیاه یونجه طراحی شده است. گیاهان در محیط کشت شنی در گلخانه کاشته شدند. محلول غذایی مورد استفاده هوگلند بود که براساس تیمارهای آزمایش تعديل شد. آزمایش بهصورت طرح کاملاً تصادفی و با دو عامل انجام شد. فاکتور شوری شامل دو سطح صفر، ۱۰۰ میلیمولاًر کلرید سدیم و فاکتور سیلیکون شامل سه سطح صفر، ۷۵ و ۱۵ میلیمولاًر سیلیکون بهصورت سیلیکات سدیم بود. نتایج نشان داد که شوری رشد گیاهان را کم کرد و تقدیمه سیلیکون بهویژه در سطح ۱/۵ میلیمولاًر سبب بهبود رشد و افزایش وزن تر و خشک کل گیاهان شد. شوری موجب افزایش میزان سدیم و کاهش پتانسیم شد، درحالی که تیمار سیلیسیم بهویژه در سطح ۱/۵ میلیمولاًر موجب کاهش سدیم و افزایش یون پتانسیم شد. فعالیت آنزیم کاتالاز در گیاهان تحت شوری کاهش و محتوى پراکسیدهیدروژن و میزان پراکسیداسیون لیپید و نشت الکتروولیت‌ها از غشاها زیستی افزایش یافت، درحالی که سیلیکون موجب ازدیاد فعالیت این آنزیم در گیاهان تحت شوری شده و محتوى پراکسیدهیدروژن را کم کرد. میزان پراکسیداسیون لیپید و نشت الکتروولیت‌ها این نتایج آشکار می‌سازد که سیلیکون احتمالاً با کاهش میزان سدیم و افزایش پتانسیم در سطح ۱/۵ میلیمولاًر موجب بهبود فعالیت آنزیم‌های آنتی‌اکسیدان و کاهش نتش اکسیداتیو شد، این امر منجر به افزایش رنگیزه‌های فتوسترنی، کارآمدی بیشتر غشاها زیستی در گیاهان تحت شوری گردید. به این ترتیب کاربرد سیلیکون موجبات افزایش تحمل نتش شوری گیاه یونجه یک ساله را فراهم کرد.

واژه‌های کلیدی: تخفیف نتش شوری، سیلیکون، یونجه یک ساله

جمع عنصر سدیم و کلر است که خود منجر به بسیاری اثرات ثانویه از جمله نتش اکسیداتیو می‌شود. بهم خوردن تعادل تولید و تجزیه گونه‌های فعال اکسیژن منجر به تجمع آنها شده و اثرات زیان‌بار نتش شوری را تشديد می‌کند. گونه‌های فعال اکسیژن بهطور بالقوه دارای پتانسیلی است که با بسیاری از ترکیب‌های سلولی واکنش داده و سبب خسارت به غشا و سایر ماکرومولکول‌های ضروری از قبیل رنگدانه‌های فتوسترنی، پروتئین‌ها، اسیدهای نوکلئیک و لیپیدها می‌شود^(۱). بنابراین میزان آن باید در سلول کنترل شود. گیاهان با دارا بودن سیستم آنتی‌اکسیدانی که شامل ترکیب‌های آنزیمی (سوپر-اکسید دیسموتاز، کاتالاز، پراکسیداز و غیره) و غیرآنزیمی (اسید آسکوربیک، کارتوئید، گلوتاتیون) است، معمولاً سطوح گونه‌های فعال اکسیژن را در سلول در حد متعادل نگه می‌دارند^(۲).

سیلیکون بعد از اکسیژن دومین عنصر فراوان در روی زمین است. علی‌رغم فراوان بودن این ماده در سطح زمین به دلیل همراه بودن آن با سایر عناصر از دسترس گیاه خارج بوده و گیاهان تنها قادر به استفاده از فرم اسید سیلیسیلیک آن می‌باشند. هرچند این عنصر برای

مقدمه

شوری یکی از عوامل مهم کاهش دهنده رشد گیاهان در بسیاری از مناطق جهان است. وسعت خاک‌های شور در ایران حدود ۲۳/۵ میلیون هکتار است که معادل ۱۴/۲ درصد از اراضی کل کشور است (۱ و ۲۷). از آن جایی که تولیدات دامی ۴۰ درصد کل ارزش ناخالص تولیدات بخش کشاورزی ایران را به خود اختصاص داده است و بیشتر وابسته به علوفه حاصل از مراعت می‌باشد، اصلاح مراعت شور و لبسور در تعییف احشام اهمیت زیادی دارد (۲). شوری یکی از مهم‌ترین نتش‌های محیطی است که اثرات متعددی در گیاهان دارد. اثرات اولیه آن شامل کمبود آب ناشی از کاهش جذب آب و سمیت یونی ناشی از

۱- دانش‌آموخته کارشناسی ارشد فیزیولوژی گیاهی دانشگاه گلستان

۲- استاد گروه زیست شناسی، دانشکده علوم، دانشگاه گلستان

۳- استادیار دانشگاه علوم کشاورزی و منابع طبیعی ساری

۴- دانشیار گروه زیست شناسی، دانشکده علوم، دانشگاه گلستان

(*)- نویسنده مسئول: (Email: ah_ab99@yahoo.com)

افرایش تحمل آن با تغذیه سیلیسیم بهتر درک شود.

مواد و روش‌ها

در این آزمایش از بذر گیاه یونجه یک‌ساله (یونجه حلومنی) که از ایستگاه تحقیقاتی چیروقبیمه (واقع در شمال استان گلستان) تهیه شده بود، استفاده شد. بذرها پس از ضد عفونی در گلخانه در گلدان‌های پلاستیکی به ابعاد تقریبی $10 \times 15 \times 15$ که محتوی شن کاملاً شسته شده بود، کشت شدند. گیاهچه‌های سبز شده تُنک شده و سه گیاهچه در هر گلدان حفظ شد. آبیاری و تغذیه بوته‌ها تا مرحله دوبُرگی و به مدت ده روز به وسیله محلول هوگلن دهی شده و پس از آن مطابق تیمارهای ذیل انجام گرفت. آزمایش به صورت فاکتوریل در قالب طرح کاملاً تصادفی بود. عامل اول شوری در دو سطح شاهد (صفرا میلی‌مولار) و ۱۰۰ میلی‌مولار کلرید سدیم و عامل دوم، سیلیکون (به صورت سیلیکات‌سدیم) در سه سطح صفر، $1/5$ میلی‌مولار 25 میلی‌مولار کلرید سدیم) اعمال شد. جهت ثابت نگه داشتن غلاظت شوری موردنظر در شن، گیاهان در روز دو تا سه بار با محلول غذایی (هر بار 200 سی‌سی) آبیاری شدند و برای جلوگیری از تجمع نمک، گلدان‌ها هفت‌های یک بار با محلول غذایی فراوان حسب تیمارهای مختلف آبیاری شدند. برای تهیه محلول غذایی از آب تصفیه شده با اسم معکوس و برای تهیه محلول‌های استوک محلول غذایی از آب مقطمر استفاده شد. میانگین درجه حرارت محیط گلخانه در طی دوره آزمایش در شب 21 و در روز 30 درجه سانتی‌گراد و رطوبت نسبی 67 درصد بود. اسیدیتیه محلول غذایی توسط هیدروکسید پتاسیم و اسید سولفوریک در حد $6/4$ تنظیم شد. گیاهان چهار هفته پس از شروع تیمارها در مرحله قبل از غنچه‌دهی (شش تا هفت برگی) برداشت شدند. سنجش صفات رشد گیاهان در 10 تکرار و سنجش سایر صفات شامل غلاظت یون‌ها، فعالیت آنزیم‌ها و میزان کلروفیل و پروتئین در 4 تکرار انجام شد. وزن تر اندام هوایی و ریشه بالا‌فصله اندازه‌گیری شد و بعد از خشک نمودن نمونه‌ها در آون نیز وزن خشک آنها اندازه‌گیری شد. درصد نسبی آب گیاه براساس وزن خشک از تقسیم نمودن وزن آب گیاه به وزن تر آن محاسبه شد. بخشی از نمونه‌های بافت تر بالا‌فصله بعد از برداشت در ورقه‌های آلومینیومی قرار داده شده و برای سنجش‌های بیوشیمیایی در نیتروژن مایع منجمد شد. استخراج سیلیسیم از بافت خشک به روش هضم اتوکلاوی و با روش الیوت و سیندلر (13) انجام گرفت. سنجش سیلیکون در عصاره‌های به دست آمده نیز به کمک روش رنگ‌سنجی سگو (24) انجام شد. اندازه‌گیری میزان سدیم و پتاسیم به وسیله دستگاه فلیم-فتومنتر جنوی پس از تهیه خاکستر خشک نمونه‌ها در کوره الکتریکی و انحلال آنها در اسید کلریدریک رقیق انجام گرفت. مقدار عنصر

گیاهان ضروری نیست، ولی اثرات مفیدی در جهات افزایش مقاومت به برخی از تنش‌های محیطی در گیاهان دارد (14). گزارشات متعددی حاکی از آن است که سیلیکون باعث افزایش رشد گیاه جو توسط شوری می‌شود. در مطالعات اثرات سیلیسیم بر روی گیاه گو توسط لیانگ و همکاران (18) و احمد و همکاران (5) در گیاه گندم سیلیسیم گزارش شده است. همچنین هاشمی و همکاران (16) و فرشیدی و همکاران (15) افزایش رشد گیاه کلزا (*Brassica napus*) تحت تنش شوری را تقدیم سیلیکون گزارش داده‌اند. گزارش شده است که سیلیکون با افزایش فعالیت آنزیم‌های آنتی‌اسیدان و کاهش تنش اکسیداتیو ممکن است منجر به افزایش مقاومت به شوری شود (17). هرچند در حیطه اطلاعات‌ما، در ارتباط با اثر تغذیه سیلیکون در گیاهان مرتضی مانند یونجه (*Medicago spp.*) که به طور طبیعی در مراتع و نیز کشتزارها با تنش شوری دست به گربیان هستند، اطلاعاتی اندکی در دست است.

یونجه از با اهمیت‌ترین گیاهان علوفه‌ای محسوب می‌شود که به واسطه ویژگی‌های با ارزشی نظیر دامنه تحمل وسیع به شرایط محیطی، تولید علوفه بالا و باکیفیت عالی، سطح زیر کشت زیادی دارد، به طوری که تا اوآخر قرن بیستم در جهان بیش از 32 میلیون هکتار زیر کشت آن قرار داشته است. یونجه نقش مهمی در تأمین خوراک دام داشته و از آن به صورت علوفه خشک، سیلو و نیز اصلاح و احیای مراتع سردسیری و تبدیل دیم‌زارهای پرشیب و کم بازده استفاده می‌شود. یونجه از نظر مواد غذایی بسیار غنی است و غذای خوبی برای انسان و حیوانات است (2). یونجه سرشار از ویتامین‌های A , E , C و K و همچنین دارای 30 درصد پروتئین می‌باشد. میزان پروتئین در یونجه‌های یک‌ساله برابر یا بیشتر از یونجه‌های چندساله می‌باشد (2 و 3). از لحاظ مقاومت به شوری یونجه خوارکی^۱ به عنوان گیاهی نسبتاً حساس به شوری طبقه‌بندی می‌شود که سطح آستانه تحمل آن 2 دسی‌زیمنس بر متر است (8). این گیاه در هدایت الکتریکی $3/4$ و $8/2$ به ترتیب در حدود 10 ، 25 و 50 درصد کاهش رشد دارد (4). واضح است که اعداد حسب گونه‌ها و ارقام مختلف تغییر می‌کند.

این آزمایش با هدف بررسی اثرات کاربرد سیلیکون در تخفیف تنش شوری در گیاه یونجه یک‌ساله^۲ به اجرا درآمد. لذا گیاهان در دو تیمار شوری در سه سطح سیلیکون کاشته شده و رشد، غلاظت برخی عناصر، میزان فعالیت برخی آنزیم‌های آنتی‌اسیدان، مقدار کلروفیل، پروتئین محلول، پراکسید هیدروژن و پراکسیداسیون لیپید در آنها اندازه‌گیری شد، تا راههای آسیب تیمار شوری و مسیرهای احتمالی

1- *Medicago sativa*

2- *Medicago scutellata*

گیاهان تحت شوری افزایش داد. در بخش هوایی گیاهان تحت شوری، تیمار ۰/۷۵ میلی مولار سیلیکون اثر معنی‌داری نداشت و تنها در تیمار ۱/۵ میلی مولار سیلیکون افزایش وزن صورت گرفت، هرچند که با افزایش سیلیکون وزن تر و خشک ریشه گیاهان تحت شوری به صورت تدریجی زیاد شد. این نتایج آشکار می‌سازد که سیلیکون موجب تخفیف اثرات شوری شده است که در افزایش وزن تر بخش هوایی و ریشه و درصد آب نسبی گیاهان تحت شوری منعکس است (جدول ۱).

شوری موجب افزایش غلظت یون سدیم و کاهش یون‌های پتاسیم و کلسیم در ریشه و بخش هوایی گیاه شد. شوری در غلظت ۱/۵ میلی مولار موجب کاهش غلظت یون سدیم ریشه و بخش هوایی و افزایش یون پتاسیم و آهن در گیاهان تحت تیمارهای شوری شد. کاربرد سیلیکون در گیاهان فاقد تیمار شوری سبب کاهش غلظت یون کلسیم شد، اما غلظت یون پتاسیم و آهن را افزایش داد (جدول ۲).

در گیاهان فاقد تیمار سیلیکون، شوری موجب کاهش فعالیت آنزیم‌های کاتالاز هر دو بخش ریشه و اندام هوایی و گایاکول-پراکسیداز محلول اندام هوایی شد. کاربرد سیلیکون موجب افزایش فعالیت آنزیم‌های کاتالاز و گایاکول پراکسیداز محلول در ریشه و اندام هوایی گیاهان تحت شوری شد. شوری و کاربرد سیلیکون تأثیر معنی‌داری در میزان فعالیت آنزیم پلی فنل اکسیداز نداشت (شکل ۱).

کلسیم و آهن در عصاره مشابه با دستگاه اسپکتروفوتومتر جذب اتمی شیمادزو مدل آ-۲۰۰۰ اندازه‌گیری شد. ارزیابی فعالیت آنزیم‌های کاتالاز و پراکسیداز با استفاده از روش چنس و مهله (۱۲) صورت گرفت. اندازه‌گیری میزان کلروفیل به روش آرنون (۷) انجام شد. میزان پروتئین محلول کل طبق روش برادفورد (۱۱) سنجیده شد. جهت رسم منحنی استاندارد از غلظت‌های مختلف پروتئین آلبومین سرم گاوی استفاده گردید. اندازه‌گیری پراکسید هیدروژن بر طبق روش سرگیو و همکاران (۲۵) انجام شد. سنجش پراکسیداسیون لبید با استفاده از اندازه‌گیری مقدار مالون دی‌آلدهید انجام شد. اندازه‌گیری نفوذپذیری غشا (نشست الکتروولیت) به روش بلوم و ابرکون (۱۰) با استفاده از قطعات مساوی از بافت تازه بخش هوایی و با استفاده از آب دو بارتقطیر و سنجش هدایت الکتریکی قبل و بعد از اتوکلاو انجام گرفت. محاسبه داده‌ها و رسم نمودارها در نرم‌افزار اکسل و تجزیه واریانس، بررسی اثرات ساده و مقابله عوامل و مقایسه میانگین‌ها با آزمون دانکن توسط نرم‌افزار SAS انجام شد.

نتایج و بحث

شوری سبب کاهش معنی‌دار رشد گیاهان شد که در کاهش وزن تر و خشک بخش هوایی و ریشه گیاهان منعکس است. در مقابل تغذیه سیلیکون سبب افزایش معنی‌دار وزن تر بخش هوایی و ریشه در گیاهان با و بدون تیمار شوری گردید. به علاوه، شوری درصد آب نسبی گیاهان را کاهش داد، ولی تیمار سیلیکون درصد آب نسبی را در

جدول ۱- اثر تیمارهای شوری (صفر و ۱۰۰ میلی مولار) و کاربرد سیلیکون (صفر، ۰/۷۵ و ۱/۵ میلی مولار) بر صفات رشد (گرم در بوته) و درصد آب نسبی گیاه یونجه در محیط کشت شنی

Table 1- Effects of salinity (0 and 100 mM) and Si application (0, 0.75 and 1.5 mM) on growth parameters (g/plant) and relative water content of *Medicago scutellata* plants grown on sand culture

صفات رشد Growth parameters	0 mM NaCl			100 mM NaCl		
	0 mM Si	0.75 mM Si	1.5 mM Si	0 mM Si	0.75 mM Si	1.5 mM Si
وزن تر بخش هوایی Shoot fresh weight	0.92±0.008c	1.04±0.006b	1.22±0.01a	0.62±0.006e	0.65±0.007e	0.80±0.008d
وزن تر ریشه Root fresh weight	0.42±0.004b	0.44±0.005b	0.45±0.004a	0.22±0.008e	0.27±0.005d	0.34±0.004c
وزن خشک بخش هوایی Shoot dry weight	0.10±0.004b	0.11±0.004ab	0.12±0.006a	0.06±0.004d	0.06±0.004d	0.075±0.002c
وزن خشک ریشه Root dry weight	0.055±0.002b	0.057±0.004ab	0.67±0.004a	0.035±0.002c	0.045±0.002bc	0.047±0.004b
وزن تر کل Total fresh weight	1.35±0.01c	1.48±0.004b	1.67±0.01a	0.85±0.01f	0.92±0.006e	1.14±0.005d
وزن خشک کل Total dry weight	0.16±0.006b	0.17±0.008b	0.19±0.008a	0.09±0.006d	0.10±0.002cd	0.12±0.006c
درصد آب نسبی Relative water content	87.95±0.54a	88.23±0.33a	88.49±0.66a	85.63±0.48b	88.64±0.35a	89.29±0.59a

± نشان‌دهنده خطای استاندارد با ۱۰ تکرار می‌باشد. ریفهای دارای حداقل یک حرف مشترک با آزمون دانکن در سطح احتمال پنج درصد تفاوت معنی‌داری با یکدیگر ندارد.

Values are mean ± SE from four replicates. Numbers followed by the same letter are not significantly different (P<0.05)

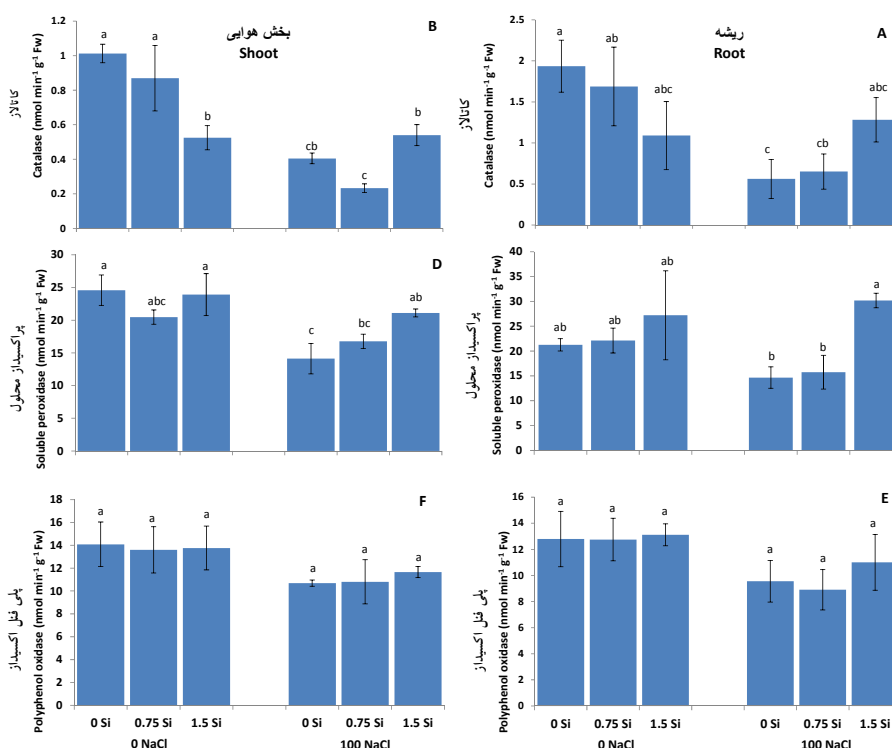
جدول ۲- اثر تیمارهای شوری (صفر و ۱۰۰ میلی‌مولار) و کاربرد سیلیکون (صفر، ۰/۷۵ و ۱/۵ میلی‌مولار) بر غلظت عناصر (میلی‌گرم در گرم بافت خشک) یونجه یک‌ساله در محیط کشت شنی

Table 1- Effects of salinity (0 and 100 mM) and Si application (0, 0.75 and 1.5 mM) on mineral contents (mg/g dry weight) of *Medicago scutellata* plants grown on sand culture

Mineral contents	0 mM NaCl			100 mM NaCl		
	0 mM Si	0.75 mM Si	1.5 mM Si	0 mM Si	0.75 mM Si	1.5 mM Si
سدیم بخش هوایی Na ⁺ Shoot	2.45±0.37c	2.45±0.58c	1.19±0.25d	10.37±0.66a	7.22±0.83ab	5.12±0.30b
سدیم ریشه Na ⁺ Root	2.94±0.23d	2.59±0.41ed	1.12±0.21e	13.67±0.73a	11.57±0.49b	7.92±0.68c
پتانسیم بخش هوایی K ⁺ Shoot	58.09±2.30b	64.39±1.21ab	69.23±4.43a	31.44±3.39c	38.71±3.21c	61.00±3.44ab
پتانسیم ریشه K ⁺ Root	21.09±1.60b	22.55±0.72b	31.04±1.01a	15.51±1.28d	17.45±1.65d	24.49±1.07bc
کلسیم بخش هوایی Ca ²⁺ Shoot	38.92±2.62a	30.37±2.50b	25.72±2.03bc	20.02±2.90c	20.70±3.09c	22.95±2.17bc
کلسیم ریشه Ca ²⁺ Root	30.78±0.73a	27.41±0.99a	27.82±1.13a	19.20±1.40b	18.37±1.24b	17.92±1.07b
آهن بخش هوایی Fe Shoot	3.22±0.12b	3.37±0.15b	4.20±0.22a	2.73±0.32b	3.07±0.17b	4.05±0.13a
آهن ریشه Fe Root	5.77±0.54b	5.73±0.26b	9.18±0.43a	5.85±0.47b	5.85±0.10b	8.32±0.40a

± نشان‌دهنده خطای استاندارد با چهار تکرار می‌باشد. ریشه‌های دارای حداقل یک حرف مشترک با آزمون دانکن در سطح احتمال پنج درصد تفاوت معنی‌داری با یکدیگر ندارد.

Values are mean ± SE from four replicates. Numbers followed by the same letter are not significantly different (P<0.05)

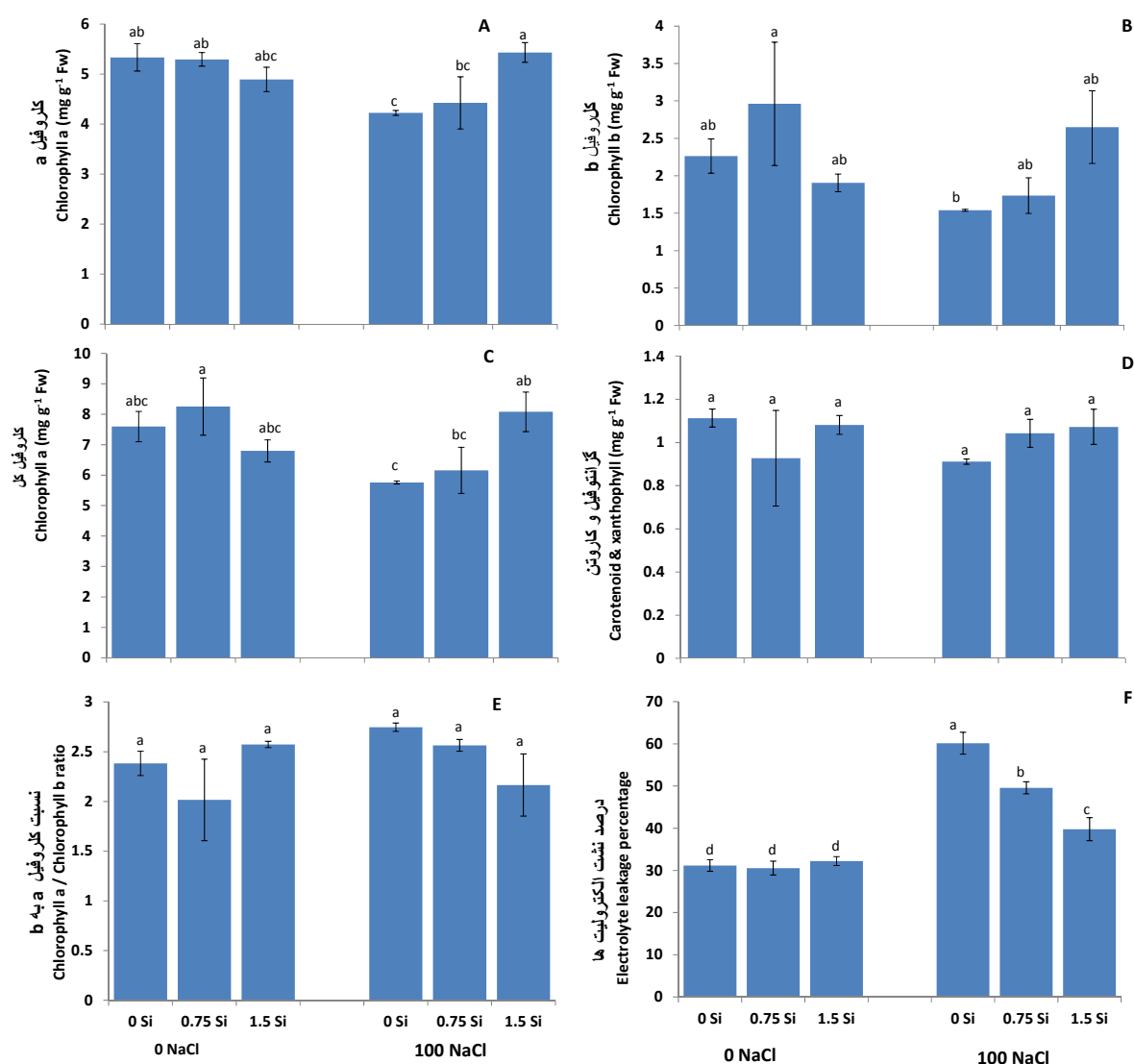


شکل ۱- مقایسه تأثیر تیمارهای شوری و سیلیکون بر میزان فعالیت A- کاتالاز ریشه B- کاتالاز بخش هوایی C- گیاکول پراکسیداز ریشه D- گیاکول پراکسیداز بخش هوایی E- پلی فنل اکسیداز ریشه و F- پلی فنل اکسیداز بخش هوایی. ستون‌های دارای حداقل یک حرف مشترک با آزمون دانکن در سطح ۵ درصد تفاوت معنی‌داری با یکدیگر ندارند.

Figure 1- Comparsion of effects of salinity and Si treatments on activity of A-catalase of root B-catalase of shoot C-Soluble peroxidase of root D- Soluble peroxidase of shoot E- polyphenol oxidase of root and F- polyphenol oxidase of shoot. Numbers followed by the same letter are not significantly different (P<0.05)

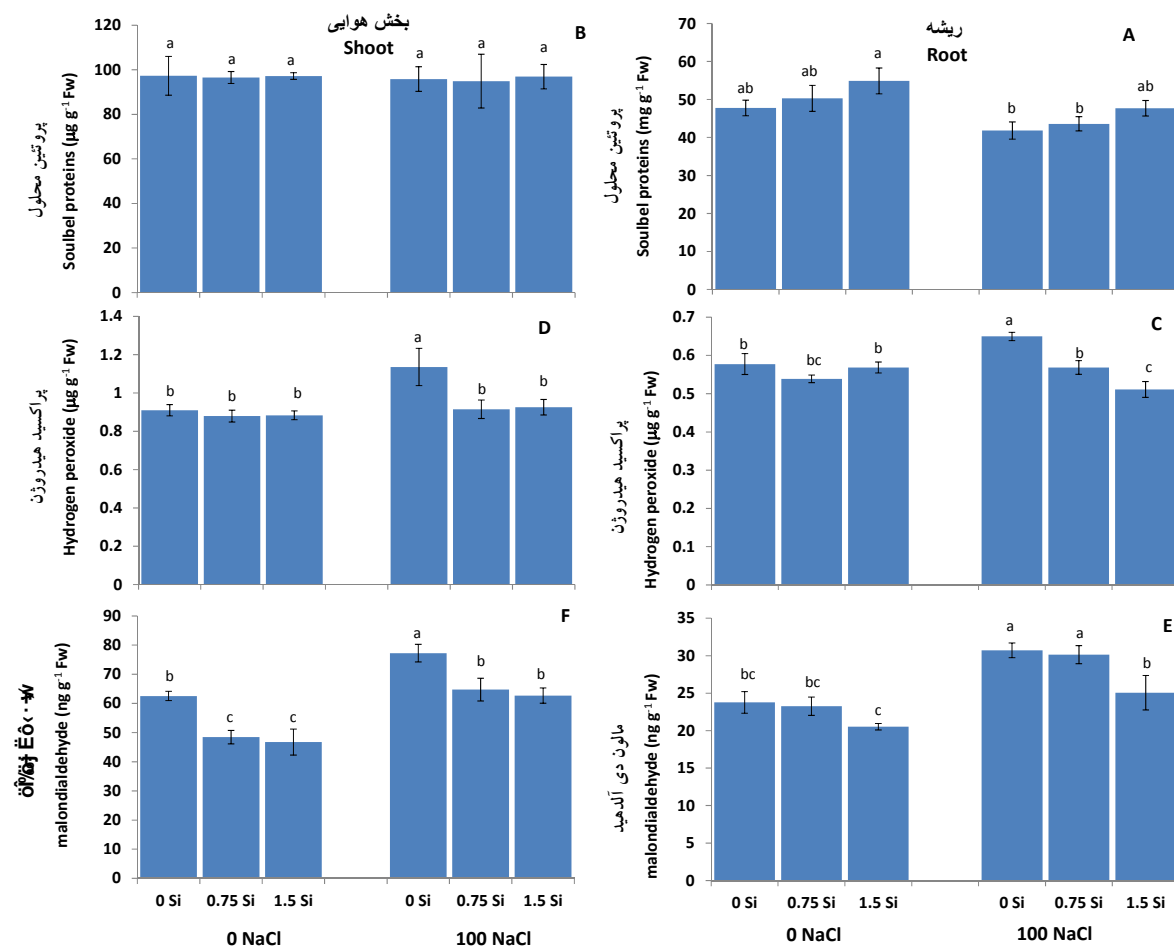
معنی داری تغییر نکرد (شکل ۲).
شوری بر میزان پروتئین های محلول تأثیر معنی داری نداشت، اما سبب افزایش میزان پراکسیدهیدروژن و پراکسیداسیون لیپید شد.
بر عکس، کاربرد سیلیکون به ویژه در سطح $1/5$ میلی مولار موجب کاهش میزان پراکسیدهیدروژن و پراکسیداسیون لیپید در ریشه و اندام گیاهان تحت تیمار شوری شد. تعذیه سیلیکون اثر معنی داری در میزان پروتئین محلول ریشه و اندام هوایی نداشت (شکل ۳).

شوری سبب کاهش معنی دار میزان کلروفیل a شد، اما بر میزان کلروفیل b و میزان کاروتون ها و گزانتوفیل ها اثر معنی دار نداشت. به علاوه میزان نشت الکتروولیت ها از غشاها زیستی در گیاهان تحت شوری به صورت معنی داری افزایش یافت. کاربرد سیلیکون باعث افزایش معنی دار میزان کلروفیل a، b و کاهش تدریجی درصد نشت الکتروولیت ها به خصوص در سطح $1/5$ میلی مولار گردید. نسبت کلروفیل a به b در هیچ از تیمارهای شوری و سیلیکون به صورت



شکل ۲- مقایسه تأثیر تیمارهای شوری و سیلیکون (میلی مولار) بر میزان A- کلروفیل a- ب- کلروفیل b- C- مجموع کارتنوئید و گزانتوفیل D- کلروفیل کل E- نسبت کلروفیل a- F- درصد نشت الکتروولیت و

Figure 2- Comparsion of effects of salinity and Si treatments on A- chlorophyll a B- chlorophyll b C- carotenoids and xanthophyll D- total chlorophyll E- electrolyte leakage percentage and F- chlorophyll a/chlorophyll b ratio. Numbers followed by the same letter are not significantly different ($P<0.05$)



شکل ۳- مقایسه تأثیر تیمارهای شوری و سیلیکون (میلی مولار) بر میزان A- پروتئین ریشه B- پروتئین بخش هوایی C- پراکسید هیدروژن ریشه D- پراکسید هیدروژن بخش هوایی E- مالون دی آلدهید ریشه F- مالون دی آلدهید بخش هوایی. ستون های دارای حداقل یک حرف مشترک با آزمون دانکن در سطح ۵ درصد تفاوت معنی داری با یکدیگر ندارند.

Figure 3- Comparsion of effects of salinity and Si treatments on A- protein of root B- protein of shoot C- hydrogen peroxide of root D- hydrogen peroxide of shoot E- lipid peroxidation of root and F- lipid peroxidation of shoot. Numbers followed by the same letter are not significantly different ($P<0.05$).

ارتباط با دلایل احتمالی این امر بحث شده است. شوری سبب کاهش درصد آب نسبی گیاهان شد. این امر آشکار می‌سازد که با منفی شدن پتانسیل اسمزی محلول غذایی تحت شوری جذب آب توسط گیاهان دشوار شده و گیاه با کمبود آب مواجه شده است (۲۲ و ۲۸). به علاوه، تیمار شوری با افزایش یون سدیم سبب ایجاد سمیت و با کاهش عناصر ضروری پتانسیم و کلسیم و آهن باعث عدم توازن یونی در گیاهان یونجه یکسااله شد. احتمالاً سمیت یونی و کمبود آب موجب کاهش میزان فعالیت آنزیم‌های انتی اکسیدان کاتالاز و پراکسیداز گردید که پالایش رادیکال‌های آزاد را محدود می‌کند. از طرف دیگر در تش شوری ایجاد رادیکال‌های آزاد اکسیژن بیشتر می‌شود که توسط برخی محققین گزارش شده است (۲۲). این امر منجر به ایجاد تنفس اکسیداتیو گردید که در میزان

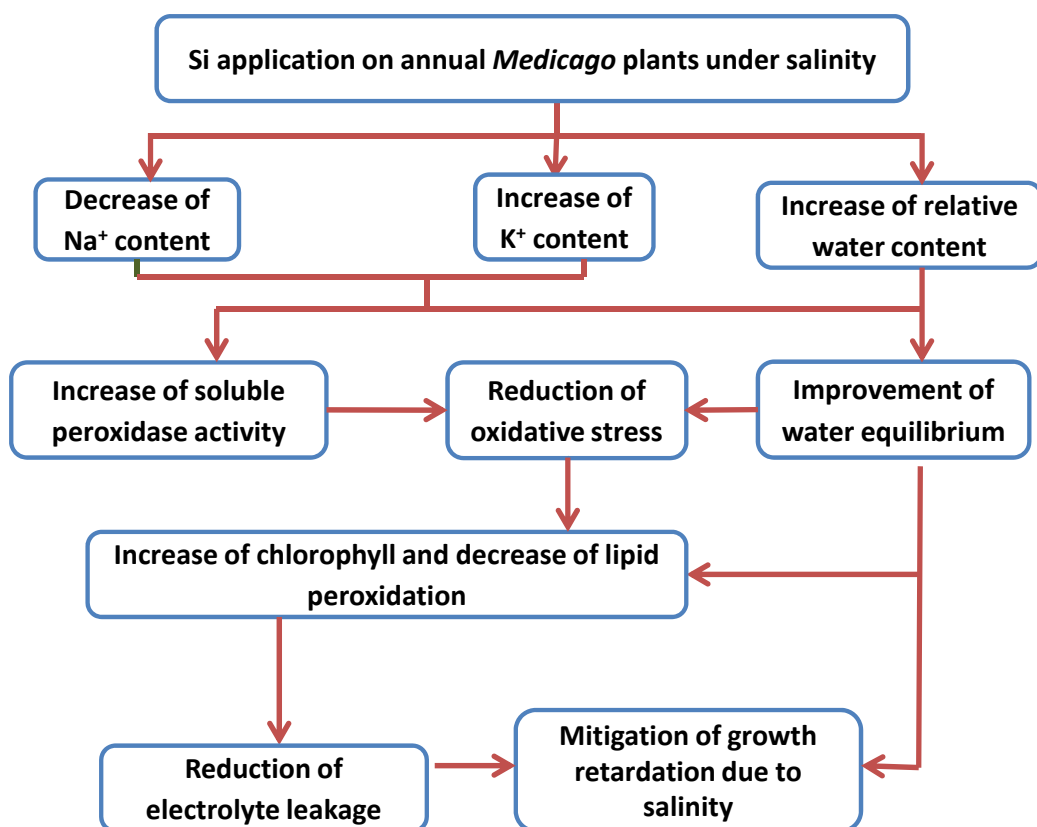
نتایج حاصل از این آزمایشات نشان داد که شوری موجب کاهش رشد در هر دو بخش هوایی و ریشه گیاه یونجه یکسااله شد که در کاهش معنی دار وزن تر ریشه، بخش هوایی وزن خشک بخش هوایی، درصد آب نسبی گیاهان منعکس است. کاربرد سیلیسیم در گیاهان تحت تأثیر شوری صفات رشد اندازه‌گیری شده را به ویژه در سطح ۱/۵ میلی مولار سیلیسیم بهبود بخشید. این نتایج آشکار می‌سازد که تیمارهای سیلیسیم توانست اثرات زیان‌بار شوری را در گیاه یونجه یک ساله تخفیف دهد. در تحقیقات مشابه نقش مفید سیلیکون در بهبود رشد گیاهان تحت شوری تأیید شده است. اثرات تخفیفی سیلیکون بر تنفس شوری در برنج (*Oryza sativa*) (۲۹)، گندم (۵)، جو (۶) (*Hordeum vulgare*)، گوجه‌فرنگی (۱۹) (*Solanum lycopersicum*) و کلزا (۱۶) گزارش شده است. در ذیل در

میزان پراکسیدهیدروژن منعکس است. کاهش تنش اکسیداتیو ناشی از کاربرد سیلیکون در گیاهان تحت تنش شوری موجب افزایش میزان کلروفیل و کاهش پراکسیداسیون لیپید و میزان نشت الکتروولیت‌ها از غشای پلاسمایی گیاهان شد که بیانگر نقش مثبت سیلیکون در پایداری غشای پلاسمایی در شرایط شوری می‌باشد.

کاربرد سیلیسیم در گیاهان فاقد تیمار شوری میزان یون کلسیم را کاهش داد. به نظر می‌رسد که سیلیکون پس از ورود به گیاه به آرامی تغییل می‌شود و رسوب سیلیکا در انودرم و ریزودرم و پلیمریزه شدن سیلیکات‌ها از طریق سیلیکای کلوئیدی به سیلیکاژل یا اسید پلی‌سیلیسیک در سراسر آپوپلاست، موجب کاهش جذب برخی عناصر از مسیر خارج سولوی ریشه می‌گردد (۲۹). افزایش تیمار سیلیکون تا ۱/۶۶ میلی‌مولار در محیط کشت هیدرопونیک سبب کاهش جذب و غلظت کلسیم در گیاه برنج شد (۲۰). همچنین که تیمار سیلیکون بالاتر از ۴۰۰ میلی‌گرم در لیتر در گیاه گندم سبب کاهش جذب کلسیم در گیاه شد (۲۱).

بالای پراکسیدهیدروژن گیاهان تحت شوری منعکس است. این امر تنش شوری را در گیاه تشید کرده و در نتیجه کلروفیل را کاهش و پراکسیداسیون لیپیدهای غشایی را افزایش داده و در نتیجه ناپایداری غشای پلاسمایی را سبب شده است. این امر در نهایت منجر به کاهش رشد گیاهان تحت تنش شوری شد.

کاربرد سیلیسیم موجب کاهش غلظت یون سدیم و افزایش یون پتاسیم در گیاهان یونجه تحت شوری شد. از طرف دیگر سیلیسیم درصد آب نسبی گیاهان تحت شوری را افزایش داد. کاهش سمیت و بهبود وضعیت آب در گیاهان تحت تنش شوری همراه با کاربرد سیلیکون اثرات ثانویه شوری را کاهش داد که احتمالاً افزایش فعالیت آنزیم‌های آنتی‌اکسیدان کاتالاز و پراکسیداز مربوط است. افزایش فعالیت آنزیم‌های آنتی‌اکسیدان در بادام زمینی تحت سمیت کادمیوم (۲۶) و گندم و کلزا تحت شوری (۶ و ۱۵) با تغذیه سیلیکون گزارش شده است. به نظر می‌رسد که فعالیت این آنزیم‌ها نقش مهمی در تخفیف تنش اکسیداتیو ناشی از شوری داشته است که در کاهش



شکل ۴- مکانیسم احتمالی تأثیر سیلیکون در تخفیف تنش شوری در گیاه یونجه یکساله

Figure 4- Possible mechanisms of effects of Si on alleviation of salinity stress in *Medicago scutellata*

سدیم، افزایش یون پتاسیم و افزایش مقدار آب نسبی گیاه موجب افزایش فعالیت آنزیم‌های آنتی‌اکسیدان و کاهش پراکسیدهیدروژن و

نتیجه‌گیری
این نتایج آشکار ساخت که تیمار سیلیکون احتمالاً با کاهش یون

شوری با کاربرد سیلیسیم گردید. آزمایشات بیشتر در مزرعه برای تأیید نتایج و مقرن به صرفه بودن استفاده از کودهای سیلیکاته مانند سیلیکات پتاسیم به قیمت روز حدود ۸۵ دلار برای هر چهار لیتر که برای محلول پاشی حدود دو هکتار مزرعه کافی است، توصیه می‌شود.

در نتیجه کاهش تنفس اکسیداتیو گردید. در نتیجه میزان کلروفیل در گیاه پروتئین افزایش و پراکسیداسیون لیپید و نشت الکتروولیت‌ها کاهش یافت که احتمالاً موجب پایداری و حفظ انسجام غشاها زیستی گردید. این عوامل موجب بهبود رشد گیاهان تحت تنفس

References

1. Jafari, M. 1995. Salinity and halophytes. Research Institute of Forests and Rangelands. N. 90. (in Persian).
2. Hoseini, A., 1995. Autecoloogical evaluation of *Puccinellia distans* in saline and sodic soils of north Gorgan region. Master's theses. Gorgan University of Agriculture and Natural Resource. (in Persian).
3. Sofi, S., and Janmohammadi, H. 2001. Animal Nutrition. Amiedi Publishing Center. Translated. Tabriz. (in Persian).
4. Dianatnejad, H., and Behfar, A. A. 1988. Deserts, Ecological researches, Plants in saline environments. translated International desert research center. (in Persian).
5. Ahmad R., Syed, H. Z., and Shoaib I. 1992. Role of silicon in salt tolerance of wheat (*Triticum aestivum L.*). Plant Science 85: 43-50.
6. Al-aghabary, K., Zhu, Z., and Shi, Q. 2004. Influence of silicon supply on chlorophyll content, chlorophyll fluorescence, and antioxidative enzyme activities in tomato plants under salt stress. Plant Nutrition 27: 2101-2115.
7. Arnon, D. I. 1949. Copper enzymes in isolated chloroplasts. polyphenoloxidase in *Beta Vulgaris*. Plant Physiology 24: 1-15.
8. Ashraf, M. 1994. Breeding for salinity tolerance in plants. Critical Reviews in Plant Sciences 13: 17-42.
9. Blokhina, O., Virolainen, E., and Fagerstedt, K. 2003. Antioxidant, Oxidative damage and Oxygen deprivation salt-sensitive maize: a Review. Annals of Botany 91: 179-194.
10. Blum, A., and Ebercon, A. 1981. Cell Membrane Stability as a Measure of Drought and Heat Tolerance in Wheat. Crop Science 21: 43-47.
11. Bradford, M. 1976. A rapid and sensitive method for the quantitation of microgram quantities of protein utilizing the principle of protein-dye binding. Analytical Biochemistry 72: 248-254.
12. Chance, B., and Maehly, C. 1955. Assay of catalase and peroxidases. Methods in Enzymology 2: 764-775.
13. Elliot, C. L., and Synder, G. H. 1991. Autoclave-Indused digestion for the colorimetric determination of silicon in Rice Straw. Journal of Agriculture Food Chemistry 39: 1118-1119.
14. Epstein, E. 1999. Silicon Annual review of Plant Physiology. Plant Molecular Biology 50: 641-664.
15. Farshidi, M., Abdolzadeh, A., and Sadeghipour, H. R. 2012. Silicon nutrition alleviates physiological disorders imposed by salinity in hydroponically grown canola (*Brassica napus L.*) plants. Acta physiologiae plantarum 56: 244-253.
16. Hashemi, A., Abdolzadeh, A., and Sadeghipour, H. R. 2010. Beneficial effects of silicon nutrition in alleviation salinity stress in hydroponically grown canola, *Brassica napus L.*, plants. Soil Science and Plant Nutrition 56: 244-253.
17. Li, Q., Ma, C., and Shang, Q. 2007. Effects of silicon on photosynthesis and antioxidant enzymes of maize under drought stress. The journal of applied ecology 18: 531-536.
18. Liang, Y. C., Shen, Q. R., Shen, Z. G., and Ma, T. S. 1996. Effects of silicon on salinity tolerance of two barley cultivars. Journal of Plant Nutrition 19: 173-183.
19. Liang, Y. C., Zhang, W. H., Chen, Q., and Ding, R. X. 2005. Effects of silicon on tonoplast H⁺-ATPase and H⁺-PPase activity, fatty acid composition and fluidity in roots of salt-stressed barley (*Hordeum vulgare L.*). Environmental and Experimental Botany 53: 29-37.
20. Ma, J. F., and Takahashi, E. 2002. Soil, fertilizer, and plant silicon research in Japan, 1st ed. Elsevier, Amsterdam.
21. Mali, M., and Aery, N. C. 2008. Influence of silicon on growth, relative water contents and uptake of silicon, calcium and potassium in wheat grown in nutrient solution. Journal of Plant Nutrition 31: 1867-1876.
22. Marchner, H. 1995. Mineral nutrition of higher plants. Second Edition Academic Press. 890p. New York. Pp: 313-323.
23. Munns R. 2006. Physiological processes limiting plant growth in saline soil: some dogmas and hypotheses. Plant Cell and Environment 16: 15-24.
24. Sego, R. D. 1982. Chemical and microbiological properties. p. 105–111. In A.L. Page et al. (ed.) Methods of Soil Analysis. Part 2. 2nd ed. American Society of Agronomy, Soil Science.
25. Sergive, I., Alexieva, V., and Karanov, E. 1997. Effect of spermine, atrazine and combination between them on some endogeneus protective systems and stress markers in plants. Comptes rendus de l'Academie bulgare des Sciences 51: 121-124.
26. Shi, G., Cai, Q., Liu, C., and Wu, L. 2010. Silicon alleviates cadmium toxicity in peanut plants in relation to

- cadmium distribution and stimulation of antioxidative enzymes. Plant hormones and growth regulators 61: 45-52.
27. Szabolics, I. 1992. Salinization of soil and water its relation to desertification. Desertification Control bulletin 21: 32-37.
28. Tester, M., and Devenport, R. 2003. Na^+ tolerance and Na^+ transport in higher plants. Annals of Botany 91: 1-25.
29. Yeo, A. R., Flowers, S. A., Rao, G., Welfare, K., Senanayake, N., and Flowers, T. J. 1999. Silicon reduces sodium uptake in rice (*Oryza sativa* L.) in saline conditions and this is accounted for by a reduction in the transpirational bypass flow. Plant, Cell and Environment 22: 559-565.

Evaluation of Effect of Silicon on NaCl Tolerance in Annual *Medicago scutellata* L.

M. Azizi¹ - A. Abdolzadeh^{2*} - P. Mehrabanjoubani³ - H. R. Sadeghipour³

Received: 22-05-2014

Accepted: 03-12-2014

Introduction

Salinity is one of the most important stress resulting depletion of vegetation in large areas of the world including some regions of Iran. Reduction of plant growth due to salinity occurs with a range of mechanisms, including low external water potential, ion toxicity and interfere with the uptake. Silicon (Si) is the second most abundant element in soil and could efficiently mitigate the effects of various biotic and abiotic stresses, such as drought, heavy metal toxicity and salinity on plants. *Medicago scutellata* is an important leguminous forage crop throughout the world that could increase soil nitrogen content via reduction of atmospheric nitrogen. To our knowledge, no study have examined the interaction of salinity and Si nutrition in *Medicago scutellata* or how the beneficial effects of Si in salt-stressed *M. scutellata* plants (if any) are exerted. Accordingly, the aim of the present study was to evaluate the effect of silicon nutrition on salt tolerance of *Medicago scutellata*.

Materials and Methods

Seeds of alfalfa (*Medicago scutellata* L.) were sterilized with a 2.5% sodium hypochlorite solution and were incubated in a moistened paper towel. Then, they germinated in the dark at $25 \pm 5^\circ\text{C}$ for 48 h. Healthy seedlings of uniform sizes were selected for hydroponic culture (Hoagland solution) in a $10 \times 15 \times 15$ cm plastic pots. A factorial experiment carried out based on a completely randomized design with two factors. The first factor was salinity, including 0 and 100 mM NaCl and the second was silicon nutrition, including 0, 0.75 and 1.5 mM sodium silicate. The pH of the nutrient solution was adjusted daily at 6.4 ± 0.2 and nutrient solution was refreshed weekly. During the experiment, maximum and minimum air temperatures were 30°C and 21°C respectively, and the mean relative humidity was 67%. Four weeks after exerting the treatments, plants were harvested and used for the assessment of growth parameters and chemical analyses.

Results and Discussion

Salinity led to a significant reduction in both the fresh and dry weights of the plants. On the contrary, the dry weight of the plants improved significantly under saline conditions when Si was added to the medium, especially 1.5 mM Si. Salt treatment increased the concentration Na^+ and decreased the concentration K^+ significantly in both shoots and roots; however, Na^+ concentration, reduced and K^+ concentration increased due to Si application in salt treated plants. Similarly, Fe content decreased in shoot of plants due to salinity, whereas Si nutrition increased Fe content in plants suffered from salinity. The activity of catalase declined and the amount of hydrogen peroxide increased in plants under salinity. Conversely, Si treatments, especially, at 1.5 mM could recover the activity of this enzyme and reduced hydrogen peroxide content. Salinity imposed significant reduction in the contents of chlorophylls, total carotenoids and xanthophylls and soluble proteins. The amount of hydrogen peroxide, lipid peroxidation as well as electrolyte leakage via plant leaves increased due to salt stress. In contrast, the contents of chlorophylls, carotenoids and xanthophylls, soluble proteins increased following Si application. Also, the amount of hydrogen peroxide and rate of lipid peroxidation and electrolyte leakage decreased in salt-treated plants by Si application. Silicon nutrition can recover the chlorophyll content and the amount of soluble proteins on *Medicago scutellata* plants under salinity, which suggests that it plays a role in the suppression of oxidative stress. Si application also improved the chlorophyll content of tomato and barley under salt stress (Al-aghabary *et al.*, 2004). The data reported in the present study show new aspect of the beneficial effect of Si on plants grown under saline condition. The application of Si prevented Na^+ accumulation and enhanced K^+ content in *Medicago scutellata* plants. Reduced Na^+ accumulation improves the plant ROS

1- Former master student, Golestan University

2- Prof. Dept. of Biology, Faculty of Science, Golestan University, Gorgan

3- Assistant Prof., Sari Agricultural Sciences and Natural Resources University

4- Associate Prof. Golestan University

(*- Corresponding Author Email: ah_ab99@yahoo.com)

scavenging capacity through increased antioxidant enzyme activity (Al-aghabary *et al.*, 2004 Hashemi *et al.*, 2010), accompanied by reducing lipid peroxidation. Consequently, photosynthetic pigments increased and membranes functionality improved by Si in plants under salinity (Liang *et al.*, 2005).

Conclusions

The results indicated that 1.5 mM silicon application alleviated harmful effects salinity, probably through declined Na⁺ enhanced K⁺ content that increased antioxidant enzyme activity and reduced reducing oxidative stress. Consequently, photosynthetic pigments increased and membranes functionality improved with plants under salinity. In this regards, Si application led to an increased salt tolerance of *Medicago scutellata*. Further, field experiments are necessary for confirmation of the results and expedience of economic cost.

Keywords: Annual medicine plants, Silicon nutrition, Salinity alleviation

بررسی اثر سطوح مختلف شوری بر برخی خصوصیات فتوستزی ارقام کلزا (*Brassica napus L.*)

فرانک طهماسبی^{۱*}- پیمان حسیبی^۲- موسی مسکر باشی^۳

تاریخ دریافت: ۱۳۹۳/۰۳/۰۱

تاریخ پذیرش: ۱۳۹۴/۰۲/۲۷

چکیده

شوری یکی از مهمترین عوامل محدود کننده تولید محصولات زراعی در مناطق خشک و نیمه خشک جهان است که عملکرد گیاه زراعی را تحت تأثیر قرار می‌دهد. به منظور مطالعه تغییرات فرآیند تثبیت کردن و رنگدانه‌های فتوستزی سه ژنتیپ کلزا تحت تنش شوری، آزمایشی در شرایط گلخانه به صورت فاکتوریل در قالب طرح پایه کاملاً تصادفی با چهار تکرار انجام شد. عامل اول شامل ژنتیپ‌های مختلف کلزا (هاپولا ۴۰۱، RGS0003 و شیرالی) و عامل دوم تیمار آبیاری با آب شور دارای چهار سطح شامل (آب معمولی)، ۱۰۰، ۵۰ و ۱۵۰ میلی‌مولا ر با استفاده از منابع کلریدسیم و کلرید کلسیم به نسبت مساوی یک به یک بود. نتایج نشان داد که آبیاری با آب شور باعث کاهش معنی دار هدایت روزنایی در هر سه ژنتیپ شد. میزان کلروفیل‌های a, b و کاروتینوئیدها در هر سه ژنتیپ تا سطح شوری ۱۰۰ میلی‌مولا افزایش و در ۱۵۰ میلی‌مولا کاهش یافت. با افزایش شوری تجمع منیزیم نسبت به شاهد بیشتر شد. میزان نشاسته برگ در ژنتیپ شیرالی تا سطح شوری ۱۵۰ میلی‌مولا افزایش معنی دار داشت. روند تغییرات هدایت روزنایی در سطح ۵۰ میلی‌مولا تا اوایل گله‌ی شبهی به شاهد بوده ولی در اواخر گله‌ی کاهش شدید داشت. در سطح شوری ۱۰۰ و ۱۵۰ میلی‌مولا هدایت روزنایی کمتر از شاهد بود. به نظر می‌رسد ژنتیپ شیرالی با استفاده از ساز و کارهای اجتناب از تنش مانند حفظ محتوای نسبی آب، همچنین افزایش محتوای کلروفیل‌های a و b نیز تجمع منیزیم تا سطح ۱۵۰ میلی‌مولا، تنش شوری را تحمل کرده است.

واژه‌های کلیدی: تنش شوری، کلروفیل a و b، منیزیم، نشاسته، هدایت روزنایی

مقدمه

اسیداروسیک (کمتر از ۲ درصد کل اسیدهای چرب) و گلوکزینولات (کمتر از ۳ میکرو مول بر گرم دانه) مصرف زیادی در دنیا دارد و از آنجا که کلزا پتانسیل مقابله با سمیت ناشی از شوری و املاح را دارد، رشد آن می‌تواند در خاک‌های شور با موفقیت انجام شود (۲۷). در مقایسه ارقام مختلف کلزا اعمال تیمار شوری، باعث کاهش وزن خشک (۱) و باعث کاهش میزان کلروفیل‌های a و b در هر دو رقم حساس و متحمل کلزا شد (۶). حسیبی و همکاران (۱۵) در بررسی فیزیولوژیکی اثر تنش سرما در مرحله‌ی گیاهچه‌ای ژنتیپ‌های مختلف برنج (*Oryza sativa L.*) گزارش دادند در زمان بروز تنش انتقال الکترون از فتوسیستم دو به فتوسیستم یک مختلف شده و الکترون به مولکول اکسیژن منتقل می‌شود و در این زمان بالا بودن میزان کلروفیل تنها سطح گونه‌های اکسیژن واکنشگر را بالا می‌برد. یکی از راه‌های کاهش گونه‌های اکسیژن واکنشگر کاهش میزان کلروفیل برگ خصوصاً کلروفیل b است که در این زمان گیاه با افزایش فعالیت آنزیم کلروفیلاز زنجیره خطی کلروفیل را از قسمت حلقوی جدا کرده که این زنجیره خطی همان پیش ماده تولید آنتی-

تشن شوری یکی از مهمترین تنش‌های غیرزیستی بوده و آثار منفی آن بر رشد گیاهان زراعی باعث افزایش تحقیقات در زمینه تحمل به شوری با هدف بهبود تحمل گیاهان شده است (۳۷). شوری از طریق کاهش پتانسیل اسمزی محلول خاک یا استرس آبی (۵ و ۲۲)، تأثیر ویژه یونی (۳ و ۱۶) و به هم خوردن تعادل عناصر غذایی به دلیل افزایش غلظت Na^+ باعث آسیب به گیاه می‌شود. تأثیرات مضر املاح بر روی گیاهان نتیجه تلفیق عواملی می‌باشد که می‌توان آن را در گیاه به صورت کاهش رشد مشاهده کرد (۸). تحمل به شوری گونه‌های براسیکا به دلیل روابط ژنی موجود بسیار پیچیده می‌باشد (۷). روغن کلزا (*Brassica napus L.*) به دلیل پایین بودن میزان

۱- دانش‌آموخته کارشناسی ارشد زراعت، دانشگاه شهید چمران اهواز
۲- دانشیار گروه زراعت، دانشگاه شهید چمران اهواز
۳- دانشیار گروه زراعت، دانشگاه شهید چمران اهواز
(*)- نویسنده مسئول: faranaktahmasbi@yahoo.com

مرحله به این ترتیب که در مرحله اول تیمار نرمال با آب معمولی (با $EC=2/2$ دسی زیمنس بر متر) و سه تیمار دیگر با آب شور 50 میلی مولار ($EC=6/5$ دسی زیمنس بر متر) مرحله دوم تیمار نرمال با آب معمولی ($EC=2/2$ دسی زیمنس بر متر) و تیمار دوم با آب شور 50 میلی مولار ($EC=6/5$ دسی زیمنس بر متر) چهارم با آب شور 100 میلی مولار ($EC=9/1$ دسی زیمنس بر متر) مرحله سوم تیمار اول با آب معمولی ($EC=2/2$ دسی زیمنس بر متر) و تیمار دوم با آب شور 50 میلی مولار ($EC=6/5$ دسی زیمنس بر متر) و تیمار سوم با آب شور 100 میلی مولار ($EC=9/1$ دسی زیمنس بر متر) و تیمار چهارم با آب شور 150 میلی مولار (با $EC=13$ دسی زیمنس بر متر) و تیمار پنجم با آب شور 200 میلی مولار ($EC=16/5$ دسی زیمنس بر متر) نمونه برداری شدند. نمونه برداری در پایان مرحله گلدهی (مرحله 4 فولولوژیکی) انجام گرفت و روند تغییرات هدایت روزنها در پنج مرحله مختلف شامل هفت برگی، ابتدای ساقه رفتن، پیدایش آغازهای، گلدهی و اوخر گلدهی اندازه گیری شد. برای انجام این آزمایش از گلدانهای پلاستیکی با حجم 10 لیتر استفاده شد. برای هر تیمار 3 گلدان و در هر تکرار 12 تیمار و در کل 144 گلدان مورد ارزیابی قرار گرفت. صفات مورد اندازه گیری در این آزمایش شامل ماده خشک بر حسب گرم بر بوته (تعداد چهار بوته در هر تیمار در مرحله پایان گلدهی بطور کامل کف بر شده و وزن خشک آنها پس از قرار دادن در آون 70°C به مدت 48 ساعت اندازه گیری شد)، غلظت کلروفیل های a ، b و کاروتونوئیدها به وسیله دستگاه اسپکتروفوتومتر (مدل Unic ۳۲) ساخت آلمان) با استفاده از روش آرنون (۲)، غلظت منیزیم به وسیله بورت و ماده ورسین $1/0$ نرمال، مقدار نشاسته به وسیله دستگاه اسپکتروفوتومتر (مدل Unic ۳۲) ساخت آلمان) به روش تغییر داده شده شلیگل (۳۲)، محتوای نسبی آب به روش ریچی و انگوین (۲۹) بود و هدایت روزنها با استفاده از دستگاه پرومتر مدل ELE ساخت کشور انگلستان اندازه گیری شد. محاسبات آماری با استفاده از نرم افزارهای (۱) EXCEL version 9.1، SAS و MSTATC نجات شد و مقایسه میانگینها با استفاده از آزمون دانکن انجام شد.

نتایج و بحث

رنگدانه های فتوستنتزی

میزان کلروفیل های a ، b و کاروتونوئیدها در هر سه ژنوتیپ تا سطح شوری 100 میلی مولار بطور معنی داری افزایش و در سطح شوری 150 میلی مولار کاهش یافت (جدول ۳). بیشترین میزان کلروفیل a در سطح شوری 100 میلی مولار در ژنوتیپ شیرالی به میزان $2/14$ میلی گرم بر کیلو گرم وزن تر برگ و کمترین میزان کلروفیل a در سطح تنش 150 میلی مولار در ژنوتیپ شیرالی به میزان $1/2$ میلی گرم بر کیلو گرم وزن تر برگ مشاهده شد (جدول ۳).

اکسیدان آلفا توکوفرول است. در بررسی ارقام مختلف برنج غلظت نسبی کلروفیل (عدد SPAD) طی سطوح اولیه تنش افزایش و سپس کاهش یافت، زیرا با کاهش محتوای نسبی آب برگ و افزایش غلظت پروتوبلاسم، تعداد کلروفیل است در واحد سطح افزایش یافت و این افزایش غلظت نسبی کلروفیل (عدد SPAD) به دلیل کاهش حجم و اندازه سلول ها در اثر تنش شوری گزارش شده است (۳۰). طرفیت فتوستنتزی کلروفیل استها به دلیل تنش شوری کاهش یافت، زیرا تنش شوری ساختار کلروفیل استها را به هم زده، باعث عدم ثبات کمپلکس پروتئین رنگدانه ها، تخریب ساختار کلروفیل ها و تعییر در کمیت و ترکیب کاروتونوئیدها، افزایش کارتوتوئیدها در کلزا (۱۹) گردید (۱۲). در شرایط شور گیاهان نیاز به مکانیزم های ویژه ای برای تنظیم شرایط اسمزی داخلی و تعییر فشار در محیط ریشه دارند، گیاهان تحت تنش از طریق اسیدهای آمینه آزاد، قندهای محلول و پروتئین ها پتانسیل اسمزی خود را کاهش می دهند و بدین طریق تنظیم اسمزی حاصل می شود (۲۳). با افزایش شوری تجمع منیزیم (۳۶) و (۱۷) مقدار نشاسته کل (۲۵) و تجمع قندهای ساده نظیر گلوكز و فروکتوز به دلیل افزایش آنزیم اینورتاز در برگ های گیاهان تحت تنش کمبود آب (۲۶) افزایش یافته و محتوای نسبی آب برگ های گیاهچه های کلزا با افزایش تدریجی هدایت الکتریکی به تدریج کاهش یافت (۱۳) و (۲۸). در بررسی بعضی گونه های آمفی پلوئید براسیکا تحت تنش شوری، عنوان گردید که هدایت روزنها در همه گونه ها کاهش یافت (۴). با توجه به خشکسالی های اخیر و لزوم استفاده از آب آبیاری دارای کیفیت پایین برای محصولات زراعی استراتژیک مانند کلزا، هدف از اجرای این آزمایش ارزیابی تأثیر تنش شوری بر تغیرات فتوستنتزی و برخی مؤلفه های فیزیولوژیک ارقام کلزا تحت تنش شوری و نیز مشخص کردن ژنوتیپ متحمل به تنش شوری برای کشت در مناطق شور می باشد.

مواد و روش ها

این آزمایش طی سال زراعی ۱۳۸۷-۸۸ در گلخانه دانشکده کشاورزی دانشگاه شهید چمران به صورت فاکتوریل در قالب طرح پایه کاملاً تصادفی با چهار تکرار اجرا شد. عامل اول شامل سه ژنوتیپ کلزا (هایولا ۴۰۱، RGS0003 و شیرالی) و عامل دوم تیمار آبیاری با آب شور دارای چهار سطح شامل تیمار شاهد (آب معمولی)، 100 و 150 میلی مولار به ترتیب ($2/1$ ، $6/5$ و $9/1$ دسی زیمنس بر متر) با استفاده از منابع کلرید سدیم و کلرید کلسیم به نسبت مساوی یک به یک بود بطوری که بیشترین شباهت با آب های دارای کیفیت پایین در منطقه حاصل گردد. تاریخ کشت ۲۸ آبان و زمان اعمال تنش حدود چهار هفته پس از کاشت (مرحله چهار برگی) در نظر گرفته شد. آبیاری با آب شور به صورت پلکانی طی یک دوره 12 روزه و طی سه

گزارش کردند. تنش شوری تجزیه بتاکاروتون و تشکیل زآزاتین را تشدید می‌کند، این فرآیندها در حفاظت از بازدارندگی نوری مؤثر هستند (۳۳). افزایش کلروفیل‌های a و b در ژنوتیپ شیرالی در سطح ۱۰۰ میلی‌مولا ر می‌تواند علت تحمل بیشتر این رقم به شوری و ثبات بیشتر ساختارهای فتوستتری آن باشد. عدم آسیب‌پذیری رنگدانه‌های اصلی فتوستتری تا سطح شوری ۱۰۰ میلی‌مولا ر می‌تواند علت بسیار مهمی برای برداری به شوری در این سطح در ارقام مورد ارزیابی کلزا تلقی شود.

ماده خشک کل

بیشترین میزان ماده خشک در ژنوتیپ RGS0003 و تیمار شاهد به میزان ۲۹/۴۲ گرم در بوته و کمترین میزان ماده خشک در ژنوتیپ شیرالی و سطح شوری ۱۵۰ میلی‌مولا به میزان ۱۶/۶۶ گرم در بوته مشاهده شد (جدول ۳). میزان ماده خشک ژنوتیپ شیرالی در تیمار شاهد (آب معمولی) (به میزان ۲۴/۵۲ گرم در بوته) پایین‌تر از دو ژنوتیپ دیگر RGS0003 (به میزان ۲۹/۴۲ گرم در بوته و هایولا ۴۰۱) به میزان ۲۶/۲۹ گرم در بوته (در سطح ۵ درصد اختلاف معنی‌دار) بود، ولی میزان کاهش ماده خشک این ژنوتیپ در سطوح مختلف شوری تدریجی بوده و در سطوح ۱۰۰ و ۱۵۰ میلی‌مولا تفاوت معنی‌داری نداشت. لذا این ژنوتیپ ضمن دارا بودن پایداری مناسب در برابر شوری، در مقایسه با دو ژنوتیپ دیگر از کاهش کمتر ماده خشک نسبت به شاهد در سطوح بالای تنش برخوردار بود (جدول ۳). احتمالاً به دلیل کاهش جذب آب به‌واسطه تنش خشکی ناشی از شوری، جذب عناصر غذایی کاهش یافته و از طرفی مسمومیت کلر و سدیم سبب بازداری رشد گیاه و کاهش ماده خشک گردیده است. به‌نظر می‌رسد تنش شوری و تغییرات یونی حاصل از آن به همراه کاهش هدایت هیدرولیکی آب در خاک، اثر منفی شدیدی بر عملکرد فتوستتری گیاه داشته است. همچنین احتمالاً به دلیل شعاع یونی گستردگی سدیم و خسارت وارد به غشاها فیزیولوژیک و دستگاه فتوستتری و تجمع نمک هماه با کاهش تولید برگ در نهایت وزن خشک کل گیاه کاهش یافت. این نتایج با یافته‌های اشرف و علی (۶) و احمدی و اردکانی (۱) منطبق بود.

محتواهای نسبی آب

محتواهای نسبی آب در اندام هوایی تحت شرایط تنش همواره کمتر از شاهد بود. با افزایش شوری محتواهای نسبی آب کاهش یافت. در ژنوتیپ شیرالی با اینکه محتواهای نسبی آب طی تنش کاهش یافت ولی توانست در سطوح شوری ۱۰۰ و ۱۵۰ میلی‌مولا محتواهای نسبی آب را در سطح بالاتری از ژنوتیپ‌های هایولا ۴۰۱ و RGS0003 حفظ کند، هرچند که در ۱۵۰ میلی‌مولا این تحمل از بین رفته و

بیشترین میزان کلروفیل b در ژنوتیپ شیرالی در سطح ۱۰۰ میلی‌مولا ر به میزان ۱/۵۹ میلی‌گرم بر کیلوگرم وزن تر برگ و کمترین میزان کلروفیل b در ژنوتیپ شیرالی و در سطح شوری ۱۵۰ میلی‌مولا ر به میزان ۰/۶۲ میلی‌گرم بر کیلوگرم وزن تر برگ مشاهده شد (جدول ۳). بیشترین میزان کارتوئیدها در ژنوتیپ هایولا ۴۰۱ و سطح شوری ۱۰۰ میلی‌مولا ر به میزان ۰/۴۲ میلی‌گرم بر کیلوگرم وزن تر برگ و کمترین میزان کارتوئیدها در ژنوتیپ هایولا ۴۰۱ و تیمار شاهد به میزان ۰/۱۷ میلی‌گرم بر کیلوگرم وزن تر برگ به‌واسطه (جدول ۳). افزایش رنگدانه‌ها تا ۱۰۰ میلی‌مولا احتمالاً به‌واسطه افزایش غلظت استرومای کلروفیل‌است و همچنین کاهش حجم سلول حادث گردیده است. در نتیجه غلظت رنگیزه‌ها در واحد حجم سلول افزایش یافت. لازم بذکر است آستانه تحمل به شوری گیاه کلزا ۱۱ دسی زیمنس بر متر می‌باشد (۱۴)، لذا با توجه به اینکه شوری ۱۰۰ میلی‌مولا ر (معادل ۹/۱ دسی زیمنس بر متر) در رنج آستانه تحمل گیاه کلزا قرار داشته، بنابراین نتایج این تحقیق آثار تخریبی در محتواهای کلروفیل بافت کلرانشیم گیاه کلزا بر جای نگذاشته است. با افزایش شدت تنش، کاهش ظرفیت فتوستتری کلروفیل‌استها به‌علت کاهش سطح فتوستتریکننده و ظرفیت فتوستتری کلروفیل‌استها به‌واسطه اختلال در غشاء تیلاکوئیدها، تخریب مولکول‌های کلروفیل در اثر فعالیت آنزیم کلروفیل‌از و عدم ثبات کمپلکس پروتئین – رنگدانه و در نتیجه تخریب کلروفیل‌استها در اثر افزایش غلظت یون‌های سمی سدیم، کلر و افزایش سطح گونه‌های اکسیژن فعال (ROS) ناشی از آن بوده است. نتایج حاصله با گزارش جمیل و همکاران (۱۸)، دابی (۱۲)، دوگانلار و همکاران (۱۱) منطبق بود. سایر پژوهشگران به تغییر متابولیسم نیتروژن، در نتیجه وجود رقابت برای استفاده از پیش‌سازها بین مسیر سنتر کلروفیل و پرولین در ساخت ترکیب‌های نظری پرولین که برای تنظیم اسمزی به کار می‌رود را اشاره دارند. به علاوه شوری نقش بازدارندگی روی بیوستتر کلروفیل دارد (۲۱). کاهش غلظت کلروفیل از عوامل مهم تأثیرگذار در ظرفیت فتوستتری می‌باشد. افزایش درجه شوری موجب ناکارآمدی برگ‌ها در انجام فتوستتر و تشدید صدمات ناشی از تنش شد. بنابراین شوری نه تنها از طریق کاهش تعداد و سطح برگ سبب کاهش کل ظرفیت فتوستتری در گیاهان گردید بلکه از طریق کاهش میزان کلروفیل در برگ‌ها سبب اختلال در سنتر مواد فتوستتری جهت رشد گیاه شد. وزن خشک گیاه تحت تأثیر شوری به موازات کاهش کلروفیل برگ‌ها کاهش یافت که با نتایج شمس الدین و فرجبخش (۳۱) منطبق بود. افزایش کارتوئیدها توان مقابله با شرایط تنش در گیاه را افزایش می‌دهد زیرا گیاه توانایی اتلاف انرژی مازاد الکترون‌های برانگیخته نشست کرده از غشاء تیلاکوئید طی تنش شوری توسط چرخه زانتوفیل به صورت حرارت غیر تشعشعی و همچنین حذف گونه‌های اکسیژن‌های واکنشگر را خواهد داشت. میسرا و همکاران (۲۴) نتایج مشابهی را

شوری ۱۰۰ میلی مولار به طور معنی دار افزایش و در سطح شوری ۱۵۰ میلی مولار کاهش یافت. اما در ژنوتیپ شیرالی تا سطح شوری ۱۵۰ میلی مولار به طور معنی دار افزایش نشان داد (جدول ۳). بیشترین میزان نشاسته برگ در ژنوتیپ RGS0003 در سطح تنش ۱۰۰ میلی مولار به میزان ۳۴۹/۱۲ میلی گرم بر گرم وزن خشک و کمترین میزان نشاسته در ژنوتیپ RGS0003 در تیمار شاهد به میزان ۱۳۵/۴۶ میلی گرم بر گرم وزن خشک مشاهده شد (جدول ۳). به نظر می رسد افزایش تجمع نشاسته به دلیل کاهش تبدیل نشاسته کلروپلاستها به تریوز فسفات (قند سه ۱۱-کربنه) و خروج آن از کلروپلاست به سیتوزول به سبب کاهش فراهمی Pi (فسفات غیرآلی) و یا اختلال در کارآیی ناقل های تریوز فسفات باشد (۱۵). کاهش تجمع نشاسته در سطوح بالای تنش ناشی از اختلال در کارآیی آنزیم های درگیر در سنتز نشاسته مانند نشاسته سنتاز و ADP-گلوکز پروفوسفیریالز است (۱۵). ولی در ژنوتیپ شیرالی عدم کاهش بیوسنتز نشاسته در سطح ۱۵۰ میلی مولار مشاهده نشد که احتمالاً ناشی از عدم اختلال در فعالیت های آنزیمی درگیر در تولید نشاسته می باشد. نتایج پیشین آزمایش (۳۵) نشان داد که در شرایط تنش همبستگی معنی داری بین مقادیر نشاسته با قند های محلول وجود نداشت. لذا علی رغم افزایش تجمع نشاسته در کلروپلاست، طی تنش، مقادیر قند های محلول به طور معنی داری افزایش یافت. از طرفی افزایش تجمع قند های محلول سبب کاهش پتانسیل اسمزی و افزایش محتوای نسبی آب شده، همانگونه که Na^{+} , Mg^{2+} , Ca^{2+} در پرولین این اثر را نشان دادند (۳۴).

هدایت روزنه ای

رونده تغییرات هدایت روزنه ای در تیمار شاهد و سه سطح شوری تمام ژنوتیپ ها از نظر آماری مشابه بود. در تمام تیمارهای مورد مطالعه از مرحله هفت برگی تا ابتدای ساقه رفتن (مرحله روزت) هدایت روزنه ای کاهش یافت و به کمترین میزان خود رسید، سپس در مرحله پیدایش آغازه های گل افزایش نشان داد (جدول ۴). در ۵۰ میلی مولار روند تغییرات هدایت روزنه ای تا اوایل گلدهی شیبی به شاهد بود ولی در اواخر گلدهی کاهش یافت. در ۱۰۰ و ۱۵۰ میلی مولار همواره هدایت روزنه ای از مقدار کمتری از شرایط شاهد و تیمار ۵۰ میلی مولار برخوردار بود. همچنین رقم هایو لا ۴۰۱ از وضعیت مناسب تری برخوردار بوده، در صورتی که رقم شیرالی در شرایط شاهد و ۱۵۰ میلی مولار کمترین میزان هدایت روزنه ای را در اواخر گلدهی نشان داد. با شروع تنش (در مرحله هفت برگی)، گیاه تا مدتی هدایت روزنه ای خود را در سطح حداکثر نگه داشته ولی با تداوم دوره تنش اقدام به بستن روزنه های خود نموده است. از آنجا که تداوم باز بودن روزنه به آماس سلول های محافظه روزنه وابسته است، لذا کاهش در

محتوای نسبی آب کاهش یافت (جدول ۳). بیشترین درصد محتوای نسبی آب در ژنوتیپ شیرالی در تیمار شاهد به میزان ۹۲/۲۶ درصد و کمترین درصد محتوای نسبی آب در ژنوتیپ RGS0003 در سطح ۱۵۰ میلی مولار به میزان ۸۵/۷۱ درصد مشاهده شد (جدول ۳). بنابراین به نظر می رسد با توجه به روند تدریجی کاهش ماده خشک ژنوتیپ شیرالی در مقایسه با شبیه تند کاهش آن در دو ژنوتیپ دیگر تحت تنش، این ژنوتیپ در تنظیم اسمزی کارآمدتر بوده و احتمالاً با کاهش پتانسیل اسمزی، جذب آب را افزایش و در نتیجه آن وضعیت آبی در بافت های تحت تنش بهبود یافته است. نتایج جمیل و همکاران (۱۸)، ژو (۳۸) و فرانکوویس (۱۳) با نتایج حاصل از این آزمایش مشابه بود.

منیزیم

درصد منیزیم در اندام هوایی هر سه ژنوتیپ تحت شرایط تنش بیشتر از شاهد بود. با افزایش شوری درصد منیزیم به طور معنی دار نسبت به شاهد افزایش یافت (جدول ۳). بیشترین درصد منیزیم برگ در تیمار شاهد در ژنوتیپ RGS0003 به میزان ۱۱۸/۰ درصد و کمترین درصد منیزیم برگ در ژنوتیپ شیرالی به میزان ۷۲/۰ درصد مشاهده شد (جدول ۳) با افزایش شوری علی رغم افزایش درصد منیزیم به عنوان عنصر کلیدی در بیوسنتز کلروفیل، زیست ساخت کلروفیل افزایش نیافت زیرا به شدت متأثر از شوری گردید (وجود همبستگی منفی بین منیزیم و کلروفیل b مؤید این مطلب است) (جدول ۲). به نظر می رسد عنصر منیزیم با تجمع در سلول های محافظه روزنه و ایقاعی نقش در بیوسنتز ترکیبات آلی کاهش دهنده پتانسیل اسمزی مانند گلوتامیک اسید سبب گردید که علی رغم بسته شدن روزنه ها ناشی از مکانیسم عمل هورمون ABA روزنه های گیاه، حتی به مقادیر جزیی بازمانده تا فتوسنتز به طور کامل قطع نگردد. احتمالاً عنصر منیزیم در گیاه کلزا تحت تنش شوری دارای یک نقش کلیدی در تداوم فتوسنتز می باشد (۱۰). احتمالاً منیزیم در فعالیت ATPase و تأمین انرژی واکنش های انرژی خواه همچون تولید ال - گلوتامات به عنوان پیش ماده پرولین نقش حائز اهمیت را دارا می باشد. از طرفی ممکن است که به واسطه کاهش اندازه سلول ها و حجم بافت های گیاهی طی تنش شدید، از آنجا که مقدار منیزیم در اندام مورد مطالعه ثابت می باشد ولی با کوچکتر شدن بافت ها طی تنش ۱۵۰ میلی مولار مقدار ثابتی از منیزیم در حجم کمتر بافت مورد بررسی سبب افزایش درصد آن نسبت به شاهد شده باشد (۳۴). نتایج حاصله با نتایج کیشیمیتو و همکاران (۲۰) مطابقت داشت.

نشاسته

میزان نشاسته در دو ژنوتیپ هایو لا ۴۰۱ و RGS0003 تا سطح

نسبی آب (جدول ۲) بیانگر اهمیت حفظ محتوای نسبی در افزایش ماده خشک در شرایط تنش می‌باشد. همبستگی مثبت و معنی‌دار بین کلروفیل b و نشاسته و نیز کلروفیل b و محتوای نسبی آب برگ اشاره به نقش کلروفیل در فتوسنتز و بیوسنتز پلیمرهای ذخیره‌ای و در نتیجه تحمل خشکی دارد. بین کلروفیل a با کلروفیل b و کاروتونوئیدها همبستگی مثبت و معنی‌دار دیده شد، یعنی با افزایش کاروتونوئیدها و کلروفیل b، کلروفیل a در مراکز شیمیایی واکنش سیستم‌های نوری، افزایش یافت.

میزان محتوای نسبی آب برگ می‌تواند دلیل دیگر تفاوت هدایت روزنه‌ای میان سطوح مختلف تنش باشد. همبستگی مثبت و معنی‌دار بین محتوای نسبی آب و هدایت روزنه‌ای مؤید این مطلب است (جدول ۲). نتایج حاصله با نتایج چاوز و همکاران (۹) مشابه بود. از سوی دیگر گیاه برای اجتناب از تنش و استفاده بهتر از مقدار آب محدودی که در اختیار دارد، روزنده‌هارا می‌بندد تا از اتفاق بیشتر آب جلوگیری شود (۶، ۴ و ۲۷).

وجود همبستگی مثبت و معنی‌دار بین ماده خشک و محتوای

جدول ۱- میانگین مرباعات ماده خشک، کلروفیل a، کلروفیل b، کاروتونوئیدها، منیزیم، نشاسته، RWC و هدایت روزنه‌ای

Table 1- Mean squares for dry matter, chlorophyll a and b, carotenoids, magnesium, starch, RWC, and stomatal conductance

هدایت روزنه‌ای Stomatal conductance	RWC	نشاسته Starch	منیزیم Magnesium	کاروتونوئیدها Carotenoids	b Chlorophyll b	a Chlorophyll a	ماده خشک Dry matter	درجه آزادی df	منبع تغییرات S. O. V.
0.005**	29.18*	3561.88**	0.0068**	0.0070*	0.146**	0.099 ^{ns}	41.18*	2	* ** بهترتب معنی‌دار در سطح احتمال ۵ و ۱ درصد و ^{ns} غیر معنی‌دار
0.024**	91.4*	25137.58**	0.0075**	0.041**	0.64**	0.58**	189.3**	3	شوری Salinity
0.00038 ^{ns}	7.76 ^{ns}	10667.04**	0.001**	0.006*	0.062**	0.077 ^{ns}	7.88 ^{ns}	6	* ** بهترتب معنی‌دار در سطح احتمال ۵ و ۱ درصد و ^{ns} غیر معنی‌دار
0.0005	3.7	550.51	0.000059	0.0019	0.0091	0.051	12.76	22	خطا Error
18.09	2.17	9.72	7.06	16.18	9.14	13.55	16.44	-	CV

* and ** in significant at the P<0.05 and P<0.01 levels respectively. ns not significant

جدول ۲- خواص همبستگی صفات ماده خشک، کلروفیل a، کلروفیل b، کاروتونوئیدها، منیزیم، نشاسته، RWC، و هدایت روزنه‌ای در شرایط تنش شوری

Table 2- Correlations coefficients between dry matter, chlorophyll a and b, carotenoids, magnesium, starch, RWC, and stomatal conductance under salt stress

هدایت روزنه‌ای Stomatal conductance	RWC	نشاسته Starch	منیزیم Magnesium	کاروتونوئیدها Carotenoids	b Chlorophyll b	a Chlorophyll a	ماده خشک Dry matter	ماده خشک Dry matter
							1	کلروفیل a Chlorophyll a
							1	کلروفیل b Chlorophyll b
							1	کاروتونوئیدها Carotenoids
							1	منیزیم Magnesium
							1	نشاسته Starch
							1	RWC
1	-0.00047	-0.544**	-0.198	0.387*	0.455**	0.311	0.170	هدایت روزنه‌ای Stomatal conductance
1 ^{**}	0.399*	-0.588**	0.444**	0.666**	0.529**	0.33*	0.518**	
0.505								

* و ** بهترتب معنی‌دار در سطح ۵ و ۱ درصد.
* and ** in significant at the P<0.05 and P<0.01 levels respectively

جدول ۳- مقایسه میانگین صفات ماده خشک، کلروفیل a، کلروفیل b، کارتونؤیدها، منیزیم، نشاسته و RWC در ارقام مختلف کلزا

Table 3- Mean comparison of dry matter, chlorophyll a and b, carotenoids, magnesium, starch, RWC, and stomatal conductance under salt stress in different Canola species

RWC (%)	نشاسته Starch (mg/g dry weight)		منیزیم Magnesium (percent)		کاروتونؤیدها Cartenoids (mg/g fresh weight)		کلروفیل b Chlorophyll b (mg/g fresh weight)		کلروفیل a Chlorophyll a (mg/g fresh weight)		ماده خشک Dry matter (g/plant)	تیمار Treatment		
92.11	a	245.4	cd	0.072	e	0.2	cd	0.97	cd	1.73	abcd	26.29	ab	V1S1
91.83	a	293.4	abc	0.079	de	0.26	bcd	1.32	b	1.75	abcd	24.78	abc	V1S2
86.33	b	332.5	ab	0.106	bc	0.42	a	1.41	ab	2.03	ab	18.18	bc	V1S3
86.14	b	172.6	ef	0.108	bc	0.26	bcd	0.92	de	1.58	abcd	17.02	bc	V1S4
89.98	ab	135.5	f	0.118	b	0.17	d	0.89	de	1.35	cd	29.42	a	V2S1
89.19	ab	246.9	cd	0.119	b	0.3	bc	0.91	de	1.51	bcd	22.81	abc	V2S2
86.08	b	349.1	a	0.146	a	0.35	ab	1.19	bc	1.94	abc	21.99	abc	V2S3
85.71	b	186.6	ef	0.162	a	0.33	ab	0.69	e	1.58	abcd	19.39	bc	V2S4
92.26	a	186.6	ef	0.032	f	0.2	cd	0.99	cd	1.56	abcd	24.52	abc	V3S1
90.15	ab	200.5	de	0.094	cd	0.27	bcd	1.02	cd	1.71	abcd	21.03	abc	V3S2
89.92	ab	254.7	cd	0.124	b	0.3	bc	1.59	a	2.14	a	18.59	bc	V3S3
86.25	b	290.3	bc	0.146	a	0.2	cd	0.7	e	1.2	d	16.66	c	V3S4

میانگین‌های در هر ستون، که دارای حروف مشابه‌می باشند براساس آزمون چند دامنه‌ای دانکن در سطح احتمال ۱ درصد تفاوت معنی‌دار ندارند.

Means in each column, followed by the same letters are not significantly different at the 1% probability level-using Duncan's Multiple Range Test.

جدول ۴- مقایسه میانگین اثر متقابل ژنوتیپ و سطوح مختلف تنفس شوری بر روند هدایت روزنده‌ای بر حسب سانتی‌متر بر ثانیه

Table 4- Mean comparison of different salinity levels interaction on stomatal conductance (cm.s⁻¹)

تیمار Treatment	مرحله هفت برگی	اولیه رفتن	بیدایش آغازه گل‌ها	گلدھی	اوخر گلدھی	Late Flowering	FLowering
0.15	a	0.2	a	0.22	b	0.12	a
0.06	cd	0.16	abc	0.18	bcd	0.09	ab
0.04	cd	0.16	abc	0.14	def	0.07	abcd
0.07	cd	0.08	de	0.09	fg	0.05	bcd
0.09	bc	0.17	ab	0.21	bc	0.06	bcd
0.04	cd	0.11	cde	0.16	cde	0.04	bcd
0.07	cd	0.11	cde	0.11	ef	0.03	cd
0.06	cd	0.07	de	0.03	h	0.02	d
0.13	ab	0.18	a	0.28	a	0.08	abc
0.04	cd	0.12	bcd	0.21	bc	0.05	bcd
0.03	d	0.12	bcd	0.14	def	0.03	cd
0.04	cd	0.06	e	0.05	gh	0.02	d

شاهد (آب معمولی)	S1	401 ژنوتیپ هایو لا	V1
شوری 50 میلی‌مولار	S2	RGS0003 ژنوتیپ	V2
شوری 100 میلی‌مولار	S3	ژنوتیپ شیرالی	V3
شوری 150 میلی‌مولار	S4		

میانگین‌های در هر ستون، که دارای حروف مشابه‌می باشند براساس آزمون چند دامنه‌ای دانکن در سطح احتمال یک درصد تفاوت معنی‌دار ندارند.

Means in each column, followed by the same letters are not significantly different at the 1% probability level-using Duncan's Multiple Range Test.

دستگاه فتوسنتزی طی تنفس شده است. بین هدایت روزنده‌ای و محتوای نسبی آب و کلروفیل‌های a، b و کاروتونؤیدها و ماده خشک همبستگی مشت و معنی‌داری دیده شد، که نشانگر اهمیت کلروفیل‌های a، b و کاروتونؤیدها در زیست ساخت کربوهیدرات‌ها، حفظ میزان بالای محتوای نسبی آب و حفظ آماس و تداوم باز بودن سلول‌های روزنده و افزایش هدایت روزنده‌ای و درنتیجه افزایش ماده

به‌نظر می‌رسد عنصر منیزیم با تجمع در سلول‌های محافظه روزنده و ایفای نقش در بیوسنتز ترکیبات آلی کاهش‌دهنده پتانسیل اسمزی مانند گلوتامیک اسید سبب کاهش بیشتر هدایت روزنده‌ای به‌منظور جلوگیری از تلفات رطوبتی تحت تنفس گردیده است. به‌نظر می‌رسد انباشت نشاسته در کلروپلاست و ایجاد فشار مکانیکی گرانول‌های درشت نشاسته به دستگاه فتوسنتزی، باعث محدودیت در فعالیت

نسبت به دو ژنوتیپ دیگر دارا بود، اما در سطوح مختلف تنش درصد منیزیم در این ژنوتیپ به شدت افزایش یافته و در سطح ۱۵۰ میلی مولار نسبت به ژنوتیپ RGS0003 در سطح پایین تری قرار گرفت هرچند افزایش بسیار زیاد آن نسبت به شرایط شاهد قابل تأمل است. میزان هدایت روزنها در ژنوتیپ شیرالی در سطوح ۱۰۰ و ۱۵۰ میلی مولار در پایین ترین سطح نسبت به دو ژنوتیپ دیگر صورت گرفت. با احتمالاً ژنوتیپ شیرالی در این سطوح با کاهش هدایت روزنها و بستن روزنها محتوای نسبی آب را در سطح ۱۰۰ میلی مولار در بالاترین میزان نگهدارشته و در ۱۵۰ میلی مولار از افت شدید آن جلوگیری نموده است لذا کاهش ماده خشک نیز با شیب بسیار ملایمی صورت پذیرفت. به نظر می‌رسد ژنوتیپ شیرالی با استفاده از مکانیزم‌های اجتناب از تنش همانند کاهش سطح برگ، حفظ محتوای کارتوتوئیدها تا سطح ۱۰۰ میلی مولار به مقابله با خشکی ناشی از تنش شوری پرداخته است. به نظر می‌رسد محتوای نسبی آب یکی از مؤلفه‌های فیزیولوژیک کارآمد برای ارزیابی و انتخاب ژنوتیپ‌های کلزا تحت تنش شوری محسوب می‌گردد. با توجه به نتایج این آزمایش به نظر می‌رسد که در شرایط استفاده از آبهای دارای کیفیت پایین، ژنوتیپ شیرالی از پاسخ فیزیولوژیکی مناسب‌تری نسبت به دو ژنوتیپ دیگر برخوردار بوده است.

خشک بوده است.

نتیجه‌گیری

با افزایش شدت تنش شوری، روند کاهش ماده خشک در ژنوتیپ شیرالی با شیب کندتری نسبت به دو ژنوتیپ دیگر صورت گرفت. با توجه به همبستگی مثبت ماده خشک با محتوای نسبی آب و نظر به اینکه ژنوتیپ شیرالی در سطح ۱۰۰ میلی مولار از بالاترین میزان محتوای نسبی آب برخوردار بوده، نشانگ نقش حائز اهمیت حفظ محتوای نسبی آب در ممانعت از کاهش هرچه بیشتر ماده خشک می‌باشد. افزایش رنگدانه‌های کلروفیل‌های a، b و کارتونوئیدها تا شوری ۱۰۰ میلی مولار می‌تواند نشان‌دهنده افزایش غلظت کلروفیلاست به دلیل کاهش محتوای نسبی آب و کاهش حجم سلول ناشی از تنش باشد. در نتیجه غلظت رنگیزه‌ها در واحد حجم سلول افزایش یافت. با افزایش شدت تنش، کاهش ظرفیت فتوسنتزی احتمالاً به دلیل کاهش سطح فتوسنتزکننده و ظرفیت فتوسنتزی کلروفیلاست‌ها به علت اختلال در غشای تیلاکوئید، تخریب مولکول‌های کلروفیل در اثر فعالیت آنزیم کلروفیلаз و عدم ثبات کمپلکس پروتئین – رنگدانه و در نتیجه تخریب کلروفیلاست‌ها در اثر افزایش غلظت یون‌های سمی سدیم، کلر و ROS¹ ناشی از آن بوده است. ژنوتیپ شیرالی اگرچه در سطح شاهد کمترین درصد منیزیم را

References

1. Ahmadi, H., and Niazi Ardekani, J. 2006. The effect of water salinity on growth and physiological stages of eight Canola (*Brassica napus L.*) cultivars. *Irrigation Science* 25: 11-20.
2. Arnon, A. N. 1967. Method of extraction of chlorophyll in the plants. *Agronomy Journal* 23: 112-121.
3. Ashraf, M. 1994. Breeding for salinity tolerance in plants. *CRC Critical Review Plant Science*, 13: 17-42.
4. Ashraf, M. 2001. Relationships between growth and gas exchange characteristics in some salt-tolerant amphidiploid Brassica species in relation to their diploid parents. *Environmental and Experimental Botany* 45: 55-163.
5. Ashraf, M. 2004. Some important physiological selection criteria for salt tolerance in plants. *Flora Journal*, 99: 361-376.
6. Ashraf, M., and Ali, Q. 2007. Relative membrane permeability and activities of some antioxidant enzymes as the key determinants of salt tolerance in canola (*Brassica napus L.*). *Environmental and Experimental Botany* 63: 266-273.
7. Ashraf, M. and Mc Neilly, T. 2004. Salinity tolerance in some brassica oilseeds. *Critical Review Plant Science* 23: 154-174.
8. Blumwald, E., Aharon, S. G., and Apse, M. P. 2000. Sodium Transport in Plant Cells. *Biochimica et Biophysica Acta*, 1465 (2000): 140-151.
9. Chaves, M. M., Maroco, J. P., and Pereira, J. S. 2003. Understanding plant response to drought: from genes to the whole plant. *Plant Biology* 30: 239-264.
10. Ding, Y., Luo, W., and Xu, G. 2006. Characterization of magnesium nutrition and interaction of magnesium and potassium in rice. *Annals of Applied Biology* 149: 111-123.
11. Doganlar, Z. B., Demir, K., Basak, H., and Gul, I. 2010. Effects of salt stress on pigment and total soluble protein contents of three different tomato cultivars. *African Journal of Agricultural Research* 5: 2056-2065.
12. Dubey, R. S. 1997. Photosynthesis in plants under stressful conditions. In: P. M. page et al. (ed.) *Handbook of photosynthesis*. New York: Marcel Dekker, pp.859-875.

1- Reactive oxygen species

13. Francois, B. B. 2007. Effect of salinity on germination and seedling growth of canola. PhD thesis. Agricultural Sciences at the University of Stellenbosch p: 73.
14. Francois, L. E. 1994. Growth, seed yield, and oil content of canola grown under saline conditions. *Agronomy Journal* 86 (2): 233-237.
15. Hassibi, P., Nabipoor, M., and Moradi, F. 2010. Study of some cryoprotectives role to induce low temperature tolerance in rice (*Oryza sativa* L.) seedlings. *Electronic Journal of Crop Production* 3 (1): 39-56. (in Persian with English abstract).
16. He, T., and Cramer, G. R. 1992. Growth and mineral nutrition of six rapid-cycling *Brassica* species in response to seawater salinity. *Plant Soil Science* 139: 285-294.
17. Irshad, M., Eneji, A. E., Khattak, R. A., and Khan, A. 2009. Influence of nitrogen and saline water on the growth and partitioning of mineral content in Maize. *Journal of Plant Nutrition* 32: 458-469.
18. Jamil, M., Rehman, S. H., and Rha, E. S. 2007. Salinity effect on plant growth, PSII photochemistry and chlorophyll content in sugar beet (*Beta vulgaris* L.) and cabbage (*Brassica Oleracea capitata* L.). *Pakistan Journal of Botany* 39: 753-760.
19. Kattab, H. 2007. Role of glutathione and polyadenylic acid on the oxidative defense systems of two different cultivars of canola seedlings grown under saline condition. *Australian Journal of Basic and Applied Sciences* 1 (3): 323-334.
20. Kishimoto, K., Ishijima, S., and Ohnishi, M. 2003. Characterization of membrane ATP-ase activities of spinach chloroplasts. *International journal of biological macromolecule* 3 (2): 61-68.
21. Le-Dily, F., Billard, J. P., Le-Saos, J., and Huault, C. 1993. Effects of NaCl and gabaculine on chlorophyll and proline levels during growth of radish cotyledons. *Plant Physiology and Biochemistry* 31: 303-310.
22. Maathuis, F. J. M., and Amtmann, A. 1999. K⁺ nutrition and Na⁺ toxicity. The basis of cellular K⁺/Na⁺ ratios. *Annual Botany* 84: 123-133.
23. Mahmood, S. S., and Athar, H. R. 2003. Intra specific variability in sesame (*sesamum indicum* L.) for various quantitative and qualitative attributes under differential salt regimes. *Journal of Science Research* 14 (2): 177-186.
24. Misra, A. N., Latowski, D., and Strzalka, K. 2006. The xanthophylls cycle activity in Kidney Bean and Cabbage leaves under salinity stress. *Russian Journal of Plant Physiology* 53: 102-109.
25. Pessarakli, M. M., Morgan, P. V., and Gilbert, J. J. 2005. Dry- Matter yield, protein synthesis, starch, and fiber content of barley and wheat plants under two irrigation regimes. *Journal of Plant Nutrition* 28 (7): 1227-1241.
26. Pinheiro, C., Chaves, M. M., and Ricardo, C. P. 2001. Alterations in carbon and nitrogen metabolism induced by water deficit in the stems and leaves of (*Lupinus albus* L.). *Journal of Experiment Botany* 52: 1063-1070.
27. Qasim, M., Ashraf, M., Ashraf, M. U., Rehman, Y. S., and Rha, E. S. 2003. Salt induced changes in two canola cultivars differing in salt tolerance. *Biologia Plantarum* 46 (4): 629-632.
28. Qi-lin, D., Chen, C., Bin, F., Ting-ting, L., Xia, T., Yuan-ya, G., Ying-kun, S., Jin, W., and Shi-zhang, D. 2009. Effects of NaCl treatment on the antioxidant enzymes of oilseed rape (*Brassica napus* L.) seedlings. *African Journal of Biotechnology* 20: 5400-5405.
29. Ritchie, S. W., and Nguyen, H. T. 1990. Leaf water content and gas exchange parameters of two wheat genotypes differing in drought resistance. *Crop Science* 30: 105-111.
30. Saeedipour, S., Nabipour, M., and Moradi, F. 2007. Effect of salinity stress on some physiological mechanisms aspects of different Iranian Rice cultivar. PhD thesis. Shahid Chamran University. Ahvaz, Iran. p.116. (in Persian with English abstract).
31. Shamsoddin saied, M., and Farahbakhsh, H. 2009. Salt stress effect on yield and some agronomic and physiologic traits of two corn hybrid at Kerman region. *The plant production* 32 (1). 13-24. (in Persian).
32. Sheligl, H. Q. 1986. Die verwertung orgngischer souren durch chlorella lincht. *Planta Journal* 47-51. (in German).
33. Singh, A., and Dubey, K. 1995. Changes in chlorophyll a and b contents and activities of photosystems I and II in rice seedlings induced by NaCl. *Photosynthetica* 31: 489-499.
34. Tahmasbi, F. 2010. Physiological investigation of saline water irrigation from NaCl and CaCl₂ sources on three genotypes of canola (*Brassica napus* L.) in Ahvaz climate condition. M.Se thesis. Shahid Chamran University. Ahvaz, Iran. p.114 (in Persian with English abstract).
35. Tahmasbi, F., Hassibi, P., and Meskarbashee, M. 2013. The evaluation of some physiological and biochemical variations of salt water irrigation tolerance in three canola genotypes. *The Plant Production* 36 (2): 75-86. (in Persian).
36. Valdez-Aguilar, L., Grieve, A. C. M., Poss, J., and Layfie, D. A. 2009. Salinity and alkaline pH in irrigation water affect marigold plants: II. Mineral Ion Relations. *Hortscience* 44 (6): 1726-1735.
37. Zhao, G. Q., Ma, B. L., and Ren, C. Z. 2007. Growth, gas exchange, chlorophyll fluorescence and ion content of naked oat in response to salinity. *Crop Science* 47: 123-131.
38. Zhu, J. K. 2002. Salt and drought stress signal transduction in plants. *Annual Review of Plant Physiology and Plant Molecular Biology* 53: 247-273.



Effect of Different Salinity levels on some Photosynthetic Characters of Canola (*Brassica napus L.*) Cultivars

F. Tahmasbi¹- P. Hassibi²- M. Meskarbashi³

Received: 22-05-2014

Accepted: 17-05-2015

Introduction

Salinity is one of the most important factors limiting crop production in arid and semiarid regions of the world that affects crop yield. Salt tolerance of *Brassica* species are very complex due to genetic relationships. Because of low erucic acid (less than 2% of total fatty acids) and glucosinolates contents (less than 3 $\mu\text{mol g}^{-1}$), oil of Canola has many consumers around the world. Because Canola have tolerance potential against toxicity of salinity and its minerals, its growth can be successful in saline condition. According to the recent ongoing drought and the need to use low quality irrigation water for crops such as Canola, aim of this experiment was to evaluate the effect of salinity on changes in carbon fixation process and photosynthetic pigments of three Canola genotypes under salinity as well as determine most salt tolerant genotype for use in saline regions.

Material and Methods

An experiment was conducted in the greenhouse of Shahid Chamran University during 2007-2008 growing season in factorial test based on a completely randomized design with four replications. The first factor (genotype) included Hayola 401, RGS0003 and Shiraly and the second factor (salinity levels) had four levels of salinity (50, 100 and 150 mM NaCl) as well as distilled water as a control. Sources of salinity were NaCl and CaCl₂ with equal ratio as most resembles to lower water quality resources in the region. Date and time of stress were considered four weeks after planting (four-leaf stage). A Stepped irrigation method using saline water was done every 12 days over three steps period. To perform this study 10 liters volume pots were used. Three pots per each treatment, and totally 144 pots were used. SAS (version 9.1), Excel and MSTAT-C software's was used for statistical analysis. The comparison of means was done by Duncan method.

Results and Discussion

The results showed that content of chlorophyll a, b and carotenoids in all three genotypes increased to 100 mM, while decreased at 150 mM. Health and invulnerability of main photosynthetic pigments at 100 mM NaCl, can be considered as an important reason for salt tolerance in the evaluated canola cultivars. Reducing the absorption of water due to stress caused by salinity reduced nutrient uptake. Toxicity of chlorine and sodium also leads to inhibition of plant growth and dry matter. Magnesium concentration raised with increasing salinity compared to control. It seems that the magnesium concentration in stomatal guard cells decreased osmotic potential and play a role in the biosynthesis of organic compounds such as glutamic acid. So, despite ABA-induced stomatal closure, the stomatal openings, even in small amounts remain photosynthesis activities. Probably, magnesium has a key role in the continuing photosynthesis of Canola under salinity. The leaf starch in the genotype Shiraly significantly increased to 150 mM salinity level. Reduction of starch in high levels of salt stress interferes with enzymes efficiency involved in the starch biosynthesis, such as starch synthase and ADP-glucose pyrophosphorylase. The trend of variation in stomatal conductance was similar to 50 mM in the early flowering, but a sharp decrease was observed at late flowering compare to control. When stress started on the four-leaf stage, the plant for some time kept stomatal conductance at maximum level, but continuation stress period led to close stomata. Thus, reducing the amount of leaf relative water content can be considered as the reason of different stomatal conductance among the different levels of salt stress. A significant positive correlation between relative water content and stomatal conductance confirms this results. On the other hand to avoid stress and better use of the limited amount of available water, the plants closed stomata to prevent more water loss.

1- Former M.Sc. Student, Department of Agronomy and Plant Breeding, Faculty of Agriculture, Shahid Chamran University of Ahvaz, Iran

2- Associate professor, Department of Agronomy and Plant Breeding, Faculty of Agriculture, Shahid Chamran University of Ahvaz, Iran

3- Associate professor, Department of Agronomy and Plant Breeding, Faculty of Agriculture, Shahid Chamran University of Ahvaz, Iran

(*- Corresponding Author Email: faranaktahmasbi@yahoo.com)

Conclusions

It seems that genotype Shiraly using some mechanisms to avoid stress, such as maintaining relative water content, as well as increase the content of chlorophyll a and b up to 100 mM. Moreover, the concentration of magnesium up to 150 mM, has endured salinity.

Keywords: Chlorophyll a and b, Magnesium, Salinity, Starch, Stomatal conductance

تأثیر زئولیت و محلول پاشی سلینیوم بر عملکرد، اجزای عملکرد و برخی صفات فیزیولوژیک کلزا تحت شرایط تنفس شوری

احمد بای بوردی*

تاریخ دریافت: ۱۳۹۳/۰۴/۱۳

تاریخ پذیرش: ۱۳۹۴/۰۶/۱۱

چکیده

کلزا به دلیل داشتن صفات و ویژگی‌هایی نظیر ترکیب مناسب اسیدهای چرب، توانایی جوانه‌زنی و رشد در دماهای پایین و سازگاری نسبتاً خوب این گیاه با شرایط آب و هوایی مختلف، امکان کشت در مناطق وسیعی از کشور را دارد. این گیاه پر نیاز و کودپذیر بوده و در طول دوره رشد خود مقادیر قابل توجهی از عناصر غذایی را از خاک برداشت می‌کند. به منظور بررسی تأثیر مصرف خاکی زئولیت و محلول پاشی سلینیوم و سیلیسیوم بر عملکرد، اجزای عملکرد و برخی صفات فیزیولوژیک کلزا تحت شرایط تنفس شوری آزمایشی بهصورت فاکتوریل در قالب طرح بلوک‌های کامل تصادفی طی دو سال زراعی ۱۳۹۰-۹۱ و ۱۳۹۱-۹۲ در مرکز تحقیقات کشاورزی و منابع طبیعی آذربایجان شرقی انجام شد. زئولیت در سه سطح (صفر، ۵ و ۱۰ تن در هکتار) بهصورت خاک مصرف و سلینیوم و سیلیسیوم هر کدام در سه سطح (صفر، دو و چهار گرم در لیتر) بهصورت محلول پاشی مورد بررسی قرار گرفتند. نتایج حاصل از تجزیه واریانس مرکب داده‌های دو سال آزمایش نشان داد که اثر سال بر تمام صفات مورد بررسی به جز تعداد خورجین، تعداد دانه در خورجین، لینولیک اسید، محتوی کلروفیل و فعالیت آنزیم پراکسیداز معنی دار بود همچنین نتایج نشان داد که اثر اصلی زئولیت، سلینیوم و سیلیسیوم بر تمام صفات مورد بررسی معنی دار می‌باشد. هرچند محتوی آنزیم پراکسیداز تحت تأثیر تیمار سیلیسیوم غیر معنی دار بود. مقایسه میانگین نشان داد که اثرات متقابل سه جانبه تیمارها بر وزن دانه، عملکرد دانه، عملکرد زیست توده، محتوی کلروفیل، فتوسنتز، محتوی نسبی آب برگ و فعالیت آنزیم‌های آنتی اکسیدان معنی دار می‌باشد. صفاتی نظیر وزن هزار دانه، عملکرد دانه، شاخص برداشت، درصد روغن، درصد لینولیک اسید، فعالیت آنزیم سوپراکسید دیسموتاز و محتوی سدیم برگ در سال دوم نسبت به سال اول افزایش معنی داری نشان داد. زئولیت سبب افزایش تعداد خورجین و تعداد دانه در خورجین گردید. همچنین شاخص برداشت به طور معنی داری با افزایش مصرف زئولیت افزایش نشان داد. نتایج نشان داد که سلینیوم سبب افزایش تعداد خورجین، تعداد دانه در خورجین و شاخص برداشت شده است. محلول پاشی سیلیسیوم نیز به طور معنی داری سبب افزایش تعداد خورجین، تعداد دانه در خورجین و شاخص برداشت شد. در نهایت بیشترین عملکرد دانه (۳۰۰.۹/۹۲ کیلوگرم در هکتار) و عملکرد زیست توده (۱۰۸۷۷۸ کیلوگرم در هکتار) از تیمار ۱۰ درصد وزنی زئولیت به همراه محلول پاشی ۴ گرم در لیتر سلینیوم و ۴ گرم در لیتر سیلیسیوم به دست آمد.

واژه‌های کلیدی: تحمل، کلزا، عناصر اصلاح کننده

موجب ایجاد مسمومیت در گیاه شود (۴۸). تنفس شوری دارای سه اثر که از جذب برخی عناصر به دلیل آتناگونیست بودن جلوگیری می‌نماید مانند یون سدیم که از جذب یون پتاسیم جلوگیری می‌کند اثر مضر در گیاه می‌باشد اولاً تنفس شوری با ایجاد سمیت در گیاه سبب کاهش رشد شده و از سوی دیگر با ایجاد پتانسیل اسمزی از جذب آب و مواد غذایی جلوگیری به عمل می‌آورد (۱۴). کاهش رشد گیاه در نتیجه تنفس شوری در گونه‌های مختلف گیاهی گزارش شده است (۳ و ۵). سطح برگ به طور چشمگیری در اثر تنفس شوری کاهش می‌باید (۲). ریچاردسون و مک کری (۴۵) گزارش کردند که تحمل بالا در گیاهان متأثر از تنفس شوری می‌تواند سبب توسعه بیشتر

مقدمه

تنفس شوری عامل محدودکننده مهمی در تولید محصولات کشاورزی است (۲۳). اراضی کشاورزی شور نیاز به یک مدیریت ویژه برای اصلاح و همچنین تعیین ژنوتیپ متحمل مناسب جهت رشد مناسب و تولید محصول اقتصادی دارند. تنفس شوری بر تعادل جذب عناصر غذایی نیز در بافت‌های گیاهی اثر می‌گذارد (۴۴). افزایش تنفس شوری سبب افزایش محتوی سدیم و کلر در گیاه شده و

۱- استادیار مرکز تحقیقات کشاورزی و منابع طبیعی آذربایجان شرقی
(Email: ahmad.bvordi@gmail.com)
()- نویسنده مسئول:

گیاهانی که با سلنیوم تغذیه شده‌اند تجمع نشاسته در کلروپلاست‌های آنها افزایش یافته است (۴۱). نقش تنظیم‌کنندگی سلنیوم در وضعیت آبی گیاه تحت شرایط تنش خشکی نیز بررسی شده است و اثرات حفاظتی آن به اثبات رسیده است (۲۹). سلنیوم باعث جلوگیری از تخریب کلروفیل در شرایط تنش‌های محیطی (۴۶) و سبب افزایش ظرفیت آنتی‌اکسیدانی در گیاهان تنش دیده می‌شود (۱۵). از دیگر اثرهای سودمند سلنیوم می‌توان به افزایش رشد، متابولیسم کربوهیدرات‌ها اشاره کرد (۵۵).

سیلیسیوم، دومین عنصر فراوان پوسته زمین بوده و بیشتر در ساختار گیاه نقش دارد اما نقش بیولوژیک آن در گیاهان به خوبی شناخته نشده است (۳۱). اگرچه سیلیسیوم به عنوان عنصر ضروری در گیاهان محسوب نمی‌شود اما گزارشات زیادی مبنی بر نقش آن در مقابل تنش‌های زیستی و غیر زیستی در گیاهان علفی ارائه شده است (۲۶). همچنین ثابت شده است که سیلیسیوم نقش مفیدی در رشد تعداد زیادی از گیاهان رشد کرده تحت تنش‌های محیطی را دارا می‌باشد (۳۲). برخی مکانیسم‌هایی که در آن سیلیسیوم سبب افزایش مقاومت به شوری می‌شود شامل کاهش تحرک سدیم در گیاه (۳۲) کاهش جذب سدیم و افزایش جذب پتاسیم می‌باشد (۳۳) همچنین افزایش نسبت پتاسیم به سدیم منجر افزایش مقاومت به شوری می‌شوند (۲۳). گزارش شده است که سیلیسیوم دارای اهمیت حیاتی در بهبود رشد گیاه تحت تنش شوری می‌باشد (۵۰).

در این تحقیق به بررسی اثر زئولیت، سلنیوم و سیلیسیوم به عنوان مواد ضد تنش روی کلزا در شرایط تنش شوری پرداخته شده است. زئولیت به عنوان یک ماده بهبوددهنده خاک و تعدیل‌کننده تنش خشکی ناشی از وجود نمک در خاک و سلنیوم و سیلیسیوم به عنوان عناصر مؤثر در افزایش مقاومت گیاه به تنش شوری به صورت محلول پاشی استفاده شدند. کاهش اثر تنش شوری و نحوه تأثیر این دو ماده بر رشد و افزایش عملکرد کلزا از اهداف این پژوهش به شمار می‌رود.

مواد و روش‌ها

به منظور بررسی اثر مصرف خاکی زئولیت و محلول پاشی سلنیوم و سیلیسیوم بر صفات زراعی و برخی صفات فیزیولوژیک کلزا تحت تنش شوری آزمایشی به صورت فاکتوریل در قالب طرح بلوک‌های کامل تصادفی طی دو سال زراعی ۱۳۹۰-۹۱ و ۱۳۹۱-۹۲ در مرکز تحقیقات کشاورزی و منابع طبیعی آذربایجان شرقی انجام شد. داده‌های هواشناسی در جدول ۱ ارائه شده‌اند. زئولیت به عنوان عامل اول در سه سطح (صفر، ۵ و ۱۰ تن در هکتار) به صورت خاک مصرف و سلنیوم و سیلیسیوم به عنوان عامل‌های دوم و سوم هر کدام در سه سطح (صفر، دو و چهار گرم در لیتر) به صورت محلول پاشی مورد

برگ و جذب بیشتر کردن تحت شرایط تنش شوری شود. همچنین تنش شوری می‌تواند سبب تغییر در میزان و ترکیب اسیدهای چرب گردد. در حقیقت کلزا (*Brassica napus*) یک منبع غنی اولیک، لینولیک و لینولنیک اسید می‌باشد. اگرچه این مقدار از رقمی به رقم دیگر و همچنین شرایط اقلیمی متفاوت می‌باشد.

تحقیقات بسیاری در مورد استفاده از مواد افزودنی به خاک به منظور افزایش اثرگذاری این مواد بر رشد و عملکرد گیاهان زراعی انجام شده است که از آن جمله می‌توان به کانی‌های طبیعی زئولیت اشاره کرد. زئولیت در اراضی کشاورزی به دلیل افزایش ظرفیت تبادل کاتیونی خاک و تبادل زیاد برای جذب و نگهداری آمونیوم، می‌تواند نقش مؤثری در کاهش شستشوی عناصر غذایی خاک و حفظ رطوبت موجود در خاک داشته باشند. زئولیت‌ها مواد متخلخلی هستند که با ساختمان کربستالی خود مانند غربال مولکولی عمل کرده و به دلیل داشتن کanal‌های باز در شبکه خود، اجازه عبور برخی از یون‌ها را داده و مسیر عبور بعضی از یون‌های دیگر را مسدود می‌کنند (۶ و ۳۸). جذب انتخابی و آزادسازی کنترل شده عناصر غذایی توسط زئولیت باعث می‌شود هنگامی که این مواد به عنوان اصلاح‌کننده به خاک اضافه می‌شوند، از طریق افزایش فراهمی طولانی مدت عناصر غذایی و رطوبت به بهبود رشد گیاه کمک کنند (۴۳). با توجه به ویژگی‌های منحصر به فرد زئولیت‌ها از قبیل ظرفیت تبادل کاتیونی بالا، جذب انتخابی کاتیون‌های مفید مانند آمونیوم و آزادسازی کنترل شده آنها (۳۸) ثبات چارچوب ساختمانی در دراز مدت، وفور قابل توجه زئولیت‌های طبیعی در کشور، استخراج آسان و سرانجام قیمت اقتصادی مناسب، به کارگیری این ماده جهت تحقیقات مربوط به تغذیه گیاهی، تنش‌های محیطی و بهینه‌سازی مصرف کود می‌تواند حائز اهمیت باشد و سبب بهبود رشد گیاهان شناخته شده‌اند که در فرآیندهای متابولیک و فیزیولوژیک گیاه نقش‌های مختلفی دارند. از بین عناصر موجود، سلنیوم به عنوان یک عنصر غیر ضروری برای گیاهان اما ضروری برای جانوران و انسان شناخته شده است اگرچه نقش آن در گیاهان هنوز به درستی شناخته نشده است اما نتایج تحقیقات نشان داده است که این عنصر در فیزیولوژی و متابولیسم گیاهان نقش دارد (۱۱ و ۵۱). در بیشتر گیاهان زراعی از جمله غلات و گیاهان علوفه‌ای قدرت جذب سلنیوم حتی در خاک‌های غنی از سلنیوم ضعیف می‌باشد (۳۹). سلنیوم از نظر خواص شیمیایی مشابه گوگرد می‌باشد این تشابه ممکن است در فرآیندهای جایگزینی سلول تأثیر بگذارد و سلنیوم جایگزین گوگرد در پروتئین‌ها و دیگر ترکیبات گوگردی شود (۳۹). همچنین مدارکی دال بر اثرات مثبت سلنیوم در گیاهان مشاهده شده است (۱۸ و ۲۲). سلنیوم باعث افزایش مقاومت گیاهان به تشعشع پرتو فرابنفش، کاهش تنش‌های اکسیداتیو و به تأخیر انداختن پیری می‌شود (۵۵). همچنین گزارش شده است که

درصد محتوی آب نسبی در انتهای مرحله رشد صفات زراعی شامل تعداد خورجین، تعداد دانه در خورجین، وزن هزار دانه، عملکرد دانه، عملکرد زیست توده و شاخص برداشت اندازه‌گیری شدند. درصد روغن با استفاده از دستگاه N.M.R محاسبه شد همچنین درصد اسیدهای چرب اولیک، لینولیک و لیونولیک بذور با استفاده از روش کروماتوگرافی گازی تعیین گردید (۳۷).

میزان کلروفیل به روش آرنون (۴) مورد ارزیابی قرار گرفت. همچنین غلظت مالون دی‌آلدهید با اندازه‌گیری جذب در طول موج‌های ۵۳۲ و ۶۰۰ نانومتر و با استفاده از ضریب خاموشی (M_{μ}) محاسبه شد (۱۲). به منظور تهیه عصاره آنزیمی، بافت برگ با استفاده از ۴ میلی‌لیتر بافر پتاسیم فسفات عصاره‌گیری شد. سپس عصاره به دست آمده در دور ۱۵۰۰۰ هزار دور به مدت ۳۰ دقیقه سانتریفیوژ گردید. محلول شفاف رویی جهت بررسی فعالیت آنزیمی مورد استفاده قرار گرفت. فعالیت آنزیم کاتالاز با استفاده از روش چاخ ماخ و هورست (۸) اندازه‌گیری شد. محلوت واکنش شامل ۱۰۰ میکرولیتر عصاره آنزیمی، ۵۰۰ میکرولیتر آب اکسیژنه ۱۰ میلی‌مولار و ۱۴۰۰ میکرولیتر بافر ۲۵ میلی‌مولار بود. کاهش در جذب در طول موج ۲۴۰ نانومتر به مدت ۱ دقیقه ثبت گردید.

بررسی قرار گرفتند. بدین منظور قطعه زمینی با شوری ۴ دسی زیمنس بر متر (نتایج تجزیه خاک در جدول ۲ نشان داده شده است) در نظر گرفته شد و پس از کرتبندی ۵ و ۱۰ تن در هکتار زئولیت با خاک مخلوط گردید. سپس بذرهای کلزا رقم اوکاپی در کرتها کشت شدند. آبیاری با آب چاه محلی که نتیجه تجزیه آن در جدول ۳ نشان داد شده است طی دوره رشد براساس ۶۰ درصد ظرفیت زراعی صورت گرفت. جهت اعمال تیمار محلول پاشی سیلیسیوم و سیلیسیوم به ترتیب از سلتات پتاسیم (K_2SeO_4) و سیلیکات پتاسیم (K_2SiO_3) استفاده شد. غلظت‌های مورد مطالعه در مرحله روزت و ساقه رفتن با استفاده از سمپاش دستی محلول پاشی شدنده طوری که تمام گیاهان مرطوب شدند. در مرحله گلدهی میزان فتوسنتز با Meteodata-256، Geonica، Madrid، Spain استفاده از دستگاه Meteodata-256، Geonica، Madrid، Spain اندازه‌گیری شد و سپس نمونه‌های برگی به طور تصادفی به منظور سنجش غلظت کلروفیل، محتوی نسبی آب برگ، فعالیت آنزیم‌های کاتالاز، پراکسیداز و سوپر اکسید دیسموتاز، محتوی مالون دی‌آلدهید، و غلظت سدیم و پتاسیم برگ از برگ‌های کاملاً توسعه یافته و سالم نمونه‌برداری و در نیتروژن مایع منجمد شدند. همزمان محتوی نسبی آب برگ براساس معادله زیر محاسبه شد.

$$\text{آب برگ} = \frac{\text{وزن اشباع} - \text{وزن خشک}}{\text{وزن خشک}} \times 100$$

جدول ۱- برخی پارامترهای هواشناسی دو سال آزمایش

Tabel 1- Some meteorological parameters during both years of the experiment

سال اول First year	سال دوم Second year	میانگین سالیانه رطوبت نسبی (%) The mean annual relative humidity (%)	مجموع ساعت آفتابی Total sunny hours	مجموع ساعت آفتابی Total sunny hours	مجموع بارندگی سالیانه (mm) Total annual rainfall (mm)
4.8	9.5	20	142.2	162.6	298.8
میانگین سالیانه رطوبت نسبی (%) The mean annual relative humidity (%)		22			
5.0	8.9	Minimum temperature	Minimum temperature	Maximum temeperature	Maximum temeperature

جدول ۲- نتیجه تجزیه شیمیایی آب آبیاری محل آزمایش

Table 2- Irrigation water chemical analysis

ppm						pH	EC (dS m ⁻¹)
Ca + Mg	Na ⁺	Cl ⁻¹	SO ₄ ²⁻	HCO ₃ ⁻	CO ₃ ⁻		
25	41	60	2.5	3.6	0	8.1	4

جدول ۳- نتایج تجزیه فیزیکی و شیمیایی خاک مورد استفاده

Table 3- Soil chemical and physical analysis

Se (mg kg ⁻¹)	Si (mg kg ⁻¹)	Mn (mg kg ⁻¹)	Fe (mg kg ⁻¹)	Cu (mg kg ⁻¹)	Zn (mg kg ⁻¹)	K (mg kg ⁻¹)	P (mg kg ⁻¹)	N (%)	P.C (%)	T.N.V (%)	pH	EC (dS m ⁻¹)
0.1	8	5.32	10.40	2.90	9.4	541	21.30	0.02	0.30	5.50	7.10	1.31

مطالعات سینگ و بهارگاوا (۴۹) گزارش شده است. شاخص برداشت به طور معنی داری با افزایش مصرف زئولیت افزایش یافت (جدول ۶). افزایش در شاخص برداشت بیانگر این حقیقت است که زئولیت توانسته است همراه با افزایش رشد رویشی به عنوان عملکرد زیست توده، سبب افزایش عملکرد دانه یا عملکرد اقتصادی نیز شد. این افزایش در شاخص برداشت ناشی از افزایش تولید دانه می باشد که خود به دلیل افزایش رشد رویشی و فتوستتر بیشتر توسط گیاه می باشد.

درصد روغن دانه با افزایش مصرف زئولیت افزایش یافت (جدول ۶). علت کمتر بودن درصد روغن در تیمار شاهد (بدون مصرف زئولیت) کاهش فتوستزر جاری و انتقال مجدد مواد به دانه می باشد که باعث کوتاه شدن دوره پر شدن دانه شده و سبب کاهش روغن دانه می گردد. مندهام و همکاران (۳۶) ثابت نمودند در شرایطی که رسیدگی محصول در شرایط تنفس انجام می شود، درصد روغن کاهش می باید. به نظر می رسد که زئولیت با دارا بودن ظرفیت تبادل کاتیونی بالا سبب نگهداری بیشتر آب و مواد غذایی در خاک شده و از این طریق سبب بهبود رشد و افزایش درصد روغن گردیده است. نتایج مشابهی توسط شهسواری و همکاران (۴۷) به دست آمده است آنها گزارش نمودند که افزایش دسترسی به آب سبب افزایش کربوهیدرات‌های مورد نیاز برای سنتز روغن می شود. زاهدی و همکاران (۵۶) نشان دادند که زئولیت سبب افزایش درصد روغن می شود. قابل ذکر است که درصد اسیدهای چرب اولیک، لینولیک و لینولنیک با افزایش مصرف زئولیت در خاک افزایش یافت (جدول ۶). گزارش شده است که تنفس طی دوره گل‌دهی بر ترکیب اسیدهای چرب و میزان روغن اثر می گذارد (۷). در نتیجه این افزایش در درصد روغن و اسیدهای چرب را می توان به اثرات بهبود دهنده زئولیت در خاک نسبت داد.

استفاده از زئولیت سبب کاهش خطی محتوی مالون دی‌آلدهید به عنوان فرآورده نهایی پراکسیداسیون لیپیدی غشاء شد (جدول ۶). به نظر می رسد که زئولیت از طریق نگهداری بیشتر آب در خاک سبب خشی شدن اثر مضر تنفس شوری و تنفس خشکی القاء شده به وسیله آن شده است. تنفس شوری سبب کاهش یا متوقف شدن رشد از طریق تأثیر بر فرآیندهای فیزیولوژیک حیاتی مانند فتوستتر و یا تأثیر بر جذب و انتقال آب و مواد غذایی توسط گیاه می شود (۴۲). چنین به نظر می رسد که زئولیت با افزایش ظرفیت نگهداری آب در خاک توانسته است تا حدودی از اثر تنفس شوری، از طریق تسهیل جذب آب و مواد غذایی، بکاهد و حتی نیاز گیاه را به آبیاری کاهش دهد و بدین ترتیب گیاه در دوره‌ای طولانی‌تر توانسته به جذب آب و مواد غذایی پردازد و از تنفس در امان بماند.

برای سنجش فعالیت سوپراکسید دیسموتاز به روش بردفورد در طول موج ۵۶۵ نانومتر با استفاده از دستگاه اسپکتروفوتومتر قرائت شد (۱۹).

از نرم افزار SAS برای تجزیه مرکب داده‌ها استفاده شد. آزمون بارتلت برای تست یکنواختی واریانس‌ها انجام شد و برای مقایسه میانگین‌ها از آزمون چند دامنه‌ای دانکن در سطح احتمال ($P < 0.05$) استفاده شد.

نتایج و بحث

نتایج حاصل از تجزیه واریانس مرکب داده‌های دو سال آزمایش نشان داد که اثر سال بر تمام صفات مورد بررسی به جز تعداد خورجین، تعداد دانه در خورجین، لینولیک اسید، محتوی کلروفیل و فعالیت آنزیم پراکسیداز معنی دار بود (جدول ۴). همچنین مشاهده شد که اثر اصلی زئولیت، سلنیوم و سیلیسیوم بر تمام صفات، معنی دار بود به جز اینکه محلول‌پاشی گیاهان با سیلیسیوم بر محتوی نسبی آب برگ و فعالیت آنزیم پراکسیداز غیرمعنی دار بود (جدول ۴). نتایج نشان داد که اثرات متقابل سه گانه بین زئولیت، سلنیوم و سیلیسیوم بر وزن وزن تک دانه عملکرد دانه، عملکرد زیست توده، کلروفیل، فتوستتر، محتوی نسبی آب برگ، و فعالیت آنزیم کاتالاز، پراکسیداز و سوپراکسید دیسموتاز معنی دار بود (جدول ۴).

صفاتی نظیر وزن هزار دانه، عملکرد دانه، عملکرد زیست توده، شاخص برداشت، درصد روغن، درصد لینولنیک اسید، فعالیت آنزیم سوپراکسید دیسموتاز و محتوی سدیم برگ در سال دوم نسبت به سال اول افزایش معنی داری نشان داد (جدول ۵).

با توجه به جدول ۶ مشاهده می شود که مصرف زئولیت سبب افزایش تعداد خورجین و تعداد دانه در خورجین در اثر مصرف زئولیت احتمالاً تعداد خورجین و تعداد دانه در خورجین در اثر مصرف زئولیت احتمالاً ناشی از بهبود پویایی عناصر و افزایش دسترسی به آب می باشد. علاوه بر این افزایش رشد و تولید بیشتر خورجین و دانه می تواند به دلیل وجود عناصر موجود در زئولیت نیز باشد. گزارش شده است که در بی استفاده از زئولیت در خاک، ظرفیت تبادل کاتیونی، ظرفیت نگهداری آب در خاک و جذب و انتقال عناصر در گیاه افزایش می یابد (۴۳). مراحل نمو زایشی، مانند گل‌دهی، گردهافشانی و پر شدن دانه‌ها حساس‌ترین مراحل به تنفس خشکی و شوری می باشند لذا هرگونه کاهش در تأمین آب چه درتنفس خشکی و در تنفس شوری سبب کاهش جذب عناصر شده و منجر به کاهش تولید فرآوردهای فتوستتری و انتقال آنها به دانه‌ها می شود. اثر مثبت زئولیت بر تعداد خورجین و تعداد دانه در خورجین می تواند به افزایش فراهمی نیتروژن و جلوگیری از آبسوبی آن نیز نسبت داده شود. مشابه این نتایج در

جدول ۴- تجزیه واریانس (میانگین مربوط) صفات مختلف کنرا تحت تأثیر سال، زوپل، سلنیوم و سیلیکون

	Linoleic acid (%) اسید لینولیک	Linolenic acid (%) اسید لینولنیک	Harvest Index شاخص برداشت					Biomass عماقکرد زیست (توده)	Yield (تون هزار (عده کرد (تعداد اعلاف)	1000 seeds وزن هزار (دانه)	Seed per pods در واحد دانه (دانه)	d.f	متانع تغییر
			Oleic acid (%) اسید اویک	Fat (%) دوغن	عماقکرد (وزن هزار (دانه)	عماقکرد (1000 seeds وزن هزار (دانه)							
163.92**	0.00ns	446.67**	21.57**	850.82**	17544278808**	2830349.19**	8.05**	1.70ns	19.49ns	1	(year) سال		
25.56**	16.00***	21.15***	33.71***	567.89***	4439535579***	1249429.26**	0.79**	8.31**	131.16**	2	(replication) رکار		
7.21**	0.92*	43.89***	1.91**	1579.58***	10676225861***	167329.71***	0.84**	14.08**	8.53ns	2	S ₂ (replication) × سال (year) × رکار		
9.46**	9.86**	21.74***	11.99**	343.72**	53756882131**	373510.41**	1.56**	63.19**	150.93**	2	سelenium (selenium) سال (year) × رکار (replication)		
0.40ns	0.42ns	0.73ns	0.87ns	26.14*	286424640*	20662.15ns	0.07*	7.73**	3.74ns	2	(replication) selenium (selenium) سال (year) × رکار (replication)		
0.37ns	0.41ns	0.23ns	0.22ns	10.85ns	94031957 ns	7046.24ns	0.04*	2.64**	3.05ns	8	خطا (error) سال (year) × رکار (replication)		
96.94**	99.71**	208.06**	135.71**	1931.57**	35102362723**	3436478.04**	5.95**	235.41**	525.03**	2	(zeolite) زوپل		
10.32**	6.34**	5.29**	10.21**	4.96.ns	238807545*	259233.74**	0.00ns	3.64**	25.22*	2	zeolite (zeolite) سال (year)		
1.11*	0.92*	1.78**	2.02**	116.49**	1510104790**	64359.45**	0.65**	17.98**	46.29**	2	(silicon) سیلیکون (silicon) سال (year)		
0.05ns	0.01ns	0.06ns	0.12ns	10.89ns	88711896 ns	3083.41ns	0.01ns	1.94ns	3.28ns	2	zeolite (zeolite) × silicon (silicon) سال (year) × سیلیکون (silicon)		
0.48ns	0.36ns	0.55ns	0.08ns	8.72ns	106168344**	1520.32**	0.05**	1.07ns	1.86ns	4	zeolite (zeolite) × silicon (silicon) سال (year) × سیلیکون (silicon)		
0.60*	0.40ns	0.07ns	0.07ns	14.39ns	119209379 ns	2104.32ns	0.01ns	0.52ns	2.42ns	4	zeolite (zeolite) × silicon (silicon) سال (year) × سیلیکون (silicon)		
0.08ns	0.06ns	0.00ns	0.01ns	2.39ns	13742297**	1062.26ns	0.04**	0.07ns	0.43ns	4	zeolite (zeolite) × silicon (silicon) سال (year) × سیلیکون (silicon)		
0.22ns	0.11ns	0.05ns	0.02ns	2.78 ns	36263540ns	3389.37ns	0.00**	0.16ns	0.51ns	4	zeolite (zeolite) × silicon (silicon) سال (year) × سیلیکون (silicon)		
0.26ns	0.13ns	0.13ns	0.04ns	6.22 ns	58841130*	1418.60ns	0.01**	0.26ns	0.26ns	4	zeolite (zeolite) × silicon (silicon) سال (year) × سیلیکون (silicon)		
0.45ns	0.15ns	0.01ns	0.01ns	6.60 ns	48276463 ns	400.21ns	0.00ns	0.59ns	2.57ns	4	zeolite (zeolite) سال (year) × سیلیکون (silicon)		
0.24ns	0.07ns	0.06ns	0.03ns	4.98 ns	38602267*	1107.03**	0.00**	0.06ns	1.95ns	8	zeolite (zeolite) × silicon (silicon) سال (year) × سیلیکون (silicon)		
0.30ns	0.08ns	0.05ns	0.01ns	8.18 ns	62137658ns	1753.66ns	0.00ns	0.17ns	2.49ns	8	zeolite (zeolite) سال (year) × سیلیکون (silicon)		
0.23	0.22	0.30	0.36	8.06	59871800.25	10145.91	0.01	0.68	6.31	96	خطا (error) سال (year) × سیلیکون (silicon)		
3.53	1.95	0.98	1.61	8.40	7.86	3.50	3.28	4.56			ضریب تغییرات (%)		
											(%) Coefficient of variation		

*، ** and ns: significant at 0.05, 0.01 and Non significant, respectively
*، ** و ns: معنی دار در میانگین مربوط هر دو عرضه دارد و عدم وجود اختلاف معنی دار

Table 4- (to be continued) Analysis of variance (mean square) on some canola traits as affected by year, zeolite, selenium and silicon

Na سدیم برجی	K تاسیم برجی	MDA مالون دی الدهید	SOD سوبراکسیدیدسوموژاز	GPX گروکسیداز	CAT کاتالاز	R.W.C(%) محتری نسبی آب	Photosynthesis فوتوسنتز	Chlorophyll کلروفیل	D.f	متغیر تغییر	
										سال (year)	زئولیت (zeolite) × سال (year)
22.71**	0.69**	0.00*	7095.58**	0.02 ns	42.71**	1789.34**	5.10**	0.00 ns	1	سال (year)	زئولیت (zeolite) × سال (year)
0.68**	0.93**	0.04**	1004.18**	55.57**	4.46**	72.49**	2.20**	0.28**	2	سال (year)	زئولیت (zeolite) × سال (year)
0.74***	0.32***	0.41**	10630.02**	11.89***	41.92**	751.12**	5.31**	0.26**	2	سال (year)	زئولیت (zeolite) × سال (year)
1.67**	1.18**	0.09**	12623.47**	28.85**	2.88**	1055.92**	15.04**	1.50**	2	سال (year)	زئولیت (zeolite) × سال (year)
0.00ns	0.04ns	0.00ns	41.71ns	1.26**	0.15ns	107.77**	0.03 ns	0.00 ns	2	سال (year)	زئولیت (zeolite) × سال (year)
0.01ns	0.02ns	0.00ns	25.38ns	0.10ns	0.14ns	24.20**	0.05 ns	0.00 ns	8	سال (year)	زئولیت (zeolite) × سال (year)
8.10**	3.78**	0.92**	46233.44**	170.39**	51.26**	2353.31**	61.80**	5.42**	2	سال (year)	زئولیت (zeolite) × سال (year)
0.93***	0.61***	0.00*	160.24*	12.00**	9.02**	35.75**	0.32 *	0.01 ns	2	سال (year)	زئولیت (zeolite) × سال (year)
0.36***	0.65***	0.00**	921.80**	0.60ns	25.92**	15.47ns	1.68**	0.29**	2	سال (year)	زئولیت (zeolite) × سال (year)
0.02ns	0.07ns	0.00ns	44.88ns	0.75*	0.45ns	130.79**	0.01 ns	0.00 ns	2	سال (year)	زئولیت (zeolite) × سال (year)
0.02ns	0.01ns	0.00ns	3023.71**	2.27**	18.21**	157.03**	3.53**	0.43**	4	سال (year)	زئولیت (zeolite) × سال (year)
0.04ns	0.02ns	0.00ns	179.07**	0.27 ns	1.21**	16.74ns	0.04 ns	0.00 ns	4	سال (year)	زئولیت (zeolite) × سال (year)
0.00ns	0.00ns	0.00ns	2235.50**	3.14**	16.37**	134.51**	3.70 **	0.48**	4	سال (year)	زئولیت (zeolite) × سال (year)
0.00ns	0.00ns	0.00ns	5.37ns	0.30ns	0.13ns	21.66*	0.02 ns	0.00 ns	4	سال (year)	زئولیت (zeolite) × سال (year)
0.01ns	0.01ns	0.00ns	2241.35**	4.22**	16.36**	226.34**	3.43**	0.52**	4	سال (year)	زئولیت (zeolite) × سال (year)
0.01ns	0.02ns	0.00ns	27.42ns	0.35 ns	0.32ns	2.18ns	0.01 ns	0.00 ns	4	سال (year)	زئولیت (zeolite) × سال (year)
0.01ns	0.01ns	0.00ns	2319.32**	3.24**	17.71**	218.71*	3.76**	0.50**	8	سال (year)	زئولیت (zeolite) × سال (year)
0.00ns	0.00ns	0.00ns	16.76ns	0.23 ns	0.18ns	3.13ns	0.02 ns	0.00 ns	8	سال (year)	زئولیت (zeolite) × سال (year)
0.02	0.03	0.001	47.77	0.22	0.20	7.34	0.08	0.004	96	(error) (%)	ضریب تغییرات (%)
12.90	6.23	4.45	2.82	1.49	4.76	4.97	4.92	4.54		(% Coefficient of variation)	

* , ** and ns: significant at 0.05, 0.01 and Non significant, respectively
ns: منفی در سطح ۵ درصد و عدم وجود اختلاف معنی دار

براساس نتایج به دست آمده میزان پتابسیم برگ در اثر کاربرد زئولیت افزایش یافت در حالی که سدیم برگ به طور معنی‌داری کاهش یافت (جدول ۶). زئولیت سبب فراهمی کلسیم در خاک و به تبع آن در گیاه می‌شود که این فراهمی سبب کاهش نسبت سدیم به کلسیم می‌گردد. فراهمی کلسیم به وسیله زئولیت در محیط ریشه از جذب و تجمع سدیم جلوگیری به عمل می‌آورد و سبب کاهش اثر سمی‌تنش شوری می‌گردد. همچنین گزارش شده است که فراوانی سدیم در خاک باعث لطمہ به جذب پتابسیم توسط گیاه می‌شود و معمولاً این دو عنصر با یکدیگر رقابت داشته و دارای همبستگی منفی می‌باشند (جدول ۸) (۳۴ و ۵۲).

نتایج نشان داد که سلنیوم سبب افزایش تعداد خورجین، تعداد دانه در خورجین و شاخص برداشت شده است (جدول ۷). همچنین سلنیوم سبب به تأخیر انداختن پیری (۵۵) در گل‌ها می‌شود که خود عاملی برای افزایش تعداد خورجین، تعداد دانه در خورجین می‌باشد.

محلول‌پاشی سلنیوم به طور معنی‌داری سبب افزایش درصد روغن و درصد اسیدهای چرب اولیک، لینولیک و لینولنیک شد (جدول ۵). علت کاهش درصد روغن در شرایط تنش شوری، کاهش فتوستتر جاری و انتقال مجدد مواد به دانه می‌باشد که باعث کوتاه شدن دوره پر شدن دانه شده و سبب کاهش روغن گیاه می‌شود. اما در تیمارهای که سلنیوم دریافت کرده بودند به دلیل اثر مثبت سلنیوم در کاهش اثرات مضر تنش شوری از جمله دارا بودن خاصیت آنتی اکسیدانی (۵۵)، گیاهان از رشد و تولید بهتری برخوردار بودند.

تولید مالون دی‌آلدهید به شدت در اثر کاربرد سلنیوم کاهش یافت (جدول ۷). اسیدهای چرب و لیپیدها حساسیت زیادی به اکسیژن دارند و به سرعت اکسید می‌شوند از آن جایی که غشاء سلولی یک غشاء فسفولیپیدی می‌باشد و اکشن اکسیژن با آن سبب تخریب غشاء سلولی و ترشح الکتروولیتها به بیرون سلول می‌شود. سلنیوم با افزایش فعالیت آنزیم‌های آنتی اکسیدان سبب پاکسازی اکسیژن فعال و در نتیجه کاهش در اکسیداسیون چربی‌های غشاء سلولی و کاهش محتوی مالون دی‌آلدهید شد.

اثر مثبت سلنیوم در افزایش تجمع پتابسیم به وسیله پازورکویچ و همکاران (۴۰) نیز گزارش شده است. آنها دریافتند که محتوی پتابسیم برگ‌های ذرت (*Zea mays*) در اثر کاربرد سلنیوم افزایش یافت. نتایج مشابهی توسط کاپسل و همکاران (۲۸) در مورد کلم به گزارش شده است. از آن جایی که معمولاً همبستگی منفی بین محتوی پتابسیم و سدیم برگ وجود دارد (جدول ۸) کاهش محتوی سدیم در برگ‌ها امری بدیهی می‌باشد که در این آزمایش نیز تأیید شده است. یک دلیل مهم افزایش پتابسیم، ترکیب ماده حاوی سلنیوم و سیلیسیم است چون در هر دو ترکیب عنصر پتابسیم وجود دارد.

محلول‌پاشی سیلیسیوم نیز به طور معنی‌داری سبب افزایش تعداد

	Na (mmol g ⁻¹ DW)	K (mmol g ⁻¹ DW)	MDA (mM) ¹ cm ⁻¹	SOD (ΔA mg protein ⁻¹ min ⁻¹)	CAT (ΔA mg protein ⁻¹ min ⁻¹)	RWC (%)	Photosynthesis (μmol.m ⁻² .s ⁻¹)	Linolenic acid (%)	Linoleic acid (%)	Harvest Index	Biomass عمرکرد دانه	grain yield وزن گلزار (kg ha ⁻¹)	Year سال اول (First)
0.76 ^b	3.13 ^a	0.83 ^a	238.40 ^b	10.10 ^a	57.76 ^a	5.93 ^a	12.81 ^b	57.68 ^a	37.03 ^b	31.48 ^b	87965 ^b	2745.56 ^b	4.02 ^b
1.51 ^a	3.00 ^b	0.82 ^b	251.63 ^a	9.07 ^b	51.11 ^b	5.57 ^b	14.82 ^a	54.35 ^b	37.76 ^a	36.07 ^a	108778 ^a	3009.92 ^a	4.46 ^a

جدول ۵- اثر اصلی سال بر صفات مختلف کانولا
Table 5- The main effect of year on some canola traits

۲۴۰ حرف مشترک نشان مدهده عدم وجود اختلاف می‌دارد اسas آزمون دلکن در مطلع احتمال معنی درصد می‌باشد

Means within the same column followed by the same letter are not significantly different based on Duncan's multiple range test

بیشترین وزن هزار دانه در تیمار ۱۰ درصد وزنی زئولیت به همراه ۴ گرم در لیتر سلنیوم و ۴ گرم در لیتر سیلیسیوم مشاهده شد. در حالی که کمترین وزن هزار دانه مربوط به تیمار شاهد بود (جدول ۷). کاهش وزن هزار دانه ناشی از کاهش جذب آب و املاح توسط گیاه و به دنبال آن کاهش فتوستتر جاری و کاهش انتقال مواد فتوستتری به دانه‌ها در شرایط تنفس شوری می‌باشد. علاوه بر این تنفس شوری باعث کوتاه شدن دوره پر شدن دانه شده و سبب کاهش وزن هزار دانه گیاه می‌گردد. در حالی که زئولیت با کمک به نگهداری آب در خاک سبب افزایش دستررسی گیاه به آب و عناصر غذایی شده و منجر به افزایش تولید و انتقال مواد فتوستتری به دانه‌ها و در نهایت افزایش وزن دانه می‌گردد. گزارش شده است که سلنیوم دارای خواص آنتی‌اکسیدانی بوده و در شرایط تنفس از جمله تنفس شوری سبب خشی‌سازی رادیکال‌های آزاد اکسیژن می‌گردد (۵۵). همچنین ثابت شده است که سلنیوم از تخریب مولکول کلروفیل در شرایط تنفس جلوگیری می‌کند (۴۶) در نتیجه از کاهش فتوستتر جاری در گیاه ممانعت نموده و تولید و انتقال مواد فتوستتری به دانه را افزایش می‌دهد. گزارش‌های زیاد مبنی بر افزایش عملکرد گیاهان زراعی به خصوص افزایش وزن دانه در اثر مصرف سیلیسیوم وجود دارد (۹). در مطالعه حاضر بیشترین عملکرد دانه نیز از تیمار ۱۰ درصد وزنی زئولیت به همراه ۴ گرم در لیتر سلنیوم و ۴ گرم در لیتر سیلیسیوم به دست آمد که تأییدی بر نتایج آزمایشات پیشین در مورد اثر زئولیت، سلنیوم و سیلیسیوم بر افزایش عملکرد می‌باشد.

افزایش زیست توده تحت تیمار ۱۰ درصد وزنی زئولیت به همراه ۴ گرم در لیتر سلنیوم و ۴ گرم در لیتر سیلیسیوم مشاهده گردید (جدول ۶). کاهش ارتفاع گیاه ناشی از تنفس شوری، به دلیل کاهش پتانسیل آماس سلول‌ها و تقسیم سلولی و کاهش انتقال مواد فتوستتری شناخته شده است. گزارشات زیادی مبنی بر کاهش رشد رویشی ارتفاع بوته در اثر تنفس شوری وجود دارد که با نتیجه به دست آمده از این آزمایش مطابقت دارد (۵۶). زئولیت با دارا بودن ظرفیت تبادل کاتیونی بالا سبب نگهداری بیشتر آب و مواد غذایی در خاک شده و از این طریق سبب بهبود رشد و افزایش زیست توده گردیده است. اثر مثبت زئولیت بر ارتفاع گیاه، تعداد شاخه در بوته و وزن تر می‌تواند به افزایش فراهمی نیتروژن و جلوگیری از آبسوی آن نیز نسبت داده شود. مشابه این نتایج در مطالعات سینگ و باهرگاوا (۴۹) گزارش شده است. افزایش عملکرد زیست توده تحت اثر تیمار زئولیت به افزایش فراهمی آب و عناصر غذایی مرتبط می‌باشد. سلنیوم دارای نقش حیاتی در گیاه می‌باشد که از آن جمله می‌توان به نقش سلنیوم در افزایش مقاومت گیاهان به تنفس‌های اکسیداتیو و به تأخیر انداختن پیری (۵۵)، تجمع نشاسته در کلروپلاست‌ها (۴۱)، تنظیم وضعیت آبی گیاه تحت شرایط تنفس (۲۹)، جلوگیری از تخریب کلروفیل در شرایط تنفس (۴۶) و افزایش ظرفیت آنتی‌اکسیدانی در گیاهان تنفس دیده

خورجین، تعداد دانه در خورجین و شاخص برداشت شد (جدول ۶). در تحقیقات پیشین گزارشاتی مبنی بر افزایش رشد و عملکرد گیاهان زراعی در اثر کاربرد سیلیسیوم وجود دارد. این مطالعات نشان می‌دهند که سیلیسیوم اثر مثبتی بر فیزیولوژی و متابولیسم گونه‌های مختلف دارد (۳۵). همچنین گزارش شده است که تولید ماده خشک گندم است (۲). نتایج مشابهی در اثر استفاده از سیلیسیوم افزایش یافته است (۲). نتایج مشابهی در مورد افزایش وزن تر و خشک و عملکرد دانه ذرت بدست آمده است (۲۶).

محلول پاشی سیلیسیوم سبب افزایش درصد روغن و درصد اسیدهای چرب اولیک، لینولیک و لینولنیک شد (جدول ۶). پیش از این نیز گزارش شده است که تنفس شوری سبب کاهش ماده خشک، وزن بذر و عملکرد روغن می‌شود (۱۰). تحت تنفس شرایط شوری تنفس اسمزی و تنفس مسمومیت رخ می‌دهد که این عوامل سبب بروز تنفس خشکی کاذب نیز می‌شوند و ممکن است منجر به کاهش طول دوره تجمع روغن و یا افزایش آسیب به آنزیمه‌های درگیر در این فرآیند شود (۱۷). مطالعات نشان داده است که کاربرد سیلیسیوم سبب افزایش رشد گیاه در شرایط تنفس مانند تنفس شوری می‌شود (۳۵). لذا با توجه به اثرات مفید این عنصر در افزایش تحمل گیاهان به تنفس‌های زیستی و غیر زیستی (۱۶) می‌توان افزایش روغن و اسیدهای چرب را انتظار داشت. در این آزمایش کاهش تولید مالون دی‌آلدهید در شرایط تنفس شوری در اثر کاربرد سیلیسیوم (جدول ۶) دلیلی بر اثر این عنصر بر کاهش نفوذپذیری غشاء سلولی برگ می‌باشد که توسط لیانگ (۳۱) گزارش شده بود. تنفس شوری با ایجاد تنفس اکسیداتیو سبب تخریب غشاء فسفولیپیدی سلولی و افزایش تولید این ماده می‌شود (۲۷) در حالی که سیلیسیوم سبب پایداری چربی‌ها شده و از تخریب ساختمانی و عملکردی غشاء سلول جلوگیری می‌کند (۱).

مشابه سلنیوم، سیلیسیوم نیز سبب افزایش محتوی پتاسیم و کاهش سدیم برگ شد (جدول ۵). بیان شده است که تعديل تنفس شوری به وسیله سیلیسیوم از طریق کاهش محتوای سدیم در بافت گیاه می‌باشد (۲۱). بر طبق نتایج وین برگ (۵۳) سطوح بالای سدیم از جذب پتاسیم جلوگیری به عمل آورده و در نتیجه نسبت سدیم به پتاسیم کاهش می‌یابد. برخی سازوکارهایی که در آن سیلیسیوم سبب افزایش مقاومت به شوری می‌شود شامل کاهش تحرک سدیم در گیاه (۳۲) کاهش جذب سدیم و افزایش جذب پتاسیم می‌باشد (۳۳) همچنین افزایش نسبت پتاسیم به سدیم منجر افزایش مقاومت به شوری می‌شوند (۲۳).

اثر متقابل سه جانبی زئولیت، سلنیوم و سیلیسیوم بر وزن هزار دانه، عملکرد دانه، عملکرد زیست توده، محتوی کلروفیل، فتوستتر، محتوی نسبی آب برگ و فعالیت آنزیمه‌های آنتی‌اکسیدان مانند کاتالاز، پراکسیداز و سوپراکسید دیسموتاز معنی دار بود (جدول ۷).

(۱۵) اشاره نمود.

جدول ۶- اثرات اصلی زوپیت، سلینیوم و سیلیسیوم بر صفات مختلف کنرا

Na (mg. g ⁻¹ DW) سالنیوم	K (mg. g ⁻¹ DW) کالسیم	MDA (mM ¹ cm ⁻¹) مالون دی الدهید	Linoleic acid (%) اسید لینولیک	Oleic acid (%) اسید اویلیک	Fat (%) دوغن	Harvest Index شاخص برداشت	grain per pods تعداد دانه در غلاف	Pods تعداد غلاف
1.53 ^a	2.79 ^c	0.96 ^a	12.44 ^c	22.58 ^c	53.96 ^c	35.76 ^c	27.94 ^c	15.84 ^c درصد وزنی. by weight %.
1.13 ^b	3.10 ^b	0.81 ^b	13.89 ^b	24.09 ^b	56.22 ^b	37.48 ^b	33.49 ^b	18.45 ^b درصد وزنی. by weight %.
0.75 ^c	3.31 ^a	0.70 ^c	15.12 ^a	25.29 ^a	57.87 ^a	38.93 ^a	39.89 ^a	19.97 ^a درصد وزنی. by weight %.
1.32 ^a	2.91 ^c	0.86 ^a	13.38 ^c	23.55 ^c	55.35 ^c	36.93 ^c	31.17 ^c	16.96 ^c درصد وزنی. by weight %.
1.13 ^b	3.09 ^b	0.82 ^b	13.85 ^b	24.01 ^b	56.07 ^b	37.37 ^b	33.96 ^b	18.20 ^b درصد وزنی. by weight %.
0.97 ^c	3.20 ^a	0.78 ^c	14.22 ^a	24.40 ^a	56.62 ^a	37.87 ^a	36.20 ^a	19.11 ^a درصد وزنی. by weight %.
1.23 ^a	2.95 ^b	0.83 ^a	13.69 ^b	23.86 ^b	55.84 ^b	37.22 ^b	32.18 ^b	17.50 ^c درصد وزنی. by weight %.
1.12 ^b	3.09 ^a	0.82 ^b	13.79 ^b	23.97 ^b	56.00 ^{ab}	37.35 ^b	34.07 ^a	18.11 ^b درصد وزنی. by weight %.
1.07 ^b	3.16 ^a	0.81 ^b	13.97 ^a	24.12 ^a	56.20 ^a	37.60 ^a	35.08 ^a	18.65 ^a درصد وزنی. by weight %.
								78.03 ^a درصد وزنی. by weight %.
								78.72 ^a درصد وزنی. by weight %.
								74.88 ^c درصد وزنی. by weight %.

وچهار حرف مشترک نشان دهنده عدم وجود اختلاف معنی‌دار بر اساس آزمون دانکن در مطابع احتمال بین درجات می‌باشد.

Means within the same column followed by the same letter are not significantly different based on Duncan's multiple range test

جدول ۷- اثرات مغایرین بین زئولیت، سلنیوم و سیلیسیوم بر صفات مختلف کلزا

	SOD سوپر اکسیدزیلر (ΔA mg protein ⁻¹ min ⁻¹)	GPX برکسیداز (ΔA mg protein ⁻¹ min ⁻¹)	CAT آب (ΔA mg protein ⁻¹ min ⁻¹)	RWC محوتی نسبی (%)	Biomass عملکرد زیست تجویه (kg ha ⁻¹)	Seed yield عملکرد دانه (kg ha ⁻¹)	1000 seed وزن هزار دانه (g)	Zeolite (%)	Selenium (g t ⁻¹)	Silicon (g t ⁻¹)
206.33 ⁱ	29.28 ^r	16.40 ^a	43.50 ^a	4.43 ^r	1.11 ^r	6249 ^r	2491.34 ^a	3.65 ^m	0	
208.51 ^s	29.65 ^{sr}	11.33 ^b	45.16 ^{ro}	4.48 ^{rf}	1.14 ^{rf}	6675 ^{ro}	2572.34 ^{ro}	3.69 ^m	2	0
209.95 ^s	29.90 ^{sq}	11.18 ^{bc}	46.16 ^{mo}	1.18 ^{sq}	4.57 ^{qr}	6984 ^{2imo}	2578.34 ^q	3.80 ^{lm}	4	
214.53 ^{rs}	11.06 ^{bed}	47.16 ^{mo}	4.65 ^{opq}	1.20 ^{opq}	7045 ^{3mo}	2595.34 ^p	3.80 ^{lm}	0		
218.98 ^{sr}	30.25 ^{sp}	11.01 ^{bed}	49.91 ^{ijkln}	4.82 ^{npqr}	1.23 ^{nopq}	74949 ^{klmn}	2636.34 ^{op}	3.95 ^{kl}	2	2
222.45 ^{sq}	30.40 ^{op}	10.78 ^{edc}	51.43 ^{ijkl}	4.88 ^{nmnopqr}	1.26 ^{nmop}	78245 ^{klmn}	2664.17 ^{op}	4.00 ^{jk}	4	
60.56 ^{mo}	10.58 ^{def}	49.58 ^{klm}	4.95 ^{nmnopq}	1.28 ^{lmno}	7863 ^{9klm}	2689.94 ^{mo}	3.97 ^k	0		
223.23 ^{sq}	30.85 ^{lmn}	10.31 ^{efg}	53.25 ^{ghij}	5.03 ^{nmop}	1.31 ^{klmn}	8081 ^{9kl}	2707.17 ^{mn}	4.12 ^{jk}	2	4
226.21 ^{op}	31.00 ^{klm}	10.15 ^{fph}	53.73 ^{stghi}	5.10 ^{lmno}	1.34 ^{klm}	84255 ^{9kl}	2740.34 ^{lmn}	4.7 ^j	4	
229.13 ^{npq}	230.43 ^{mmo}	31.25 ^{kl}	9.95 ^{ghij}	48.50 ^{lmnn}	5.20 ^{klmn}	71559 ^{9lmno}	2753.67 ^{lmn}	3.99 ^k	0	
233.21 ^{lmn}	9.81 ^{hi}	5.13 ^{ijkl}	5.28 ^{ijklmn}	5.28 ^{ijklmn}	1.40 ^{ijkl}	8821.5 ^{ijkl}	2785.00 ^{klm}	4.0 ^{jk}	2	0
236.46 ^{km}	31.50 ^{kl}	9.63 ^j	51.08 ^{ijkl}	5.35 ^{ijklm}	1.42 ^{ijkl}	9155 ^{6hi}	2809.17 ^{ijkl}	4.10 ^{jk}	4	
238.31 ^{kl}	31.63 ^j	9.33 ^{jk}	52.06 ^{ghijk}	5.53 ^{hijkkl}	1.44 ^{hijkl}	9117 ^{9ji}	2817.50 ^{ijkl}	4.09 ^{jk}	0	
240.13 ^{jk}	31.85 ^{hi}	9.28 ^{jk}	53.21 ^{ghij}	5.60 ^{ghijk}	1.49 ^{ghij}	96094 ^{9gh}	2862.34 ^{ijkl}	4.27 ^{ji}	2	2
246.56 ^{ji}	32.28 ^{gh}	9.08 ^{kl}	54.90 ^{efgh}	5.70 ^{ghij}	1.49 ^{ghij}	101905 ^{8f}	2899.17 ^{hij}	4.37 ^{gh}	4	
32.15 ^{gh}	32.15 ^{gh}	9.01 ^{lmn}	51.11 ^{ijkl}	5.80 ^{efghi}	1.54 ^{gh}	102992 ^{8g}	2927.84 ^{ghij}	4.27 ^{hi}	0	
32.33 ^{gh}	32.33 ^{gh}	8.71 ^{mn}	55.86 ^{efg}	5.92 ^{defghi}	1.57 ^{fg}	108984 ^{9ef}	2955.84 ^{gh}	4.45 ^{cg}	2	4
32.68 ^{fg}	32.75 ^{fg}	8.56 ^{mono}	57.50 ^{defe}	6.02 ^{defg}	1.63 ^{def}	112973 ^{de}	2999.84 ^{fg}	4.65 ^{bc}	4	
32.75 ^{fg}	32.93 ^{def}	8.73 ^{lmn}	55.46 ^{efg}	5.99 ^{defghi}	1.61 ^{def}	110518 ^{def}	3027.17 ^{ef}	4.40 ^{gh}	0	
32.93 ^{def}	32.93 ^{def}	8.40 ^{op}	55.75 ^{efg}	6.17 ^{def}	1.63 ^{def}	114465 ^d	3044.17 ^{def}	4.38 ^{gh}	2	0
256.68 ^{fg}	33.08 ^{def}	8.36 ^{op}	56.66 ^{def}	6.23 ^{def}	1.65 ^{def}	118149 ^{ef}	3087.84 ^{cole}	4.52 ^{defg}	4	
33.26 ^{cde}	259.41 ^{ef}	8.18 ^{op}	56.56 ^{def}	6.37 ^{bed}	1.66 ^{cde}	119039 ^{ed}	3122.84 ^{cole}	4.47 ^{defg}	0	
33.42 ^{cd}	264.95 ^{dc}	8.18 ^{op}	60.13 ^{bed}	6.52 ^{bc}	1.68 ^{ed}	126076 ^{bc}	3136.50 ^{bc}	4.64 ^{bed}	2	2
33.35 ^{cd}	266.40 ^d	8.05 ^{pq}	60.40 ^{bed}	6.57 ^{ce}	1.71 ^{bed}	131458 ^{ab}	3169.67 ^{bc}	4.74 ^{ab}	4	
281.98 ^b	33.70 ^{bc}	7.91 ^{pq}	61.60 ^b	6.73 ^b	1.79 ^b	127976 ^{bc}	3170.17 ^b	4.55 ^{def}	0	
273.91 ^c	33.93 ^b	7.60 ^{qr}	61.05 ^{bc}	6.78 ^c	1.75 ^{bc}	135336 ^{ab}	3186.84 ^{ab}	4.62 ^{bed}	2	4
374.00 ^a	37.40 ^a	7.26 ^r	88.00 ^a	10.67 ^a	3.23 ^a	141052 ^a	3268.17 ^a	4.82 ^a	4	

میانگین هر چهار گروه متفاوت باشد. معنی دادنی نداشتن از مجموع دادنی در سطح احتمال پنج درصدی باشد. میانگین هر چهار گروه متفاوت باشد. معنی دادنی نداشتن از مجموع دادنی در سطح احتمال پنج درصدی باشد. میانگین هر چهار گروه متفاوت باشد. معنی دادنی نداشتن از مجموع دادنی در سطح احتمال پنج درصدی باشد. میانگین هر چهار گروه متفاوت باشد. معنی دادنی نداشتن از مجموع دادنی در سطح احتمال پنج درصدی باشد.

Means within the same column followed by the same letter are not significantly different based on Duncan's multiple range test

جدول -۸- همبستگی بین صفات مختلف کارا تخت تأثیر زوپلیت، سلسیوم و سیلیسیوم
Table 8- Correlation between different canola traits as affected by zeolite, selenium and silicon

*: significant at 0.05, **: significant at 0.01 and ns: no significant, respectively

است. مشاهده می‌شود که همبستگی مثبت و معنی داری بین عملکرد و اجزای عملکرد کلزا وجود دارد. به طوری که با افزایش هریک از اجزای عملکرد، عملکرد نهایی افزایش یافت. همچنین بین عملکرد و میزان کلروفیل، عملکرد و میزان فتوستتر رابطه مستقیم و معنی دار وجود دارد. به نظر می‌رسد که افزایش در میزان کلروفیل با افزایش در میزان فتوستتر همراه بوده که در نهایت منجر به تشییع بیشتر کربن و عملکرد دانه شده است. عملکرد دانه با فعالیت آنزیم کاتالاز، میزان مالون دی‌آلدهید و سدیم برگ، همبستگی منفی و معنی دار نشان داد. افزایش در فعالیت آنزیم کاتالاز و مالون دی‌آلدهید بیانگر قوی تنش در گیاه بوده که طبعاً کاهش عملکرد را به دنبال خواهد داشت. همبستگی منفی بین محتوی پتاسیم و سدیم نیز در این افزایش مشاهده شد (جدول ۸). که نشان دهنده این است که با افزایش سطح شوری میزان جذب سدیم افزایش یافت، در حالی که محتوای پتاسیم کاهش یافت. این نتایج نشان دهنده وجود رابطه آتناگونیسم بین سدیم و پتاسیم در گیاه کلزا می‌باشد.

آنزیم کاتالاز با میزان مالون دی‌آلدهید همبستگی مثبت نشان داد اما همبستگی معنی داری با دو آنزیم دیگر نداشت. اما دو آنزیم پراکسیداز و سوپر اکسید دیسموتاز با میزان مالون دی‌آلدهید همبستگی منفی و معنی دار داشتند همچنین بین این دو آنزیم همبستگی مثبت مشاهده گردید. به نظر می‌رسد با اعمال ترکیبات تیماری میزان فتوستتر افزایش یافته و به دنبال آن میزان کلروفیل و محتوای نسبی آب افزایش یافته که باعث افزایش عملکرد و اجزاء عملکرد شده است.

نتیجه‌گیری

با توجه به نتایج بدست آمده می‌توان اظهار داشت که با استفاده از زئولیت در خاک و همچنین محلول پاشی گیاهان با سلنیوم و سیلیسیوم می‌توان بر تنش شوری غلبه نمود و از کاهش عملکرد کلزا جلوگیری به عمل آورد. در بین تیمارهای مورد بررسی، تیمار ۱۰ درصد وزنی زئولیت به همراه محلول پاشی ۴ گرم در لیتر سلنیوم و ۴ گرم در لیتر سیلیسیوم در بین تیمارها نتایج را حاصل نمود، لذا این تیمار به عنوان تیمار برتر برای کاهش اثر شوری در کشت کلزا قابل توصیه می‌باشد. با توجه به اینکه متوسط بارندگی و همچنین ساعت‌آفتابی در سال دوم نسبت به سال اول بیشتر بود (جدول ۱) احتمالاً به این دلیل عملکرد و اجزاء عملکرد در سال دوم بیشتر از سال اول بود.

سپاسگزاری

این مقاله برگرفته از نتایج قسمتی از پژوهه تحقیقاتی شماره ۴-

از دیگر اثرهای سودمند سلنیوم می‌توان به افزایش رشد و متابولیسم کربوهیدرات‌ها اشاره کرد (۵۵). همچنین سیلیسیوم در افزایش رشد گیاهان تحت تنش‌های محیطی به اثبات رسیده است (۳۲). با این اوصاف افزایش در عملکرد زیست توده قابل انتظار می‌باشد.

میزان کلروفیل، فتوستتر و محتوی نسبی آب برگ تحت تیمار ۱۰ درصد وزنی زئولیت به همراه محلول پاشی ۴ گرم در لیتر سلنیوم و ۴ گرم در لیتر سیلیسیوم در حداقل مقدار خود بود (جدول ۷). شوری باعث پیری زودرس در گیاهان، شکسته شدن کلروپلاست‌ها و کاهش مقدار کلروفیل می‌گردد (۳۰). مطالعات دیپاک و واتال (۱۳) نشان داد که تحت شرایط تنش شدید در گیاه کلزا مقدار کلروفیل به طور معنی داری کاهش می‌یابد. زئولیت با نگهداری بیشتر آب در خاک و همچنین جلوگیری از هدر روی نیتروژن سبب افزایش کلروفیل و محتوی نسبی آب برگ می‌گردد که افزایش در این صفات سبب افزایش فتوستتر می‌گردد. گزارش شده است که استفاده از زئولیت باعث افزایش میزان فتوستتر، کارایی یاخته‌های مزوپیل، کارایی مصرف آب و میزان کلروفیل شده است (۵۶). همانطور که پیش از این اشاره شد سلنیوم و سیلیسیوم نیز از تخریب مولکول کلروفیل جلوگیری به عمل آورده و سبب افزایش فتوستتر می‌گرددند. افزایش محتوی نسبی آب برگ توسط هاتوری و همکاران (۲۴) گزارش شده است.

بیشترین فعالیت آنزیم‌های پراکسیداز و سوپر اکسید دیسموتاز در تیمار ۱۰ درصد وزنی زئولیت به همراه محلول پاشی ۴ گرم در لیتر سلنیوم و ۴ گرم در لیتر سیلیسیوم مشاهده شد در حالی که فعالیت آنزیم کاتالاز در تیمار شاهد بیشترین مقدار بود (جدول ۶). چنین به نظر می‌رسد که زئولیت با افزایش ظرفیت نگهداری آب در خاک توانسته است تا حدودی نیاز گیاه را به آبیاری کاهش دهد و بدین ترتیب گیاه در دوره‌ای طولانی تر بدون آبیاری مقاومت نماید و از تنش خشکی در امان بماند. از سوی دیگر تنش‌های محیطی سبب بروز تنش اکسیداتیو و افزایش تولید رادیکال‌های آزاد اکسیژن در گیاه می‌شود. گیاهان با سیستم آنتی اکسیدانی آنزیمی خود در مقابل تنش‌های اکسیداتیو سبب پاکسازی این رادیکال‌های آزاد می‌گرددند. واکنش آنزیمی گیاهان به تنش‌ها از گونه‌ای به گونه دیگر متفاوت بوده و حتی شدت و نوع تنش بر آن اثر می‌گذارد (۳ و ۲۵) (بنابراین افزایش و یا کاهش در فعالیت آنزیمی مشاهده می‌شود. پیش از این ذکر شد که سلنیوم سبب افزایش افزایش ظرفیت آنتی اکسیدانی در گیاهان می‌شود (۴۶). کاربرد سلنیوم روی برگ گیاهانی نظری برنج (Oryza sativa L.) آفتابگردان (Helianthus annuus)، سبب افزایش میزان فعالیت آنزیم‌های آنتی اکسیدان و مقاومت به کمبود آب در آنها گردید (۵۷). همبستگی بین صفات مورد بررسی در جدول ۸ نشان داده شده

References

- Agarie, S., Hanaoka, N., Ueno, O., Miyazaki, A., Kubota, F., Agata, W., and Kaufman, P. B. 1998. Effects of silicon on tolerance to water deficit and heat stress in rice plants (*Oryza sativa L.*), monitored by electrolyte leakage. *Plant Production Science* 1: 96-103.
- Ahmad, R., Zaheer, S., and Ismail, S. 1992. Role of silicon in salt tolerance of wheat (*Triticum aestivum L.*). *Plant Science* 85: 43-50.
- Alberico, G. J., and Cramer, G. R. 1993. Is the salt tolerance of maize related to sodium exclusion? 1. Preliminary screening of seven cultivars. *Journal of Plant Nutrition* 16: 2289-2303.
- Arnon, D. I. 1949. Copper enzymes in isolated chloroplasts. Polyphenoloxidase in *Beta vulgaris*. *Plant Physiology* 24: 1-150.
- Ashraf, M., and O'leary, J. M. 1997. Ion distribution in leaves of salt tolerant and salt-sensitive lines of spring wheat under salt stress. *Acta botanica neerlandica* 46: 207-217.
- Balastra, M. L., Juliano, C. M., and Villreal, P. 1989. Effect of silica level on some properties *oryza sativa* straw and hull. *Canadian Journal of Botany* 67: 2356-2363.
- Bouchereau, A., Clossais Besnard, N., Bensaoud, A., Leport, L., and Renard, M. 1996. Water stress effects on rapeseed quality. *European Journal of Agronomy* 5: 19-30.
- Cakmak, I., and Horst, W. 1991. Affect of aluminium on lipid peroxidation, superoxide dismutase, catalase and peroxidase activities in root tip of soybean (*Glycine max*). *Plant Physiology* 83: 463-468.
- Chaoming, Z., Jianfei, L., and Lping, C. H. 1999. Yield effects on the application of silicon fertilizer in early hybrid Rice. *Journal article* 2: 79-80.
- Cheng, S. F. 1984. Effect of salinity, fertility and water on the production and nutrient uptake of sunflower (*Helianthus annuus L.*). I. Effects on seed yield, oil concentration and dry matter yield. *Soils and Fertilizers in Taiwan* 38: 7-24.
- Clifton, R. A. 1985. Natural and synthetic zeolites. International circular. Washington, D.C. 9140.
- De Vos, C., Schat, H. M., De Waal, M. A., Vooijs, R., and Ernst, W. 1991. Increased to copper-induced damage of the root plasma membrane in copper tolerant silene cucubalus. *Plant Physiology* 82: 523-528.
- Deepak, M., and Wattal, P. N. 1995. Influence of water stress on seed yield of Canadian rape at flowering and role of metabolic factors. *Plant Physiology and Biochemistry* 22 (2): 115-118.
- Dionisio-Sese, M. L., and Tobita, S. 2000. Effects of salinity on sodium content and photosynthetic responses of rice seedlings differing in salt tolerance. *Journal Plant Physiology* 157: 54-58.
- Djanaguiraman, M., Shanker, A. K., Sheeba, J. A., Devi, D. D., and Bangarusa, U. 2005. Selenium – an antioxidative protectant in soybean during senescence. *Plant and Soil* 272: 77-86.
- Epstein, E. 1999. Silicon. *Annual Review Plant Physiology and Plant Molecular Biology* 50: 641-664.
- Flagella, Z., Giuliani, M. M., Rotunno, T., Di Caterina, R., and De Caro, A. 2004. Effect of saline water on oil yield and quality of a high oleic sunflower (*Helianthus annuus L.*) hybrid. *European Journal of Agronomy* 21: 267-272.
- Germ, M., Kreft, I., and Osvald, J. 2005. Influence of UV-B exclusion and selenium treatment on photochemical efficiency of photosystem II, yield and respiratory potential in pumpkins (*Cucurbita pepo L.*). *Plant Physiology and Biochemistry* 43: 445-448.
- Ghanati, F., Morita, A., and Yokota, H. 2002. Induction of suberin and increase of lignin content by excess boron in tobacco cell. *Soil Science and Plant Nutrition* 48: 357-364.
- Giannopolitis, C., and Ries, S. 1977. Superoxide dismutase occurrence in higher plant. *Plant Physiology* 59: 309-314.
- Gong, H. J., Randall, D. P., and Flowers, T. J. 2006. Silicon deposition in the root reduces sodium uptake in rice seedlings by reducing bypassflow. *Plant Cell Environment* 111: 1-9.
- Hasegawa, P. M., Bressan, R. A., and Handa, A. K. 1986. Cellular mechanism of salinity tolerance. *Horticultural Science* 21: 1317-1324.
- Hasegawa, P., Bressan, R. A., Zhu, J. K., and Bohnert, H. J. 2000. Plantcellular and molecular responses to high salinity. *Annual Review of Plant Molecular Biology* 51: 463-499.
- Hattori, T., Lux Tanimoto, A., Luxova, E., Sugimoto, M., and Inanaga, Y. 2001. The effect of silicon on the growth of sorghum under drought. - In: Morita, S. (ed.): The 6th Symposium of the International Society of Root Research. pp. 348-349. Japanese Society for Root Research (JSRR), Nagoya.
- Hernandez, J. A., Jimenez, A., Mullineaux, P., and Sevilla, F. 2000. Tolerance of pea (*Pisum sativum L.*) to long

- term salt stress is associated with induction of antioxidant defences. *Plant Cell and Environment* 23: 853-862.
26. Kaya, C., Tuna, L., and Higgs, D. 2006. Effect of silicon on plant growth and mineral nutrition of maize grown under water - stress condition. *Journal of Plant Nutrition* 29: 1469-1480.
 27. Koca, H., Melike, B., Filiz, O., and Ismail, T. 2007. The effect of salt stress on lipid peroxidation, antioxidative enzymes and proline content of sesame cultivars. *Environmental and Experimental Botany* 60: 344-351.
 28. Kopsell, D. A., Randle, W. M., and Mills, H. A. 2000. Nutrient accumulation in leaf tissue of rapid-cycling *Brassica oleracea* responds to increasing sodium selenate concentrations. *Journal of Plant Nutrition* 23 (7): 927-935.
 29. Kuznetsov, V. V., Kholodova, V. P., Kuznetsov, V. V., and Yagodin, B. A. 2003. Selenium regulates the water status of plants exposed to drought. *Doklady Biological Sciences* 390: 266-268.
 30. Lawlor, D. W., and Leach, J.E. 1985. Leaf growth and water deficit. Pp:267-294. In: Control of leaf growth. Cam. Univ. Press.
 31. Liang, Y. C. 1999. Effects of silicon on enzyme activity and sodium, potassium and calcium concentration in barley under salt stress. *Plant and Soil* 209: 217-224.
 32. Liang, Y. C., Chen, Q., Liu, Q., Zhang, W., and Ding, R. 2003. Effects of silicon on salinity tolerance of two barley genotypes. *Journal of Plant Physiology* 160: 1157-1164.
 33. Liang, Y. C., Zhang, W.Q., Chen, J., and Ding, R. 2005. Effect of silicon on H⁺-ATPase and H⁺-PPase activity, fatty acid composition and fluidity of tonoplast vesicles from roots of salt-stressed barley (*Hordeum vulgare* L.). *Journal of Environmental Experimental Botany* 53: 29-37.
 34. Ma, J. F. 2004. Role of silicon in enhancing the resistance of plants to biotic and abiotic stresses. *Soil Science Plant Nutrition* 50: 11-18.
 35. Ma, J. F., and Yamaji, N. 2008. Functions and transport of silicon in plants. *Cellular and molecular life sciences*, 65: 3049-3057.
 36. Mendham, N. J., Russell, J., and Buzzia, G. C. 1984. The contribution of seed survival to field in new Australian cultivars of oilseed rape (*Brassica napus* L.). *Journal of Agricultural science* 103: 303-316.
 37. Metcalf, L. C., Schmitz, A. A., and Pelka, J. R. 1966. Rapid preparation of methyl esters from lipid for gas chromatography analysis. *Analytical Chemistry* 38: 514-515.
 38. Mumpton, F. A. 1999. Mineralogy and geology of natural zeolite. *Department of Earth Science* New York. USA.
 39. Nowak, J., Kaklewski, K., and Ligocki, M. 2004. Influence of selenium on oxidoreductive enzymes activity in soil and in plants. *Soil Biology and Biochemistry* 36: 1553-1558.
 40. Pazurkiewicz-kcot, K., Galas, W., and Kita, A. 2003. The effect of selenium on the accumulation of some metals in *Zea mays* L. plants treated with indole-3-acetic acid. *Cellular and Molecular Biology Letters* 8: 97-103.
 41. Pennanen, A., Xue, T., and Hartikainen, H. 2002. Protective role of selenium in plant subjected to severe UV irradiation stress. *Journal of Applied Botany* 76: 66-76.
 42. Pessarakli, M. 1994. In: Pessarakli, M. (Ed.) *Handbook of Plant and Crop Stress*. Marcel Dekker, Inc, New York pp. 1067-1084.
 43. Polat, E., Karaca, M. H., Demir, H., and Naci Onus, A. 2004. Use of natural zeolita (clinoptilolite) in agriculture. *Journal of Fruit and Ornamental Plant Research* 12: 183-189.
 44. Querghi, Z., Zid, E., and Ayadi, A. 1991. Sensitivity to NaCl and exclusion of Na⁺ in sunflower. *Agric. Mediterranea* 121: 110-4. (Field Crop Absts., 45: 5725; 1992).
 45. Richardson, S. G., and McCree, K. J. 1985. Carbon balance and water relations of *Sorghum* exposed to salt and water stress. *Plant Physiology* 79: 1015-1020.
 46. Seppanen, M., Turakainen, M., and Hartikainen, H. 2003. Selenium effects on oxidative stress in potato. *Plant Science* 165: 311-319.
 47. Shahsavari, N., Jais, H. M., and Shirani Rad, A. H. 2014. Responses of canola oil quality characteristics and fatty acid composition to zeolite and zinc fertilization under drought stress. *International Journal of Agricultural Sciences* 4: 49-59.
 48. Sibole, J. V., Cabot, C., Poschenrieder, C., and Barceló, J. 2003. Ion allocation in two different salt-tolerant Mediterranean *Medicago* species. *Journal Plant Physiology* 160 (11): 1361-1365.
 49. Sing, H. C., and Bhargava, S.C. 1994. Changes in growth and yield components of *Brassica napus* in response to azotobacter inoculation at different rates of nitrogen application. *Journal of Agriculture Science* 122: 241-247.
 50. Tahir, M. A., Rahmatullah, A., Ashraf, M., Kanwal, S., and Muhammad, A. 2006. Beneficial effects of silicon in wheat under salinity stress-pot culture. *Pakistan Journal of Botany* 38: 1715-1722.
 51. Tapiero, H., Townsend, D. M., and Tew, K. D. 2003. Dossier: Oxidative stress pathologies and antioxidants: The antioxidant role of selenium and seleno-compounds. *Biomedicine and Pharmacotherapy* 57: 134-144.
 52. Turan, M. A., Elkiram, A. H. A., Taban, N., and Tban, S. 2009. Effect of salt stress on growth, stomatal

- resistance, proline and chlorophyll concentrations in maize plant. African Journal of Agricultural Research 4 (9): 893- 897.
53. Weimberg, R. 1987. Solute adjustments in leaves of two species of wheat at two different stages of growth in response to salinity. *Physiologia Plantarum*, 70:381-388.
54. Wright, P. R., Morgan, J. M., Jossop, R. S., and Cass, A. 1995. Comparative adaptation of canola (*Brassica napus* L.) and indian mustard (*Brassica Juncea*) to soil water deficit. *Field Crops Research* 42: 1-13.
55. Xue, T. L., Hartikainen, H., and Piironen, V. 2001. Antioxidative and growth-promoting effects of selenium on senescing lettuce. *Plant and Soil* 237: 55-61.
56. Zahedi, H., Noormohammadi, G., ShiraniRad, A. H., Habibi, D., and Mashhadi Akbar, B. 2009. The effects of zeolite and foliar applications of selenium on growth yield and yield components of three canola cultivars under drought stress. *World Applied Sciences Journal* 7: 255-262.
57. Zoyer, C., Dat, J. E., and Scott, I. M. 2005. Hydrogen peroxide in oilseed sunflower. *Physiologia Plantarum* 5: 241-254.



Effect of Zeolite, Selenium and Silicon on Yield, Yield Components and Some Physiological Traits of Canola under Salt Stress Conditions

A. Bybordi^{1*}

Received: 04-07-2014

Accepted: 02-09-2015

Introduction

Canola can be cultivated in large areas of the country due to its specific characteristics such as suitable composition of the fatty acids, its germination ability under low temperature, as well as its good compatibility with different climates. Canola is a high demanding crop in terms of fertilizers so that it uptakes considerable amount of nutrients from the soil during the growing season. Canola cultivation in poor soils or application of imbalanced fertilizers, especially nitrogen, can reduce quality and quantity of final yield. On the other hand, salinity is known as one of the major limiting factors in canola production. Therefore, the aim of this study is the application of zeolite, selenium and silicon treatments to amend soil and increasing salinity tolerance in canola.

Materials and Methods

In order to study the effect of soil applied zeolite and foliar application of selenium and silicon on yield, yield components and some physiological traits of canola grown under salinity stress, a factorial experiment in randomized complete block design was conducted in Agriculture and Natural Resource Research Center in East Azerbaijan during 2011-2013 cropping seasons. Zeolite was applied at three levels (0, 5 and 10 ton ha^{-1}) and foliar selenium and silicon were applied at three levels as well (each one zero, 2 and 4 g l^{-1}). For this purpose, seedbed was prepared using plow and disk and then plot were designed. Canola seeds, cultivar Okapi, were sown in sandy loam soil with 4 dS.m⁻¹ salinity at the depth of 2-3 cm. Irrigation was performed using local well based on 60% field capacity using the closed irrigation system. Potassium selentae and potassium silicate were used for selenium and silicon treatments. Treatments at rosette and stem elongation stages were sprayed on plants using a calibrated pressurized backpack sprayer. At flowering stage, photosynthesis rate was recorded. Then leaf samples were randomly collected to assay chlorophyll, relative water content, catalase, peroxidase and superoxide dismutase activity, as well as malondialdehyde, sodium and potassium content in the leaves. The samples were immediately frozen in liquid nitrogen and kept in -80°C freezer. At the end of the growing season, agronomic traits such as siliques number, seed number on siliques, 1000-grain weight, grain yield, biological yield and harvest index were recorded. Total oil percentage and fatty acids (oleic, linolenic and linoleic) percentage were measured.

Results and Discussion

The combined analysis of variance indicated that the effect of year was significant on all studied traits, except for siliques number, grain number in siliques, linoleic acid, chlorophyll content and peroxidase activity. In addition, the results showed that the main effect of zeolite, selenium and silicon were significant on all canola studied traits. However, relative water content and peroxidase activity were not affected by silicon application. Comparison of means indicated that triple interaction was significant at 1000-grain weight, grain yield, biological yield, chlorophyll content, photosynthesis rate, relative water content and antioxidant enzyme activity. Some traits such as 1000-grain weight, grain yield, biological yield, harvest index, oil percentage, linolenic percentage and superoxide dismutase activity as well as sodium content in leaves were found to be higher in the second year compared with the first year. Zeolite significantly increased siliques number and grain number in siliques. Furthermore, harvest index increased with the increase of zeolite level. According to the results, selenium increased siliques number, grain number in siliques and harvest index in canola plants. Silicon foliar application also significantly increased siliques number, grain number in siliques and harvest index. The highest chlorophyll contents, photosynthesis rate and relative water content were registered when zeolite was applied at 10% w:w and silicon and selenium were applied at 4 g per litter. Similarly, the highest peroxidase and superoxide dismutase activity was observed in this treatment. Finally, the highest grain yield (3009.92 kg ha^{-1})

1- Assistant Professor, East Azarbaijan Research and Education Center for Agriculture and Natural Resources

(* Corresponding Author Email: ahmad.bybordi@gmail.com)

and biological yield ($108778 \text{ kg ha}^{-1}$) were obtained when 10% w: w zeolite was applied along with 4 g per liter selenium and 4 g per liter silicon. In general, we concluded that application of zeolite, selenium and silicon could reduce adverse effects of salt stress and improve canola tolerance against salinity stress.

Conclusions

Among the applied treatments 10% w: w zeolite along with 4 g per liter selenium and 4 g per 1 liter silicon caused the best results in terms of canola grain yield.

Keywords: Amendment compounds, Canola, Tolerance, Zeolite

بررسی اثر هورمون‌های سیتوکینین و اکسین و الگوی کاشت بر عملکرد و اجزاء عملکرد ذرت دانه‌ای (*Zea mays L.*) در شرایط شور

داود دوانی^{۱*} - مجید نبی پور^۲ - حبیب الله روشن‌فکر دزفولی^۳

تاریخ دریافت: ۱۳۹۳/۰۴/۲۵

تاریخ پذیرش: ۱۳۹۳/۱۱/۲۱

چکیده

جهت بررسی اثر زمان محلول‌پاشی هورمون‌های سیتوکینین (عدم مصرف، مصرف در مرحله V_6 و V_{10} - V_8) و اکسین (عدم مصرف، زمان ظهور ابریشم و دو هفته پس از آن) و الگوی کاشت (یک ردیفه، دو ردیفه و کفتار) بر عملکرد و اجزاء عملکرد ذرت دانه‌ای (*Zea mays L.*) در شرایط شور آزمایشی در سال ۱۳۹۲ در مرکز تحقیقات کشاورزی و منابع طبیعی بوشهر بهصورت اسپلیت فاکتوریل در قالب طرح بلوك‌های کامل تصادفی با سه تکرار اجرا گردید. الگوی کاشت به عنوان فاکتور اصلی و مصرف یا عدم مصرف هورمون‌های اکسین و سیتوکینین بهصورت فاکتوریل در کرت‌های فرعی بررسی گردید. اثر الگوی کاشت بر ارتفاع بوته، طول و قطر بالا، تعداد ردیف دانه، تعداد دانه در ردیف، وزن هزار دانه، عملکرد بیولوژیک، عملکرد دانه و شاخص برداشت معنی‌دار بود. بیشترین عملکرد دانه با کشت کفتار با $7/55$ و کمترین آن با کشت معمول با $40/9$ تن در هکتار بود. از نظر ارتفاع بوته و تعداد ردیف دانه برتری با زمان مصرف ۸ تا ۱۰ برگی بود ولی وزن هزار دانه و شاخص برداشت در زمان مصرف ۵ تا ۶ برگی حداکثر بود. بیشترین تعداد دانه در ردیف بدون مصرف سیتوکینین بهدست آمد. اثر اکسین روزی وزن هزار دانه، عملکرد بیولوژیک، عملکرد دانه و شاخص برداشت در سطح 1% معنی‌دار گردید و بیشترین عملکرد دانه با زمان مصرف ظهور ابریشم بهدست آمد. بهطور کلی با کاشت کفتار و مصرف سیتوکینین در مرحله ۸ تا ۱۰ برگی و مصرف اکسین در زمان ظهور ابریشم بهترین اثرات شوری بر گیاه کاهش یافته و عملکرد دانه افزایش یافت.

واژه‌های کلیدی:

کاشت کفتار، م محلول‌پاشی، مرحله رشد

فاکتور مهم محدودکننده رشد و باروری گیاه است (۲). ذرت یک گیاه زراعی نیمه حساس به شوری است (۴۶). هوفمن و همکاران (۲۰) گزارش نمودند شوری $3/7$ دسی‌زیمنس بر متر باعث کاهش عملکرد ذرت نشد، اما به ازاء هر واحد افزایش بیشتر شوری عملکرد ذرت 14 درصد کاهش یافت. آنها علت کاهش عملکرد را کاهش در تراکم بوته و جرم دانه گزارش نمودند. یکی دیگر از اثرات شوری، تسريع در پیری برگ می‌باشد. پیری برگ در نتیجه کاهش محتوای کلروفیل تحت تأثیر تنفس شوری است (۲۹). بهطور کلی ذرت در مرحله گل‌دهی به تنفس‌ها حساسیت زیادی داشته و تنفس شوری در این مرحله باعث از بین رفتن دانه‌های گرده و کاهش شانس باروری گل‌ها می‌گردد و در نهایت منجر به کاهش عملکرد دانه می‌گردد (۳۳).

استقرار تراکم مطلوبی از بوته‌های سالم در مناسب‌ترین الگوی کاشت، اساس یک سیستم موفق تولید زراعی می‌باشد (۱۲). الگوی کاشت بوته‌ها می‌تواند بر دسترسی آنها به نور، آب و عناصر غذایی مؤثر باشد (۴). مطالعات انجام شده پیرامون الگوی کاشت ذرت در کشور بیشتر در رابطه با کاشت یک و دو ردیفه و در شرایط غیر شور

ذرت (*Zea mays L.*) گیاهی از خانواده غلات با دوره رشد نسبتاً کوتاه و عملکرد بالاست، در سطح جهانی از نظر میزان تولید در دنیا در رتبه اول قرار دارد (۱۲). با توجه به نیاز روزافزون کشور به تأمین مواد غذایی و تولید فرآورده‌های دامی و سهم ذرت در جیره غذایی طیور بررسی عوامل مهم افزایش تولید این محصول استراتژیک اهمیت زیادی پیدا کرده است (۳۶).

نظر به تغییرات اقلیمی شدید در سال‌های اخیر اکوسیستم‌های زراعی نیز چهار تغییر و تحول شده است (۱۰). از این رو سهم زمین‌های کشاورزی در دنیا که متأثر از شوری هستند در حال توسعه بوده و سهم ایران برابر 27 میلیون هکتار می‌باشد (۴۰). شوری یک

۱- دانشجوی دکتری فیزیولوژی گیاهان زراعی دانشگاه شهید چمران اهواز

۲- استاد گروه زراعت و اصلاح نباتات دانشگاه شهید چمران اهواز

۳- استادیار گروه زراعت و اصلاح نباتات دانشگاه شهید چمران اهواز

(Email: davanidavoud@gmail.com) ۴- نویسنده مسئول:

تنش‌های غیرزیستی مؤثر باشد (۳۰). میزان پر شدن دانه در غلات ارتباط نزدیکی با ظرفیت مقصود دارد (۲۹). در آزمایشی مشخص شد دوره زمانی تجمع سیتوکینین کاملاً با زمان تجمع اکسین در هنگام نمو آندوسپرم ذرت تفاوت داشت. حداکثر سرعت تقسیم سلولی با زمان تجمع زأتین و زأتین ریبوساید همزمان بود. از این رو این نتیجه با این فرضیه که سیتوکینین باعث تحريك تقسیم سلولی می‌گردد مطابقت دارد. سرعت افزایش وزن تر آندوسپرم در هنگام تقسیم سلولی افزایش یافت و ۱۰ روز بعد از گردهافشانی به حداکثر رسید که همزمان با رسیدن اکسین به حداکثر مقدار خود بود (۲۱). این آزمایش به منظور بررسی تأثیر زمان محلول‌پاشی هورمون‌های اکسین و سیتوکینین، الگوی کاشت و بر هم کنش آن‌ها بر عملکرد و اجزای عملکرد ذرت دانه‌ای سینگل کراس ۷۰۴ و تعیین بهترین الگوی کاشت و زمان محلول‌پاشی هورمون‌های اکسین و سیتوکینین در شرایط شور بود.

مواد و روش‌ها

این آزمایش در سال ۱۳۹۲ در ایستگاه تحقیقاتی مرکز تحقیقات کشاورزی و منابع طبیعی بوشهر واقع در شهرستان دشتستان به صورت اسپلیت فاکتوریل در قالب طرح بلوك‌های کامل تصادفی با سه تکرار اجرا شد. محل اجرای آزمایش در عرض جغرافیایی ۲۹ درجه و ۱۶ دقیقه شرقی و طول جغرافیایی ۵۱ درجه و ۳۱ دقیقه شمالی واقع شده و ارتفاع آن از سطح دریا برابر با ۷۰ متر می‌باشد. متوسط بارندگی سالانه در منطقه ۲۵۰ میلی‌متر است. براساس نتایج آزمایش خاک و آب، بافت خاک محل آزمایش دارای ۱۵/۱٪ رس، ۳/۵٪ سیلت و ۵۳/۴٪ شن (خاک لوم شنی)، مقادیر کربن آلی، فسفر و پتاسیم به ترتیب ۰/۰٪، ۱۱/۶٪ و ۱۹/۵ میلی‌گرم در کیلوگرم در عصاره اشبع، هدایت الکتریکی عصاره اشبع خاک برابر با ۴/۹۸ و آب مزرعه برابر با ۴ دسی‌زیمنس بر متر که بر این اساس خاک مزرعه در محدوده خاک‌های شور و آب آبریاری در گروه آب‌های لب شور قرار داشت و pH خاک و آب به ترتیب ۷/۵ و ۷/۷ بود. فاکتورهای مورد بررسی شامل روش کشت (یک ردیف روی پشته، دو ردیف طرفین پشته به صورت زیگزاگ و یک ردیف کف فارو)، هورمون اکسین (شاهد یا عدم مصرف، مصرف در زمان ظهور ابریشم و مصرف دو هفته پس از ظهور ابریشم) و هورمون سیتوکینین (شاهد یا عدم مصرف، مصرف در زمان تشکیل جوانه بالال یعنی مرحله V₅-V₆ و مصرف در مرحله V₈-V₁₀) بود. الگوی کاشت به عنوان فاکتور اصلی و هورمون‌های اکسین و سیتوکینین به صورت فاکتوریل به عنوان عامل فرعی در نظر گرفته شد. آماده‌سازی زمین با انجام عملیات شخم، دو دیسک عمود برهم و ایجاد جوی پشته‌هایی به فاصله ۷۵ سانتی‌متر با فاروئر انجام شد. کاشت به صورت کپه‌ای با فواصل مشخص برای روش‌های

می‌باشد. با این حال روش‌های کاشت در شرایط شور با روش‌های متداول کاشت در شرایط غیر شور متفاوت می‌باشد و کاشت در کف فارو یا کشت دو ردیفه در شرایط شور مورد توصیه و تأکید محققان و کارشناسان کشاورزی است (۱۸ و ۴۲). در پژوهشی مشخص شد که تغییر محل کاشت از روی پشته به کف فارو عملکرد علوفه ذرت را حداقل ۱۰ درصد افزایش می‌دهد (۱۸). مشخص شد که در الگوی کاشت کف فارو به دلیل شستشوی املاح از اطراف ریشه ذرت، اثرات ناشی از تنش شوری کاهش یافته و استقرار ریشه‌های هوایی که عامل مهمی در کاهش ورس هستند، توسعه زیادی می‌یابند (۳).

سیتوکینین‌ها به طور زیادی رشد گیاهان زراعی کشت شده تحت تنش شوری را بهبود می‌بخشند (۴۱). افزایش در شوری همراه با کاهش انتقال سیتوکینین از ریشه به بخش‌های هوایی گیاه می‌باشد (۴۳). از طرفی میزان کافی سیتوکینین احتمالاً می‌تواند اثرات تنش شوری را بر رشد و عملکرد دانه ذرت کاهش دهد. تجزیه نشاسته و تجمع قندها در آندوسپرم گندم توسط سیتوکینین افزایش می‌یابد که این امر منجر به افزایش شبی اسمزی برای ورود آب می‌شود (۵). سیتوکینین از طریق تجمع کلروفیل و تبدیل اتیوپلاست به کلروفیل و جمع آوری رادیکال‌های آزاد پیری برگ را به تعویق می‌اندازد. لذا این امکان وجود دارد که در پاسخ به شرایط محیطی نامناسب، مؤثر باشد (۲ و ۱۶). نقش سیتوکینین‌ها در کاهش تجزیه کلروفیل با افزایش تقسیم سلولی، رشد سلول، افزایش بیوسنتر کلروفیل و تأخیر در روند پیری برگ گزارش شده است (۴۵). در آزمایشی در ذرت نشان داده شد که سیتوکینین عکس ABA در بسته شدن روزنه‌ها در برگ‌های پیر و جوان عمل می‌کند (۴). مصرف خارجی سیتوکینین باعث افزایش عملکرد و اجزاء عملکرد ذرت در شرایط شور گردید (۲۴). مصرف خارجی کیتینین برگ‌های شوری در رشد گیاهچه‌های گندم (Triticum aestivum L.) غلبه کرد (۳۵) گزارش شده است که استفاده از سیتوکینین باعث افزایش وزن و ارتفاع ساقه و برگ‌ها و مقدار قند بیشتر در ذرت شد (۱۴).

اکسین‌ها نیز نقش بسیار مهمی در تحمل گیاهان به تنش شوری دارند. ولی اطلاعات کمی در خصوص رابطه بین تحمل شوری و سطوح اکسین در گیاهان وجود دارد. مشاهده شده است که در تیمارهای مصرف هورمون اکسین نسبت به عدم مصرف ریزش برگ‌های ذرت کاهش یافته است (۱).

شوری موجب کاهش ۷۵ درصدی در میزان اکسین برنج گردید (۸). مقدار اکسین در مرحله پر شدن دانه گندم به حداکثر مقدار خود می‌رسد و نقش مهمی را در تنظیم پر شدن دانه بازی می‌کند (۵). در آزمایشی همراه با افزایش اکسین در گیاه ذرت مقدار DNA در هسته و میانگین قطر هسته افزایش یافت که می‌تواند در تحمل گیاه در

نمک در روی پسته، منجر به تأخیر در ابریشمدهی و گردهافشانی و در نهایت کاهش عملکرد می‌گردد، به طوری که ممکن است اصلًا در سطح بالل دانه تشکیل نشود (۱۹ و ۳۴). طبق نتایج حاصل از اجرای یک طرح در سطح یک هکتار ذرت، تیمار کاشت در کف جوی با عملکرد ۷۴۶۶ کیلوگرم در هکتار، ۱۲ درصد افزایش عملکرد دانه داشته است. این افزایش عملکرد احتمالاً به دلیل افزایش کارآیی مصرف آب، کاهش میزان نمک در اطراف بوته ذرت و افزایش رشد و توسعه سیستم ریشه بوته که در جذب آب و مواد غذایی و افزایش بهره‌وری در استفاده از کودها بسیار مؤثر بوده است (۳).

زمان محلول‌پاشی اکسین نیز در سطح ۱٪ بر عملکرد دانه معنی‌دار بود (جدول ۱) به طوری که بیشترین عملکرد دانه با ۶/۵۷٪ با محلول‌پاشی در زمان ظهر ابریشم و کمترین عملکرد دانه برابر با ۵/۵٪ تن در هکتار با محلول‌پاشی اکسین در زمان دو هفته بعد از ظهر ابریشم مشاهده گردید در حالی که نفاوتی با تیمار شاهد نداشت (جدول ۲). زمان محلول‌پاشی سیتوکینین بر عملکرد دانه معنی‌دار نشد. تصور می‌شود که هورمون‌ها در مقصد فاکتور تعیین‌کننده برای ظرفیت مقصد باشند (۸). اکسین‌ها با تأثیر بر تقسیم سلولی و بزرگ شدن سلول‌های آندوسپرم و یا کنترل مواد پرورده مهم به سمت مقصد و ظرفیت مقصد دخیل هستند (۱۷).

نتایج این پژوهش نشان داد که عملکرد دانه تحت تأثیر اثر متقابل الگوی کشت و زمان محلول‌پاشی هورمون‌های سیتوکینین و اکسین قرار گرفت (جدول ۱). در هر دو الگوی کشت معمول و دو ردیفه بیشترین عملکرد دانه بدون مصرف سیتوکینین و با مصرف اکسین در زمان ظهر ابریشم به دست آمد در حالی که در الگوی کشت کف فارو بیشترین مقدار عملکرد دانه با محلول‌پاشی سیتوکینین در مرحله ۸ تا ۱۰ برگی و مصرف اکسین در زمان ظهر ابریشم مشاهده شد. الگوی کشت معمول کمترین عملکرد دانه را با مصرف سیتوکینین در مرحله ۸ تا ۱۰ برگی و بدون مصرف اکسین داشت ولی کشت دو ردیفه کمترین عملکرد دانه را با محلول‌پاشی سیتوکینین در مرحله ۵ تا ۶ برگی و مصرف اکسین دو هفته بعد از ظهر ابریشم داشت. همچنین کمترین مقدار عملکرد دانه در کشت کف فارو با محلول‌پاشی سیتوکینین در مرحله ۸ تا ۱۰ برگی و مصرف اکسین دو هفته بعد از ظهر ابریشم به دست آمد (شکل ۱). براساس یک فرضیه، سیتوکینین‌ها می‌توانند تحمل شوری را در گندم از طریق اثر متقابل با دیگر هورمون‌های گیاهی به‌ویژه اکسین‌ها افزایش دهند (۲۲). سیتوکینین‌ها با دارا بودن توانایی اثرگذاری بر نفوذپذیری غشاء به یون‌های یک و دو ظرفیتی و القاء موضعی مقصد‌های متابولیک پیری برگ را به تقویق می‌اندازند و لذا مدت زمان انجام فتوستتر برگ را طولانی تر نموده و عملکرد دانه را افزایش می‌دهند (۳۰). اثر الگوی کاشت بر روی ارتفاع بوته در سطح ۱٪ معنی‌دار شد (جدول ۱).

مختلف کشت و سه عدد بذر در هر کپه با عمق ۵ سانتی‌متر بود. سپس جهت حصول تراکم بوته مناسب، عملیات تنک کردن با حذف بوته در هر کپه در مرحله سه تا چهار برگی اجرا شد. هر کرت آزمایشی شامل پنج خط کاشت به طول شش متر بود. فاصله بوته‌ها روی ردیف در الگوی کاشت یک ردیف روی پسته و کف فارو برابر با ۱۸ و در روش دو ردیفه برابر با ۳۶ سانتی‌متر بود و بدین ترتیب تراکم بوته برای تمامی تیمارها ۷۵۰۰ بوته در هکتار ثابت در نظر گرفته شد. تاریخ کاشت ۱۵ مرداد ماه یعنی تاریخ کاشت مرسوم منطقه بود. مقادیر کود مصرفی در تمام تیمارها یکسان و براساس آزمون خاک و توصیه آزمایشگاه خاکشناسی طبق فرمول کودی ۴۰۰ کیلوگرم اوره و ۳۰۰ کیلوگرم فسفات آمونیوم استفاده شد ولی نیازی به مصرف پتاسیم نبود. یک سوم کود نیتروژن و کل کود فسفره قبل از کاشت به روش دستی در کنار پسته‌ها جای‌گذاری شد و دو سوم باقیمانده کود نیتروژن به صورت سرک در مرحله ۶ تا ۸ برگی مصرف شد. کنترل علف‌های هرز به صورت دستی انجام شد. از این‌دول بوتیریک اسید و بنزیل آدنین به ترتیب به عنوان هورمون‌های اکسین و سیتوکینین استفاده شد. که به ترتیب با غلظت ۱۰ و ۵۰ میلی‌گرم در لیتر محلول‌پاشی شدند. جهت حلالیت بیشتر ابتدا هر دو هورمون در اتانول حل شدند. به منظور جذب بیشتر هورمون‌ها از ماده‌ای چسبنده و مومی به نام توین^۱ با نسبت ۱/۵ با نسبت ۱/۵ درصد حجمی استفاده شد. گیاهان شاهد نیز با آب مقطر همراه با توین ۲۰ تیمار شدند. جهت جلوگیری از تبخیر سریع آنها به‌وسیله نور خورشید و هم‌اینکه تا صبح مدت زمان مناسبی جذب بینه محلول وجود داشته باشد، محلول‌پاشی هورمون‌ها همزمان با غروب آفتاب انجام شد. برای اندازه‌گیری صفات ارتفاع بوته، طول بالل، قطر بالل، تعداد دانه در ردیف، تعداد ردیف بالل و وزن هزار دانه ۱۰ بوته به‌طور تصادفی در هر کرت انتخاب شد. برداشت نهایی بعد از حذف حاشیه‌ها، از ۳ ردیف وسط و سطح ۹ مترمربع در هر کرت انجام شد و پس از جدا کردن دانه از بالل به‌وسیله دستگاه شیلر، عملکرد دانه براساس رطوبت ۱۴ درصد محاسبه گردید. برای انجام محاسبات آماری از نرم‌افزارهای SAS و SPSS و برای رسم نمودارها از نرم‌افزار Excel استفاده شد.

نتایج و بحث

عملکرد دانه در سطح ۵٪ تحت تأثیر الگوی کاشت قرار گرفت (جدول ۱) و بیشترین عملکرد دانه با ۷/۵۵٪ با کشت کف فارو و کمترین آن با الگوی کشت معمول با میانگین ۴/۰۹٪ تن در هکتار به دست آمد (جدول ۲). ایجاد هرگونه تنش، از قبیل افزایش تجمع

جدول ۱ - تجزیه واریانس برای اثر هورمون‌های سیتوکینین و اکسین و الگوی کاشت بر روی صفات مختلف
Table 1- Analysis of variance for the effect of planting pattern and growth regulator on different characteristics

منابع تغییرات	S.O.V.	درجه آزادی d.f.	میانگین مربوط (MS)										شاخص برداشت Harvest index
			عملکرد دانه Grain Yield	ارتفاع بوته Plant height	طول بالل Ear length	قطر بالل Ear diameter	تعداد ردیف دانه در دانه ردیف	تعداد دانه در دانه ردیف	وزن هزار دانه ۱۰۰۰ kernel wieght	درصد چوب بالل Cob percent	تعداد دانه در دانه ردیف	وزن هزار دانه ۱۰۰۰ kernel wieght	
الگوی کاشت	Replication	2	58.58	6252.852	33.094	0.353	1.903	234.517	6077.589	228.167	59.447		
	Planting Pattern (A)	2	81.785*	5016.235**	55.837*	3.936**	32.790**	145.050**	23009.792**	1473.155**	376.970*		
a خطای	Error a	4	8.261	1414.290	8.620	0.065	1.692	57.109	2279.078	83.075	64.903		
سیتوکینین	Cytokinine (B)	2	0.331 ^{ns}	340.980**	3.396 ^{ns}	0.027 ^{ns}	10.571**	41.212*	11537.103**	6.352 ^{ns}	377.707**		
اکسین	Auxin (C)	2	15.536**	16.262 ^{ns}	0.593 ^{ns}	0.045 ^{ns}	0.057 ^{ns}	6.760 ^{ns}	5412.178**	716.657**	1326.376**		
روش کاشت	AxB	4	0.12 3 ^{ns}	164.657 ^{ns}	1.341 ^{ns}	0.038 ^{ns}	0.383 ^{ns}	10.288 ^{ns}	1921.494*	58.144 ^{ns}	161.307*		
سیتوکینین ×													
روش کاشت	AxC	4	0.55 8 ^{ns}	77.816 ^{ns}	1.968 ^{ns}	0.082 ^{ns}	0.091 ^{ns}	17.371 ^{ns}	447.997**	174.934**	72.029 ^{ns}		
اکسین ×													
سیتوکینین	BxC	4	1.22 2 ^{ns}	268.328 ^{ns}	0.240 ^{ns}	0.023 ^{ns}	0.211 ^{ns}	8.422 ^{ns}	1164.841 ^{ns}	90.972 ^{ns}	8.614 ^{ns}		
اکسین ×													
سیتوکینین ×	A × B × C	8	4.745**	183.065 ^{ns}	1.990 ^{ns}	0.040 ^{ns}	1.240**	32.882*	333.525 ^{ns}	75.505 ^{ns}	55.597 ^{ns}		
الگوی کاشت													
خطای	Error bc	48	1.645	126.039	2.520	0.053	0.367	14.761	664.718	46.834	53.599		
ضریب تغییرات (%)	CV%		12.5	6.82	10.68	5.832	4.38	9.99	11.67	8.36	17.04		

*، **: به ترتیب غیر معنی‌دار و معنی‌دار در سطح ۵٪ و ۱٪ ns

ns, *, **: Not-significant and significant at the 5% and 1% probability levels, respectively

با تنش شوری یا خشکی روبه‌رو می‌گردد (۲۵). به طور کلی با افزایش تأثیر شوری بر روی رشد گیاه، علاوه بر کاهش عملکرد دانه، ارتفاع گیاه، تعداد دانه در بالل و وزن هزار دانه نیز کاهش می‌یابد، چرا که با افزایش غلظت املأاح، فشار اسمزی محلول خاک زیاد می‌شود، در نتیجه مقدار انرژی که گیاه باید صرف جذب آب از خاک نماید افزایش می‌یابد که این عمل باعث افزایش تنفس و کاهش ارتفاع و عملکرد گیاه می‌شود. نتیجه این تحقیق با مشاهدات نجفی نژاد و فرزام نیما (۳۶) مطابقت دارد ولی سیادت و هاشمی ذوفولی (۴۲) نشان دادند که ارتفاع بوته ذرت تحت تأثیر الگوی کشت قرار نمی‌گیرد که البته احتمالاً دلیل این مغایرت شرایط شور و غیر شور این دو آزمایش بود. زمان محلول‌پاشی سیتوکینین صفت ارتفاع بوته را در سطح ۸٪ تحت تأثیر قرار داد (جدول ۱) و بیشترین مقدار آن از زمان مصرف ۸ تا ۱۰ برگی برابر با ۱۶۷/۶۸ و کمترین ارتفاع بوته با ۱۶۰/۷ سانتی‌متر با محلول‌پاشی در مرحله پنج تا شش برگی مشاهده گردید (جدول ۲).

مقایسه میانگین‌ها (جدول ۲) نشان داد که بیشترین ارتفاع بوته از روش کاشت کف فارو با ۱۷۸/۸۹ و کمترین مقدار با کشت معمول با ۱۵۱/۷۴ سانتی‌متر به دست آمد. خصوصیات آناتومیک و مورفولوژیک گیاهان زراعی به طور مستقیم تحت تأثیر شوری قرار می‌گیرند. ارتفاع بوته در اغلب منابع به عنوان یکی از معیارهای توانایی رقابتی الگوی گونه‌های مختلف زراعی مطرح است که خود تحت تأثیر الگوی کاشت و شرایط محیطی قرار می‌گیرد (۳۱). با توجه به نتایج بدست آمده می‌توان گفت شوری از طریق کاهش فشار توربوزانس سبب کاهش رشد و توسعه سلول‌ها خصوصاً در ساقه و برگ‌ها گردیده و به همین دلیل اولین اثر محسوس شوری بر روی گیاهان به صورت ارتفاع کمتر گیاهان مشاهده گردید. به علاوه از آنجا که شوری موجب اختلال در جذب عناصر غذایی و برهم زدن تعادل یونی در گیاه می‌شود، می‌توان کاهش رشد ساقه را به کمیعد عناصر غذایی و اختلالات تعذیبه‌ای ناشی از شوری نسبت داد (۳۲). الگوی کاشت کف فارو یک روش مناسب برای مناطقی است که گیاه در طول دوره رشد

جدول ۲- مقایسه میانگین برای اثر هورمون‌های سیتوکینین و اکسین و الگوی کاشت بر روی صفات مختلف

Table 2- Mean comparison of the effects of auxin and cytokinin hormones and planting pattern on different traits

تیمار Treatment	عملکرد دانه (تن در هکتار) Grain yield (ton.ha ⁻¹)	ارتفاع بوته (سانتی متر) Plant height (cm)	طول بالال (سانتی متر) Ear length (cm)	قطر بالال (سانتی متر) Ear diameter (cm)	تعداد ردیف دانه در بالال Row number. per ear	تعداد دانه در ردیف Kernel number. per row	وزن هزار دانه (گرم) 1000 kernel weight (g)	درصد چوب بالال (درصد) Cob percent (%)	شاخص برداشت Harvest index
									الگوی کاشت (Planting Pattern)
یک ردیفه	Ridge Planting	4.09b	151.74c	13.26b	3.52c	12.60b	36.14c	187.66b	35.81ab
	Double Rows	5.45ab	163.12b	15.24ab	4.05b	14.14a	38.35b	231.79a	39.03a
	Furrow planting	7.55a	178.89a	16.06a	4.26a	14.74a	40.77a	242.89a	24.94b
زمان مصرف سیتوکینین (Time of cytokinin application)									
بدون مصرف	Control	5.82a	165.35ab	15.26a	3.97a	13.52b	39.49a	232.66a	32.70a
۵ تا ۶ برگی	V5- V6	5.62a	160.70b	14.69a	3.91a	13.42b	38.70ab	233.05a	33.59a
۸ تا ۱۰ برگی	V8- V10	5.64a	167.68a	14.61a	3.95a	14.55a	37.07b	196.91b	33.49a
زمان مصرف اکسین (Time of Auxin application)									
بدون مصرف	Control	5.27b	164.36a	15.00a	3.97a	13.84a	38.94a	212.28b	36.00a
ظهور ابریشم	Silking	6.57a	165.44a	14.70a	3.90a	13.78a	37.95a	237.12a	27.32b
دو هفته بعد	Two Weeks Later	5.25b	163.94a	14.86a	3.97a	13.87a	38.36a	212.92b	36.46a

اعداد با حروف مشترک در هر ستون دارای اختلاف معنی دار ($P<0.05$) با آزمون چند دامنه‌ای دانکن نمی‌باشند.

Numbers followed by the same letter are not significantly differentns ($P<0.05$), using Duncan's Multiple Range Test.

مرحله رشد رویشی قبل از ظهور ابریشم آغاز می‌شود. در این زمان گیاه حداکثر رشد طولی خود را انجام داده است (۱۱). احتمالاً به دلیل اینکه در این تحقیق محلول پاشی هورمون اکسین بعد از زمان رسیدن گیاه به حداکثر رشد طولی انجام شده است تنوانت ارتفاع بوته را تحت تأثیر قرار بدهد.

طول بالال در سطح ۵٪ تحت تأثیر الگوی کاشت قرار گرفت (جدول ۱). مقایسه میانگین‌ها نشان داد که بیشترین طول بالال از روش کاشت کف فارو با ۱۶/۰۶ و کمترین مقدار این صفت با ۱۳/۲۶ سانتی متر با الگوی کشت معمول به دست آمد (جدول ۲). یزدی مطلق و همکاران (۴۹) و حسن‌زاده مقدم (۱۸) دریافتند که در شرایط سور و روشن کاشت کف فارو از نظر صفت طول بالال نسبت به روش کاشت روی پشتنه برتری نشان داد. طول بالال تحت تأثیر زمان محلول پاشی اکسین و سیتوکینین قرار نگرفت.

اثر الگوی کاشت در سطح ۱٪ بر روی قطر بالال معنی دار شد (جدول ۱). بیشترین مقدار آن از الگوی کاشت کف فارو با ۴/۲۶ و کمترین قطر بالال برابر با ۳/۵۲ سانتی متر با الگوی کشت معمول بود (جدول ۲). در این مورد نتایج تحقیق با یافته‌های حسن‌زاده مقدم مطابقت دارد. قطر بالال به زمان مصرف هورمون‌های اکسین و سیتوکینین واکنشی نشان نداد.

اثر الگوی کاشت در سطح ۱٪ بر روی تعداد ردیف دانه در بالال

برخلاف اکسین، سیتوکینین باعث کاهش تقسیم سلولی در ریشه و افزایش تقسیم سلولی در اندام‌های هوایی می‌شود (۳۷). به طور کلی پذیرفته شده است که سیتوکینین‌ها در رأس ریشه و بذرور در حال نمو گیاهان تولید می‌شود (۴۸) و از طریق آوند آبکش از ریشه به بخش‌های هوایی منتقل می‌شوند. با این حال نقش سیتوکینین‌ها در بسیاری از فرآیندهای مهم رشد و نمو گیاهان از طریق مصرف سیتوکینین خارجی به اثبات رسیده است (۲).

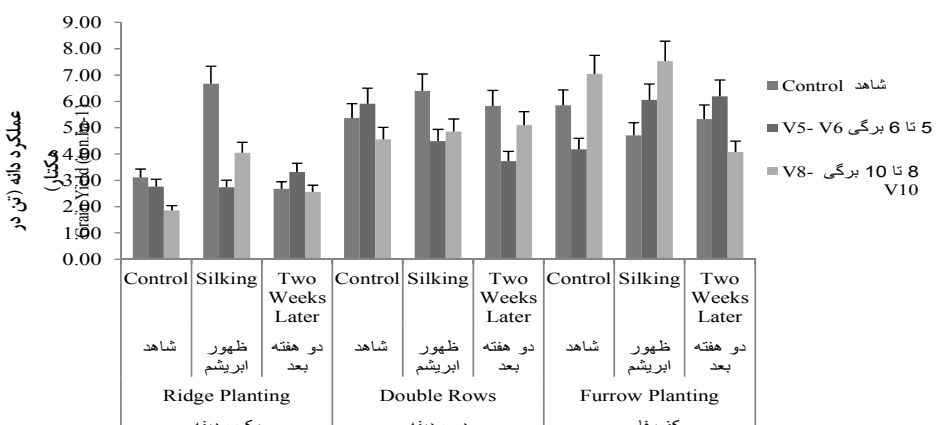
کاهش مشاهده شده در سیتوکینین‌های درونی تحت شرایط تنفس مخصوص می‌کند که امکان دارد سطوح سیتوکینین یک فاکتور محدود کننده تحت شرایط تنفس باشد (۶). پیشنهاد شد که کاهش در محظای سیتوکینین پاسخ اولیه به تنفس شوری بود (۴۵). در آزمایشی بنزیل آدنین بر کاهش سرعت رشد، نسبت ساقه به ریشه و محظای سیتوکینین درونی در یک واریته حساس به شوری جو غله کرد (۲۸). بیشترین رشد طولی ذرت طی مرحله ۹ تا ۱۰ برگی اتفاق می‌افتد (۱۱) که در واقع علت افزایش ارتفاع بوته با مصرف سیتوکینین در مرحله ۸ تا ۱۰ برگی نسبت به تیمار شاهد و زمان مصرف ۵ تا ۶ برگی را می‌توان به این موضوع ربط داد.

ارتفاع بوته تحت تأثیر زمان محلول پاشی اکسین قرار نگرفت (جدول ۱). هورمون اکسین به عنوان هورمونی جهت افزایش طویل شدن سلولی شناخته می‌شود (۴۴). ظهور گل نر به عنوان آخرین

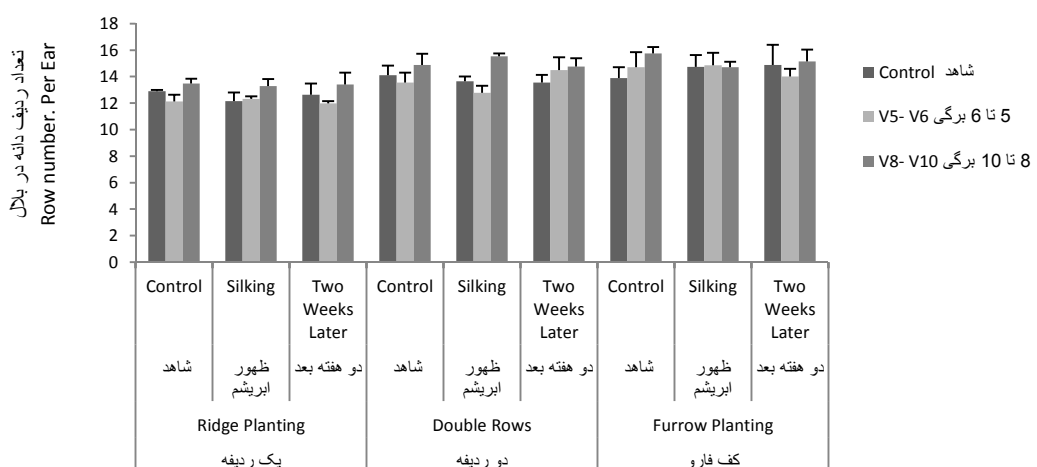
و شرایط نامساعد حیات را برای گیاه به وجود می‌آورد. برای رفع مشکلات الگوی کاشت معمولی، کشت دو ردیف ذرت در کنار پشت‌های به صورت زیگزاگ و کشت کف فارو توصیه شده است، که به علت توزیع بهتر بوته‌ها و عدم تجمع نمک پای بوته‌ها در شرایط شور اثر مثبت بر عملکرد خواهد داشت (۳). تعداد ردیف دانه در بلال ذرت در مرحله هشت برگی تعیین می‌شود (۱۱). می‌توان عدم واکنش تعداد ردیف دانه در بلال به زمان مصرف اکسین را با در نظر گرفتن این مسئله که تعداد ردیف دانه در بلال طی مراحل رشد رویشی مشخص می‌شود ولی اکسین در این تحقیق طی رشد زایشی مصرف شده است، توجیه نمود.

الگوی کاشت توانست تعداد دانه در ردیف بلال را در سطح ۱٪ تحت تأثیر قرار دهد (جدول ۱) و بیشترین مقدار این صفت مربوط به الگوی کاشت کف فارو برابر با ۴۰/۷۷ بود (جدول ۲). زمان محلول‌پاشی سیتوکینین در سطح ۵٪ بر تعداد دانه در ردیف بلال تأثیر گذاشت (جدول ۱) و بیشترین میزان آن برابر با ۳۹/۴۹ با تیمار شاهد به دست آمد (جدول ۲). تعداد دانه در ردیف بلال در الگوهای مختلف کاشت در سطح ۵٪ تحت تأثیر زمان محلول‌پاشی اکسین و سیتوکینین قرار گرفت. در الگوی کشت معمول و دوردیفه بیشترین تعداد دانه در ردیف با محلول‌پاشی سیتوکینین در مرحله ۸ تا ۱۰ برگی و بدون محلول‌پاشی سیتوکینین در مرحله ۵ تا ۶ برگی و بدون مصرف اکسین به دست آمد. در حالی که در الگوی کشت کف فارو بیشترین تعداد دانه در ردیف با محلول‌پاشی سیتوکینین در مرحله ۸ تا ۱۰ برگی و بدون محلول‌پاشی اکسین و کمترین مقدار آن نیز با محلول‌پاشی ۱۰ برگی و محلول‌پاشی اکسین در زمان ظهور ابریشم بود (شکل ۳).

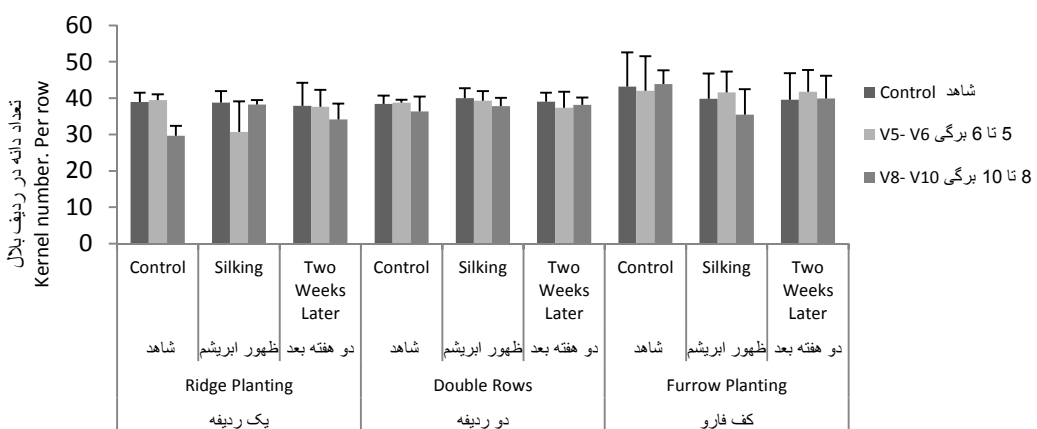
معنی دار بود (جدول ۱) و بیشترین مقدار آن از الگوی کاشت کف فارو تعداد ۱۴/۷۴ بود که البته با مقدار حاصل از الگوی کاشت دو ردیفه تفاوت معنی‌داری نشان نداد (جدول ۲). تعداد ردیف دانه در بلال در سطح ۱٪ تحت تأثیر زمان محلول‌پاشی سیتوکینین قرار گرفت (جدول ۱) و بیشترین میزان آن در زمان محلول‌پاشی ۸ تا ۱۰ برگی برابر با ۱۴/۵۵ به دست آمد (جدول ۲). اثر زمان محلول‌پاشی اکسین بر تعداد ردیف دانه در بلال معنی دار نشد. تعداد ردیف دانه در بلال در الگوهای مختلف کاشت در سطح ۱٪ تحت تأثیر زمان محلول‌پاشی اکسین و سیتوکینین قرار گرفت. بیشترین ردیف دانه در بلال در الگوی کشت معمول با محلول‌پاشی سیتوکینین در مرحله ۸ تا ۱۰ برگی و مصرف اکسین در زمان دو هفته بعد از ظهور ابریشم و کمترین مقدار آن با محلول‌پاشی سیتوکینین در مرحله ۵ تا ۶ برگی و مصرف اکسین در زمان دو هفته بعد از ظهور ابریشم مشاهده شد در حالی که در الگوی کشت دوردیفه بیشترین ردیف دانه در بلال با محلول‌پاشی سیتوکینین در مرحله ۸ تا ۱۰ برگی و مصرف اکسین در زمان ظهور ابریشم به دست آمد. همچنین در الگوی کشت کف فارو بیشترین تعداد ردیف دانه در بلال با محلول‌پاشی سیتوکینین در مرحله ۸ تا ۱۰ برگی و بدون مصرف اکسین بود در حالی که کمترین مقدار بدون مصرف هر دو هورمون به دست آمد (شکل ۲). عموماً تعداد ردیف دانه در بلال تحت کنترل مکانیسم‌های ژنتیکی بوده ولی عوامل کنترلی نیز بر آن تأثیرگذارند (۲۶). در روش کاشت معمول، بعد از هر آبیاری بر اثر تبخر مقداری نمک بر روی پشت‌های باقی می‌ماند که بر اثر آبیاری‌های متعدد این نمک زیاد و زیادتر گشته



شکل ۱- عملکرد دانه در الگوهای مختلف محلول‌پاشی هورمون‌های سیتوکینین و اکسین
Figure 1- Grain yield in different planting patterns at cytokinin and auxin different times of spraying



شکل ۲- تعداد ردیف دانه در بالال در روش‌های مختلف کاشت در زمان‌های مختلف محلول‌پاشی هورمون‌های سیتوکینین و اکسین
Figure 2- Row number Per Ear in different planting patterns at cytokinin and auxin different times of spraying



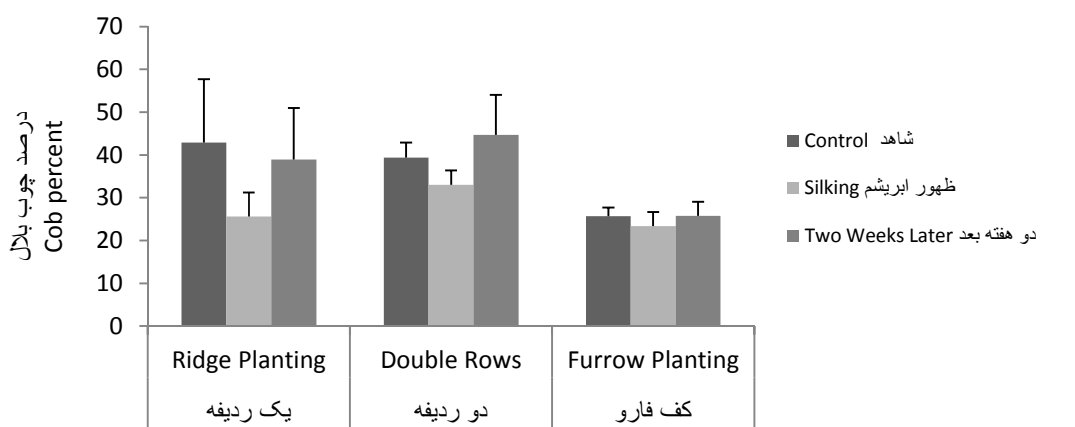
شکل ۳- تعداد دانه در ردیف در روش‌های مختلف کاشت در زمان‌های مختلف محلول‌پاشی سیتوکینین و اکسین
Figure 3- Kernel number Per row in different planting patterns at cytokinin and auxin different times of spraying

و کمترین درصد چوب بالال نیز با میانگین $24/94\%$ با کشت کف فارو با به دست آمد. اثر زمان محلول‌پاشی سیتوکینین بر درصد چوب بالال معنی‌دار نشد ولی در سطح 1% تحت تأثیر زمان محلول‌پاشی اکسین قرار گرفت (جدول ۱). بیشترین درصد چوب بالال برابر با $36/46\%$ مربوط به محلول‌پاشی اکسین در زمان دو هفته بعد از ظهور ابریشم بود که البته تفاوت معنی‌داری با تیمار شاهد نداشت. کمترین درصد چوب بالال نیز با میانگین $27/32\%$ به زمان محلول‌پاشی همزمان با ظهور ابریشم اختصاص داشت. اثر متقابل الگوی کاشت و زمان محلول‌پاشی اکسین نیز بر درصد چوب بالال در سطح 1% معنی‌دار بود. بیشترین درصد چوب بالال در الگوی کشت معمول برابر با $42/91\%$ درصد با تیمار شاهد به دست آمد در حالی که در کشت دوردیفه و کف فارو بیشترین درصد چوب بالال به ترتیب برابر با $44/71$ و $25/74$ درصد با زمان محلول‌پاشی دو

به طور کلی در بین همه تیمارها بیشترین مقدار آن با الگوی کاشت کف فارو، بدون محلول‌پاشی اکسین و محلول‌پاشی سیتوکینین در مرحله ۸ تا $10/83$ برقی برابر با $43/83$ به دست آمد. با وجود شرایط نامناسب محیطی از جمله تش شوری، ظهور ابریشم در مقایسه با ظهور گل تاجی خیلی بیشتر به تعویق می‌افتد و تعداد تخمک‌های تلقیح یافته (دانه) کاہش می‌یابد، به عبارت دیگر ظرفیت ذخیره‌سازی مقصد کاہش می‌یابد و نسبت گلچه‌های عقیم افزایش یافته و تعداد دانه در ردیف کاہش می‌یابد. در تحقیقی کاربرد مواد محرک رشد گیاهی اثرات مفیدی بر عملکرد گندم داشته و افزایش عملکرد به دلیل افزایش تعداد دانه در واحد سطح بوده است (۳۹).

اثر الگوی کشت بر درصد چوب بالال در سطح 1% معنی‌دار بود (جدول ۱) و بیشترین میزان این صفت با $39/03\%$ با کشت دوردیفه

(جدول ۱). در الگوی کاشت معمول و کف فارو بیشترین مقدار این صفت با مصرف در زمان ظهور ابریشم بود در حالی که در الگوی کشت دو ردیفه به زمان مصرف دو هفته بعد از ظهور ابریشم اختصاص داشت. کمترین وزن هزار دانه در کشت معمول به زمان مصرف دو هفته بعد از ظهور ابریشم، در کشت دو ردیفه به زمان مصرف دو هفته بعد از ظهور ابریشم و در کشت کف فارو به تیمار شاهد اختصاص داشت (شکل ۶). روند کاهشی عملکرد دانه با افزایش شوری می‌تواند به دلیل کاهش وزن هزار دانه و اختلال در گرده‌افشانی و مراحل فتوستنتزی گیاه و انتقال مواد به دانه‌ها در شرایط شور باشد (۲۸). کاهش وزن هزار دانه ممکن است به یکی از دو دلیل کاهش میزان مواد فتوستنتزی وارد شده به بالا به دلیل اختصاص بخشی از مواد فتوستنتزی تولید شده برای تنظیم اسمزی مورد نیاز گیاه و یا کاهش طول دوره پر شدن دانه‌ها باشد (۳۳). یکی از اهداف محلول‌پاشی هورمون‌های گیاهی طی دوره زایشی افزایش فتوستنتزی و فعالیت فتوستنتزی برگ‌ها برای انتقال مواد دوره سبزینگی و عملکرد پوششی هورمون‌های گیاهی در تنظیم گزارش دادند که وزن تک دانه ذرت یکی از اجزاء مؤثر در تنظیم عملکرد است، اما نسبت به دیگر اجزاء عملکرد از حساسیت کمتری برخوردار است. براساس گزارش کوچکی و سرمدنا (۲۷) هورمون‌ها با تأثیر بر تشکیل، نمو و از بین رفتن گل‌ها و بذرها اثر مهمی در روابط بین مبدأ و مقصد گیاهان می‌گذارند و ممکن است از طریق تأثیر بر روی نیاز مقصده طور غیر مستقیم روی سرعت انتقال اثر بگذارند. با توجه به عملکرد فیزیولوژیکی سیتوکینین هیچ تردیدی وجود ندارد که کاهش سطوح سیتوکینین داخلی می‌تواند باعث کاهش فعالیت مقصد و تسريع روند پیری در شرایط تنش شوری شود (۳۷). اثرات مثبت اکسین در نمو دانه از طریق افزایش انتقال فرآورده‌های فتوستنتزی در مورد ذرت به اثبات رسیده است (۹).



شکل ۴- درصد چوب بالا در روش‌های مختلف کاشت در زمان‌های مختلف محلول‌پاشی هورمون اکسین
Figure 4- Cob percent in different planting patterns at auxin different times of spraying

هفته بعد از ظهور ابریشم مشاهده شد. همچنین کمترین درصد چوب بالا در هر سه الگوی کشت به ترتیب برابر با $32/99$ ، $25/59$ و $23/37$ درصد به محلول‌پاشی اکسین در زمان ظهور ابریشم اختصاص داشت (شکل ۴). وزن هزار دانه در سطح ۱٪ تحت تأثیر الگوی کاشت قرار گرفت (جدول ۱) و بیشترین مقدار آن با کشت کف فارو برابر با $242/89$ گرم به دست آمد که البته تفاوت معنی‌داری با مقدار مشاهده شده در الگوی کشت دو ردیفه نشان نداد. همچنین کمترین وزن هزار دانه با $187/66$ گرم به الگوی کشت معمول اختصاص داشت (جدول ۲).

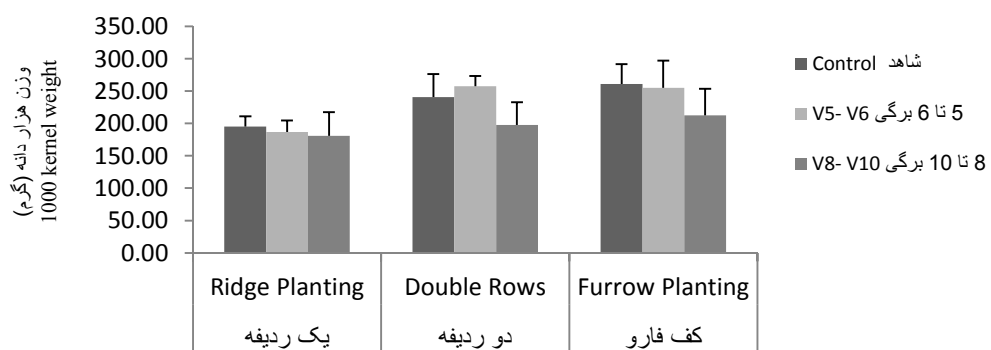
اثر زمان محلول‌پاشی سیتوکینین در سطح ۱٪ بر وزن هزار دانه معنی‌دار شد (جدول ۱) به طوری که بیشترین میزان آن با $233/05$ گرم در تیمار محلول‌پاشی در مرحله ۵ تا ۶ برقی به دست آمد ولی اختلاف معنی‌داری با تیمار شاهد نداشت (جدول ۲). کمترین مقدار نیز برابر با $196/91$ گرم به محلول‌پاشی در مرحله ۸ تا ۱۰ برقی اختصاص داشت. اثر محلول‌پاشی اکسین نیز در سطح ۱٪ بر وزن هزار دانه معنی‌دار شد (جدول ۱) و بیشترین میزان این صفت با $237/12$ گرم در تیمار محلول‌پاشی در زمان ظهور ابریشم حاصل شد و کمترین میزان نیز با $212/28$ گرم با تیمار شاهد به دست آمد ولی اختلاف معنی‌داری با تیمار محلول‌پاشی در زمان دو هفته بعد از ظهور ابریشم نداشت (جدول ۲). اثر متقابل الگوی کاشت و زمان محلول‌پاشی سیتوکینین بر وزن هزار دانه در سطح ۵٪ معنی‌دار بود (جدول ۱). در الگوی کاشت معمول و کف فارو بیشترین مقدار این صفت بدون مصرف سیتوکینین ولی در الگوی کشت دوردیفه بیشترین مقدار به مصرف در مرحله ۵ تا ۶ برقی تعلق داشت. در هر سه الگوی کشت کمترین وزن هزار دانه با مصرف در مرحله ۸ تا ۱۰ برقی مشاهده شد (شکل ۵). اثر متقابل الگوی کاشت و زمان محلول‌پاشی اکسین نیز بر وزن هزار دانه در سطح ۱٪ معنی‌دار بود

به دست آمد ولی تفاوت معنی‌داری با تیمار شاهد نداشت و کمترین مقدار نیز برابر با ۲۲/۸۸ درصد به تیمار محلول پاشی در مرحله ۸ تا ۱۰ برگی اختصاص داشت (جدول ۲).

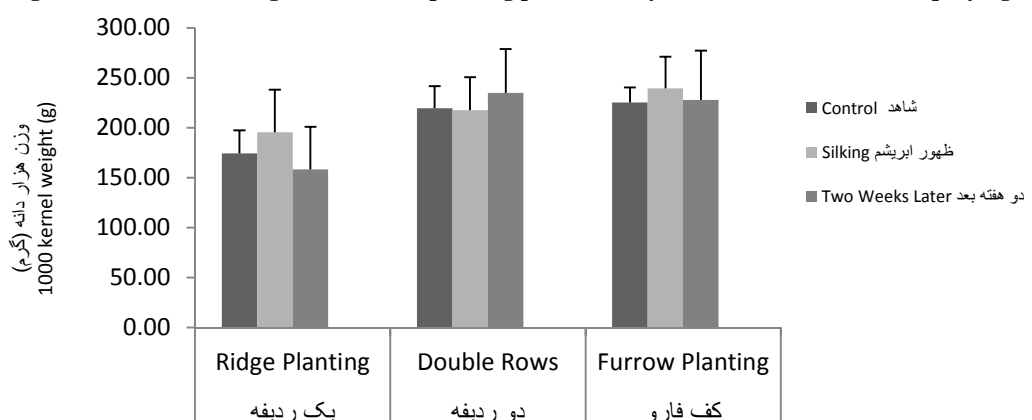
اثر متقابل الگوی کاشت و زمان محلول پاشی سیتوکینین بر شاخص برداشت در سطح ۵٪ معنی‌دار بود. در الگوهای کشت معمول و دوردیفه بیشترین شاخص برداشت با مصرف سیتوکینین در مرحله ۵ تا ۶ برگی به دست آمد در حالی که در الگوی کشت کف فارو بیشترین شاخص برداشت بدون مصرف سیتوکینین حاصل شد. در هر سه الگوی کشت کمترین شاخص برداشت به زمان مصرف ۸ تا ۱۰ برگی اختصاص داشت (شکل ۷) که احتمالاً به دلیل برهم خوردن تعادل هورمونی در این تیمار می‌باشد. عواملی که انتقال آسیمیلاسیون مقصد را کنترل می‌کنند، روی توزیع مواد فتوستنتزی نیز کنترل دارند و هورمون‌ها از طریق اثر روی فعالیت آنزیمی و انعطاف‌پذیری سلول‌های مقصد تأثیر بهسزایی روی توزیع مواد فتوستنتزی دارند (۲۷).

الگوی کاشت توانست شاخص برداشت را در سطح ۵٪ تحت تأثیر قرار دهد (جدول ۱) و بیشترین میزان این صفت برابر با ۲۹/۷۵ درصد با الگوی کشت معمول به دست آمد در حالی که کمترین شاخص برداشت برابر با ۲۲/۸ درصد مربوط به الگوی کشت دوردیفه بود (جدول ۲). افزایش شاخص برداشت با الگوی کشت معمول به دلیل افزایش عملکرد دانه نبود، بلکه با توجه به رابطه بین شاخص برداشت و عملکرد بیولوژیکی، کاهش بیشتر عملکرد بیولوژیکی نسبت به عملکرد دانه در این روش نسبت به روش‌های دیگر باعث کاهش شاخص برداشت شد.

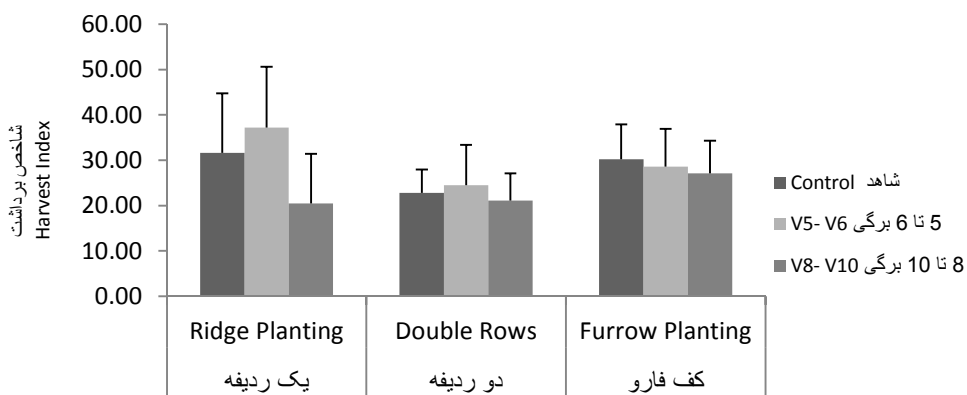
زمان محلول پاشی هورمون نیز در سطح ۱٪ بر شاخص برداشت معنی‌دار بود (جدول ۱) به طوری که در مورد اکسین بیشترین میزان شاخص برداشت با ۳۵/۱۱ درصد با محلول پاشی در زمان ظهر ابریشم بود در حالی که کمترین میزان با ۲۲/۲۳ درصد با تیمار شاهد مشاهده گردید که البته با تیمار محلول پاشی در زمان دو هفته بعد از ظهر ابریشم تفاوت معنی‌داری نداشت. در مورد سیتوکینین بیشترین شاخص برداشت با ۳۰/۰۹ با محلول پاشی در مرحله ۵ تا ۶ برگی



شکل ۵- وزن هزار دانه در روش‌های مختلف محلول پاشی هورمون سیتوکینین
Figure 5- 1000 kernel weight in different planting patterns at cytokinin different times of spraying



شکل ۶- وزن هزار دانه در روش‌های مختلف محلول پاشی هورمون اکسین
Figure 6- 1000 kernel weight in different planting patterns at auxin different times of spraying



شکل ۷- شاخص برداشت در روش‌های مختلف کاشت در زمان‌های مختلف محلول پاشی هورمون سیتوکینین
Figure 7- Harvest index in different planting patterns at cytokinin different times of spraying

ظرفیت مقصود تأثیرگذار است. اکسین موجب تبدیل بیشتر ساکاروز به نشاسته و افزایش برقراری شبیب غلظت می‌شود و از این طریق ظرفیت مخزن (وزن دانه) افزایش می‌یابد که در این تحقیق نیز هورمون اکسین از طریق افزایش وزن هزار دانه عملکرد را افزایش داد. از طرفی نکته قابل توجه در این آزمایش اهمیت استفاده از آبهای شور و لب‌شور و سازگاری در کشاورزی مناطق شور می‌باشد که با تعییر روش‌های کاشت در شرایط شور می‌تواند اثر شگرفی بر روی عملکرد دانه گذاشته به نحوی که اثر شوری تا حد امکان کاهش یابد زیرا با روش کاشت کف فارو، به دلیل کاهش تجمع نمک در آن، محیط مناسب‌تری نسبت به روش کاشت روی پشتہ برای رشد گیاه فراهم می‌شود.

نتیجه‌گیری

افزایش شوری همراه با کاهش سطوح اکسین و سیتوکینین در بافت‌های گیاهی و افزایش در سطوح ABA و جاسمونیک اسید می‌باشد. تغییرات ایجاد شده در سطوح هورمون‌ها در بافت‌های گیاهی یک فرآیند آغازی کنترل کننده کاهش رشد ناشی از شوری می‌باشد. تتابع این تحقیق نشان داد که مصرف خارجی هورمون‌های سیتوکینین و اکسین، می‌تواند مقاومت ذرت را در برابر شوری افزایش داده و پتانسیل دانه را به شرایط مطلوب نزدیک نماید. مصرف سیتوکینین در مرحله تشکیل جوانه بالا، توانست تعداد مخزن (دانه) را افزایش دهد. اکسین با تأثیر بر تقسیم سلولی و بزرگ شدن سلول‌های آندوسپرم و یا کنترل مواد پرورده به سمت مقصود بر

References

- Ashraf, M., Azhar, N., and Hussain, M. 2006. Indole acetic acid (IAA) induced changes in growth, relative water contents and gas exchange attributes of barley (*Hordeum vulgare* L.) grown under water stress conditions. Journal of Plant Growth Regulation 50: 85-90.
- Ashraf, M., Athar, H. R., Harris, P. J. C., and Kwon, T. R. 2008. Some prospective strategies for improving crop salt tolerance. Advances in Agronomy 97: 45-110.
- Barzegari, M. 2006. Research report on planting corn in furrow on light, saline and sandy soils. Safi Abad Agricultural Research Center of Dezful, 32p. (in Persian).
- Blackman, P. G., and Davies, W. J. 1984. Modification of the CO₂ responses of maize stomata by abscisic acid and by naturally occurring and synthetic cytokinins. Journal of Experimental Botany 35: 174-179.
- Boothby, D., and Wright, S. T. C. 1962. Effect of kinetin and other growth regulators on starch degradation. Nature, 196: 389-390.
- Boucaud, J., and Ungar, I. A. 1976. Hormonal control of germination under saline conditions of three halophyte taxa in genus *Suaeda*. Physiological Plantarum 36: 197-200.
- Brault, M., and Maldiney, R. 1999. Mechanisms of cytokinin action. Plant Physiology and Biochemistry 37: 403-412.
- Brenner, M. L., and Cheikh, N. 1995. The role of hormones in photosynthate partitioning and seed filling. PP 649–670. In: Davies P.J. (ed.), Plant Hormones, Kluwer Academic Publishers, Dordrecht, The Netherlands.
- Darussalam Cole, M. A., and Patrick, J. W. 1998. Auxin control of photoassimilate transport to and within developing grains of wheat. Australian Journal of Plant Physiology 25: 69-77.
- Esmaeili, A., and Roshan, A. 2006. Effects of nitrogen fertilizer on the environment. Zeitun Journal 18: 20-30. (in

Persian).

11. Espinoza, L., and Ross, J. 1996. Corn production. Arkansas, Arkansas Univ, Pp: 5-10.
12. FAO report. 2013. <http://www.Fao.Org/economic/ess/ess-publication/ess-yearbook/en/#>. VNh3lyx8XGg.
13. Fischer, R. A., and Miles, R. E. 1973. The role of spatial pattern in the competition between crop plants and weeds.A theoretical analysis.Math. Biology Science 18: 35.
14. Foidle, N., Makkar, H. P. S., and Becker, K. 2001. The Potential of *Moringa Oleifera* for Agricultural and Industrial Uses. PP 45-76. In: Fuglie, L. J. (ed.), The Miracle Tree: The Multiple Attribute of Moringa.
15. Garsia, R., and Hanowy, J. J. 1996. Foliar fertilization of Soybean during the seed filling period. Agronomy Journal 68: 653-657.
16. Grossman, S., and Leshem, Y. 2006. Lowering of Endogenous Lipoxygenase Activity in *Pisum sativum* Foliage by Cytokinin as Related to Senescence. Physiological Plantarum 43: 359-362.
17. Hansen, H. K., and Grossmann, K. 2000. Auxin-induced ethylene triggers abscisic acid biosynthesis and growth inhibition. Plant Physiology 124: 1437-1448.
18. Hasanzadeh- Moghaddam, H. 2004. Effect of cultivation methods and plant density on yield and forage maize in saline soils. Number series, 86/341. Agriculture and Natural Resources Research Center of Khorasan Razavi. (in Persian).
19. Hashemi- Dezfuli, S., Alami, S., Siadat, S. A., and Komaili, M. 2001. Effect of planting date on yield of two varieties of sweet corn on the weather conditions in Khuzestan. J of Agri Sci. 32: 681-689. (in Persian with English abstract).
20. Hoffman, G. J., Mass, E. V., Prichard, T. L., and Meyer, J. L. 1983. Salt tolerance of corn in the Sacramento-San Joaquin Delta of California. Irrigation Science 4: 31-44.
21. Huu-Sheng, L., and Tim, S. 1993. Role of Auxin in Maize Endosperm Development. Plant Physiology 103: 273-280.
22. Iqbal, M., and Ashraf, M. 2010. Gibberellic acid mediated induction of salt tolerance in wheat plants: Growth, ionic partitioning, photosynthesis, yield and hormonal homeostasis. Environmental and Experimental Botany 86: 76-85.
23. Kaya, C., Tuna, A. L., and Yokas, I. 2009. The Role of Plant Hormones in Plants under Salinity Stress. Book Salinity and Water Stress 44: 45-50.
24. Kaya, C., Tuna, A. L., and Okant, A. M. 2010. Effect of foliar applied kinetin and indole acetic acid on maize plants grown under saline conditions. Turkish Journal of Agriculture and Forestry 34: 529-538.
25. Khavari- Khorasani, S. 2012. The Handbook of corn production. Gholami Press, 250 pp. (in Persian).
26. Koocheki, A., and Banayan, M. 1994. Crop physiology. SID Publication of Mashhad. (in Persian).
27. Koocheki, A., and Sarmadnia, G. 2012. Crop physiology. SID Publication of Mashhad. (in Persian).
28. Kuiper, D., Schuit, J., and Kuiper, P. J. C. 1990. Actual cytokinin concentrations in plant tissue as an indicator for salt resistance in cereals. Plant Soil 123: 243-250.
29. Lacerda, C. F. D., Cambraia, J., Oliva, M. A., Ruiz, H. A., and Prisco, J. T. 2003. Solute accumulation and distribution during shoot and leaf development in two sorghum genotypes under salt stress. Environmental and Experimental Botany 49: 107-120.
30. Letham, D. S. 1978. Cytokinins. PP 205-243. In: Letham DS, Goodwin PB, Higgins TJV (ed) Phytohormones and related compounds. Vol 1. Elsevier, Amsterdam.
31. Machanda, G., and Garg, N. 2008. Salinity and its effects on the functional biology of legumes. Agricultural Plant Physiology 30: 595-618.
32. Mirmohammadi- Maibodi, S. A., and Ghareyazi, B. 2002. Physiological and breeding aspects of plant salinity. University of Isfahan Press, 245 pp. (in Persian).
33. Mozafar, A., and Goodin, J. R. 1986. Salt tolerance of two different drought-tolerant wheat genotypes during germination and early seedling growth. Plant and Soil Science 96: 303-316.
34. Najafinejad, H., and Farzamniya, M. 2006. Effect of planting pattern on yield, some agronomic traits and water use efficiency in grain corn. Pajouhesh and Sazandegi 82: 46-53. (in Persian with English abstract).
35. Natarajan, M. 1989. Cropping system some concepts and methodologies. PP 680-730. I. N: S. R. Waddington, A. F. E. plamar, and O. T: Edje (Eds).Spatial arrangement of the component crop in developing inter. CYMMIT, CIAT, and government of Malawi.
36. Noormohamadi, Gh., Siadat, A., and Kashani, A. 2009. Cereal Agronomy. Shahid Chamran University of Ahvaz Press, 441 pp. (in Persian).
37. Nordstrom, A., Tarkowski, P., Tarkowska, D., Norbaek, R., Astot, C., Dolezal, K., and Sandberg, G. 2004. Auxin regulation of cytokinin biosynthesis in *Arabidopsis thaliana*: a factor of potential importance for auxin-cytokinin regulated development. Proceedings of the National Academy of Sciences of the USA 101: 8039-8044.
38. Poneleit, C. G., Egli, D. B., Cornelius, P. L., and Reicosky, D. A. 1980. Variation and associations of kernel growth characteristics in maize population. Crop Science 20: 766-770.
39. Rajala, A., and Peltonen-saninio, P. 2001. Plant Growth Regulator Effects on Spring Cereal Root and Shoot Growth. Agronomy Journal 93: 936-943.

40. Rezvani Moghaddam, P., and Koocheki, A. 2001. Research history on salt affected lands of Iran: Present and future prospects – Halophytic ecosystem. International Symposium on Prospects of Saline Agriculture in the GCC countries, Dubai, UAE.
41. Sakhabutdinova, A. R., Fatkhutdinova, D. R., Bezrukova, M. V., and Shakirova, F. M. 2003. Salicylic acid prevents the damaging action of stress factors on wheat plants. Bulgarian Journal of Plant Physiology, Special Issue: 314-319.
42. Siadat, S. A., and Hasemi-Dezfouli, S. A. 2000. Effect of plant density and planting pattern of grain yield and yield components of corn (*Zea mays* L.) Hybrid KSC 704. Journal of Agricultural Science 9: 39-48. (in Persian with English abstract).
43. Tarakhovskaya, E. R., Kang, E. J., Kim, K. Y., and Garbary, D. J. 2013. Influence of phytohormones on morphology and chlorophyll a fluorescence parameters in embryos of *Fucus vesiculosus* L. Russian Journal of Plant Physiology 60: 176-183.
44. Taslima, K., Hossain, F., and Ara, U. 2011. Effect of indole-3-acetic acid (IAA) on biochemical responses of cowpea (*Vigna unguiculata* (L.) Walp) var. bari fellon-1. Bangladesh Journal of Scientific and Industrial Research 46: 77-82.
45. Thomas, J. C., McElwain, E. F., and Bohnert, H. J. 1992. Convergent induction of osmotic stress-responses: abscisic acid, cytokinin, and the effects of NaCl. Plant Physiology 100: 416-423.
46. Turan, M. A., Awad-Alkarim, A. H., Taban, N., and Taban, S. 2009. Effect of salt stress on growth, stomatal resistance, proline and chlorophyll concentrations on maize plant. African Journal of Agricultural Research 4: 893-897.
47. Xie, Z., Jiang, D., Cao, W., Dai, T., and Jing, Q. 2003. Relationships of endogenous plant hormones to accumulation of grain protein and starch in winter wheat under different post-anthesis soil water statuses. Plant Growth Regulation 41: 117-127.
48. Yang, J., Wang, Z., Zhu, Q., and Lang, Y. 1999. Regulation of ABA and GA to rice grain filling. Acta Agronomy Sinica 25: 341-348.
49. Yazdi- Motlagh, A., Khavari- Khorasani, S., Bakhtiari, S., and Musa- Abadi, J. 2012. Effect of planting pattern on Morphophysiological characteristics, yield and yield components of forage maize varieties (*Zea mays* L.) in saline conditions. Journal of Agricultural Ecology 4: 324-327. (in Persian with English abstract).



Study of Cytokinin and Auxin Hormones and Planting Pattern Effects on Yield and Yield Components of Grain Maize (*Zea mays L.*) under Saline Conditions

D. Davani¹- M. Nabipour²- H. Roshanfekr Dezfooli³

Received: 16-07-2014

Accepted: 10-02-2015

Introduction

Maize (*Zea mays L.*) which belongs to the Poaceae family is the third important cereal crop of the world after wheat and rice. Salinity is one of the major environmental factors limiting plant growth and productivity. Maize is sensitive to salinity. Planting method is a crucial factor for improving crop yield. Planting methods in saline and non-saline conditions are different. Kinetin is one of the cytokinins known to significantly improve the growth of crop plants grown under salinity. Indole acetic acid (IAA) is also known to play a significant role in plant tolerance to salt stress. However, little information appears to be available on the relationship between salinity tolerance and auxin or cytokinins levels in plants. In this respect, the objective of this study was to study the effects of foliar applications of cytokinin and auxin hormones on yield and yield components of grain maize under different planting patterns in saline conditions.

Materials and Methods

The experiment was carried out at Bushehr Agricultural and Natural Resources Research Center, Dashtestan station with 29° 16' E latitude and 51° 31' N, longitude and 70 m above the sea surface during the 2013 growing season. Dashtestan region is a warm-arid region with 250 mm precipitation per year. The field plowed by April 2013 and then prepared and sowed by August 2013. There were five rows with 75 cm distance. The experiment was conducted as a split-plot factorial design based on complete randomized blocks with three replications. Planting pattern (ridge planting, double rows of planting on a ridge in zigzag form and furrow planting) as the main factor and time of cytokinin (0 as a control, V5- V6 stage and V8- V10 stage) and auxin (0 as a control, silking stage, two weeks after silking stage) foliar-applied was considered in a factorial. Cytokinin (Benzyl Adenine, Merck) and Auxin (Indole-3-Butyric Acid, Merck) were sprayed on the entire plant in the evening with concentration of 50 and 10 g. l⁻¹, respectively. All morphological and yield component traits measured on 10 randomly selected plants of each plot. Yield was measured in 9 m² for each treatment. Data analyzed using the SAS (Ver.9.1) and comparing of the means was conducted using Duncan's multiple range test.

Results and Discussion

Results showed that the planting pattern had a significant effect on plant height, ear (cob) length, ear diameter, kernel row number, per ear, kernel number per row, 1000-kernel weight, biological yield, grain yield and harvest index. The highest and the lowest yield obtained through furrow planting and conventional planting, respectively. Applying furrow planting, resulted in water use improvement and reducing side effects of saline soils

Cytokinin application in V8- V10 stage produced the highest plant height and row number per ear and the highest 1000-kernel weight and harvest index was belong to the application of cytokinin in V8- V10 stage. The maximum kernel number per row was obtained without cytokinin.

Auxin effect on 1000-kernel weight, biological yield, grain yield and harvest index were significant ($p \leq 0.01$). The highest grain yield by a mean of 6.57 tons.ha⁻¹ produced by time of auxin foliar-applied in the silking stage. It has been found that both auxin and cytokinin may have a role in mediating cell division in the endosperm during the grain-filling stage. Therefore, these hormones might regulate the grain capacity (sink size) for the accumulation of carbohydrates. It has been found that IAA actively participated in the mobilization and accumulation of carbohydrates in seeds. Auxin and cytokinins hormones are also thought to be involved in regulating the sink strength either by mediating the division and enlargement of endosperm cells or by controlling the import of assimilates to the sink.

1- PhD student in plant physiology, Department of Agronomy and Plant breeding, Shahid Chamran University of Ahvaz

2- Professor, Department of Agronomy and Plant breeding, Shahid Chamran University of Ahvaz

3- Associate Prof., Department of Agronomy and Plant breeding, Shahid Chamran University of Ahvaz

(* Corresponding Author Email: davanidavoud@gmail.com)

Conclusions

The results indicated that the foliar application of cytokinins and auxin hormones counteracted some of the salt induced adverse effects and improved the maize yield. Due to its effect on diminishing salt aggregation in relation to ridge planting, furrow planting, prepare semi saline and saline areas for growing crops. It is concluded that furrow planting with CK application in V8- V10 stage (50 g. l^{-1}) and IBA in silking stage (10 g. l^{-1}) reduced the effects of salinity on plant and produced the highest grain yield.

Keywords: Furrow planting, Growth stage, Spraying

تأثیر کاربرد ورمی کمپوست و محلول پاشی چای کمپوست بر خصوصیات رشدی گیاه ذرت

راحله افشارمنش^{۱*} - اصغر رحیمی^۲ - بنیامین ترابی^۳ - عبدالرضا اخگر^۴

تاریخ دریافت: ۱۳۹۳/۰۴/۲۵

تاریخ پذیرش: ۱۳۹۴/۰۵/۱۸

چکیده

به منظور مطالعه اثر سطوح مختلف ورمی کمپوست و محلول پاشی چای کمپوست بر خصوصیات رشدی گیاه ذرت، آزمایشی به صورت فاکتوریل بر پایه بلوک‌های کامل تصادفی در سه تکرار در گلخانه دانشکده کشاورزی دانشگاه ولی عصر (عج) رفسنجان در سال ۱۳۹۲ انجام شد. تیمارها شامل ورمی کمپوست (۰، ۵، ۱۰، ۲۰ و ۳۰ درصد وزنی) و چای کمپوست (محلول پاشی و عدم محلول پاشی) بود. صفاتی که در این آزمایش اندازه‌گیری شد شامل وزن خشک برگ، ساقه و ریشه، حجم ریشه، غلظت روی، مس، منگنز، آهن، نیتروژن و فسفر اندام هوایی بود. نتایج نشان داد که محلول پاشی چای کمپوست سبب افزایش وزن خشک برگ، ساقه و غلظت آهن در ذرت شد. ورمی کمپوست در سطح ۲۵، ۳۰، ۲۵ و ۱۵ درصد وزنی به ترتیب باعث افزایش وزن خشک برگ، ساقه و غلظت آهن، نیتروژن و روی در اندام هوایی شد. نتایج همچنین نشان داد که در شرایط عدم محلول پاشی چای کمپوست بیشترین وزن خشک ریشه، حجم ریشه و غلظت منگنز، فسفر و مس اندام هوایی به ترتیب در سطوح ۳۰، ۳۰، ۲۵ و ۳۰ درصد وزنی ورمی کمپوست به دست آمد و در شرایط محلول پاشی چای کمپوست بیشترین وزن خشک ریشه، حجم ریشه و غلظت منگنز و مس اندام هوایی در تیمار ۱۵ درصد وزنی ورمی کمپوست و بیشترین میزان فسفر اندام هوایی در تیمار ۵ درصد وزنی ورمی کمپوست به دست آمد. به طور کلی در شرایط محلول پاشی چای کمپوست به دلیل فراهمی بیشتر عناصر غذایی میزان کود کمتری مورد نیاز است.

واژه‌های کلیدی: حجم ریشه، عناصر پر مصرف، عناصر کم مصرف، وزن خشک برگ، وزن خشک ساقه

مقدمه

خصوصیات فیزیکوشیمیایی خاک، کاهش نفوذپذیری، افزایش وزن مخصوص ظاهری و اشکال در نفوذپذیری ریشه گیاه و در نهایت باعث کاهش عملکرد می‌شود. بنابراین نیاز فوری به تثبیت و افزایش بهره‌وری از طریق استفاده صحیح کودهای آلی نظری ورمی کمپوست می‌تواند به غنی‌سازی خاک منطقه ریشه کمک کند (۱۷). ورمی کمپوست غنی از عناصر غذایی ماسکرو، میکرو، ویتامین‌ها، آنزیم‌ها، آتسی‌بیوتیک‌ها، بهبود دهنده‌های رشد (۲۱) و مقادیر زیادی از مواد هیومیکی می‌باشد که این مواد از طریق بهبود زیست‌فرآهمی عناصر غذایی خاص، بهویژه آهن و روی و اثر مستقیم بر متابولیسم گیاه باعث افزایش رشد و عملکرد گیاه می‌گردد (۲۵). در مطالعه روی سورگوم (*Sorghum bicolor*) نشان داده شد که مصرف ورمی کمپوست باعث افزایش وزن خشک ساقه، ریشه و تحريك رشد شد که تا حد زیادی مربوط به عناصر غذایی موجود در ورمی کمپوست می‌باشد (۹) و در آزمایش دیگر مشاهده شد مصرف ورمی کمپوست در گیاه ذرت باعث افزایش وزن خشک گیاه شد (۱۱). همچنین مصرف ورمی کمپوست در گیاه نخود باعث افزایش وزن خشک و افزایش تجمع پتاپیم، فسفر، نیتروژن، منگنز و آهن شد (۲۹).

چای کمپوست از قرار دادن مقدار مشخصی ورمی کمپوست در آب

ذرت با نام علمی *Zea mays* یک گیاه تک لپه ساقه بلند از خانواده گرامینه می‌باشد (۱۴). کشت ذرت در جهان رو به افزایش است و یکی از دلایل اصلی کشاورزان برای کشت آن، مقرر آن، صرفه بودن آن می‌باشد ولی کمبود مواد مغذی نیتروژن و فسفر باعث محدودیت تولید شده و منجر به واستگی کشاورز به کودهای شیمیایی می‌گردد (۱۱). اگرچه از کودهای شیمیایی می‌توان جهت افزایش محصول در واحد سطح استفاده کرد، ولی کاربرد زیاد کودهای شیمیایی با وجود نمک‌های مخرب و قوی در دراز مدت باعث تخریب

- ۱- دانشجوی کارشناسی ارشد، گروه زراعت و اصلاح نباتات، دانشکده کشاورزی، دانشگاه ولی عصر (عج) رفسنجان
- ۲- دانشیار، گروه زراعت و اصلاح نباتات، دانشکده کشاورزی، دانشگاه ولی عصر (عج) رفسنجان
- ۳- استادیار، گروه زراعت و اصلاح نباتات، دانشکده کشاورزی، دانشگاه ولی عصر (عج) رفسنجان
- ۴- استادیار، گروه علوم خاک، دانشکده کشاورزی، دانشگاه ولی عصر (عج) رفسنجان (Email: raheleafshar@ymail.com)
- ۵- نویسنده مسئول:

بودند. جهت اعمال تیمار درصد وزنی ورمی کمپوست قبل از کشت، وزن گلدان پر شده با خاک اندازه‌گیری شد و ورمی کمپوست به میزان ۰، ۵، ۱۰، ۱۵، ۲۰، ۲۵ و ۳۰ درصد وزنی گلدان به ترتیب معادل ۰، ۵۰۰، ۱۰۰۰، ۱۲۵۰، ۱۵۰۰ و ۱۷۵۰ گرم در گلدان‌های ۵ کیلوگرمی به خاک گلدان اضافه و با آن مخلوط گردید. از گلدان‌هایی با بعد از قطر ۱۸ و ارتفاع ۳۰ سانتی‌متر استفاده شد و هر گلدان تا ۲/۵ سانتی‌متر لبه بالایی آن پر شد. چهل روز پس از کاشت، چای کمپوست با آب مقطر دو برابر رقیق شد و محلول پاشی چای کمپوست هر هفته یک مرتبه به میزان ۱۰ میلی‌لیتر به ازای هر گلدان انجام شد. برای تهیه محلول چای کمپوست ترکیب ورمی کمپوست، اسید هیومیک، مخمر، عصاره جلبک دریابی و ملاس چلندر قند به مدت ۲۴ ساعت در آب قرار گرفته و به خوبی هم خورد و با پمپ هوا، هوادهی شد و درنهایت چای کمپوست هوایی آماده شد (۳۲). در جدول ۱ برخی از ویژگی‌هایی خاک مورد استفاده ارائه شده است. همچنین برخی از خصوصیات ورمی کمپوست و چای کمپوست در جدول‌های ۲ و ۳ آمده است. پس از آماده کردن گلدان‌ها داخل هر گلدان ۷ بذر ذرت دانه‌ای هیبرید ۷۱۳ کاشته شد و آبیاری گلدان‌ها تا زمان جوانه‌زنی هر دو روز یک بار انجام شد. پس از جوانه‌زنی آبیاری بسته به نیاز گیاه انجام گرفت. جهت جلوگیری از شسته شدن مواد غذایی زیر هر گلدان زیر گلدانی قرار داده شد و آب خارج شده از هر گلدان دوباره به گلدان برگردانیده شد. پس از استقرار گیاه‌چه‌ها، گلدان‌ها تنک و در هر گلدان چهار گیاه باقی ماند.

هفتاد روز پس از کاشت، ریشه، ساقه و برگ‌های هر گلدان برداشت شد. برای اندازه‌گیری حجم ریشه، ریشه‌ها در استوانه حاوی آب مقطر با حجم مشخص غوطه‌ور شد و اختلاف حجم اولیه آب و حجم آب پس از غوطه‌ور ساختن ریشه، تعیین کننده حجم ریشه است و سپس در آون با دمای ۷۰ درجه‌ی سلسیوس به مدت ۴۸ ساعت قرار گرفت. برگ و ساقه در آون با دمای ۷۰ درجه‌ی سلسیوس به مدت ۴۸ ساعت قرار گرفت. در نهایت وزن خشک ساقه، ریشه و برگ با استفاده از ترازوی دیجیتال با دقت ۱/۰۰۰ اندازه‌گیری شد.

و هوادهی آن در یک مدت مشخص حاصل می‌شود (۳۲). هوادهی چای کمپوست و افزودن مواد اصلاحی برای افزایش رشد میکرووارگانیسم‌های مفید و سرکوب پاتogen‌های بیماری‌زا می‌باشد، از جمله این مواد افزودنی می‌توان به ملاس، اشنه دریابی (نوعی جلبک دریابی) و هیومیک اسید اشاره کرد. در طول فرآیند تخمیر، میکرووارگانیسم‌ها و مواد مغذی محلول در ورمی کمپوست چای کمپوست می‌شوند، سپس چای کمپوست می‌تواند به طور مستقیم در خاک مصرف و یا را روی گیاه محلول پاشی شود. کاربرد چای کمپوست در خاک باعث افزایش رشد ریشه شده که باعث افزایش جذب مواد مغذی توسط گیاه می‌شود (۶). بهبود رشد گیاه بعد از کاربرد چای کمپوست به احمال زیاد در اثر مقابله چندین فاکتور (مواد مغذی، میکرووارگانیسم‌ها و تنظیم‌کننده‌های رشد گیاهی) می‌باشد (۱۰). تأثیر مثبت چای کمپوست بر رشد گیاه تا حد زیادی به نیتروژن و جیرلین در چای و جذب مواد غذایی توسط گیاه مرتبط است و مصرف مداوم آن می‌تواند باعث افزایش رشد گیاه و غلظت عناصر معدنی در بافت‌های گیاهی شود (۲۲). نتایج آزمایش نشان داد کاربرد چای کمپوست در کلزا (*Brassica napus*) باعث افزایش وزن تر و خشک اندام هوایی، محتوای نیتروژن، فسفر و پتاسیم شد و به جز آهن تمام عناصر میکرو به طور قابل توجهی افزایش یافت (۲۱). به طور کلی آزمایشاتی که تأثیر ورمی کمپوست و محلول پاشی چای کمپوست را به تنها یا به صورت مخلوط با سایر کودها روی گیاهان بررسی کرده‌اند اندک هستند اما نتایج حاکی از بهبود کمیت و کیفیت محصول تحت تأثیر این کودها می‌باشد. هدف از این تحقیق بررسی تأثیر کاربرد سطوح مختلف ورمی کمپوست و محلول پاشی چای کمپوست بر خصوصیات رشدی گیاه ذرت بود.

مواد و روش‌ها

این آزمایش به صورت فاکتوریل در قالب طرح بلوک‌های کامل تصادفی در سه تکرار در گلخانه دانشکده کشاورزی دانشگاه ولی‌عصر (عج) رفسنجان در سال ۱۳۹۲ اجرا شد. عامل‌های آزمایشی شامل ورمی کمپوست (۰، ۵، ۱۰، ۱۵، ۲۰، ۲۵ و ۳۰ درصد وزنی) و محلول پاشی با چای کمپوست (محلول پاشی و عدم محلول پاشی)

جدول ۱- ویژگی‌های فیزیکی و شیمیایی خاک مورد استفاده در آزمایش

Table 1- Chemical and physical traits of soil

Soil texture	K (ppm)	P (ppm)	Fe (ppm)	Cu (ppm)	Zn (ppm)	Mn ppm	N %	OM %	EC mS cm ⁻¹	pH
لوم شنی	318.227	7.137	1.447	0.520	0.519	8.35	0.10	0.65	1.4	8.01

جدول ۲- ویژگی‌های شیمیایی ورمی کمپوست
Table 2- Chemical traits of vermicompost

K (%)	P (%)	N (%)	Fe (ppm)	Cu (ppm)	Zn (ppm)	Mn (ppm)	EC (mS/cm)	pH
0.55	1.08	1.18	8200	28	93	820	1.63	7.81

جدول ۳- ویژگی‌های شیمیایی چای کمپوست
Table 3- Chemical traits of compost tea

K (%)	P (ppm)	N (%)	Fe (ppm)	Cu (ppm)	Zn (ppm)	Mn (ppm)	EC (μ S/m)	pH
0.29	2.30	0.25	6689	71	138	376	80	8.1

خصوصیات رشدی

وزن خشک برگ

نتایج تجزیه واریانس نشان داد که اثر چای کمپوست و سطوح ورمی کمپوست بر وزن خشک برگ معنی دار بود ($p \leq 0.01$) اما اثر متقابل محلول پاشی چای کمپوست و سطوح ورمی کمپوست بر این صفت معنی دار نشد (جدول ۴). محلول پاشی چای کمپوست باعث افزایش بیست درصدی وزن خشک برگ ذرت نسبت به تیمار شاهد شد (جدول ۵) که این افزایش وزن خشک احتمالاً مربوط به مواد غذی در چای کمپوست می‌باشد. نتایج مقایسه میانگین سطوح ورمی کمپوست نشان داد که بیشترین وزن خشک برگ (۱۱/۱۰ گرم در بوته) در تیمار ۲۵ درصد وزنی ورمی کمپوست تفاوت معنی دار نداشت و کمترین وزن خشک برگ (۲/۲۵ گرم در بوته) در تیمار شاهد بود (جدول ۵).

برای اندازه‌گیری غلظت عناصر، ۰/۵ گرم از اندام هوایی گیاهان تحت هر تیمار در کوره با دمای ۵۵۰ درجه خاکستر شده و با اسید کلریدریک ۲ نرمال عصاره‌گیری شد. برای اندازه‌گیری پتانسیم از آسپکتروفوتومتر مدل Flame photometer (Jenway, England) فسفر از دستگاه (T80 UV/VI Spectrometer PG Instruments LTD) و عناصر میکرو با استفاده از دستگاه جذب اتمیک مدل (GBC Awanta Australia) استفاده شد. برای اندازه‌گیری نیتروژن از روش کجلدال (V) استفاده شد.

تجزیه آماری با استفاده از نرم افزار آماری SAS 9.1.3 انجام و جهت مقایسه میانگین از آزمون چند دامنه‌ای دانکن در سطح احتمال یک درصد استفاده شد.

نتایج و بحث

جدول ۴- تجزیه واریانس میانگین مربعات برخی خصوصیات رشدی ذرت تحت تأثیر تیمارهای کودی

Table 4- Analysis of variance mean squares of some growth characteristics of maize under treatments fertilizer
میانگین مربعات

منابع تغییرات Source of variation	درجه آزادی df	وزن خشک برگ Leaf dry weight	وزن خشک ساقه Stem dry weight	وزن خشک ریشه Root dry weight	وزن خشک ریشه Root volume	حجم ریشه Root volume
بلوک Block	2	1.49 ^{ns}	0.87 ^{ns}	96.50 ^{ns}	0.30 ^{ns}	
چای کمپوست Compost tea	1	17.29 ^{**}	32.75 ^{**}	402.38 [*]	3.29 ^{ns}	
ورمی کمپوست Vermicompost	6	72.39 ^{**}	54.56 ^{**}	629.58 ^{**}	12.19 ^{**}	
اثر متقابل Interaction effect	6	0.86 ^{ns}	1.36 ^{ns}	250.75 [*]	6.18 ^{**}	
خطا Error	26	1.09	0.60	89.41	0.97	
ضریب تغییرات (%) CV	-	15.16	18.73	17.74	16.05	

* و ** به ترتیب عدم وجود اختلاف معنی دار، معنی دار در سطح احتمال ۵ درصد و ۱ درصد

ns, * and ** Non significant, significant at 5% and 1% levels of probability, respectively

جدول ۵- مقایسه میانگین وزن خشک برگ و ساقه ذرت تحت تأثیر تیمارهای کودی
Table 5- Mean comparison of main effects on leaf and stem dry weight

تیمارهای کودی Treatment fertilizer	عدم محلول پاشی Non foliar	وزن خشک برگ Leaf dry weight	وزن خشک ساقه Stem dry weight
		محلول پاشی Foliar	
چای کمپوست Compost tea	۰ درصد وزنی ورمی کمپوست 0 pot weight vermicompost	6.05b	3.26b
	۵ درصد وزنی ورمی کمپوست 5 pot weight vermicompost	7.72a	5.03a
	۱۰ درصد وزنی ورمی کمپوست 10 pot weight vermicompost	2.25e	1.09e
	۱۵ درصد وزنی ورمی کمپوست 15 pot weight vermicompost	4.11d	1.90de
	۲۰ درصد وزنی ورمی کمپوست 20 pot weight vermicompost	5.41c	2.42d
	۲۵ درصد وزنی ورمی کمپوست 25 pot weight vermicompost	5.95c	3.75c
	۳۰ درصد وزنی ورمی کمپوست 30 pot weight vermicompost	7.94b	4.80b
	۳۵ درصد وزنی ورمی کمپوست 35 pot weight vermicompost	11.80a	10.15a
	۴۰ درصد وزنی ورمی کمپوست 40 pot weight vermicompost	10.75a	4.90b

در هر ستون میانگین‌هایی که دارای حروف مشترک هستند، براساس آزمون Duncan در سطح احتمال یک درصد اختلاف معنی‌داری ندارند.
Similar letters in each columns indicate no significant difference in the level of one percent

آزمایشی که روی گیاه ذرت انجام شد مصرف چای کمپوست به همراه کود شیمیایی سبب افزایش وزن خشک ساقه شد (۸). همچنین در تحقیق دیگر محلول پاشی چای کمپوست به همراه کود شیمیایی باعث افزایش وزن خشک ساقه گندم (*Triticum aestivum*) (۲۶) شد (۲۶). بیشترین وزن خشک ساقه ذرت (*Zea mays*) (۱۰/۱۵) گرم در بوته در تیمار ۲۵ درصد وزنی ورمی کمپوست به دست آمد و با سایر تیمارها تفاوت معنی‌دار داشت و کمترین وزن خشک ساقه (۱۰/۹) گرم در بوته در تیمار شاهد مشاهده شد (جدول ۵). احتمالاً افزایش وزن خشک مربوط به عناصر مغذی ورمی کمپوست می‌باشد. گزارش شده است ورمی کمپوست غنی از عناصر میکرو مانند آهن، روی، مس و منگنز می‌باشد (۳۵). همچنین سهم عمده ورمی کمپوست در افزایش رشد ممکن است مربوط به افزودن مواد تنظیم‌کننده رشد نظریه هیویمیک ایسید باشد که باعث افزایش رشد و تجمع ماده خشک می‌شود. استفاده از ورمی کمپوست علاوه بر افزایش جمعیت و فعالیت میکروارگانیسم‌های مفید خاک (قارچ‌های میکوریز و میکروارگانیسم‌های حل کننده فسفات)، با فراهم کردن دسترسی گیاه به عناصر غذایی مورد نیاز آن مانند نیتروژن، فسفر و پتاسیم محلول باعث بهبود رشد و عملکرد گیاه و افزایش زیست توده تولیدی می‌شود در آزمایشی که روی لوبیا انجام شد کاربرد ورمی کمپوست با کود شیمیایی سبب افزایش وزن خشک ساقه نسبت به سایر تیمارها شد (۱۹). در آزمایش دیگر روی سورگوم انجام شد افزودن ورمی کمپوست

احتمالاً افزایش وزن خشک گیاه در ارتباط با تغییر شرایط فیزیکی، شیمیایی، خصوصیات میکروبی و زیستی محیط تحت تأثیر کاربرد ورمی کمپوست می‌باشد (۳). همچنین ورمی کمپوست دارای هیومات می‌باشد که دارای اثرات مشابه هورمون‌ها و تنظیم‌کننده‌های رشد گیاهی هستند و وجود آنان همراه موادآلی در ورمی کمپوست باعث تحریک رشد گیاه (۴) و افزایش ماده خشک تولیدی می‌شود. در تحقیقی دیگر گزارش شد، کاربرد ۱۰ درصد وزنی ورمی کمپوست سبب افزایش وزن خشک برگ اسفناج (*Spinacia olereracea*) شد (۲۴).

وزن خشک ساقه

محلول پاشی چای کمپوست و سطوح ورمی کمپوست وزن خشک ساقه را به طور معنی‌دار متاثر کرد ($p \leq 0.01$) اما اثر متقابل محلول پاشی چای کمپوست و سطوح ورمی کمپوست بر این صفت معنی‌دار نشد (جدول ۴).

محلول پاشی چای کمپوست باعث افزایش پنجاه درصدی وزن خشک ساقه ذرت نسبت به تیمار شاهد گردید (جدول ۵). این افزایش وزن خشک احتمالاً مربوط به عناصر میکرو نظریه چای کمپوست می‌باشد. چای کمپوست غنی از عناصر میکرو نظریه روی و آهن می‌باشد که در سنتز کلروفیل نقش اساسی دارد (۳۶). افزایش کلروفیل باعث افزایش سطح برگ و در نتیجه افزایش ماده خشک می‌شود (۱۸). در

محلول پاشی چای کمپوست، کمترین وزن خشک ریشه ($4/22$ گرم در بوته) در تیمار شاهد به دست آمد که با شرایط کاربرد 5 و 10 درصد وزنی ورمی کمپوست تفاوت معنی دار نداشت (شکل ۲). گزارش شده چای کمپوست حاوی تنظیم‌کننده‌های رشد گیاه نظری جیرلین است باعث افزایش رشد ریشه (22) شده و دارای اثرات مثبت بر توسعه ریشه اولیه و رشد گیاه با کاربرد برگی و خاکی می‌باشد (۲۰). همچنین ورمی کمپوست اجزا فعال زیستی دارد (۵) که در محیط ریشه می‌توانند تنظیم‌کننده‌های رشد گیاهی نظری جیرلین و سیتوکینین تولید کنند (۳۱) لذا احتمالاً در این آزمایش جیرلین باعث افزایش رشد ریشه و بیomas تولیدی ریشه شد. نتایج آزمایش نشان داد محلول پاشی چای کمپوست منجر به افزایش وزن خشک ریشه گیاه شلغم (*Brassica rapa*) شد (۲۱). در تحقیق دیگر محلول پاشی چای کمپوست به همراه کود شیمیایی باعث افزایش وزن خشک ریشه گندم شد (۲۶). در مطالعه روی سورگوم نشان داده شد که مصرف ورمی کمپوست باعث افزایش وزن خشک ریشه و تحریک رشد شد (۹). همچنین در تحقیق دیگر روی ذرت، لوبيا و باميه گزارش شد مصرف 1 تن در هکتار ورمی کمپوست باعث افزایش وزن خشک ریشه ذرت و باميه نسبت به سایر تیمارها شد (۲۸). در آزمایشی دیگر کاربرد ورمی کمپوست با کود شیمیایی سبب افزایش وزن خشک ریشه لوبيا نسبت به سایر تیمارها شد (۱۹).

غلفت عناصر اندام هوایی روی

با توجه به نتایج جدول تجزیه واریانس، ورمی کمپوست میزان روی اندام هوایی را در سطح احتمال پنج درصد به طور معنی دار تحت تأثیر قرار داد، اما چای کمپوست و اثر متقابل چای کمپوست و ورمی کمپوست بر این صفت معنی دار نشد (جدول ۶). نتایج نشان داد با افزایش سطح مصرف کود در خاک میزان جذب روی توسط گیاه افزایش می‌باید، به طوری که کمترین میزان روی اندام هوایی ($12/81$ میلی گرم در کیلوگرم) در تیمار شاهد به دست آمد (جدول ۷). گزارش شده است که ورمی کمپوست دارای مقادیر زیادی از مواد هیومیکی می‌باشد که باعث بهبود زیست‌فرآهمی عناصر غذایی خاص، یه‌ویژه آهن و روی می‌شود (۲۵).

همچنین عامل اصلی افزایش قابلیت جذب روی در نتیجه مصرف پسماندهای آلی، تشکیل کمپلکس‌های آلی گزارش شده است (۳۰). لذا احتمالاً در این آزمایش مصرف ورمی کمپوست در خاک از طریق تشکیل کمپلکس‌های آلی باعث افزایش جذب روی در گیاه شد. در آزمایشی گزارش شد افزودن 3 درصد ورمی کمپوست باعث افزایش روی اندام هوایی شد و در آزمایش دیگر روی گاوزبان (*Borage officinalis*) مصرف 40 تن در هکتار ورمی کمپوست باعث افزایش غلظت روی در برگ و گل شد (۲).

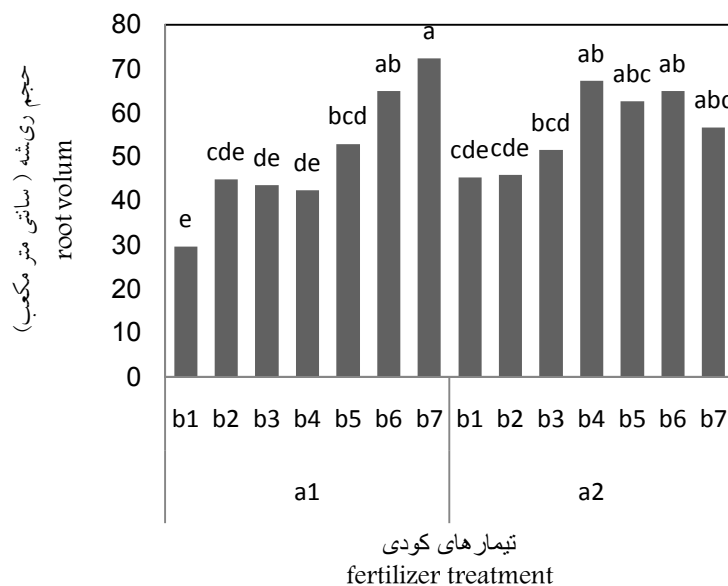
استریل شده به خاک سبب افزایش وزن خشک ساقه شد (۹). همچنین در تحقیق دیگر کاربرد 1 تن در هکتار ورمی کمپوست باعث افزایش وزن خشک ساقه ذرت، لوبيا (*Phaseolus vulgaris*) و باميه (*Abelmoschus esculentus*) شد (۲۸).

حجم ریشه

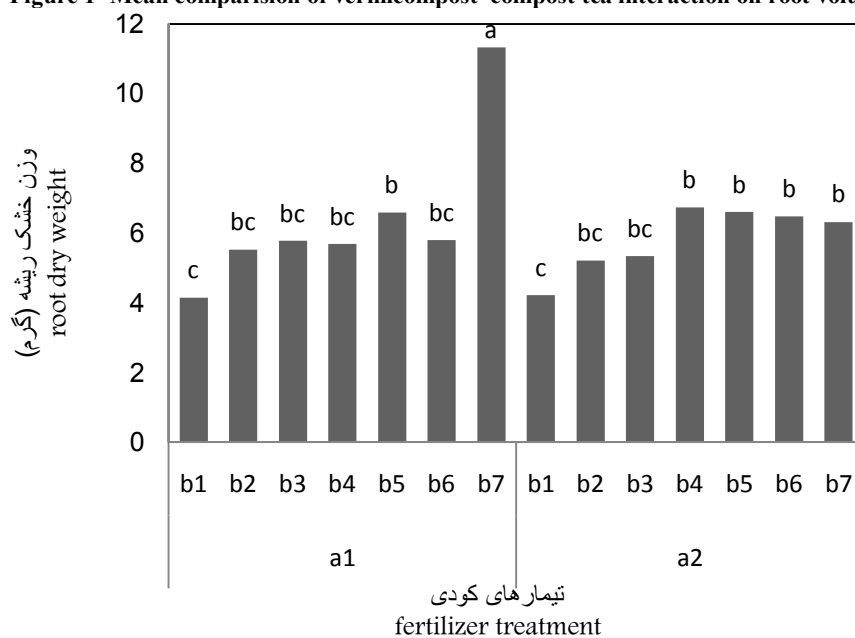
با توجه به نتایج جدول تجزیه واریانس، حجم ریشه تحت تأثیر چای کمپوست قرار نگرفت اما ورمی کمپوست و اثر متقابل چای کمپوست و ورمی کمپوست حجم ریشه را در سطح احتمال یک درصد به طور معنی دار متاثر کرد (جدول ۴). براساس نتایج مقایسه میانگین، در شرایط عدم محلول پاشی بیشترین حجم ریشه $72/50$ سانتی‌متر مکعب) در تیمار 30 درصد وزنی ورمی کمپوست به دست آمد و با تیمار 25 درصد وزنی ورمی کمپوست تفاوت معنی دار نداشت و کمترین حجم ریشه ($29/66$ سانتی‌متر مکعب) در تیمار شاهد به دست آمد که با تیمار 5 و 15 درصد وزنی ورمی کمپوست تفاوت معنی دار نداشت و کمترین حجم ریشه $45/33$ سانتی‌متر مکعب) در تیمار فاقد کود ورمی کمپوست به دست آمد (شکل ۱). گزارش شده است چای کمپوست حاوی میکروارگانیسم‌هایی است سبب تسریع فرآیند هموسی شدن ماده آلی خاک شده و باعث بهبود ساختمان خاک می‌شود (۳۴) همچنین افزودن ورمی کمپوست به خاک سبب تخلخل و پوکی خاک می‌شود، تخلخل مناسب خاک باعث بهبود توسعه ریشه (۳۹) و در نتیجه افزایش حجم ریشه می‌شود. در آزمایشی مشاهده کردند با افزایش میزان ورمی کمپوست در خاک حجم ریشه گیاه سورگوم افزایش یافت (۱۲) که با نتایج این آزمایش مطابقت داشت.

وزن خشک ریشه

براساس نتایج به دست آمده، وزن خشک ریشه ذرت به طور معنی داری تحت تأثیر اثرات اصلی چای کمپوست و ورمی کمپوست قرار گرفت. همچنین اثر متقابل چای کمپوست و ورمی کمپوست در سطح احتمال پنج درصد بر این صفت معنی دار بود (جدول ۴). نتایج مقایسه میانگین اثر متقابل چای کمپوست و ورمی کمپوست بر وزن خشک ریشه نشان داد، در شرایط عدم محلول پاشی چای کمپوست بیشترین وزن خشک ریشه ($11/34$ گرم در بوته) در تیمار 30 درصد وزنی ورمی کمپوست به دست آمد که با سایر تیمارها تفاوت معنی دار داشت و کمترین وزن خشک ریشه ($4/16$ گرم در بوته) در تیمار شاهد به دست آمد که با بسیاری از تیمارها تفاوت معنی دار نداشت. در شرایط



شکل ۱- اثر متقابل سطوح ورمی کمپوست و محلول پاشی چای کمپوست بر حجم ریشه
Figure 1- Mean comparision of vermicompost*compost tea interaction on root volum

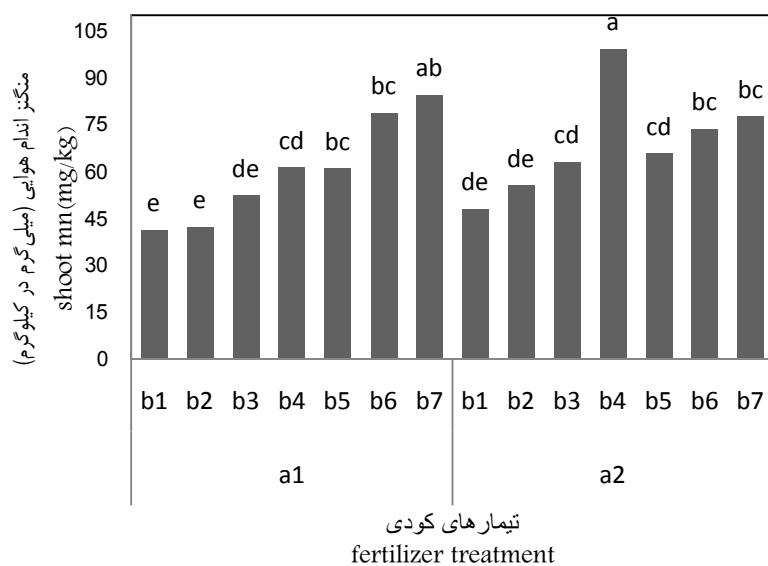


شکل ۲- اثر متقابل سطوح ورمی کمپوست و محلول پاشی چای کمپوست بر وزن خشک ریشه
Figure 2- Mean comparision of vermicompost*compost tea interaction on root dry weight
a1 (عدم محلول پاشی چای کمپوست)، a2 (محلول پاشی چای کمپوست)، b1 (۰ درصد وزنی ورمی کمپوست)، b2 (۵ درصد وزنی ورمی کمپوست)، b3 (۱۰ درصد وزنی ورمی کمپوست)، b4 (۱۵ درصد وزنی ورمی کمپوست)، b5 (۲۰ درصد وزنی ورمی کمپوست)، b6 (۲۵ درصد وزنی ورمی کمپوست)، b7 (۳۰ درصد وزنی ورمی کمپوست)

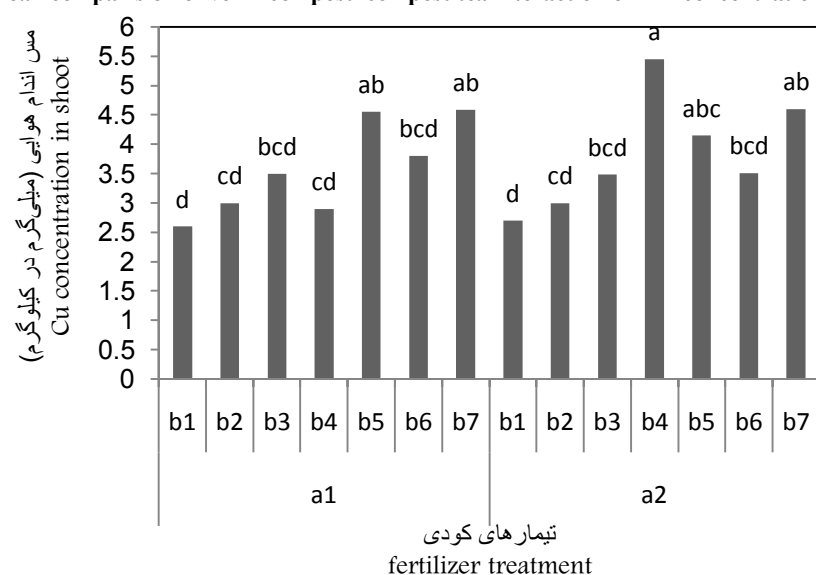
a1 (Non-foliar application compost tea), a2 (foliar application compost tea), b1 (0% pot weight vermicompost), b2 (5% pot weight vermicompost), b3 (10% pot weight vermicompost), b4 (15% pot weight vermicompost), b5 (20% pot weight vermicompost), b6 (25% pot weight vermicompost) and b7 (30% pot weight vermicompost).

میانگین‌هایی که دارای حروف مشترک هستند، براساس آزمون Duncan در سطح احتمال یک درصد اختلاف معنی‌دار ندارند.

Similar letters in each figure indicate no significant difference in the level of one percent.



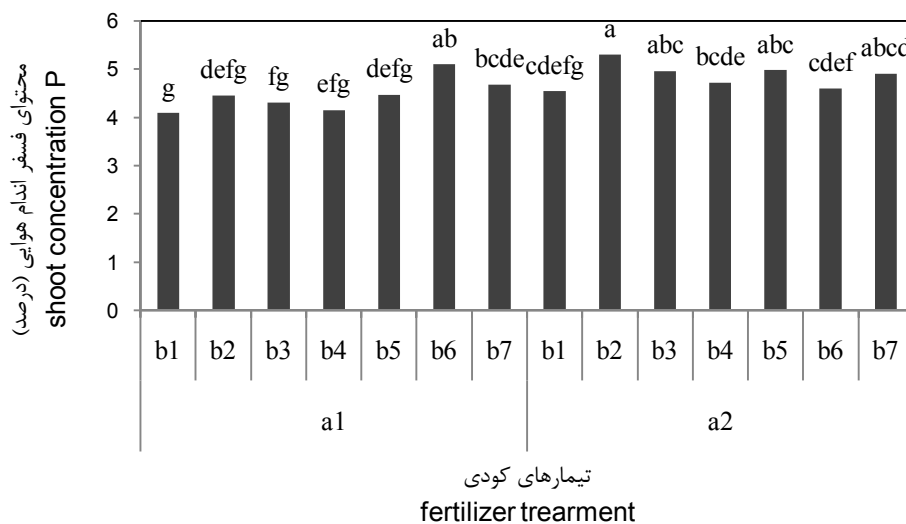
شکل ۳- اثر متقابل سطوح ورمی کمپوست و محلول پاشی چای کمپوست بر محتوی منگنز اندام هوایی
Figure 3- Mean comparision of vermicompost*compost tea interaction on mn concentration of shoot



شکل ۴- اثر متقابل سطوح ورمی کمپوست و محلول پاشی چای کمپوست بر محتوی مس اندام هوایی
Figure 4- Mean comparision of vermicompost*compost tea interaction on cu concentration of shoot
a1 (عدم محلول پاشی چای کمپوست)، a2 (محلول پاشی چای کمپوست)، b1 (۰ درصد وزنی ورمی کمپوست)، b2 (۵ درصد وزنی ورمی کمپوست)، b3 (۱۰ درصد وزنی ورمی کمپوست)، b4 (۱۵ درصد وزنی ورمی کمپوست)، b5 (۲۰ درصد وزنی ورمی کمپوست)، b6 (۲۵ درصد وزنی ورمی کمپوست) و b7 (۳۰ درصد وزنی ورمی کمپوست)

a1 (Non-foliar application compost tea), a2 (foliar application compost tea), b1 (0% pot weight vermicompost), b2 (5% pot weight vermicompost), b3 (10% pot weight vermicompost), b4 (15% pot weight vermicompost), b5 (20% pot weight vermicompost), b6 (25% pot weight vermicompost) and b7 (30% pot weight vermicompost).

میانگین‌هایی که دارای حروف مشترک هستند، براساس آزمون Duncan در سطح احتمال یک درصد اختلاف معنی‌دارند.
Similar letters in each figure indicate no significant difference in the level of one percent.



شکل ۵- اثر متقابل سطوح ورمی‌کمپوست و محلول پاشی چای کمپوست بر محتوای فسفر اندام هوایی

Figure 5- Mean comparision of vermicompost*compost tea interaction on p concentration of shoot

a1 (عدم محلول پاشی چای کمپوست)، a2 (محلول پاشی چای کمپوست)، b1 (۰ درصد وزنی ورمی کمپوست)، b2 (۵ درصد وزنی ورمی کمپوست)، b3 (۱۰ درصد وزنی ورمی کمپوست)، b4 (۱۵ درصد وزنی ورمی کمپوست)، b5 (۲۰ درصد وزنی ورمی کمپوست)، b6 (۲۵ درصد وزنی ورمی کمپوست)، b7 (۳۰ درصد وزنی ورمی کمپوست)

a1 (Non-foliar application compost tea), a2 (foliar application compost tea), b1 (0% pot weight vermicompost), b2 (5% pot weight vermicompost), b3 (10% pot weight vermicompost), b4 (15% pot weight vermicompost), b5 (20% pot weight vermicompost), b6 (25% pot weight vermicompost) and b7 (30% pot weight vermicompost).

میانگین هایی که دارای حروف مشترک هستند، براساس آزمون Duncan در سطح احتمال یک درصد اختلاف معنی داری ندارند.

Similar letters in each figure indicate no significant difference in the level of one percent.

جدول ۶- تجزیه واریانس میانگین مربعات عناصر اندام هوایی ذرت تحت تأثیر تیمارهای کودی

Table 6- Analysis of variance mean squares of Shoot element of maize under treatments fertilizer

منابع تغییرات Source of variation	درجه آزادی df	میانگین مربعات							
		Zn	Mn	Cu	Fe	K	P	N	
بلوک Block	2	20.84 ^{ns}	8.61 ^{ns}	0.67 ^{ns}	4.23 ^{ns}	0.0007 ^{ns}	0.146 ^{ns}	0.18 ^{ns}	
چای کمپوست Compost tea	1	0.94 ^{ns}	815.32 ^{**}	0.82 ^{ns}	228.20 [*]	0.343 ^{ns}	1.59 ^{**}	0.06 ^{ns}	
ورمی کمپوست Vermicompost	6	32.66 [*]	12.13 ^{**}	3.08 ^{**}	293.40 ^{**}	0.890 ^{ns}	0.27 ^{**}	1.96 ^{**}	
اثر متقابل Interaction effect	6	18.89 ^{ns}	33.16 [*]	1.55 [*]	54.38 ^{ns}	0.782 ^{ns}	0.29 ^{**}	0.031 ^{ns}	
خطا Error	26	11.79	94.83	0.48	46	0.560	0.056	0.040	
ضریب تغییرات (%) CV	-	19.96	15.08	18.74	21.38	18.94	5.09	1.35	

* و ** به ترتیب عدم وجود اختلاف معنی دار، معنی دار در سطح احتمال ۵ درصد و ۱ درصد ns, * and ** Non significant, significant at 5% and 1% levels of probability, respectively

هوایی را به طور معنی دار متأثر کرد اما اثر متقابل محلول پاشی چای کمپوست چای کمپوست و سطوح ورمی کمپوست بر این صفت معنی دار نشد

نتایج تجزیه واریانس نشان داد، محلول پاشی چای کمپوست و سطوح ورمی کمپوست ($p \leq 0.01$) میزان آهن اندام

در هکتار ورمی کمپوست سبب افزایش آهن در برگ و گل شد (۲). در آزمایش دیگر گزارش شد افزودن ۲۰ تن در هکتار ورمی کمپوست غنی شده با سنگ فسفات باعث افزایش میزان آهن لوبيا چشم بلبلی (*vigna unguiculata*) شد (۱۶).

نیتروژن

نتایج تجزیه واریانس نشان داد، ورمی کمپوست میزان نیتروژن اندام هوایی را در سطح احتمال یک درصد به طور معنی دار متاثر کرد، اما چای کمپوست و اثر متقابل چای کمپوست و ورمی کمپوست بر این صفت معنی دار نشد (جدول ۶). نتایج مقایسه میانگین نشان داد، با افزایش سطح ورمی کمپوست در خاک نیتروژن جذب شده توسط گیاه نیز افزایش یافت. به طوری که بیشترین میزان نیتروژن اندام هوایی (۳/۶۱ درصد) در تیمار ۳۰ درصد وزنی ورمی کمپوست به دست آمد که با سایر تیمارها تفاوت معنی دار داشت و کمترین میزان نیتروژن اندام هوایی (۱/۹۰ درصد) در تیمار شاهد به دست آمد (جدول ۷). ورمی کمپوست دارای عناصر غذایی به فرم قابل جذب برای گیاهان می باشد و عناصری مانند نیتروژن به فرم نیترات در ورمی کمپوست به راحتی برای گیاهان قابل جذب هستند (۳۸).

(جدول ۶). نتایج مقایسه میانگین نشان داد محلول پاشی چای کمپوست سبب افزایش پانزده درصدی میزان آهن اندام هوایی شد (جدول ۷). چای کمپوست حاوی هیومیک اسید و فولویک اسید می باشد (۴) که جذب عناصر میکرو را تنظیم می کنند. همچنین گزارش شده است که اسید هیومیک می تواند با عناصر کم مصرف خاک کمپلکس تشکیل دهد و قابلیت دستررسی آن ها برای گیاه را افزایش دهد (۱۵). احتمالاً در این آزمایش هیومیک اسید موجود در چای باعث افزایش جذب آهن در شرایط محلول پاشی چای کمپوست شد. در مطالعه روی ذرت محلول پاشی چای کمپوست ۵۰.۰ ppm NPK ۱۶۰ گرم در لیتر عناصر میکرو مورد نیاز گیاه را تأمین کرد (۸). نتایج مقایسه میانگین سطح ورمی کمپوست نشان داد بیشترین میزان آهن اندام هوایی (۴۱/۰۸ میلی گرم در کیلوگرم) در تیمار ۳۰ درصد وزنی ورمی کمپوست به دست آمد که با تیمار ۱۵، ۱۰ و ۲۵ درصد وزنی ورمی کمپوست تفاوت معنی دار نداشت و کمترین میزان آهن اندام هوایی (۲۰/۰۵ میلی گرم در کیلوگرم) در تیمار شاهد به دست آمد (جدول ۷). ورمی کمپوست دارای سطح ویژه بالا می باشد که باعث افزایش ظرفیت نگهداری آن برای عناصر غذایی (۳۳) به شکل قابل دستررس برای رشد گیاهان می شود. در آزمایشی که روی ذرت انجام شد افزودن ۵ درصد ورمی کمپوست سبب افزایش آهن در گیاه شد (۳۸). همچنین در آزمایشی که روی گاوزبان انجام شد مصرف ۴۰ تن

جدول ۷- مقایسه میانگین اثرات اصلی عناصر اندام هوایی ذرت تحت تأثیر تیمارهای کودی
Table 7- Mean comparison of main effects on shoot elements

تیمارهای کودی Treatment fertilizer		روی Zn	آهن Fe	نیتروژن N
چای کمپوست Compost tea	عدم محلول پاشی Non foliar	17.05a	29.38b	2.75a
	محلول پاشی Foliar	17.35a	34.04a	2.68a
ورمی کمپوست Vermicompost	۰ درصد وزنی ورمی کمپوست 0 pot weight vermicompost	12.81b	20.54c	1.90e
	۵ درصد وزنی ورمی کمپوست 5 pot weight vermicompost	16.50a	27.76bc	2.26d
	۱۰ درصد وزنی ورمی کمپوست 10 pot weight vermicompost	19.45a	33.21ab	2.61c
	۱۵ درصد وزنی ورمی کمپوست 15 pot weight vermicompost	19.78a	38.45a	2.53c
	۲۰ درصد وزنی ورمی کمپوست 20 pot weight vermicompost	16.40ab	27.78bc	3.03b
	۲۵ درصد وزنی ورمی کمپوست 25 pot weight vermicompost	17.78a	33.17ab	3.08b
	۳۰ درصد وزنی ورمی کمپوست 30 pot weight vermicompost	17.66a	41.08a	3.61a

در هر ستون میانگین هایی که دارای حروف مشترک هستند، براساس آزمون Duncan در سطح احتمال یک درصد اختلاف معنی داری ندارند.

Similar letters in each columns indicate no significant difference in the level of one percent

صفت معنی دار بود (جدول ۶). نتایج مقایسه میانگین اثر متقابل محلول‌پاشی چای کمپوست و سطوح ورمی کمپوست مس اندام هوایی نشان داد در شرایط عدم محلول‌پاشی چای کمپوست بیشترین میزان مس اندام هوایی ($4/58$ میلی‌گرم در کیلوگرم) در تیمار 30 درصد وزنی ورمی کمپوست بود و با تیمار 10 و 25 درصد وزنی ورمی کمپوست تفاوت معنی دار نداشت و کمترین میزان مس اندام هوایی ($2/60$ میلی‌گرم در کیلوگرم) در تیمار شاهد بود و با تیمار 5 هوازی ($1/15$ و $2/25$ درصد وزنی ورمی کمپوست تفاوت معنی دار نداشت. همچنین در شرایط محلول‌پاشی چای کمپوست بیشترین میزان مس اندام هوایی ($5/45$ میلی‌گرم در کیلوگرم) در تیمار 15 درصد وزنی ورمی کمپوست بود و با تیمار 20 و 30 درصد وزنی ورمی کمپوست تفاوت معنی دار نداشت و کمترین میزان مس اندام هوایی ($2/70$ میلی‌گرم در کیلوگرم) در تیمار فاقد کود بود و با تیمار 5 و 10 درصد وزنی ورمی کمپوست تفاوت معنی دار نداشت (شکل ۴). گزارش شده چای کمپوست حاوی موادی نظیر هیومیک اسید و فولویک اسید است که بسیاری از فرایندهای درون گیاه نظیر جذب عناصر ماکرو و میکرو را تنظیم می‌کند (۸). همچنین ورمی کمپوست غنی از عناصر میکرو می‌باشد (۲۱). احتمالاً در این آزمایش با کاربرد ورمی کمپوست عناصر میکرو بیشتری در اختیار گیاه قرار گرفت و با محلول‌پاشی چای کمپوست هیومیک اسید موجود در چای کمپوست باعث جذب بیشتر عناصر غذایی با کاربرد کمتری از کود ورمی کمپوست شد. در آزمایشی گزارش شد افزودن 20 تن درهکتار ورمی کمپوست غنی شده با سنگ فسفات باعث افزایش میزان مس در برگ لوبيا چشم بلبلی شد (۱۶).

فسفر

براساس نتایج مشاهده شده چای کمپوست و ورمی کمپوست میزان فسفر اندام هوایی را به طور معنی دار متأثر کرد. همچنین اثر متقابل چای کمپوست و ورمی کمپوست در سطح احتمال صفت معنی دار بود (جدول ۶). نتایج مقایسه میانگین اثر متقابل محلول‌پاشی چای کمپوست و سطوح ورمی کمپوست فسفر اندام هوایی نشان داد در شرایط عدم محلول‌پاشی چای کمپوست بیشترین میزان فسفر اندام هوایی ($5/11$ درصد) در تیمار 25 درصد وزنی ورمی کمپوست بود و با تیمار 30 درصد وزنی ورمی کمپوست تفاوت معنی دار نداشت و کمترین میزان فسفر اندام هوایی ($4/10$ درصد) در تیمار شاهد بود و با تیمار 5 و 20 درصد وزنی ورمی کمپوست تفاوت معنی دار نداشت. همچنین در شرایط محلول‌پاشی چای کمپوست بیشترین میزان فسفر اندام هوایی ($5/31$ درصد) در تیمار 5 درصد وزنی ورمی کمپوست بود و با تیمار 10 و 20 و 30 درصد

در آزمایشی که روی گیاه گوجه فرنگی (*Solanum lycopersicum*) انجام شد نشان دادند کاربرد ورمی کمپوست باعث افزایش نیتروژن اندام هوایی گوجه فرنگی نسبت به تیمار شاهد شد (13) که با نتایج این آزمایش مطابقت داشت. در نتایج آزمایشی بیان شد افزودن 5 درصد ورمی کمپوست به خاک باعث افزایش نیتروژن برگ ذرت شد (۳۸). گزارش شده است که مصرف 40 تن درهکتار ورمی کمپوست به همراه 50 درصد کود شیمیایی سبب افزایش نیتروژن برگ ذرت شد (۲۷). محققین دیگر نیز گزارش کردند مصرف ورمی کمپوست باعث افزایش تجمع نیتروژن خود (*Cicer arietinum*) شد (۲۹).

منگنز

نتایج تجزیه واریانس نشان داد، اثرات اصلی ورمی کمپوست و چای کمپوست میزان منگنز اندام هوایی را به طور معنی دار متأثر کرد. همچنین اثر متقابل چای کمپوست و ورمی کمپوست در سطح احتمال پنج درصد بر این صفت معنی دار بود (جدول ۶). در شرایط عدم محلول‌پاشی با افزایش سطح ورمی کمپوست در خاک میزان جذب منگنز توسط گیاه افزایش یافت به طوری که بیشترین میزان منگنز اندام هوایی ($8/50$ میلی‌گرم در کیلوگرم) در تیمار 30 درصد وزنی ورمی کمپوست بود و با تیمار 25 درصد وزنی ورمی کمپوست تفاوت معنی دار نداشت و کمترین میزان منگنز اندام هوایی ($4/30$ میلی‌گرم در کیلوگرم) در تیمار شاهد بود و با تیمار 5 و 10 درصد وزنی ورمی کمپوست تفاوت معنی دار نداشت. همچنین در شرایط محلول‌پاشی چای کمپوست بیشترین میزان منگنز اندام هوایی ($9/20$ میلی‌گرم در کیلوگرم) در تیمار 15 درصد وزنی ورمی کمپوست بود و با سایر تیمارها تفاوت معنی دار داشت و کمترین میزان منگنز اندام هوایی ($4/8/03$ میلی‌گرم در کیلوگرم) در تیمار فاقد کود بود و با تیمار 5 و 20 درصد وزنی ورمی کمپوست تفاوت معنی دار نداشت (شکل ۳). گزارش شده ورمی کمپوست حاوی اسیدهای آلی نظیر هیومیک اسید و فولویک اسید است (۱۰) که جذب عناصر غذایی را تنظیم می‌کند. بنابراین احتمالاً در این آزمایش هیومیک اسید باعث افزایش جذب عناصر غذایی شده است. گزارش شده است که افزودن 20 تن درهکتار ورمی کمپوست غنی شده با سنگ فسفات باعث افزایش میزان منگنز اندام هوایی لوبيا چشم بلبلی شد (۱۶).

مس

نتایج تجزیه واریانس نشان داد اثر چای کمپوست بر میزان مس اندام هوایی معنی دار نبود اما ورمی کمپوست و اثر متقابل چای کمپوست و ورمی کمپوست در سطح احتمال پنج درصد بر این

پاشش چای کمپوست روی گیاه قابلیت جذب عناصر غذایی افزایش می‌باید، در واقع با فراهم کردن عناصر غذایی مورد نیاز گیاه باعث بهبود رشد و عملکرد می‌شوند. بهطور کلی کاربرد کودهای آلی باعث افزایش مواد آلی در خاک می‌شود که قابلیت جذب آهن، روی، مس، منگنز، نیتروژن، فسفر و پتاسیم خاک را بالا می‌برد و با پاشش چای کمپوست روی گیاه سرعت انتقال عناصر غذایی افزایش می‌باید و عناصر غذایی مستقیماً وارد اندام هوازی می‌شوند، بنابراین قابلیت جذب عناصر غذایی افزایش می‌باید، در واقع با فراهم کردن عناصر غذایی مورد نیاز گیاه و افزایش فتوسنتر، رشد و عملکرد گیاه تحت تأثیر قرار می‌گیرد. ورمی کمپوست از طریق بهبود ساختمان خاک، خصوصیات فیزیکوشیمیابی و زیستی خاک باعث بهبود رشد گیاه شده که پیامد آن افزایش عملکرد گیاه می‌باشد. در مجموع نتایج بهدست آمده از این تحقیق نشان داد در غالب صفات مورد بررسی، تلفیقی ورمی کمپوست و چای کمپوست برتری قابل توجهی را نسبت به کاربرد جداگانه آن‌ها دارد و با توجه به نتایج حداکثر وزن خشک و عناصر مغذی با مصرف مقدار کمتری از ورمی کمپوست در شرایط محلول پاشی چای کمپوست حاصل شد بنابراین استفاده تلفیقی از چای کمپوست و ورمی کمپوست توصیه می‌شود.

وزنی ورمی کمپوست تفاوت معنی‌دار نداشت و کمترین میزان فسفر اندام هوازی (۴/۵۵ درصد) در تیمار فاقد کود بود و به جز تیمار ۵ درصد وزنی ورمی کمپوست با سایر تیمارها تفاوت معنی‌دار نداشت (شکل ۵). گزارش شده است چای کمپوست حاوی مواد معدنی و میکرووارگانیسم‌های نظیر میکرووارگانیسم‌های محلول کننده فسفر می‌باشد که فسفر غیر قابل حرکت را به اشکال متحرک تبدیل می‌کند (۲۳). همچنین ورمی کمپوست نیز دارای میکرووارگانیسم‌های حل کننده فسفر می‌باشد (۱۹). افزودن ورمی کمپوست به خاک باعث افزایش فسفر خاک می‌شود (۳۷). لذا احتمالاً در این آزمایش میکرو ارگانیسم‌های محلول کننده فسفر، فسفر غیر قابل حرکت را به اشکال متحرک تبدیل کرده و باعث افزایش جذب فسفر در گیاه شده است. گزارش شده افزودن ۴۰ درصد حجمی ورمی کمپوست باعث افزایش میزان فسفر برگ گوجه فرنگی شد (۱) و در آزمایش دیگر گزارش شد افزودن ۲۰ تن درهکتار ورمی کمپوست غنی شده باعث افزایش میزان فسفر لوبيا چشم بلبلی شد (۱۶).

نتیجه‌گیری

ورمی کمپوست و چای کمپوست از نظر مواد مغذی قابلیت مقایسه با سایر کودهای آلی را دارند. با کاربرد ورمی کمپوست در خاک و

References

1. Abrishamchi, P., Ganjali, A., Beikkhurmizi, A., and Avan, A. 2014. Effect of vermicompost on germination and seedling growth of varieties mobile and superorbina tomato. Journal of Horticulture Science 27 (4): 383-393. (in Persian with English abstract).
2. Ahmadabadi, Z., Ghajar Sepanlou, M., and Bahmanyar, M. A. 2011. Effect of vermicompost application on amount of micro elements in soil and the content in the medicinal plant of Borage (*Borago officinalis*). Journal of Crop Improvement 13 (2): 1-12. (in Persian with English abstract).
3. Atiyeh, R., Arancon, N., Edwards, C., and Metzger, J. 2000. Influence of earthworm-processed pig manure on the growth and yield of greenhouse tomatoes. Bioresource Technology 75: 175-180.
4. Atiyeh, R., Lee, S., Edwards, C., Arancon, N., and Metzger, J. 2002. The influence of humic acids derived from earthworm-processed organic wastes on plant growth. Bioresource Technology 84: 7-14.
5. Bachman, G., and Metzger, J. 2008. Growth of bedding plants in commercial potting substrate amended with vermicompost. Bioresource Technology 99: 3155-3161.
6. Bess, V. H. 2000. Understanding compost tea. Biocycle 41: 71-72.
7. Bremner, J. 1965. Total nitrogen. Methods of soil analysis. Part 2. Chemical and microbiological properties 1149-1178.
8. Carlos, G. G. R., Dendooven, L., and Antonio, G. M. F. 2008. Vermicomposting leachate (worm tea) as liquid fertilizer for maize (*Zea mays L.*) forage production. Asian Journal of Plant Sciences 7 (4): 360-367.
9. Cavender, N. D., Atiyeh, R. M., and Knee, M. 2003. Vermicompost stimulates mycorrhizal colonization of roots of *Sorghum bicolor* L. at the expense of plant growth. Pedobiologia 47: 85-89.
10. Edwards, C. A., Arancon, N. O., and Greystak, S. 2006. Effects of vermocompost teas on plant growth and disease. Biocycle 47: 28-31.
11. Gutierrez-Miceli, F., Moguel-Zamudio, B., Abud-Archila, M., Gutierrez-Oliva, V., and Dendooven, L. 2008a. Sheep manure vermicompost supplemented with a native diazotrophic bacteria and mycorrhizas for maize cultivation. Bioresource Technology 99: 7020-7026.
12. Hameeda, B., Harini, G., Rupela, O., and Reddy, G. 2007. Effect of composts or vermicomposts on sorghum growth and mycorrhizal colonization. African Journal of Biotechnology 6: 9-12.
13. Hashemimajd, K., Kalbasi, M., Golchin, A., and Shariatmadari, H. 2004. Comparison of vermicompost and

- composts as potting media for growth of tomatoes. *Journal of plant Nutrition*, 27: 1107-1123.
14. Kazemi Arbat, H. 2007. *The Cereal*. Tehran university publication center, Tehran. (in Persian with English abstract).
 15. Khan, M., and Scullion, J. 2002. Effects of metal (Cd, Cu, Ni, Pb or Zn) enrichment of sewage-sludge on soil micro-organisms and their activities. *Applied Soil Ecology* 20: 145-155.
 16. Kumari, M., and Ushakumari, K. 2002. Effect of vermicompost enriched with rock phosphate on the yield and uptake of nutrients in cowpea (*Vigna unguiculata* L. Walp). *Journal of Tropical Agriculture* 40: 27-30.
 17. Malathesh, G. 2005. Nutrient substitution through organics in maize. *University of Agricultural Sciences* 6: 1-131.
 18. Mariotti, M., Ercoli, L., and Masoni, A. 1996. Spectral properties of iron-deficient corn and sunflower leaves. *Remote Sensing of Environment* 58: 282-288.
 19. Manivannan, S., Batamurugan, M., Parthasarathi, K., Gunasekaran, G., and Ranganathan, L. 2009. Effect of vermicompost on soil fertility and crop productivity-beans (*Phaseolus vulgaris*). *Journal of Environmental Biology* 30 (2): 275-281.
 20. Pant, A. P., Radovich, T. J., Hue, N. V., Talcott, S. T., and Krenek, K. A. 2009. Vermicompost extracts influence growth, mineral nutrients, phytonutrients and antioxidant activity in pak choi (*Brassica rapa* cv. Bonsai, Chinensis group) grown under vermicompost and chemical fertilizer. *Journal of the Science of Food and Agriculture* 89: 2383-2392.
 21. Pant, A. P., Radovich, T. J., Hue, N. V., and Arancon, N. 2011. Effects of vermicompost tea (aqueous extract) on pak choi yield, quality, and on soil biological properties. *Compost Science and Utilization* 19 (4): 279-292.
 22. Pant, A. P., Radovich, T. J., Hue, N. V., and Paull, R. E. 2012. Biochemical properties of compost tea associated with compost quality and effects on pak choi growth. *Scientia Horticulturale* 148: 138-146.
 23. Paterson, E. 2003. Importance of rhizodeposition in the coupling of plant and microbial productivity. *European Journal of Soil Science* 54: 741-750.
 24. Peyvast, J. G., Olfati, S., and Forghani, A. 2008. Effect of vermicompost on the growth and yield of spinach (*Spinacia oleracea* L.). *Journal of Food Agriculture and Environment* 6: 110-113.
 25. Rashtbari, M., and Alikhani, H. A. 2012. Effect and efficiency of municipal solid waste compost and vermicompost on morpho-physiological properties and yield of canola under drought Stress. *Journal of Agriculture and Sustainable Production* 22 (2): 114-127. (in Persian with English abstract).
 26. Reeve, J. R., Carpenter-Boggs, L., Reganold, J. P., York, A. L., and Brinton, W. F. 2010. Influence of biodynamic preparations on compost development and resultant compost extracts on wheat seedling growth. *Bioresouce Technology* 101: 5658-5666.
 27. Rezvantalab, N., Pirdashti, H., Bahmanyar, M. A., and Abbasyan, A. 2012. Effect of different types and amounts of organic and chemical fertilizer on content of macro elements leaf and seed corn. *Research Journal of Plant Science* 3: 20-30. (in Persian with English abstract).
 28. Roy, S., Arunachalam, K., Dutta, B. K., and Arunachalam, A. 2010. Effect of organic amendments of soil on growth and productivity of three common crops viz *Zea mays*, *Phaseolus vulgaris* and *Abelmoschus esculentus*. *Applied Soil Ecology* 45: 78-84.
 29. Sahni, S., Sarma, B., Singh, D., Singh, H., and Singh, K. 2008. Vermicompost enhances performance of plant growth-promoting rhizobacteria in *Cicer arietinum* rhizosphere against *Sclerotium rolfsii*. *Crop Protection* 27: 369-376.
 30. Schmidt, U. 2003. Enhancing phytoextraction. *Journal of Environmental Quality* 32: 1939-1954.
 31. Singh, R., Sharma, R., Kumar, S., Gupta, R., and Patil, R. 2008. Vermicompost substitution influences growth, physiological disorders, fruit yield and quality of strawberry (*Fragaria xananassa* Duch.). *Bioresouce Technology* 99: 8507-8511.
 32. Scheuerell, S. J., and Mahaffee, W. F. 2004. Compost tea as a container medium drench for suppressing seedling damping-off caused by *Pythium ultimum*. *Phytopathology* 94: 1156-1163.
 33. Shi-Wei, Z., and Fu-Zhen, H. 1991. The nitrogen uptake efficiency from 15N labeled chemical fertilizer in the presence of earthworm manure (cast). *Advances in management and conservation of soil fauna*. 539-542.
 34. Shrestha, K., Shrestha, P., Adetutu, E. M., Walsh, K. B., Harrower, A. S., Ball, D., and Midmore, J. 2011. Changes in microbial and nutrient composition associated with rumen content compost incubation. *Bioresouce Technology* 102: 3848-3854.
 35. Shrestha, K., Shrestha, P., Walsh, K. B., Harrower, K. M., and Midmore, D. J. 2011. Microbial enhancement of compost extracts based on cattle rumen content compost characterisation of a system. *Bioresour Technology* 102: 8027-8034.
 36. Tejada, M., and González, J. 2009. Application of two vermicomposts on a rice crop: effects on soil biological properties and rice quality and yield. *Agronomy Journal* 101: 336-344.
 37. Theunissen, J., Ndakidemi, P., and Laubscher, C. 2010. Potential of vermicompost produced from plant waste on

- the growth and nutrient status in vegetable production. International Journal of the Physical Sciences 5: 1964-1973.
38. Yaghtin, Sh., Moez Ardalan, M. Shorafa, M., and Alikhani, H. A. 2009. Effects of municipal compost and vermicompost on growth and nutrient uptake of corn. Journal of water and soil 19 (2): 211-213. (in Persian with English abstract).
39. Yagi, R., Ferreira, M. E., Cruz, M. C. P. D., and Barbosa, J. C. 2003. Organic matter fractions and soil fertility under the influence of liming, vermicompost and cattle manure. Scientia Agricola 60: 549-557.



Effects of Vermicompost and Compost tea Application on the Growth criteria of Corn (*Zea mays*)

R. Afsharmanesh¹- A. Rahimi²- B.Torabi³- A. Akhgar⁴

Received: 16-07-2014

Accepted: 09-08-2015

Introduction

Maize (*Zea mays*) is a cereal crop that is grown widely throughout the world in a range of agroecological environments. Its value as a cost-effective ruminant feed is one of the main reasons that farmers grow it. However, lack of nutrients such as N and P, are the principal obstacles - to crop production under low input agricultural systems leading to dependency on chemical fertilizers. Long-term use of chemical fertilizers destroy soil physicochemical properties and it reduced permeability which restricts root growth, nutrient uptake and plant production. Therefore, the use of organic fertilizers can help to enrich the soil root zone As a result growth and yield will improve.

Materials and Methods

In order to study the effects of different levels of vermicompost and foliar application of tea compost on growth characteristics of the hybrid maize genotype 713, a greenhouse experiment was conducted as a factorial experiment in randomized complete block design with three replications at the Vali-e-Asr University of Rafsanjan, during 2013. Treatments were included vermicompost (0, 5%, 10%, 15%, 20%, 25% and 30% pot weight) and tea composts (foliar application, non-foliar application). Measured traits were included root dry weight, root volume, leaf dry weight, stem dry weight, macro nutrient concentration (N and P) and micro nutrient concentration (Zn, Mn, Fe and Cu). All the data were subjected to the statistical analysis (two-way ANOVA) using SAS software (SAS 9.1.3). Differences between the treatments were performed by Duncan's multiple range test (DMRT) at 1% confidence interval.

Results and Discussion

Results indicated that leaf and stem dry weight affected by the application of vermicompost and tea compost. However, the interaction effects had no significant effects on the leaf and stem dry weight. Application of tea compost increased 20% and 50% leaf dry weight and stem dry weight of corn compared to non-foliar application, respectively. The highest leaf dry weight and stem dry weight observed at 25% pot weight vermi compost, and lowest leaf and stem dry weight observed in control. Root volume and root dry weight affected by the interaction effects of vermi compost and tea composts. The highest root dry weight and root volume observed in 30% weight in non-foliar application condition. The highest root dry weight and root volume observed in 15% pot weight in tea compost application condition. It is also resulted that Fe concentration of shoot had affected by the application of tea compost, and using vermi compost affected the concentration of Zn, Fe and N in shoot. Application of tea compost increased 15% Fe concentration of shoot compared to non-foliar application. Using vermi compost of 30, 30 and 15% per pot weight increased concentration of Fe, N and Zn of corn shoot, respectively.

Result indicated that Mn, Cu and P concentration of corn shoot affected by interaction effects of vermicompost tea compost. It is also resulted that the highest concentration of Mn, and Cu observed in 15% pot weight in tea compost application condition and the highest concentration of P observed in 5% pot weight in tea compost application.

1- MSc student of agronomy, Vali-e-Asr University of Rafsanjan

2- Associate Professor, Department of Agronomy and Plant Breeding, Agriculture College, Vali-e-Asr University of Rafsanjan

3- Assistant Professor, Department of Agronomy and Plant Breeding, Agriculture College, Vali-e-Asr University of Rafsanjan

4- Assistant Professor, Department of Soil Sciences, Agriculture College, Vali-e-Asr University of Rafsanjan

(* Corresponding Author Email: raheleafshar@ymail.com)

Conclusions

Nutrient contents of vermicompost and tea compost are comparable with other organic fertilizers. Totally, it seems that using tea compost foliar application due to bioavailability nutrient could decrease the amount of vermicompost application.

Keywords: Leaf dry weight, Macro nutrient, Micro nutrient, Root volume, Stem dry weight



تأثیر روش‌های مختلف کشت پیاز خوراکی (*Allium cepa* L.) و میزان نیتروژن بر روند رشدی آن در شرایط تداخل با اویارسلام ارغوانی (*Cyperus rotundus*)

نصرت‌اله کریمی آرپناهی^{۱*}- سید وحید اسلامی^۲- سهراب محمودی^۲- محمد حسن سیاری^۲

تاریخ دریافت: ۱۳۹۳/۰۵/۰۴

تاریخ پذیرش: ۱۳۹۳/۱۲/۱۲

چکیده

به منظور بررسی اثر روش کشت پیاز خوراکی و میزان نیتروژن بر روند رشد آن در شرایط تداخل با اویارسلام ارغوانی، آزمایشی در سال ۱۳۹۲ در گلخانه تحقیقاتی دانشکده کشاورزی بیرجند به صورت فاکتوریل در قالب طرح بلوک کامل تصادفی در سه تکرار اجرا شد. فاکتور اول شامل سه روش کاشت پیاز خوراکی (بذر، سوچه و نشاء) و فاکتور دوم شامل سه سطح مختلف نیتروژن (۱۰۰، ۱۵۰ و ۵۰ کیلوگرم نیتروژن خالص در هکتار) بود. تیمار روش نیتروژن اثر معنی‌داری بر روی ارتفاع، شاخص سطح برگ، وزن خشک اندام هوایی و وزن خشک پیاز داشت. تیمار روش کاشت نیز دارای اثر معنی‌داری بر ارتفاع، تعداد برگ، شاخص سطح برگ، وزن خشک پیاز بود. همچنین اثر متقابل نوع روش کاشت و سطح نیتروژن دارای اثر معنی‌دار بر روی ارتفاع، شاخص سطح برگ و وزن خشک اندام هوایی بود اما بر تعداد برگ و وزن خشک پیاز مؤثر نبود. بررسی روند رشدی پیاز در طی فصل رشد در شرایط تداخل با علف‌هزار اویارسلام ارغوانی نشان داد که بیشترین و کمترین میزان رشد پیاز به ترتیب مربوط به روش سوچه و بذر بود. همچنین تغییرات خصوصیات رشدی پیاز تحت سطح مختلف کود نیتروژن در شرایط رقابت نشان داد که حداقل میزان رشد پیاز در سطح ۱۰۰ و حداقل آن در سطح ۵۰ کیلوگرم نیتروژن خالص حاصل شد. براساس نتایج تحقیق حاضر، می‌توان مقدار ۱۰۰ کیلوگرم نیتروژن خالص و روش کشت سوچه را به عنوان مناسب‌ترین تیمار مدیریتی در مزارع پیاز آبوده به اویارسلام توصیه نمود.

واژه‌های کلیدی: الگوی رشد، پیازچه، قابلیت رقابت، نشاکاری

مقدمه

به حداقل برسد (۳۱). رقابت برای جذب نیتروژن گستردگری شکل رقابت درون گونه‌ای در گیاهان زراعی و رقابت بین گونه‌ای در سامانه‌های رقابت علف‌هزار- گیاه زراعی است. از این رو شناخت نحوه جذب و تخصیص نیتروژن در گیاهان در حال رقابت، می‌تواند به عنوان یک ابزار کلیدی در بهبود راهبردهای مدیریت علف‌های هرز عمل کند (۱۰). در مورد تأثیر نیتروژن بر رقابت گیاهان زراعی با علف‌های هرز تحقیقات زیادی انجام شده است. در آزمایشی نشان داده شد که افزایش نیتروژن در برنج (*Oryza sativa* L.) بیشتر به نفع اویارسلام ارغوانی است و موجب کاهش جذب نور، کاهش شاخص سطح برگ و کاهش عملکرد دانه برنج شد (۲۲). همچنین، گزارش شده است که سلمه‌تره (*Chenopodium album*) و گزارش شده است که *Polygonum convolvulus* (پیچک‌بند) به سطوح بالاتر نیتروژن نشان می‌دهند (۱۱). در آزمایش دیگری نشان داده شد که زیست توده سلمه تره و خردل وحشی به طور چشمگیری با افزایش نیتروژن خاک از ۲۰ به ۱۲۰ میلی‌گرم در کیلوگرم خاک، افزایش یافت و هر دو بیشتر از گندم به افزایش نیتروژن پاسخ دادند (۱۳).

بشر همواره به دنبال افزایش تولید غذا از طریق افزایش عملکرد گیاهان زراعی بوده است. در این مسیر، علف‌های هرز نیز همواره به دلیل رقابت با گیاهان زراعی برای کسب عوامل محیطی و نهاده‌ها، موجب کاهش کیفیت و کمیت محصول می‌شوند. هزینه‌های کنترل و خسارت‌های مربوط به علف‌های هرز، آنها را جزو مهم‌ترین عوامل کاهش‌دهنده تولیدات کشاورزی قرار داده است (۸). امروزه اعتقاد بر این است که نمی‌توان مزرعه را عاری از علف‌هزار نمود و حتی در صورت امکان پذیر بودن، این امر اقتصادی نیست. البته می‌توان با اعمال روش‌های صحیح مدیریت زراعی، جمعیت گونه‌های خاصی از علف‌های هرز و یا گروهی از آنها را چنان کاهش داد که رقابت آنها

۱- دانشجوی کارشناسی ارشد دانشگاه بیرجند

۲- دانشیار گروه زراعت دانشکده کشاورزی دانشگاه بیرجند

۳- استادیار گروه زراعت دانشکده کشاورزی دانشگاه بیرجند

(*)- نویسنده مسئول: kariminosratalah@yahoo.com

ممکن است تأثیر قابل ملاحظه‌ای بر توان رقابتی آن با علف هرز اویارسلام داشته باشد. عنصر نیتروژن نیز می‌تواند بر فرآیند رقابت علف‌های هرز و گیاهان زراعی-باغی تأثیر زیادی داشته باشد. از آنجایی که اثر روش‌های مختلف کشت پیاز و میزان نیتروژن بر روند رشدی پیاز در شرایط تداخل با اویارسلام ارگوانی بررسی نشده است این تحقیق با هدف ارزیابی تأثیر روش کاشت و مقدار کاربرد نیتروژن بر خصوصیات رشدی پیاز در حضور اویارسلام انجام شد.

مواد و روش‌ها

این آزمایش به منظور بررسی روند تغییرات خصوصیات رشدی پیاز خوارکی تحت تأثیر روش کشت و سطوح نیتروژن در شرایط تداخل با اویارسلام ارگوانی در سال ۱۳۹۲ در گلخانه تحقیقاتی دانشکده کشاورزی دانشگاه بیرجند اجرا شد. آزمایش به صورت فاکتوریل و در قالب طرح بلوک کامل تصادفی در سه تکرار اجرا شد. عوامل مورد بررسی عبارت بودند از سه روش کاشت پیاز خوارکی رقم پریماورا (بذر، نشاء و سوچجه)، و مقادیر مختلف کود نیتروژن با لحاظ نیتروژن موجود در خاک در سه سطح شامل (۵۰، ۱۰۰ و ۱۵۰ میلی‌گرم کیلوگرم نیتروژن خالص در هکتار معادل ۲۵، ۵۰ و ۷۵ میلی‌گرم نیتروژن خالص در هر کیلوگرم خاک) که برای این ممنظور از کود اوره با خلوص ۴۶ درصد نیتروژن استفاده شد. خاک مورد استفاده از مزرعه تحقیقاتی دانشگاه آزاد واحد بیرجند تهیه شد و جهت تعیین خصوصیات فیزیکی و شیمیایی مورد آزمایش قرار گرفت که دارای بافت لومی شنی ($11/4$ درصد رس، $21/4$ درصد سیلت و $67/2$ درصد شن) بود. تیمارهای کودی به صورت محلول قبل از کاشت به خاک اضافه و کاملاً با خاک مخلوط شد و سپس خاک به گلدان‌های مورد نظر انتقال و عمل کشت انجام شد. ابتدا غده‌های اویارسلام جوانه‌دار شدند و در عمق دو و نیم سانتی‌متری هر گلدان (ارتفاع ۲۰ و قطر دهانه و کف بهترتبیب ۲۰ و ۱۴ سانتی‌متر) یک غده کشت شد و همزمان سوچجه (از پیازچه‌های ریز و یک اندازه با وزن تقریباً برابر با ۱۰ گرم استفاده شد)، نشاء (بعد از ۶ هفته نشاء‌هایی با ارتفاع تقریباً ۱۵ سانتی‌متر به گلدان‌ها انتقال داده شدند) و بذر (از بذرهای اصلاح شده رقم پریماورا با وزن هزار دانه $20/71$ گرم استفاده شد) با تراکم 32 بوته در متر مربع (یک بوته در گلدان) بهترتبیب در عمق دو، یک و نیم سانتی‌متر در فاصله پنج سانتی‌متری از غده اویارسلام کشت و آبیاری به طور روزانه در حد ظرفیت زراعی انجام شد. بوته‌های پیاز در دو، چهار، شش، هشت و ده هفته پس از سبزشدن برداشت شد و برای هر مرحله تکرار جداگانه‌ای در نظر گرفته شد به گونه‌ای که با هر برداشت، تعداد 27 گلدان از آزمایش حذف شد. در هر مرحله ارتفاع، تعداد برگ و سطح برگ اندازه‌گیری شد. سطح برگ‌ها توسط دستگاه اندازه‌گیری سطح برگ (Leaf Area) پیاز خوارکی (*Allium cepa* L.) گیاهی دوساله متعلق به خانواده Alliaceae است که در سال اول تولید سوچ می‌کند (۲۳). پیاز یکی از مهمترین سبزی‌ها در جهان است به طوری که بعد از گوجه فرنگی (*Lycopersicon esculentum* Mill.) در رتبه دوم قرار دارد (۵). پیاز به سه روش کاشت مستقیم بذر، نشاء‌کاری و سوچجه (یا آنیون ست به پیازچه‌های به قطر کمتر از 25 میلی‌متر و وزن دو تا سه گرم گفته می‌شود) تکثیر می‌شود (۲۹). در آزمایشی که با هدف بررسی و مقایسه روش‌های تکثیر پیاز (نشاء، سوچجه و کشت مستقیم بذر) انجام شد روش نشاء‌کاری توصیه شد (۱۷). در تحقیقاتی که در منطقه شهداد کرمان و برخی استان‌های جنوبی کشور انجام شد، روش تولید پیاز از طریق سوچجه باعث تولید محصول زودرس گردید (۹). در بررسی که در پاکستان بر روی روش‌های مختلف تولید محصول پیاز انجام شد مشخص گردید روش پیازچه به دلیل دارا بودن مواد ذخیره-افراوان در مقایسه با تولید محصول با بذر و نشاء موجب سرعت رشد محصول در مزرعه شده و محصول زودرس گردید (۲۴).

یکی از مهمترین علف‌های هرز مزارع پیاز خوارکی، اویارسلام ارگوانی است که به دلیل رشد کند پیاز در اوایل دوره رویشی، باعث کاهش قابل ملاحظه‌ای در عملکرد پیاز می‌شود. اویارسلام ارگوانی (*Cyperus rotundus* L.) گیاهی است از تیره جگنیان (Cyperaceae) و چند ساله C_4 به ارتفاع 30 تا 60 سانتی‌متر که توسط غده، ریزوم و بذر تکثیر می‌یابد (۲۶). اویارسلام از نظر اقتصادی یک علف هرز مهم است که در رقابت با 50 نوع محصول زراعی بوده و در بیش از 92 کشور وجود دارد که به دلیل پراکنش گسترده و قابلیت رقابتی بالا جزو بدترین علف‌های هرز دنیا به شمار می‌آید (۱۲). یکی از اثرات عمده اویارسلام ارگوانی کاهش در عملکرد محصولات زراعی است. این علف هرز به طور ویژه در تولید پیاز مشکل ساز می‌باشد، به طوری که می‌تواند عملکرد پیاز را 23 تا 84 درصد کاهش دهد (۲۵). به طوری که گزارشات نشان داده است که رقابت دراز مدت اویارسلام ارگوانی در طول فصل، باعث کاهش 89 درصدی عملکرد در سیر (*Allium sativum* L.), *Abelmoschus esculentus* L. (*Cucumis sativus* L.), *Daucus carota* L. (*Brassica oleracea* L. var. *capitata*) (*Lactuca sativa* L.) (۱۴)، 54 درصد در کاهو (*Abelmoschus esculentus* L.) (۲۰) درصد در گوجه فرنگی (*Lycopersicon esculentum* Mill.) (۲۷) شده است. در بین سبزی‌ها، پیاز خوارکی در برابر علف‌های هرز، به ویژه اویارسلام، قدرت رقابتی بسیار ضعیفی دارد. به نظر می‌رسد شناخت و به کارگیری استراتژی‌های مدیریت زراعی مناسب در جهت بهره‌گیری از فضای و منابع غذایی به نفع گیاه پیاز، خواهد توانست قابلیت رقابتی علف هرز اویارسلام را کاهش دهد. در این راستا روش کاشت پیاز

به سزایی در قدرت رقابتی گیاه زراعی در برابر علف‌های هرز داشته باشد. نتایج مقایسات میانگین اثرات متقابل نوع روشن کاشت پیاز و سطوح مختلف کود نیتروژن بیانگر برتری روشن سوچه و سطوح بالای نیتروژن در صفت ارتفاع پیاز می‌باشد به گونه‌ای که در تمام مراحل نمونه‌برداری بیشترین ارتفاع پیاز در روشن سوچه و سطوح بالای نیتروژن بدست آمد. همچنین کمترین ارتفاع پیاز در طی فصل رشد در روشن بذر و سطح ۱۵۰ کیلوگرم در هکتار نیتروژن خالص حاصل شد. به طور کلی روشن بذر نسبت به سایر روشن‌ها از قدرت رقابتی کمتری برای رقابت با اویارسلام برخوردار بود. به علت بنیه ضعیف و رشد کند گیاهان حاصل از کشت مستقیم بذر در اویل فصل رشد، علف‌های هرز بتویشه اویارسلام توانایی این را دارند که سریع رشد کنند و ارتفاع بیشتری تولید و خسارت بیشتری از طریق سایه‌اندازی به محصول وارد کنند. روشن سوچه نسبت به سایر روشن‌ها توانایی بیشتری برای رقابت با اویارسلام ارغوانی داشت و ارتفاع آن را بیشتر کاهش داد (جدول ۲).

(Meter) ساخت کشور انگلستان مدل LI-1300 تعیین شد. همچنین در انتهای هر برداشت بوته‌های پیاز برداشت و ماده خشک (اندام هوایی و اندام زیرزمینی) آنها پس از خشک کردن در آون و در دمای ۷۵ درجه سانتی‌گراد به مدت ۴۸ ساعت، با ترازوی دیجیتال با دقیقیت یک هزارم گرم توزیں شد. تمامی داده‌ها توسط نرم افزار Sigma Plot Ver. 11.0 مورد تجزیه و تحلیل قرار گرفت و با استفاده از تجزیه واریانس رابطه بین قدرت رقابتی اویارسلام و پیاز و دیگر شاخص‌ها، مورد بررسی قرار گرفت و نمودارهای مربوطه توسط نرم افزار Excel Ver. 2013 ترسیم شد.

نتایج و بحث

ارتفاع گیاه

نتایج تجزیه واریانس پنج مرحله ارتفاع گیاه پیاز نشان داد که بین روشن‌های کاشت و سطوح نیتروژن و همچنین اثر متقابل آنها از نظر رشد طولی ساقه اختلاف معنی‌داری ($P < 0.01$) وجود دارد (جدول ۱). ارتفاع بوته و تغییرات آن در طی فصل رشد می‌تواند تأثیر

جدول ۱- نتایج تجزیه واریانس اثر روشن کاشت پیاز و سطوح نیتروژن بر ارتفاع پیاز خواراکی

Table 1- Analysis of variance of the effect of sowing method of onion and nitrogen levels on height of onion

منابع تغییرات	Source of variation	درجه آزادی df	میانگین مربعات (Mean squares)				
			هفته پس از کاشت				
			2	4	6	8	10
تکرار	Replication	2	1.62	7.0	2.74	1.0	3.21
روشن کاشت	Sowing method (A)	2	769.76**	1851.08**	3928.17**	2741.77**	1702.6**
سطوح نیتروژن	Levels of nitrogen (B)	2	32.96**	75.25**	62.36**	55.44**	68.47**
	AxB	4	5.83**	12.08ns	53.11**	46.55**	56.52**
خطا	Error	16	0.660	6.29	2.40	4.87	1.26
ضریب تغییرات	%CV	-	5.68	9.92	4.36	4.85	2.04

* و ** به ترتیب غیر معنی‌دار و معنی‌دار در سطح احتمال ۵ و ۱ درصد

ns, * and ** means non-significant and significant at the 5 and 1% probability levels, respectively.

جدول ۲- مقایسات میانگین اثرات متقابل کود نیتروژن بر ارتفاع پیاز خواراکی (سانتی‌متر)

Table 2- Comparisons of means for interaction effects of onion sowing method and different nitrogen levels on height of onion

Sowing method of onion	نوع روشن کاشت پیاز	سطوح کود نیتروژن (kg ha ⁻¹)	هفته پس از کاشت				
			2	4	6	8	10
Anion set	پیازچه	50	26.0 ^a	34.6 ^b	50.7 ^b	60.3 ^a	59.0 ^d
		100	22.0 ^b	40.0 ^a	54.3 ^b	60.0 ^a	72.0 ^a
		150	20.7 ^b	43.3 ^a	63.0 ^a	58.0 ^{ab}	64.0 ^b
Direct seeding	کشت مستقیم بذر	50	6.0 ^f	9.3 ^e	14.8 ^e	24.3 ^d	42.5 ^e
		100	5.3 ^f	12.0 ^e	14.9 ^e	28.0 ^d	40.3 ^f
		150	2.2 ^g	10.6 ^e	13.0 ^e	25.3 ^d	34.7 ^g
Transplant	نشاء	50	15.7 ^d	21.8 ^d	32.3 ^d	43.3 ^c	59.3 ^d
		100	17.2 ^c	28.3 ^c	40.0 ^c	54.3 ^b	61.7 ^c
		150	13.7 ^e	27.3 ^c	37.0 ^c	55.3 ^b	60.0 ^{cd}

داده‌های با حروف مشابه براساس آزمون FLSD اختلاف معنی‌داری با هم ندارند.

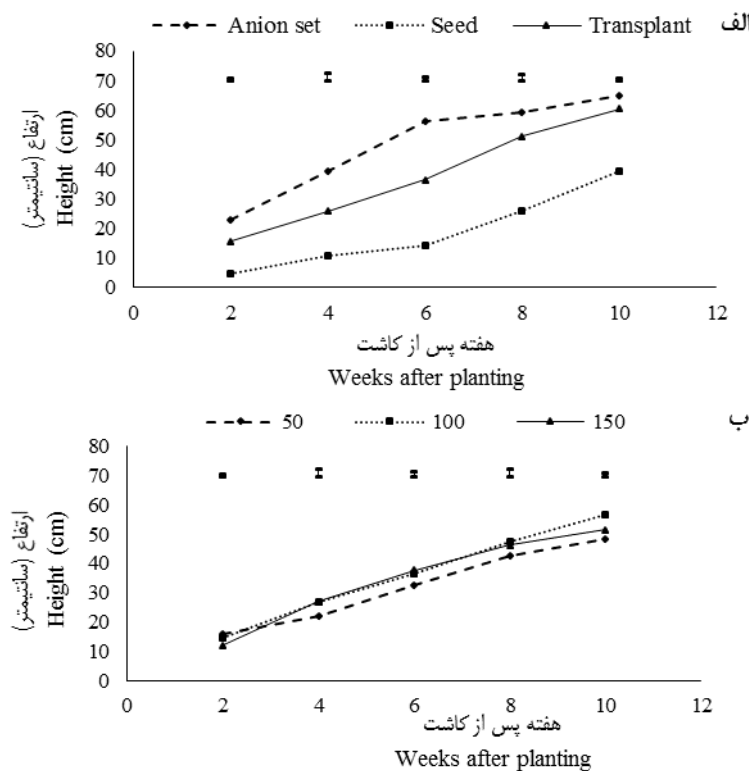
Data followed by the same letters are not significantly different based on FLSD test.

حداکثر ارتفاع پیاز در سطح ۱۰۰ کیلوگرم در هکتار به دست آمد. همچنین از هفته دوم (شکل ۱، ب) در آزمایشی گزارش شد که بیشتر بودن ارتفاع ارقام گندم (*Triticum aestivum L.*) می‌تواند یکی از دلایل بالا بودن شاخص رقابت در مقابل علف هرز یولاف وحشی (*Avena fatua L.*) باشد و نیز نشان دادند که ارقام دارای ارتفاع کمتر، غیر رقابتی ترند و ارتفاع بوته از شاخص‌هایی است که می‌تواند در ارزیابی قدرت رقابتی ژنتوپیپ‌ها مورد استفاده قرار گیرد (۲).

تعداد برگ

نتایج تجزیه واریانس پنج مرحله تعداد برگ گیاه پیاز نشان داد که بین روش‌های کاشت از نظر این صفت در تمام مراحل اختلاف معنی‌دار وجود داشت ($P < 0.01$) (جدول ۳). نتایج مقایسه میانگین اثر اصلی روش کاشت نشان داد که کمترین تعداد برگ گیاه پیاز در هر ۵ زمان نمونه‌برداری در روش کاشت بذر مشاهده شد و تعداد آن در هشت و ده هفته پس از کاشت به ترتیب برابر با ۴/۳۳ و ۴/۶۶ برگ در بوته بود.

روند تغییرات ارتفاع گیاه پیاز در اوایل فصل رشد حاکی از برتری روش کشت سوچچه و نشاء نسبت به بذر بود. این ویژگی می‌تواند در شرایط تداخل با علف‌های هرز یک مزیت رقابتی محسوب شود. خصوصیات نشاء و سوچچه اعم از ارتفاع اولیه نشاء یا ذخایر غذایی سوچچه تأثیر زیادی در ارتفاع نهایی گیاه پیاز داشت. نشاء پیاز در همان مراحل اولیه رشد دارای ارتفاع بیشتری بود اما سوچچه به دلیل داشتن ذخایر غذایی فراوان و بذر به دلیل اندوخته غذایی کم به ترتیب دارای بیشترین و کمترین سرعت رشد بودند. اگرچه روند تغییرات ارتفاع پیاز در طی فصل رشد به صورت افزایشی بود اما در طی تمام مراحل نمونه‌برداری بیشترین و کمترین ارتفاع پیاز به ترتیب در روش سوچچه و بذر حاصل شد (شکل ۱، الف). ارتفاع بوته در اغلب منابع به عنوان یکی از معیارهای توانایی رقابتی ارقام و گونه‌های مختلف زراعی مطرح است که خود تحت تأثیر تراکم، نوع علف‌هرز و شرایط محیطی قرار می‌گیرد (۱). تغییرات ارتفاع بوته تحت تأثیر سطوح مختلف کود نیتروژن در طی فصل رشد نشان داد که تا هشت هفته پس از کاشت بیشترین ارتفاع پیاز در سطوح بالای نیتروژن (۱۰۰ و ۱۵۰ کیلوگرم در هکتار) تولید شد اما در ده هفته پس از کاشت



شکل ۱- تغییرات ارتفاع گیاه پیاز در طول دوره رشد تحت تأثیر روش‌های مختلف کاشت (الف) و سطوح مختلف کود نیتروژن (ب)
خطوط عمودی بالای هر مرحله نمونه‌برداری مقدار LSD را در سطح احتمال پنج درصد نشان می‌دهد

Figure 1- Changes of onion plant height during growth season influenced by different planting methods (a) and different levels of nitrogen (b) (Vertical lines on each sampling represent LSD value at the 5% level)

جدول ۳- نتایج تجزیه واریانس اثر روش کاشت پیاز و سطوح نیتروژن بر تعداد برگ پیاز خوارکی

Table 3- Analysis of variance of the effect of sowing methods of onion and nitrogen levels on leaf number of onion

منابع تغییرات	Source of variation	درجه آزادی df	میانگین مربعات (Mean squares)				
			هفته پس از کاشت				
			2	4	6	8	10
تکرار	Replication	2	0.48	0.14	1.81	0.70	0.77
روش کاشت	Sowing method (A)	2	38.25**	72.48**	108.59**	164.03**	180.11**
سطوح نیتروژن	Levels of nitrogen (B)	2	0.03ns	0.14ns	0.25ns	11.25**	31.44**
	AxB	4	0.09ns	0.14ns	0.37ns	15.59**	34.55**
خطا	Error	16	0.18	0.43	0.35	1.28	0.48
ضریب تغییرات	%CV	-	14.70	13.98	9.31	14.24	7.29

* و ** به ترتیب غیر معنی دار و معنی دار در سطح احتمال ۵ و ۱ درصد ns

ns, * and ** means non-significant and significant at the 5 and 1% probability levels, respectively.

آمد که برابر با ۲۰ برگ در بوته بود. همچنین کمترین تعداد آن (۴/۳۳) برگ در بوته در روش کاشت بذر و سطح ۱۵۰ کیلوگرم در هکتار حاصل شد (جدول ۴).

بررسی روند تغییرات تعداد برگ گیاه پیاز در طی فصل رشد نشان داد حداقل تعداد برگ پیاز در روش کاشت بذر و حداً کمتر آن در روش کاشت سوچه تولید شد (شکل ۲، الف). وجود تعداد برگ بیشتر در لایه‌های مختلف کانونی منجر به نفوذ هرچه کمتر نور در لایه‌های زیرین می‌شود. از طرفی جهت نفوذ کمتر نور به داخل کانونی تعداد برگ نسبت به اندازه برگ و زوایه برگ دارای اهمیت کمتری می‌باشد. برگ‌های بیشتر سطح برگ گیاه را افزایش داده و توانایی رقابت آن را نیز افزایش می‌دهد (۱). توانایی پایین گیاه پیاز در تولید برگ در روش کشت مستقیم بذر و سطوح بالای نیتروژن می‌تواند برای اویارسلام ارغوانی یک مزیت رقابتی محسوب شود.

در تمام زمان‌های نمونه‌برداری بیشترین تعداد برگ پیاز در روش کاشت سوچه تولید شد که تعداد آن در هشت و ده هفته پس از کاشت به ترتیب برابر با ۱۲/۶۶ و ۱۳/۴۴ برگ در بوته بود (شکل ۲، الف).

نتایج تجزیه واریانس در دو، چهار و شش هفته پس از کاشت نشان داد اثر اصلی سطوح نیتروژن و اثر متقابل روش کاشت پیاز در سطوح نیتروژن تفاوت معنی دار مشاهده نشد (جدول ۴) اما مقایسه میانگین اثر متقابل در هشت هفته پس از کاشت حاکی از برتری روش کاشت سوچه و سطح ۱۰۰ کیلوگرم در هکتار نیتروژن خالص بود و تعداد برگ در این مرحله برابر با ۱۶ بود. همچنین حداقل تعداد برگ پیاز در این مرحله در روش کاشت بذر و سطح ۱۰۰ کیلوگرم در هکتار به دست آمد که برابر با چهار برگ در بوته بود. نتایج مقایسه میانگین اثرات متقابل نوع روش کاشت نشان داد که بیشترین تعداد برگ نیتروژن در ده هفته پس از کاشت نشان داد که بیشترین تعداد برگ پیاز در روش کاشت سوچه و سطح ۱۰۰ کیلوگرم در هکتار به دست

جدول ۴- مقایسات میانگین اثرات متقابل نوع روش کاشت پیاز و سطوح مختلف کود نیتروژن بر تعداد برگ پیاز خوارکی

Table 4- Comparisons of means for interaction effects of onion sowing method and different nitrogen levels on leaf number of onion

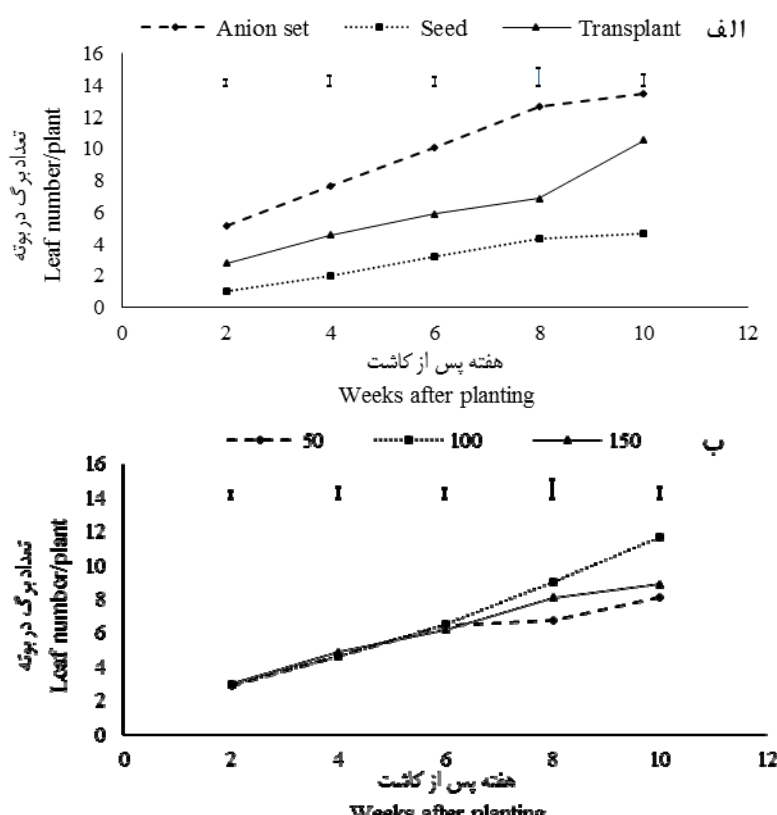
نوع روش کاشت پیاز Sowing method of onion	سطوح کود نیتروژن levels of nitrogen (kg ha ⁻¹)	هفته پس از کاشت Weeks after planting	
		8	10
پیازچه Anion set	50	8.66 ^c	9.33 ^d
	100	16.0 ^a	20.0 ^a
	150	13.33 ^b	11.0 ^{bc}
کشت مستقیم بذر Direct seeding	50	4.33 ^{ef}	5.0 ^e
	100	5.0 ^f	4.66 ^e
	150	4.66 ^f	4.33 ^e
نشاء Transplant	50	7.33 ^{cd}	10.0 ^{cd}
	100	7.0 ^{cd}	10.33 ^{bcd}
	150	6.33 ^{de}	11.33 ^b

داده‌های با حروف مشابه براساس آزمون FLSD اختلاف معنی داری با هم ندارند.

Data followed by the same letters are not significantly different based on FLSD test.

سطح مختلف کود نیتروژن در طی فصل رشد نشان داد تا شش هفته پس از کاشت روند تغییرات تولید برگ در هر سه سطح نیتروژن مشابه بود اما بیشترین تعداد برگ در هشت و ده هفته پس از کاشت در سطح ۱۰۰ کیلوگرم در هکتار و کمترین تعداد آن در سطح ۵۰ کیلوگرم در هکتار حاصل شد (شکل ۲، ب).

بنابراین در شرایط رقابت روشنی که بتواند منجر به کاهش تعداد برگ اویارسلام شود می‌تواند در فرآیند رقابت برتر باشد که براساس نتایج این تحقیق، روش کشت سوچه توانست بیشترین تأثیر را بر اویارسلام داشته باشد، چون کمترین تعداد برگ و سطح برگ اویارسلام در این روش تولید شد. تغییرات تعداد برگ پیاز تحت



شکل ۲- تغییرات تعداد برگ گیاه پیاز در طول دوره رشد تحت تأثیر روش‌های مختلف کاشت (الف) و سطوح مختلف کود نیتروژن (ب) (خطوط عمودی بالای هر مرحله نمونه برداری مقدار LSD را در سطح احتمال پنج درصد نشان می‌دهد)

Figure 2- Changes of onion plant leaf number during growth season influenced by different planting methods (a) and different levels of nitrogen (b) (Vertical lines on each sampling represent LSD value at the 5% level)

جدول ۵- نتایج تجزیه واریانس اثر روش کاشت پیاز و سطوح نیتروژن بر شاخص سطح برگ پیاز خوراکی

Table 5- Analysis of variance of the effect of sowing methods of onion and nitrogen levels on leaf area index of onion

منابع تغییرات	Source of variation	درجه آزادی df	میانگین مربعات (Mean squares)			
			4	6	8	10
تکرار	Replication	2	0.001	0.001	0.0004	0.003
روش کاشت	Sowing method (A)	2	0.051**	0.216**	0.442***	0.685***
سطوح نیتروژن	Levels of nitrogen (B)	2	0.0008 ^{ns}	0.002 ^{ns}	0.008**	0.037**
	AxB	4	0.0008 ^{ns}	0.002*	0.003*	0.022**
خطا	Error	16	0.0006	0.0009	0.0008	0.001
ضریب تغییرات	%CV	-	32.60	17.74	11.38	11.18

* و ** به ترتیب غیر معنی‌دار و معنی‌دار در سطح احتمال ۵ و ۱ درصد ns

ns, * and ** means non-significant and significant at the 5 and 1% probability levels, respectively.

سطح برگ پیاز و همچنین بالاتر بودن میزان سطح برگ اویارسلام در روش کشت مستقیم بذر می‌تواند به دلیل تولید گیاهچه با بنیه ضعیف در روش کشت بذر نسبت به سایر روش‌ها و در نتیجه افزایش میزان سایه‌اندازی علف‌هرز بر بوته‌های بذری و محدود ساختن رشد آنها باشد. به همین دلیل به نظر می‌رسد که این روش نسبت به سایر روش‌های کاشت، بیشتر تحت تأثیر رقابت با اویارسلام ارجوانی قرار گرفته است. در تمام مراحل نمونه‌برداری بیشترین میزان سطح برگ پیاز و کمترین میزان سطح برگ علف‌هرز، در روش سوچه مشاهده شد. رقابت اویارسلام از همان ابتدا موجب کاهش سطح برگ گیاهچه‌های بذری شد، این موضوع نشان می‌دهد که سطح برگ جزء اولین خصوصیاتی است که تحت تأثیر رقابت قرار می‌گیرد. شاخص سطح برگ بالاتر و توان حفظ آن در حضور علف‌هرز می‌تواند با اثر مستقیمی که بر فنوتستز و رشد دارد باعث افزایش قدرت رقابتی گیاه زراعی شود. شاید به همین دلیل باشد که روش سوچه با بیشترین میزان سطح برگ در بین روش‌های کاشت پیاز، بیشترین اثر بازدارنده را بر رشد اویارسلام داشته است (شکل ۳، الف). در آزمایشی گزارش شد که جو نسبت به یولاف دارای قدرت رقابتی بالاتری است. محققین در بین صفات مؤثر در قدرت رقابتی به سطح برگ بیشتر جو اشاره کردند (۱۶). سطح برگ یکی از خصوصیات فیزیولوژیک مؤثر می‌باشد که به خوبی می‌تواند رقابت درون گونه‌ای و برون گونه‌ای علف هرز را نشان دهد. نتایج برخی تحقیقات مؤید تأثیر چشم‌گیر افزایش شاخص سطح برگ گیاه زراعی بر کاهش کیفیت و کمیت نور رسیده به علف‌های هرز موجود در لایه‌های پایین کانونی می‌باشد که در پی آن از رشد و نمو و استقرار گروه‌های بعدی علف‌های هرز ممانعت به عمل می‌آید.

شاخص سطح برگ

نتایج تجزیه واریانس شاخص سطح برگ پیاز نشان داد بین روش‌های کاشت و سطوح نیتروژن (هشت و ده هفته پس از کاشت) تفاوت معنی‌داری وجود دارد. بین اثرات متقابل این فاكتورها در شش و هشت هفته پس از کاشت ($P<0.05$) و ده هفته پس از کاشت ($P<0.01$) اختلاف معنی‌دار مشاهده شد (جدول ۵).

بیشترین میزان شاخص سطح برگ پیاز در تمام مراحل نمونه‌برداری در روش کشت سوچه و سطوح بالای نیتروژن به دست آمد. بیشترین مقدار این صفت در هشت و ده هفته پس از کاشت در سطح نیتروژن ۱۰۰ کیلوگرم در هکتار تولید شد که مقدار آن به ترتیب برابر با 0.0494 و 0.0725 بود. در طی فصل رشد کمترین میزان میزان سطح برگ در روش کشت مستقیم بذر به دست آمد (جدول ۶). سطح برگ یک جزء فیزیولوژیک عمده در تولید عملکرد و سرعت رشد گیاه زراعی است که خود ویژگی‌های پیچیده‌ای دارد و اجزای اصلی آن تعداد برگ و اندازه برگ هستند. شاخص سطح برگ در تعیین درصد تابش خورشیدی جذب شده به سیله هر گیاه مهم است و بنابراین رشد گیاه و عملکرد نهایی ماده خشک را تحت تأثیر قرار می‌دهد (۲۸).

روندهای تغییرات شاخص سطح برگ پیاز در هر سه روش کاشت بعد از سبز شدن دارای یک سیر صعودی بود اما این روند در روش‌های کشت سوچه و نشاء نسبت به روش کشت مستقیم بذر چشمگیرتر بود. گیاه پیاز در روش کشت سوچه به دلیل برخورداری از ذخایر غذایی فراوان، در شرایط تداخل نسبت به علف‌هرز یک رقبه برتر بود به طوری که بیشترین شاخص سطح برگ پیاز و کمترین شاخص سطح برگ علف‌هرز در این روش حاصل شد. کمتر بودن میزان شاخص

جدول ۶- مقایسات میانگین اثرات متقابل نوع روش کاشت پیاز و سطوح مختلف کود نیتروژن بر شاخص سطح برگ پیاز خوارکی

نوع روش کاشت پیاز Sowing method of onion	سطح کود نیتروژن levels of nitrogen (kg ha ⁻¹)	هفته پس از کاشت Weeks after planting		
		6	8	10
پیازچه Anion set	50	0.269 ^b	0.401 ^b	0.413 ^c
	100	0.316 ^b	0.494 ^a	0.725 ^a
	150	0.372 ^a	0.486 ^a	0.624 ^b
کشت مستقیم بذر Direct seeding	50	0.011 ^d	0.024 ^e	0.054 ^e
	100	0.009 ^d	0.016 ^e	0.037 ^e
	150	0.009 ^d	0.016 ^e	0.028 ^e
نشاء Transplant	50	0.179 ^c	0.231 ^d	0.327 ^d
	100	0.198 ^c	0.326 ^c	0.415 ^c
	150	0.179 ^c	0.257 ^d	0.373 ^{cd}

داده‌های با حروف مشابه براساس آزمون FLSD اختلاف معنی‌داری با هم ندارند.

Data followed by the same letters are not significantly different based on FLSD test.

و در نتیجه سطح برگ بیشتری تولید شود. در تحقیقات مختلف گزارش شد که با افزایش مقدار نیتروژن، شاخص سطح برگ افزایش یافت (۲۱ و ۷). کود نیتروژن علاوه بر تأثیرگذاری بر تجمع ماده خشک در گیاه که بیانگر افزایش وزن گیاه در واحد زمان می‌باشد، بر شاخص سطح برگ، دوام سطح برگ و سرعت رشد گیاه و بهبود عملکرد گیاه زراعی و کارایی زراعی نیتروژن مؤثر است.

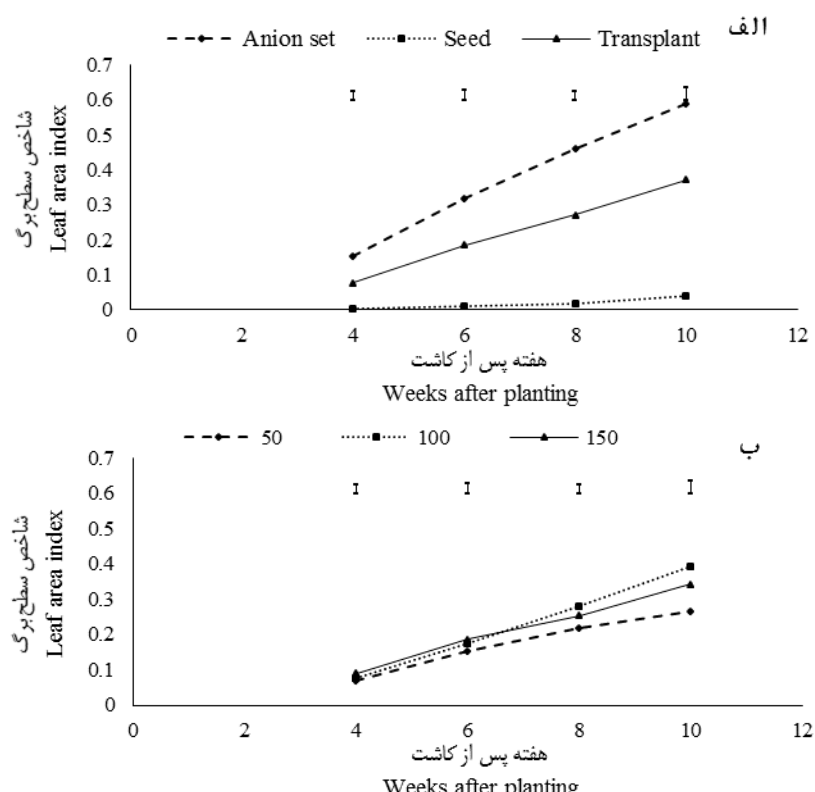
وزن خشک اندام هوایی

نتایج تجزیه واریانس تغییرات پنج مرحله نمونه‌برداری وزن خشک اندام هوایی گیاه پیاز نشان داد که بین اثرات اصلی روش‌های کاشت، سطوح نیتروژن و همچنین اثر متقابل این فاکتورها از نظر این صفت اختلاف معنی‌دار وجود دارد ($P < 0.01$) (جدول ۷).

نتایج مقایسات میانگین اثرات متقابل نوع روش کاشت پیاز و سطوح مختلف کود نیتروژن بیانگر برتری روش کشت سوچه و سطوح بالای نیتروژن می‌باشد.

نتایج مطالعه‌ای در مورد برنج نشان داد که توسعه سریع سطح برگ برنج در مراحل اولیه رشد آن باعث بسته شدن سریع کابوی و فشار بیشتر به جوانه‌زنی علف‌های هرز گردید و از طرفی دیگر موجب افزایش قدرت رقابت برنج به‌واسطه افزایش سرعت رشد محصول و افزایش تجمع ماده خشک گردید (۳۰).

روند تغییرات شاخص سطح برگ پیاز تحت سطوح مختلف کود نیتروژن در طی فصل رشد بیانگر واکنش مثبت پیاز به سطوح بالای نیتروژن می‌باشد به گونه‌ای که بیشترین میزان شاخص سطح برگ تا شش هفته پس از کاشت در سطح نیتروژن ۱۵۰ و از هفته ششم به بعد در سطح ۱۰۰ کیلوگرم در هکتار حاصل شد. همچنین در تمام مراحل نمونه‌برداری کمترین میزان شاخص سطح برگ در سطح ۵۰ کیلوگرم در هکتار به دست آمد (شکل ۳، ب). استفاده از کود نیتروژن در زمان رشد رویشی گیاه و توانایی بالای جذب آن در روش‌های کشت سوچه و نشاء می‌تواند دلیلی بر بالاتر بودن شاخص سطح برگ آنها باشد، که در این حالت برگ‌ها به خوبی می‌توانند رشد کنند.



شکل ۳- تغییرات شاخص سطح برگ گیاه پیاز در طول دوره رشد تحت تأثیر روش‌های کاشت (الف) و سطوح مختلف نیتروژن (ب)
خطوط عمودی هر مرحله نمونه‌برداری مقدار LSD را در سطح احتمال پنج درصد نشان می‌دهد

Figure 3- Changes of onion plant leaf area index during growth season influenced by different planting methods (a) and different levels of nitrogen (b) (Vertical lines on each sampling represent LSD value at the 5% level)

جدول ۷- نتایج تجزیه واریانس اثر روش کاشت پیاز و سطوح نیتروژن بر وزن خشک اندام هوایی پیاز خوارکی

Table 7- Analysis of variance of the effect of sowing methods of onion and nitrogen levels on shoot dry weight of onion

منابع تغییرات	Source of variation	درجه آزادی df	میانگین مربعات (Mean squares)				
			هفته پس از کاشت				
			2	4	6	8	10
تکرار	Replication	2	0.0007	0.008	0.004	0.686	0.039
روش کاشت	Sowing method (A)	2	0.187**	2.906**	7.754**	20.297**	21.421**
سطوح نیتروژن	Levels of nitrogen (B)	2	0.002**	0.095**	0.244**	2.682**	5.022**
	AxB	4	0.004**	0.069**	0.304**	0.950**	4.10**
خطا	Error	16	0.0002	0.014	0.01	0.196	0.076
ضریب تغییرات	%CV	-	13.92	27.68	12.91	30.11	13.99

* و ** بهترین غیر معنی دار و معنی دار در سطح احتمال ۵ و ۱ درصد ns

ns, * and ** means non-significant and significant at the 5 and 1% probability levels, respectively.

جدول ۸- مقایسات میانگین اثرات متقابل نوع روش کاشت پیاز و سطوح مختلف کود نیتروژن بر وزن خشک اندام هوایی (گرم در بوته) پیاز خوارکی

Table 8- Comparisons of means for interaction effects of onion sowing method and different nitrogen levels on shoot dry weight of onion

Sowing method of onion	نوع روش کاشت پیاز	سطوح کود نیتروژن nitrogen levels (kg ha ⁻¹)	هفته پس از کاشت				
			Weeks after planting				
			2	4	6	8	10
Anion set	پیازچه	50	0.336 ^a	0.794 ^c	1.342 ^c	2.379 ^b	1.437 ^d
		100	0.218 ^c	1.086 ^b	1.725 ^b	4.335 ^a	5.565 ^a
		150	0.293 ^b	1.346 ^b	2.392 ^a	2.488 ^b	3.329 ^b
Direct seeding	کشت مستقیم بذر	50	0.014 ^e	0.010 ^e	0.023 ^e	0.116 ^d	0.559 ^e
		100	0.012 ^e	0.010 ^e	0.022 ^e	0.070 ^d	0.283 ^e
		150	0.003 ^e	0.003 ^e	0.022 ^e	0.075 ^d	0.247 ^e
Transplant	نشاء	50	0.056 ^d	0.156 ^{de}	0.536 ^d	0.791 ^{cd}	1.678 ^d
		100	0.078 ^d	0.234 ^d	0.550 ^d	1.884 ^b	2.304 ^c
		150	0.059 ^d	0.223 ^d	0.470 ^d	1.092 ^c	2.174 ^c

داده‌های با حروف مشابه براساس آزمون FLSD اختلاف معنی داری با هم ندارند.

Data followed by the same letters are not significantly different based on FLSD test.

افزایش قابل ملاحظه‌ای یافت. در تمام مراحل نمونه‌برداری روند تولید وزن خشک اندام هوایی دارای سیر صعودی بود و نهایتاً در اواخر فصل رشد، در روش کشت سوچه گیاه پیاز به دلیل برخورداری از سطح برگ بالا، میزان وزن خشک آن نسبت به روش‌های نشاء و بذر قابل ملاحظه بود و بیشترین وزن خشک پیاز در این روش تولید شد. همچنین کمترین مقدار این صفت در روش کشت مستقیم بذر حاصل شد (شکل ۴، الف). در آزمایشی گزارش شد افزایش تراکم اویارسلام ارغوانی باعث کاهش خطی در وزن خشک ساقه در طی گله‌های و بارده‌ی در فلفل (*Capsicum annuum* L.). گوجه فرنگی شد (۱۸). روند تغییرات وزن خشک اندام هوایی پیاز تحت سطوح مختلف کود نیتروژن نشان داد بیشترین وزن خشک اندام هوایی پیاز تا شش هفته پس از کاشت در سطح ۱۵۰ کیلوگرم در هکتار و از هفته ششم به بعد بیشترین وزن خشک اندام هوایی در سطح ۱۰۰ کیلوگرم در هکتار به دست آمد. همچنین در طی تمام

در چهار و شش هفته پس از کاشت بیشترین مقدار وزن خشک اندام هوایی پیاز در سطح ۱۵۰ کیلوگرم در هکتار به دست آمد و مقدار آن بهترین برابر با ۱/۳۴۶ و ۲/۳۹۲ گرم در بوته بود در حالی که در هشت و ده هفته پس از کاشت بیشترین مقدار این صفت در سطح ۱۰۰ کیلوگرم در هکتار حاصل شد که مقدار آن بهترین برابر با ۴/۳۳۵ و ۵/۵۶۵ گرم در بوته بود. کمترین میزان وزن خشک اندام هوایی پیاز در طی تمام مراحل نمونه‌برداری در روش کشت مستقیم بذر به دست آمد (جدول ۸). یکی از شرایط لازم برای دستیابی به عملکرد بالا در پیاز، تولید ماده خشک بیشتر است زیرا ذخیره ماده خشک در برگ‌ها و کل ماده ذخیره شده در واحد سطح از مؤثرترین خصوصیات رشد است که بر عملکرد تأثیر می‌گذارد.

بررسی روند تغییرات وزن خشک اندام هوایی گیاه پیاز در شرایط تداخل با علف هرز اویارسلام ارغوانی نشان داد در اوایل فصل رشد تولید ماده خشک در پیاز به صورت بطئی بوده ولی بعد از چهار هفته

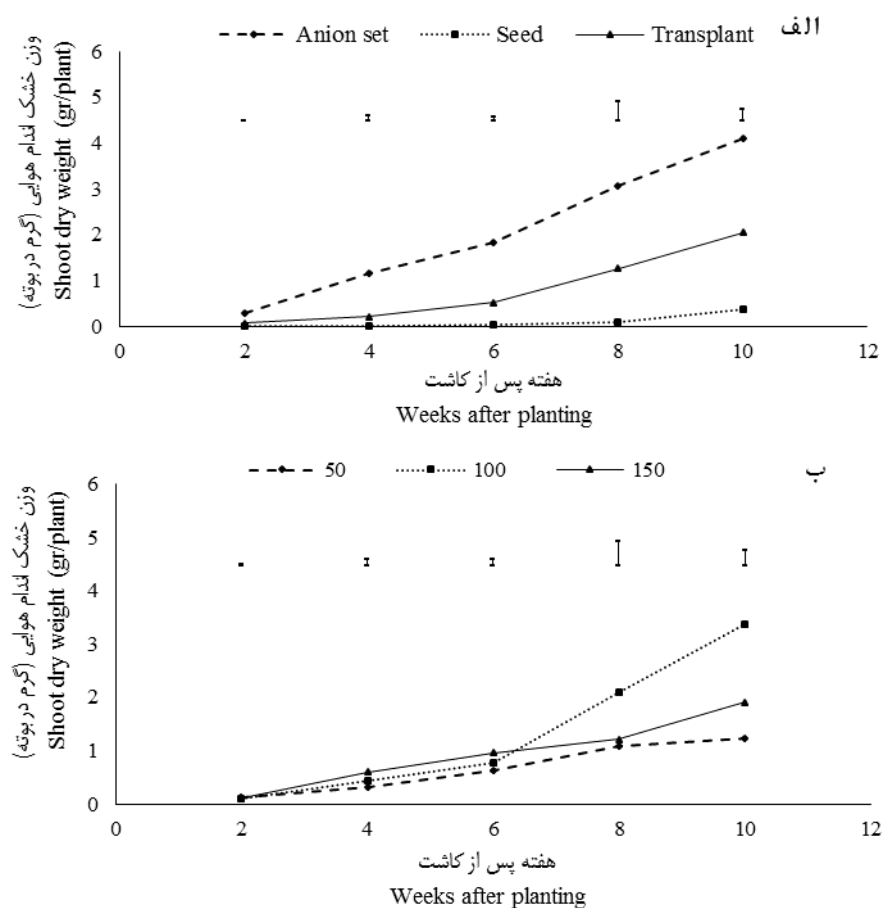
مطالعات نیز به نقش مثبت نیتروژن در افزایش عملکرد و رشد محصولات زراعی اشاره شده است (۳، ۴، ۶ و ۱۵).

وزن خشک پیاز

نتایج تجزیه واریانس تغییرات پنج مرحله نمونه‌برداری وزن خشک پیاز نشان داد بین اثرات اصلی روش‌های کاشت و سطوح نیتروژن تفاوت معنی‌دار وجود دارد. بین اثرات متقابل این فاکتورها در دو، چهار و ده هفته پس از کاشت اختلاف معنی‌دار مشاهده شد (جدول ۹).

نتایج مقایسه میانگین اثر اصلی روش کاشت نشان داد کمترین وزن خشک پیاز در هر پنج زمان نمونه‌برداری در روش کاشت بذر به دست آمد و مقدار آن در هشت و ده هفته پس از کاشت به ترتیب برابر با $0/143$ و $0/230$ گرم در بوته بود.

مراحل نمونه‌برداری، کمترین وزن خشک اندام هوایی در روش کشت مستقیم بذر به دست آمد (شکل ۴، ب). مطالعات متعددی پاسخ‌دهی فرآیند رشد گیاهان زراعی را به افزایش مقدار کاربید نیتروژن نشان داده‌اند. برای مثال، محققین گزارش کردند که افزایش نیتروژن از صفر به 170 کیلوگرم در هکتار ضمن افزایش 61 درصدی در کارایی مصرف نیتروژن منجر به افزایش 36 درصدی در تولید ماده خشک ذرت شد. در این آزمایش با اندازه‌گیری شاخص‌های رشد ذرت نشان داده شد که افزایش روند رشد تمام شاخص‌های رشد، شرایط لازم را برای تولید عملکرد بیشتر در ذرت (*Zea mays L.*) فراهم کرد (۱۵). در بررسی پاسخ 23 گونه علف هرز، گندم و کلزا به کاربید نیتروژن مشاهده شد که در گونه‌های مورد مطالعه، ضمن افزایش معنی‌دار ماده خشک تولیدی، اختلاف قابل توجهی از این نظر وجود داشت. در این آزمایش بین گونه‌های مطالعه شده، تاج خروس و خردل وحشی بیشترین ماده خشک را در اثر کاربید نیتروژن تولید کردند. در سایر



شکل ۴- تغییرات وزن خشک اندام هوایی پیاز در طول دوره رشد تحت تأثیر روش‌های کاشت (الف) و سطوح کود نیتروژن (ب)
خطوط عمودی بالای هر مرحله نمونه‌برداری مقدار LSD را در سطح احتمال پنج درصد نشان می‌دهد

Figure 4- Changes of onion plant shoot dry weight during growth season influenced by different planting methods (a) and different levels of nitrogen (b) (Vertical lines on each sampling represent LSD value at the 5% level)

جدول ۹- نتایج تجزیه واریانس اثر روش کاشت پیاز و سطوح نیتروژن بر وزن خشک پیاز خوارکی

Table 9- Analysis of variance of the effect of sowing methods of onion and nitrogen levels on dry weight of onion

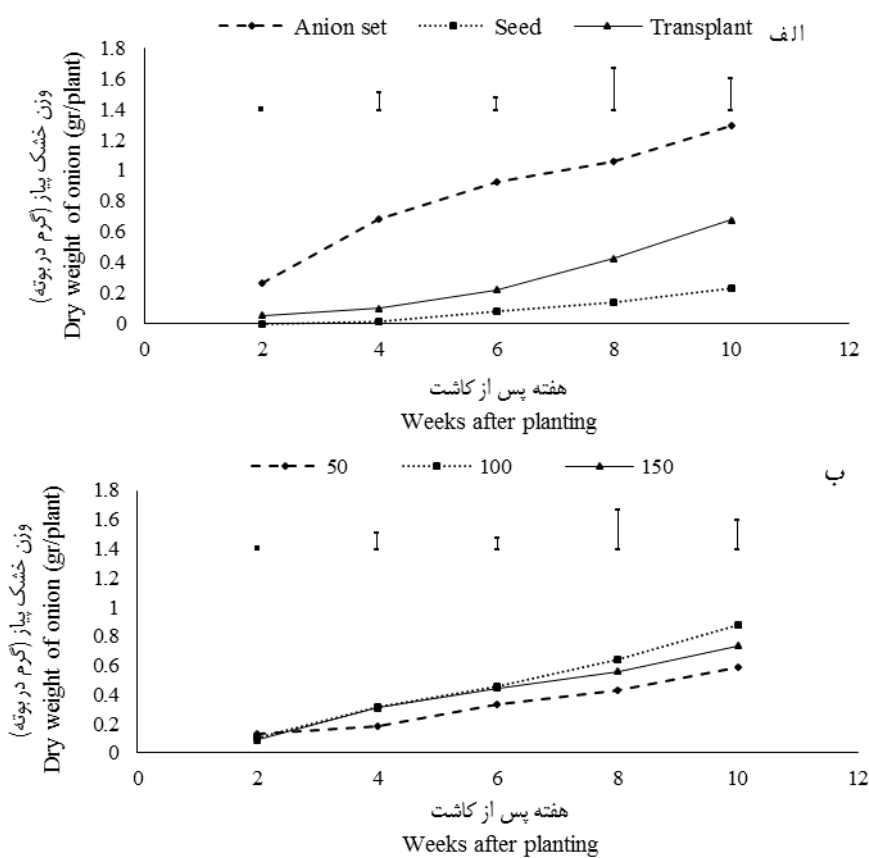
منابع تغییرات	Source of variation	درجه آزادی df	میانگین مربعات (Mean squares)				
			هفته پس از کاشت				
			2	4	6	8	10
تکرار	Replication	2	0.00001	0.021	0.009	0.002	0.058
روش کاشت	Sowing method (A)	2	0.182**	0.196**	1.844**	0.921**	2.579**
سطوح نیتروژن	Levels of nitrogen (B)	2	0.004**	0.052*	0.04*	2.035ns	0.181*
	AxB	4	0.005**	0.053*	0.006ns	0.03ns	0.314**
خطا	Error	16	0.0002	0.012	0.006	0.015	0.041
ضریب تغییرات	%CV	-	15.54	41.66	19.91	18.63	27.78

* و ** به ترتیب غیر معنی دار و معنی دار در سطح احتمال ۵ و ۱ درصد

ns, * and ** means non-significant and significant at the 5 and 1% probability levels, respectively.

پس از کاشت روند تغییرات وزن خشک پیاز در سطوح ۱۰۰ و ۱۵۰ کیلوگرم در هکتار مشابه بود اما در هشت و ده هفته پس از کاشت بیشترین وزن خشک پیاز در سطح ۱۰۰ کیلوگرم در هکتار به دست آمد که مقدار آن به ترتیب برابر با ۰/۶۳۸ و ۰/۸۷۴ گرم در بوته بود.

در تمام زمان‌های نمونه برداری بیشترین وزن خشک پیاز در روش کاشت سوچه تولید شد که مقدار آن در هشت و ده هفته پس از کاشت به ترتیب برابر با ۱/۰۶۲ و ۱/۲۹۶ گرم در بوته بود (شکل ۵). همچنین تغییرات وزن خشک پیاز تحت سطوح مختلف کود (الف). همچنین تغییرات وزن خشک پیاز تحت سطوح مختلف کود (الف) نیتروژن در طی فصل رشد و در شرایط رقابت نشان داد تا شش هفته



شکل ۵- تغییرات وزن خشک پیاز در طول دوره رشد تحت تأثیر روش‌های مختلف کاشت (الف) و سطوح کود نیتروژن (ب)
خطوط عمودی بالای هر مرحله نمونه برداری مقدار LSD را در سطح احتمال پنج درصد نشان می‌دهد

Figure 5- Changes of onion dry weight during growth season influenced by different planting methods (a) and different levels of nitrogen (b) (Vertical lines on each sampling represent LSD value at the 5% level)

سطوح مختلف کود نیتروژن نشان داد حداقل میزان خصوصیات رشدی پیاز در سطح ۱۰۰ و حداقل آنها در سطح ۵۰ کیلوگرم در هکتار حاصل شد. بررسی کلی نتایج ارائه شده حاکی از برتری روش کاشت سوچه و سطح ۱۰۰ کیلوگرم در هکتار نیتروژن خالص در صفات رویشی پیاز در حضور علف‌هرز اویارسلام ارغوانی می‌باشد. بنابراین می‌توان، جهت به حداقل رساندن خسارت علف‌هرز اویارسلام مقدار ۱۰۰ کیلوگرم در هکتار نیتروژن خالص را در روش کشت سوچه به عنوان مناسب‌ترین تیمار مدیریتی در مزارع پیاز آلوده به اویارسلام ارغوانی توصیه نمود. البته این تحقیق در شرایط گلخانه انجام شده و شکن نیست برای تأیید نتایج، تکرار آزمایش در محیط مزرعه ضروری است.

در همه زمان‌های نمونه‌برداری (به استثناء دو هفته پس از کاشت) کمترین وزن خشک پیاز در سطح ۵۰ کیلوگرم در هکتار نیتروژن خالص به دست آمد به طوری که مقدار آن در هشت و ده هفته پس از کاشت به ترتیب برابر با ۴۳۳/۰ و ۵۹۰/۰ گرم در بوته بود (شکل ۵). ب).

نتیجه‌گیری

بررسی روند تغییرات خصوصیات رشدی پیاز در طی فصل رشد و در شرایط تداخل با علف‌هرز اویارسلام ارغوانی نشان داد بیشترین و کمترین میزان خصوصیات رشدی پیاز به ترتیب مربوط به روش سوچه و بذر بود. همچنین تغییرات خصوصیات رشدی پیاز تحت

References

1. Babaie Zarch, M. J. 2013. Evaluation of sunflower (*Helianthus annuus* L.) varieties competitiveness with tumble pigweed (*Amaranthus albus* L.) in Birjand region. Master's thesis, Faculty of Agriculture, University of Birjand.
2. Baghestani meybodi, M., and Zand, A. 2005. Effect of morphological and physiological characteristics of winter wheat (*Triticum aestivum*) in against wild oat (*Avena ludoviciana*). Journal of Pajouhesh and Sazandegi 68: 41-56. (in Persian with English abstract).
3. Blackshaw, R. E. 2005. Nitrogen fertilizer, manure and compost effects on weed and competition with spring wheat. Agronomy Journal 97: 1612-1621.
4. Blackshaw, R. E., Brandt, R. N., Janzen, H. H., Entz, T. C., Grant, C. A., and Derksen, D. A. 2003. Differential response of weed species to added nitrogen. Weed Science 51: 532-539.
5. Brice, J., Currah, L., Malins, A., and Bancroft, R. 1997. Onion storage in the tropics. A practical guide to methods of storage and their selection. Chatham U.K National Resources Institute. p 3.
6. Casper, B. B., and Jackson, R. B. 1997. Plant competition underground. Annual Reviews 28: 545-570.
7. Chaturvedi, I. 2005. Effect of nitrogen fertilizers on growth, yield and quality of hybrid rice (*Oryza sativa*). Central European Agriculture 4: 611-618.
8. Delafuente, E. B., Suarez, S. A., and Ghersa, C. M. 2006. Soybean weed community composition and richness between 1995 and 2003 in the Rolling Pampas (Argentina). Agriculture Ecosystem and Environment 115: 229-236.
9. Foroutan, M. 2003. Preparing mini-tubers onion set for the production of onions. Deputy Agronomy Jihad Agriculture. Vegetables office. Page 6.
10. Gastal, F., and Lemaire, G. 2002. N uptake and distribution in crops: an agronomical and ecophysiological perspective. Experimental Botany 53: 789-799.
11. Haas, H., and Streibig, J. C. 1982. Changing patterns of weed distribution as a result of herbicide use and other agronomic factors. Pages 57-79 in. LeBaron, H. M., and. Streibig, J. C., eds. Herbicide Resistance in Plants. New York: Wiley.
12. Holm, L. G., Plucknett, D. L., Pancho, V., and Herberger, J. P. 1991. The worlds's worst weeds: Distribution and Biology, Krieger Publ. Co. Malabar, FL. P. 610.
13. Iqbal, J., and Wright, D. 1997. Effects of nitrogen supply on competition between wheat and three annual weed species. Weed Research 37: 391-400.
14. Keeley, P. E. 1987. Interference and interaction of purple nutsedge and yellow nutsedge with crops. Weed Technolgy 1: 74-81.
15. Ki-In Kim, D., Clay, E., Carlson, C. G., Clay, S. A., and Trooien, T. 2008. Do synergistic relationships between nitrogen and water influence the Ability of corn to use nitrogen derived from fertilizer and Soil. Agronomy Journal 100: 551-556.
16. Lopez bellido, L., Fuentes, M., Castillo, J. E., Lopez garrido, F. J., and Fernandes, E. J. 1996. Long-term tillage, crop rotation, and nitrogen fertilizer effects on wheat yield under rainfed Mediterranean conditions. Agronomy Journal 88: 783-791.
17. Mirzaee, Y., and Khodadadi, M. 2008. The survey of production methods effects (transplant, onion set and seed) on the some traits in onion (*Allium cepa* L.) cultivars at continued production design in Jiroft region. Journal of Pajouhesh and Sazandegi 80: 69-76. (in Persian with English abstract).
18. Morales-Payan, J. P., Santos, B. M., Stall, W. M., and Bewick, T. A. 1997. Effects of Purple nutsedge (*Cyperus*

- rotundus)* on tomato (*Lycopersicon esculentum*) and bell pepper (*Capsicum annuum*) vegetative growth and fruit yield. *Weed Technology* 11: 672-676.
19. Morales-Payan, J. P., Santos, B. M., Stall, W. M., and Bewick, T. A. 1998. Interference of Purple Nutsedge (*Cyperus rotundus* L.) population densities on bell pepper (*Capsicum annuum*) yield as influenced by nitrogen. *Weed Technology* 12: 220-234.
 20. Morales-Payan, J. P., Stall, W. M., Shilling, D. G., Charudattan, R., Dusky, J. A., and Bewick, T. A. 2003. Above and belowground interference of purple and yellow nutsedge (*Cyperus* spp.) with tomato. *Weed Science* 51 (2): 181-185.
 21. Ohnishi, M., Horrio, T., Homma, K., Supapoj, N., Takano, H., and Yamamoto, S. 1999. Nitrogen management and cultivars effect on rice yield and nitrogen efficiency in northeast Thailand. *Field Crops Research* 64: 109-120.
 22. Okafor, L. I., and De Datta, S. K. 1976. Competition between upland rice and purple nutsedge for nitrogen, moisture and light. *Weed Science* 24: 43-46.
 23. Peyvast, Gh. 2001. kitchen. The second volume, published by the Agricultural Sciences. 402 p.
 24. Rabinowitch, M. D., and Brewester, J. L. 1992. Onion and Allied. Volume 3 CRC press.
 25. Ransom, C. V., Rice, C. A., and Ishida, J. K. 2004. Yellow nutsedge competition in dry bulb onion production. Oregon State University, Malheur Experiment Station Special Report 1055: 97-99.
 26. Rashed-mohsel, M. H., Najafi, H., and Dokhter- akbarzadeh, M. 2001. Biology and control of weeds. Printing. University of Mashhad, P .161.
 27. Santos, B. M., Morales-Payan, J. P., and Bewick, T. A. 1996. Purple nutsedge (*Cyperus rotundus* L.) interference on radish under different nitrogen levels. *Weed Science Society of America Abstr*, 36, 69.
 28. Sarmadnia, Gh. H., and Koocheki, A. 2007. Agricultural plants Physiology (Translation). Publications Mashhad SID. P: 400.
 29. Wien, H. C. 1999. The Physiology of Vegetable Crops. CABI Press. New York. P. 67.
 30. Yaghobi, S. R. 2009. Changes leaf area of maize in canopy layers under the influence of natural population of weed interference. *Journal of modern Agriculture* 14: 81-88. (in Persian).
 31. Zand, A., Rahimian Mashhadi H., Cochaki, A., Mousavi, S. K., and Ramazani, K. 2004. Weed Ecology - Management Application. Mashhad Press SID.



Effect of Different Planting Methods of Onion (*Allium cepa L.*) and Nitrogen Rate on Onion Growth Pattern under Interference with Purple Nutsedge (*Cyperus rotundus*)

N. Karimi Arpanahi^{1*} - S. V. Eslami² - S. Mahmoodi² - M. H. Sayyari³

Received: 26-07-2014

Accepted: 03-03-2015

Introduction

Human always has looked for improving food production through increasing crops yield. In this path, weeds through competition with crop for environmental factors and inputs have reduced the quantity and quality of crop products. Competition for nitrogen absorption not only is the most common form of intra-specific competition amongst crop plants, but also is the most popular form of inter-specific competition in the system of weed-crop interference. Therefore, understanding the method of nitrogen absorption and its allocation in competing plants, will be a key tool to improve weed management strategies.

Materials and Methods

In order to study the effect of sowing method and nitrogen rate on the growth pattern of onion under interference with purple nutsedge, a factorial experiment based on a randomized complete block design was conducted with three replications at the Research Greenhouse of University of Birjand in 2013. The first factor included three sowing methods of onion (seed sowing, onion set and transplanting) and the second factor consisted of three levels of nitrogen (50, 100 and 150 kg N ha⁻¹, equivalent of 25, 50 and 75 mg N kg⁻¹ soil) that urea fertilizer with a purity of 46% was used for this purpose.

Results and Discussion

The results of the analysis of variance showed that nitrogen levels had significant effects on plant height, leaf area index as well as aboveground and bulb dry weights. Furthermore, sowing methods revealed significant effects on plant height, leaf number, leaf area index as well as aboveground and bulb dry weights. Moreover, the interaction between sowing methods and levels of nitrogen had a significant effect on plant height, leaf area index and aboveground dry weight, while it had no significant effect on leaf number and bulb dry weight. The results of the comparisons of the means of onion planting methods and nitrogen levels interactions confirmed that the superiority of the influence of onion set were planted method and high level of nitrogen in plant height trait, so that the maximum plant height was obtained where onion set methods and high nitrogen levels were applied during the growing season. In addition, the lowest plant height during the growing season was observed where the direct seed sowing method and 150 kg N ha⁻¹ were used. The lowest leaf number during the growing season were obtained from direct seed sowing method and the leaf number per plant in this method of planting was 4.33 and 4.66 at eight and ten weeks after planting, respectively. The greatest number of onion leaves was produced in onion set planting method and the leaf number per plant in this method was 12.66 and 13.44 at eight and ten weeks after planting, respectively. The highest leaf area index of onion plants during the growing season was observed under onion set planting method and high levels of nitrogen, while the lowest value of this trait was obtained from direct seed planting method. During the growing season, the maximum shoot dry weight of onions was observed where the onion set planting method and high levels of nitrogen were employed. At eight and ten weeks after planting, the maximum amount of this trait was obtained from 100 kg N ha⁻¹ that was about 4.335 and 5.565 gr plant⁻¹, respectively.

Conclusions

Onion growth pattern under interfering with purple nutsedge demonstrated that the highest and lowest growth of onion plants were obtained where onion sets and seed sowing planting methods were employed, respectively. Moreover, changes of growth characteristics of onion under different levels of nitrogen fertilizer and interference conditions illustrated that the maximum and minimum amount of onions growth were obtained at 100 and 50 kg N ha⁻¹, respectively. In conclusion, the superiority of applying the onion set planting method and 100 kg N ha⁻¹

1- M.Sc. student University of Birjand, Birjand, Iran

2- Associate Professor, Department of Agronomy, Faculty of Agriculture, University of Birjand, Birjand, Iran

3- Assistans Professor, Department of Agronomy, Faculty of Agriculture, University of Birjand, Birjand, Iran

(*- Corresponding Author Email: kariminosratalah@yahoo.com)

improved onion growth where it competes with purple nutsedge. Thus, in order to minimize the yield damage due to purple nutsedge presence, application of 100 kg N ha⁻¹ and using the onion set planting method can be recommended as the most appropriate treatment in the management of infected farms with purple nutsedge. However, this study was conducted under greenhouse conditions and there is no doubt that the study should be repeated in the field to verify these results.

Keywords: Anion set, Competitive ability, Growth pattern, Transplanting

Contents

Climate Change Effects on Agricultural Production of Iran: II. Predicting Productivity of Field Crops and Adaptation Strategies	19
A. Koocheki- M. Nassiri Mahallati	
Effect of Hexaconazole and Penconazole on Kochia (<i>Kochia scoparia</i>) Freezing Tolerance	35
A. Kamandi- M. Kafi- A. Nezami- J. Nabati	
The Effect of Planting Date on the Growth and Yield of Indigo (<i>Indigofera tinctoria</i> L.) in Shahrood Conditions	46
A. Ansori- H. Shahgholi- H. Makarian- M. Gholipoor	
Effect of Different Irrigation and Planting Methods on Water Productivity and Health of Commercial Varieties of Potato	57
H. R. Salemi- A. Soliamanipur- A. R. Tavakoli	
Effect of Nitrogen Fertilizer on Light Interception and Light Extinction Coefficient in Different Wheat Cultivars	71
F. Samadiyan- A. Soleymani	
Effects of Foliar Spraying with Salicylic acid and Putrescine on Growth Characteristics and Yield of Summer Savory (<i>Satureja hortensis</i> L.)	84
A. Faraji-mehmani- B. Esmaelpour- F. Sefikon- S. Khorramdel	
Effects of Planting Date and Plant Density on Physiological Indices, Quantity and Quality Traits of Two Varieties of Marigold (<i>Calendula officinalis</i> L.)	98
A. Sepehri- T. Mehranrad- A. Karami	
Effects of Plant Density on Sweet and Baby Corn (Hybrid KSC 403) Yield and Yield Components	107
H. Bavi- M. R. Moradi-Telavat- S. A. Siadat- A. Koochakzadeh	
The Effect of Soil Fertilizers on Yield and Growth Traits of Sorghum (<i>Sorghum bicolor</i>)	119
R. Kamaei- M. Parsa- M. Jahan	
Evaluation of Yield and Yield Components of Different Millet Genotypes Under Two Irrigation Regimes	131
S. Mashayekhi- Gh. Khajoeinejad- Gh. Mohammadinejad	
Evaluation of Effect of Silicon on NaCl Tolerance in Annual <i>Medicago scutellata</i> L.	142
M. Azizi- A. Abdolzadeh- P. Mehrabanjoubani- H. R. Sadeghipour	
Effect of Different Salinity levels on some Photosynthetic Characters of Canola (<i>Brassica napus</i> L.) Cultivars	152
F. Tahmasbi- P. Hassibi- M. Meskarbashi	
Effect of Zeolite, Selenium and Silicon on Yield, Yield Components and Some Physiological Traits of Canola under Salt Stress Conditions	169
A. Bybordi	
Study of Cytokinin and Auxin Hormones and Planting Pattern Effects on Yield and Yield Components of Grain Maize (<i>Zea mays</i> L.) under Saline Conditions	183
D. Davani- M. Nabipour- H. Roshanfekr Dezfooli	
Effects of Vermi compost and Compost tea Application on the Growth criteria of Corn (<i>Zea mays</i>)	198
R. Afsharmanesh- A. Rahimi- B. Torabi- A. Akhgar	
Effect of Different Planting Methods of Onion (<i>Allium cepa</i> L.) and Nitrogen Rate on Onion Growth Pattern under Interference with Purple Nutsedge (<i>Cyperus rotundus</i>)	213
N. Karimi Arpanahi- S. V. Eslami- S. Mahmoodi- M. H. Sayyari	

Iranian Journal of Field Crops Research

Ferdowsi University of Mashhad
Center of Excellence for Special Crops (CESC)

Vol. 14

No. 1

2016

Publisher	Ferdowsi University of Mashhad	
Managing	P. Rezvani Moghaddam (Agroecology) Prof., Ferdowsi University of Mashhad	
Editor- in-chief	H.R. Khazaei (Crop Physiology)	Prof., Ferdowsi University of Mashhad

Editorial Board

Emam, Y.	Crop Physiology	Prof., Shiraz University
Bagheri, A.	Genetic and Plant Breeding	Prof., Ferdowsi University of Mashhad
Behdani, M.A.	Crop Ecology	Assoc. Prof., Birjand University
Banayan Awal, M.	Agro-Environment Modeling	Assoc. Prof., Ferdowsi University of Mashhad
Jami Alahmadi, M.	Crop Physiology	Assoc. Prof., Birjand University
Rahimian-Mashhadi, H.	Crop Physiology	Prof., Tehran University
Zamani, Gh.R.	Crop Physiology	Assoc. Prof., Birjand University
Zare- Feizabadi, A.	Crop Ecology	Prof., Agriculture and Natural Resources Research Center of Khorasan Razavi Province
Shahriari-Ahmadi, F.	Genetic and Plant Breeding	Prof., Ferdowsi University of Mashhad
Kafi, M.	Crop Physiology	Prof., Ferdowsi University of Mashhad
Nezami, A.	Crop Physiology	Prof., Ferdowsi University of Mashhad
Mazaheri, D.	Crop Ecology	Prof., Tehran University
Nassiri-Mahalati, M.	Crop Modeling	Prof., Ferdowsi University of Mashhad

Address: Iranian Journal of Field Crops Research Ferdowsi University of Mashhad Faculty of Agriculture
Mashhad, Iran,

P. O. Box: 91775-1163

Email: cesc@ferdowsi.um.ac.ir

Web Site: <https://jesc.um.ac.ir>



Ferdowsi University
of Mashhad

Vol.14 No.1
2016

Iranian Journal of Field Crops Research

ISSN:2008-1472

Contents

Climate Change Effects on Agricultural Production of Iran: II. Predicting Productivity of Field Crops and Adaptation Strategies	19
A. Koocheki- M. Nassiri Mahallati	
Effect of Hexaconazole and Penconazole on Kochia (<i>Kochia scoparia</i>) Freezing Tolerance	35
A. Kamandi- M. Kafi- A. Nezami- J. Nabati	
The Effect of Planting Date on the Growth and Yield of Indigo (<i>Indigofera tinctoria</i> L.) in Shahrood Conditions	46
A. Ansori- H. Shahgholi- H. Makarian- M. Gholipoor	
Effect of Different Irrigation and Planting Methods on Water Productivity and Health of Commercial Varieties of Potato	57
H. R. Salemi- A. Soliamanipur- A. R. Tavakoli	
Effect of Nitrogen Fertilizer on Light Interception and Light Extinction Coefficient in Different Wheat Cultivars.....	71
F. Samadiyan- A. Soleymani	
Effects of Foliar Spraying with Salicylic acid and Putrescine on Growth Characteristics and Yield of Summer Savory (<i>Satureja hortensis</i> L.).....	84
A. Faraji-mehmani- B. Esmaielpour- F. Sefikon- S. Khorramdel	
Effects of Planting Date and Plant Density on Physiological Indices, Quantity and Quality Traits of Two Varieties of Marigold (<i>Calendula officinalis</i> L.).....	98
A. Sepehri- T. Mehranrad- A. Karami	
Effects of Plant Density on Sweet and Baby Corn (Hybrid KSC 403) Yield and Yield Components.....	107
H. Bavi- M. R. Moradi-Telavat- S. A. Siadat- A. Koochakzadeh	
The Effect of Soil Fertilizers on Yield and Growth Traits of Sorghum (<i>Sorghum bicolor</i>).....	119
R. Kamaei- M. Parsa- M. Jahan	
Evaluation of Yield and Yield Components of Different Millet Genotypes Under Two Irrigation Regimes.....	131
S. Mashayekhi- Gh. Khajoeinejad- Gh. Mohammadinejad	
Evaluation of Effect of Silicon on NaCl Tolerance in Annual <i>Medicago scutellata</i> L.....	142
M. Azizi- A. Abdolzadeh- P. Mehrabanjoubani- H. R. Sadeghipour	
Effect of Different Salinity levels on some Photosynthetic Characters of Canola (<i>Brassica napus</i> L.) Cultivars	152
F. Tahmasbi- P. Hassibi- M. Meskarbashi	
Effect of Zeolite, Selenium and Silicon on Yield, Yield Components and Some Physiological Traits of Canola under Salt Stress Conditions	169
A. Bybordi	
Study of Cytokinin and Auxin Hormones and Planting Pattern Effects on Yield and Yield Components of Grain Maize (<i>Zea mays</i> L.) under Saline Conditions	183
D. Davani- M. Nabipour- H. Roshanfekr Dezfooli	
Effects of Vermi compost and Compost tea Application on the Growth criteria of Corn (<i>Zea mays</i>)	198
R. Afsharmanesh- A. Rahimi- B. Torabi- A. Akhgar	
Effect of Different Planting Methods of Onion (<i>Allium cepa</i> L.) and Nitrogen Rate on Onion Growth Pattern under Interference with Purple Nutsedge (<i>Cyperus rotundus</i>)	213
N. Karimi Arpanahi- S. V. Eslami- S. Mahmoodi- M. H. Sayyari	